

Kombinatorische Optimierungsverfahren
zum
backbone Assignment von NMR Daten
an Proteinen

Dissertation
zur Erlangung des Doktorgrades
der Naturwissenschaften

vorgelegt beim Fachbereich Chemie der
Johann Wolfgang Goethe Universität
in
Frankfurt am Main

von
Volker Apelt
aus Bad Homburg v.d.H

Frankfurt am Main (2001)
(D F 1)

Die vorliegende Arbeit wurde am Institut für Organische Chemie der Johann Wolfgang Goethe Universität in Frankfurt am Main unter Anleitung von Prof. Dr. Griesinger in der Zeit vom Dezember 1993 bis November 1999 angefertigt.

Bei Herrn Professor Dr. Griesinger möchte ich mich für die anregenden Diskussionen und die bereitgestellten experimentellen Daten bedanken.

Herrn Peter Gröschke danke ich für die Diskussionen über die Methodik der Aminosäureerkennung und die lange Zusammenarbeit beim Aufbau und der Verwaltung der PCs und der Novell-Netzwerke des Arbeitskreises.

Christian Richter danke ich für die Zusammenarbeit bei der Verwaltung der NT Rechner und der Novell Netze und für die Diskussionen über Assignment Programme.

Bettina Elshorst und Dr. Holger Försterling möchte ich für die zur Verfügung gestellten Daten des C21W Komplexes danken.

Dr. Tanja Paraç danke ich für Überlassung der NMR Daten des Trigger Projektes und für die Unterstützung bei der Verifizierung des automatischen gegenüber dem manuellen Assignment.

Bei Dr. Markus Maurer möchte ich mich für die Hilfe bei der Interpretation der NMR Daten und die anregenden Diskussionen zur Lösung von Computerproblemen bedanken.

Den Co-Administratoren des UNIX Netzwerkes Dr. Peter Schmidt, Dr. Jens Quandt, Oliver Schedletzky, Jochen Junker, Dr. Thomas Geppert und Burkardt Luy danke ich für die anregenden Diskussionen über C Programmierung und die Bereitschaft bei Computerproblemen sofort einzuspringen.

Meinen Eltern möchte ich für die Unterstützung und ihre Geduld während der Entstehung der Arbeit danken.

Allen Mitgliedern des Arbeitskreises danke ich für die gute und freundliche Atmosphäre .

Inhaltsverzeichnis

| | |
|--|-----------|
| Einführung | 1 |
| Kapitel 1 Theorie | 5 |
| 1.1 Das ASSIGNMENT Problem..... | 5 |
| 1.2 Automatisches Assignment..... | 7 |
| 1.2.1 Das Experimentset..... | 7 |
| 1.2.2 Die Zuweisung..... | 8 |
| 1.2.3 Granularität der Implementierung..... | 8 |
| 1.2.4 Zuweisung und Lösungsraum..... | 10 |
| 1.2.5 Die Größe des Lösungsraumes der Optimierungsaufgabe..... | 11 |
| 1.2.6 Topologie des Zustandsraumes..... | 14 |
| 1.2.7 Die Operationen im Lösungsraum..... | 14 |
| 1.2.8 Differenz zweier Zustände in \mathbf{S} | 15 |
| 1.2.9 Anzahl der Nachbarn, die durch die gleiche Operation $T_{E_i}^+$ verbunden werden..... | 16 |
| 1.2.10 Anzahl der Nachbarn eines Zustandes mit T^+ / T^- | 17 |
| 1.2.11 Anzahl der T^{swap} Operation in M_b und \mathbf{S} | 18 |
| 1.2.12 Optimale Lösung..... | 19 |
| 1.3 Kombinatorische Optimierungsverfahren..... | 20 |
| 1.3.1 Qualitätsfunktion $Q(\mathbf{S}_i)$ | 20 |
| 1.3.2 Das traveling salesman–Problem..... | 20 |
| 1.3.2.1 Repräsentation eines Weges für das TSP..... | 21 |
| 1.3.2.2 k–opt Operation..... | 21 |
| 1.3.3 NP–Hart..... | 21 |
| 1.3.4 Lösungsansätze..... | 23 |
| 1.3.5 Lokale Suche..... | 23 |
| 1.3.6 Produktionsregel..... | 23 |
| 1.3.7 Lin–Kernighan Verfahren..... | 24 |
| 1.3.8 Simulated Annealing..... | 25 |
| 1.3.9 Threshold Accepting..... | 26 |
| 1.4 Genetischer Algorithmus..... | 27 |
| 1.4.1 Crossover Operation | 27 |
| 1.4.2 Konfliktauflösung..... | 28 |
| Kapitel 2 Implementierung | 31 |
| 2.1 Peaks..... | 31 |
| 2.1.1 Peaks und Entartungsgrad..... | 31 |

| | | |
|---------|---|----|
| 2.1.2 | Das Peak Netz..... | 32 |
| 2.1.2.1 | Implementierung..... | 32 |
| 2.1.2.2 | Topologien..... | 33 |
| 2.1.2.3 | Kantenqualität..... | 33 |
| 2.2 | Protospinsysteme..... | 34 |
| 2.2.1 | Protospinsystempool..... | 34 |
| 2.2.2 | Relationen zwischen Protospinsystemen..... | 35 |
| 2.3 | AS–Protospinsysteme..... | 35 |
| 2.3.1 | Die AS–Protospinsystemmuster für das Bax Experimentset..... | 36 |
| 2.3.2 | Toleranter Vergleich des Volumens zweier Peaks..... | 39 |
| 2.3.3 | Implementierung der Muster..... | 40 |
| 2.3.4 | Implementierung der Suche..... | 40 |
| 2.3.5 | Filter..... | 40 |
| 2.3.6 | Suchmuster für mögliche Glycin Spinsysteme..... | 41 |
| 2.3.7 | Konkurrierende Peakgruppen..... | 41 |
| 2.4 | Manuelle Bearbeitung..... | 43 |
| 2.4.1 | Knotenlokale Bedingungen | 43 |
| 2.4.2 | Automatisch erstellte knotenlokale Bedingungen..... | 43 |
| 2.5 | Link–Protospinsysteme..... | 45 |
| 2.5.1 | Das Link–Protospinsystemmuster für das Bax Experimentset..... | 45 |
| 2.5.2 | Erzeugen der Link–Protospinsysteme..... | 46 |
| 2.6 | Die Bewertungsfunktion..... | 47 |
| 2.6.1 | Bewertung der AS–Protospinsysteme..... | 47 |
| 2.6.2 | Bewertung der Link–Protospinsysteme..... | 48 |
| 2.6.3 | Bewertungsfunktion für Individuen..... | 49 |
| 2.6.3.1 | Näherungsformel für die Qualität einer realen Zuordnung..... | 51 |
| 2.7 | Datenfluß..... | 51 |
| 2.8 | Der Random Algorithmus..... | 53 |
| 2.8.1 | Aktionsprofile..... | 55 |
| 2.9 | Der Genetische Algorithmus..... | 62 |
| 2.9.1 | Der Mutationsalgorithmus..... | 62 |
| 2.9.2 | Die Qualitätsschwelle..... | 63 |
| 2.9.3 | Zwangscrossover..... | 63 |
| 2.9.4 | Die Wahl der Eltern..... | 64 |
| 2.9.5 | Die Partnerauswahl..... | 64 |
| 2.9.6 | Die Zustandsdifferenz..... | 65 |

| | | |
|------------------|--|-----------|
| 2.9.7 | Der Reparaturalgorithmus..... | 65 |
| 2.10 | Implementierung der Crossover Operatoren..... | 66 |
| 2.10.1 | Die Elemente der Crossover Operation..... | 66 |
| 2.10.2 | Aufteilung der Arena..... | 67 |
| 2.10.3 | Der generalisierte Crossover-Operator..... | 68 |
| 2.10.4 | Untersuchte Crossover Operatoren..... | 69 |
| 2.10.4.1 | Die Selektionsalgorithmen s des Operators G..... | 71 |
| 2.10.4.2 | Die Produktionsalgorithmen p des Operators G..... | 72 |
| Kapitel 3 | Parameterabschätzung..... | 75 |
| 3.1 | Testverfahren..... | 75 |
| 3.2 | Testdaten: Protein Chemotaxis Y..... | 76 |
| 3.3 | Parameterabschätzung für RANDOM..... | 78 |
| 3.3.1 | maxLoops und maxTime..... | 78 |
| 3.3.2 | maxIdleLoops (Maximale Zyklen ohne Verbesserung)..... | 78 |
| 3.3.3 | qThreshold..... | 78 |
| 3.3.4 | qThresholdDecayRate..... | 78 |
| 3.3.5 | minTTL..... | 80 |
| 3.3.6 | maxTTL..... | 80 |
| 3.3.7 | randArenaSize..... | 80 |
| 3.3.8 | Profile..... | 81 |
| 3.3.9 | Einfluß des Optimierungsproblems..... | 82 |
| 3.3.10 | Maximale Nachbarschaftsdistanz ΔCA | 82 |
| 3.3.11 | Proteingröße..... | 83 |
| 3.3.12 | random (Startwert für den Zufallszahlengenerator)..... | 83 |
| 3.4 | Wahrscheinlichkeitsverteilung der Zyklenzahlen für RANDOM..... | 84 |
| 3.5 | Beschleunigung der Berechnung mittels eines Caches..... | 85 |
| 3.6 | Parameterabschätzung für den Genetischen Optimierer..... | 85 |
| 3.6.1 | Die Ausgangskonfiguration für die Parametrisierung..... | 86 |
| 3.6.2 | Die Qualitätsunterschiede der Operatoren..... | 86 |
| 3.6.2.1 | Statistische Auswertung..... | 87 |
| 3.6.3 | Übertragungsrate (crossOverPct)..... | 89 |
| 3.6.4 | Konfiguration der Arena genArenaSize, seedPoolSize, survivingSeeds..... | 90 |
| 3.6.4.1 | Anzahl der Individuen (genArenaSize)..... | 90 |
| 3.6.4.2 | Anzahl der Eltern (seedPoolSize)..... | 90 |
| 3.6.4.3 | Anzahl der garantiert überlebenden Individuen (survivingSeeds)..... | 91 |
| 3.6.5 | Mindestqualität (genQThreshold) und die Zerfallsrate der Mindestqualität (genQThres- | |

| | |
|--|------------|
| holdDecayRate)..... | 91 |
| 3.6.6 Minimalwert für die gleitende Crossover-Rate. (genCrossoverThreshold)..... | 91 |
| 3.6.7 Die Parameter des Abbruchkriteriums. genMaxEqualLoops und genMaxIdleLoops..... | 91 |
| 3.6.7.1 Verschiedene Cachekonfigurationen..... | 91 |
| 3.6.8 Der SubOptimierer..... | 92 |
| 3.6.8.1 Konfigurationsvarianten des SubOptimierers..... | 93 |
| 3.6.8.1.1 subMaxIdleLoops..... | 94 |
| 3.6.8.1.2 Zerfallsrate subThresholdDecayRate..... | 95 |
| 3.6.8.1.3 Vergleich der ratenbegrenzten Konfiguration mit anderen Konfigurationen..... | 95 |
| 3.6.8.2 Defekte in den Ausgangsdaten..... | 96 |
| 3.7 Crossover-Schock..... | 97 |
| 3.8 Schlußfolgerungen..... | 100 |
| Kapitel 4 Vergleich mit PASTA..... | 103 |
| 4.1 Konfiguration nach Leutner et al..... | 103 |
| 4.1.1 Vergleich des Laufzeitverhaltens von PASTA mit RANDOM..... | 105 |
| Kapitel 5 Automatische Zuweisung des Proteinfragments Trigger M..... | 107 |
| 5.1 Trigger Faktor..... | 107 |
| 5.1.1 Die Proteinprobe..... | 108 |
| 5.2 Experimenteller Teil..... | 109 |
| 5.2.1 Präparation der Daten..... | 109 |
| 5.2.2 Mustersuche..... | 110 |
| 5.2.3 Leere Basispeaks..... | 110 |
| 5.2.4 Konkurrenzgruppen..... | 110 |
| 5.2.5 Spinsysteme ohne Basispeaks..... | 111 |
| 5.2.6 Glycin Peaks..... | 112 |
| 5.2.7 Peak Netze | 112 |
| 5.2.8 Suche nach Protospinsystemen..... | 113 |
| 5.2.9 Positionsqualitätsfaktoren..... | 114 |
| 5.3 Optimierung des Assignments..... | 114 |
| 5.3.1 Parameter der Optimierung..... | 114 |
| 5.3.1.1 Optimierungsstufe 1..... | 115 |
| 5.3.1.2 Optimierungsstufe 2..... | 117 |
| 5.3.1.3 Optimierungsstufe 3..... | 117 |
| 5.3.3 Vergleich der Endzustände..... | 124 |
| 5.3.3.1 Konstante Bereiche..... | 124 |
| 5.3.3.2 Unterschiede..... | 125 |

| | | |
|------------------|---|------------|
| 5.3.3.3 | Ungenutzte Peaks..... | 131 |
| 5.3.4 | Fazit..... | 132 |
| Kapitel 6 | Zusammenfassung und Ausblick..... | 133 |
| Anhang A | Pseudozufallszahlengenerator | 137 |
| Anhang B | Abstandsfunktionen..... | 138 |
| Anhang C | Aminosäuretypenerkennung..... | 139 |
| C.1 | 1D Funktionen für CA und CB..... | 139 |
| C.2 | 2D Funktionen für CA/CB Frequenzpaare | 140 |
| Anhang D | Protospinsystemmuster..... | 142 |
| D.1 | Suchmuster für AS–Protospinsysteme | 142 |
| D.2 | Automatische knotenlokale Bedingungen..... | 146 |
| D.3 | Linkprotospinsystemmuster..... | 148 |
| Anhang E | Peaklisten des Trigger Proteins..... | 149 |
| E.1 | HNCO..... | 149 |
| E.2 | HNCA..... | 150 |
| E.3 | HNCACB (CBCANH Typ)..... | 151 |
| E.4 | HN(CO)CACB (CBCA(CO)NH Typ)..... | 153 |
| Anhang F | Parameter der Optimierungsprogramme..... | 155 |
| F.1 | Netzbildung..... | 155 |
| F.2 | Problemstellung..... | 155 |
| F.3 | Parameter des RANDOM Algorithmus..... | 155 |
| F.4 | Genetischer Optimierer..... | 156 |
| Anhang G | Verwendete Symbole und Abkürzungen..... | 158 |
| G.1 | Abkürzungen..... | 158 |
| G.2 | Symbole..... | 158 |
| Anhang H | Kombinatorik..... | 160 |
| H.1 | Permutationen und Variation..... | 160 |
| H.2 | Kombinationen..... | 160 |
| Anhang I | Definitionen der Graphen Theorie..... | 161 |
| Anhang J | Notwendige Computerressourcen..... | 162 |
| J.1 | Programmierungsumgebung..... | 162 |
| Anhang K | Verzeichnisstrukturen..... | 163 |

| | | |
|---|--|------------|
| K.1 | Verzeichnisse und Dateien eines Zuweisungsprojektes..... | 163 |
| K.2 | Der Quellcode..... | 164 |
| K.2.1 | Die Make Dateien..... | 165 |
| Anhang L. Datenformate der Eingabedateien..... | | 167 |
| L.1 | Peakpool..... | 167 |
| L.2 | Die .plf Datei..... | 167 |
| L.3 | Die .axis Datei..... | 167 |
| L.4 | Die .xpk Datei | 167 |
| L.5 | Die .list100 Datei..... | 168 |
| L.6 | Die .vol Datei..... | 168 |
| L.7 | Protospinsystemlisten..... | 168 |
| L.8 | AS_QFACTOR..... | 168 |
| L.9 | OptimizerInfo..... | 169 |
| L.10 | RandomDump..... | 170 |
| L.11 | Aktionsprofil..... | 170 |
| L.12 | PeakNet..... | 171 |
| Anhang M Scripte..... | | 173 |
| M.1 | Ein minimales Projekt..... | 173 |
| M.2 | Zuweisung von Trigger..... | 174 |
| M.3 | reorderAchsen.sh..... | 181 |
| M.4 | Optimierer Start Script für cont01..... | 181 |
| M.5 | Die resultierende Kommandozeile für cont01..... | 182 |
| M.6 | makefile für die graphische Aufbereitung der Ergebnisse eines Optimiererlaufes.. | 182 |
| M.7 | makefile.conf | 183 |
| M.8 | prepareProject.sh..... | 183 |
| Anhang N. Quelltexte..... | | 185 |
| N.1 | Quelltext: randomOptimize.cc..... | 186 |
| N.2 | Quelltext: geneticOptimize.cc..... | 189 |
| N.3 | Quelltext: RandomOptimizer.h..... | 192 |
| N.4 | Quelltext: RandomOptimizer.cc..... | 194 |
| N.5 | Quelltext: RandomOptimizerBASE.h..... | 208 |

| | | |
|------------------------------|--|------------|
| N.6 | Quelltext: RandomOptimizerBASE.cc..... | 212 |
| N.7 | Quelltext: RandomOpti_Calc.h..... | 224 |
| N.8 | Quelltext: RandomOpti_Calc.cc..... | 226 |
| N.9 | Quelltext: RandomOpti_StateIndependent.h..... | 231 |
| N.10 | Quelltext: RandomOpti_StateIndependent.cc..... | 235 |
| N.11 | Quelltext: LinkBuilder.h..... | 243 |
| N.12 | Quelltext: LinkBuilder.cc..... | 244 |
| N.13 | Quelltext: StateMetrics.h..... | 245 |
| N.14 | Quelltext: StateMetrics.cc..... | 247 |
| N.15 | Quelltext: GeneticRandomOptimizer.h..... | 252 |
| N.16 | Quelltext: GeneticRandomOptimizer.cc..... | 254 |
| N.17 | Quelltext: GeneticOptimizerFactory.h..... | 261 |
| N.18 | Quelltext: GeneticOptimizerFactory.cc..... | 261 |
| N.19 | Quelltext: GeneticRandomOptimizer_C.h..... | 261 |
| N.20 | Quelltext: GeneticRandomOptimizer_C.cc..... | 262 |
| N.21 | Quelltext: GeneticRandomOptimizer_OPERATOR.cc..... | 262 |
| N.22 | Quelltext: GeneticRandomOptimizer_Gs2p2.h..... | 268 |
| N.23 | Quelltext: GeneticRandomOptimizer_Gs2p2.cc..... | 269 |
| N.24 | Quelltext: GeneticRandomOptimizer_elitaer.h..... | 269 |
| N.25 | Quelltext: GeneticRandomOptimizer_elitaer.cc..... | 270 |
| Literaturstellen..... | | 271 |

Einführung

Für viele aktuelle wissenschaftliche Projekte ist die Kenntnis der dreidimensionalen Struktur von Proteinen eine Grundvoraussetzung. Für das Verständnis der Interaktion von chemischen Stoffen mit der Oberfläche eines Proteins ist zum Beispiel die Polarität und die Form der Oberfläche des Proteins von entscheidender Bedeutung, da sich Botenstoffe an der Oberfläche der Proteine anlagern oder Enzyme nur dann ihr katalytisch wirksames Zentrum ausbilden, wenn sie korrekt gefaltet sind. Daher reicht die Kenntnis der Primärstruktur nicht aus, um die Eigenschaften eines Proteins zu erklären.

Die Chemische und Pharmazeutische Industrie versucht für das *Rational Drug Design*, dem Entwurf neuer Medikamente am Computer, genaue dreidimensionale Modelle für die an einer Krankheit beteiligten Proteine zu erhalten, um dann Medikamente zu entwerfen, die sich besser an die aktiven Zentren des Proteins binden als das eigentliche Substrat. Andererseits wird so auch die Wirkungsweise schon bekannter Medikamente untersucht.

Entscheidende Voraussetzung dafür ist eine dreidimensionale Strukturaufklärung des Proteins, die die Struktur auf Bruchteile eines Atomdurchmessers genau bestimmen kann. Die einzigen Verfahren, die eine Strukturaufklärung bis auf wenige Picometer leisten können, sind NMR-Spektroskopie und Kristallographie.

Proteine, die kristallographisch untersucht werden sollen, müssen Kristalle bilden. Viele Proteine kristallisieren aber nur unter besonderen Bedingungen, zum Beispiel nur aus besonderen Lösungsmitteln. Im Gegensatz zur Kristallographie, kann mittels NMR die Struktur besonders schonend vermessen werden, da die Probe in einem nahezu natürlichen, wäßrigen Medium bleibt. Daher eignet sich prinzipiell jedes hinreichend lösliche Protein mit einer Masse unter 50 kD für eine NMR-Untersuchung. Außerdem muß in der NMR-Spektroskopie keine Verformung der Struktur durch Gitterkräfte befürchtet werden, wie sie in einem Kristall auftreten. Die vermessene Struktur entspricht daher in einer NMR Untersuchung eher der natürlichen Form, als in einer kristallographischen Untersuchung.

Voraussetzung für diese NMR Messungen ist eine isotoptenmarkierte, heteronuklear vollständig gelabelte Proteinprobe, in der die N- und C- Atome im *backbone* und den Seitenketten des Proteins vollständig durch ihre Isotope ^{13}C und ^{15}N ersetzt wurden, da nur diese Isotope magnetisch attraktiv sind. Diese Proteine kann man aus Bakterienkulturen, die auf gelabeltem Substrat gewachsen sind, erhalten.

NMR Experimente messen durch die chemische Verschiebung σ Strukturinformationen eines Moleküls. In der chemischen Verschiebung ist der einzelne Atomtyp und die chemische Umgebung des Atoms kodiert. Durch Verkettung der Information mehrerer einzelner Atome zu einem Spinsystem mittels einer n-dimensionalen Pulssequenz erhält man Informationen über eine Gruppe benachbarter Atome, d.h. einen Aus-

schnitt der chemischen Struktur. Die Wahl der Pulssequenz bestimmt den Ausschnitt der Primärstruktur den man detektiert. Die Pulssequenz bildet quasi einen Strukturfilter. Ein n -dimensionales Spektrum vermißt dabei nicht nur einen einzelnen Bereich im Molekül, sondern alle topologisch gleichen Stellen.

Die Strukturaufklärung eines Proteins mit NMR Experimenten erfolgt in mehreren Schritten. Zuerst werden mehrere n -dimensionale heteronukleare NMR-Spektren aufgenommen und aufbereitet (*prozessiert*). Die Spektren werden so ausgewählt, daß sie verschiedene überlappende Teilstrukturen des Proteins als Spinsysteme messen. Typische Assignment-Experimente für Proteine messen die Verschiebungen der N, NH, CO, CA und CB Atome und decken dadurch Teilstrukturen im backbone des Proteins innerhalb einer oder zweier benachbarter Aminosäuren ab. Dabei werden nur Experimente aufgenommen, die Magnetisierung entlang der chemischen Bindung (J -Kopplungen) transferieren. Bax, Griesinger und andere [Grzesiek92c, Croasmun94] haben in den letzten Jahrzehnten verschiedene Systeme von Spektren entwickelt, die unterschiedliche Strategien für die Zuweisung implementieren. Für die vorliegende Arbeit wurde ein Experimentset ausgewählt, das für das automatisierte ASSIGNMENT verschiedene Vereinfachungen gegenüber den anderen Sets ermöglicht.

Nach der Messung werden, mittels einer Peak-Picking-Routine oder von Hand, die Koordinaten und das Volumen der Kreuzsignale (Peaks) bestimmt. Für schlechte, d.h. signalschwache oder stark überlagerte Spektren, müssen diese Listen von Hand korrigiert werden, da die Peak-Picking-Routine dann meist versagt.

Der nächsten Schritt ist das sogenannte ASSIGNMENT. In ihm werden die Frequenzen der Peaks den Teilstrukturen im Protein zugeordnet. Jede Teilstruktur entspricht einer Gruppe benachbarter Atome im Molekül. Der Ausschnitt, den ein Peak repräsentiert, wurde durch die Wahl der Pulssequenzen definiert.

Da die chemische Verschiebung eines Atoms hauptsächlich vom Isotop und der chemischen Umgebung in der Primärstruktur des Proteins bestimmt wird und die Sekundär- und Tertiärstruktur geringeren Einfluß auf σ haben, sind sich die Verschiebungen der topologisch identischen Atome der Aminosäuren des gleichen Aminosäuretyps ähnlich. Daher kann, ohne weitere Informationen, der einzelne Peak nicht eindeutig einer bestimmten Stelle im Molekül zugeordnet werden, wenn eine Aminosäure mehrfach im Protein auftritt. In einem größeren Molekül ist diese Mehrdeutigkeit die Regel.

Da sich die Teilbereiche der verschiedenen Spektren aber überlappen, kann man die gleiche Frequenz in den Peaks der verschiedenen Spektren wiederfinden. Die Peaks der verschiedenen Experimente bilden dadurch ein Netz, das das gesamte Rückgrat und einen Teilbereich der Seitenketten abdeckt. Dieses Strukturnetz versucht man während des Assignments zu rekonstruieren. Das Problem, die einzelnen Peaks bestimmten Strukturen im Molekül zu zuordnen, ist das sogenannte ASSIGNMENT-Problem. Für große Proteine wird diese Information so komplex und mehrdeutig, daß sie von Hand nur mit großem Zeitaufwand aufgeklärt werden kann. Je nach Qualität der Spektren und der Größe der Proteine nimmt die Zuweisung bis zu mehreren Monaten in Anspruch.

Wenn das Assignment gelöst ist, wird mit einer zweiten Gruppe von NMR-Experimenten der räumliche Abstand zwischen verschiedenen Aminosäuren gemessen. Dabei werden mittels NOE-Experimenten Peaks erzeugt, die die Frequenzen der beiden Endpunkte (Atome der Aminosäuren) tragen und in ihrem Volumen

die Distanzinformation enthalten. Im Gegensatz zu den Assignment-Experimenten, bei denen die Verknüpfungsinformation nur entlang der chemischen Bindung als J-Kopplung übertragen wird, wird hier die Magnetisierung in einem Schritt auch durch den Raum übertragen. Um die Distanzen bestimmten Atompaa- ren im Protein zuordnen zu können, braucht man hier die eindeutige Zuweisung der einzelnen Frequenzen und Peaks zu einzelnen Atomen in den Aminosäuren aus dem Assignment.

Diese Abstandszuordnungen sind die Grundlage für die *Distance Geometry*- und *Molecular Dynamics* -Rechnungen, die aus den Abstandsinformationen die wahrscheinlichste dreidimensionale Struktur bestimmen. Die Abstandsinformationen werden dabei als Nebenbedingungen in der Berechnung verwendet.

In den letzten Jahren wurden verschiedene Ansätze zu Lösung des N-ASS Problems veröffentlicht. Die Ansätze reichen von einer graphischen Benutzerführung bis zu Batchprogrammen, die eine Zuweisung semiautomatisch erzeugen.

Für die semiautomatische Zuweisung werden zuerst die Peaks in Gruppen zusammengefaßt. Die Zuordnung zu den Aminosäuren wurde in zwei grundlegend verschiedenen Ansätzen versucht.

Die Programme CONTRAST [Markley94] und AUTOASSIGN2 [Zimmerman95] versuchen die gesamte Zuweisung durch Verlängerung schon gefundener Sequenzen zu erreichen. Dabei müssen sie zwangsläufig alle Kombinationsmöglichkeiten ausprobieren, um die beste, d.h. vollständigste Zuweisung zu finden. Für große Proteine (>100 Aminosäuren), wird die Anzahl der zu testenden Zuweisungen so groß, daß sie nicht mehr in akzeptabler Zeit getestet werden können.

Dieses Zeitproblem umgehen Lukin *et al.* in [Lukin97] und PASTA von Leutner *et al.* [Leutner98] indem sie auf die Garantie der Vollständigkeit der gefunden Lösung verzichten und ein heuristisches Verfahren benutzen. Lukin *et al.* benutzen einen *simulated annealing* Algorithmus, während in PASTA *threshold accepting* als Verfahren verwendet wird. Außer in der Akzeptanzfunktion unterscheiden sich die Algorithmen auch in der Gruppierung der Peaks und den erlaubten Veränderungen, den sogenannten Zügen, die aus einer gefundene Lösung eine neue Lösung erzeugen. Beide Verfahren finden eine optimale Lösung, wenn man vorher die Peakgruppen so auswählt, daß pro Aminosäure genau eine Peakgruppe existiert und jeder Peak in nur einer Gruppe auftaucht. Die Verfahren können zwar auf die Zuweisung einer Aminosäure verzichten, nicht aber auf die einer Peakgruppe. Außerdem müssen alle Gruppen schon in der Startzuweisung vorhanden sein. Diese Programme können daher nur die Verteilung der Gruppen auf die Aminosäuren verändern und optimieren. Die Auswahl und Zusammensetzung der Gruppen können sie nicht optimieren. In mehrdeutigen Spektren mit mehrfacher Überlappung der Peaks und einem schlechten Signal/Rausch-Verhältnis muß diese Entscheidung daher schon vor der Optimierung der Zuweisung von Hand vorgenommen werden.

In Kapitel 1 wird eine Definition des NMR-Assignmentproblems (N-ASS) vorgestellt und die Theorie des Assignmentproblems mit Blick auf die Implementierung eines Optimierungsverfahrens diskutiert. Dazu werden in Abschnitt 1.2 unterschiedliche Implementierungen aus der Literatur untersucht, um eine geeignete Basisstruktur für das kombinatorische Optimierungsverfahren zu finden. Dabei wird sich herausstellen, daß nur eine Gruppierung der Peaks in Protospinsysteme ein erfolgreiches Optimierungsverfahren verspricht.

Danach wird die Größe und Struktur des Lösungsraumes der Optimierungsaufgabe mit dieser Struktur untersucht und anhand von Praxisdaten aus verschiedenen Proteinen und Assignmentproblemen berechnet.

Im Anschluß werden die theoretischen Grundlagen verschiedener kombinatorischer Optimierungsverfahren vorgestellt. Dabei wird ein Blick auf ein verwandtes Problem, das *traveling salesman* Problem (TSP), und die daran erprobten Verfahren geworfen. Dabei stellt es sich heraus, daß das N-ASS aus verschiedenen Gründen schwieriger als das TSP ist. Daher können die Erfahrungen aus der TSP-Literatur nur als Anregung für die Implementierung des N-ASS benutzt werden. Deshalb wird in dieser Arbeit ein neuer Algorithmus vorgestellt, der die Vorzüge von drei verschiedenen erprobten Algorithmen vereint.

In Kapitel 2 wird die Implementierung der ausgewählten Optimierungsverfahren vorgestellt. Um die Optimierung implementieren zu können, müssen die Eingabedaten vorbereitet werden. Dazu werden verschiedene Algorithmen vorgestellt, die die einzelnen Schritte ab dem *peak picking* bis zum Assignment unterstützen und automatisieren. Die Algorithmen automatisieren die Suche nach den Spinsystemen und können sie den einzelnen Aminosäuren zuweisen. Dabei wird die Auswahl der Peakgruppen erst während der Optimierung der Zuweisung getroffen. Außerdem wird eine Bewertungsfunktion für das Assignment und die Spinsysteme vorgestellt. Danach wird die Implementierung des RANDOM und des GENETIC Algorithmus erklärt.

Kapitel 3 überprüft die Korrektheit der Implementierung und den Einfluß von Fehlern in den Ausgangsdaten auf das Ergebnis der Optimierung. Außerdem wird eine optimale Einstellung der frei wählbaren Parameter des RANDOM und GENETIC Algorithmus gesucht. Die optimale Parametrisierung muß dabei zugleich robust und schnell sein, um die Lösung auch unter Praxisbedingungen zu finden. Neben den Parametern werden auch verschiedene Varianten des Crossover-Operators für GENETIC. Kapitel 3.6.2 vergleicht das Ergebnis dieser Untersuchung mit der theoretischen Vorhersage aus Kapitel 2.10.3 und erklärt die Unterschiede.

Für GENETIC wird außerdem untersucht, ob man die Parallelität des genetischen Algorithmus nicht zu einer Verkürzung der Rechenzeit oder zu einer Steigerung der Robustheit mit schlechten Ausgangsdaten nutzen kann. Dazu wird der Parameterraum in mehrere Teilbereiche aufgeteilt, in denen der Algorithmus durch die Parametrisierung dem einzelnen Individuum unterschiedlich viel CPU-Zeit zuteilt. Kapitel 3.6.8.1.3 stellt die Ergebnisse des Vergleichs der ratenbegrenzten Konfiguration mit anderen Konfigurationen vor und bewertet den Nutzen der einzelnen Konfigurationsvarianten.

Kapitel 4 wird den Algorithmus mit dem Programm (PASTA) von Leutner *et. al.* anhand eines theoretischen Datensatzes vergleichen.

Im vorletzten Kapitel 5 wird GENETIC an einem realen Problem getestet. Dabei wird die Berechnung in mehreren Stufen verfeinert und mit der unabhängig erstellten, manuellen Lösung verglichen.

Kapitel 1 Theorie

Im folgenden Abschnitt werden die theoretischen Grundlagen der Optimierungsaufgabe diskutiert.

1.1 Das ASSIGNMENT Problem

Die folgende Definition setzt voraus, daß für eine Proteinlösung ein Satz von 3D NMR-Experimenten aufgenommen wurde. Die resultierenden Spektren wurden außerdem bereits fourier-transformiert und prozessiert. Die 3D-Koordinaten der intensivsten, lokalen 3D-Maxima und Minima im Spektrum sind die Peaks.

Definition: **ASSIGNMENT Problem: N-ASS**. Suche die wahrscheinlichste Zuweisung zwischen den Atomen im Protein und den Frequenzen der Peaks im Spektrum, entsprechend den Transferwegen im NMR-Spektrum.

Zwischen dem *peak picking* und der Zuweisung werden die Peaks aus den verschiedenen Spektren meist, in einem vorbereitenden Schritt, zu Protospinsystemen zusammengefaßt. Die Regeln, nach denen die Protospinsysteme erstellt werden, hängen dabei von den NMR-Experimenten ab.

Definition: **Protospinsystem**: Ein Protospinsystem ist eine Gruppe von Peaks, die einen experimentabhängigen Satz von Bedingungen erfüllt. Durch die Nebenbedingungen wird den Peaks gleichzeitig eine Funktion im Protospinsystem zugewiesen. Typische Nebenbedingungen fassen die Peaks einer Aminosäure, d.h. die mit der gleichen HN Frequenz zusammen.

In der Praxis wird die manuelle Zuweisung iterativ ausgeführt. Sowohl das *peakpicking*, als auch die Protospinsystemsuche, sind zu keinem Zeitpunkt wirklich abgeschlossen, sondern werden von zu einem späteren Zeitpunkt gefundenen Fakten wieder in Frage gestellt und erneut bewertet.

```

Algorithmus: Manuelles ASSIGNMENT
parameter:
  P      Protein
  Exp    Spektren
  S      Zuweisungstabelle
  S_best Zuweisungstabelle
return:
  S      Zuweisungstabelle
variablen:
begin
  loop until satisfied
    suche nicht gepickte Peaks im Spektrum.
    fasse Peaks zu Protospinsystemen zusammen,
    dabei können auch bestehende und zugewiesene Protospinsysteme zerlegt
    oder schon gepickte Peaks gelöscht werden.
    bestimme den möglichen AS-Typ und die möglichen Spinsystemnachbarn.
    weise die Protospinsysteme einem Bereich im Protein zu.
    ordne die Qualität der aktuellen Zuweisung relativ zu den früher gefundenen Zuweisungen
ein.
  S_best = S wenn S besser als S_best ist.
end loop
end

```

1. Die harten theoretischen Nebenbedingungen des Experiments und des Proteins *müssen* in der Zuweisung erfüllt sein.
d.h. Die Magnetisierungstransferpfade müssen eingehalten sein, Proline erzeugen keine 1HN –, Glycine keine CB–Frequenz, relative Vorzeichen der Peakvolumen usw.
2. Die weichen theoretischen Nebenbedingungen des Experiments und des Proteins *sollten* erfüllt sein. Ein Beispiel sind die Volumenverhältnisse zwischen Peaks im gleichen Experiment.
3. Die Zuweisung soll möglichst viele Peaks und Frequenzen erklären.
4. Peaks sollen möglichst nur einem Atom zugeordnet werden.
5. Die Qualität der Peaks soll möglichst hoch sein.
6. Die Frequenz eines Atoms soll in den verschiedenen Peaks möglichst gut übereinstimmen.
7. Die Zuweisung soll möglichst zusammenhängend sein. Eine Zuweisung, die einen durchgehenden Abschnitt des Proteins zuweist, ist besser als eine, die gleich viele Aminosäuren erklärt, aber aus zwei Teilen besteht.
8. Die CA– und CB–Frequenzen der Spinsysteme sollen mit der bekannten Frequenzverteilung der Aminosäure, der sie zugewiesen wurden, übereinstimmen.

Tabelle 1–1 Die Bewertungskriterien für ein manuelles Assignment.

Gesucht ist die Zuweisung, die gleichzeitig die meisten Peaks zuweist, am wenigsten Peaks doppelt nutzt und die bekannten Frequenzmuster der Aminosäuretypen am besten beachtet. Dies führt zu einer 1:n Zuweisung, da die gleiche Frequenz von mehreren Atomen stammen kann, jedes Atom aber nur eine Frequenz besitzt.

Im ersten Schritt werden dazu Peaks mit gleichen Frequenzen in Gruppen, den sogenannten Protospinsystemen, zusammengefaßt. Jedes Protospinsystem muß noch weitere Nebenbedingungen einhalten, die sich aus den theoretischen Anforderungen der verwendeten NMR–Experimente ergeben. Beim N–ASS gehören die Peaks eines Protospinsystems zur gleichen Aminosäure oder zu ihrem i–1 Nachbarn in der Proteinsequenz.

Es gibt keine absolute, theoretisch herleitbare Qualitätsfunktion für die Bewertung während des manuellen Assignments. Eine Zuweisung ist dann wahrscheinlich, wenn sie die Kriterien in Tabelle 1–1 erfüllt. Die relative Bewertungsreihenfolge der Kriterien ist nicht festgeschrieben, sondern hängt vom Erfahrungshintergrund der Person ab, die die Zuweisung vornimmt. Auch die Bewertung einer Verletzung eines Kriteriums ist nicht festgeschrieben. Nur das erste Kriterium darf nicht verletzt werden.

Ein Grund für das Fehlen einer theoretischen Bewertungsfunktion ist die mangelnde Unterstützung für eine solche Funktion in der zugänglichen Software wie FELIX (MSI/Biosym) oder Aurelia (Neidig *et. al.*, [Neidig95]), die weder eine direkte Dokumentation noch eine kontinuierliche Bewertung der einzelnen Kriterien unterstützt. Eine kontinuierliche Bewertung des Assignments ist manuell nicht durchführbar, da tausende von Zuweisungen bewertet werden müßten.

1.2 Automatisches Assignment

Um die Definition des manuellen Assignments auf Seite 5 in einen Algorithmus umzusetzen, muß die Problemstellung exakter definiert werden. Im folgenden werden daher der Begriff der Zuweisung, der Qualitätsfunktion und des Automatischen Assignments definiert. Vorgegeben sind ein Protein Pr und ein Datensatz mit Peaks aus NMR-Experimenten Ex .

Definition: NMR-Assignment, Zuweisung: Eine Zuweisung S_i ist eine Zuordnungsvorschrift, die Peaks in den Spektren des experimentellen Datensatzes Ex entweder keinem oder einem bis mehreren Atomen im Protein Pr zuordnet. Die Zuordnung muß die harten physikalischen Nebenbedingungen der NMR-Experimente und der Probe erfüllen.

Die Bewertungsfunktion Q muß S_i so bewerten, daß die Ordnungsreihenfolge von einer Bewertung nach den Kriterien in Tabelle 1–1 nicht unterschieden werden kann. Die Bewertungsfunktion wird auch als Qualitätsfunktion bezeichnet.

Definition: Bewertungsfunktion $Q(S_i, Pr, Ex)$: Q ist eine Funktion, die eine Zuweisung S_i , unter Berücksichtigung des Proteins Pr und des Experimentsets Ex auf einen Qualitätswert im Bereich 0 bis $+\infty$ abbildet. Bei gleichem Datensatz und Protein ist Q eine Ordnungsfunktion. Für zwei Zuweisungen S_1 und S_2 gilt daher für eine Bewertung nach den Kriterien in Tabelle 1–1:

$Q(S_1) = Q(S_2)$, wenn S_1 identisch mit S_2 ist.

$Q(S_1) > Q(S_2)$, wenn S_1 nicht identisch mit S_2 ist, aber S_1 besser als S_2 bewertet wird.

$Q(S_1) = Q(S_2)$, wenn S_1 nicht identisch mit S_2 ist, aber S_1 gleich S_2 bewertet wird.

D.h. der Zahlenwert von Q nimmt mit steigender Qualität zu.

Mit diesen Definitionen lautet das NMR Assignment Problem dann:

Definition: NMR Assignment Problem (abgekürzt N-ASS): Suche die Zuweisung(en) S_i bei der die Qualitätsfunktion $Q(S_i, Pr, Exp)$ maximal ist.

Die vorliegende Arbeit untersucht einen Algorithmus, der das N-ASS Problem effizient für theoretische und reale Spektren und Proteine löst.

1.2.1 Das Experimentset

Das Experimentset besteht aus einer Gruppe von NMR Experimenten, die für eine Zuweisung an einer Proteinlösung aufgenommen werden. Für die Messungen wurden die verbesserten Pulssequenzen aus der Dissertation von Markus Maurer [Maurer2000] verwendet. Für die vorliegende Arbeit wurden die Experimente D-HNCO [Maurer2000, Kay90, Grzesiek92b], ein 3D-HNCA [Maurer2000, Archer91], ein 3D-HN(CO)CACB [Maurer2000, Grzesiek92a] und ein 3D-HNCACB [Maurer2000, Grzesiek92a] ausgewählt, da sich bei ihnen die Peaks eines Protospinystems über die ^{13}N - und ^1HN - Frequenzen besonders leicht zusammenfassen lassen, da diese Frequenzen in allen Peaks vorhanden sind.

Dieses Experimentset wird im folgenden als *Bax Experimentset* bezeichnet, da die ursprüngliche Form dieser Experimente in der Gruppe um Ad Bax [Kay90, Archer91, Grzesiek92a, Grzesiek92b] entwickelt wurde. Die Details des Experimentsets werden in Kapitel 2.3 besprochen.

1.2.2 Die Zuweisung

Eine manuelle Zuweisung wird als eine Tabelle dargestellt, die eine Zeile für jede Aminosäure im Protein und eine Spalte für jeden Atomtyp der Aminosäure enthält, das von den NMR-Experimenten gemessen werden kann. Die Zellen der Tabelle enthalten die Frequenz der Atome in [ppm] d.h. die Frequenz relativ zu einer Referenzfrequenz oder sie sind leer. Eine Zelle kann jede Frequenz aufnehmen, die im Spektrum auftritt und mit den Bedingungen des Experimentsets übereinstimmt. Die Anzahl der Zeilen ist gleich der Anzahl der Aminosäuren im Protein.

Diese Darstellung entspricht nicht den tatsächlich gemessenen Entitäten. Die Frequenzen der Atome werden im Peakpicking nicht unabhängig von einander bestimmt, sondern treten als mindestens $n+1$ -dimensionale Tupel von Meßwerten auf, da die Peaks jeweils das n -dimensionale Maximum in einem Spektrum sind. Die ersten n Dimensionen sind die Koordinaten, d.h. Frequenzen der Peaks. Die $n+1$ -te Dimension ist entweder die Höhe des Peakzentrums oder das Volumen des Peaks. Weitere Dimensionen können noch hinzukommen, wenn weitere Eigenschaften bestimmt werden.

Eine Implementierung der N-ASS Zuweisung muß daher die Peaks als kleinste Einheit berücksichtigen. Eine automatische Implementierung wird daher eine Tabelle aus einer Zeile pro Aminosäure und einer Spalte pro möglichem Spinsystem erzeugen. Die Zellen der Tabelle können entweder einen Peak enthalten oder leer sein. Diese Tabelle kann jederzeit in die Frequenztafel der manuellen Zuweisung umgerechnet werden, indem aus den Frequenzen der Peaks, die vom gleichen Atom herrühren, der Mittelwert gebildet wird.

1.2.3 Granularität der Implementierung.

Das N-ASS erfordert ein kombinatorisches Optimierungsverfahren, da die zu optimierende Eigenschaft durch eine Auswahl von Elementen aus einer abzählbaren Menge \mathbf{P} einzelner unterscheidbarer Elemente zusammengesetzt werden muß. Um das N-ASS als kombinatorisches Optimierungsverfahren zu implementieren, muß man entscheiden, welche Daten im Algorithmus kombiniert und vertauscht werden. Die Wahl der Daten hat einen entscheidenden Einfluß auf die Qualität der Lösungen, die Geschwindigkeit der Berechnung und die Robustheit des Algorithmus.

Als kleinste kombinierbare Datenstruktur bieten sich die Peaks an, da sie die im *peak picking* gewonnenen, Basisdaten sind. Einzelne Frequenzen können nicht vertauscht werden, da sie nur im Zusammenhang mit den restlichen Frequenzen des n -dimensionalen Peaks einen Sinn ergeben. Man kann die Peaks aber auch zu größeren Gruppen zusammenfassen und diese Gruppen als kombinierbare Einheiten im Optimierungsverfahren einsetzen. Dabei erhöht man den Organisationsgrad der kombinierten Datenstruktur, indem man die Einheiten der vorhergehenden Stufe zu einer neuen Datenstruktur zusammenfaßt.

Das N-ASS kann so auf verschiedenen Komplexitätsstufen als kombinatorisches Optimierungsverfahren implementiert werden. Die verschiedenen Stufen unterscheiden sich durch den Organisationsgrad der Peaks. Von Stufe zu Stufe nimmt der Organisationsgrad zu. Dabei entstehen die Elemente der Stufe n durch Gruppierung der Elemente der Stufe $n-1$. Den höchsten möglichen Organisationsgrad hat die gesamte Sequenz als eine Einheit.

Die nächst komplexeren Einheiten, nach den Peaks, sind einzelne Protospinsysteme, die, mittels einer Mustersuche, aus den Peaks gebildet werden. Auf der nächst höheren Stufe kann man mehrere Spinsysteme zu einer Teilsequenz zusammenfassen und diese Teile permutieren.

Welche Stufe angemessen ist, hängt von der Qualität der Spektren und dem untersuchten Protein ab.

| Stufen des Organisationsgrades | permutierte Struktur | Substrukturen |
|--------------------------------|---------------------------------|-----------------------------|
| 1 | Peaks oder Links zwischen Peaks | Frequenzen, Volumen |
| 2 | Protospinsysteme | Peaks |
| 3 | verkettete Protospinsysteme | Protospinsysteme |
| 4 | die gesamte Sequenz | verkettete Protospinsysteme |

Tabelle 1–2 Organisationsgrad und Strukturname

- Vorteile der ersten Stufe.

Permutieren der Peaks entspricht der natürlichen Granularität der Basisdaten. Die Implementierung ist eine Tabelle, die der Ergebnistabelle des manuellen Assignments entspricht. Die Elemente sind die gemessenen Entitäten. Die Aggregation der Elemente zu den nächst höheren Komplexitätsstufen übernimmt der Optimierungsalgorithmus durch seine Bewertungsfunktion und die Mutationsaktionen.

Die erste Komplexitätsstufe kann aber nur schwer mit Filtern auf der Protospinsystemebene behandelt werden. Diese Filter müßten nach jeder Veränderung d.h. jedem Zyklus neu angewandt werden. Die Protospinsysteme müssen selbst dann neu bewertet werden, wenn sie schon früher einmal bewertet wurden. Protospinsysteme, die zur gleichen Konkurrenzgruppe gehören, können nicht gemeinsam betrachtet (bewertet) werden, da sie nie gleichzeitig vorliegen. Daher können konkurrierende Peakgruppen nicht erkannt und getrennt werden! Dabei tritt aber auch kein Verlust suboptimaler Protospinsysteme durch zu enge Filter ein.

Diese Implementierung wurde von Lukin *et al* [Lukin97] versucht. Sie fanden, daß diese Implementierung fast nie zum globalen Optimum konvergiert. Lukin *et al.* schließen daraus, daß durch zufällig verknüpfte, entartete Peaks zusätzliche lokale Optima entstehen, die durch tiefe, schwer zu überwindende Barrieren getrennt sind. Dadurch bleibt der Optimierungsalgorithmus schon in Bereichen stecken, die manuell leicht gelöst werden können.

Diese Stufe ist daher nur dann sinnvoll, wenn keine Filter notwendig sind. Die gemessenen Spektren dürfen daher nur wenig von den theoretischen abweichen.

- Vorteile der zweiten Stufe:

In der zweiten Stufe werden die Peaks innerhalb der gleichen oder benachbarten Aminosäure (d.h. die in einer Zeile der Assignmenttabelle) zu einem Protospinsystem zusammengefaßt. Auf diese Protospinsysteme kann man dann weitere Bearbeitungsschritte anwenden, zum Beispiel Filter, die alle Protospinsysteme einer Aminosäure gemeinsam betrachten und eine optimierte Vorauswahl treffen. Alle Nachteile der ersten Stufe werden hier zu Vorteilen. Protospinsysteme werden nur einmal erzeugt und bewertet, und können mit beliebig vielen Filtern nachbearbeitet werden.

Nachteil ist der Verlust pseudo-suboptimaler Protospinsysteme durch zu enge Filter. Daher kann es vorkommen, daß die globale theoretische Lösung nicht mehr im Lösungsraum vorhanden ist, da eines der lokal suboptimalen Protospinsysteme durch die Filter entfernt wurde, das aber als einziges in die globale Lösung paßt. Ob solche Datensätze im manuellen Assignment gelöst werden, ist fraglich, denn hier steht man vor dem gleichen Problem. Manuell versucht man dieses Problem durch ein iteratives Vorgehen zu lösen. Im automatischen Assignment kann dies durch iteratives Verbessern der Filter erreicht werden.

Diese Stufe wird von Leutner et. al. in PASTA [Leutner98] und von Lukin *et al* [Lukin97] benutzt. Dabei unterscheiden sich die Protospinsysteme in ihrem Umfang und ihrer Bedeutung. PASTA benutzt Protospinsysteme, die jeweils die Peaks mit den Frequenzen der i -ten Aminosäure und des $i-1$ -Nachbarn erfassen, während Lukin dieses Protospinsystem in zwei Protospinsysteme aufteilt, die jeweils nur die Frequenzen der i - oder der $i-1$ -Aminosäure enthalten.

- Vorteile der dritten Stufe:

Diese Implementierung wurde in [Markley94, Fesik94, Ikura90a, Zimmermann95] untersucht. Diese Implementierung ist nur für qualitativ hochwertige Spektren mit wenigen überlappenden Protospinsystemen durchführbar, da die Anforderungen an den Speicherplatz exponentiell steigt, wenn man auch suboptimale Protospinsystemketten (Sequenzen) berücksichtigen (speichern) will. Außerdem müssen vorher alle Filter, die für die zweite Stufe verwendet werden, angewandt werden, um ein möglichst kleines Set von zu verknüpfenden Protospinsystemen zu erhalten. Dabei tritt wieder der oben genannte Verlust suboptimaler Protospinsysteme durch zu enge Filter ein. Danach müssen zusätzlich die entsprechenden Filter auf die erzeugten Sequenzen angewandt werden, dabei tritt erneut ein weiterer Verlust der Interpretationsmöglichkeiten auf. Im Endeffekt ist diese Implementierung nur anwendbar, wenn die globale theoretische Lösung an jeder Aminosäure gleichzeitig auch das lokale Maximum ist. Zumindest für die AS-Typenerkennung ist diese Bedingung in keinem der untersuchten Spektren erfüllt.

In dieser Arbeit werden daher Protospinsysteme als Elemente der Optimierung verwendet. Diese Implementierung ist mit der geforderten Peaktabelle vereinbar.

1.2.4 Zuweisung und Lösungsraum

Jede mögliche Zuweisung ist eine Lösung S_i im Lösungsraum S des N-ASS Problems. Die S_i werden im folgenden Text auch Zustände oder Individuen genannt. Der Lösungsraum ist in der Implementierung auch der Zustandsraum.

Eine Lösung S_i des N-ASS besteht aus einer Permutation der Protospinsysteme über die Positionen der Aminosäuren. Eine Implementierung eines Zustandes ist eine Vektor, der für jede Aminosäure im Protein eine Position enthält, die entweder leer ist oder mit einem Protospinsystem belegt sein kann. Dabei ist, ohne Nebenbedingungen, jede Kombination aus Protospinsystemen und leeren Stellen erlaubt.

Das N-ASS erfordert Nebenbedingungen, die die Kombination von benachbarten Protospinsystemen aufgrund der Frequenzen der Peaks beschränken und dabei verbieten, daß ein Peak mehrfach im gleichen Individuum verwendet wird, ohne eine entsprechende Entartung zu besitzen. Diese Beschränkung "vererben" sie an die Protospinsysteme. Jedes Protospinsystem darf nur entsprechend der Entartung des Peaks

mit der niedrigsten Entartung im Vektor auftauchen. D.h. nur Protospinsysteme, in denen alle Peaks mindestens den Entartungsgrad 2 besitzen, können zweifach in das Protein aufgenommen werden.

Jede Lösung muß noch verschiedene zusätzliche Nebenbedingungen erfüllen, die durch das berechnete Problem definiert werden. Dabei werden einzelne Lösungen, die ohne Nebenbedingungen zulässig sind, im Optimierungsproblem mit Nebenbedingungen zu illegalen Lösungen. Alle Lösungen, die die Nebenbedingungen erfüllen, bilden den Raum der *erfüllbaren Lösungen* \mathbf{S}^e . \mathbf{S}^e ist eine Untermenge des allgemeinen Lösungsraumes ohne Nebenbedingungen \mathbf{S} .

$$\mathbf{S}^e \subseteq \mathbf{S} \quad (1-1)$$

\mathbf{S}^n ist der Raum der *nicht-erfüllbaren Lösungen*. Es gilt:

$$\mathbf{S} = \mathbf{S}^e \cup \mathbf{S}^n \quad (1-2)$$

$$\emptyset = \mathbf{S}^e \cap \mathbf{S}^n \quad (1-3)$$

Der Lösungsraum ohne Nebenbedingungen ist daher mit Inseln aus verbotenen Zuständen aus \mathbf{S}^n durchsetzt.

1.2.5 Die Größe des Lösungsraumes der Optimierungsaufgabe

Alle Protospinsysteme, die aus den Peaklisten der Experimente erzeugt werden können, bilden den Protospinsystempool. Jede Kombination von Protospinsystemen bildet eine mögliche Lösung \mathbf{S}_i im Lösungsraum \mathbf{S} des Optimierungsproblems. Die Aminosäuren entsprechen den belegbaren Positionen, die Protospinsysteme den Elementen. Eine Lösung kann mehrere leere Stellen enthalten. Da doppelt zugewiesene Protospinsysteme nur selten auftreten, wird für die folgende Größenberechnung vereinfacht angenommen, daß jedes Protospinsystem nur einmal vorkommen kann. Wenn die Protospinsysteme entartet sind, d.h. mehrfach auftreten können, wird dadurch der Lösungsraum größer.

Der Lösungsraum hängt daher von der Zusammensetzung des Protospinsystempools ab. Unter idealen Bedingungen, wenn die gemessenen Frequenzen der Peaks exakt mit den theoretischen übereinstimmen, die Frequenzen des Ca und Cb Atoms innerhalb des Erwartungsbereichs ihres Aminosäuretyps liegen, alle Peaks vorhanden sind und keine falschen Peaks (noise-peaks) existieren, entstehen nur *perfekte*, d.h. theoretische Protospinsysteme. Der perfekte Protospinsystempool enthält für jede Aminosäure des Proteins maximal ein Protospinsystem. Unter realen Meßbedingungen entstehen alle oben genannten Defekte. Die Protospinsysteme müssen daher mit einer Toleranz gegenüber fehlerhaften Protospinsystemen gesucht werden. Daher wird pro Aminosäure meist mehr als ein Protospinsystem als Möglichkeit in den Pool aufgenommen. Der Pool enthält dann auch Fehldeutungen.

| | |
|--------------------|--|
| E | Element, das einer Position in der Permutation zugeordnet wird. (Protospinsystem) |
| p | Anzahl der belegbaren Positionen in einer Permutation. (zuweisbare Aminosäuren im Protein) |
| k | Anzahl der verteilbaren Elemente. (Protospinsysteme) |
| f | Anzahl der <i>leeren</i> Positionen in einer Lösung ($0 \leq f \leq p$) |
| b | Anzahl der <i>belegten</i> Positionen in einer Lösung ($0 \leq b \leq p$ und $b+f=p$) |
| \mathbf{S}_0 | Der leere Zustand. |
| $\mathbf{S}_{b,p}$ | eine einzelne Lösung mit b Elementen und p Positionen. ein Zustand im Zustandsraum. |

| | |
|---------------------|---|
| T_{S_1, S_2}^{op} | Operation, die S_1 in S_2 umwandelt. $S_1 \in M_i \wedge S_2 \in M_j$ |
| M_b | Menge aller $S_{b,p}$ mit b belegten Positionen ohne Wiederholung eines Elements. |
| S_b^c | Menge aller $S_{b,p}$ mit b belegten Positionen, die die gleichen Elemente enthalten. |
| N | Nachbarschaft |
| $a(X)$ | Anzahl der Elemente in der Menge X |

Die Anzahl der möglichen Zustände im Lösungsraum hängt von der Anzahl der belegbaren Positionen, den möglichen Protospinsystemen, die einer Position zugeordnet werden können, und den Nebenbedingungen für die Kombination von Zuordnungen ab. Die Permutationen mit gleichem Belegungsgrad b bilden die Menge M_b .

Ohne Nebenbedingungen für die Anordnung der Elemente gilt für die Anzahl der möglichen Kombinationen $a_k(M_p)$ für eine vollständig belegte ($f=0$, $b=p$) Permutation:

$$a_k(M_p) = \frac{k!}{(k-p)!} \quad \begin{array}{l} \text{mit } k > p \text{ und } f=0 \\ \text{(mit Fehldeutungen)} \end{array} \quad (1-4)$$

$$a_k(M_p) = k! \quad \begin{array}{l} \text{mit } k = p \text{ und } f=0 \\ \text{(nur die perfekten Protospinsysteme)} \end{array} \quad (1-5)$$

Eine Permutation von b aus k Elementen auf p Positionen kann man in zwei Schritte, in die Wahl der belegten Positionen und die Wahl der zugewiesenen Elemente, zerlegen. Die Anzahl der möglichen Zustände $a(M_b)$ ist dann das Produkt der beiden Mengen.

Die Anzahl der Elementvariationen, d.h. *unter Beachtung* der Reihenfolge der Elemente, ist

$$a_E(M_b) = \frac{k!}{(k-b)!b!} \quad (1-6)$$

Die Anzahl der Positionskombinationen, d.h. *ohne Beachtung* der Reihenfolge der Positionen, ist

$$a_{pos}(M_b) = \frac{p!}{(p-b)!} \quad (1-7)$$

Für eine Permutation mit b belegten Positionen und k möglichen Elementen ist daher die Anzahl der möglichen Zustände

$$a(M_b) = a_E(M_b) \cdot a_{pos}(M_b) = \frac{p!}{(p-b)!} \cdot \frac{k!}{(k-b)!b!} \quad (1-8)$$

Die Gesamtzahl aller Permutationen ohne Nebenbedingungen für $b=0$ bis $b=p$ ist daher

$$a(M_{b_{0..p}}) = \sum_{b=0}^p \frac{p!}{(p-b)!} \cdot \frac{k!}{(k-b)!b!} \quad (1-9)$$

| Protein | Länge | Belegbare Aminosäuren p | Nachbarschafts- verknüpfungen (LINK) | Protospinsysteme k | | |
|----------------------|-------|---------------------------|---|----------------------|------------|---------------------|
| | | | | perfekt | generierte | mit AS Typen, je AS |
| CheY | 128 | 124 | 118 | 124 | 2314 | 548 |
| C21w.hf | 148 | 145 | 142 | 145 | 6125 | >600 |
| Trigger mit HIS Tag | 113 | 110 | 107 | 107 | 158 – 224 | 14 |
| Trigger ohne HIS Tag | 103 | 100 | 97 | 100 | 158 – 224 | 14 |

Tabelle 1–3 Parameter p und k für die untersuchten Proteine und Konfigurationen ohne Nebenbedingungen. "belegbare Aminosäuren" sind die Aminosäurepositionen, die ein Protospinsystem des Experimentsets enthalten können (Gl. 2–5). "perfekt" bezeichnet die Anzahl der Spinsysteme, die theoretisch existieren sollten. "Generiert" ist die Anzahl, die mit der Standardkonfiguration der Protospinsystemsuche bei größter Toleranz gefunden wurde. »mit AS Typen« ist die Anzahl, die im Mittel, nach der Reduktion der generierten Protospinsystemlisten des AS-Caches mittels der AS Typenerkennung, einer Aminosäure zugewiesen wurde. Die Anzahl der möglichen Protospinsysteme je Aminosäure sinkt dabei durchschnittlich um eine Größenordnung.

| b | CheY, perfekt | CheY, generiert | C21w.hf, perfekt | C21w.hf, generiert | Trigger ohne HIS, generiert | Trigger ohne HIS, mit AS Typen |
|--------------|---------------------------|---------------------------|---------------------------|---------------------------|-----------------------------|--------------------------------|
| 0 | 1 | 1 | 1 | 1 | 1 | 1 |
| 1 | 15376 | 286936 | 21025 | 888125 | 16274 | 1442 |
| 2 | 116311752 | 40816502532 | 217987200 | 391599180000 | 130305918 | 956046 |
| 3 | $\sim 5.77 \cdot 10^{12}$ | $\sim 3.84 \cdot 10^{15}$ | $\sim 1.48 \cdot 10^{12}$ | $\sim 1.14 \cdot 10^{17}$ | $6.84 \cdot 10^{11}$ | $3.86 \cdot 10^8$ |
| ... | | | | | | |
| $b_{\max}-1$ | $\sim 1 \cdot 10^{209}$ | $\sim 1 \cdot 10^{414}$ | $\sim 1 \cdot 10^{254}$ | $\sim 1 \cdot 10^{546}$ | $\sim 1 \cdot 10^{207}$ | $\sim 1 \cdot 10^{12}$ |
| b_{\max} | $\sim 1 \cdot 10^{207}$ | $\sim 1 \cdot 10^{415}$ | $\sim 1 \cdot 10^{251}$ | $\sim 1 \cdot 10^{548}$ | $\sim 1 \cdot 10^{207}$ | $\sim 1 \cdot 10^{10}$ |
| Σ | $\sim 1 \cdot 10^{209}$ | $\sim 1 \cdot 10^{415}$ | $\sim 1 \cdot 10^{254}$ | $\sim 1 \cdot 10^{548}$ | $\sim 1 \cdot 10^{208}$ | $\sim 1 \cdot 10^{40}$ |

Tabelle 1–4 $a(M_i)$ bei verschiedenen Belegungsgraden b für die untersuchten Proteine und Konfigurationen ohne Nebenbedingungen (entspricht der allCX Konfiguration oMa). Die letzte Zeile enthält die Summe aller Zustände $a(S)$. Es liegt in der gleichen Größenordnung wie $\max(a(M_b))$.

Durch Nebenbedingungen, die die erlaubten Positionen je Protospinsystem einschränken, wird die Anzahl der Zustände in jeder M_n Ebene reduziert. Für das N-ASS gibt es zwei Gruppen von Nebenbedingungen, die Ressourcenkonkurrenz und die Positionsbeschränkung durch die Aminosäuretypen. $a(M_i)$ in Tabelle 1–4 ist daher die Obergrenze für die Anzahl der Zustände mit Nebenbedingungen. Die wahre Anzahl der Zustände unter Beachtung der Nebenbedingungen liegt niedriger als $a(M_i)$. Sie hängt von den Nebenbedingungen ab und kann allgemein nur durch direktes Abzählen aller Zustände berechnet werden. Selbst für "Trigger, generiert", mit nur 10^{208} Zuständen (verglichen mit CheY, siehe Tabelle 1–4), ist dies unmöglich.

Eine Abschätzung über die gemittelte Anzahl der Protospinsysteme pro Aminosäure ergibt für "Trigger", nach Berücksichtigung der AS-Typenbeschränkungen, daß diese Reduktion aber sehr effizient ist (hier 168 Größenordnungen)!

1.2.6 Topologie des Zustandsraumes

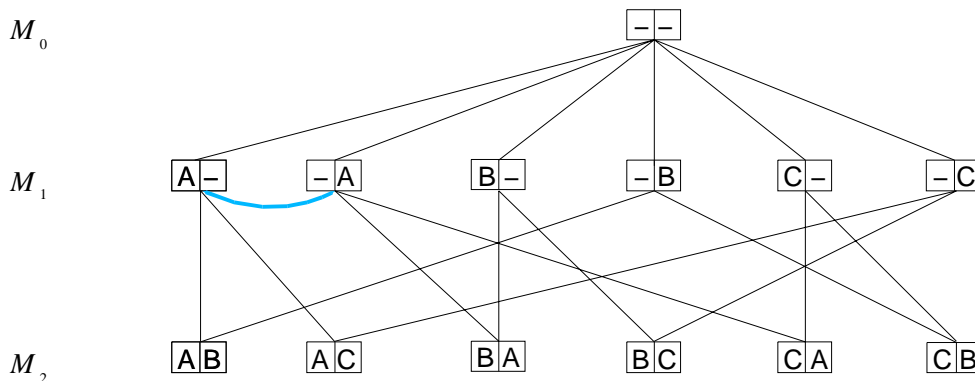


Abbildung 1–1 Vollständiger Zustandsraum für $p = 2$ mit den Elementen $\{ A, B, C \}$ für die Operationen T^+ und T^- . – bezeichnet eine leere Position. Die Kästchen bezeichnen jeweils einen Zustand S_i . Die geraden Kanten sind alle T^\pm Operationen, die in diesem Zustandsraum erlaubt sind. Die Operation $T_{1 \leftrightarrow 2}^{swap}$ wurde als Bogen eingetragen.

Abbildung 1–1 zeigt den vollständigen Graph für ein Permutationsproblem mit 2 Positionen und 3 Elementen. Die Permutationen S_i bilden einen Graphen mit den Permutationen als Eckpunkten (Knoten) und den Transformationsoperationen T^{op} als Kanten. Die Kanten und Knoten des Zustandsraumes tragen je ein Gewicht w_i , das im Kontext der Graphentheorie der Weglänge oder einer Qualität entspricht. Im N–ASS entspricht die Qualität der Knoten der Qualität eines S_i , während die Kantenqualität die Qualitätsveränderung bei einer bestimmten Operation ist.

Alle mittels irgendeiner Transformation erreichbaren Zustände sind die Nachbarn einer Permutation. Die Nachbarschaftsbeziehungen zwischen den Zuständen hängen daher von der Art der Transformationsoperatoren ab. Die Kanten zwischen den Zuständen werden durch die Operationen definiert. Die Topologie des Zustandsraumes hängt daher von dem Set der definierten Operationen T^{op} ab.

Definition: *Nachbarschaft N einer Lösung S_i :* Die Nachbarn N einer Lösung S_i sind die S_j , die von S_i mit einer beliebigen Transformationsoperation T erreicht werden können.

$$S_i \in S, \forall S_j \in N: T(S_i) \rightarrow S_j \quad (1-10)$$

1.2.7 Die Operationen im Lösungsraum

Die einfachsten Operationen sind die Null Operation T^{NULL} und die Additions- und Subtraktionsoperation, T^+ und T^- . Alle mittels der T^+ - und T^- -Transformationen erreichbaren S_i sind Nachbarn einer Lösung. Jeder Punkt im Zustandsraum ist über eine oder mehrere Operationen T^\pm von S_0 zu erreichen. Der Zustandsraum ist daher ein geschlossener, gewichteter und gerichteter Graph. T^+ ist die inverse Operation zu T^- und umgekehrt.

| Operation | Definition: |
|-------------------|---|
| T^{NULL} | überführt den Zustand in sich selbst. |
| T^+ | fügt ein Element in eine leere Position ein. |
| T^- | entfernt ein Element von einer belegten Position. |

Tabelle 1–5 Die Elementaroperationen im Zustandsraum

$T_{E,pos}^{\pm}$ bezeichnet die Operation, die an der Position pos das Element E hinzufügt oder entfernt.

T_E^{\pm} bezeichnet die Operation, die an einer beliebigen Position das Element E hinzufügt oder entfernt.

Jede andere Operation kann in diese Operationen zerlegt werden. Ein Beispiel für eine zusammengesetzte Operation ist $T_{i \leftrightarrow j}^{\text{swap}}$. Die swap-Operation setzt sich aus den 4 Elementaroperationen

$\{T_{cx_{1i}}^-, T_{cx_{2j}}^-, T_{cx_{2i}}^+, T_{cx_{1j}}^+\}$ zusammen. Swap-Operationen verbinden nur Zustände mit gleichem Belegungsgrad, d.h. Anfangs- und Endpunkt gehören beide der gleichen Menge \mathbf{M}_n an. Die swap-Operation ist ihre eigene inverse Operation.

1.2.8 Differenz zweier Zustände in S

Für die Crossover Operatoren in Kap. 2 wird die Differenz zweier Zustände benötigt.

Definition: Differenz: Die Differenz zweier Zustände ist ein *Weg (Pfad)* im Zustandsraum entlang der Kanten in dem Graph, der von den Elementaroperationen, ohne T^{NULL} , aufgespannt wird. Der Weg wird unifiziert, indem die Operationen zuerst nach der Position im Zustand und dann in der Reihenfolge T^- und T^+ sortiert werden.

Beispiel: Die Differenz der Zustände, die in Abb.1–1 durch die Operation $T_{1 \leftrightarrow 2}^{\text{swap}}$ verbunden werden, ist $\text{diff}(\mathbf{S}_1 \rightarrow \mathbf{S}_2) = \{T_{A,1}^-, T_{\text{NULL},1}^+, T_{\text{NULL},2}^-, T_{A,2}^+\}$.

$\text{diff}(\mathbf{S}_1 \rightarrow \mathbf{S}_2)$ ist gleichzeitig der kürzeste Weg der \mathbf{S}_1 und \mathbf{S}_2 verbindet. Seine Länge ist die Anzahl der Operationen und ist damit proportional der Hamming-Distanz wie sie für binäre Vektoren definiert ist.

1.2.9 Anzahl der Nachbarn, die durch die gleiche Operation $T_{E_1}^+$ verbunden werden

Die S_i in benachbarten Mengen M_b und M_{b+1} werden durch T^+ Operationen mit verschiedenen Elementen E verbunden. Einige der T^+ fügen dabei das gleiche neue Element in verschiedene S_i ein. $a(T_E^+)$ ist die Anzahl der T^+ -Operationen, die das Element E in einen Zustand S_i einfügen. Wenn ein Element in einen Zustand an verschiedenen Stellen eingefügt werden kann, ist $a(T_E^+)$ größer 1.

Definition: $T_{E_1}^+$: Die T^+ -Operation, die das Element E_1 einfügt.

Von der leeren Menge M_0 zur Menge M_1 mit genau einem Element gehen k verschiedene Operationen $T_{E_1}^+$ aus, die jeweils nur ein Element einfügen. Gleichzeitig gibt es genau p verschiedene Startpositionen im gleichen S_i , auf die die Operation wirken kann.

$$a(T^+(M_0, M_1)) = p \cdot k \quad (1-11)$$

Von der Menge M_1 zur Menge M_2 gilt daher Gl. 1-12 für die Anzahl der Operationen, die von einem S_i in M_1 starten. Dies ist gleichzeitig die Größe der $T_{E_1}^+$ Nachbarschaft einer einzelnen Permutation.

$$a(T^+(M_1, M_2)) = (p-1) \cdot (k-1) \quad (1-12)$$

| Anzahl der belegten Positionen | Anzahl T^+ -Nachbarn des Zustandes S_i in der Menge M_{b+1} | Anzahl unterscheidbarer T^+ Operationen mit gleichem E . | Anzahl der T^+ -Nachbarschaftsbeziehungen zwischen der M_b und M_{b+1} . | Anzahl der T^+ -Operationen, die von M_{b-1} ankommen. |
|--------------------------------|---|--|--|--|
| b | $a(T^+ \text{ Nachbarn})$ | $a(T_{S_i, S_{i+1}}^+)$ | $a(M_b \rightarrow M_{b+1})$ | $a(M_{b-1} \rightarrow M_b)$ |
| 0 | p | k | $k \cdot p$ | - |
| 1 | p-1 | (k-1) | $(p-1) \cdot (k-1)$ | k |
| i | p-i | (k-i) | $(p-i) \cdot (k-i)$ | $a(M_i) \cdot i$ |
| $b_{\max}-1$ | 1 | $k-b_{\max}$ | $k-b_{\max}$ | |
| b_{\max} | - | - | - | |

Tabelle 1-6 Anzahl der Kanten und Operationen in Abhängigkeit von b.

1.2.10 Anzahl der Nachbarn eines Zustandes mit T^+ / T^-

Bei einem Protospinsystempool, ohne Nebenbedingungen für die Positionen der Elemente, gehen von jedem \mathbf{S}_i genau b T^- Operationen zu einem Zustand in \mathbf{M}_{b-1} . Von einer Position in \mathbf{S}_i starten $(k-b)$ T^+ Operationen. In ein \mathbf{S}_i können genau $(p-b)$ verschieden neue Elemente in einer T^+ Operation eingefügt werden. Berücksichtigt man alle ungenutzten Elemente, gibt es $(k-b)(p-b)$ Kanten.

- Anzahl der $T_{E,-}^-$ Operationen, die von einem \mathbf{S}_i starten.

$$a(T_{E,-}^-(\mathbf{S}_b \rightarrow \mathbf{S}_{b-1})) = b \quad (1-13)$$

- Anzahl der $T_{,pos}^+$ Operationen, die von einer festen leeren Position pos in \mathbf{S}_i starten.

$$a(T_{,pos}^+(\mathbf{S}_b \rightarrow \mathbf{S}_{b+1})) = (k-b) \quad (1-14)$$

- Anzahl der $T_{E,+}^+$ Operationen, die ein bestimmtes Element E in \mathbf{S}_i einfügen.

$$a(T_{E,+}^+(\mathbf{S}_b \rightarrow \mathbf{S}_{b+1})) = (p-b) = f \quad (1-15)$$

Die Anzahl der T^+ Operationen, die von einer Permutation \mathbf{S}_i starten, ist daher

$$a(T^+(\mathbf{S}_b \rightarrow \mathbf{S}_{b+1})) = (k-b) \cdot (p-b) \quad (1-16)$$

Die Anzahl der Nachbarn, die mit einer Veränderung erreicht werden können, ist dann

$$a(T^\pm(\mathbf{S}_b \rightarrow \mathbf{S}_{b\pm 1})) = b + (k-b) \cdot (p-b) \quad (1-17)$$

oder

$$a(T^\pm(\mathbf{S}_b \rightarrow \mathbf{S}_{b\pm 1})) = b + (p-b) \cdot (p-b) = b + (p-b)^2 \quad \text{wenn } p=k \text{ ist} \quad (1-18)$$

Die Anzahl der möglichen Transformationen von einer \mathbf{M}_b Ebene zu den benachbarten Ebenen, ohne Berücksichtigung der Nebenbedingungen durch Ressourcenkonflikte, ist daher

mit theoretischen, perfekten Protospinsystemen ($k=p$):

$$\begin{aligned} a(T^\pm(\mathbf{S}_b \rightarrow \mathbf{S}_{b\pm 1})) &= (b + (p-b)^2) \cdot \left(\frac{p!}{(p-b)!} \cdot \frac{p!}{(p-b)! b!} \right) \\ &= (b + (p-b)^2) \cdot \left(\frac{p!^2}{(p-b)!^2 b!} \right) \end{aligned} \quad (1-19)$$

mit Protospinsystemen, die Defekte und Fehldeutungen enthalten können ($k > p$):

$$a(T^\pm(\mathbf{S}_b \rightarrow \mathbf{S}_{b\pm 1})) = (b + (k-b)(p-b)) \cdot \left(\frac{p!}{(p-b)!} \cdot \frac{k!}{(k-b)! b!} \right) \quad (1-20)$$

1.2.11 Anzahl der T^{swap} Operation in M_b und S

- Die Anzahl der T^{swap} in M_b kann durch eine Separation berechnet werden. Dazu wird $a(T^{\text{swap}}(M_b))$ in die Anzahl der Kombinationen der vertauschbaren Elemente, die Anzahl der Kombinationen der Startpositionen für T^{swap} und den Zustand der restlichen Sequenz aufgeteilt.
- Anzahl der Protospinsystempaare, die aus dem Protospinsystempool *ohne Beachtung* der Reihenfolge gebildet werden kann.

$$a_{\text{paare}} = \frac{k!}{(k-2)!} \quad (1-21)$$

- Anzahl der Positionspaare, die in der Sequenz *unter Beachtung* der Reihenfolge ausgewählt werden kann.

$$a_{\text{pos}} = \frac{p!}{(p-2)!} \quad (1-22)$$

- Anzahl der Permutationen mit den restlichen Elementen über die restlichen Positionen in dem noch ungenutzten Anteil des Belegungsgrades der Sequenz *unter Beachtung* der Reihenfolge.

$$a_{\text{perm}} = \frac{k! \cdot (p-2)!}{(k-2)! \cdot ((p-2)-(b-2))! \cdot (b-2)!} \quad (1-23)$$

Die Anzahl der T^{swap} in M_b ist dann:

$$\begin{aligned} a(T^{\text{swap}}(M_b)) &= a_{\text{paare}} \cdot a_{\text{pos}} \cdot a_{\text{perm}} \\ &= \frac{k!}{(k-2)!} \cdot \frac{p!}{(p-2)!} \cdot \frac{(p-2)!}{((p-2)-(b-2))! \cdot (b-2)!} \end{aligned} \quad (1-24)$$

Die Anzahl der T^{swap} in der gesamten Lösungsmenge ist dann:

$$a(T^{\text{swap}}(\mathbf{S})) = \sum_{b=2 \dots p} a(T^{\text{swap}}(M_b)) \quad (1-25)$$

Tabelle 1–7 listet Zahlenwerte für Gl. 1–25 für das Problem "Trigger" auf.

| Problem | p | k | b | $a(T^{\text{swap}}(\mathbf{S}))$ |
|---------------------------------|-----|-----|-----|----------------------------------|
| Trigger ohne HIS, ohne AS-Typen | 113 | 224 | 103 | 10^{234} |
| Trigger ohne HIS, mit AS-Typen | 113 | 158 | 103 | 10^{211} |
| Trigger mit HIS, ohne AS-Typen | 113 | 224 | 113 | 10^{255} |

Tabelle 1–7 Anzahl der T^{swap} in S

1.2.12 Optimale Lösung

Definition: *Globale Lösung* \mathbf{S}_{global} : Jede Lösung \mathbf{S}_i mit der maximalen Qualität aller \mathbf{S}_j in \mathbf{S} .

$$\mathbf{S}_i \in \mathbf{S}, \forall \mathbf{S}_j \in \mathbf{S} : Q(\mathbf{S}_i) \geq Q(\mathbf{S}_j) \quad (1-26)$$

Definition: *Lokales Optimum* \mathbf{S}_{lokal} : Eine Lösung \mathbf{S}_i deren Qualität größer oder gleich der aller benachbarten \mathbf{S}_j ist.

$$\mathbf{S}_i \in \mathbf{S}, \forall \mathbf{S}_j \in \mathbf{N} : Q(\mathbf{S}_i) \geq Q(\mathbf{S}_j) \quad (1-27)$$

Ob ein \mathbf{S}_i ein lokales Optimum ist, hängt daher von der Nachbarschaft und damit von den definierten Transformationsoperationen ab.

1.3 Kombinatorische Optimierungsverfahren

Das N-ASS Problem fällt in die Klasse der kombinatorischen Optimierungsprobleme, da der Lösungsraum aus einer finiten Menge diskreter Zustände besteht. Es gibt weder eine ableitbare, zusammenhängende Qualitätsfunktion, noch können Zwischenzustände zwischen den Zuständen des Lösungsraumes konstruiert werden.

1.3.1 Qualitätsfunktion $Q(S_i)$

Die Qualitätsfunktion des Optimierungsverfahrens ordnet die S_i relativ zu andern S_j ein. Für das N-ASS implementiert sie z.B. die Bewertungsfunktion aus Kapitel 1. $Q(S_i)$ muß für zwei S_i nur die relative Reihenfolge der Qualitätsskala widerspiegeln, d.h. die absoluten Zahlenwerte $Q(S_i)$ sind nebensächlich.

In dieser Arbeit werden bessere Qualitätswerte mit höheren Zahlenwerten belegt. Dadurch hat die leere Zuweisung den Qualitätswert 0. Alle anderen S_i haben eine höhere Qualität und einen höheren Zahlenwert.

1.3.2 Das *traveling salesman*-Problem

Das N-ASS ist mit einem bekannten kombinatorischen Optimierungsproblem, dem *traveling salesman* Problem (TSP), verwandt.

Beim Travelling Salesman Problem (**TSP**) wird die optimale Rundreise für einen Handlungsreisenden gesucht, der mehrere Städte zu möglichst niedrigen Kosten bereisen will. Jede Stadt darf daher nur einmal besucht werden. Außerdem sind die Kosten proportional zur Länge des Weges zwischen zwei Städten.

Das **TSP** (Travelling Salesman Problem) ist definiert als [Reinelt94, S.6]

Definition: *TSP*: Suche den kürzesten Rundweg, durch einen gegebenen geschlossenen ungerichteten Graphen D , der jeden Knoten genau einmal berührt.

| Nr. der Stadt | Vorgänger | Nachfolger |
|---------------|-----------|------------|
| 1 | 4 | 3 |
| 2 | 3 | 4 |
| 3 | 1 | 2 |
| 4 | 3 | 1 |

Vor der k -opt Operation.

| Nr. der Stadt | Vorgänger | Nachfolger |
|---------------|-----------|------------|
| 1 | 2 | 3 |
| 2 | 4 | 1 |
| 3 | 1 | 4 |
| 4 | 3 | 2 |

Nach der k -opt Operation.

Tabelle 1-8 Eine Implementierung des TSP für 4 Städte mit einer k -opt Operation.

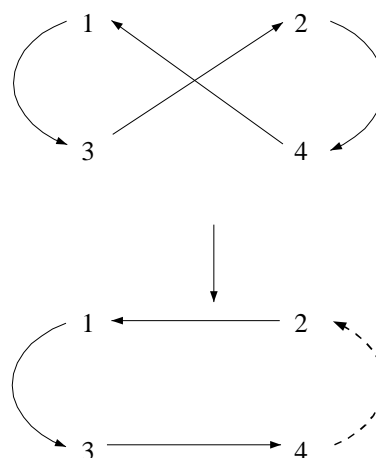


Abbildung 1-2 Beispiel für die k -opt Operation im TSP.

1.3.2.1 Repräsentation eines Weges für das TSP

Eine typische Repräsentation eines Weges für das TSP ist eine Tabelle, in der jede Stadt (Knoten) durch eine Zeile mit den Nummern der vorhergehenden und nachfolgenden Stadt vertreten wird.

Das TSP und das N-ASS Problem versuchen eine begrenzte Menge von Ressourcen (Städte oder Protopinsysteme) in eine Reihenfolge zu bringen, die eine Zielfunktion optimiert. Im Unterschied zum N-ASS sind die Verbindungen (Kanten) zwischen den Städten nicht gerichtet. Im TSP darf sich daher die Reihenfolge der Städte in einer Tour umdrehen, ohne daß die Tour ungültig wird. Diese Eigenschaft macht man sich beim so genannten k -opt Optimierungsschritt zu Nutze.

1.3.2.2 k -opt Operation

Die k -opt **Operation** ist der Grundbaustein der meisten Optimierungsalgorithmen für das TSP. Dabei werden k Kanten zufällig ausgewählt und die beteiligten $2 \cdot k$ Städte danach so verknüpft, daß die Länge der entstehenden Kanten minimal ist. Dabei kann sich die Richtung der Kanten oder von Teilstrecken umdrehen, diese Operation ist daher nur für ungerichtete Graphen geeignet. Optimiert wird die Tour dadurch, daß die Summe der Kantenlängen durch die Aktion verringert werden muß.

Das N-ASS unterscheidet sich vom TSP auf mehrere Weise. Übertragen auf die Terminologie des TSP ist das N-ASS ein Problem, in dem zwar die Existenz von p Städten bekannt ist, aber die Landkarten zu ungenau sind, um diese von anderen Landmarken, wie Berge, Vorstädte oder Ortsteile, zu unterscheiden. Der Reisende kann daher auch falsche Städte anlaufen. Außerdem dürfen die Wege zwischen den Städten nur in einer bestimmten Richtung durchlaufen werden. Zusätzlich passen die Städte nur auf bestimmte Positionen im Pfad. Die beiden letzten Eigenschaften des N-ASS verbieten den k -opt Schritt als Bestandteil der Optimierung.

Das N-ASS ist daher ungleich komplexer als ein TSP mit gleicher 'Städteanzahl' und man erwartet daher einen wesentlich trügerischeren Lösungsraum mit tiefen lokalen Optima.

1.3.3 NP-Hart

Um die zu erwartende Laufzeit eines Entscheidungsproblems zu charakterisieren, teilt man die Probleme in die Klassen P (Polynomiale Komplexität) und NP (Nichtdeterministische Polynomiale Komplexität) ein [Knuth97, Reinelt94, Hopcroft79]. Ein Algorithmus A hat *polynomiale Zeitkomplexität*, wenn es ein Polynom $p(n)$ gibt, das die garantierte maximale Laufzeit t_A beschreibt, so daß die Komplexität $t_A(n) = O(p(n))$ ist. Entscheidungsprobleme, für die ein Algorithmus mit polynominaler Zeitkomplexität auf einer deterministischen Turing-Maschine (TM) existiert, gehören der Klasse P an. Entscheidungsprobleme, für die ein solcher Algorithmus auf einer nichtdeterministischen Turing-Maschine [Aho74, Hopcroft79] existiert, gehören zu NP [Reinelt94, Lawler85, Hopcroft79]. Während die deterministische Turing-Maschine ein formales Modell für alle existierenden Computer ist, kann die nichtdeterministische TM bisher nur als Gedankenexperiment 'realisiert' werden.

Deterministische TM und nichtdeterministische TM unterscheiden sich dabei nur in der Methode, wie sie eine anstehende Wahlmöglichkeit abarbeiten. Eine deterministische TM muß sich bei jeder Wahlmöglichkeit für einen der Zweige entscheiden oder sie führt jeden Zweig der Auswahl nacheinander aus, während die

nichtdeterministische TM alle Wahlmöglichkeiten *gleichzeitig* bearbeitet. Die nichtdeterministische Turing-Maschine kann man daher simulieren, indem man eine deterministische Turing-Maschine ablaufen läßt und sie bei jeder Verzweigung mit m Wahlmöglichkeiten durch m identische Kopien der aktuellen Maschine ersetzt, und jeden Zweig von genau einer Maschine bearbeiten läßt. Nach n Entscheidungen mit jeweils m Wahlmöglichkeiten erhält man so n^m deterministische Turing-Maschinen, die alle *gleichzeitig* je einen Teilzweig bearbeiten¹.

Da man jedes Optimierungsproblem in ein Entscheidungsproblem umwandeln kann und die Optimierung das Entscheidungsproblem lösen muß, ist eine Aussage über die Komplexität des Entscheidungsproblems eine Aussage über die Komplexität des Optimierungsproblems.

Für Probleme der Klasse P gibt es sequentielle Algorithmen, deren Laufzeit sich, bei einer linearen Vergrößerung des Problems, nur polynomial vergrößern. Ein NP-Problem kann dagegen nur mittels eines gedachten, nichtdeterministischen Algorithmus in polynomialer Zeit gelöst werden, d.h. auf einer nichtdeterministischen Turing-Maschine. Die nichtdeterministische Turing Maschine wählt quasi alle zulässigen Veränderungen parallel aus, da sie bei jeder zu treffenden Entscheidung alle Entscheidungszweige gleichzeitig durchläuft. Da man diese Maschine nicht in heutigen Computern implementieren kann, muß man sie in sequentiellen Algorithmen simulieren, indem man alle parallel gewählten Entscheidungen sequentiell absucht. Die Laufzeit des entsprechenden sequentiellen Algorithmus vergrößert sich aber immer schneller als die des zugehörigen NP Algorithmus, sie steigt meist exponentiell.

Daher möchte man wissen, ob man den nichtdeterministischen Algorithmus mittels einem deterministischen Algorithmus in polynomialer Zeit simulieren kann ($P=NP$)? Für das TSP weiß man, daß es zur Klasse NP gehört, obendrein ist es NP-vollständig, d.h. es kann nur in polynomialer Zeit gelöst werden, wenn man einen nichtdeterministischen Computer verwendet [Lawler85, S. 58].

Nach Lawler [Lawler85, S. 58] ist es allgemeine Auffassung, das $P \neq NP$ für das TSP ist, d.h. es gibt keinen deterministischen Algorithmus, der das TSP in polynomialer Zeit mit einem P-Algorithmus exakt lösen kann.

Um dennoch eine vertretbare Lösung zu erhalten, muß man auf ein *heuristisches* Verfahren ausweichen. Heuristische Verfahren sind quasi-Implementierungen der nichtdeterministischen Algorithmen. Sie verzichten auf eine vollständige Implementierung der parallelen Suche. Dabei verliert man zwar die Garantie einer exakten Lösung des Problems, erhält dafür aber eine gute Lösung in polynomialer Zeit. Gute Heuristiken finden sogar meist das globale Maximum.

Deterministische Heuristiken wählen von einem bestimmten Punkt des Lösungsraumes immer die gleiche Veränderung, während die *zufallsgesteuerten* jede der erlaubten Veränderungen nur mit einer bestimmten Wahrscheinlichkeit auswählen. Sie wählen quasi alle Veränderungen parallel aus. Die Wahrscheinlichkeit für ein Veränderung ist meist von Start und Zielzustand abhängig. [Lawler85, S. 53]. Daher sind sie angenäherte Implementierungen des nichtdeterministischen Computers und können eine Näherungslösung in polynomialer Laufzeit finden.

¹ Trotzdem ist dies keine praktisch durchführbare Implementierung der allgemeinen, nichtdeterministischen TM, da diese nicht nur kleine n sondern jede beliebige Entscheidungstiefe n bearbeiten können muß.

1.3.4 Lösungsansätze

Der einfachste Algorithmus ist eine vollständige Suche. Dabei garantiert der Algorithmus, daß das globale Maximum gefunden wird, da jeder Punkt im Lösungsraum mindestens einmal besucht wird. Den Lösungsraum vollständig zu durchsuchen, ist aber, angesichts der Größe des Lösungsraums des N-ASS Problems, unmöglich. Für das N-ASS Problem "Trigger" ist der Lösungsraum in der Größenordnung 10^{208} ohne AS-Typenbeschränkungen und 10^{40} mit Beschränkung (siehe Tabelle 1–4).

Daher wurde nach einem heuristischen Algorithmus gesucht, der nur einen Teil des Lösungsraumes durchsucht.

1.3.5 Lokale Suche

Die meisten Heuristiken implementieren das Prinzip der lokalen Suche, indem sie die Umgebung einer erreichten Lösung nach besseren Lösungen absuchen. Dabei wird ein einmal erzielttes Ergebnis mittels einer Produktionsregel inkrementell verändert.

Definition: *lokale Suche:* Ein Algorithmus, der die direkte k -Schritt Nachbarschaft des aktuellen Individuums, nach einem besseren Individuum durchsucht, führt eine lokale Suche durch. Nachbarn, die nur über mehr als k Schritte erreichbar sind, werden nicht untersucht.

Die *hill-climber* bilden eine Klasse von Algorithmen, die sich während ihrer lokalen Suche nur aufwärts, d.h. nur zu einem S_i mit höherer Qualität, bewegen. Eine globale *hill-climber Umgebung* ist daher eine Nachbarschaft in der jede Verbesserung näher zum globalen Maximum führt. Zum *Einzugsbereich eines Optimums* gehören alle Individuen, die mit dem Optimum mit einem *Pfad* verbunden sind. Für einen *hill-climber* ist der Einzugsbereich ein Pfad, auf dem jede Veränderung auch eine Verbesserung darstellt.

Ein *greedy* Verfahren akzeptiert die erste erlaubte Veränderung, die die Qualität verbessert. Andere Verfahren durchsuchen immer die gesamte Nachbarschaft und wählen dann die beste Veränderung. Wenn ein solches Verfahren in den *ausschließlichen* Einzugsbereich eines lokalen Optimums gerät, findet es nicht mehr aus diesem Trichter heraus. Das Verfahren *konvergiert* dann *vorzeitig*.

Die Erfahrungen mit den *greedy*-Algorithmen zeigen, daß sie meist vorzeitig konvergieren, wenn die Qualitätshyperfläche rauh ist, d.h. wenn es viele kleine lokale Suboptima gibt. Daher muß man dem Algorithmus erlauben, Gebiete mit schlechterer Qualität zu durchqueren, um dem lokalen Optimum zu entkommen. Dies wird in verschiedenen Algorithmen implementiert. Ob ein heuristisches Verfahren das Maximum findet oder in einem lokalen Maximum stecken bleibt, hängt von der gewählten Produktionsregel ab.

1.3.6 Produktionsregel

Eine lokale Suche braucht eine Produktionsregel, die das nächste zu bewertende Individuum erzeugt.

Die einfachste Möglichkeit ein neues Individuum zu erzeugen bietet das *Monte Carlo Verfahren*. Dabei wird die nächste Lösung jeweils erwürfelt und ein besserer Zustand nur zufällig erreicht. Die aufeinander folgenden Lösungen sind dabei von einander unabhängig. Ob eine akzeptable Lösung gefunden wird, hängt von der Größe des Lösungsraumes ab.

Andere Produktionsregeln verwenden eine inkrementelle Veränderung des Ausgangszustandes. Dazu gehören k -opt im TSP, *Lin-Kernighan*, *simulated annealing* und *threshold accepting*.

1.3.7 Lin-Kernighan Verfahren

Ein bekanntes Verfahren ist das *Lin-Kernighan* Verfahren (LK). Es verwendet den k -opt Zug für das TSP [Lin&Kernighan73, Reinelt94, S.123]. Es ist der Nachfolger einer Reihe von deterministischen Optimierungsverfahren für das TSP, die den k -opt Zug als Grundbaustein benutzen.

k -opt betrachtet jeweils eine Gruppe von k zufällig ausgewählten Wegen und verknüpft die damit verbundenen Städte so, daß die Summe der Wege minimal wird. Reines k -opt ist daher ein hill-climber.

Bei den *deterministischen* Verfahren kann man zu jedem Zeitpunkt den nächsten Schritt des Algorithmus voraussagen. Ein deterministisches k -opt Verfahren startet mit einem Monte-Carlo Zustand und probiert erschöpfend alle diesem Zustand zulässigen k -opt Schritte aus. Das Verfahren endet, wenn alle zulässigen k -opt Schritte getestet wurden und keine Verbesserung des aktuellen Zustandes gefunden wurde.

Die Operation, die 2-opt im N-ASS am nächsten kommt, ist die T^{swap} -Operation. 2-opt ist zwar ähnlich T^{swap} , aber nicht jeder 2-opt Zug ist im N-ASS technisch möglich, da k -opt voraussetzt, daß die Richtung der Strecken umgedreht werden darf. Für das "Trigger" Problem gibt es schätzungsweise 10^{212} bzw. 10^{44} T^{swap} Operationen. Es ist daher nicht möglich alle systematisch durch zu probieren.

Durch das deterministische Vorgehen sind außerdem nur bestimmte Ausschnitte des Lösungsraumes für das Verfahren zugänglich. Diese Verfahren konvergieren daher meist vorzeitig, da nicht jeder Startpunkt im Einzugsbereich des globalen Optimums liegt. Verschiedene Endpunkte erreicht man nur mit unterschiedlichen Startzuständen.

Lin-Kernighan erweitert k -opt, indem es zusätzlich Aktionen erlaubt, die die Qualität der erreichten Lösung verschlechtern. Die verschlechternde Aktion soll hier als k -change bezeichnet werden. Sie unterscheidet sich von k -opt nur, indem die Summe der Weglängen hinterher nicht nur kleiner, sondern auch größer sein darf. k -change darf die Qualität der Startlösung verschlechtern.

LK führt von einer Startlösung erst mehrere k -change Aktionen und danach einige k -opt Aktionen aus und bewertet die Qualität der erreichten Lösung erst, nachdem die letzte Aktion ausgeführt wurde. Ist die Qualität dann besser als die des Startzustandes, wird die gesamte Aktionskette akzeptiert, sonst verworfen. Außerdem versucht LK mehrere unterschiedliche Aktionsketten, bevor es sich für eine entscheidet.

Durch die k -change Aktionen und die parallel bewerteten Aktionsketten kann LK leichter aus lokalen Optima entkommen als alle anderen Heuristiken oder deterministischen Verfahren. Dadurch verbessert sich sowohl die Qualität der Lösungen als auch die erforderliche Laufzeit. Dabei hängt die Qualität der Lösungen nur wenig vom gewählten Startzustand ab.

Lin-Kernighan gehört damit zu den besten bekannten Heuristiken für das TSP.

1.3.8 Simulated Annealing

```

Simulated Annealing Algorithmus:
begin
  Erzeuge einen Anfangszustand S.
  wähle eine Anfangstemperatur  $\vartheta$  und einen Wiederholungsfaktor r.
  loop: bis das Abbruchkriterium erfüllt ist.
    führe den Metropolis Algorithmus(S,r) aus.
    wende ein Abkühlungsschema auf  $\vartheta$  an.
    berechne r neu.
  end loop
End

Metropolis Algorithmus (Zustand S, zahl n )
   $k_B$  ist die Boltzman Konstante.
   $\vartheta$  Temperatur.
begin
  loop: iteriere n mal.
    lege eine Kopie von S an -> S'
    erzeuge eine kleine Veränderung in S'
    bewerte S' und berechne die Energiedifferenz  $\Delta Q$ 
    wenn  $\Delta Q \geq 0$  oder ( $\Delta Q < 0$  und  $\text{random}(0..1) < \exp(-\Delta Q / (k_B \vartheta))$ )
      akzeptiere S' als neues S
    end loop
end

```

Simulated Annealing (SA) [Kirkpatrick83] ist ein lokales Suchverfahren, das seine Aktionen nichtdeterministisch wählt. Es wählt die Veränderung in Abhängigkeit von der Qualitätsverbesserung durch die Veränderung aus. Die Wahrscheinlichkeit, mit der die Aktion $\mathbf{S}_i \rightarrow \mathbf{S}_j$ akzeptiert wird, ist:

$$P_{ij}(T^{op}, \theta) = \begin{cases} 1 & \Delta Q_{ij} \geq 0 \\ e^{-\frac{\Delta Q_{ij}}{k_B \theta}} & \Delta Q_{ij} < 0 \end{cases} \quad (1-28)$$

für $\Delta Q_{ij} = Q(\mathbf{S}_i) - Q(\mathbf{S}_j)$

Die Optimierung startet mit einer hohen Temperatur ϑ und wird im Verlauf der Optimierung bis auf einen Wert nahe Null gesenkt. Da ein SA als eine Markow-Kette dargestellt werden kann, kann man beweisen, daß ein SA garantiert global konvergiert, wenn man ϑ unendlich langsam abkühlt, damit die Ergodizität der Kette garantiert ist [Hajek85, Laarhoven88]. In der Praxis darf man die Temperatur meist wesentlich schneller absenken, muß dann aber ein Kühlschema an das Problem anpassen.

Die Qualität der Optimierung hängt daher in nicht trivialer Weise von dem gewählten Kühlschema ab [Reinelt94, S.156]. Mit einem ungeeigneten Kühlschema konvergiert SA vorzeitig oder benötigt eine zu hohe Rechenzeit.

1.3.9 Threshold Accepting

```

Threshold Accepting Algorithmus:
begin
  Erzeuge einen Anfangszustand S.
  wähle eine Schwellwert  $\theta$  und einen Wiederholungsfaktor r.
  iteriere bis das Abbruchkriterium erfüllt ist.
    iteriere r mal.
      lege eine Kopie von S an  $\rightarrow$  S'
      erzeuge eine kleine Veränderung in S'
      bewerte S' und berechne die Energiedifferenz  $\Delta E$ 
      wenn  $\Delta E \leq \theta$ 
        kopiere S' nach S
      wende ein Abkühlungsschema auf  $\theta$  an.
      berechne r neu.
end

```

Eine Vereinfachung des SA Algorithmus ist das *threshold accepting* Verfahren (TA) [Dueck&Scheuer90].

TA akzeptiert jede Veränderung, die zu einem Zustand führt, der die Qualitätsdifferenz Θ zum besten bekannten Zustand \mathbf{S}_{best} nicht überschreitet. Die Wahrscheinlichkeit, daß eine Aktion akzeptiert wird, ist daher:

$$P_{ij}(T^{op}, \Theta) = \begin{cases} 0 & \Delta Q_{best,j} \geq \Theta \\ 1 & \Delta Q_{best,j} < \Theta \end{cases} \quad (1-29)$$

mit $\Delta Q_{best,j} = Q(\mathbf{S}_{best}) - Q(\mathbf{S}_j)$

Die Qualitätsschwelle Θ startet mit einem hohen Wert und wird während der Optimierung abgesenkt, wenn die Veränderungen, in einer vorgegebenen Anzahl von Aktionen, keine Verbesserung des besten bekannten Individuums \mathbf{S}_{best} finden.

Das TA erfordert daher kein angepaßtes Kühlschema, um zu vergleichbar guten Ergebnissen wie SA mit unendlich langsamer Abkühlung zu führen [Reinelt94].

1.4 Genetischer Algorithmus

Allgemeiner Genetischer Algorithmus:

```

begin
  Erzeuge m Anfangszustände im Pool  $S_1 \dots S_m$ .
  wähle eine Anzahl  $n \leq m$ 
  iteriere bis das Abbruchkriterium erfüllt ist.
    Mutation)
      verändere einige Zustände im Pool mittels eines zweiten Algorithmus.
    Rekombination)
      erzeuge einen oder mehrere neue Zustände durch Rekombination
        von 2 existierenden Zuständen.
    Selektion)
      entferne einige Zustände aus dem Pool.
  der beste Zustand  $S$  repräsentiert die Lösung.
end

```

Ein Genetischer Algorithmus (GA) [Goldberg89] ist ein Optimierungsverfahren, das die Darwinschen Prinzipien der Evolution und Selektion nutzt. Es unterscheidet sich von den vorher besprochenen Verfahren, indem es nicht eine einzelne Lösung S_i betrachtet, sondern eine große Anzahl unabhängiger S_i , eine sogenannte Population POP. In der Terminologie der Genetischen Algorithmen sind die S_i die Individuen, die einzelnen Zustandsvariablen der Individuen sind die Gene. Alle zusammen bilden sie das Chromosom eines Individuums. POP(t) ist die Population der Individuen, die zu einem Zeitpunkt t vorhanden sind. Die Gene aller Individuen in der Population bilden zusammen den Genpool der Population.

$$POP(t) = \{S_1, \dots, S_n\} : S_i \in S \quad (1-30)$$

Ein GA erfordert drei verschiedene Operatoren, die Mutation, Rekombination und Selektion.

Mutationsoperatoren wirken auf einzelne Individuen ein und verändern einen Teil ihrer Gene. Diese Operatoren brauchen die Qualität des Individuums nicht zu verbessern sondern nur zu verändern. Daher kann als Mutationsoperator auch ein anderer Optimierungsalgorithmus oder ein Produktionsalgorithmus verwendet werden.

Der Selektionsoperator wählt aus der Population POP(t) die Individuen aus, die in die Population des nächsten Zeitpunktes POP(t+1) übernommen werden. Damit die Population zum globalen Optimum konvergiert, muß die Selektion Individuen mit hoher Fitness bevorzugen [Michalewicz92]. Als Fitneßfunktion kann die Qualitätsfunktion der vorhergehenden Optimierungsverfahren benutzt werden.

Die Rekombination wird durch die Crossover-Operation realisiert.

1.4.1 Crossover Operation

Die Crossover Operation ist eine Anleihe der Informatik in der Biologie. Dort werden, während der Meiose Chromosomen durch ein Bruch-Fusions-Ereignis umorganisiert. Sie tauschen dabei zwischen parallel liegenden Chromosomen lange Stücke aus. Weder die Chromosomen noch die ausgetauschten Stücke brauchen die gleiche Funktion in beiden Ursprungschromosomen zu besitzen. Auch können die entstehenden Chromosomen defekt sein. Das entstehende Individuum ist dann möglicherweise nicht lebensfähig.

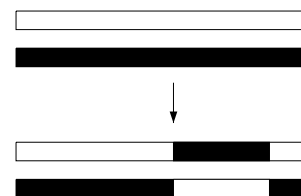


Abbildung 1-3 Klassisches Crossover

Im Algorithmus nehmen die Zustände \mathbf{S}_i die Stelle der Chromosomen ein. Ein Crossover-Operator erzeugt aus mehreren »Eltern« ein neues Individuum, ein »Kind«. Dabei soll durch die Entnahme von Genmaterial bei den Elternzuständen ein Individuum mit einer Parameterkombination entstehen, die bisher nicht im Pool vorhanden ist. Obwohl beide Eltern wahrscheinlich noch nicht optimal sind, aber beide einen Teil der gesuchten Lösung enthalten, erhofft man sich von der Rekombination, daß ein neues Individuum entsteht, das besser als die Eltern ist, oder eines, das an eine bisher nicht untersuchte Stelle des Zustandsraumes projiziert wird und sich dort zu einem besseren Individuum entwickeln kann.

Da die Kinder aus dem Genmaterial der Eltern bestehen, befinden sich neue Individuen irgendwo auf dem Pfad $\text{diff}(\mathbf{S}_i \rightarrow \mathbf{S}_j)$ durch den Lösungsraum, der die Eltern verbindet. Ein Crossover Operator kann daher nur Bereiche des Lösungsraumes erreichen, die sich "innerhalb" der Kugelwolke der Individuen in $\text{POP}(t)$ befinden. Damit ein Algorithmus mit der Crossover Operation zum globalen \mathbf{S}_{global} konvergiert, muß in der Anfangspopulation entweder schon jeder erforderliche Einzelparameter der globalen Lösung enthalten sein, oder es muß ein Mechanismus bestehen, der neue Gene in den Genpool einführt. Diese Aufgabe übernimmt die Mutation der Individuen. Außerdem muß die Mutationsrate hinreichend hoch sein, um eine vorzeitige Konvergenz durch genetische Verarmung zu verhindern.

1.4.2 Konfliktauflösung

Durch die zufällige, blinde Erzeugung von neuen Zuständen im Crossover können auch Zustände entstehen, die nicht alle Nebenbedingungen des Lösungsraumes erfüllen. Diese Zustände sind illegal und gehören nicht zur Lösungsmenge \mathbf{S}^* sondern zu \mathbf{S}^* . Die illegalen Zustände können auf zwei Arten behandelt werden [Michalewicz92, S. 312++].

1. Das illegale Individuum wird beibehalten, in der Erwartung, daß eine der nachfolgenden Veränderungen das Individuum zurück in den legalen Raum führt. Das Individuum wird gleichzeitig mit einer Strafe belegt, damit seine Qualität niedriger als die ähnlicher legaler Individuen ist. Dazu muß eine zweite Bewertungsfunktion für illegale Individuen erzeugt werden. Diese Bewertungsfunktion muß auf die Bewertungsfunktion für legale Individuen abgestimmt sein.

Diese Behandlung hat weitreichende Konsequenzen für den Rest des Algorithmus. Zum Beispiel muß sichergestellt werden, daß nur das beste *legale* Individuum garantiert für die nächste Population bewahrt wird, da sonst eine Relationsfunktion für die Qualitätswerte der legalen und illegalen Individuen notwendig ist. Diese Ordnungsfunktion muß eine sinnvolle Reihenfolge zwischen schlechten legalen und guten illegalen Individuen erzeugen, um zum Beispiel die Rangfolge für den nächsten Reproduktionszyklus festzulegen.

2. Das Individuum kann durch einen Reparaturalgorithmus in ein legales Individuum überführt werden. Die einfachste Implementierung ist, so lange einige illegale Elemente (Gene) zu entfernen, bis ein legales Individuum entstanden ist. Da das Problem von einem der zuletzt veränderten Elemente verursacht sein muß, kann man solange diese Veränderungen zurücknehmen bis das Individuum legal wird. Die neuen Elemente sind aber gleichzeitig auch die erwünschten Veränderungen. Daher möchte man nicht diese, sondern andere schon vorher vorhandene Elemente entfernen. Dazu müssen diese illegalen Elemente

effizient zu identifizieren sein. In der vorliegenden Implementierung wird dies durch die Kontrolle der Ressourcen erreicht (siehe Kapitel 2.1.1).

Da nur legale Zustände erzeugt werden, ist nur eine Bewertungsfunktion notwendig.

Für die vorliegende Arbeit wurde das 2.te Verfahren ausgewählt, da es einfacher und schlüssiger zu implementieren ist.

Kapitel 2 Implementierung

Im folgenden Abschnitt wird die gewählte Implementierung vorgestellt. Dabei wird ein *bottom-up* Ansatz für die Erklärung der Besonderheiten der Implementierung gewählt.

2.1 Peaks

Die Koordinaten eines Peak sind die Frequenzen an denen er im Spektrum gefunden wurde. Zur besseren Vergleichbarkeit werden sie in *ppm* angegeben. Jeder Peak hat außerdem ein Volumen und einen Entartungsgrad.

Die Peaks der verschiedenen Experimente werden in ein einheitliches Koordinatensystem übertragen. Dazu werden alle Peaks auf 4 Dimensionen erweitert. Die Reihenfolge der Dimensionen ist [^1HN , ^{15}N , CO, CA und CB]. CA und CB teilen sich eine Dimension, da sie in den Experimenten in der gleichen Dimension erscheinen und nur durch Interpretation getrennt werden können.

2.1.1 Peaks und Entartungsgrad

In den NMR-Experimenten für das *backbone* Assignment erzeugt jedes Spinsystem genau eine Gruppe von Peaks [Maxima] im Spektrum. Die in dieser Arbeit verwendeten Experimente erzeugen sogar nur einen Peak je Spinsystem. Für *n*-dimensionale Spektren ist es daher wahrscheinlich, daß jeder Peak an einer isolierten, nur ihm eigenen Position (Frequenz) im Spektrum erscheint.

Im Abhängigkeit von der Struktur des untersuchten Proteins (und anderer physikalischer Parameter wie der Temperatur, der Feldinhomogenität, pH ...) kann die Distanz zwischen den Frequenzen einzelner Aminosäuren trotzdem nahe Null betragen. In dieser Situation überlappen die Peaks der verschiedenen Aminosäuren soweit, daß man sie nicht mehr voneinander unterscheiden kann. Diese Peaks werden dann als ein Peak gepickt. Unter Umständen kann man diese Peaks anhand ihrer Größe (Ausdehnung) und ihrem Volumen (Intensität) als entartet identifizieren.

Für die Mustersuche wurde eine Implementierung gesucht, die eine doppelte Benutzung der nicht entarteten Peaks effizient verhindert. Dazu wurden in der Implementierung der Peaks jedem zwei Zähler zugeordnet. Der erste, der Entartungsgrad, wird einmal zu Anfang der Lebenszeit des Peak-Objekts auf die Anzahl der nicht entarteten Peaks gesetzt, die unter dem Signal an der gleichen Stelle verborgen sind. Dieser Zähler ist in der Standardeinstellung für jeden Peak gleich 1. Der zweite enthält die aktuelle Anzahl der *Besitzer* dieses Peaks. Zu Anfang ist sie 0. Jeder *Benutzer* des Peaks muß diesen *erwerben* (*acquire*),

wenn er Besitzer des Peaks werden will. Ein Peak kann nur erworben werden, wenn sein zweiter Zähler niedriger als der erste ist. Andernfalls schlägt die `acquire` Aktion fehl und der Benutzer wird nicht zum Besitzer. Ein Besitzer muß die erworbenen Peaks später wieder loslassen (`release`) damit auch andere Benutzer des Peaks die doppelte Benutzung des Peaks innerhalb ihres Kontextes überprüfen können. Der zweite Zähler wird in beiden Methoden entsprechend aktualisiert.

Potentielle Besitzer der Peaks sind die Protospinsysteme, die durch Erwerben all ihrer Peaks effizient testen können, ob sie Peaks doppelt erwerben oder ob sie Peaks verwenden, die gleichzeitig von anderen Protospinsystemen beansprucht werden.

Als Konsequenz dieser Implementierung muß der Entartungsgrad für die entarteten Peaks manuell gesetzt werden. Die Bestimmung des Entartungsgrades ist nicht Teil der Optimierungsalgorithmen.

Peaks werden im folgenden auch als Ressourcen bezeichnet, da sie als Objekte in einer abzählbaren Menge vorhanden sind und von den Protospinsystemen konkurrierend beansprucht werden.

Definition: *Resource*: Ein Objekt das nur in begrenzter Anzahl zu Verfügung steht. Ressourcen können nur entsprechend ihrer Anzahl erworben werden. Ressourcen sind Peaks und alle daraus gebildeten Objekte wie Knoten, Protospinsysteme usw.

Definition: *Benutzer*: Ein Objekt das eine Resource benutzt und besitzen kann. Ein Benutzer wird zum Besitzer wenn es eine Resource erwirbt. Knoten, Protospinsysteme, Zustandsobjekte usw.

Definition: *Besitzer*: Ein Objekt das eine Resource besitzt. Knoten, Protospinsysteme usw.

Definition: *Buchhaltungskontext*: Benutzer besitzen ihre Ressourcen in einem Buchhaltungskontext. Die Ressourcen werden innerhalb eines Buchhaltungskontext abgerechnet. Jedes Zustandsobjekt S_i hat seinen eigenen Buchhaltungskontext.

2.1.2 Das Peak Netz

In den verschiedenen Stufen des Assignment Prozesses wird zu einem Peak ein Nachbar entlang einer oder mehrerer Dimensionen gesucht. Außerdem wird an verschiedenen Stellen die Topologie der Nachbarschaft bewertet. Daher sollen die Abstände nicht permanent neu berechnet, sondern einmal vorberechnet und dann nur nachgeschlagen werden.

2.1.2.1 Implementierung

Eine mögliche Implementierung ist eine Matrix, die für jedes Peakpaar die Frequenzdifferenz der Peaks speichert. Diese Implementierung verbraucht sehr viel Speicher. Für 980 Peaks mit 4 Dimensionen müssen $980 * 980 * 4 = 3841600$ Distanzen gespeichert werden. Bei 8 Byte pro Distanz wird so 29,3 MB belegt. Außerdem muß man die Matrix entlang einer Dimension vollständig durchsuchen um alle Nachbarn eines Peaks oder den Nachbarn mit der niedrigsten Distanz zu finden.

Statt als Distanz kann man die Nachbarschaft auch als Relation zwischen zwei Peaks beschreiben. Die Relation ist dann die *Kante* in einem ungerichteten Graphen. Die *Knoten* repräsentieren die Peaks. Sie enthalten eine kleine Tabelle, die alle Kanten zu den Nachbarn dieses Peaks enthalten. Jede Kante verbindet zwei Peaks entlang einer Dimension. (Kante:=Peak+Dimension \leftrightarrow Q \leftrightarrow Peak+Dimension) . Jeder Kante ist eine Qualität zugeordnet, die zu Anfang als Funktion der Frequenzdifferenz und des Isotops berechnet wird. Ein Peak ist dabei nur mit den Peaks verbunden, die mit ihm direkt benachbart sind. Die Suche nach

den Nachbarn eines Peaks wird dadurch stark beschleunigt, da nicht mehr alle, sondern nur noch benachbarte Peaks durchsucht werden. Für einen HNCO Peak in "Trigger" müssen daher statt ~870 nur noch durchschnittlich 10 Peaks untersucht werden.

Diese Information wird als Datenstruktur abgelegt, die die Nachbarschaftsbeziehung aller Peaks als ungerichteten Graphen speichert. Dies ist das sogenannte *PeakNet*.

Definition: Basisknoten(BP): Ein Basisknoten (BP) ist ein Knoten im PeakNet, der einen Peak des Basisexperimentset enthält. Ein nicht-BP ist ein Peak, der nicht dem Basisexperiment angehört. Einzelne Basispeaks werden auch mit ihrer Identifikationsnummer und dem Prefix BP benannt. Beispiel: BP101 ist der Basispeak 101.

Für das Bax Experimentset ist dies das HNCO Experiment, da es am empfindlichsten ist und die beste Auflösung hat und für jede Aminosäure nur einen Peak erzeugt.

2.1.2.2 Topologien

Um die verschiedenen Programme des Assignments weiter zu beschleunigen, werden jeweils nur die für diesen Schritt benötigten Kanten angelegt. Dadurch ergeben sich unterschiedliche Topologien für das PeakNet. Die folgenden Definitionen beschreiben die Topologien für das Bax Experimentset.

- Zuordnung zum Basisknoten:

Jeder Basisknoten repräsentiert einen Peak im HNCO Spektrum. Bei der Zuordnung zum BP werden nur Kanten zwischen HNCO und nicht-HNCO Peaks entlang der 1HN und der ^{15}N Dimensionen angelegt. Wenn zwischen dem Basispeak und dem zweiten Peak nur eine Kante existiert oder eine der beiden Kanten eine Qualität kleiner 0,5 hat, werden beide Kanten entfernt.

- intranodale Verknüpfung (AS-Protospinsystem) :

Zusätzlich zum Basisknoten werden alle Kanten entlang der ^{13}C Dimension zu Peaks, die zum gleichen Basisknoten gehören, angelegt.

- internodale Verknüpfung (Link- Protospinsysteme):

Zusätzlich zur intranodalen Verknüpfung werden die ^{13}C Verknüpfungen zwischen allen nicht-HNCO Peaks angelegt.

2.1.2.3 Kantenqualität

Für jeden Peak wird im PeakNet ein Knoten angelegt. Die automatische Verknüpfung verbindet alle Peaks, die innerhalb eines maximal Abstandes mit dem aktuellen Startpeak liegen. Die Qualität der Kante wird dann mit der Abstandsfunktion Gl. 2-1 initialisiert. Kanten mit einer Qualität unter 0.5 werden nicht angelegt.

Alle Verknüpfungsalgorithmen verwenden die lineare Abstandsfunktion Gl. 2-1.

$$q(ppm_1, ppm_2, \Delta_{max}) = \frac{\Delta_{max} - |ppm_1 - ppm_2|}{\Delta_{max}} \quad (2-1)$$

$$Q_{dist,lin}(ppm_1, ppm_2, \Delta_{max}) = \max(q(ppm_1, ppm_2, \Delta_{max}), 0)$$

Für zweidimensionale Vergleiche wird die Gl.B-1 im Anhang verwendet.

2.2 Protospinsysteme

Protospinsysteme sind die Grundbausteine des RANDOM Algorithmus.

Definition: Protospinsystem: Protospinsysteme sind Gruppen von Peaks, die zusammen als mögliches Spinsystem gedeutet werden. Jeder Peak im Protospinsystem ist mindestens einer Funktion (Bedeutung) zugeordnet. Ein Protospinsystem ist die Menge aller (Peak,Bedeutungs)-Paare die ihm zugeordnet sind. In einem Protospinsystem ist jeder Bedeutung nur ein Peak zugeordnet (n:1-Beziehung). Ein Protospinsystem ist Besitzer seiner Ressourcen und daher selbst eine Resource.

Diese Definition des Protospinsystems erweitert die Definition des Protospinsystems im manuellen Assignment aus Kapitel 1 um die Funktion als Resource und Besitzer und um die 1:n Beziehung zwischen Peak und Bedeutung. Die Regeln, nach denen die Protospinsysteme gebildet werden, hängen von dem NMR Experimentset ab. Die Strukturbedingungen für ein Protospinsystem werden auch als (Struktur-)Muster bezeichnet.

Definition: gleiche Frequenz: Wenn zwei Frequenzen mit Gl. 2-1 einen Qualitätswert größer 0 ergeben, sind sie *frequenzgleich*. Der Toleranzfaktor der Frequenz Δ hängt von der Funktion der zugrunde liegenden Atome ab. Frequenzpaare werden mit Gl. B-2 getestet. Die Standardwerte für Δ sind in Tabelle 2-1 aufgeführt.

| Isotop / Dimension | 1H_N | ^{15}N | CO | CA/CB |
|--------------------|---------|----------|------|-------|
| Δ [ppm] | 0.05 | 0.55 | 0.55 | 1 |

Tabelle 2-1 Standardwerte für Δ in ppm

2.2.1 Protospinsystempool

Die Protospinsysteme bilden zusammen den Protospinsystempool. Der Pool kann, je nach angewandten Filtern, für das gleiche Problem unterschiedlich zusammengesetzt sein.

| Kurzbezeichnung | Beschreibung |
|-----------------|--|
| oPa | Ein Pool, der nur aus perfekten , d.h. theoretischen Protospinsystemen besteht. Jedes Protospinsystem ist allen Aminosäuren zugeordnet. Die Aminosäureerkennung beschränkt die Positionen nicht. |
| oP | Ein Pool, der nur aus perfekten , d.h. theoretischen Protospinsystemen besteht. Die Protospinsysteme sind nur einzelnen Aminosäuren zugeordnet. Die Aminosäureerkennung beschränkt die zulässigen Positionen. |
| oMa | Ein Pool, der auch Protospinsysteme mit Defekten enthält. Jedes Protospinsystem ist allen Aminosäuren zugeordnet. Die Aminosäureerkennung beschränkt die Positionen nicht. |
| oM | Ein Pool, der auch Protospinsysteme mit Defekten enthält. Die Protospinsysteme sind nur einzelnen Aminosäuren zugeordnet. Die Aminosäureerkennung beschränkt die zulässigen Positionen. |

Tabelle 2-2 Kurzbezeichnungen der Protospinsystempoolvarianten, wie sie in den Kapiteln 3 bis 5 benutzt wird.

2.2.2 Relationen zwischen Protospinsystemen

In den folgenden Unterkapiteln werden verschiedene Relationsfunktionen und –operationen zwischen den Protospinsystemen verwendet. Diese werden hier eingeführt und definiert.

Definition: Die *Differenz* D zweier Protospinsysteme a, b ist die Menge aller (Peak,Bedeutungs)–Paare, die nur in einem der beiden Protospinsysteme vorkommen.

Die Differenz zweier Protospinsysteme kann ein Protospinsystem sein, wenn es die Bedingungen eines Protospinsystems erfüllt. Die meisten Differenzen enthalten aber mehrere (Peak,Bedeutungs)–Paare zur gleichen Bedeutung.

Definition: *resourcengleich:* Zwei Protospinsysteme a und b sind resourcengleich, wenn sie die gleichen Ressourcen verwenden. Die Bedeutung der Ressourcen in a und b kann unterschiedlich sein.

Definition: *funktional gleich:* Zwei Protospinsysteme a und b sind funktional gleich, wenn sie zu den gleichen backbone Frequenzen führen.

Definition: *subfunktional:* Protospinsystem a ist subfunktional zu b , wenn a weniger backbone Frequenzen als b erklärt und alle Frequenzen aus a in b vorhanden sind. b ist dann *superfunktional* zu a . Die Frequenzen werden mit einer toleranten Vergleichsfunktion verglichen (Gl.B–1).

Definition: *strukturgleich:* Zwei Protospinsysteme a und b sind strukturgleich, wenn sie resourcengleich und funktional gleich sind und identische Peaks die gleiche Bedeutung haben. Die Peaks sind dann gleich verknüpft. Strukturgleiche Protospinsysteme sind gleich, wenn sie die gleiche Bewertungsfunktion durchlaufen haben.

Definition: *Substruktur, Superstruktur:* Protospinsystem a ist eine Substruktur (subCX) von b , wenn man a durch Entfernen von Peaks aus b erzeugen kann. b ist dann eine Superstruktur von a .

Definition: *konkurrenzneutral:* Ein Peak ist konkurrenzneutral, wenn er nur zu einem Basispeak gehört. Die Substrukturbeziehung ist konkurrenzneutral, wenn die Ressourcen der Differenz der Protospinsysteme konkurrenzneutral sind. Ein Protospinsystem ist konkurrenzneutral, wenn es aus konkurrenzneutralen Ressourcen besteht. Zwei Protospinsysteme sind zueinander konkurrenzneutral, wenn sie gleichzeitig erworben werden können.

2.3 AS–Protospinsysteme

Definition: *AS–Protospinsystem (ACX):* Ein Protospinsystem, das alle Ressourcen eines, ein bis zwei Aminosäuren langen, backbone– und Seitenketten–Abschnitts aufgrund eines einfachen Ordnungskriteriums zusammenfaßt. Es muß den AS–Strukturtest des verwendeten Experimentsystems bestehen. Alle AS–Protospinsysteme eines Proteins können gleichzeitig erworben werden.

Das Ordnungskriterium im Bax Experimentset ist das NH,N–Frequenzpaar. Die NH,N–Frequenzen jedes Peaks eines Protospinsystems muß mit dem NH,N–Frequenzpaar des HNCO Peaks übereinstimmen. Dieser Peak ist der Basispeak des Protospinsystems.

2.3.1 Die AS-Protospinsystemmuster für das Bax Experimentset

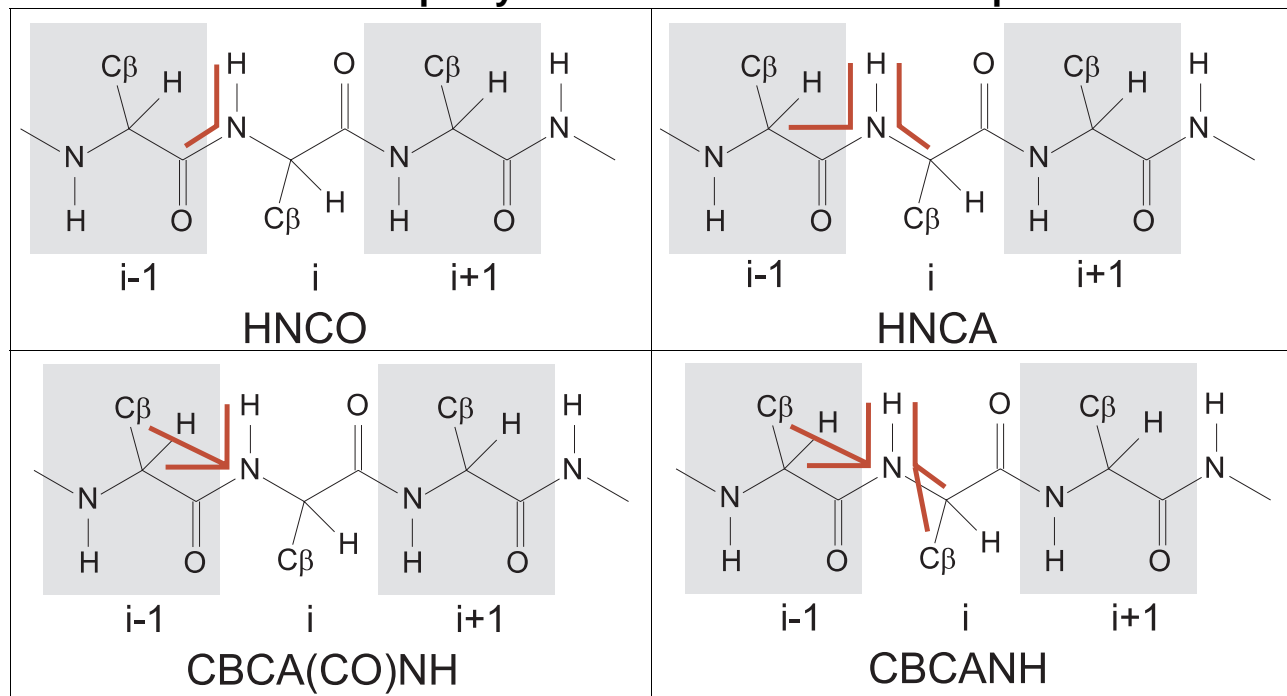


Abbildung 2-1 Ausschnitt des backbones mit den 1J -Magnetisierungstransferpfaden, die für die Zuordnungsstrategie verwendet werden.

Das Bax Experimentset (siehe auch Kap. 1.2.1) besteht aus 4 Experimenten vom Typ HNCO, HNCA, CBCANH und CBCA(CO)NH. Ein Protospinsystem enthält Peaks mit Frequenzen aus jeweils zwei benachbarte Aminosäuren ($(i-1)$ und i). Alle Peaks eines Protospinsystems enthalten die 1HN und ^{15}N Frequenz der Aminosäure i . Die Peaks mit übereinstimmenden ^{13}C Frequenzen sind in Tabelle 2-3 aufgeführt.

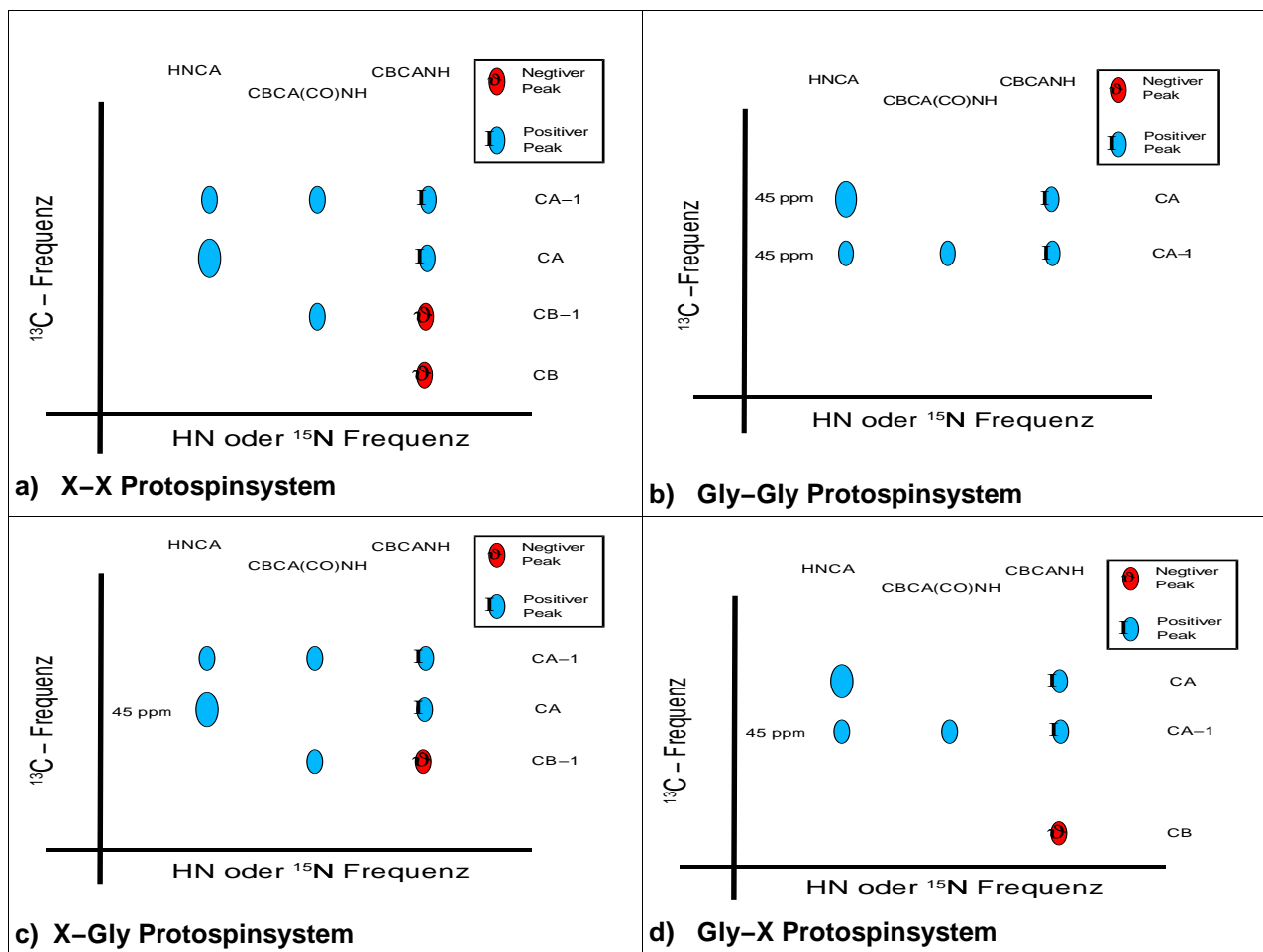


Abbildung 2-2 Die zu erwartenden Peakmuster für die in Tabelle 2-3 aufgeführten Protospinsystemtypen mit den Experimenten des Bax Experimentsets. Die Protospinsysteme wurden in der HN- oder N15-Dimension gedehnt, da sich sonst alle Peaks mit der gleichen Frequenz überlagern würden.

| Peak | H _i | N _i | CO _{i-1} | CA _{i-1} | CB _{i-1} | CA _i | CB _i | Volumen |
|-----------------|----------------|----------------|-------------------|-------------------|-------------------|-----------------|-----------------|---------|
| HNCO | x | x | x | | | | | |
| HNCA CA-1 | x | x | | x | | | | <= |
| HNCA CA | x | x | | | | x | | >= |
| CBCA(CO)NH CA-1 | x | x | | x | | | | |
| CBCA(CO)NH CB-1 | x | x | | | x | | | |
| CBCANH CA-1 | x | x | | x | | | | + |
| CBCANH CB-1 | x | x | | | x | | | - |
| CBCANH CA | x | x | | | | x | | + |
| CBCANH CB | x | x | | | | | x | - |

Tabelle 2-3 Die Peaks im Bax Experimentset. Frequenzen: x kennzeichnet vorhandene Frequenzen. Volumen: + und - bezeichnen das relative Vorzeichen des Peaks. >= und <= bezeichnen den größeren und kleineren HNCA Peak.

Außerdem gelten für die Peaks die folgenden Nebenbedingungen:

- Jedes Aminosäureprotospinsystem (kurz: ACX) enthält genau einen HNCO Peak.
- CBCA(CO)NH CB–1, CBCANH CB und CBCANH CB–1 haben ein negatives Volumen.
- CBCA(CO)NH CA–1, CBCANH CA und CBCANH CA–1 haben ein positives Volumen.
- Alle CA Frequenzen entsprechen der Funktion [Abb: "CA Freq" im Anh. C.1].
- Alle CB Frequenzen entsprechen der Funktion [Abb: "CB Freq weit" im Anh. C.1].
- HNCA CA–1 hat ein kleineres Volumen als HNCA CA. Diese Bedingung wird nicht immer eingehalten (weiche Bedingung).

Für die Implementierung wurden noch zusätzliche Bedingungen eingeführt, die den Lösungsraum begrenzen und Lösungen ausschließen, die *suboptimal* sind.

- Mindestens zwei der vier CA/CB–Frequenzen müssen im Protospinsystem enthalten sein.
- Aminosäuretyp: Wenn auf der i oder $i-1$ Seite eine Frequenz vorhanden ist, müssen die Frequenzen mindestens einem Aminosäuretyp entsprechen [Abbildungen: "AS Typen" im Anh. C.2].
- Nutzungsgrad n : Die Protospinsysteme müssen mindestens $n\%$ der vorhandenen Peaks oder, falls, durch Überlappung oder Fehlpeaks, mehr als $maxPeaksForPattern$ Peaks vorhanden sind, $n\%$ von $maxPeaksForPattern$ enthalten. Typische Werte für n sind 75–95%, je nach Qualität und Überlagerung der Spektren.

Aminosäuren können aufgrund der Strukturunterschiede in mehrere Gruppen eingeteilt werden. Die größte Gruppe (X) bilden die Aminosäuren, die im Protein sowohl ein CA–, ein CB– und ein NH–Atom enthalten. Die zweite Gruppe (G) besteht aus der Aminosäure Glycin, das kein CB–Atom enthält. Die dritte Gruppe (P) enthält nur Prolin, das kein NH Proton im Protein enthält.

Da die Protospinsysteme des Bax Experimentsets die Frequenzen zweier benachbarter Aminosäuren enthalten, müssen die Protospinsystemmuster die verschiedenen Nachbarschaftspaare berücksichtigen.

Das einfachste Nachbarschaftspaar ist XX, d.h. zwei Aminosäuren der Gruppe X. Diese Nachbarschaft wird vom Standardprotospinsystemmuster berücksichtigt.

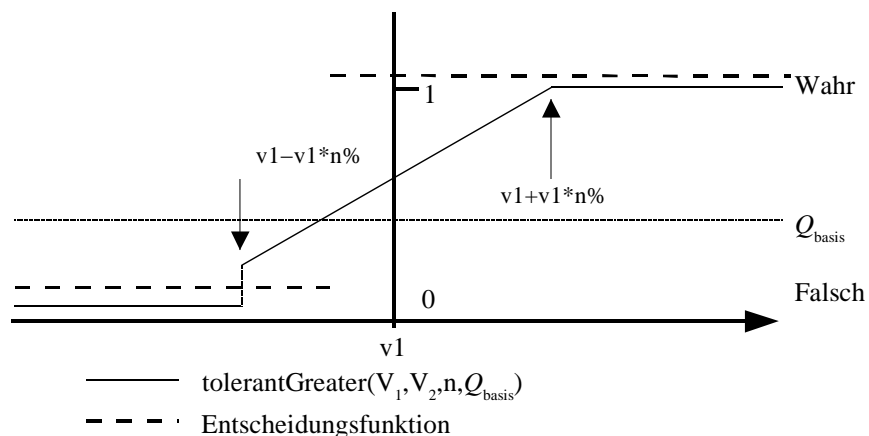
Die Glycin Protospinsysteme enthalten kein CB Atom und daher auch keine Peaks mit CB Frequenzen. Da die Protospinsystemmuster mit Glycin sich je nach der Position des Glycins unterscheiden, entstehen dadurch drei Arten von Glycin–Mustern.

Aminosäurepaare mit einem Prolin in i –Position (XP) erzeugen keine Protospinsysteme, da ihnen das 1HN Proton fehlt. Aminosäurepaare mit einem Prolin in $i-1$ Position (PX) können Protospinsysteme erzeugen. Sie werden wie normale XX Protospinsysteme behandelt.

| Abkürzung | XX | PX | GX | XG | GG |
|--------------------|---------------|-----------------|-----------------|-----------------|-------------------|
| Nachbarschaft | $X(i-1)-X(i)$ | $Pro(i-1)-X(i)$ | $Gly(i-1)-X(i)$ | $X(i-1)-Gly(i)$ | $Gly(i-1)-Gly(i)$ |
| maxPeaksForPattern | 9 | 9 | 7 | 8 | 6 |

Tabelle 2-4 Benachbarte Aminosäure-Protospinsystemtypen, ihre Abkürzungen und die maximale Anzahl der Peaks für ein vollständiges Protospinsystem. $X(n)$ bezeichnet eine beliebige Aminosäure außer Glycin und Prolin in Position i . maxPeaksForPattern ist die Anzahl der Peaks, die für ein perfektes Spinsystem zu erwarten ist. X steht für eine beliebige Aminosäure, andere Buchstaben entsprechen den Aminosäuren gemäß dem 1-Buchstabenkode.

2.3.2 Toleranter Vergleich des Volumens zweier Peaks



Die Bewertung einer Zuweisung erfordert den Vergleich des Volumenverhältnisses zweier Peaks im gleichen Spektrum. Das Volumen des einen Peaks ist theoretisch zwar größer als das des anderen, doch in der Praxis wird dieses Verhältnis, auf Grund der Fehlerbreite der Messung, nicht eingehalten. Statt dessen wird im manuellen Assignment ein toleranter Vergleich verwendet, der das Volumenverhältnis noch akzeptiert, wenn der theoretisch kleinere Peak den theoretisch größeren nur geringfügig überragt. Die Funktion tolerantGreater(V_1, V_2, n, Q_{basis}) implementiert diesen Vergleich zwischen den Volumens zweier Peaks.

Die Bedingung ist erfüllt, wenn das Volumen des zweiten Peaks (V_2) entweder kleiner oder nicht mehr als $n\%$ des Volumens des ersten Peaks (V_1) ist.

Im Bereich von $V_1 + n\%(V_1)$ bis $V_1 - n\%(V_1)$ steigt die Qualität linear an.

n ist der Prozentsatz des Volumens V_1 im Bereich $[0 .. 1]$.

$$\text{tolerantGreater}(V_1, V_2, n, Q_{basis}) := \begin{cases} \text{wenn } V_1 + d \leq V_2 & : & 0 \\ \text{wenn } V_1 - d \geq V_2 & : & 1 \\ \text{dazwischen} & : & \frac{Q_{basis} - 1}{-2d} * (V_1 - V_2 - d) + Q_{basis} \end{cases} \quad (2-2)$$

mit

$$n \%(V_1) := d := V_1 * n$$

2.3.3 Implementierung der Muster

Die Bedingungen für die Protospinsysteme wurden als Zustandsmaschinen implementiert, die die Protospinsysteme sowohl erzeugen wie auch testen können. Um schnell und ohne Neukompilieren der Programme unterschiedliche Muster testen zu können, wurde eine Klassenbibliothek geschaffen, die einen Regelparser und einen Bedingungsprozessor für eine problemspezifische Programmiersprache enthält. Diese Programmiersprache implementiert die Einzelbedingungen des Protospinsystemmusters. Die Bedingungen können zu Gruppen zusammengefaßt werden, die zusammen als Einzelbedingung in einer weiteren Gruppe fungieren können.

Jeder Aminosäure-Protospinsystemtyp wird von einer anderen Zustandsmaschine implementiert. Der Quellcode der Bedingungen des XX-Musters ist im Anhang D.1 dargestellt.

Da die HNCA Volumen-Bedingung nicht immer eingehalten wird (weiche Bedingung), wurde sie nicht in das Suchmuster aufgenommen, sondern wird erst in der Bewertung der Protospinsysteme berücksichtigt.

Das XX-Muster findet auch die Protospinsysteme der Glycin-Aminosäuren. Wenn die Experimente sehr unvollständige Spinsysteme enthalten, muß das XX-Muster so tolerant konfiguriert werden, daß auch Gly-Protospinsysteme als XX-Protospinsystem akzeptiert werden. Daher werden, auf jeden Basisknoten der mindestens einen Glycin Peak enthält, der der Funktion "istEinGly" im Anhang C.1 entspricht, die Protospinsystemmuster in D-2 bis D-4 angewendet, um den Typ des Knotens zu bestimmen.

Die Gly-Muster sind auf die Besonderheiten der Gly-Protospinsysteme zugeschnitten. Sie enthalten einen Frequenztest für den Gly-Frequenzbereich und berücksichtigen nur die Peaks, die in einem Gly-Protospinsystem enthalten sein können.

2.3.4 Implementierung der Suche

Auf jeden Basisknoten (HNCO Peak) wird das XX-Muster angewandt, bis der gesamte Lösungsraum des Knotens durchsucht ist. Die Protospinsysteme werden in einer Liste je BP gesammelt und die Liste mit verschiedenen Filtern behandelt.

2.3.5 Filter

Jeder Haltepunkt der Zustandsmaschine ergibt eine Lösung der Mustersuche. Da die Zustandsmaschine jeweils nur eine Lösung auf einmal betrachtet, kann sie prinzipbedingt keine Optimierungen aufgrund von Beziehungen zwischen den Protospinsystemen (Lösungen) vornehmen. Die Liste der Protospinsysteme wird daher mit einer Serie von Filterregeln nachbearbeitet. Die Filter nehmen dabei den Teil der nachfolgenden Optimierung vorweg, für den man das Ergebnis vorhersagen kann. Diese Filter finden Aminosäureprotospinsystemgruppen, die die Menge der Aminosäureprotospinsysteme (ACX) nur vergrößern, ohne neue Informationen zur Lösungsmenge der Optimierung beizutragen, d.h. Protospinsysteme, die während der Optimierung durch andere, höher bewertete Protospinsysteme verdeckt werden.

Die folgenden Filterregeln wurden implementiert:

- a. Entferne doppelte ACX aus der Liste.
- b. Entferne alle suboptimalen Interpretationsvarianten:

- bilde eine Gruppe aller strukturell gleichen ACX, die auch funktional gleiche oder substrukturelle ACX zum gleichen Super-ACX sind.
 - bestimme den strukturellen Super-ACX der Gruppe.
 - lösche alle anderen Gruppenmitglieder aus der Liste.
- c. Entferne die ACX, die durch einen anderen ACX mit der gleichen Funktion ausgetauscht werden können, ohne das Optimierungsergebnis zu verändern:
- bilde die Gruppe aller resourcengleichen CX, die nicht strukturgleich, aber funktional gleich sind.
 - suche den CX mit dem maximalen Qualitätswert der Gruppe.
 - lösche alle anderen Gruppenmitglieder aus der Liste.
- d. Entferne ACX, die während der Optimierung durch einen äquivalenten ACX mit mehr Ressourcen ersetzt werden:
- für jede strukturelle Subprotospinsystembeziehung mit den Protospinsystemen(subCX, superCX):
- wenn die strukturelle Subprotospinsystembeziehung auf (einer) konkurrenzneutralen Resource(n) beruht und subCX auch funktionaler Subcontext von superCX ist, dann entferne subCX.

2.3.6 Suchmuster für mögliche Glycin Spinsysteme

Da Glycine kein CB Atom enthalten und die Frequenz ihres CA Peaks isoliert von den CA Frequenzen anderer Aminosäuren ist, kann man ihre Spinsysteme meistens gut von den Spinsystemen anderer Aminosäuren unterscheiden. Die Protospinsystemerkennung mittels des XX-Musters kann diese Protospinsysteme finden, obwohl sie nicht auf diese Eigenschaften speziell abgestimmt ist. Wenn die Qualität der Spinsysteme schlecht ist, kann man die Glycin Protospinsysteme gezielt mittels der GX- oder XG-Muster suchen.

Für diese Suche wird zunächst jeder HNCO Knoten, der mit einem Peak im Bereich der Bewertungsfunktion (~45 ppm) verknüpft ist, gesucht. Danach werden nur auf diese Knoten die Glycin-Muster GX, XG oder GG angewandt.

2.3.7 Konkurrierende Peakgruppen

In realen Spektren führen überlappende Spinsysteme zu mehrdeutigen Situationen. Eine reine Maximum-Strategie, die für jeden Basisknoten nur die maximal aufgefüllten ACX akzeptiert und alle Substruktur ACX entfernt, führt zum falschen Ergebnis, da dann die ACX der gesamten Gruppe nicht mehr gleichzeitig erworben werden können und so die Gruppenqualität nicht maximal ist. Die ACX Listen enthalten dann, je Basisknoten, nur noch die ACX, die auch Peaks beanspruchen, die eigentlich zu einem der anderen Spinsysteme gehören. Ein ACX Gruppenfilter muß daher die Konkurrenzsituation der Spinsystemgruppe, d.h. die Spinsysteme die durch Überlappung zusammengefaßt werden, berücksichtigen.

Der Gruppenfilter betrachtet dazu die Spinsysteme aller konkurrierenden Basispeaks als eine Gruppe und versucht die Gruppe statt der einzelnen Spinsysteme zu optimieren. Dabei werden auch die Konkurrenten der Konkurrenten in die Gruppe der Konkurrenten eines Basispeaks aufgenommen.

Damit der Algorithmus eine Spinsystemgruppe auflösen kann, müssen alle Spinsysteme ungefähr gleich viele Peaks zur Gruppe beitragen. Außerdem darf die Gruppe keine überschüssigen (zusätzlichen) falschen Peaks enthalten, die die Mustersuche in die Irre führen. Die Gruppentrennung kann entweder mittels des automatischen Gruppenfilters oder manuell durchgeführt werden. Die Gruppen werden mit einem zweiten Programm gesucht.

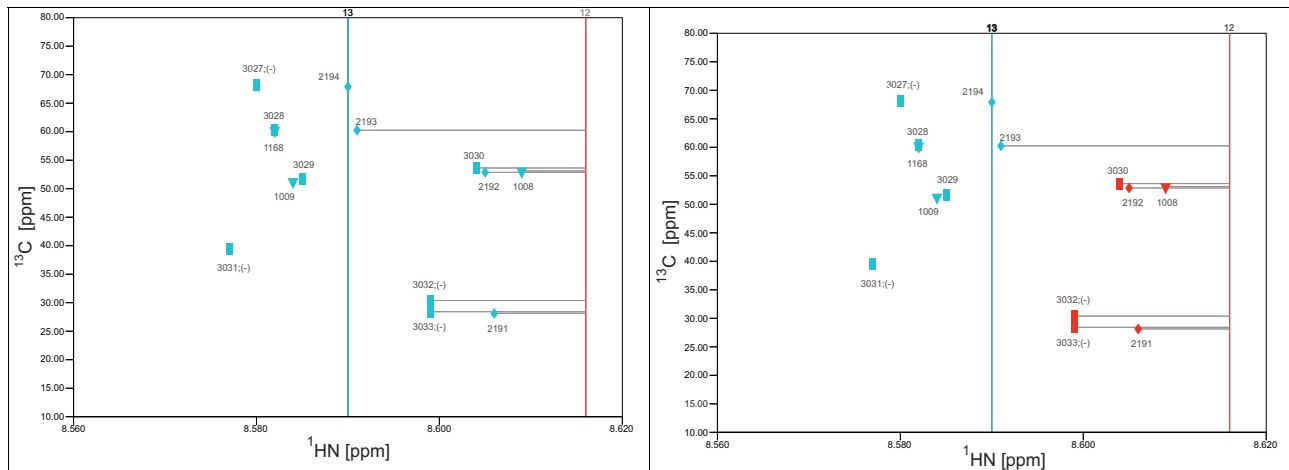


Abbildung 2–3 Separation der überlappenden Spinsysteme P12 und P13. Projektion der Peaks in die $[^1\text{H}, ^{13}\text{C}]$ -Ebene, die im PeakNet mit den Basispeaks 12 und 13 verknüpft sind.

Links: vor der Trennung. Rechts: Nach der Trennung.

Ein Beispiel für die automatische Separation, ist die erfolgreiche Trennung der Gruppe P13 + P12 in C21W/CAM (Abbildung 2–3). Ohne Trennung wurden für P13 und P12 je ein maximaler ACX im Cache abgelegt, von denen jeweils nur einer gleichzeitig erworben werden kann, da einige Peaks in beiden ACX enthalten sind. Durch die Trennung wurden ursprünglich suboptimale ACX, die weniger Peaks enthalten, wieder in die Liste aufgenommen, und die maximalen ACX aus den Listen entfernt. Die maximale Summe der Qualitätswerte der ACX aus beiden BP ist jetzt höher als vor der Trennung.

Die Ziffern neben den Peaks sind die Identifikationsnummern (ID) der Peaks. Ein Minuszeichen in Klammern hinter der ID bezeichnet ein negatives Vorzeichen des Peakvolumens. Die Form des Peaksymbols bezeichnet das Experiment aus dem der Peak stammt. Rechtecke stammen aus dem CBCANH, Romben aus dem CBCA(CO)NH und Dreiecke aus dem HNCA. Die HN Frequenz des HNCOs wird als senkrechte Linie markiert. Peaks, die nur dem Basispeak BP13 zugeordnet wurden, sind blau markiert, die nur zu BP12 gehören, sind rot.

In der linken Abbildung sind alle Peaks, die BP12 zugeordnet werden können, auch in der Entscheidungsmenge für BP13 enthalten und daher blau. Die Peaks auf der rechten Seite der gleichen Abbildung (von 8.595 bis 8.62ppm) gehören aber auch zu BP12 und sind daher mit der HN-Linie des BP12 verbunden. In der rechten Abbildung wurden die Spinsysteme für BP12 und BP13 getrennt, daher sind die Peaks für BP12 rot, da sie nicht zu BP13 gehören.

Das Protospinsystem um BP13 wurde als Thr79,Asp80 identifiziert. BP12 enthält das Protospinsystem für Glu114,Lys115.

2.4 Manuelle Bearbeitung

Für extrem überlagerte Spinsystemgruppen reichen die bisher besprochenen (automatischen) Filterregeln nicht aus, um die Anzahl der resultierenden ACX auf eine berechenbare Menge zu begrenzen. Daher wurde eine grafische Oberfläche entworfen, mit der man die automatisch erstellten ACX-Listen mittels manuell erstellter Strukturbedingungen weiter reduzieren kann. Diese Implementierung ermöglicht eine iterative Verfeinerung der Protospinsystempools. Dieser Filter wird von den sogenannten knotenlokalen Bedingungen implementiert.

2.4.1 Knotenlokale Bedingungen

Knotenlokale Bedingungen sind Bedingungen, die für jeden Basisknoten speziell angepaßt werden und nur auf die AS-Protospinsysteme dieses Knotens angewendet werden. Für jeden Basisknoten wird eine Liste von Bedingungen definiert, die sich aus den Bedingungstypen in Tabelle 2-5 zusammensetzen. Jede Bedingung kann auch in ihrer negierten Form verwendet werden. Außerdem kann eine Bedingung aktiviert oder deaktiviert sein. Die AS-Protospinsysteme, die allen aktiven Bedingungen gleichzeitig genügen, bilden dann die reduzierte ACX-Liste für diesen Basisknoten.

| Typ | Parameter | Beschreibung |
|---------------|--|--|
| containsAll | Liste von (Name,Peak)-Paaren | Sind alle beschriebenen Bedeutungen enthalten? |
| maybeContains | –"- | Sind entweder alle beschriebenen Bedeutungen enthalten oder keine? |
| setMember | Liste von Peaks | Sind alle beschriebenen Ressourcen enthalten? |
| inRange | Liste aus (Name,Frequenz, maxDist)-Gruppen | Sind alle angegebenen Frequenzen, innerhalb einer Toleranz, vorhanden? |

Tabelle 2-5 Implementierte knotenlokale Bedingungstypen. Von jeder der Bedingungen kann auch die negierte Form bewertet werden.

2.4.2 Automatisch erstellte knotenlokale Bedingungen

Um die manuelle Bearbeitung zu vereinfachen, wird zu Anfang für jeden Knoten eine Liste mit Bedingungen aus den Mitgliedern des Basisknotens generiert. Die Bedingungen (Tabelle 2-6) beschreiben alle möglichen perfekten Teilspinsysteme des Spinsystems einer Aminosäure, zB. alle Peaks des HNCA Experiments oder alle Peaks, die die Frequenz CA-1 tragen. Sie sollen in einem Basisknoten mit Defekten die perfekten Teilspinsysteme isolieren.

Für perfekte Basisknoten wird dadurch automatisch das theoretische Protospinsystem isoliert, da sich die generierten Bedingungen nicht widersprechen. In einem Basisknoten, der mit einem Nachbarknoten

überlappt oder der überschüssige Peaks enthält, widersprechen sich die perfekten Bedingungen und müssen dann manuell abgeschaltet werden. Wenn Peaks fehlen, können einzelne perfekte Bedingungen nicht erfüllt werden, da diese perfekte, d.h. vollständige Teilspinsysteme voraussetzen. Diese Bedingungen müssen dann manuell abgeschaltet werden.

Zusätzliche Bedingungen können manuell angelegt werden. Durch die lokal angepaßten Bedingungen vereinfacht sich die Berechnung der Lösungsmenge, da die Größe des Lösungsraumes verringert wird.

| Lokale Bedingungen | Beschreibung | Konfigurationsdatei |
|------------------------------------|--|------------------------|
| <i>Einzelexperimentbedingungen</i> | faßt alle Peaks eines Experiments zusammen. | |
| HNCA Paar | Je Basispeak ein Paar von HNCA Peaks mit den Frequenzen CA-1 und CA. Das Volumen von CA muß grösser als das von CA-1 sein. | listHNCA.complete |
| CBCA(CO)NH Paar | Je Basispeak ein Paar von CBCA(CO)NH Peaks mit den Frequenzen CA-1 und CB-1. Die Frequenzen müssen den Fuzzy-Funktionen »istEinCA« bzw. »istEinCB« entsprechen. Das Paar (CA-1&CB-1) muß der 2D Fuzzy-Funktion nach Griezick entsprechen. | listCBCA_CONH.complete |
| CBCANH Quartet | Je Basispeak sind vier Peaks vorhanden (CA-1, CB-, CA, CB). Die Frequenzen müssen den Fuzzy-Funktionen »istEinCA« bzw. »istEinCB« entsprechen. Die Paare (CA-1&CB-1, CA&CB) müssen der 2D Fuzzy-Funktion nach Griezick entsprechen. Die CB-Peaks haben außerdem ein negatives Volumen. | listCBCANH.complete |
| <i>Einzelfrequenzbedingungen.</i> | faßt alle Peaks mit der funktional gleichen Frequenz zusammen. | |
| CA | Intranode verknüpftes Paar der Experimente HNCA und CBCA(CO)NH. | listCA.complete |
| CA-1 | Intranode verknüpftes Paar der Experimente HNCA, CBCANH und CBCA(CO)NH. | listCA_m1.complete |
| CB-1 | intranode verknüpftes Paar der Experimente CBCANH und CBCA(CO)NH. | ListCB_m1.complete |
| CB | Nur ein Peak im CBCANH, nicht suchbar da nicht selektiv. | |

Tabelle 2-6 Liste der automatisch erstellten knotenlokalen Bedingungen für das Bax Experimentset.

Die Suche nach den Einzelfrequenzbedingungen erfordert eine intranodale Verknüpfung der Peaks. Die mit den in Tabelle (2-6) definierten Suchbedingungen gefundenen ACX werden dann in lokale Bedingungen übersetzt und können in der graphischen Benutzeroberfläche verifiziert und manuell zugelassen werden.

Die intranodalen Verknüpfungen werden temporär in einer eigenen Instanz des Peaknetzes angelegt. Dabei werden nur Verknüpfungen zwischen Peaks aus Nichtbasisexperimenten angelegt, bei denen beide Peaks mit dem gleichen Basisknoten verknüpft sind. Verknüpft werden Peaks mit gleicher Frequenz aufgrund der Abstandsfunktion.

| Startpunkt | | Endpunkt |
|------------------|-----|----------------------|
| HNCA :Achse CA | <-> | CBCANH:Achse CAB |
| HNCA :Achse CA | <-> | CBCA(CO)NH:Achse CAB |
| CBCANH:Achse CAB | <-> | CBCA(CO)NH:Achse CAB |

Tabelle 2–7 Angelegte intranodale Verknüpfungen für die Detektion knotenlokaler Bedingungen.

Die Anzahl der entstehenden Verknüpfungen ist dadurch wesentlich geringer als bei einer vollständigen Verknüpfung aller Peaks mit ähnlicher Frequenz in der CA/CB Achse.

2.5 Link–Protospinsysteme

Bisher wurden die AS–Protospinsysteme nur als isolierte Einheiten beschrieben, die um Ressourcen konkurrieren und bestimmten Strukturbedingungen entsprechen müssen. Außer der AS–Typeninformation enthalten die bisherigen Bedingungen kein Kriterium, das eine Zuordnung eines AS–Protospinsystems zu einer bestimmten Aminosäure begründet. Die Nachbarschaftsbeziehung zwischen Aminosäuren erzwingt, daß die Frequenzen ihrer AS–Protospinsysteme übereinstimmen. Diese Information wurde bisher nicht genutzt.

Dazu wurde das **Link**–Kriterium eingeführt, das die Reihenfolge ($ACX_1 \xrightarrow{\text{LINK}} ACX_2$) testen und bewerten kann. Um das Link–Kriterium für zwei AS–Protospinsysteme zu überprüfen, wird das Link–Protospinsystem aus den benachbarten AS–Protospinsystemen gebildet und mit dem zugehörigen Link–Protospinsystem–muster bewertet.

Definition: *Link–Protospinsystem (LCX):* Ein Protospinsystem, das zwei AS–Protospinsysteme verbindet. Es muß den Link–Strukturtest des verwendeten Experimentsets bestehen. Es kann nicht gleichzeitig mit einem der beiden AS–Protospinsysteme erworben werden, da es die selben Ressourcen verwendet, wie die AS–Protospinsysteme. Die Strukturbedingungen werden vom *Link–Muster* implementiert. Das Link–Muster ist nicht kommutativ.

2.5.1 Das Link–Protospinsystemmuster für das Bax Experimentset

Das Link–Protospinsystemmuster für das Bax Experimentset besteht aus 8 Einzelbedingungen, die je einen Pfad vom i zum $i+1$ HNCO Peak beschreiben, an dem jeweils 4 Peaks beteiligt sind. Jeder Pfad beschreibt einen gerichteten Weg (Brücke) zwischen den benachbarten Spinsystemen.

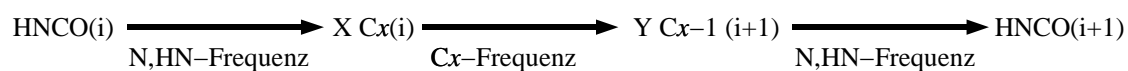


Abbildung 2–4[Cx,X,Y]–Brücke zwischen benachbarten AS–Protospinsystemen. Cx ist CA oder CB, X und Y sind die Namen eines Experiments mit einer ^{13}C –Frequenz aus dem Experimentset.

Die Einzelbedingung kann entweder *erfüllt*, *ignorierbar* oder *nicht erfüllt* sein.

Die Einzelbedingung ist erfüllt, wenn alle vier Peaks vorhanden sind und die korrespondierenden Frequenzen übereinstimmen. Die Bedingung ist nicht erfüllt, wenn alle Peaks vorhanden sind und mindestens eine Frequenz nicht übereinstimmt. Sie wird ignoriert, wenn wenn mindestens eine der Vorbedingungen nicht erfüllt ist, d.h. wenn mindestens einer der Peaks fehlt. Die HNCO Peaks sind zwangsläufig vorhanden, da sonst die AS-Protospinsysteme nicht existieren können.

Das gesamte Link-Protospinsystemmuster ist erfüllt, wenn mindestens eine Bedingung erfüllt ist. Die anderen einzelnen Bedingungen müssen dann erfüllbar oder ignorierbar sein.

2.5.2 Erzeugen der Link-Protospinsysteme

| Peak im LINK | i -Teil des i Spinsystems | i-1 -Teil des i+1 Spinsystems | Brücke |
|-----------------|---------------------------|-------------------------------|--------|
| HNCO i | HNCO | | alle |
| HNCO i+1 | | HNCO | alle |
| HNCA CA-1 | | HNCA CA-1 | 1,4 |
| HNCA CA | HNCA CA | | 1,2,3 |
| CBCA(CO)NH CA-1 | | CBCA(CO)NH CA-1 | 2,5 |
| CBCA(CO)NH CB-1 | | CBCA(CO)NH CB-1 | 7 |
| CBCANH CA-1 | | CBCANH CA-1 | 3,6 |
| CBCANH CB-1 | | CBCANH CB-1 | 8 |
| CBCANH CA | CBCANH CA | | 4,5,6 |
| CBCANH CB | CBCANH CB | | 7,8 |

Tabelle 2-8 Die einzelnen Ressourcen des Link-Protospinsystems und ihr Ursprung.

| NR | i -Teil des i Spinsystems | i-1 -Teil des i+1 Spinsystems |
|----|---------------------------|-------------------------------|
| 1 | HNCA CA | HNCA CA-1 |
| 2 | HNCA CA | CBCA(CO)NH CA-1 |
| 3 | HNCA CA | CBCANH CA-1 |
| 4 | CBCANH CA | HNCA CA-1 |
| 5 | CBCANH CA | CBCA(CO)NH CA-1 |
| 6 | CBCANH CA | CBCANH CA-1 |
| 7 | CBCANH CB | CBCANH CB-1 |
| 8 | CBCANH CB | CBCA(CO)NH CB-1 |

Tabelle 2-9 Brücken mit gleicher Frequenz im Link-Protospinsystem. Die HNCO Peaks von i und i+1 sind in allen Brücken vorhanden.

Das Link-Protospinsystem für das Bax Experimentset wird aus dem (i)-Teil des i Protospinsystems und dem (i-1)-Teil des i+1 Protospinsystems gebildet. Die Link-Protospinsysteme werden nach der Kombination der Teilspinsysteme mittels eines Protospinsystemmusters (Link-Muster) auf die Einhaltung der Strukturbedingungen überprüft. Das Link-Muster implementiert die Verknüpfungsbedingung und prüft die Übereinstimmung der Frequenzen der Peaks in den möglicherweise benachbarten AS-Protospinsystemen. Das Muster dient dabei als Strukturtest statt als Strukturgenerator. Die Konfiguration für das Link-Muster ist in Anhang D.1 aufgeführt.

2.6 Die Bewertungsfunktion

Für die Optimierung des N-ASS Problems wird eine Bewertungsfunktion gebraucht, die die Zustände im Lösungsraum relativ ordnet. Die folgenden Bewertungsfunktionen sind eine Implementierung der Kriterien in Tabelle 1-1.

2.6.1 Bewertung der AS-Protospinsysteme

Jedes Aminosäurepaar $[i-1, i]$, außer dem ersten, bildet ein AS-Protospinsystem, wenn die i Aminosäure kein Prolin ist. Die theoretische Anzahl der AS-Protospinsysteme ist daher:

$$\begin{aligned}
 a_{AS,max} &= a_{amino} - 1 - a_{Pro} && \text{die 1 berücksichtigt die AS am Anfang} \\
 \text{mit} &&& \\
 a_{amino} &= \text{Anzahl der Aminosäuren im Protein} \\
 a_{Pro} &= \text{Anzahl der Proline im Bereich Aminosäure } 2 \dots a_{amino}
 \end{aligned} \tag{2-3}$$

Die relative Qualität eines ACX soll die Position innerhalb der Rangfolge einer Gruppe von konkurrierenden ACX festlegen. Dazu muß die Bewertung drei grundlegende Nebenbedingungen für jede Gruppe von ACX erfüllen.

- Vollständigkeit: Das ACX mit der größeren Anzahl Peaks wird höher bewertet.
- Frequenzübereinstimmung: Das ACX mit der besseren Überlappung der Frequenzen wird höher bewertet.
- Volumenverhältnis: Ein ACX, welches das theoretische Volumenverhältnis zwischen HNCA CA und HNCA CA-1 Peak einhält, erhält einen Bonus. Das Volumen wird mit der Funktion `tolerantComp` (Gl. 2-2) verglichen.

Für die relative Gewichtung der ersten beiden Ordnungskriterien wurde keine theoretisch begründete Bedingung gefunden. Die Bedingungen werden gleichwertig behandelt. Die Protospinsysteme werden mittels Gl. 2-4 positionsunabhängig bewertet.

$$\begin{aligned}
 Q_{AS}(acx) &= \frac{1}{2.5} (Q_{Vollständigkeit}^{AS}(acx) + Q_{Verknüpfung}^{AS}(acx) + 0.5 Q_{HNCA\ Volumen}^{AS}(acx)) \\
 \text{mit} &&& \\
 Q_{Vollständigkeit}^{AS}(acx) &= \frac{1}{a_{ca,xx} + a_{cb,xx}} [a_{ca}(n_{ca}) + a_{cb}(n_{cb})] \\
 Q_{Verknüpfung}^{AS}(acx) &= \frac{1}{a_{ca,xx} + a_{cb,xx}} \left[\sum_{n_{ca}=0}^{a_{ca,xx}} Q_{kante_{ca}}(n_{ca}) + \sum_{n_{cb}=0}^{a_{cb,xx}} Q_{kante_{cb}}(n_{cb}) \right] \\
 Q_{HNCA\ Volumen}^{AS}(acx) &= \begin{cases} 1 & \text{wenn vol ist wahr} \\ 0 & \end{cases}
 \end{aligned} \tag{2-4}$$

mit

$$\begin{aligned}
 \text{vol} &= \text{tolerantComp}(Vol_{HNCA\ CA}, Vol_{HNCA\ CA-1}, tol_{HN}, base) > 0 \\
 tol_{HN} &= 0.05 \text{ die isotopenspezifische Toleranz} \quad \text{und} \quad base = 0.5
 \end{aligned}$$

Die Anzahl und Art der Kanten hängt von den erwarteten AS Strukturtypen ab. Glycin gehört zum Strukturtyp G, alle anderen Aminosäuren zu Typ X. Dadurch ergeben sich 4 Nachbarschaftspaare mit je einem Kantenset (siehe Tabelle 2-4) und einer Bewertungsfunktion.

| Nr | Peak | | XX | XG | GX | GG |
|----|-----------------|-----------------|----|----|----|----|
| 1 | HNCA CA | CBCANH CA | ✓ | ✓ | ✓ | ✓ |
| 2 | HNCA CA-1 | CBCANH CA-1 | ✓ | ✓ | ✓ | ✓ |
| 3 | HNCA CA-1 | CBCA(CO)NH CA-1 | ✓ | ✓ | ✓ | ✓ |
| 4 | CBCA(CO)NH CA-1 | CBCANH CA-1 | ✓ | ✓ | ✓ | ✓ |
| 5 | CBCA(CO)NH CB-1 | CBCANH CB-1 | ✓ | - | - | - |

Tabelle 2-10 Kanten entlang der CA, CB Frequenz, die zur Berechnung der Qualität eines AS-Protospin-systems verwendet werden.

Um den Aminosäuretyp eines ACX zu bestimmen, werden die CA und CB Frequenzen des ACX mit der Bewertungsfunktion `typeProb` nach Grzesiek (Anh: C) bewertet. Dadurch erhält man für jedes Aminosäurepaar im Protein die Wahrscheinlichkeit $Q_{AS}(acx,i)$, daß das ACX von diesem Paar Aminosäuretypen erzeugt wurde.

$$Q_{ASmitTyp}(acx,as_{i-1},as_i) = Q_{AS}(acx,i) + Q_{ASTyp}(acx,as_{i-1},as_i)$$

mit

$$Q_{ASTyp}(acx,as_{i-1},as_i) = \text{typeProb}(acx.CA_{i-1},acx.CB_{i-1},as_{i-1},Typ) + \text{typeProb}(acx.CA_i,acx.CB_i,as_i,Typ) \quad (2-5)$$

2.6.2 Bewertung der Link-Protospinsysteme

| Kanten | | | Nachbarschaftspaar | | | |
|--------|----------------|--------------------|--------------------|----|----|----|
| Nr | i Peak in AS i | i-1 Peak in AS i+1 | XX | XG | GX | GG |
| 1 | HNCA CA | HNCA CA-1 | ✓ | ✓ | ✓ | ✓ |
| 2 | HNCA CA | CBCANH CA-1 | ✓ | ✓ | ✓ | ✓ |
| 3 | HNCA CA | CBCA(CO)NH CA-1 | ✓ | ✓ | ✓ | ✓ |
| 4 | CBCANH CA | HNCA CA-1 | ✓ | ✓ | ✓ | ✓ |
| 5 | CBCANH CA | CBCANH CA-1 | ✓ | ✓ | ✓ | ✓ |
| 6 | CBCANH CA | CBCA(CO)NH CA-1 | ✓ | ✓ | ✓ | ✓ |
| 7 | CBCANH CB | CBCANH CB-1 | ✓ | - | - | - |
| 8 | CBCANH CB | CBCA(CO)NH CB-1 | ✓ | - | - | - |

Tabelle 2-11 Kanten im Link-Protospin-system, die für die Bewertung der Nachbarschaftsbeziehung zwischen zwei AS-Protospin-systemen genutzt werden.

Wenn zwei AS-Protospin-systeme zu benachbarten Aminosäurepositionen gehören, gibt es ein verknüpfendes Protospin-system. Das Link-Protospin-system (kurz: Link) wird je zur Hälfte aus den benachbarten AS-Protospin-systemen gebildet. Den Link von Aminosäure i nach i+1 bilden alle Peaks mit CA, CB-Frequenzen der Aminosäure i aus den AS-Protospin-systemen der i und i+1 Aminosäure.

Eine Ausnahme bilden der Anfang und das Ende des Proteins und die Nachbarschaft eines Prolins. Da Proline kein NH-Proton haben, existiert weder sein AS-Protospin-system noch das linke oder rechte Link-Protospin-system. Die theoretische Anzahl der Links ist daher

$$a_{Link,max} = a_{amino} - 1 - 1 - 2 a_{Pro,innen} \quad \text{je 1 für Anfang und Ende}$$

mit

$$a_{amino} = \text{Anzahl der Aminosäuren im Protein}$$

$$a_{Pro,innen} = \text{Anzahl der Proline im Bereich Aminosäure } 2 \dots (a_{amino} - 1)$$

(2-6)

| AS | AS Nr. | AS-Protospinsystem | AS-Typ | Link Nr. | Link-Protospinsystem | Linktyp |
|-----|--------|--------------------|---------|----------|---------------------------------------|---------|
| Gln | 1 | unvollständig | (leer)X | 0* | kein Link da Anfang | |
| Ala | 2 | Gln-Ala | XX | 1 | Ala-Ala | X |
| Gly | 3 | Ala-Gly | XG | 2 | Gly-Gly | Gly |
| Cys | 4 | Gly-Cys | GX | 3 | Cys-Cys | X |
| His | 5 | Cys-His | XX | 4 | (His-His) * | X |
| Pro | 6 | (His-Pro)* | XP | 5* | kein Link da Pro und Protei- nende | - |

Tabelle 2-12 Klassifizierung der Protospinsystemtypen für ein fiktives Protein in Abhängigkeit von der Aminosäuresequenz. Die mit * gekennzeichneten Protospinsysteme existiert nicht, da sie entweder am Rand des Proteins liegen oder zu einem Prolin führen.

Die Qualität eines Links wird mit Gleichung 2-7 bewertet. In Gl. 2-7 wird die Qualität sowohl nach der Anzahl der vorhandenen Brücken zwischen den benachbarten AS-Protospinsystemen als auch nach der Qualität der Brücken bewertet. Zusätzlich haben alle CA-Brücken zusammengekommen das gleiche Gewicht wie alle CB-Brücken zusammen, da sonst ein CA und CB verknüpfter Link schlechter gewertet wird als ein Link, in dem alle CA-Links vorhanden sind. Da die Anzahl der CB-Brücken kleiner als die der CA-Brücken ist, ergibt sich eine Gewichtung von $f_{ca}=1$ und $f_{cb}=3$. Außerdem erhält ein Link der sowohl CA als auch CB enthält einen Bonus.

$$Q_{Link}(l_{cx}) = 1/3 * (Q_{vollständigkeit}^{Link} + Q_{verknüpfung}^{Link} + Q_{CACBPaar}^{Link})$$

mit

$$Q_{vollständigkeit}^{Link}(l_{cx}) = \frac{1}{a_{ca,xx} + a_{cb,xx}} [f_{ca} a_{ca}(n_{ca}) + f_{cb} a_{cb}(n_{cb})]$$

$$Q_{verknüpfung}^{Link}(l_{cx}) = \frac{1}{a_{ca,xx} + a_{cb,xx}} \left[f_{ca} \sum_{n_{ca}=0}^{a_{ca,xx}} Q_{kante_{ca}}(n_{ca}) + f_{cb} \sum_{n_{cb}=0}^{a_{cb,xx}} Q_{kante_{cb}}(n_{cb}) \right]$$

$$Q_{CACBPaar}^{Link}(l_{cx}) = \begin{cases} 1 & \text{wenn } a_{ca}(l_{cx}) > 0 \wedge a_{cb}(l_{cx}) > 0 \\ 0 & \text{wenn } a_{ca}(l_{cx}) = 0 \vee a_{cb}(l_{cx}) = 0 \end{cases} \quad (2-7)$$

und der Anzahl der vorhanden Brücken

$$a_{ca}(l_{cx}) = \sum_{n_{ca}=0}^{a_{ca,xx}} \exists kante_{ca}(n_{ca})$$

$$a_{cb}(l_{cx}) = \sum_{n_{cb}=0}^{a_{cb,xx}} \exists kante_{cb}(n_{cb})$$

$$f_{ca} = 1 \quad f_{cb} = 3 \quad a_{ca,xx} = 6 \quad a_{cb,xx} = 2$$

2.6.3 Bewertungsfunktion für Individuen

Die Qualität eines Individuums S_i setzt sich aus den Qualitäten der einzelnen AS-Protospinsysteme und der Link-Protospinsysteme zusammen. Die Qualität der Link-Protospinsysteme wird vierfach gewertet. Die

Existenz eines Links führt zu einem Bonus (1). Jede Aminosäureposition wird außerdem mit einer Gewichtung f_i^{as} bewertet. Die Standardgewichtung ist für alle Aminosäurepositionen 1.

$$Q_{state}(\mathbf{S}_i) = \sum_{i=2}^{a_{as}} Q_A(i) + \sum_{i=1}^{a_{link}} Q_L(i)$$

mit

$$Q_A(i) = \begin{cases} 0 & \text{wenn } \text{not} \exists AS_{i-1,i} \\ \text{sonst } q_{as}(i) \end{cases}$$

$$Q_L(i) = \begin{cases} 0 & \text{wenn } \text{not} \exists LINK_{i+1,i+2} \\ 0 & \text{wenn } \exists LINK_{i+1,i+2} \wedge 10^{-4} > q_{link}(i) \\ \text{sonst } q_{link}(i) \end{cases} \quad (2-8)$$

$$q_{as}(i) = f_i^{as} \cdot Q_{ASmitTyp}(acx_i, i-1, i)$$

$$q_{link}(i) = f_i^{link} \cdot (4 \cdot Q_{Link}(lcx_i) + 1)$$

$$f_i^{link} = (f_{i+1}^{as} + f_{i+2}^{as}) / 2$$

Die theoretische Qualität eines Zustandes mit perfekten Protospinsystemen und perfekten Aminosäuretypen (alle AS Typen werden mit 1 bewertet) ist dann:

$$\max(Q_{state,theor}) = 3 a_{as} + 5 a_{link} \quad (2-9)$$

$\max(Q_{state,theor})$ wird selbst für perfekte Datensätze, in denen nur vollständige Protospinsysteme auftreten und alle gemessenen Frequenzen eines Atoms gleich sind, nicht erreicht, da die Qualität der Aminosäuren niemals 1 ist. Die theoretische Qualität ohne die AS-Typeninformation für einen perfekten Datensatz ist daher:

$$\min(Q_{state,theor}) = 1 a_{as} + 5 a_{link} \quad (2-10)$$

| Protein | Länge | Anz. Proline | a_{as} | a_{link} | theor. Q_{state} | geschätzt Q_{state} | Theor. min | bester Q_{state} | % d. thr. |
|----------------------|-------|--------------|----------|------------|--------------------|-----------------------|------------|--------------------|-----------|
| C21W | 148 | 2 | 145 | 142 | 1145 | 888.2 | 571 | 512.6 | 44.77 |
| CheY | 128 | 3 | 123 | 117 | 954 | 741 | 474 | 808 | 84.7 |
| Trigger mit His Tag | 113 | 2 | 110 | 107 | 865 | 671.2 | 431 | 465 | 53.76 |
| Trigger ohne His Tag | 103 | 2 | 100 | 97 | 785 | 609.2 | 391 | 465 | 59.24 |

Tabelle 2-13 Theoretische maximale Qualität für die untersuchten Proteine nach Gl. 2-9. Geschätzte Qualität nach Gl.2-11. Die Differenz zwischen theoretischer und tatsächlicher Qualität beruht auf den niedrigeren AS-Typ-Werten und der schlechteren Überlappung der Frequenzen. "bester" ist die höchste Qualität, die tatsächlich in einer Optimierung gefunden wurde.

2.6.3.1 Näherungsformel für die Qualität einer realen Zuordnung

Diese Näherungsformel berechnet die Qualität für einen Datensatz mit hoher Qualität, bei dem die AS-Typeninformation und die Streuung der Frequenzen der Praxis entsprechen. Die Näherungsformel wurde aus den Optimierungen von Trigger und C21W mit unterschiedlichen Cache-Konfigurationen gewonnen. Die Formel kann nur als grobe Näherung für den Endpunkt der Optimierung verwendet werden.

$$Q_{\text{geschätzt}} = a_{AS} * 2,06 + a_{Links} * 3,6 \quad (2-11)$$

2.7 Datenfluß

Die vorhergehenden Kapitel beschreiben die Vorbereitung der Daten von den Peaklisten bis zu den Eingabedaten für die Optimierer. Abbildung 2-5 stellt diesen Datenfluß im Zusammenhang dar. Zuerst werden die Peaklisten in den PeakPool importiert. Die Peaks des PeakPools werden danach im PeakNet mit ihren Nachbarn verknüpft [Kap. 2.1.2] und die Verknüpfung mit den Konnektivitätsregeln überprüft.

In der Mitte der Abbildung ist die Zweiteilung des Protospin-systemcaches in den Peak-Cache und den Aminosäure-Cache (AS-Cache) zu sehen. Die Caches erhalten ihre Namen von dem Ordnungskriterium nach dem sie die Daten gruppieren. Jeder Cache besteht aus einem Verzeichnisbaum mit parallelen Verzeichnissen. Im Peak-Cache enthält jedes Verzeichnis die Daten für einen Basispeak. Der AS-Cache faßt die Protospin-systemlisten für eine Aminosäure zusammen.

Die Protospin-systemsuche [Kap. 2.3] stellt die Protospin-systeme als Protospin-systemliste in den Peak-Cache. Innerhalb des Peak-Caches werden diese Protospin-systemlisten mittels der knotenlokalen Bedingungen [Kap. 2.4] reduziert. Dadurch entstehen neue Protospin-systemlisten, die auch im Peak-Cache gespeichert werden. Mit Hilfe der Aminosäuretypeninformation werden die Protospin-systeme aus dem Peak-Cache auf die möglichen Aminosäuren im AS-Cache verteilt. Jeder Aminosäure können mehrere Protospin-systemlisten zugeordnet sein.

Die Konfiguration des Optimierers definiert den Ausschnitt des AS-Caches, der für den Optimierer relevant ist. Dadurch kann man den gleichen AS-Cache auf unterschiedliche Weise für eine Optimierung nut-

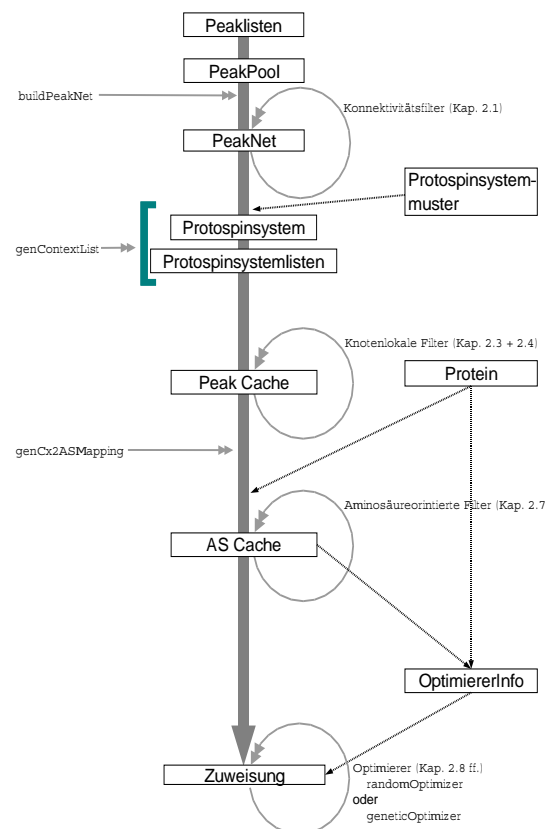


Abbildung 2-5 Übersicht über den Datenfluß vom Peakpicking zur Zuweisung.

zen, indem man den zu optimierenden Aminosäuren im Protein unterschiedliche Protospinsystemlisten im AS-Cache zuweist. Dazu wird in der OptimiererInfo-Datei für jede Aminosäure eine Liste benannt, die für diese Aminosäure geladen werden soll.

| Verzeichnis | Erklärung |
|--|---|
| ..\Trigger | Hauptverzeichnis |
| ..\Trigger\bin | Link zu den Programmen |
| ..\Trigger\cache | Cache Verzeichnis |
| ..\Trigger\cache \p0001 \p0002 \... \p0203 | Peak Cache je ein Verzeichnis pro Basispeak |
| \as001 \as001 \... \as113 | Aminosäure Cache je ein Verzeichnis pro Aminosäure |
| ..\Trigger\pattern | die Protospinsystemmuster |
| ..\Trigger\originale | die Peaklisten |
| ..\Trigger\sequences | die Optimierungsergebnisse |
| ..\Trigger\sequences\macros | die Konfigurationsmakros |
| ..\Trigger\sequences\<<optimierungsstufe>> | die Optimierungsergebnisse einer Stufe |

Tabelle 2-14 Dateisystemstruktur eines Projektes anhand von "Trigger"

Jeder Position im Protein können nur die Protospinsysteme zugewiesen werden, die sich in der zugeordneten Liste befinden. Die Konfiguration entscheidet so darüber, ob eine Aminosäure mit einer Protospinsystemliste mit oder ohne AS-Typeninformation geladen wird. Auf die gleiche Weise können auch neue Filter für den AS Cache entworfen werden. Ein Positionsverbot für einzelne Protospinsysteme und Peaks kann man zum Beispiel implementieren, indem man einer Aminosäure nur ein Protospinsystem zuweist oder aus den Listen einer Aminosäure alle Protospinsysteme mit einem bestimmten Peak entfernt. Zusätzlich gibt es noch eine globale Protospinsystemliste, die alle geladenen Protospinsysteme vereinigt. Diese Liste, die alle Protospinsysteme des aktuell konfigurierten Caches enthält, wird automatisch erstellt. Dadurch kann ein Cache ohne Positionsverbot konfiguriert werden, indem man diese Liste allen Aminosäuren zuweist.

Wie viele Protospinsysteme die Liste einer Aminosäureposition enthält, hängt von der Qualität der Spektren, dem Protein und den verwendeten Filtern ab. Spektren mit einem hohen Anteil von überlappenden Spinsystemen oder einem niedrigen Signal zum Rausch-Verhältnis erzeugen eine längere Liste als gut aufgelöste Spektren, da in die Liste immer alle gleich wahrscheinlichen Kandidaten aufgenommen werden müssen. Außerdem hängt die Länge der Listen von den Filtern ab, die auf die Listen im Peak- und AS-Cache wirken. Ohne AS-Typeninformationen sind die Listen um einen Faktor 10 länger. Ein Vergleich zwischen den Konfigurationen "mit Positionsverbots durch die Typenerkennung" und "ohne Nebenbedingungen" für die untersuchten Proteine befindet sich in Tabelle 1-3.

Von den Optimierungsalgorithmen wird nur der Ausschnitt des AS-Caches gelesen, der durch die Konfiguration bestimmt wird. Die Ein- und Ausgabe der Optimierer ist eine Zuordnung. Die Optimierer können daher eine beliebige Zuordnung lesen und verfeinern. Dabei kann die Konfiguration des AS-Caches und der

Optimierer gewechselt werden. Wenn die Zuordnung beim Lesen Protospinsysteme enthält, die in der neuen Cachekonfiguration nicht enthalten sind, wird der entsprechende Abschnitt geleert.

2.8 Der Random Algorithmus

Der RANDOM Algorithmus implementiert einen statistischen Algorithmus, der dem *threshold accepting* und dem *Lin-Kernighan* Verfahren ähnlich ist.

```

Algorithmus: RandomOptimize
parameter:
  S_best,      der beste bisher gefundene Zustand.
  S,          der Arbeitszustand.
return:
variablen:
  l,          Schleifenzähler
  l_last,    Schleifenzähler bei der letzten Verbesserung.
  TTL,       Lebenszeit, die S schon hinter sich hat,
             startet bei 0, wird in jedem Schleifendurchlauf heraufgesetzt.
             Bei TTL == maxTTL wird der Zustand durch S_best ersetzt.
             und TTL auf 0 gesetzt
  minTTL     wenn TTL < minTTL ist, darf die  $q(S) \leq q(S\_best) * f$  sein
  maxTTL     endpunkt für TTL,
  qTh        Abk. für qThreshold
  qThD       Abk. für qThresholdDecayRate
  t          Qualitätsschwelle
begin
  loop: solange das Abbruchkriterium noch nicht erfüllt ist:
    l ++;
    wähle eine Aktion A aus k Aktionen mit der Wahrscheinlichkeit p aus.
    führe A auf S aus.
    fülle S mit Zufallselementen auf wenn weniger als 75% Elemente vorhanden sind.
    wenn  $q(S) > q(S\_best)$ 
      kopiere S nach S_best und aktualisiere l_last = l
    berechne die Schwelle  $t = q(S\_best) * qTh$ 
    wenn
      die TTL über maxTTL liegt
      oder
      die TTL > minTTL ist und  $q(S)$  unterhalb der Schwelle t liegen.
    dann
      kopiere S von S_best,
      setze TTL = 0

    TTL ++;
    wenn l_last < maxIdleLoops
       $qTh := qTh + qThD * (1 - qTh)$ 
    end loop
end

```

Der Algorithmus unterscheidet sich vom *threshold accepting* durch die Einführung zusätzlicher Kontrollmechanismen. Bei reinem *threshold accepting* kann das Individuum solange verändert werden, bis seine Qualität die Qualitätsschwelle unterschreitet. Unterschreitet es die Mindestqualität wird die letzte Aktion wieder zurückgenommen und nach einer neuen Aktion gesucht. Die Mindestqualität berechnet sich nach Gl.2-12 aus der Qualität des aktuell besten Individuums und $qThreshold$. $qThreshold$ wird mit Gl.2-13 erhöht, wenn die letzte Verbesserung von S_{best} mindestens `maxIdleLoops` Zyklen zurückliegt.

$$Q_{Schwelle} = Q(S_{best}) * qThreshold \quad (2-12)$$

$$qThreshold = qThreshold + qThresholdDecayRate * (1 - qThreshold) \quad (2-13)$$

```

Algorithmus: RandomOptimize
parameter:
  S_best,      der beste bisher gefundene Zustand.
  S,          der Arbeitszustand.
return:
variablen:
  l,          Schleifenzähler
  l_last,    Schleifenzähler bei der letzten Verbesserung.
  TTL,       Lebenszeit, die S schon hinter sich hat,
             startet bei 0, wird in jedem Schleifendurchlauf heraufgesetzt.
             Bei TTL == maxTTL wird der Zustand durch S_best ersetzt.
             und TTL auf 0 gesetzt
  minTTL     wenn TTL < minTTL ist, darf die  $q(S) \leq q(S\_best) * f$  sein
  maxTTL     endpunkt für TTL,
  qTh        Abk. für qThreshold
  qThD       Abk. für qThresholdDecayRate
  t          Qualitätsschwelle
begin
  loop: solange das Abbruchkriterium noch nicht erfüllt ist:
    l ++;
    wähle eine Aktion A aus k Aktionen mit der Wahrscheinlichkeit p aus.
    führe A auf S aus.
    fülle S mit Zufallselementen auf wenn weniger als 75% Elemente vorhanden sind.
    wenn  $q(S) > q(S\_best)$ 
      kopiere S nach S_best und aktualisiere  $l\_last = l$ 
      berechne die Schwelle  $t = q(S\_best) * qTh$ 
    wenn
      die TTL über maxTTL liegt
      oder
      die TTL > minTTL ist und  $q(S)$  unterhalb der Schwelle t liegen.
    dann
      kopiere S von S_best,
      setze TTL = 0

    TTL ++;
    wenn  $l\_last < maxIdleLoops$ 
       $qTh := qTh + qThD * (1 - qTh)$ 
    end loop
end

```

Im *Lin-Kernighan* Verfahren darf der Startzustand S_{best} während der ersten n Züge verschlechtert werden, muß sich danach aber kontinuierlich verbessern. Nach einer vorher festgelegten Anzahl Züge wird die Qualität des Zustands mit der des Startzustands verglichen und der Endzustand nur behalten, wenn er besser als der Startzustand ist.

Beide Verfahren erfordern, daß der zeitlich nächste Zustand kostengünstig bewertet werden kann und daß die Rückkehr zum vorherigen Zustand billig² ist. Dieser "Schritt zurück" wird in beiden Verfahren sehr häufig (mindestens bei 50% der Schleifendurchgänge) ausgeführt. Für Zustandsobjekte, wie sie im Assignment verwendet werden, sind diese Operationen sehr teuer, da man den gesamten Zustand neu berechnen muß, wenn man zu einem vorhergehenden Zustand zurückkehren will.

Im RANDOM Algorithmus wurde daher auf die spekulative Bewertung und die Rückkehr zum vorherigen Zustand verzichtet. Statt dessen darf der Startzustand S , solange verändert werden, bis er die Qualitätsschwelle unterschreitet. Unterschreitet er die Mindestqualität, startet der Algorithmus wieder mit einer Kopie des besten bekannten Zustandes S_{best} .

Außerdem darf sich das Individuum nur $maxTTL$ Schritte von S_{best} entfernen. Findet es innerhalb der $maxTTL$ Schritte keinen besseren Zustand als S_{best} , startet das Individuum wieder bei S_{best} . Dafür darf das Individuum sich innerhalb der ersten $minTTL$ Schritte unterhalb der Qualitätsschwelle aufhalten ohne ersetzt zu werden. Erst danach gilt die Qualitätsbeschränkung wie im *threshold accepting*. Daher kann es anfangs durch einen im *threshold accepting* verbotenen Bereich tunneln und kann Aktionspfade durchlaufen, die beim *threshold accepting* verboten sind. Die Begrenzung der maximalen Länge des Aktionspfades durch

² Teuer und billig im Sinne von verbrauchter CPU Zeit.

$maxTTL$ führt zu einer intensiveren lokalen Suche um S_{best} . Die Anzahl der Aktionen ist dabei nicht die Anzahl der Elementaroperationen, sondern die Anzahl der Aktionen wie sie in den folgenden Unterkapiteln definiert werden. Ein Individuum kann sich daher maximal $minTTL * 32$ Elementaroperationen weit bewegen, wenn es $minTTL$ unabhängige, nicht überlappende `moveRange` Operationen ausführt.

$maxTTL$ muß immer größer oder gleich $minTTL$ sein. Außerdem muß $maxTTL$ größer 0 sein. Wenn $maxTTL$ auf $+\infty$ und $minTTL$ auf 0 gesetzt werden, entspricht der Algorithmus weitgehend dem *threshold accepting* mit dem Unterschied, das der aktuelle Zustand bei einer Kollision mit der Qualitätsschwelle durch S_{best} ersetzt wird.

Dieser Kontrollmechanismus entfernt der Qualitäts- und Pfadbeschränkung im Lin-Kernighan Verfahren wie es für das TSP eingesetzt wird. [Reinelt94, S.124, Lin,Kernighan73]

2.8.1 Aktionsprofile

Die innere Schleife des RANDOM Algorithmus besteht aus der zufallsgesteuerten Auswahl und Ausführung einer Mutationsaktion. RANDOM stellt 6 verschiedene Operationen zur Verfügung. Die Wahrscheinlichkeit, mit der eine Aktion ausgewählt wird, hängt vom sogenannten Aktionsprofil ab. Die Aktionsprofile definieren die prozentualen Anteile der einzelnen Aktionen am Gesamtprozeß.

Jedes Profil kann aus mehreren Einzelprofilen bestehen, die jeweils nur innerhalb eines $qThreshold$ -Bereiches gelten. Der RANDOM Algorithmus aktiviert beim Überschreiten der $qThreshold$ -Grenze jeweils das nächste höhere Profil.

Der RANDOM Algorithmus kann mit verschiedenen Aktionsprofilen geladen werden. Die folgende Tabelle führt die in dieser Untersuchung verwendeten Profile und ihre Kurzbezeichnungen auf. Es wurden keine Profile mit Profilveränderung untersucht.

| Name | Kurz/Alias | exchange | swap | moveRange | Crossover | upgrade | moveSingle |
|--------------------|---------------|-----------|-----------|-----------|-----------|----------|------------|
| single_only | exchange_only | 100 | 0 | 0 | 0 | 0 | 0 |
| swap80 | mS80x20 | 20 | 80 | 0 | 0 | 0 | 0 |
| swap60 | mS60x40 | 40 | 60 | 0 | 0 | 0 | 0 |
| swap50 | mS50x50 | 50 | 50 | 0 | 0 | 0 | 0 |
| swap40 | mS40x60 | 60 | 40 | 0 | 0 | 0 | 0 |
| swap20 | mS20x80 | 80 | 20 | 0 | 0 | 0 | 0 |
| swap10 | mS10x90 | 90 | 10 | 0 | 0 | 0 | 0 |
| swap05 | mS05x95 | 95 | 5 | 0 | 0 | 0 | 0 |
| mix1 | m1 | 40 | 40 | 20 | 0 | 0 | 0 |
| mix1_2 | m1v2 | 30 | 30 | 20 | 0 | 0 | 20 |
| mix1_3 | m1v3 | 40 | 40 | 5 | 0 | 0 | 20 |
| mix2 | m2 | 20 | 60 | 20 | 0 | 0 | 0 |
| mix3 | m3 | 60 | 20 | 20 | 0 | 0 | 0 |
| mix4 | m4 | 20 | 50 | 20 | 10 | 5 | 0 |

Tabelle 2–15 Vordefinierte Aktionsprofile ohne Variation der Aktionsanteile: Die einzelnen Zeilen müssen sich nicht zu 100% addieren, da sie intern auf 100% normiert werden. Das Standardprofil ist hervorgehoben.

Zur Umrechnung in Prozentanteile gilt $\text{pct}(\text{aktion}_i) = 100 * \text{anteil}_i / \sum \text{anteil}_n$.

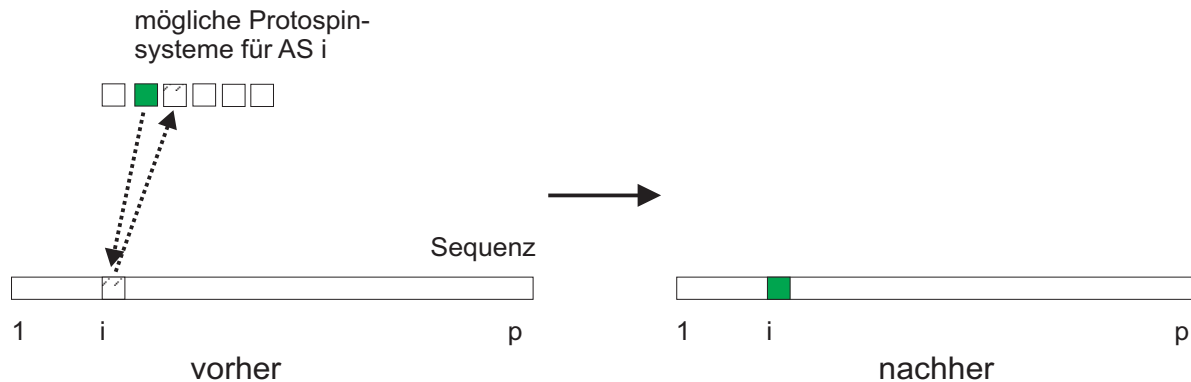
Die einzelnen Aktionen sind in den Pseudocodes (`exchange`) bis (`crossOver`) dargestellt. Jede Aktion kann fehlschlagen, wenn die Voraussetzungen in `maxVersuche` Versuchen nicht getroffen wurden. Für dieses Individuum wird dann in dieser Runde keine Ersatzaktion ausgeführt. Fehlgeschlagene Aktionen werden trotzdem mitgezählt.

Die Konvergenzgeschwindigkeit des RANDOM Algorithmus hängt stark von der Wahrscheinlichkeitsverteilung der Aktionen ab.

```

Algorithmus: exchange (S das Individuum)
variablen:
  a      Aminosäureposition
  proto  ein Protospinsystem.
begin
  proto = leer
  loop: solange proto leer ist und versuche ≤ maxVersuche .
    versuche = versuche + 1
    wähle eine belegbare Aminosäureposition a in S1 aus.
    wähle ein Protospinsystem proto aus der liste der möglichen
      Protospinsysteme für die Aminosäure a aus.
    wenn proto nicht konfliktfrei erworben werden kann
      proto = leer
  end loop
  ersetze das Protospinsystem an der Position a durch proto.
end

```



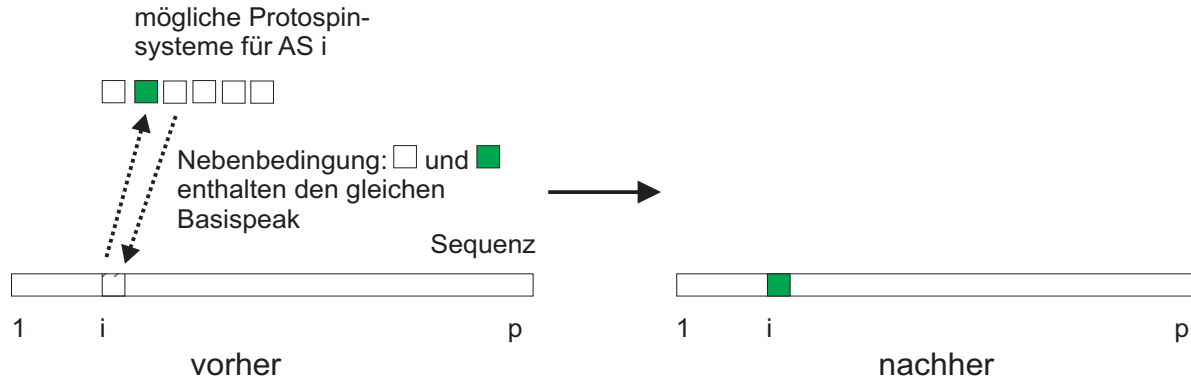
exchange tauscht das Protospinsystem an einer einzelnen Aminosäureposition gegen ein zufällig gewähltes neues Protospinsystem aus. Wenn das neue Protospinsystem nicht konfliktfrei erworben werden kann, werden bis zu 8 neue Versuche gestartet, bis ein passendes Protospinsystem gefunden wurde, oder die Zuweisung der Aminosäure wird nicht verändert.

Die Zustandsdifferenz durch diese Aktion ist $\{T_{E_1,i}^-, T_{E_2,i}^+\}$.

```

Algorithmus: upgrade (S das Individuum)
variablen:
  a           Aminosäureposition
  proto      ein Protospinsystem.
begin
  proto = leer
  loop: bis proto nicht leer ist oder versuche >= maxVersuche.
    versuche = versuche + 1
    wähle eine belegbare, nicht leere Aminosäureposition a in S aus.
    wähle ein Protospinsystem proto aus der Liste der möglichen
      Protospinsysteme für die Aminosäure a aus das den gleichen
      HNC0 Peak verwendet, wie das aktuelle Protospinsystem bei a
    wenn proto nicht konfliktfrei erworben werden kann
      proto = leer
  end loop
  wenn proto nicht leer ist
    ersetze das Protospinsystem an der Position a durch proto.
end

```



upgrade entspricht **exchange**, indem es das Protospinsystem einer einzelnen Aminosäure austauscht. Im Gegensatz zu **exchange** tauscht **upgrade** nur gegen Protospinsysteme, die dem gleichen Basispeak angehören. **upgrade** hinterlässt keine leere Position.

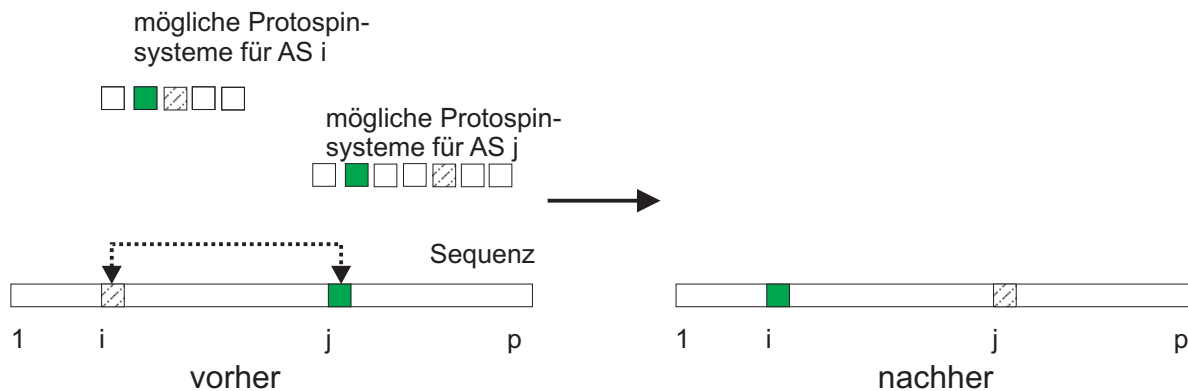
Die Zustandsdifferenz durch diese Aktion ist $\{T_{E_1,i}^-, T_{E_2,i}^+\}$ mit $E_1, E_2 \in S_{BP_i}$.

```

Algorithmus: swap (S das Individuum)
variablen:
  a1,a2      Aminosäurepositionen
  proto1,proto2 Protospinsysteme.
begin
  loop: solange versuche ≤ maxVersuche
    suche zwei belegbare Aminosäurepositionen a1 und a2, die entweder ein leeres
      Protospinsystem oder ein Protospinsystem das
      an der jeweils anderen Position erlaubt ist, enthalten .
    versuche += 1
  end loop
  wenn kein Aminosäurepaar gefunden wurde return
  ersetze das Protospinsystem an der Position a1 durch proto2.
  ersetze das Protospinsystem an der Position a2 durch proto1.
end

```

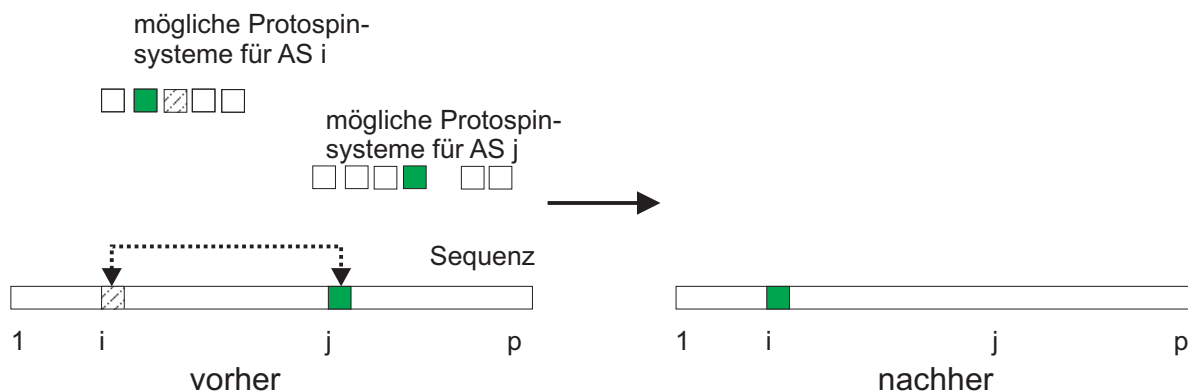
swap tauscht die Protospinsysteme zwischen zwei Aminosäuren aus, sofern die Protospinsysteme wechselseitig kompatibel sind. Die Aktion sucht 8 mal nach einem neuen Tauschpartner. Wenn sie keinen findet, bricht die Aktion ab. **swap** hinterlässt keine leeren Zuweisungen.



Die Zustandsdifferenz durch diese Aktion ist $\{T_{E_1,i}^-, T_{E_2,j}^-, T_{E_2,i}^+, T_{E_1,j}^+\}$.

```

Algorithmus: moveSingle (S das Individuum)
variablen:
  a1,a2      Aminosäureposition
  proto1,proto2 die Protospin-systeme an den Positionen a1 und a2.
begin
  proto1 = proto2 = leer
  loop: bis proto1 nicht leer ist oder versuche >= maxVersuche.
    versuche = versuche + 1
    wähle eine belegbare, belegte Aminosäureposition a1 in S aus.
    wähle eine Aminosäureposition a2 in S aus die proto1 aus a1 aufnehmen kann.
    wenn proto1 nicht konfliktfrei in a2 erworben werden kann und versuche < maxVersuche-1.
      proto1 = leer
  end loop
  wenn proto1 nicht leer ist,
    ersetze das Protospin-system an der Position a2 durch proto1.
  wenn proto2 nicht leer ist,
    ersetze das Protospin-system an der Position a1 durch proto2.
end
    
```



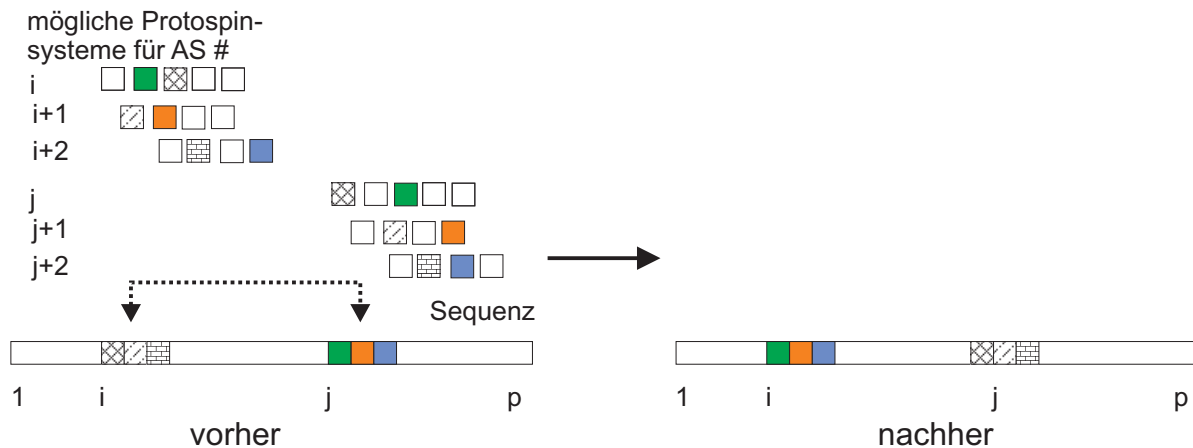
MoveSingle entspricht *swap*, indem es die Protospin-systeme zwischen zwei Aminosäurepositionen austauscht. Im Gegensatz zu *swap* kann es eine leere Zuweisung an der Startposition hinterlassen, wenn das Protospin-system der Zielposition nicht mit der Startposition kompatibel ist.

Die Zustandsdifferenz durch diese Aktion ist $\{T_{E_1,i}^-, T_{E_2,j}^-, T_{E_2,i}^+, T_{E_1,j}^+\}$ oder $\{T_{E_1,i}^-, T_{E_2,j}^-, T_{E_1,j}^+\}$.

```

Algorithmus: moveRange (S das Individuum)
variablen:
  len           Länge der Protospinsystemketten
  a1,a2        Aminosäurepositionen, Startpositionen für proto1 und proto2.
  proto1,proto2 gleich lange Protospinsystemketten.
begin
  len = 0
  loop: solange len == 0 und versuche ≤ maxVersuche
    versuche = versuche + 1
    suche zwei belegbare Aminosäurepositionen a1 und a2, die entweder ein leeres
      Protospinsystem oder ein Protospinsystem das an der jeweils
      anderen Position erlaubt ist, enthalten. a1 und a2 sind der Kettenstart.
    verlängere beide Ketten am Ende um maximal maxLen Aminosäuren,
      bis das folgende Protospinsystempaar nicht mehr vertauscht werden kann
      oder das Ende des Proteins erreicht wurde.
    wenn die kette < 2 und versuche < maxVersuche
      len = 0
  end loop
  ersetze len Protospinsysteme ab der Position a1 durch proto2.
  ersetze len Protospinsysteme ab der Position a2 durch proto1.
end

```



moveRange bewegt einen Bereich von maximal 8 verketteten Protospinsystemen zu einem anderen kompatiblen Aminosäurebereich im Protein. Wenn der Zielbereich selbst Protospinsysteme enthält, versucht die Aktion, den ab der Startposition wechselweise kompatiblen Abschnitt zwischen den Bereichen auszutauschen. Ein Aminosäurebereich ist kompatibel mit einer Kette von Protospinsystemen, wenn alle kopierten Protospinsysteme in der Liste des Zielbereichs vorhanden sind.

Die Zustandsdifferenz durch diese Aktion entspricht 2 bis 8 swap Operationen, d.h. 8 bis 32 Elementaroperationen. Ein Individuum kann sich maximal $minTTL * 32$ Elementaroperationen weit vom Ausgangszustand entfernen, wenn es $minTTL$ unabhängige, nicht überlappende **moveRange** Operationen ausführt. Außerdem können sich zwei Individuen um maximal $2 * a_{AS} - 2$ Elementaroperationen unterscheiden (Gl. 2-16). Für "Trigger" ist diese Anzahl nach 8 **moveRange** Operationen erreicht.

```

Algorithmus: Crossover
parameter:
return:
variablen:
begin
  führe eine Crossover Aktion entsprechend den Aktionen im genetischen Optimierer aus.
  (siehe Crossover in Kapitel 2-9 ff.)
end

```

Crossover führt eine der Crossover Aktionen des Genetischen Optimierers innerhalb des RANDOM Operators aus. Dabei wird ein Zielzustand durch das Crossover Produkt zweier Zustände ersetzt.

Die Zustandsdifferenz durch diese Aktion entspricht 2 bis $a_{AS}/2$ swap Operationen, d.h. 8 bis $4 * a_{AS}/2$ Elementaroperationen und hängt vom gewählten Crossover-Operator ab.

Auf das N-ASS bezogen implementiert jede Aktion eine Wahlmöglichkeit oder Entscheidung bei der Zuweisung von Protospinsystemen zu den Aminosäurepositionen.

`exchange` und `upgradeSingle` sind notwendig, um neue Protospinsysteme in die Zuweisung einzuführen. Außerdem sind sie die direkte Implementierung der Operationen T^{\pm} und müssen daher vorhanden sein, um jeden Punkt im Lösungsraum erreichen zu können. `exchange` ermöglicht die Auswahl zwischen verschiedenen Interpretationen einer Peakgruppe mit dem gleichen Basispeak als Protospinsystem, die nur global, d.h. im Kontext mit den restlichen zugewiesenen Protospinsystemen, erfolgen kann. Nur durch `exchange` und `upgradeSingle` kann die lokale Entscheidung über die richtige Interpretation einer Peakgruppe bis in die globale Optimierungsphase verschoben werden. Ohne diese Aktionen müßte diese Entscheidung vor der Optimierung bei der Auswahl der Protospinsysteme getroffen werden, so wie es z.B. für PASTA notwendig ist.

`swap`, `moveSingle` und `moveRange` vertauschen unterschiedlich große Abschnitte der Zuweisung und sorgen für eine Verschiebung der Protospinsysteme zwischen gleichartigen Abschnitten des Proteins. Gleichartig sind dabei alle Aminosäuren, die, mit den Entscheidungsfunktionen in Anh. C, als mögliche Interpretation der CA/CB Frequenzen des verschobenen Protospinsystems in Frage kommen z.B. Glu Gln. `swap` entspricht der Auswahl zwischen verschiedenen Positionen in der Sequenz, die gleichartige Aminosäuretypen tragen. Für zwei Sequenzen von Protospinsystemen wird die Entscheidung zwischen verschiedenen Domänen des Proteins mit gleichartigen Aminosäuren durch die `moveRange` Operation ermöglicht.

2.9 Der Genetische Algorithmus.

Der genetische Optimierer (GENETIC) basiert auf dem allgemeinen Genetischen Algorithmus. Allerdings wurden einige Teilschritte gegen spezifischere ausgetauscht.

```

Algorithmus: GENETIC
parameter:
  arenaSize,   Anzahl der Individuen.
  S(arenaSize) die Individuen (Zustände)
  S_best       das Individuum mit der bisher höchsten Qualität.
Return:
  S_best       das Individuum mit der höchsten Qualität.
variablen:
begin
  initialisiere die Individuen
  loop: bis Abbruchbedingung erfüllt
    mutiere die Individuen
    führe Rekombination und Evolution durch
  end loop
end

```

Die in der Literatur getrennten Teilalgorithmen Rekombination und Evolution wurden zu einem einzigen Algorithmus zusammengefaßt. Die Evolution wird dadurch realisiert, daß die schlechtesten Individuen in der Rekombination als Zielzustände dienen, die von den neu erzeugten Individuen überschrieben werden. Die ersetzten Individuen werden unter den n schlechtesten ausgewählt, die gleichzeitig schlechter als $\text{gen-CrossoverThreshold\%}$ der Qualität des aktuell besten Individuums sind.

2.9.1 Der Mutationsalgorithmus

Der Mutationsalgorithmus wurde durch den RANDOM Algorithmus implementiert. RANDOM wird über einen veränderten Parametersatz an die Aufgabe angepaßt und erfordert keine Veränderung des RANDOM Algorithmus. Dazu werden die Parameter auf niedrigere oder allgemeinere Werte gesetzt, um die Laufzeit der einzelnen Mutation zu begrenzen.

Die Parameter wurden ursprünglich so gewählt, daß eine Mutation weniger als eine Minute pro Individuum braucht. Insbesondere wird die maximale Schleifenzahl durch den Parameter `subMaxLoops` so begrenzt, das RANDOM nach kurzer Zeit abgebrochen wird. `subMaxLoops` wurde mit Werten im Bereich 100 bis 16000 getestet. Außerdem wird die Zeit für eine Mutation direkt auf wenige Minuten begrenzt.

Das einzelne Individuum kann sich daher während einer Mutation weitgehend verändern. Dadurch entspricht das Verhältnis zwischen Mutation und Rekombination nicht mehr dem im klassischen Genetischen Algorithmus, bei dem die Mutationsrate klein gegenüber der Crossover-Rate ist. Die Anzahl der Mutationen pro Individuum zwischen den Crossover-Ereignissen wird in der Literatur sehr niedrig angegeben [Reinelt94, S.158]. Die Hauptlast der Optimierung und der Generierung von neuen Individuen soll theoretisch auf dem Crossover liegen. Die Individuen im N-ASS Problem erfahren aber durch die Rekombination einen Schock, der ihnen, aufgrund von Ressourcenkonflikten, eine sehr niedrige Qualität aufzwingt. Die Individuen verlieren durch das Crossover die Protospinsysteme, die mit den elterlichen Genen im Konflikt stehen. Sie starten daher mit einer niedrigeren Qualität als ihre Eltern. Diese Ressourcenkonflikte müssen durch einige RANDOM-Zyklen repariert werden, in denen die freien Positionen mit passenden Protospinsystemen aufgefüllt werden können.

```

Algorithmus: Rekombination und Evolution
parameter:
variablen:
  arenaSize, Anzahl der Individuen.
  S(arenaSize) die Individuen (Zustände)
  S_best das Individuum mit der bisher höchsten Qualität.
  e, Anzahl der Elternzustände.
  ü, Anzahl der garantiert überlebenden Zustände
  n_max, Anzahl der maximal ersetzten Zustände
  n, Anzahl der tatsächlich ersetzten Zustände
  P1(arenaSize), P2(arenaSize), Partnertabelle
  genCrossoverThreshold, Faktor [0 - 1], zu Berechnung des Schwellwertes.
  konstante aufbauRate = 0.3
  konstante zerfallsRate = 0.27
begin
  sortiere die Arena absteigend, das Individuum mit der höchsten Qualität q(S) kommt an die
  erste Position.
  kopiere das beste Individuum nach S_best, wenn q(S(1)) > q(S_best)
  bestimme den Index i_grenze ab dem gilt:
    q(S(i)) ≤ q(S_best) * genCrossoverThreshold für alle i > i_grenze
  n := i_grenze
  begrenze die Crossover Anzahl n auf n_max
  if(slidingCross < minimum CrossoverRate){
    erzwinge ein Crossover und reduziere genCrossoverThreshold.
    genCrossoverThreshold := genCrossoverThreshold + genCrossoverThreshold_decay_rate
    * (1-genCrossoverThreshold)
    n := 1
  }
  if(n < arenaSize+1){
    erzeuge die Partnertabellen P1 und P2
    i := arenaSize
    für jedes Paar P1[i], P2[i] für das gilt P1[i] ungleich P2[i]
      wenn i gerade ist.
        führe ein Crossover mit zwei Zielzuständen durch, speichere in S[i] und S[i-1]
        i = i - 2
      wenn i ungerade ist.
        führe ein Crossover mit einem Zielzustand durch, speichere in S[i]
        i = i - 1
    }
  }
  crossCount += n
  slidingCross += crossCount * aufbauRate - slidingCross * zerfallsRate
end

```

2.9.2 Die Qualitätsschwelle

Wenn innerhalb einer Periode von `genMaxIdleLoops` genetischen Zyklen keine Verbesserung des besten bekannten Zustandes S_{best} zustande kommt, wird die Qualitätsschwelle `genQThreshold` mittels Gl. 2–14 heraufgesetzt. Dadurch wird nach einigen Zyklen ohne Verbesserung der Arena Crossover–Aktionen erzwungen, da die Qualitätsschwelle über die Qualität der schlechtesten Individuen steigt.

$$genQThreshold = genQThreshold + genQThresholdDecayRate * (1 - genQThreshold) \quad (2-14)$$

2.9.3 Zwangscrossover

Gegen Ende der Optimierung kann die Qualität aller Individuen oberhalb der Qualitätsschwelle liegen, obwohl das globale Optimum noch nicht erreicht wurde. Der Genetische Optimierer wird dann lange nicht konvergieren, da Veränderungen an den Individuen nur noch durch die Mutationsoperation eintreten, weil keine Crossover–Aktionen zugelassen werden. Durch eine geeignete Konfiguration der minimalen gleitenden Crossover–Rate `genCrossoverThreshold` kann eine Mindestrate an Crossover–Aktionen pro genetischem Zyklus erzwungen werden. Die zusätzlichen Crossover–Aktionen werden erzwungen, wenn `genCrossoverThreshold` über `slidingCross` liegt.

Die Länge der Periode ohne Crossover wird durch eine gleitende Mittelung der Crossover Raten kontrolliert. Die Crossover Rate (*slidingCross*) berechnet sich aus der Summe aller Crossover und der alten Crossover Rate wie in Gl. 2–15 dargestellt.

$$\begin{aligned} \text{slidingCross} &= \text{slidingCross} + \text{crossCount} * \text{aufbauRate} - \text{slidingCross} * \text{zerfallsRate} \\ \text{mit } \text{aufbauRate} &= 0.3 \\ \text{zerfallsRate} &= 0.27 \end{aligned} \quad (2-15)$$

$$\text{crossCount} = \text{crossCount} + \text{Anzahl der Crossover in diesem genetischen Zyklus}$$

2.9.4 Die Wahl der Eltern

Die potentiellen Eltern werden positionsproportional ausgewählt. D.h. die Eltern werden nach ihrer Qualität sortiert und danach proportional ihrer Position ausgewählt. Die ersten *seedPoolSize* Eltern werden als potentielle Eltern in der Partnerwahl verwendet. Ob sie tatsächlich an Kindszuständen beteiligt sind, hängt auch von der Anzahl der zu erzeugenden Kindszustände und der Position der Eltern in der Partnertabelle ab.

2.9.5 Die Partnerauswahl

```

Algorithmus: Erzeuge die Partnertabelle
parameter:
  P1(arenaSize), P2(arenaSize), Partnertabelle
  n, Anzahl der tatsächlich ersetzten Zustände
  arenaSize, Anzahl der Individuen.
  e, Anzahl der Elternzustände.
  ü, Anzahl der garantiert überlebenden Zustände
return:
variablen:
  x1, x2, i, p, index.
begin
  for(i=0; i<e; i++){
    for(p=i+1; x<arenaSize && p<e; p++){
      x1 = x++;
      x2 = x++;
      if(x2<arenaSize)
        P1[x2] = p; P2[x2] = i;
      if(x1<arenaSize)
        P1[x1] = i; P2[x1] = p;
    }
  }
end

```

Die Auswahl der Partner für die Erzeugung eines neuen Individuums erfolgt, analog zur Auswahl der Eltern, nach einem positionsproportionalen elitären Verfahren. Die Aggressivität der elitären Auswahl kann über die Parameter *arenaSize*, *seedPoolSize* und *survivingSeeds* in weiten Grenzen kontrolliert werden. Den beiden besten Individuen wird durch den Algorithmus zu Erzeugung der Partnertabelle die Reproduktion garantiert. Mit abnehmender Qualität werden die restlichen Individuen immer seltener in die Tabelle aufgenommen. Außerdem werden die schlechteren Individuen zuerst von der Rekombination ausgeschlossen, wenn die Anzahl der Crossover pro Zyklus sinkt. Die Parametergruppe *arenaSize*, *seedPoolSize* und *survivingSeeds* wird im folgenden häufig mit *Arena(A,E,Ü)* abgekürzt (Arena,Eltern,Überlebende).

| Position | m | 1 | 2 | 3 | 4 | 5 | 6 | 7 | 8 | 9 | 10 |
|----------------------|---|-------|-------|-------|-------|-------|-------|-------|-------|-------|-------|
| Parameter (A,E,Ü) | | | | | | | | | | | |
| 10,4,4 | | [1:1] | [2:2] | [3:3] | [4:4] | [1:2] | [2:1] | [1:3] | [3:1] | [1:4] | [4:1] |
| 10,4,4 | 4 | [1:1] | [2:2] | [3:3] | [4:4] | [5:5] | [6:6] | [1:2] | [2:1] | [1:3] | [3:1] |
| 10,6,2 | | [1:1] | [2:2] | [1:2] | [2:1] | [1:3] | [3:1] | [1:4] | [4:1] | [1:5] | [5:1] |

Tabelle 2–16 Beispiel für die Partnertabelle mit den Parametern $(AEÜ)=(arenaSize, seedPoolSize, survivingSeeds)$, wenn die Anzahl der Crossover gleich m ist. Ohne Angabe für m ist $m = arenaSize - survivingSeeds$. $[A:B]$ bedeutet, daß Individuum A die Funktion des ersten Elternteils und B die des zweiten im Crossover übernimmt, $[A:A]$ bedeutet, daß A unverändert auf diese Position kopiert wird.

2.9.6 Die Zustandsdifferenz

```

Algorithmus: Bilde die Zustandsdifferenz
parameter:
  S1, S2      zwei Zustände (Individuen)
  D           Differenz, Tabelle mit den Elementaroperationen die S1 in S2 verwandeln.
return:
variablen:
begin
  für jede Position p in S1 und S2
    wenn S1[p] ungleich S2[p]
      wenn S1[p] unbesetzt und S2[p] besetzt
        push(D, addiere S2[p] an Position p)
      sonst wenn S2[p] unbesetzt und S1[p] besetzt
        push(D, entferne S1[p] an Position p)
      sonst
        push(D, addiere S2[p] an Position p)
        push(D, entferne S1[p] an Position p)
end

```

Die Differenz $\text{diff}(S_1, S_2)$ zwischen zwei Individuen ist der Aktionspfad, der ihre Zustände verbindet. Die Differenz besteht aus den T^\pm Operationen, die notwendig sind, um den einen Zustand in den anderen zu verwandeln. Dabei werden jeweils die T^+ und $a(T_E^+)$ Operation für jede unterschiedliche Aminosäureposition bestimmt. Die Distanz zwischen zwei Individuen $\text{dist}(S_1, S_2)$ ist die Länge der Differenz, d.h. die Anzahl ihrer Aktionen.

$$\text{dist}(S_1, S_2) = \text{len}(\text{diff}(S_1, S_2)) \quad (2-16)$$

Die maximale Länge der Differenz für ein Protein ist daher

$$\text{dist}_{\max}(S_1, S_2) = 2a_{as} - 2 \quad (2-17)$$

2.9.7 Der Reparaturalgorithmus

Wenn Teile der Differenz auf ein drittes Individuum angewendet werden, kann das neu entstehende Individuum in einem illegalen Zustand sein. Das Individuum ist dann illegal, wenn die Protospinsysteme des alten Individuums und des neuen Individuums die gleichen Peaks verwenden. Da die Peaks nur entsprechend ihrer Entartung verwendet werden dürfen, muß, entsprechend der Argumentation in Kap. 1.4.2, eines der kollidierenden Protospinsysteme entfernt werden.

Falls zwischen den Genen des kopierten und injizierten Teils ein Ressourcenkonflikt vorliegt, werden die neu injizierten Gene mit Priorität behandelt und die konkurrierenden Gene des kopierten alten Teils entfernt,

auch wenn sie außerhalb des injizierten Bereichs liegen. Diese Konfliktauflösung wird für alle Crossover-Operatoren verwendet. Dadurch hat das neue Individuum meist weniger Gene als jeder der Elternteile und meist auch weniger als das ersetzte Individuum.

Durch einige Zyklen im RANDOM-Algorithmus werden diese Leerstellen aber sofort gefüllt. Die neuen Individuen erreichen erst danach eine Qualität, die mit der Qualität der ungestörten Individuen vergleichbar ist. Das Individuum befindet sich im Zeitraum vom Crossover, bis es wieder Anschluß an die restliche ungestörte Gruppe erhält, im Crossover-Schock. Während des Crossover-Schocks haben die Individuen eine Qualität weit außerhalb des Qualitätsbereiches der ungestörten Individuen.

Die erwünschte Qualitätsverbesserung durch das Crossover tritt erst nach Überwinden des Crossover-Schocks ein.

2.10 Implementierung der Crossover Operatoren

2.10.1 Die Elemente der Crossover Operation

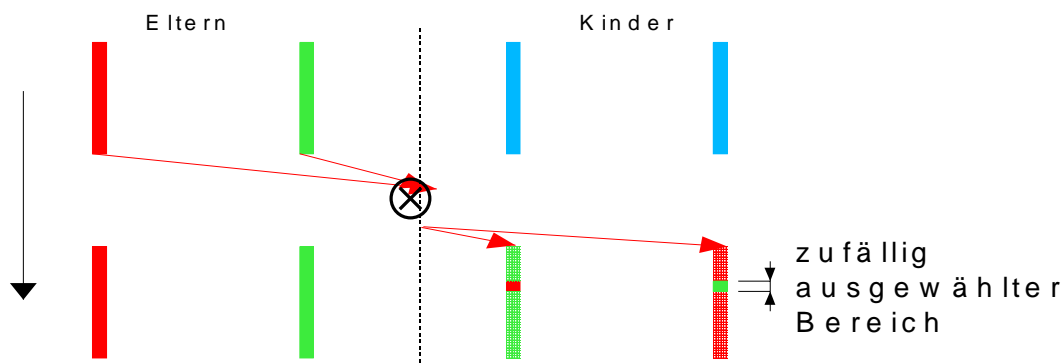


Abbildung 2-6 Crossover Operation des GENETISCHEN Algorithmus.

Klassische Implementierungen [Michalewicz92,S.105] des genetischen Algorithmus verlangen, daß der Crossover Operator ohne Kenntnis des Optimierungsproblems arbeiten soll. Dazu wird die Repräsentation des Individuums in einen Bitvektor konvertiert. Die eigentliche Crossover Operation vertauscht dann Teile der Bitvektoren und anschließend wird der Bitvektor wieder in die Repräsentation des Individuums konvertiert.

Diese Implementierung kann schon für kleine Probleme, die weniger als 30 Variablen besitzen, ungeeignet sein [Michalewicz92, S.100 +105; Goldberg89]. Statt dessen wurden von ihnen die natürlichen Einheiten der Repräsentation (Fließkommazahlen oder Städte) eines Individuums als tauschbare Objekte im Crossover verwendet. Für eine numerische Gleichung sind dies Fließkommazahlen oder für das TSP-Problem Städte oder die Wege zwischen den Städten. Diese Implementierung ist in den meisten Fällen sowohl schneller als auch besser zu implementieren und zu analysieren als die Variante mit Bitvektoren.

In dieser Implementierung werden daher die Protospinsysteme oder die Operationen, die sie bewegen als vertauschbare Elemente für den Crossover-Operator verwendet. Dies trifft sich auch in natürlicher Weise mit den Anforderungen des RANDOM Algorithmus.

2.10.2 Aufteilung der Arena

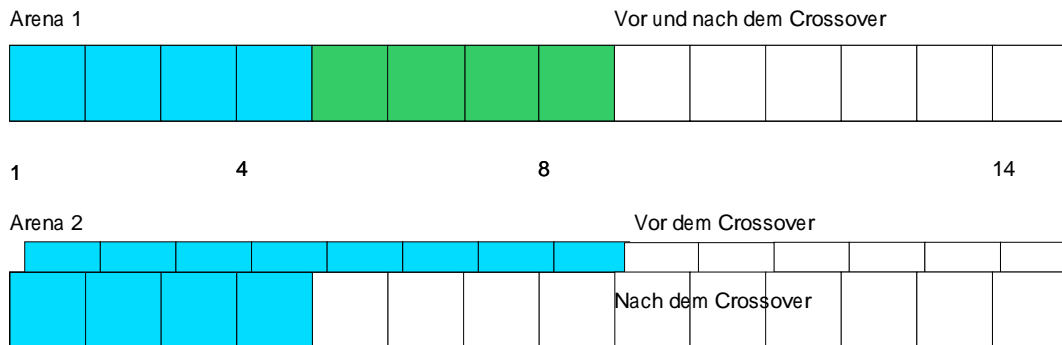


Abbildung 2-7 :Bereiche der Arena bei verschiedenen Konfigurationen (A,E,Ü) vor und nach einem genetischen Zyklus. oben: Arena 1=14,4,8 unten: Arena 2= 14,8,4. blau: Reproduktive (Eltern), grün: Überlebende, die nicht reproduktiv sind, weiß: Kindszustände.

In der unteren Darstellung ragt die Zone der Nachkommen in den Bereich der Eltern. Der blaue Bereich im Hintergrund ist daher vor dem Crossover größer als nach dem Crossover. Nur die ersten vier Eltern überdauern die Crossover-Phase!

Für das Crossover wird die Arena durch die Parameter (`genArenaSize`, `seedPoolSize`, `survivingSeeds`), abgekürzt (A,E,Ü)³, in mehrere Zonen aufgeteilt. Diese Einteilung beeinflusst die Wirkung des Crossovers auf die Population und damit auf die genetische Zusammensetzung der Arena.

Da die Arena vor dem Crossover nach der Qualität sortiert wird, befinden sich die Individuen mit der niedrigsten Qualität am Ende der Arena während sich die zukünftigen Eltern auf den Positionen mit dem Index $[1 \dots \text{seedPoolSize}]$ befinden. Im Crossover werden die Zustandsobjekte im Bereich $[\text{survivingSeeds}+1 \dots \text{arenaSize}]$ durch die neuen Nachkommen der Eltern ersetzt. Dazwischen $[\text{seedPoolSize}+1 \dots \text{survivingSeeds}+1]$ befindet sich die Zone der Individuen, die zwar nicht an der Reproduktion teilnehmen, aber auch nicht durch das Crossover ersetzt werden. Wenn `seedPoolSize` kleiner oder gleich `survivingSeeds` ist, stoßen die Bereiche der Eltern und der Nachkommen direkt aneinander. Außerdem darf `survivingSeeds` auch größer als `seedPoolSize` sein. Dann werden einige der Eltern durch die Crossover-Produkte überschrieben.

Die Implementierung sorgt dafür, daß die Zustände erst dann überschrieben werden, wenn sie an allen geplanten Crossover-Aktionen teilgenommen haben.

³ Abkürzung für (Größe der Arena, Anzahl der Eltern, Anzahl der Überlebende)

2.10.3 Der generalisierte Crossover-Operator

```

Funktion: Crossover
A) wähle  $n$  Elternzustände ( $S^E_1 \dots S^E_n$ ) aus. (Quellzustände)
B) wähle  $r$  zu ersetzende Zustände ( $Sz_1 \dots Sz_r$ ) aus. (Zielzustände)
   loop für jeden Zielzustand  $Sz_i$ 
C)   wähle ein Elternpaar  $P(S^E_1, S^E_2)$  aus.
D)   initialisiere den Zielzustand  $Sz_i$ .
E)   wähle das zu übertragende Genmaterial  $d$  in den Eltern aus.
F)   kopiere die neuen Gene in den Zielzustand.
G)   repariere etwaige Fehler im Zielzustand.
   end loop
end
Algorithmus 2-1 Der verallgemeinerte Crossover-Operator

```

Um einen geeigneten Crossover-Operator zu finden, wurde die Crossover-Operation in die sieben formalen Schritte A–H auf geteilt.

- Schritt A. Auswahl der Elternzustände. S_i^E

Die Eltern werden nach einem positionsproportional elitären Schema ausgewählt. Die besten n Zustände sind die Eltern der neuen Zustände.

- Schritt B. Auswahl der Zielzustände. S_i^Z

Auch die Zielzustände werden nach einem positionsproportionalen elitären Schema ausgewählt. Die schlechtesten $m = \text{arenaSize} - \text{survivingSeeds}$ Zustände werden ersetzt, wenn sie schlechter als $Q_{\text{schwelle}} = \text{genQThreshold} * Q(S_i)$ des besten Individuums sind. Wenn keine Individuen unter dieser Schwelle liegen, erzwingt der Algorithmus ein Crossover und setzt genQThreshold herauf. Dadurch steigt die Wahrscheinlichkeit, daß im nächsten Zyklus ein normales Crossover stattfindet.

- Schritt C. Wähle das Elternpaar für jeden neuen Zielzustand aus:

Die Elternpaare werden nach einem moderat elitären Schema aus der Menge der Elternzustände gewählt. Dabei gelten 3 Kriterien für die Paarbildung.

1. Bessere Elternzustände werden häufiger ausgewählt.
2. Schlechtere Elternzustände sollen trotzdem mindestens einmal ausgewählt werden, wenn dadurch nicht Punkt 1 verletzt wird.
3. Das Schema soll etwaige Asymmetrien der Operatoren ausgleichen, falls die Operatoren nicht kommutativ sind.

Punkt 3 erfordert, daß jedes Elternpaar doppelt verwendet wird und in der zweiten Kombination die Rollen tauscht. Ein Crossover erzeugt daher immer zwei Kinder. Punkt 1 wird durch eine positionsproportionale Auswahl der Eltern erfüllt.

- Schritt D: Initialisiere den Zielzustand (lösche alle Spuren des vorherigen Zustandes).

Der Zielzustand kann mit drei Zuständen initialisiert werden. Jedes der Elternteile oder der alte Zustand kann in den neuen Zustand kopiert werden. Auf die vierte Möglichkeit, die Erzeugung eines neuen Zustandes mittels Zufallsgenerators, wurde verzichtet, da auf diese Weise kein konkurrenzfähiger Zustand erzeugt werden kann, da die Wahrscheinlichkeit, eine Zuweisung durch "würfeln" zu finden, die eine vergleichbar gute Nachbarschaftsbeziehung zwischen den angrenzenden Protospinsystemen hat, wie einer der iterativ gewonnenen Elternteile, verschwindend gering ist. Diese Wahrscheinlichkeit sinkt

während der Optimierung immer weiter. Nahe dem globalen Optimum ist sie proportional des Kehrwertes der Größe des Lösungsraumes, für Trigger ist das 10^{-208} [siehe Tab. 1–4].

- Schritt E: Wähle das übertragene Genmaterial **d** aus.

Das übertragene Genmaterial wird mittels Zufallsgenerator ausgewählt. Dieser Schritt ist vom verwendeten Operator abhängig.

- Schritt F: Kopiere die neuen Gene in den Zielzustand.

Die neu kopierten Gene überschreiben die alten. Wenn die restlichen Gene des Zielzustandes mit den neuen Genen in Konflikt stehen, haben die neuen Gene Vorrang, d.h. die alten Gene werden durch Leerstellen ersetzt. Dieser Schritt ist vom verwendeten Operator abhängig.

- Schritt G: Repariere etwaige Fehler im Zielzustand.

Wenn es Konflikte zwischen den alten und neuen Genen gab, werden die dabei entstanden Leerstellen mit Teilen der anderen Individuen aufgefüllt. Auch dieser Schritt ist vom verwendeten Operator abhängig.

2.10.4 Untersuchte Crossover Operatoren

Es wurden 30 verschiedene Operatoren untersucht. Die Operatoren lassen sich in 4 Gruppen aufteilen, die sich durch die verwendete Generationenfolge unterscheiden. Die ersten drei Gruppen bestehen aus der Implementierung eines einzigen Algorithmus. Die dritte Gruppe besteht aus einer Familie von Operatoren, bei der die Generationenfolge durch die Kombination von zwei Teilalgorithmen bestimmt wird. Diese Teilalgorithmen werden in allen Kombinationen untersucht.

- **Operator C** entspricht dem *klassischen* Crossover Operator, wie er in [Michalewicz92] definiert ist. Er erzeugt ein Kopie des einen Elternteils (S_1^E) und kopiert einen zusammenhängenden Abschnitt des anderen Elternteils (S_2^E) in diese Kopie. Dafür benötigt er kein Wissen über die Bedeutung oder die Verknüpfung des kopierten Bereichs. Der kopierte Bereich muß sich in den Eltern nicht unterscheiden. Die übertragenen Gene werden durch die blockartige Übertragung in ähnlicher Weise koordiniert wie in **s2**.

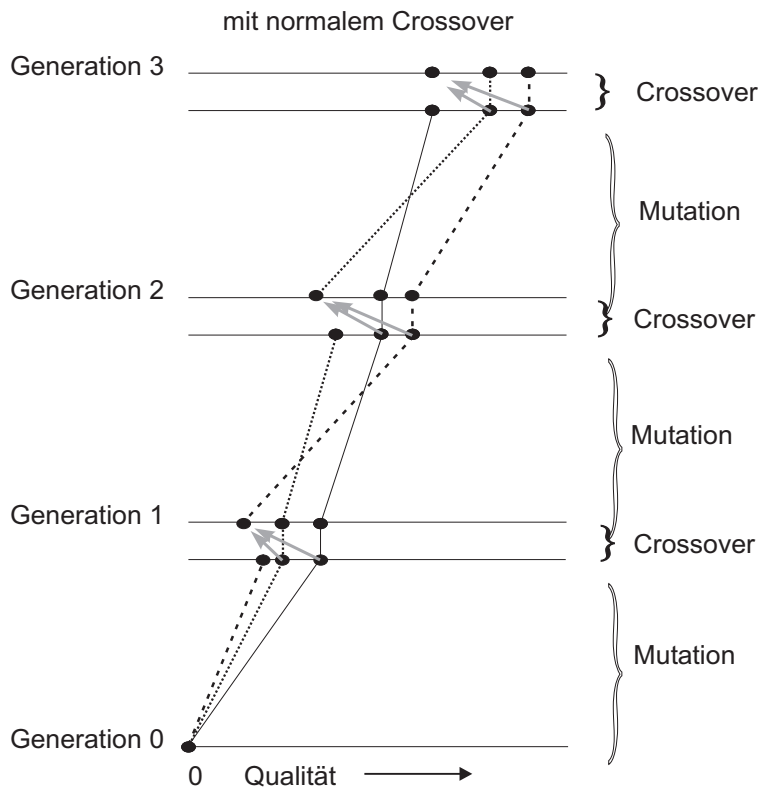


Abbildung 2-8 Klassische Generationenfolge mit den Crossover-Operatoren **C** oder **G** mit einer Arena aus 2 Eltern und 1 Kind. Zeitliche Abfolge von unten nach oben.

- Der **Maximal Elitäre Operator** (kurz **elitär**) kopiert immer nur das aktuell beste Individuum unverändert auf alle neuen Positionen. Zusammen mit einer geeigneten Konfiguration des Crossover-Planungsalgorithmus ersetzt er in jeder Runde alle anderen Zustände durch den besten bekannten Zustand \mathbf{s}_{best} . Die neue Generation besteht daher nur aus Klonen des einen besten Individuums. Dieser Operator wird auch **greedy** genannt.
- Der **Statistische Operator** (oder **noCross**) implementiert das entgegengesetzte Konzept. Er ersetzt niemals einen Zustand. Die Optimierung läuft in den Individuen völlig unabhängig ab, so als würde man n unabhängige RANDOM Algorithmen gleichzeitig laufenlassen. Im Gegensatz dazu werden aber alle Läufe gleichzeitig abgebrochen, sobald ein Lauf das Abbruchkriterium erfüllt. Daher wird nur die Laufzeit für n Individuen bis zum Erreichen des ersten Optimums in einem der Individuen berechnet. Die Laufzeit entspricht im Mittel der kürzesten Laufzeit in n unabhängigen RANDOM Läufen multipliziert mit der Arenagröße n .
- **Operator G** ist ein konfigurierbarer Operatoralgorithmus, der die restlichen 27 Operatoren implementiert. **G** zerfällt in 2 verschiedene Teilalgorithmen, die Selektion **s** und die Produktion **p**. Jeder davon kann in drei verschiedenen Varianten konfiguriert werden, die mit den Ziffern 1 bis 3 gekennzeichnet werden. Es existieren außerdem drei verschiedene Varianten des **G** Operators, die sich in der Anwendung der selektierten Differenzobjekte unterscheiden.

- Variante **D** zerstört die differierende Region im Zielzustand. Alle Operationen werden als T^- ausgeführt.
- Variante **A** berücksichtigt bei der Differenzbildung nur T^+ / T^- Paare und einzelne T^- , für die es keine korrespondierende T^+ Operation mit gleicher Aminosäureposition gibt. Von jedem T^+ / T^- Paar wird aber nur die T^+ Operation ausgeführt.

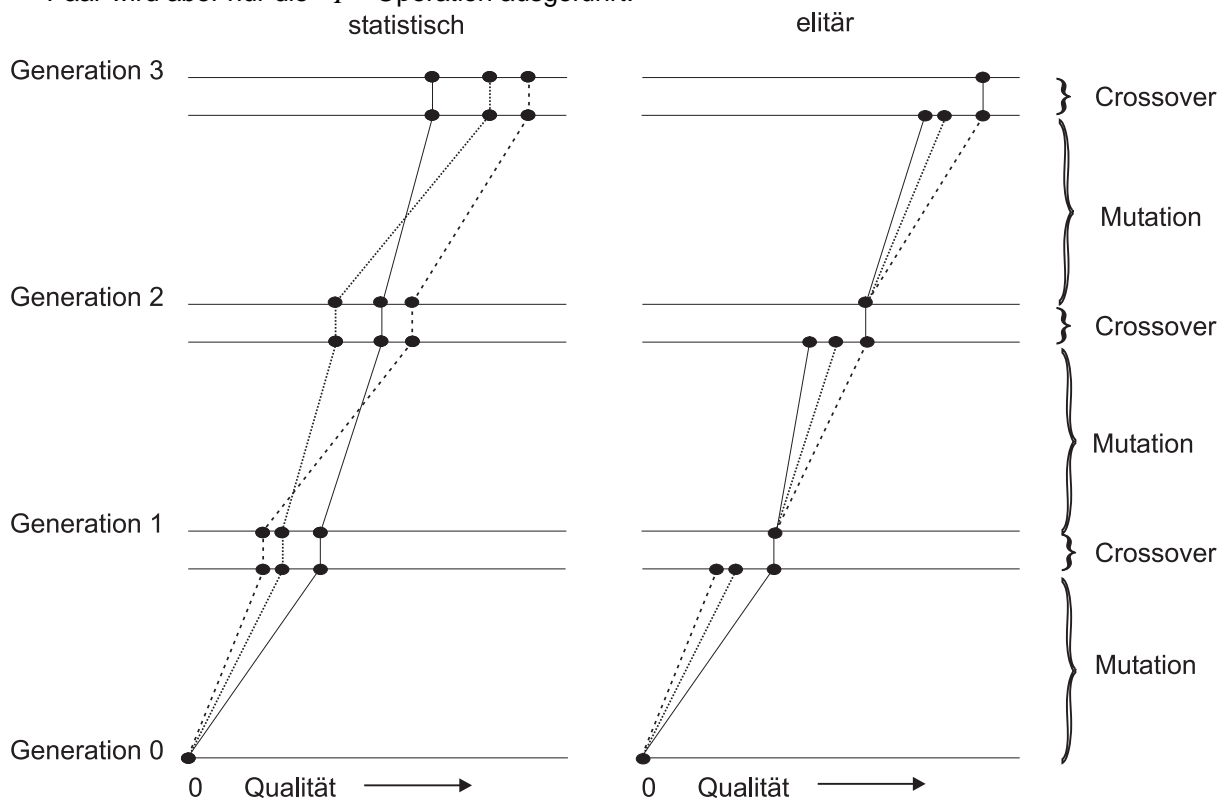


Abbildung 2–9 Schematische Darstellung der Generationenfolge mit den Crossover Operatoren **Elitär** und **Statistisch**. Arena mit 3 Zuständen.

- Variante **N** führt T^+ und T^- Operationen auf dem Zielzustand aus. Zusätzlich wird ein Teil (50%) der T^+ Operationen als T^- ausgeführt.

Variante **A** wurde letztendlich für die Auswertung des Trigger-Proteins verwendet und entspricht einem klassischen Crossover, wenn mehrere zusammenhängenden Abschnitte übertragen werden, die immer einem differierenden Bereich entstammen.

2.10.4.1 Die Selektionsalgorithmen *s* des Operators **G**

In allen **s**-Algorithmen wird der Kopiervorgang abgebrochen, wenn nach $4 \cdot n$ Versuchen noch nicht **n** kopierbare Elemente gefunden wurden. Die Algorithmen kopieren dann nur die bisher gewählten Elemente. Die **s**-Algorithmen erzeugen aus den Differenzobjekten Δ die entsprechenden *reduzierten* Differenzobjekte **d**, indem sie einen Teil der Objektdifferenz zufällig auswählen.

- Algorithmus **s1**:

Kopiert n einzelne Elemente aus der Zustandsdifferenz Δ in ein neues Differenzobjekt d . Die kopierten Stellen werden zufällig ausgewählt und müssen keine Nebenbedingungen erfüllen.

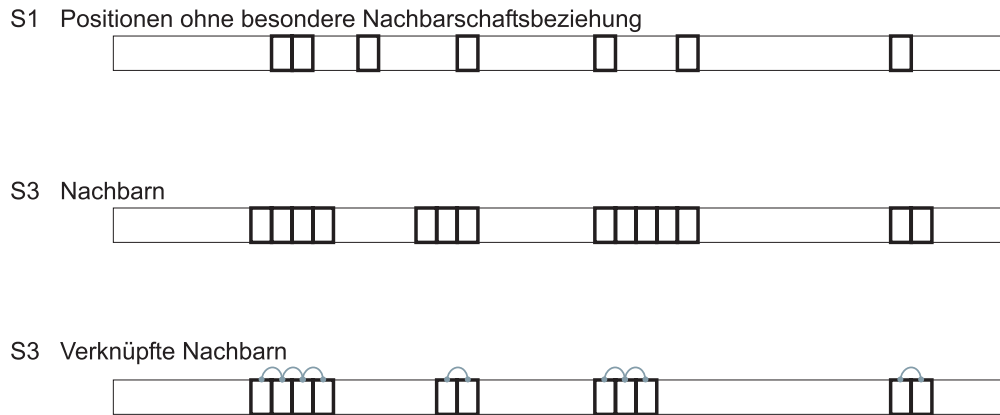


Abbildung 2–10 Beispiele für die Auswahl der Positionen durch die Selektionsalgorithmen $s1$ bis $s3$ des Crossover Operators G anhand von drei Sequenzen. Die hervorgehobenen Rechtecke markieren die ausgewählten Positionen in der Sequenz für eine Zustandssequenz Δ .

- Algorithmus $s2$:

Kopiert n einzelne Elemente aus der Zustandsdifferenz Δ in ein neues Differenzobjekt d . Dabei werden Strecken aus je vier aufeinander folgenden Elementen kopiert, bis insgesamt n Elemente übertragen wurden. Die Startpunkte der Stücke werden zufällig ausgewählt und die Strecke kann kürzer sein, wenn auf die gewählte Startposition nur weniger als 4 gefüllte Positionen folgen. Wenn nach der Auswahl einer Strecke noch nicht n Elemente ausgewählt wurden, wird ein neuer Startpunkt gewählt und die nächste Strecke kopiert.

- Algorithmus $s3$:

Algorithmus $s3$ unterscheidet sich von $s2$, indem die vier zusammenhängenden Elemente eine Strecke miteinander verknüpfter Spinsysteme bilden müssen. Jede Strecke besteht aus mindestens 2 und maximal 4 Nachbarn. Die Strecke startet bei einer zufällig gewählten Position und wird dann mit dem $i+1$ Nachbarn verlängert, wenn eine Verknüpfung zur nachfolgenden Position existiert.

2.10.4.2 Die Produktionsalgorithmen p des Operators G

Die Produktionsalgorithmen wählen aus den Differenzobjekten d den Teil aus, der auf die Kindszustände angewendet werden soll. Die Wahl des Produktionsalgorithmus bestimmt, wie der neue Zustand initialisiert wird und welche Teile aus d , der reduzierten Differenz Δ , in den neugebildeten Zustand injiziert werden.

Jeder p Algorithmus zerfällt in einen Teil, der vor dem s Algorithmus und in einen zweiten, der danach ausgeführt wird.

Im ersten Teil werden die Elternzustände für das Differenzobjekt Δ ausgewählt. Teil zwei wählt die Initialisierung für den neuen Zustand aus. Außerdem wählt er die Mischung und die Übertragungsweise der Elementaroperationen aus den reduzierten Differenzobjekten d .

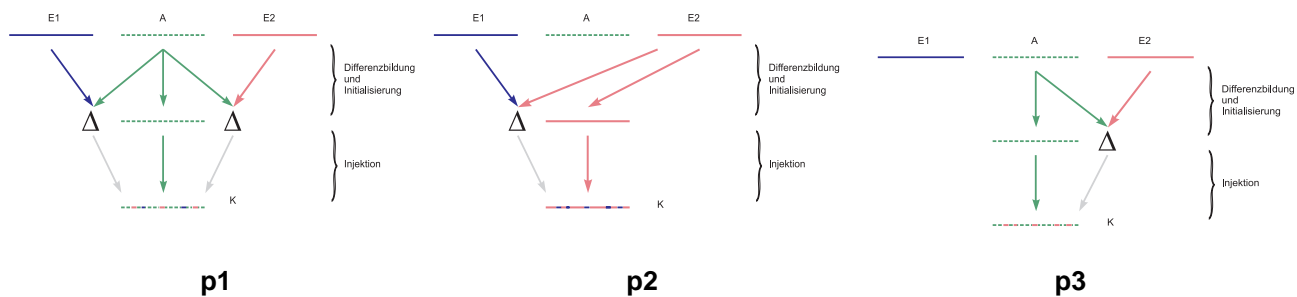


Abbildung 2–11 Schematische Darstellung der Produktionsalgorithmen **p1** bis **p3**. Die Produktion startet mit den Elternzuständen E_1 und E_2 und dem zukünftigen Kindszustand A , der noch die alte Zuweisung enthält und durch K ersetzt wird. Am Ende des Crossovers enthält der Kindszustand K das neu produzierte S_i .

- Algorithmus **p1**:

P1 berechnet zwei Differenzobjekte mittels $\Delta_1 = \mathbf{diff}(S^{alt}, S_1^E)$ und $\Delta_2 = \mathbf{diff}(S^{alt}, S_2^E)$

Der alte Zustand wird *nicht* durch einen neuen ersetzt. In den Zielzustand wird dann je die Hälfte von **d1** und **d2** injiziert.

- Algorithmus **p2**:

P2 berechnet ein Differenzobjekt mittels $\Delta = \mathbf{diff}(S_1^E, S_2^E)$. Der alte Zustand wird durch S_1^E ersetzt und in den neuen Zielzustand wird dann **d** injiziert.

- Algorithmus **p3**:

P3 berechnet ein Differenzobjekt mittels $\Delta = \mathbf{diff}(S^{alt}, S_2^E)$. Der alte Zustand wird *nicht* durch einen neuen ersetzt. In den neuen Zielzustand wird dann **d** injiziert.

| S = Selektion | s1 | s2 | s3 |
|--|--------------------|--|--|
| P = Produktion | einzelne Elemente. | je bis zu 4 aufeinander folgende Elemente. | je bis zu 4 Elemente, wenn sie verknüpft sind. |
| p1 $S^{neu} = S^{alt} + \mathbf{diff}(S^{alt}, S_1^E)/2 + \mathbf{diff}(S^{alt}, S_2^E)/2$ | Gs1p1 | Gs2p1 | Gs3p1 |
| p2 $S^{neu} = S_1^E + \mathbf{diff}(S_1^E, S_2^E)$ | Gs1p2 | Gs2p2 | Gs3p2 |
| p3 $S^{neu} = S^{alt} + \mathbf{diff}(S^{alt}, S_2^E)$ | Gs1p1 | Gs2p3 | Gs3p3 |

Tabelle 2–17 Die Kurzbezeichnungen der Operator G Varianten. Aus den Kurzbezeichnungen werden mit den Subvarianten **D,N** und **A** die Langnamen der Operatoren. Beispiel: Gs1p1 wird zu Gs1p1A, Gs1p1D, Gs1p1N.

Theoretisch sollte der Operator die kürzeste Optimierungszeit ermöglichen, bei dem je Optimierungsschritt ΔQ maximal ist, d.h. bei dem sich die Individuen in jedem Optimierungsschritt am meisten verbessern.

Der Operator Gs3p2A verwendet nur die Gene der schon optimierten Individuen, die einen Qualitätsvorsprung gegenüber den anderen Individuen haben. Er initialisiert den Startzustand mit den Genen des einen Elternteils und injiziert in dieses die Gene, die es vom anderen Elternteil unterscheiden, d.h. die Gene durch die das eine Elternteil besser als das andere ist.

Theoretisch sollte daher Gs3p2A der optimale, schnellste Operator sein.

Kapitel 3 Parameterabschätzung

Um die einzelnen Algorithmen optimal zu betreiben, müssen die Parameter in ihren Wertebereichen auf ihre Empfindlichkeit getestet werden. Für die Testrechnungen wurden theoretische Spektren aus einer Frequenzliste aus der Literatur erzeugt. Die Bedeutung der einzelnen Parameter wurde im vorhergehenden Kapitel erklärt. Eine Zusammenfassung der Parameternamen und ihrer Bedeutung ist im Anhang aufgeführt.

3.1 Testverfahren

Im folgende Abschnitt wird der Einfluß der frei wählbaren Parameter des RANDOM Algorithmus auf die Geschwindigkeit der Optimierung untersucht. Der Parameterraum ist mindestens 12-dimensional und kann daher nicht vollständig untersucht werden. Unter der Voraussetzung, daß die einzelnen Parameter im praktisch nutzbaren Wertebereich voneinander unabhängig sind, sollte die folgende statistische Untersuchung gültig sein. Die Konvergenz zum globalen Maximum ist nur dann garantiert, wenn minTTL und maxTTL auf den Maximalwert, qThreshold auf 0.0 und maxIdleLoops auf unendlich gestellt werden. Selbst dann ist die Konvergenz nur für eine unendlich langsame Erhöhung der Qualitätsschwelle garantiert. Für jede andere Konfiguration ist die Konvergenzwahrscheinlichkeit immer kleiner 1.0. Für praktisch auftretende Probleme können die Parameter so eingestellt werden, daß die Optimierung innerhalb endlicher Zeit (<1d) konvergiert.

Tabelle 3-1 faßt die Standardparameter für die folgenden Untersuchungen zusammen. Die Parametrisierungen benutzen diese Standardkonfiguration und variieren nur die jeweils untersuchten Parameter.

Die Geschwindigkeit, mit der ein Optimierer konvergiert, ist ein direktes Maß für die Qualität seiner Konfiguration. Da die Laufzeit weitgehend linear von der Anzahl der RANDOM Zyklen abhängt, wird im folgenden die Laufzeit und die Zyklenzahl synonym gebraucht. Eine Ausnahme bildet der Abschnitt über den Berechnungscache. Da außerdem die Zyklenzahl, im Gegensatz zur Rechenzeit, unabhängig von der Art der CPU ist wird die Zyklenzahl als Maß für die Geschwindigkeit der Konfiguration verwendet.

Jede Konfiguration wurde auf ihre Laufzeit und die Konvergenz zum globalen Optimum untersucht.

| Parameter | Wert | Parameter | Wert |
|---------------------------|-----------------|---------------------------------|------------|
| Aufgabe: | "Chey50" | | |
| Protein: | Chey50 | Startzustand: | (leer) |
| Cache: | default | AS-Positionsstrafen: | keine |
| Net: | inner.outer | Positionsvorwahl durch AS-Typen | Ja |
| Distanz zum Nachbar (CA): | 1.00 | | |
| | | | |
| Optimierer | (RANDOM) | | |
| Profil: | mix1v2 | qToleranz, decay | 0.9 0.0005 |
| maxLoops | 10 ⁶ | TTL (min,max) | 2, 3 |
| maxIdleLoops | 5000 | maxTime [min] | 20 |

Tabelle 3-1 Standardparameter für die statistische Untersuchung des RANDOM Algorithmus

3.2 Testdaten: Protein Chemotaxis Y

Chemotaxis Y (CheY) gehört zu einer Proteinfamilie in *escherichia coli*, die die Chemotaxis des Bakteriums reguliert. Die Funktionsweise des Proteins ist heute bis hinunter zur molekularen Ebene bekannt [Stock93, Volz93]. CheY wurde ausgewählt, da die CA und CB Frequenzen bekannt sind und das Protein nicht mit "Trigger" verwandt ist.

Chey ist Teil eines zweigeteilten Regulierungssystems mit einem Sender und Empfänger. Der Sender ist eine Histidyl-Kinase, die sich unter dem Einfluß eines chemischen Umweltreizes verändert. Durch den chemischen Reiz ändert sich der Phosphorylierungsgrad der sensitiven Region. Dies löst eine Veränderung der Expression des regulierten Gens oder eine andere physiologische Reaktion entsprechend der regulierten Signalkette aus.

Chey bindet sich in seiner phosphorylierten Form an den Motor der bakteriellen Geißeln (Flagellaten) und aktiviert sie dadurch. Damit erreicht es eine Veränderung der Schwimmrichtung, d.h. eine Reaktion auf die Konzentration der chemischen Komponente. Die dephosphorylierte Form ist inaktiv.

Die Aminosäuresequenz und die Frequenzliste für die theoretischen Spektren wurden aus [Franklin94] entnommen. Fehlende Frequenzen wurden mit Werten aufgefüllt, die den Typen der Aminosäuren entsprechen [Grzesiek93].

Chey hat 129 Aminosäuren. Die erste Aminosäure ist aufgrund von hydrolytischem Abbau nicht nachweisbar. Die Sequenz in 1 Buchstaben Notation ist:

| | |
|---------|---|
| 1- 50 | MADKE LKFLV VDDFS TMRRI VRNLL KELGF NNVEE AEDGV DALNK LQAGG |
| 51-100 | YGFVI SDWNM PNMDG LELLK TIRAD GAMSA LPVLM VTAEA KKENI IAAAQ |
| 101-129 | AGASG YVVKP FTAAT LEEKL NKIFE KLGM |

Tabelle 3-2 Aminosäuresequenz von CheY

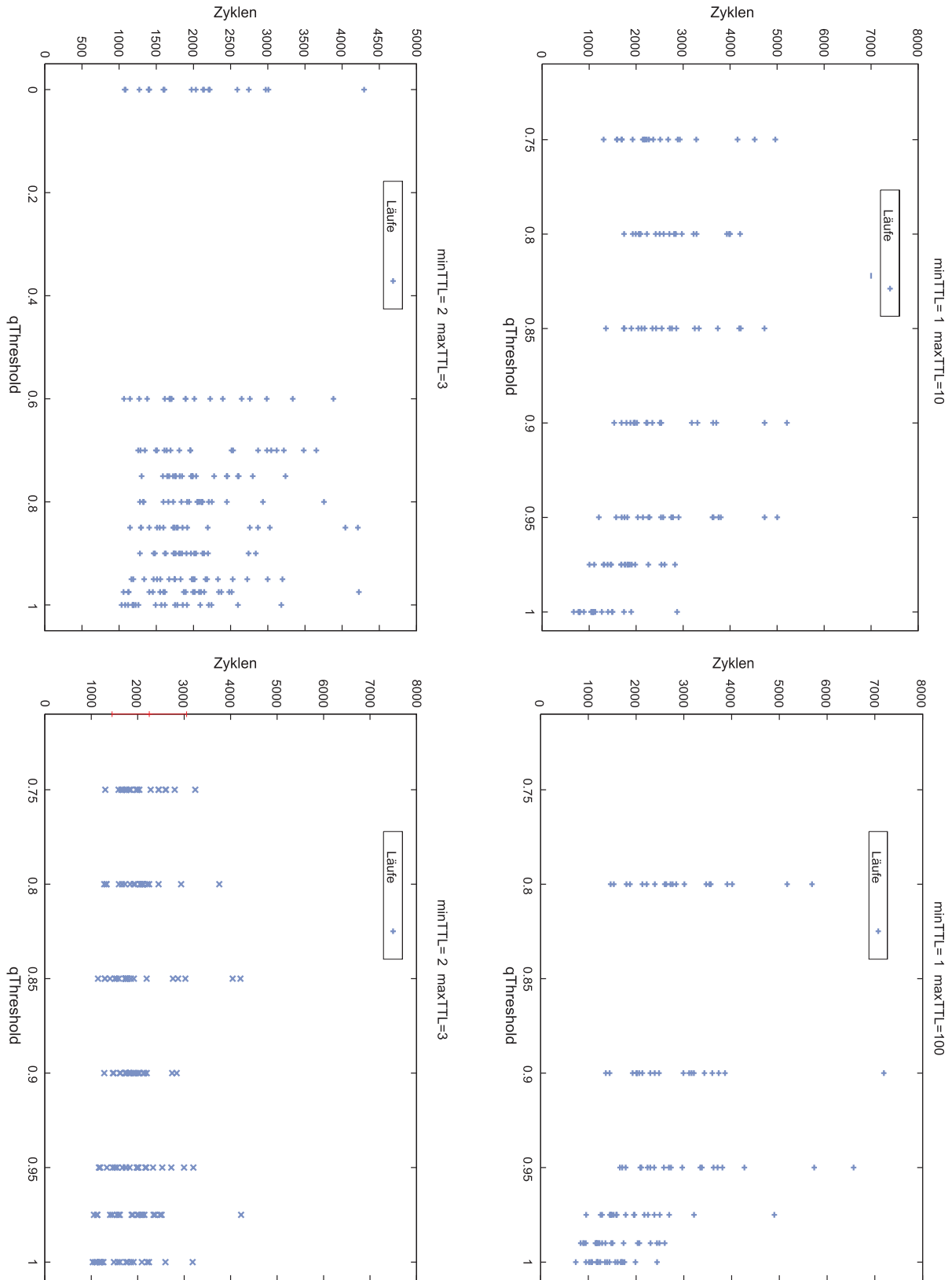


Abbildung 3-1 Abhängigkeit der Laufzeit von der Qualitätsschwelle ($qThreshold$) bei variierender minimaler und maximaler Lebenszeit ($minTTL$ und $maxTTL$).

3.3 Parameterabschätzung für RANDOM

3.3.1 maxLoops und maxTime

maxLoops und *maxTime* sind Teil des Abbruchkriteriums. Sie müssen so gewählt werden, daß der Optimierungslauf nicht vorzeitig beendet wird. Sie dürfen keinen Einfluß auf den Verlauf der Optimierung haben.

3.3.2 maxIdleLoops (Maximale Zyklen ohne Verbesserung)

maxIdleLoops muß auf das Optimierungsproblem abgestimmt werden. Der Parameter ist schwach mit *qThresholdDecayRate* und *maxLoops* verknüpft. Eine großes *maxIdleLoops* verlängert die Laufzeit direkt, da *qThreshold* erst herabgesetzt wird, wenn *maxIdleLoops* mindestens einmal abgelaufen ist. Diese Mindestlaufzeit beginnt nach jeder Verbesserung erneut. Andererseits verbessert ein höheres *maxIdleLoops* die Suchbreite und ermöglicht dem Optimierer, aus tieferen Suboptima zu entkommen. In gleicher Weise verbessert es die Wahrscheinlichkeit aus Suboptima, die mit dem globalen Optimum nur durch einen Aktivonspfad mit niedriger Wahrscheinlichkeit verbunden sind, zu entkommen. Daher wird die Umgebung des einzelnen Zustandes mit höherem *maxIdleLoops* besser durchsucht.

maxIdleLoops hat daher direkten Einfluß auf die Zyklenzahl. In reinen *hill-climbing* Problemen kann es niedriger eingestellt werden als in Problemen mit rauher, trügerischer Hyperfläche. Für große Zustandsräume muß *maxIdleLoops* höher eingestellt werden, damit die Umgebung des aktuellen Zustandes hinreichend durchsucht werden kann. Der optimale Wert für *maxIdleLoops* muß daher für jedes Problem extra mit einem Zyklen/Qualitäts Graph bestimmt werden.

Für die Optimierungen in der Parameterabschätzung mit CheY wurde *maxIdleLoops* auf 200000 gesetzt, da *maxIdleLoops* sehr vom Optimierungsproblem abhängt und hier der Einfluß der anderen Parameter untersucht werden soll.

3.3.3 qThreshold

Die Wahl des Startwertes für *qThreshold* beeinflusst die Zyklenzahl nur mäßig, wenn der Wert innerhalb des Bereichs [0.75 – 0.95] liegt. In einer reinen *hill-climber* Umgebung ist 0.9999 optimal. Rauhe Umgebungen benötigen niedrigere Werte, z.B. 0.9, damit sie aus den lokalen Optima herausfinden. Siehe Abb. 3-1.

3.3.4 qThresholdDecayRate

qThresholdDecayRate muß wie *maxIdleLoops* auf das Optimierungsproblem abgestimmt werden. *hill-climber* Probleme können höhere *qThresholdDecayRate* Werte vertragen (bis 0.05) als raue Umgebungen mit vielen Nebenoptima. *qThresholdDecayRate* hat direkten Einfluß auf das Abbruchkriterium, aber nicht auf den Verlauf der Optimierung. Ungeeignete *qThresholdDecayRate*'en führen nur zu vorzeitigem Abbruch oder zu unnötig langer Laufzeit. Die Wahl von *qThresholdDecayRate* muß der Optimierung daher genügend Zeit lassen, um das Optimum zu erreichen.

Experimentell wurde der Wert auf 0.0005 festgelegt. Dieser Wert ist geeignet für alle hier untersuchten Optimierungsprobleme.

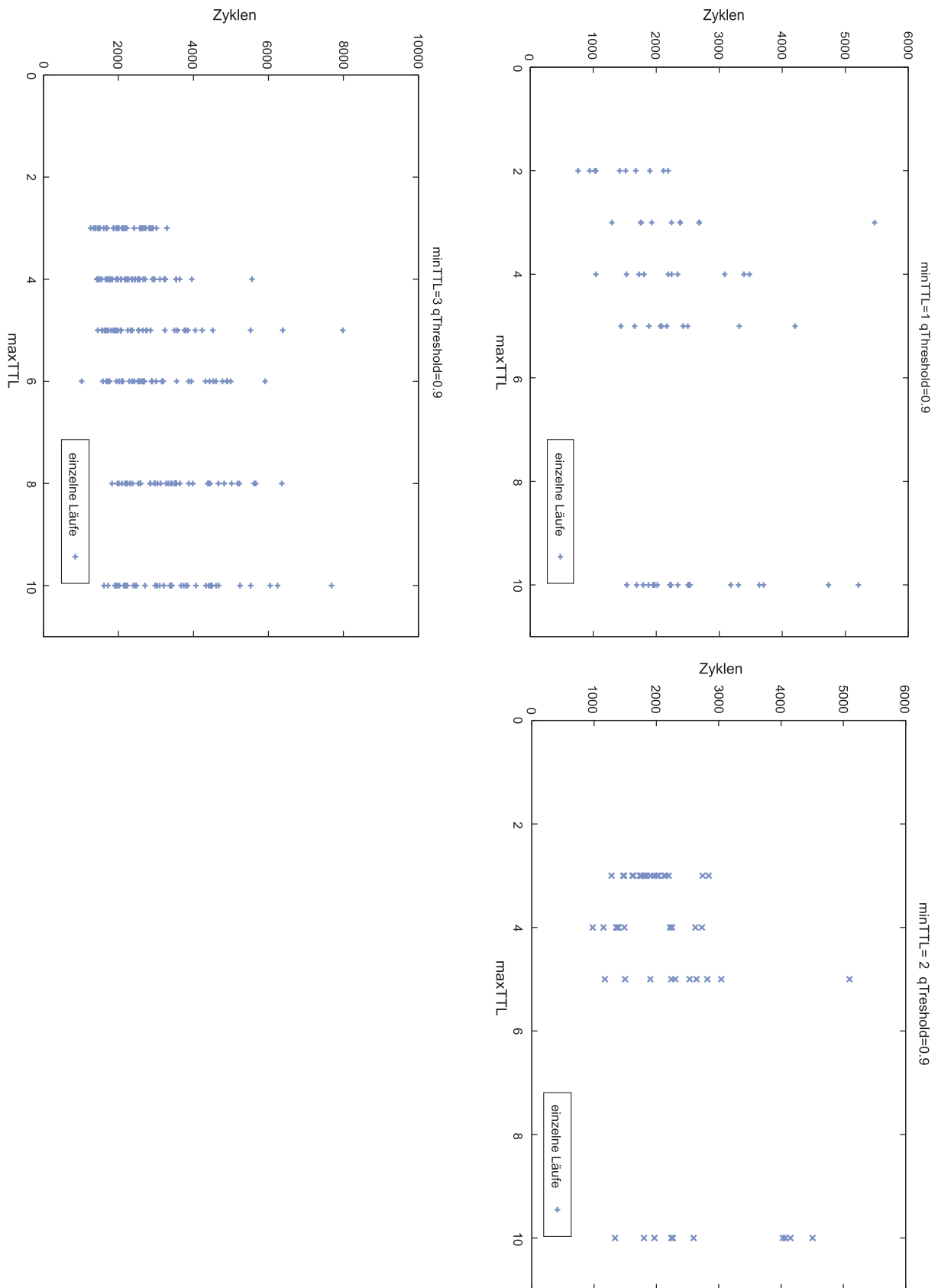


Abbildung 3–2 Abhängigkeit der Laufzeit von der maximalen Lebenszeit ($maxTTL$)

3.3.5 minTTL

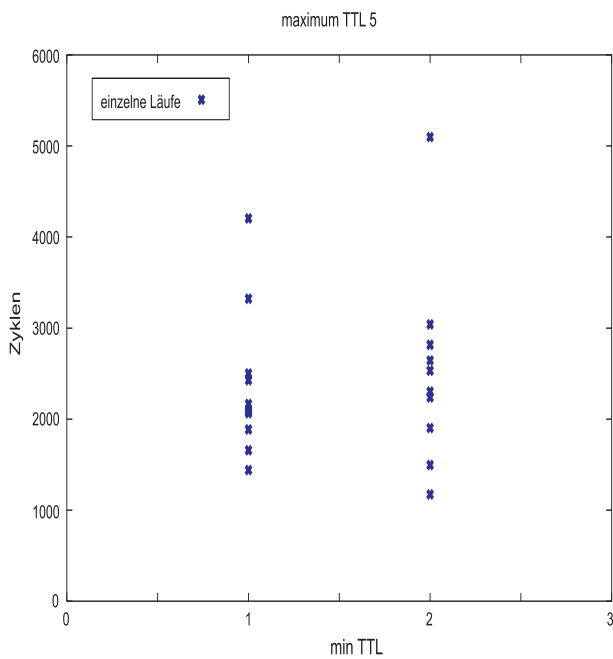


Abbildung 3–3 Abhängigkeit von der minimalen Lebenszeit ($minTTL$) bei $maxTTL=5$

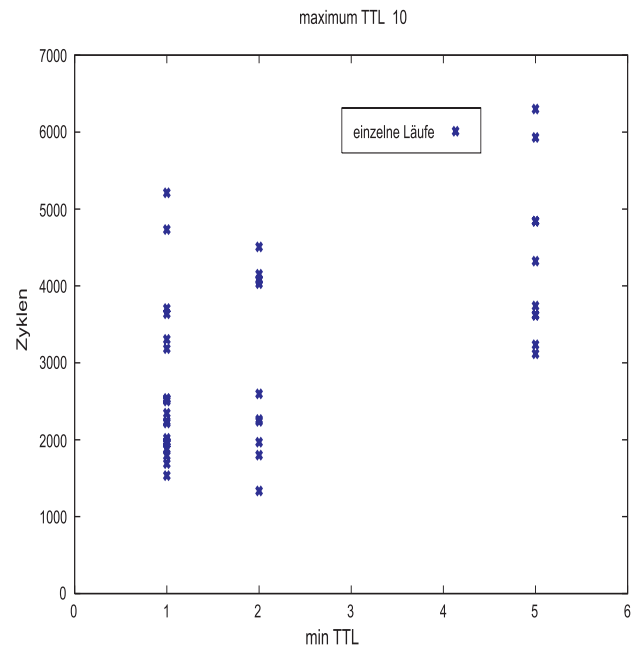


Abbildung 3–4 Abhängigkeit von der minimalen Lebenszeit ($minTTL$) bei $maxTTL=10$

Zu kleine Werte für $minTTL$ behindern das Entkommen aus lokalen Optima, zu große verlängern die Zyklenzahl, da viele schlechte Suchpfade zunächst zugelassen und später verworfen werden. Daher dauert jeder Fehlversuch mindestens $minTTL$ Zyklen. (siehe Abb. 3–3 und 3–4)

Optimale Werte sind 1 bis 3. Der Standardwert ist 2.

3.3.6 maxTTL

$maxTTL$ muß größer gleich $minTTL$ sein. Mit zunehmenden Werten streut die Zyklenzahl und die minimale Zyklenzahl nimmt zu. (siehe Abb. 3–2)

Optimale Werte liegen zwischen 2 und 5. Der Standardwert ist 3.

3.3.7 randArenaSize

Die Arenagröße im Random Optimierer⁴ hat linearen Einfluß auf die Konvergenzgeschwindigkeit. Die Schleifenzahl ist linear antiproportional zu $randArenaSize$. Der Standardwert (4) wurde so gewählt, daß der RANDOM Algorithmus bei einem bestimmten Testproblem eine vergleichbare Schleifenzahl wie PASTA verbraucht. $randArenaSize$ kann frei gewählt werden, da es keinen Einfluß auf die Laufzeit hat (<<1%).

⁴ Die von der Arenagröße im Genetischen Optimierer unabhängig ist!

3.3.8 Profile

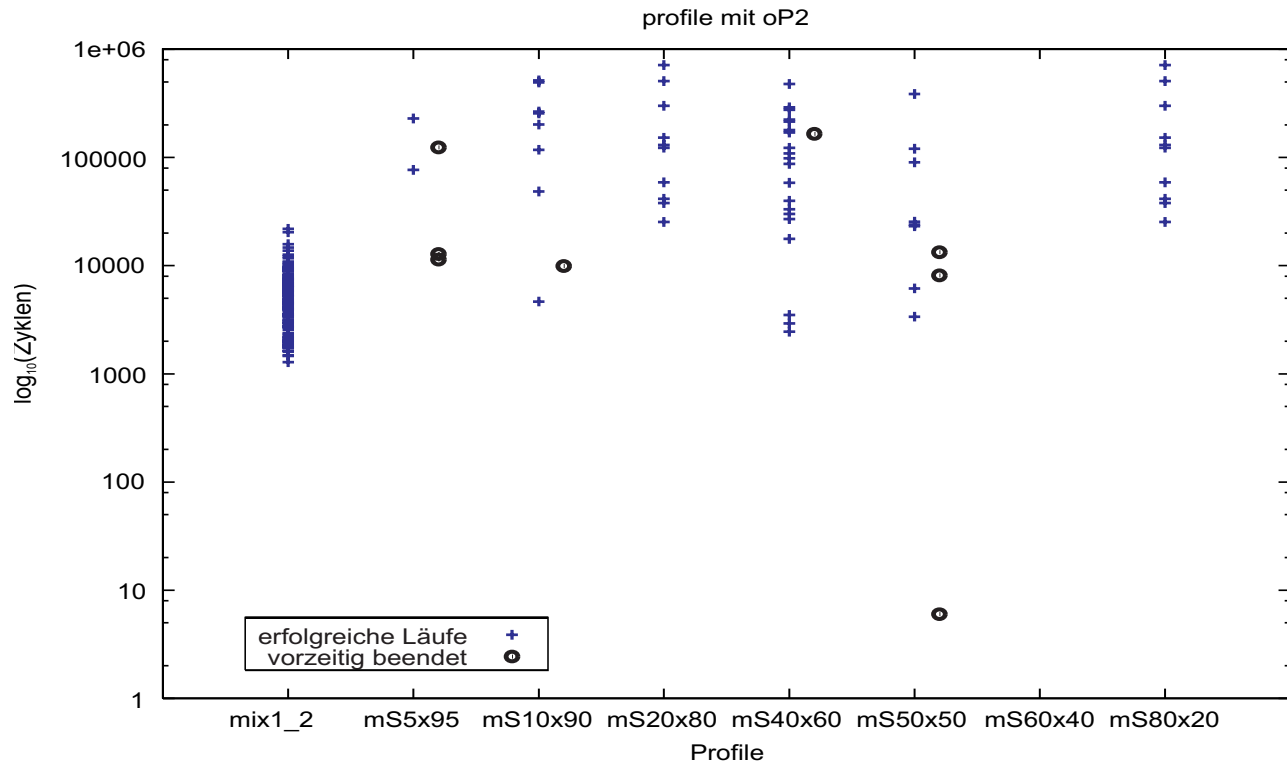


Abbildung 3–5 Abhängigkeit der Zykluszeit vom gewählten Aktionsprofil in logarithmischer Darstellung. Die Symbole für vorzeitig beendete Läufe wurden mit einer kleinen Verschiebung rechts neben die zugehörigen erfolgreichen Läufe projiziert.

Das gewählte Profil hat sehr großen Einfluß auf die Konvergenzgeschwindigkeit (siehe Abb. 3–5). Die einzelnen Profile sind in Tab [2–15] definiert. »exchange_only« (nicht dargestellt) konvergiert nur selten (<90%) innerhalb von endlicher Zeit (<10⁸ Zyklen). Es bleibt meist in einem niedrigen lokalen Optimum stecken. Schon mit einem kleinen Anteil `swap` konvergieren die Läufe häufiger. Bis 50% nimmt, mit zunehmendem `swap`-Anteil, sowohl der Anteil fehlerhafter Läufe als auch die Laufzeit ab. Danach erhöht sich die Laufzeit wieder. Gleichzeitig streut sie über einen Bereich von bis zu 2 Größenordnungen.

Mit einem `moveRange`-Anteil von 5% bis 20% verringert sich die Laufzeit um bis zu 2 Größenordnungen und die Streuung wird auf eine Größenordnung eingeschränkt.

In den Experimenten mit C21W wurde eine geringfügige Verbesserung der Konvergenz und Laufzeit festgestellt, wenn das Profil einen Anteil `moveSingle` enthält. Diese Aktion wurde speziell zum Auflösen einer typischen `deadlock` Situation in diesen Experimenten zugeschnitten.

Das Standardprofil ist »mix1_2«, damit wurden keine fehlerhaften Läufe mehr erzeugt. Die anderen in Tabelle 2–15 aufgeführten Mischprofile führten zu keiner signifikanten Verbesserung oder die Verbesserungen traten nur in einzelnen Testkonfigurationen ein und konnten in anderen nicht wiederholt werden.

Die große Abhängigkeit der Laufzeit von der Profilzusammensetzung ist verständlich, wenn man berücksichtigt, daß jede neue Operation einen neuen, zusätzlichen Graphen im Zustandsraum aufspannt. Die neuen Kanten können Abkürzungen der alten sein, die zwei Zustände verknüpfen, die vorher nur durch

einen längeren Weg aus Elementaroperationen oder mehreren anderen alten Operationen verbunden waren. Wenn der alte Weg durch den verbotenen Bereich unterhalb der Qualitätsschwelle führte oder dort endete, konnte er daher vorher nicht genutzt werden. Die neuen Operatoren durchqueren den Bereich mit niedriger Qualität in einem Schritt und können daher weiter entfernte Bereiche des Lösungsraumes erreichen, als es mit den Elementaroperationen allein möglich ist. `swap` verkürzt den Weg um 4 Elementaroperationen, `moveRange` verkürzt den Weg sogar noch stärker (siehe Kapitel 2).

3.3.9 Einfluß des Optimierungsproblems

Einige Eigenschaften, die durch das Optimierungsproblem vorgegeben sind, haben auf die Konvergenz und die Zyklenzahl der Optimierung großen Einfluß. Die eine ist die Proteinlänge. Die andere ist die akzeptierte maximale Distanz in der CA/CB-Dimension. Die Proteinlänge kann nicht beeinflußt werden, dagegen ist die maximale CA Distanz innerhalb bestimmter Grenzen wählbar, wenn man die Möglichkeit nutzt, die Spektren gut zu referenzieren. Notfalls kann man die Distanz sogar manuell editieren, d.h. explizit Kanten löschen, die nach externen Erkenntnissen nicht relevant sind.

3.3.10 Maximale Nachbarschaftsdistanz ΔCA

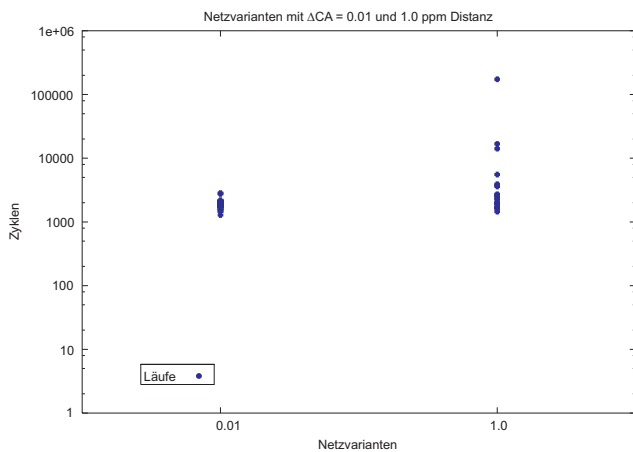


Abbildung 3-6 Abhängigkeit der Laufzeit vom Nachbarschaftsabstand in der CA Dimension (logarithmische Darstellung).

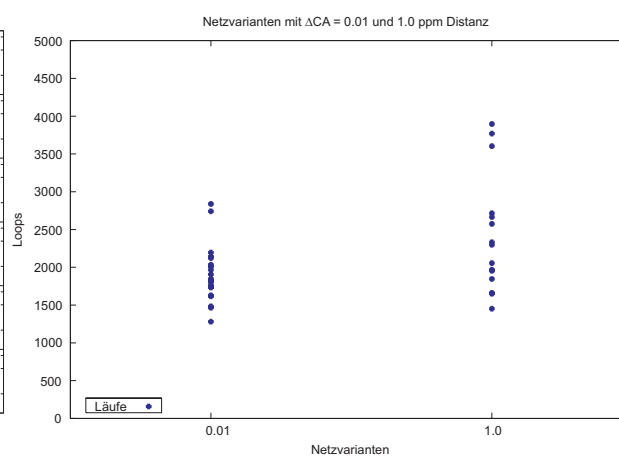


Abbildung 3-7 Abhängigkeit der Laufzeit vom Nachbarschaftsabstand in der CA Dimension (lineare Darstellung).

Die Zykluszahl hängt sehr stark von der maximalen Nachbarschaftsdistanz entlang der CA Dimension ab, da die Anzahl der benachbarten Zustände mit der maximalen Nachbarschaftsdistanz zunimmt (siehe Abb. 3-6 und 3-7). Gleichzeitig nimmt die Streuung der Zykluszahl extrem zu. Während für 0.1 ppm der Faktor vom bestem zum schlechtestem Durchlauf 2 ist, erreichte er bei 1.0 ppm einen Faktor größer 10, mit Berücksichtigung des Extremwertes sogar einen Faktor von 100! Da die kleinste akzeptable Nachbarschaftsdistanz auch von der Frequenzverteilung im Protein und der Qualität des Datensatzes beeinflusst wird, hängt damit die Laufzeit direkt von der Qualität der Spektren und der Referenzierung ab. Eine schlechte Referenzierung verzehnfacht die Laufzeit.

3.3.11 Proteingröße

Entscheidend für die Laufzeit ist die Größe des Zustandsraums, die auch von der Länge des Proteins abhängt (Gl.1–9). Die Laufzeit ist proportional dem Logarithmus der Größe des Zustandsraumes. Die Größe des Zustandsraumes nimmt aber exponentiell mit der Proteingröße zu. Daher ist die Laufzeit ungefähr proportional der Länge des Proteins. (siehe Abb. 3–8 und 3–9)

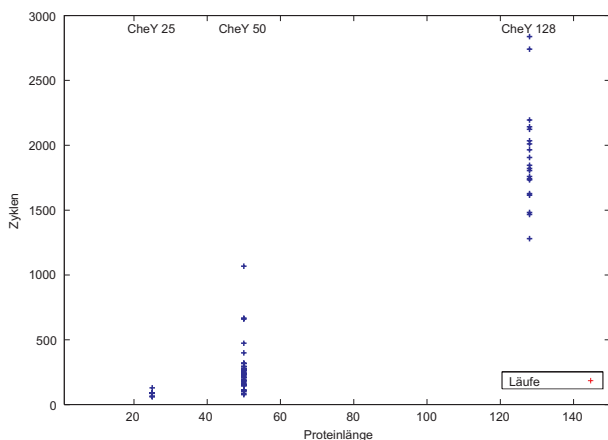


Abbildung 3–8 Abhängigkeit der Laufzeit von der Proteingröße

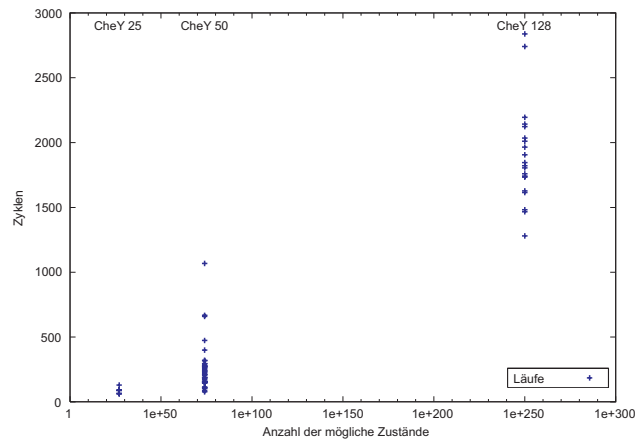


Abbildung 3–9 Abhängigkeit der Laufzeit von der Anzahl der Zustände im Zustandsraum.

| Problem | Länge | Konfiguration | Protospinsysteme | Maximale Anzahl der Zustände. |
|-----------------------|-------|---------------|------------------|-------------------------------|
| | | | | alle Positionen |
| CheY 25 | 24 | perfekt | 24 | 1e27 |
| CheY 50 | 49 | perfekt | 57 | 1e74 |
| CheY 128 | 127 | perfekt | 171 | 1e256 |
| Trigger, mit His Tag | 110 | Stufe 1 | 158 | 1e219 |
| Trigger, mit His Tag | 110 | Stufe 2 und 3 | 162 | 1e221 |
| Trigger, ohne His Tag | 103 | Stufe 1 | 158 | 1e207 |
| Trigger, ohne His Tag | 103 | Stufe 2 und 3 | 162 | 1e209 |

Tabelle 3–3 Abschätzung der Größe des Zustandsraums mittels Gl.1–9, wenn man alle Protospinsysteme für alle Aminosäurepositionen berücksichtigt muß.

3.3.12 random (Startwert für den Zufallszahlengenerator)

Die Wahl des Startwertes für den Zufallszahlengenerator ist unkritisch. Gleiche Startwerte führen bei gleicher Konfiguration zu identischen Programmläufen und daher zu gleichen Endzuständen. Der Startwert "time" wählt allerdings immer die aktuelle Systemzeit als Startwert und gilt daher nicht als identischer Startwert.

3.4 Wahrscheinlichkeitsverteilung der Zyklenzahlen für RANDOM.

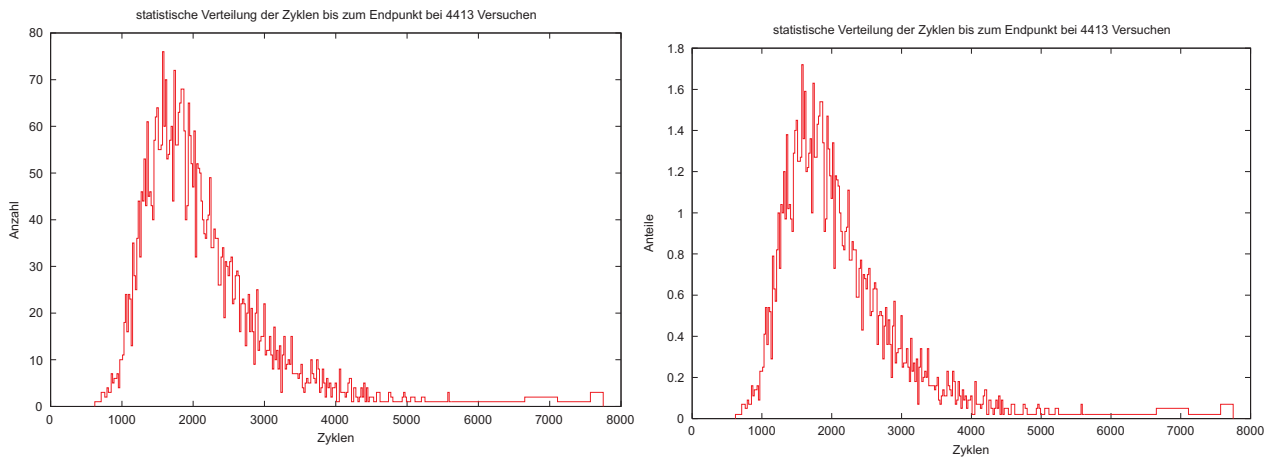


Abbildung 3–10 Statistische Verteilung der Zyklenzahlen für RANDOM in 4413 Einzelläufen.

Die Verteilung der Laufzeiten bis zur Konvergenz mit der Standardkonfiguration wurde mit 4413 Einzelläufen ermittelt. Die theoretische Verteilungskurve kann numerisch exakt nur mittels einer Modellierung der homogenen Markowschen Kette des gesamten Zustandsraumes \mathbf{S} berechnet werden. Dazu ist eine Modellierung der Übergangswahrscheinlichkeiten notwendig. Für CheY erfordert das die Berechnung der Übergangsmatrix Π zwischen den Zuständen im Lösungsraum \mathbf{S} und ist daher praktisch nicht durchführbar.

$$\Pi = \begin{pmatrix} p_{1,1} & \cdots & p_{1,k} \\ \vdots & \ddots & \vdots \\ p_{k,1} & \cdots & p_{k,k} \end{pmatrix} \quad \text{mit} \quad k \approx 10^{208} \quad \text{für Trigger} \quad (3-1)$$

Die Form der Verteilungskurve kann aber mittels eines sehr einfachen Modells aus verketteten Einzelereignissen erklärt werden. Für eine linear verknüpfte Menge K von n Zuständen (Kette) sei ein Vektor der Übergangswahrscheinlichkeiten Q definiert, in dem $q_{i,i+1}$ die Übergangswahrscheinlichkeit vom i zum $i+1$ Nachbarn definiert. Die Zyklenzahl $z_{i,i+1}$ ist die Anzahl der Zufallszahlen x im Bereich $[0 - 1]$, die man ziehen muß, um ein $x \geq q_{i,i+1}$ zu erhalten. $Z(K, Q)$ ist die Anzahl der Zyklen, die für einen vollständigen Lauf vom ersten zum letzten Zustand in K mit den Übergangswahrscheinlichkeiten in Q benötigt wird.

Wenn Q mit Gl. 3–2 belegt wird, ergibt sich eine Wahrscheinlichkeitsverteilung für $Z(K, Q)$, die der Form der Verteilungskurve in Abb. 3–10 entspricht. Lineare oder konstante Funktionen zur Erzeugung der Übergangswahrscheinlichkeiten ergeben eine symmetrische Gauß'sche Verteilungskurve.

$$q_{0,1} \ll 10^{-4}$$

$$q_{i,i+1} = \log_{10} \left(1 + \frac{9}{n} \cdot (i-1) \right) \cdot 0.1 \quad (3-2)$$

$$Z(K, Q) = \sum_{i=1}^{i=n} z_{i,i+1} \quad (3-3)$$

3.5 Beschleunigung der Berechnung mittels eines Caches

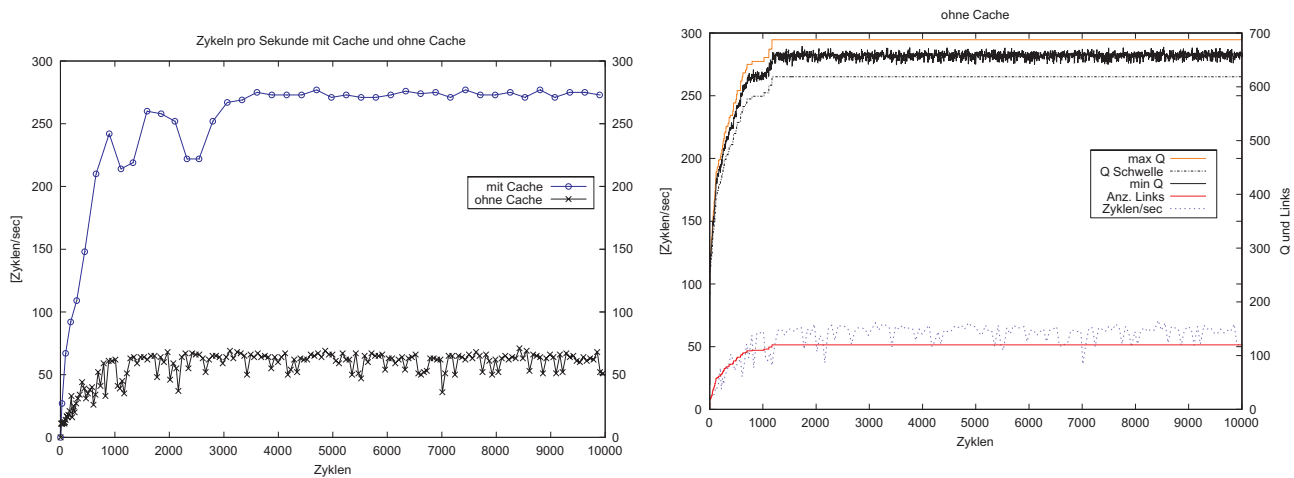


Abbildung 3–11 Beschleunigung der Berechnung durch den Berechnungscache. Links: der Vergleich zwischen der Berechnung mit und ohne Cache. Rechts: Verlauf der Rechnung ohne Cache.

Die Bildung der Link-Protospinsysteme und die Bewertung der AS- und Link-Protospinsysteme verbraucht viel Rechenzeit. Da häufig die gleichen Berechnungen mehrfach innerhalb derselben Optimierung gebraucht werden, werden ohne Cache bereits früher berechnete Werte mehrfach erneut berechnet.

Die Berechnung kann daher beschleunigt werden, wenn einmal berechnete Zwischenergebnisse in einer Tabelle, einem sogenannten Cache, gespeichert und nachgeschlagen werden können. Der Cache beschleunigt die Berechnung, d.h. reduziert die real verbrauchte CPU Zeit, um einen Faktor von mehr als 4.

3.6 Parameterabschätzung für den Genetischen Optimierer

Im Gegensatz zum RANDOM Optimierer sind für den Genetischen Optimierer drei Zyklenzahlen charakteristisch.

- $Mittelwert(Summe(subLoops))$

Dies ist die gemittelte Summe über alle genetischen Zyklen, die von allen Individuen verbraucht wurde. Die Anzahl der sequentiell verbrauchten Zyklen entspricht der verbrauchten Rechenzeit.

- $Summe(mid(max(subLoops)))$

Die Anzahl der parallelen Zyklen zeigt, wie schnell die entsprechende Konfiguration ist, wenn alle Individuen auf einem eigenen Prozessor ausgeführt werden. Dabei wird jeweils die Zyklenzahl des Individuums bewertet, das in diesem Mutationsschritt am meisten RANDOM Zyklen verbraucht hat, da dies der Zeit entspricht, die ein parallelisierter Algorithmus warten muß, um den nächsten genetischen Zyklus synchron zu starten. Die Anzahl der parallelen Zyklen ist die Summe der Mittelwerte aller längsten Mutationsschritte je genetischem Zyklus über alle genetischen Optimierungen.

- Die Anzahl der genetischen Zyklen

Die genetischen Zyklen sind für sich alleine genommen kein Kriterium, um die Qualität einer Optimierung zu bewerten. Sie wird daher nur betrachtet, wenn sie eine besondere Einsicht in die Konfiguration gibt. Zusätzlich ist die gemittelte genetische Zyklenzahl problematisch, da der Optimierer innerhalb eines genetischen Zyklus unterschiedlich viel Zeit in RANDOM Zyklen verbrauchen kann. Außerdem kann ein genetischer Optimierer nur am Ende eines genetischen Zyklus eine Optimierung beenden.

3.6.1 Die Ausgangskonfiguration für die Parametrisierung

Die folgende Basiskonfiguration wurde für alle folgenden Berechnungen, bis auf die Bewertung der Crossover Operatoren, verwendet.

| Parameter | Wert | Parameter | Wert |
|-------------------------------|------------------|---------------------------------|---|
| Aufgabe: | "CheY" | | |
| Protein: | CheY | Startzustand: | (leer) |
| Cache: | Default | AS-Positionsstrafen: | keine |
| Net: | Inner.outer | Positionsvorwahl durch AS-Typen | Nein, alle Protospinsysteme können auf jede Position (=oPa) |
| Distanz zum Nachbar (CA) | 1.00 | | |
| | | | |
| Genetischer Optimierer | (GENETIC) | | |
| Crossover Operator | Gs2p2 | crossOverPct | 0.15 |
| Arena (A, E, Ü) | 32 A, 16 E, 8 Ü | genQToleranz, decay | 0.999, 0.05 |
| genCrossoverThreshold | 0.9 | | |
| maxLoops: | 1 000 000 | maxTime [min] | 3600 |
| maxIdleLoops | 15 | maxEqualLoops | 5 |
| | | | |
| SubOptimierer | (RANDOM) | | |
| Profil: | mix1v2 | qTolerance, decay | 0.9 0.005 |
| maxLoops: | 4000 | TTL (min,max) | 2, 5 |
| maxIdleLoops: | 10 000 | maxTime [min] | 10 |
| | | | |
| Finaler Optimierer | (RANDOM) | | |
| Profil: | mix1v2 | qTolerance, decay | 0.9 0.005 |
| maxLoops | 200 000 | TTL (min,max) | 2, 5 |
| maxIdleLoops | 5000 | maxTime [min] | 20 |

A,E,Ü = Arenagröße,Eltern,Überlebende

3.6.2 Die Qualitätsunterschiede der Operatoren

Die Beurteilung der Crossover Operatoren kann nicht unabhängig von der restlichen Parametrisierung vorgenommen werden. Gleichzeitig ist eine vollständige Exploration des Parameterraumes zusammen mit den Crossover Operatoren aus Zeitgründen nicht möglich, da eigentlich für jeden Operator eine vollständige Parametrisierung durchgeführt werden muß. Daher wurde zuerst eine akzeptable Standardkonfiguration für alle Operatoren gesucht. Mit dieser Konfiguration wurden dann die Crossover Operatoren beurteilt. Für die besten zwei Operatoren wurde danach die restliche Parametrisierung durchgeführt.

Die Bewertung der Crossover Operatoren erfordert eine andere Konfiguration als die Bewertung aller anderen Parameter. Da zur Bewertung der Crossover Operatoren besonders viele langsame Konfigurationen bewertet werden mußten, wurde ein Problem ausgewählt, das mit RANDOM nur langsam konvergiert, aber mit GENETIC in kurzer Zeit lösbar ist. Außerdem sollte es viele Crossover-Ereignisse ermöglichen und innerhalb kurzer Zeit (~1/2 h) lösbar sein, um eine statistisch hinreichend große Anzahl Rechnungen zu erreichen. Daher wurde nicht das gesamte CheY Protein als Problem verwendet, sondern nur CheY50, d.h. die ersten 50 Aminosäuren von CheY.

Außerdem wurden nur die Zyklen gemessen, die zum Erreichen einer *Qualitätsschwelle* (99.37% der theoretischen Qualität) verbraucht wurden. Oberhalb dieser Schwelle beginnt, außer bei sehr effizienten Crossover Operatoren, der rein statistische Abschnitt der Optimierung, in dem der Optimierer nach der letzten Aktion sucht, die das Individuum zum Qualitätsmaximum führt. Durch die niedrigere Schwelle werden die Messungen um ein Drittel bis zur Hälfte, gegenüber einer Rechnung bis zum theoretischen Endpunkt, beschleunigt, da die statistische Phase der Konvergenz nicht durchlaufen wird. Außerdem ermöglicht es eine gemeinsame Vergleichsmessung mit den schlechten Operatoren, die das theoretische Maximum nicht erreichen. Zum Vergleich zwischen der Messung mit Qualitätsschwelle und der Optimierung bis zum theoretischen Maximum wurde zusätzlich Operator D in allen Varianten bis zum theoretischen Endpunkt berechnet.

3.6.2.1 Statistische Auswertung

- Konfiguration:

random: maxLoop= 2k, Schwelle=0.9, minTTL=2, maxTTL=3

genetisch: Arena (Individuen, Eltern, Überlebende) =8,4,4 crossOverPct=0.5

Problem: ohne AS-Typen, alle Positionen erlaubt (=oPa), CheY50

- Optimierung bis zum theoretischen Endpunkt (Qualität = 261.65) mit Operator D

| | random, sequentiell | genetisch, statistisch | genetisch, elitär | genetisch, Operator C |
|-------------------|---------------------------------|------------------------|-------------------------------|-----------------------|
| Zyklenzahl | ⁵ (183.319 ± 67.000) | 120.000 | ⁶ (63.000 ± 3.000) | 126.000 |

| Operator D | | Selektionsmethode | | |
|--------------------|----|-------------------|---------|---------|
| Produktionsmethode | | s1 | s2 | s3 |
| | p1 | 124.000 | 138.000 | 134.000 |
| | p2 | 138.000 | 118.000 | 106.000 |
| | p3 | 136.000 | 144.000 | 126.000 |

Tabelle 3-4 Einzelne Läufe mit dem Operator D. Im Gegensatz zu Tab.3-6 wurden die Rechnungen solange fortgesetzt, bis die automatische Endpunkterkennung die Optimierung beendete.

⁵ (random, sequentiell) 2 von 5 Versuchen erreichten das Maximum nicht (erreichte Qualität ~ 238).

⁶ (genetisch, elitär) erreichte den theor. Endpunkt in allen drei Versuchen nicht. Der Optimierer blieb bei einer Qualität von ~248 stecken.

• **Optimierung bis zum Erreichen der Qualitätsschwelle mit allen Operatoren**

Die Optimierung wird durchgeführt bis die Qualitätsschwelle von 260, d.h. 99.37% des theoretischen Maximalwertes, erreicht ist.

| | random, sequentiell | genetisch, statistisch | genetisch, elitär | genetisch, Operator C |
|-------------------|--------------------------------|------------------------|-------------------------------|-----------------------|
| Zyklenzahl | ⁷ (51.000 ± 19.000) | 58.500 ± 38.310 | ⁸ (37.000 ± 7.000) | 42.000 ± 11.000 |

Tabelle 3–5 Gemittelte Laufzeiten der klassischen Crossover Operatoren bis zur Qualitätsschwelle.

| Produktionsmethode | Selektionsmethode | | |
|--|---|--|---|
| | s1 (punktförmig) | s2 (Nachbarn) | s3 (verkn. Nachbarn) |
| p1 alt + $\frac{1}{2} \Delta(\text{alt}, E_{1,2})$ | D 57.000 ± 4.200 N 43.333 ± 6.110 A 42.000 ± 5.291 | D 53.000 ± 1.400 N 48.666 ± 6.110 A 56.000 ± 5.656 | D 89.000 ± 26.000 N 45.000 ± 4.242 A 50.000 ± 8.000 |
| p2 E + $\Delta(E)$ | D 45.333 ± 12.000 N 39.500 ± 3.451 A 36.000 ± 2.800 | D 44.000 ± 4.300 N 38.500 ± 5.000 A 36.500 ± 4.434 | D 41.333 ± 12.000 N 34.500 ± 4.431 A 38.000 ± 6.928 |
| p3 alt + $\Delta(\text{alt}, E)$ | D 84.000 ± 19.800 N 42.666 ± 2.309 A 44.666 ± 11.547 | D 54.000 ± 8.400 N 48.000 ± 5.656 A 47.350 ± 2.309 | D 99.000 ± 72.000 N 39.333 ± 4.618 A 39.333 ± 1.157 |

Tabelle 3–6 Gemittelte maximale Laufzeiten mit den einzelnen Operatoren aus Tabelle 2–17. Der **beste** und schlechteste Wert jedes Operators sind hervorgehoben.

Die niedrige Effizienz der klassischen Operatoren in Tabelle 3–5 gegenüber den speziellen Operatoren A und N in Tabelle 3–6 ist offensichtlich. "random,sequentiell" und "genetisch,elitär" können nicht mal für die niedrigere Qualitätsschwelle eine stabile Konvergenz zum Optimum garantieren. "genetisch,statistisch" zeigt die Wirkung der parallelen Berechnung ohne genetischen Austausch zwischen den Individuen.

"genetisch,Operator C" zeigt die Wirkung eines blinden Crossovers. Durch die blockweise Übertragung der Gene erreicht Operator C eine Koordination der direkt benachbarten Protospinsysteme und kommt damit in den Bereich der G Operatoren.

Gs3p2A ist der Operator, der die qualifiziertesten Gene auf die Nachkommen überträgt, da sowohl die Initialisierung als auch die Differenzbildung aus den Elternteilen erfolgt und außerdem nur verknüpfte Bereiche übertragen werden. Daher wurde für Gs3p2A die kürzeste Laufzeit erwartet. Entgegen der Erwartung aus Kapitel 2.10.4 zeigen dagegen die Operatoren Gs2p2A und Gs3p2N die kürzeste Laufzeit.

Da Gs2p2A auch im schlechtesten Fall noch gute Laufzeiten erzeugt, wurde er für die restlichen Tests verwendet.

⁷ siehe 5.

⁸ (genetisch, elitär) erreichte die Schwelle 260 in vier von 6 Versuchen nicht. Der Optimierer blieb bei einer Qualität von 218 bis 248 stecken.

3.6.3 Übertragungsrate (crossOverPct)

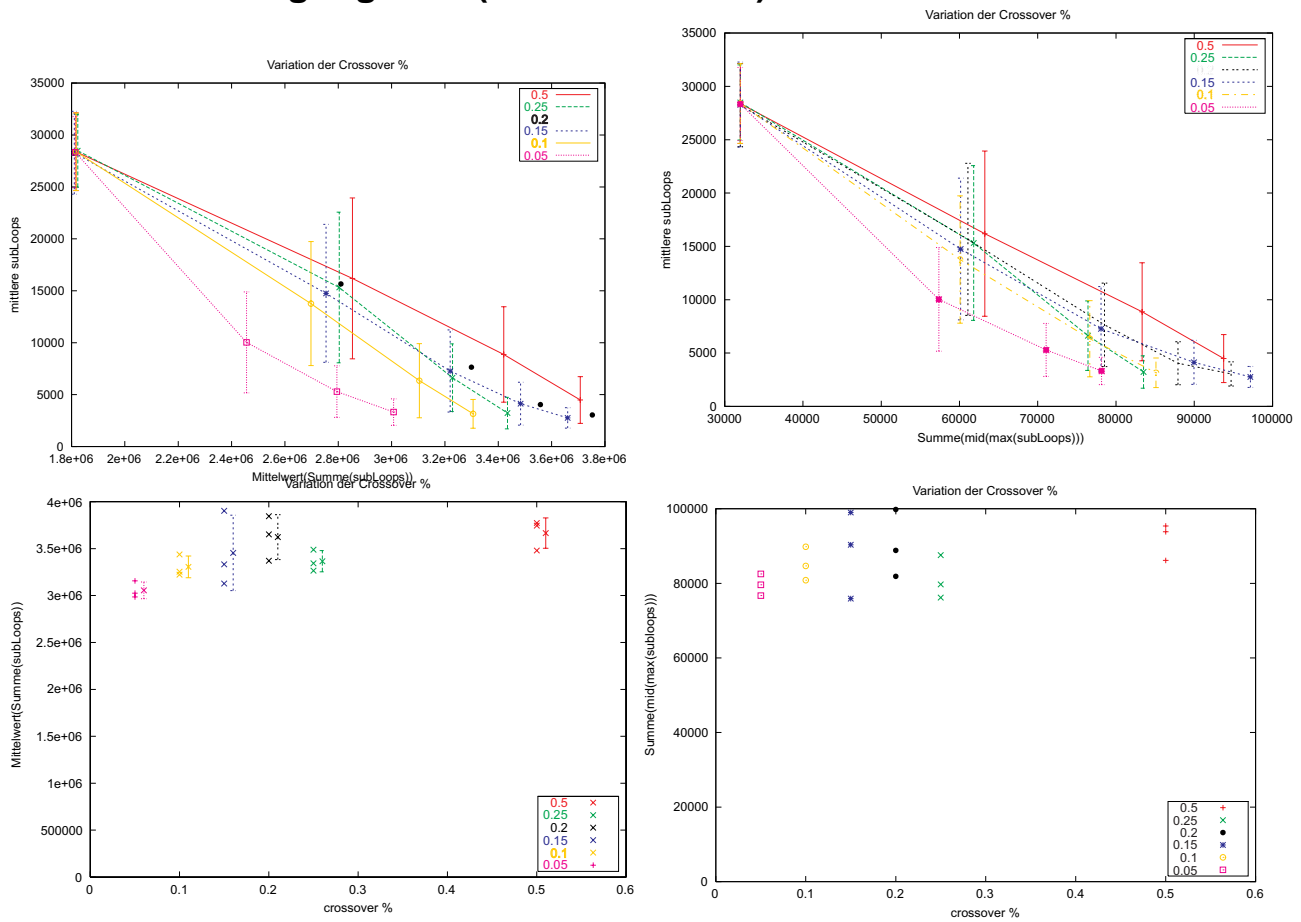


Abbildung 3–12 Parallele und sequentielle Zyklen und crossOverPct.

Die Wahl der Übertragungsrate im Crossover kann beim Gs2p2A Operator die Geschwindigkeit um bis zu 25% beeinflussen. Der Standardwert für `crossOverPct` ist 0.15. Kleinere `crossOverPct` Werte reduzieren die parallele und die sequentielle Zyklenzahl gleichermaßen, während große Werte die Zyklenzahl erhöhen.

Für das lokale Minimum im Bereich von 0.2 konnte keine Begründung gefunden werden.

3.6.4 Konfiguration der Arena `genArenaSize`, `seedPoolSize`, `survivingSeeds`

3.6.4.1 Anzahl der Individuen (`genArenaSize`)

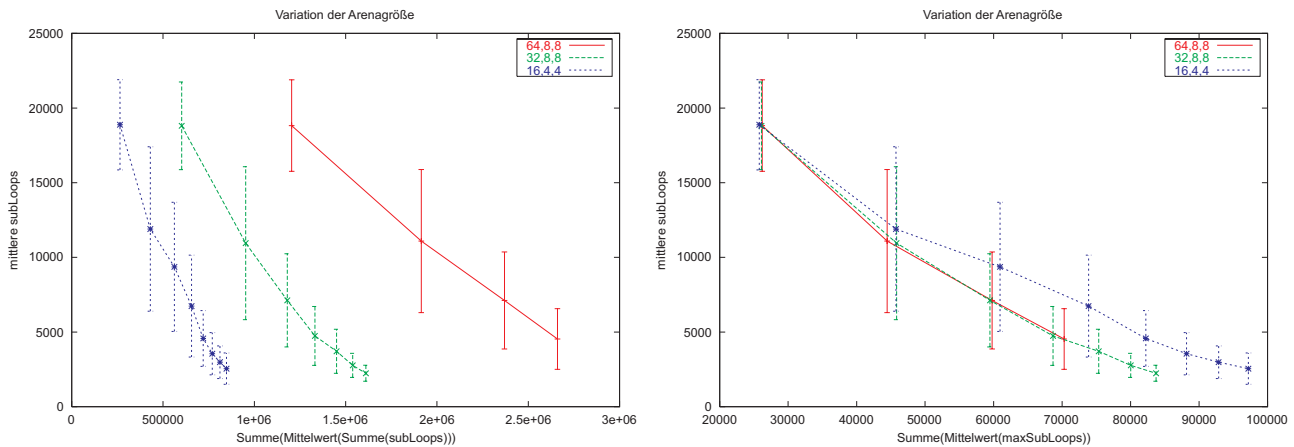


Abbildung 3-13 Parallele und sequentielle Zyklen und die Anzahl der Individuen

Parallele und sequentielle Zyklen zeigen eine entgegengesetzte Abhängigkeit von der Anzahl der Individuen. Während die sequentiell verbrauchten Zyklen linear mit der Anzahl der Individuen ansteigen, sinkt die Zahl der parallel verbrauchten Zyklen. Gleichzeitig sinkt die Anzahl der genetischen Zyklen mit der Anzahl der Individuen. Der Standardwert für die Arenagröße ist 64.

3.6.4.2 Anzahl der Eltern (`seedPoolSize`)

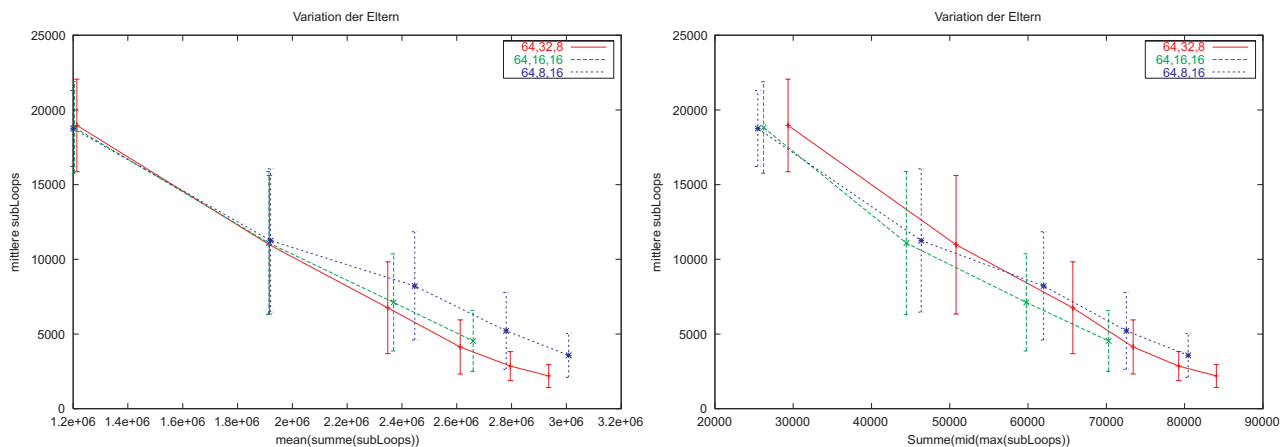


Abbildung 3-14 Parallele und sequentielle Zyklen und die Anzahl der Eltern

Beide Zyklenzahlen hängen nichtlinear von der Elternzahl ab. Sie sinken zuerst mit steigender Elternzahl, um dann wieder anzusteigen. Das Minimum liegt in beiden Fällen bei 16 Eltern. Der Standardwert ist 16.

Die Reihenfolge der absoluten Maxima ist zwischen den beiden Zyklenzahlen umgekehrt.

3.6.4.3 Anzahl der garantiert überlebenden Individuen (`survivingSeeds`)

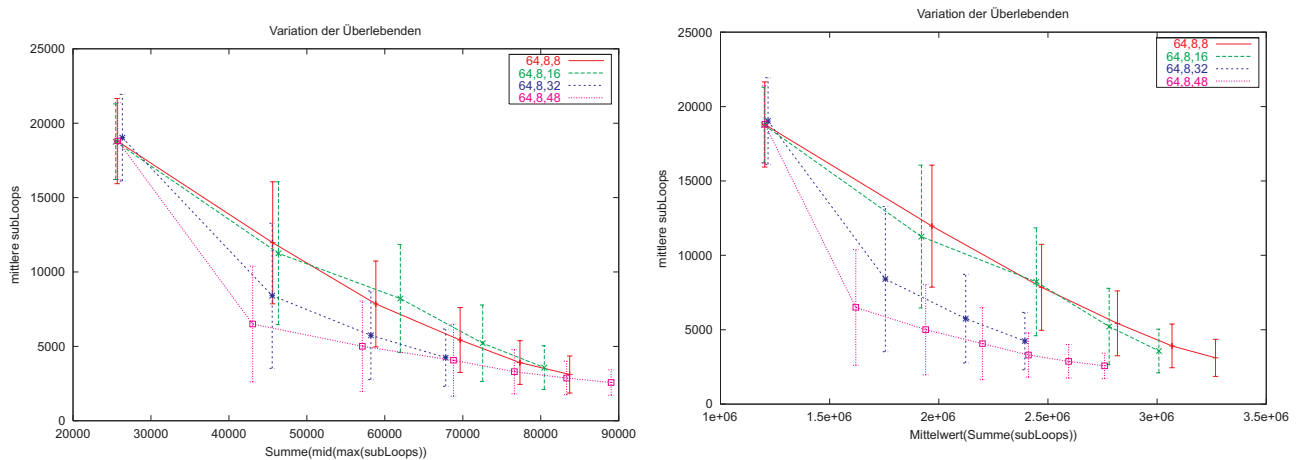


Abbildung 3–15 Parallele und sequentielle Zyklen und die Anzahl der garantiert überlebenden Individuen

Bis 32 `survivingSeeds` sinkt die parallele und sequentielle Zyklenzahl mit steigender Anzahl der überlebenden Individuen. Danach steigt sie unterschiedlich stark an. Für die sequentiellen Zyklen liegt das Maximum bei niedrigen `survivingSeeds` Werten, während das Maximum für die parallelen Zyklen bei hohen Werten liegt.

Der Standardwert für `survivingSeeds` ist 16.

3.6.5 Mindestqualität (`genQThreshold`) und die Zerfallsrate der Mindestqualität (`genQThresholdDecayRate`)

`genQThreshold` und `genQThresholdDecayRate` wurden analog zu `qThreshold` und `qThresholdDecayRate` konfiguriert. `genQThreshold` wurde so eingestellt, daß bis kurz vor Ende der Optimierung wenigstens ein Teil der Arena ersetzt wird.

3.6.6 Minimalwert für die gleitende Crossover-Rate. (`genCrossoverThreshold`)

`genCrossoverThreshold` wurde so eingestellt, daß mindestens 1 Crossover alle 4 Zyklen erfolgt. Die Programmläufe der Statistik halten die gleitende Crossover-Rate von selbst über dieser Schwelle. `genCrossoverThreshold` wird daher nicht wirksam.

3.6.7 Die Parameter des Abbruchkriteriums. `genMaxEqualLoops` und `genMaxIdleLoops`

Die Parameter des Abbruchkriteriums sind für die Konvergenz des Algorithmus unkritisch. Sie wurden so eingestellt, daß sie erst dann zutreffen, wenn die Optimierungsphase schon abgeschlossen ist. Der Standardwert für `genMaxEqualLoops` ist 5, für `genMaxIdleLoops` ist er 15.

3.6.7.1 Verschiedene Cachekonfigurationen

Die Cachekonfiguration hat großen Einfluß auf die Laufzeit. Da keine geeignete Metrik bekannt ist, die die Schwierigkeit der Optimierung an jedem Knoten und im gesamten Netz bewertet, kann der Qualitätsun-

terschied nur durch die Laufzeit des Optimierers abgeschätzt werden. Die Zykluszahl entspricht der Größe des Zustandsraumes.

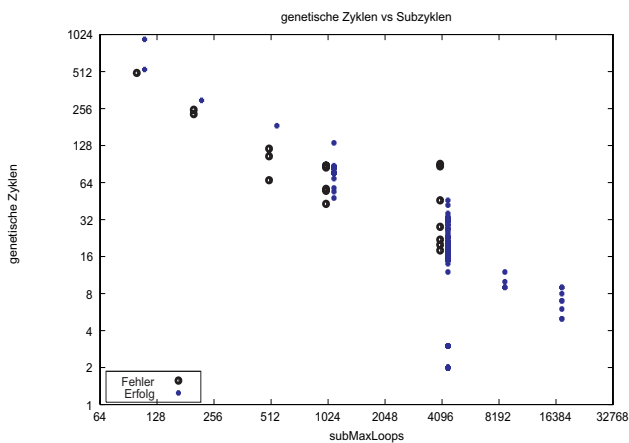
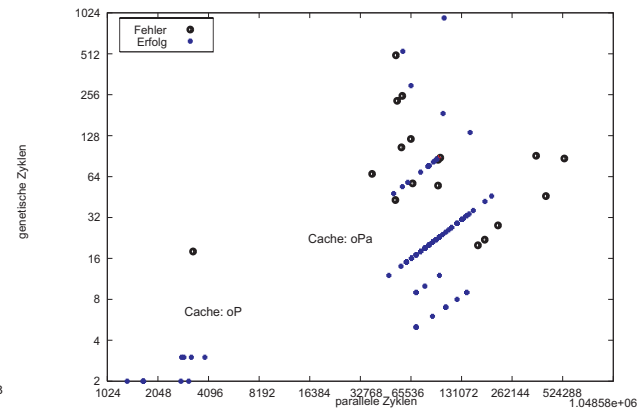
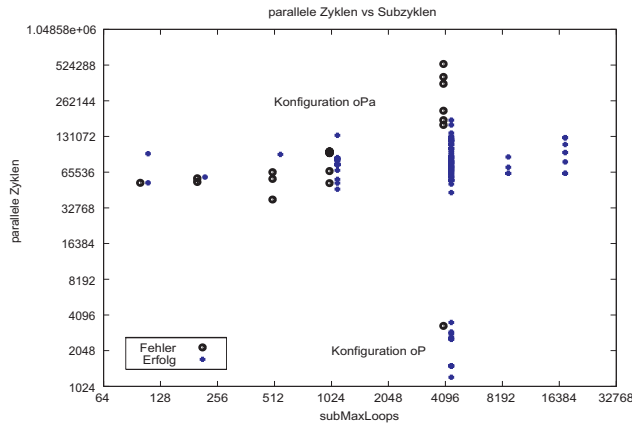


Abbildung 3–16 (link oben) Konvergenz in Abhängigkeit von der Anzahl der parallelen Zyklen und der maximalen Zyklusanzahl im Suboptimierer (alle in zyklengrenzter Konfiguration).

Abbildung 3–17 (rechts oben) Konvergenz in Abhängigkeit von der Anzahl der genetischen Zyklen und der maximalen Zyklusanzahl im Suboptimierer

Abbildung 3–18 (links unten) Konvergenz in Abhängigkeit von der Anzahl der genetischen Zyklen und der Anzahl der parallelen Zyklen.

Alle Probleme wurden zyklengrenzt berechnet.

Die Abbildungen enthalten die Konfiguration oP und oPa (siehe Tabelle 2–2). Konfiguration oP enthält perfekte Protospinsysteme mit AS–Typeninformation, oPa sind Protospinsysteme ohne AS–Typeninformation (P=perfekte ACX, a=alle Positionen). Die Typeninformation vereinfacht die Berechnung mit CheY50 so weit, daß das Problem zu einer *hill-climber* Umgebung für den Genetischen Algorithmus wird. Die Zykluszahl sinkt dadurch um einen Faktor von 16 bis 132, d.h. um bis zu zwei Größenordnungen.

3.6.8 Der SubOptimierer

Die Literaturkonfiguration des genetischen Optimierers mit kurzen Mutationszyklen, vielen Individuen und vielen Crossover Ereignissen führt beim N–ASS zu einer Stagnation der Entwicklung. Die Crossover Ereignisse sollten die Hauptverbesserungen erzeugen, statt dessen befinden sich die Individuen zuerst im Crossover–Schock. Um GENETIC in der klassischen Literaturkonfiguration zu betreiben, müßte die Arenagröße sehr groß (>16000) und die Mutationsrate klein sein (10 – 50 RANDOM Zyklen pro Individuum), damit jedes Protospinsystem im Cache schon zu Anfang vorhanden ist. Dies läßt die Laufzeit und der vorhandene Speicherplatz nicht zu. Für einen genetischen Zyklus benötigt GENETIC im Optimum mehr als 4h 38 min bei 16000 Individuen, sofern die Datenmengen keine veränderte Speicherlokalität gegenüber den Rechnungen mit weniger als 2000 Individuen erzwingen. Andernfalls wird die Rechenzeit noch höher. Die klassische Literaturkonfiguration ist daher nicht akzeptabel.

Daher muß eine neue Konfiguration für die Kontrolle des Verhältnisses zwischen Mutation und Crossover gefunden werden.

3.6.8.1 Konfigurationsvarianten des SubOptimierers

Da RANDOM als Unterroutine für die genetische Optimierung genutzt wird, kann er völlig anders konfiguriert werden, weil er nicht mehr innerhalb eines Mutationszyklus konvergieren muß. Daher können die Parameter, die zum Abbruchkriterium beitragen (`subMaxTime`, `subMaxLoops`, `subMaxIdleLoops`), neu gewählt werden. Durch drei Varianten der Parametrisierung des Abbruchkriteriums kann die Optimierung unterschiedlich eingestellt werden.

1. Zeitbegrenzt.

Dabei begrenzt die Laufzeit (`subMaxTime`) die Optimierung während eines Laufs des Suboptimierers. Die Zyklenzahl wird so eingestellt, daß sie nicht zum begrenzenden Faktor werden kann.

2. Zyklenbegrenzt.

Dabei begrenzt die Zyklanzahl (`subMaxLoops`) die Optimierung während eines Laufs des Suboptimierers. Die Laufzeit wird so eingestellt, daß sie nicht zum begrenzenden Faktor werden kann.

Bei Zeit- und Zyklenbegrenzung laufen die Eltern den Crossover-Produkten (Kindern) davon, da sie den Crossover-Schock nicht mehr ausgleichen müssen. Sie können die Rechenzeit vollständig für die Verbesserung ihres Zustandes verwenden. Die Kinder müssen erst die Schäden ausgleichen, die durch die Kombination inkompatibler Teile der Elternzustände hervorgerufen wurden. Um produktiv zu sein, muß ein genetischer Prozeß möglichst viele neue reproduktive Individuen hervorbringen. Da neue Individuen nur dann reproduktiv werden können, wenn sie in ihrem ersten Mutationszyklus wenigstens den passiven Teil der Arena erreichen, wird die Produktivität des genetischen Prozesses reduziert, wenn die neuen Individuen nach dem ersten Zyklus weder eine Qualität oberhalb der Qualitätsschwelle haben noch besser als das schlechteste alte Individuum sind.

3. Veränderungsratebegrenzt.

Der Suboptimierer kann dabei so lange weiterlaufen, wie das optimierte Individuum eine Veränderungsrate (ΔQ positive Veränderungen pro Zyklen) überschreitet. `subMaxTime` und `subMaxLoops` und `subMaxIdleLoops` werden so eingestellt, daß der Suboptimierer auf die neuen Individuen (Crossover Produkte) zeitbegrenzt wirkt, während er auf die alten Individuen zyklengrenzt wirkt, wenn diese schon unter die Veränderungsrate gesunken sind. Die Zeitbegrenzung erlaubt dabei wesentlich mehr Zyklen als die Zyklenbegrenzung⁹. Die maximale Zyklenzahl ergibt sich für die alten Individuen aus `subMaxIdleLoops` und `subThresholdDecayRate`.

Dadurch erhalten die neu erzeugten und die leicht optimierbaren Individuen die Möglichkeit, in ihrer Qualität zu den alten Individuen aufzuschließen. Die Zusammensetzung der Arena wird daher homogener, da die Rechenzeit hauptsächlich auf die Individuen mit der höchsten Veränderungsrate verteilt wird. Sobald die Veränderungsrate des jeweils veränderlichsten Individuums soweit sinkt, daß die theoretische Zyklenzahl zwischen zwei Verbesserungen größer `subMaxIdleLoops` wird, laufen alle

⁹ In den Programmläufen für die Statistik erhielten die neuen Individuen zwischen 4 bis 16 mal mehr Zyklen.

Individuen zyklusbegrenzt weiter. Außerdem verkürzt diese Konfiguration die Laufzeit zusätzlich, da ein Individuum, das in einem tiefen lokalen Optimum feststeckt, nur die Mindestlaufzeit statt der Maximalaufzeit verbraucht.

Tabelle 3–7 zeigt die zu erwartende maximale Zyklenzahl für unveränderliche Individuen in Abhängigkeit von subMaxIdleLoops und subThresholdDecayRate.

| | subThresholdDecayRate | | | | | |
|-----------------|-----------------------|------|------|-------|--------|-----------|
| subMaxIdleLoops | 0.5 | 0.05 | .005 | .0005 | .00005 | .000005 |
| 0 | 10 | 135 | 1379 | 13813 | 138152 | 1.38E+006 |
| 1000 | 2001 | 2001 | 2379 | 14813 | 139152 | 1.38E+006 |

Tabelle 3–7 Maximale Zyklenzahl für die alten Individuen, die sich während der Optimierung nicht verändern, bei qThreshold=0.9 in der ratenbegrenzten Konfiguration.

3.6.8.1.1 subMaxIdleLoops

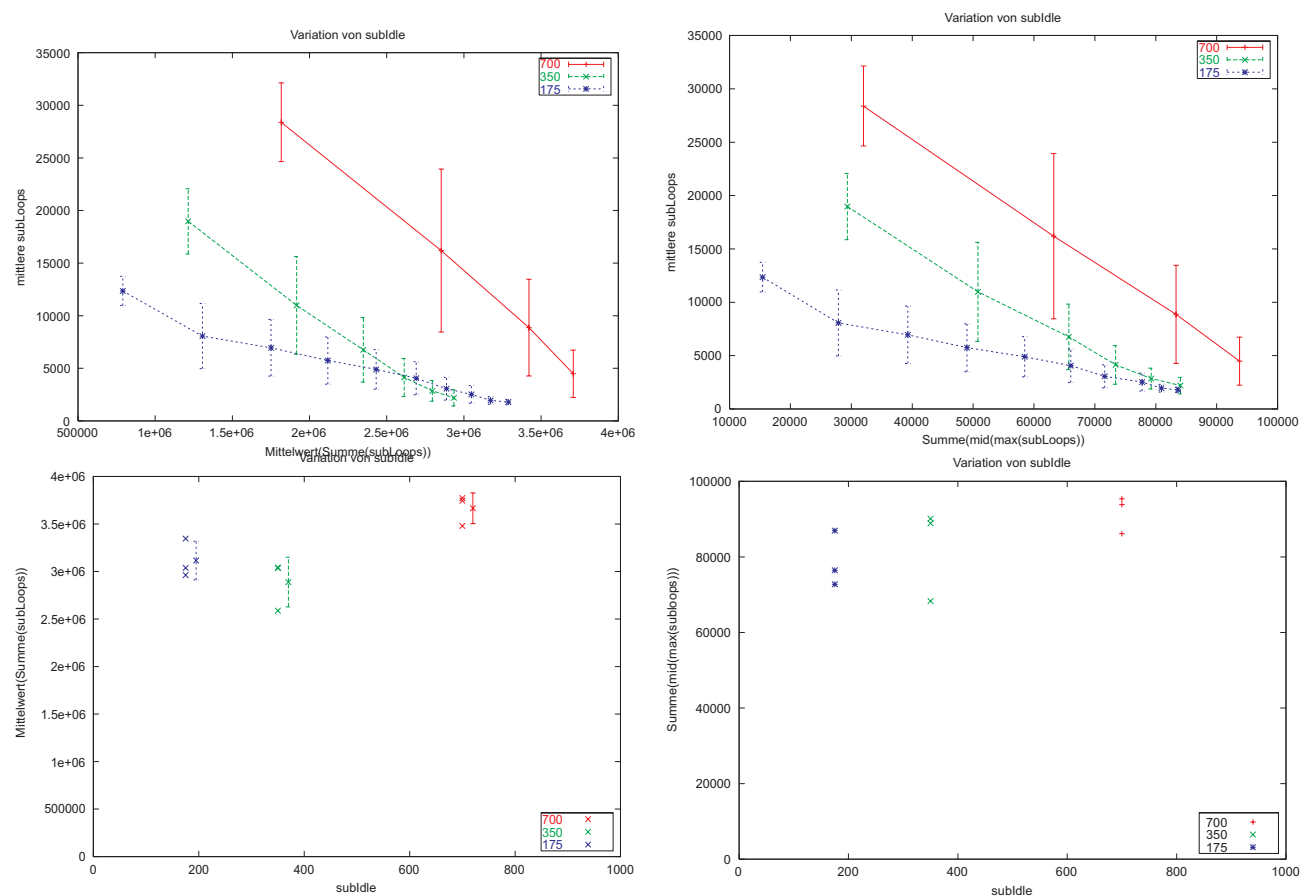


Abbildung 3–19 Variation der subMaxIdleLoops in ratenbegrenzter Konfiguration.

Der optimale Wert für subMaxIdleLoops liegt bei 350. Der Standardwert ist 750, da er eine intensivere lokale Suche ermöglicht.

3.6.8.1.2 Zerfallsrate subThresholdDecayRate

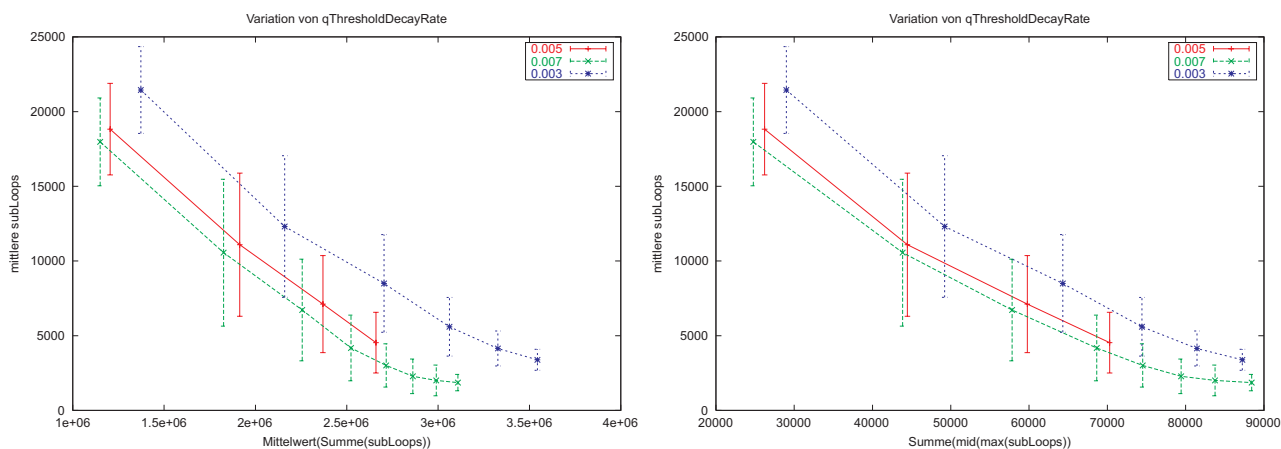


Abbildung 3–20 Variation der subThresholdDecayRate in ratenbegrenzter Konfiguration.

Der optimale Wert für subThresholdDecayRate liegt bei 0.005. Der Standardwert ist 0.005.

3.6.8.1.3 Vergleich der ratenbegrenzten Konfiguration mit anderen Konfigurationen

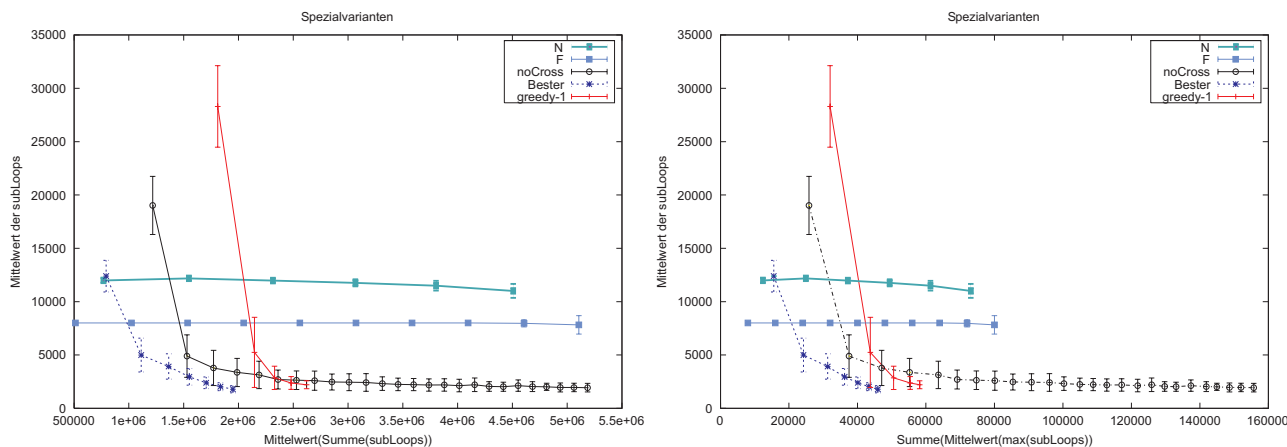


Abbildung 3–21 Vergleich verschiedener Konfigurationen.

- F:** ist zyklenbegrenzt mit subMaxLoops=8k,
- N:** ist die ursprüngliche Standardkonfiguration,
- Bester:** ist die schnellste Konfiguration, ratenbegrenzt.
- noCross:** zyklenbegrenzte Konfiguration ohne genetischen Austausch. Kein Individuum wird ersetzt. Auch statistisch genannt.
- Greedy-1:** ersetzt alle Individuen durch das beste, ratenbegrenzt.

Abb.3–21 zeigt den Verlauf der Optimierung für verschiedene Konfigurationstypen. Die ratenbegrenzte Konfiguration *best* ist allen anderen sowohl in den parallelen als auch in den sequentiellen Zyklen überlegen. Zusätzlich zeigt sie das stabilste Konvergenzverhalten.

Der Vergleich mit *noCross* verdeutlicht den Vorteil jeglichen genetischen Austausches gegenüber dem mehrfachen Ausführen eines reinen RANDOM Optimierers. Selbst wenn man eine gleiche Anzahl RANDOM Optimierer parallel ausführt und alle Optimierer stoppt, sobald der erste das Maximum erreicht, ist ein genetischer Optimierer um einen Faktor 3,3 in den parallelen Zyklen und um einen Faktor 2,7 gegenüber den

sequentiellen Zyklen besser. Die Konvergenz der *noCross* Konfiguration ist niedriger als in allen anderen Konfigurationen, außer den *greedy* Varianten.

Greedy implementiert eine Variante von *noCross*, allerdings werden, im Gegensatz zu *noCross*, alle $n-1$ Individuen durch das jeweils beste Individuum ersetzt. In der *greedy-1* Variante werden die SubOptimierer ratenbegrenzt betrieben. In zyklenbegrenzter Konfiguration (*greedy-2* nicht gezeigt) verläuft die Optimierung fast wie Konfiguration F. *Greedy-2* konvergiert aber zwei genetische Zyklen früher und ist damit wesentlich schlechter als *greedy-1*. Selbst die beste *greedy* Konfiguration ist noch um einen Faktor 1,3 schlechter als die beste genetische Konfiguration. Die Konvergenzwahrscheinlichkeit der *greedy* Varianten ist niedriger als in allen anderen Konfigurationen außer *noCross*.

3.6.8.2 Defekte in den Ausgangsdaten

Um die Robustheit des Algorithmus gegen fehlende Peaks zu testen, wurden verschiedene Konfigurationen erzeugt, in denen nur ein Teil der theoretischen Peaks in den Peaklisten vorhanden ist. Die Konfigurationen wurden mit 95 bis 55 % der theoretischen Peaks erzeugt. In der letzten Konfiguration (55%) führt von jedem Spinsystem zu seinem Nachbarn höchstens eine Brücke. Die Konfigurationen wurden aus der theoretischen Konfiguration erzeugt, indem so lange zufällig ausgewählte Peaks gelöscht wurden, bis der erforderliche Prozentsatz gerade unterschritten wurde. Nur die HNC0 Peaks blieben immer erhalten.

Jeder Prozentsatz wurde mit mehreren Zufallslösungen getestet. In allen Fällen wurde das Maximum der Optimierungsfunktion gefunden. In keinem Fall blieb die Optimierung wie bei RANDOM in einem Suboptimum stecken. Bis inklusive 65% war dies auch gleichzeitig die theoretische Zuweisung oder eines ihrer Permutationsäquivalente, die anhand der Frequenzen nicht unterschieden werden können und sich nur durch die Peakidentifikationsnummern unterscheiden. Bei 55% hängt die gefundene Lösung davon ab, ob die Aminosäuretypen noch erkannt werden können und ob die Nachbarschaftsbeziehung noch intakt ist. Andernfalls kann eine andere als die theoretische Zuweisung das Maximum der Optimierungsfunktion bilden. Die theoretische Lösung wird dann nicht mehr gefunden.

3.7 Crossover-Schock

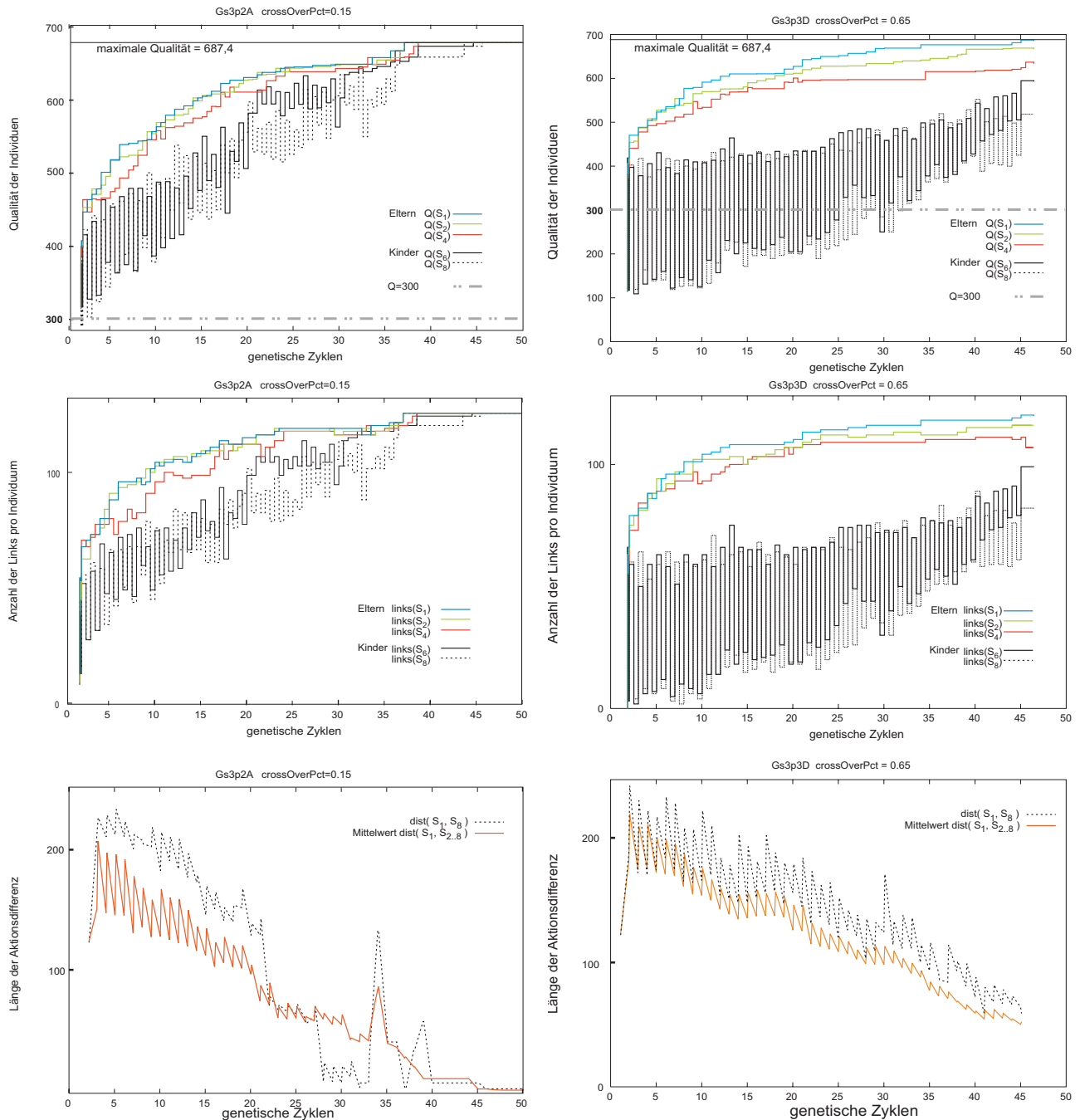


Abbildung 3–22 Auswirkung des Crossover Schocks während zweier GENETIC Optimierungsläufe. Unterschiedlich starke Formen des Crossover-Schocks im zeitlichen Qualitätsverlauf anhand des Gs3p2A und Gs3p3D Operators bei unterschiedlichen crossOverPct Werten. Links: der Operator bei crossOverPct=0.15, Rechts: bei crossOverPct=0.65. Arena=8,4,4

Die Graphen 3–22 zeigen die Qualitätsentwicklung, die Entwicklung der Zustandsdifferenz zum aktuell besten Zustand und die Anzahl der Verknüpfungen (Links) zwischen benachbarten Protospinsystemen während eines Optimierungslaufes mit GENETIC. Für jeden genetischen Zyklus wird die Qualität zu zwei Zeitpunkten, nach dem Crossover (Phase 2 in Abb. 3–23) und nach der Mutationsphase (Phase 3), darge-

stellt. Vor dem Crossover wurde die Arena jeweils nach der Qualität sortiert, so daß wieder das Individuum mit der höchsten Qualität an Position 1 steht. Während der Mutation wird die Position der Individuen unabhängig von ihrer Qualität beibehalten, so daß man seine Entwicklung während einer Mutationsphase aus der Kurve ablesen kann. Dadurch entstehen die charakteristischen Rechteckstufen in den Qualitäts-, Verknüfungs- und Differenzgraphen.

Für beide Konfigurationen wurde jeweils die Qualitätsentwicklung (oben) und die Anzahl der Links (Mitte) für eine Auswahl der Individuen untereinander dargestellt. Zusätzlich wird die Entwicklung durch die gemittelte Länge der Aktionsdifferenz und die Länge der Zustandsdifferenz $\text{dist}(\mathbf{S}_7 - \mathbf{S}_8)$ charakterisiert (Gl. 2-16).

Die obere Darstellung enthält die Qualitätskurven $Q(\mathbf{S}_1)$ und $Q(\mathbf{S}_2)$ für das beste und zweitbeste Individuum, außerdem $Q(\mathbf{S}_4)$ für das Elternteil, das zu Anfang des genetischen Zyklus die niedrigste Qualität hatte, das zweite neue Individuum $Q(\mathbf{S}_2)$ und das letzte neue Individuum $Q(\mathbf{S}_8)$. Die Qualitätskurve $Q(\mathbf{S}_4)$ ist die Qualitätsentwicklung des schlechtesten Elternteils. Sie markiert die Grenze zwischen der Qualitätsentwicklung der Eltern und der der Kinder. Die breiten Rechtecklinien in der oberen Mitte der Graphen, unterhalb der Kurve für das schlechteste Elternteil $Q(\mathbf{S}_4)$, sind die Qualitätsentwicklung des schlechtesten und mittleren Kindes vor und nach dem Crossover. Die Höhe der Rechteckkurven und der Abstand zu $Q(\mathbf{S}_4)$ spiegelt die Intensität des Crossover-Schocks wieder.

Die Qualitätsentwicklung der gesamten Arena wird sowohl durch die Distanz $Q(\mathbf{S}_1) - Q(\mathbf{S}_4)$ zwischen dem besten und schlechtesten Elternteil und durch den Abstand $Q(\mathbf{S}_4) - Q(\mathbf{S}_8)$ zwischen dem schlechtesten Elternteil und dem mittleren neuen Individuum charakterisiert. Abb. 3-22 zeigt links einen leichten Crossover-Schock und rechts eine extreme Form des Schocks. Alle Graphen auf der rechten Seite zeigen deutlich, daß zwischen dem reproduktiven Teil der Arena und den Nachkommen kein Austausch erfolgen kann, da die Qualität des besten Nachkommens durchschnittlich mehr als 100 – 150 Qualitätseinheiten vom schlechtesten Elternteil entfernt bleibt und dies daher nicht überholen kann. Die Nachkommen bleiben daher unproduktiv. Auf der linken Seite beträgt der Abstand dagegen nur 10 – 75 Einheiten und überschneidet sich nach den ersten 23 Zyklen sogar. Daher kann die Lücke von sehr guten Nachkommen übersprungen werden.

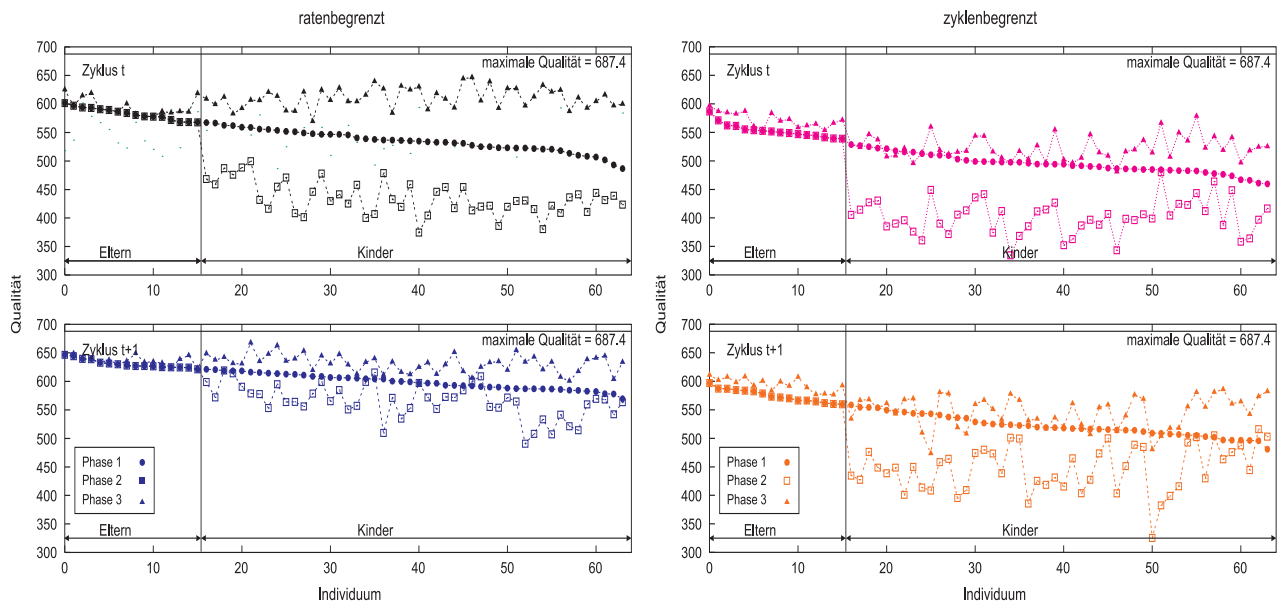


Abbildung 3–23 Wirkung des Crossover-Schocks während zweier aufeinander folgender Crossover-Zyklen in zwei verschiedenen Optimierungen. Dargestellt ist das Qualitätsprofil der Arena anhand einer zyklen- und einer ratenbegrenzten Konfiguration. Die aufeinander folgenden Zyklen sind untereinander dargestellt. Links: ratenbegrenzt, der Crossover-Schock wird durch die Ratenbegrenzung ausgeglichen. Rechts: zyklenbegrenzt, durch den Schock entwickeln sich die Nachkommen schlechter als die Eltern, die Stärke des Schocks entspricht Abb. 3–22 links. Arena=64,16,16

Der Vergleich der Graphen in Abb. 3–23 zeigt deutlich die Auswirkung des Crossover-Schocks bei zwei verschiedenen Konfigurationen. Die Zweiteilung der Arena in den Bereich der Eltern auf den Positionen 1 bis 16 und der Nachkommen von 17 bis zum Ende der Arena¹⁰ ist an der unterschiedlichen Qualitätsentwicklung zu erkennen.

Jeder genetische Zyklus wird in 3 Phasen eingeteilt (dargestellt durch unterschiedliche Symbole). Phase 1, zu Beginn des Zyklus, zeigt das Profil, nachdem die Arena sortiert wurde. Danach erzeugt das Crossover neue Individuen. In Phase 2 ist das Profil nach dem Crossover dargestellt. Danach findet die Mutation statt. Phase 3 zeigt die Individuen nach der Mutation, aber noch bevor die Arena erneut sortiert wird. Damit ist der genetische Zyklus beendet.

Im linken Graph überholen die neuen Individuen die Eltern innerhalb eines genetischen Zyklus, im rechten bleiben sie unterhalb der Durchschnittsqualität der Eltern, obwohl diese sich selbst kaum verbessern. Daher kommt es auf der rechten Seite nur zu einem geringen Austausch zwischen den Eltern und den Kindern, während links die Eltern in jedem Zyklus vollständig durch die Nachkommen ersetzt werden.

¹⁰ Da die Arena vor dem Crossover neu sortiert wird, sind die Eltern immer am Anfang der Arena.

3.8 Schlußfolgerungen

Während der Suche nach der günstigsten Konfiguration für die Optimierung wurden einige Effekte beobachtet, die aus der Literatur nicht bekannt waren und der ursprünglichen Erwartung entgegenlaufen.

Die Optimierung des RANDOM Optimierers verlief in der erwarteten Weise. Sowohl die Zusammensetzung der Profile als auch die Zahlenwerte der TTL-Variablen entsprachen der theoretischen Erwartung.

Dagegen birgt die Optimierung des GENETISCHEN Optimierers einige Überraschungen. Entgegen der Erwartung (Seite 74) ist Gs2p2A, und nicht Gs3p2A, der bessere Operator, obwohl Gs3p2A Bereiche mit höherem Organisationsgrad kopiert. Ursache ist wahrscheinlich der unterschiedliche Ordnungsgrad der übertragenen Bereiche. Selektion s3 kann nur verknüpfte benachbarte Bereiche übertragen. Dies scheint ein Nachteil zu sein, da bei s3 keine Übertragung möglich ist, wenn in der unverknüpften Nachbarschaft schon ein Teil der globalen Lösung enthalten ist. Durch die niedrigeren Anforderungen an den Organisationsgrad der Nachbarschaft kann s2 häufiger längere Stücke kopieren als s3, da, gerade in der Anfangsphase der Optimierung, der Verknüpfungsgrad noch niedrig (~65%) ist und Bereiche, in denen s3 die vollen 4 Elemente kopieren kann, seltener sind als Bereiche mit 4 unverknüpften Nachbarn. Selektion s3 degeneriert dadurch fast zu s1, da es fast immer nur das erste und zweite Element in einer Nachbarschaft kopieren kann.

Die zweite Überraschung ist die Existenz und Bedeutung des Crossover-Schocks, der in der Literatur nicht beschrieben wird. Auf den ersten Blick ist der Schock ein Nachteil für die neu entstehenden Individuen, da er ihre Qualität soweit verringert, daß sie nicht mehr mit den Eltern direkt konkurrieren können. Die Zerstörungen, die den Schock erzeugen, führen aber auch zu einer Neuorganisation der betroffenen Bereiche. Da diese Bereiche nach dem Schock sehr veränderlich sind, halten sie die effektive Veränderungsrate hoch. Die Zerstörung der, durch Ressourcenkonkurrenz, verknüpften Bereiche verschafft also den neuen Individuen über den Mutationsalgorithmus auf doppelte Weise einen Vorteil gegenüber den Eltern.

Durch die Konkurrenz werden gezielt mit dem im Crossover ersetzten Bereich korrelierende Bereiche freigegeben. Freie Bereiche werden aber schon nach wenigen RANDOM Zyklen neu belegt. Dabei kann das Protospinsystem, das vorher diese Position belegt hatte, nur mit einer geringen Wahrscheinlichkeit wieder auf diese Position gelangen und die Position bleibt frei bis ein neues Protospinsystem für diese Position gefunden wurde.

Gleichzeitig liegt die Veränderungsrate anfangs höher als die der Eltern, da die Kinder durch die Zerstörung näher an den Ausgangspunkt der Optimierung S_0 rücken. Die Kinder befinden sich in Bezug auf ihren Belegungsgrad in einem Entwicklungsstadium, das die Eltern schon verlassen haben. Allerdings haben die schon vorhandenen Zuweisungen in den Kindern zusammen eine höhere Qualität als sie die Eltern in diesem Stadium, beim Erreichen des gleichen Belegungsgrades, hatten. Durch den niedrigeren Belegungsgrad befinden die Kinder sich aber auch im Einzugsbereich von Optima, die für die Eltern nicht mehr erreichbar sind. Sie können daher Optima des Lösungsraumes erreichen, die von den Eltern nicht erschlossen werden können. Diese Crossover-Operation beschränkt daher den erreichbaren Raum nicht auf den Lösungsraum entlang des direkten Pfades zwischen den Eltern, sondern erweitert ihn! Auch dies ein Unterschied zu den in der Literatur besprochenen Operatoren.

Das Ergebnis der Parameterabschätzung ist daher alles andere als trivial oder vorhersehbar.

Kapitel 4 Vergleich mit PASTA

4.1 Konfiguration nach Leutner et al.

Das folgende Kapitel bildet die Konfiguration, wie sie von Leutner *et al.* in [Leutner98] verwendet wurde, in den Datenstrukturen des RANDOM Algorithmus nach. Konfiguriert wird ein perfekter Datensatz mit einer theoretischen Peakliste für CheY, da nur in dieser Konfiguration vergleichbare Bedingungen gegeben sind.

- NMR Experimente:

Für PASTA werden HNCO, ^{15}N -HSQC, HNCACB und CBCA(CO)NH aufgenommen. RANDOM erfordert HNCO, HNCA, CBCA(CO)NH und CBCANH.

- Peakabstände und Netzbildung.

Leutner *et al.* bilden keine spezielle Datenstrukturen für die Verknüpfung der Peaks aus. Die Verknüpfung wird nur durch die Frequenzdistanzen hergestellt. Leutner *et al.* verwenden:

Abstände in der H und N Dimension: 0.01 ppm maximale Differenz.

Abstände in der CA Dimension: 0.1 ppm maximale Differenz.

- Alle theoretischen Peaks sind vorhanden (100% Peaks). Daher können alle Protospinsysteme *perfekt* gebildet werden. Außerdem sind alle Protospinsysteme vorhanden.
- Bei der Erzeugung der Protospinsysteme lassen Leutner *et al.* die nicht eindeutigen Fälle vom Benutzer des Programms entscheiden. Zusammen mit den perfekten Spinsystemen folgt daraus, daß keine Subspinsysteme vorhanden sind und daß die Spinsysteme nicht überlappen dürfen. Jeder Peak kommt in nur einem Protospinsystem vor. Die Protospinsystemerkennung akzeptiert für eine perfekte Peakliste daher nur perfekte Spinsysteme, d.h. die theoretischen Spinsysteme. RANDOM kann mit mehrdeutigen Peakgruppen umgehen, indem es alle zulässigen Spinsysteme in den Lösungsraum aufnimmt. Unabsichtliche doppelte Nutzung des gleichen Peaks wird durch den (acquire,release) Mechanismus während der Optimierung verhindert. Im Pool können daher auch Protospinsysteme aufgenommen werden, die sich überlappen, d.h. in Konkurrenz um Peaks stehen.
- Leutner *et al.* benutzen in ihrer schnellsten Konfiguration keine Aminosäurentypenerkennung. Für die Cachekonfiguration bedeutet das, daß alle Protospinsysteme auf allen Aminosäurepositionen zulässig sind. Die schnellste Konfiguration für RANDOM ist die Konfiguration mit Aminosäureerkennung. Beide Programme können aber auch die jeweils andere Konfiguration verwenden.

- Definition der theoretischen Lösung (Endpunkt):

Leutner *et al.* definierten 100% korrektes Assignment als jede Lösung, die alle benachbarten Protospinsysteme verknüpft und jeder Aminosäure ein Protospinsystem zuweisen. Für die Laufzeitmessungen wurde für die Prolin ein künstliches Protospinsystem erzeugt, um nur einen durchgehenden Strang als theoretische Lösung zu erhalten. Da die Peak–Peak Abstände keinen Einfluß auf die Qualität der Zuweisung haben, sind unterschiedliche Lösungen, die sich nur in den Abständen der Permutation der Peaks aber nicht in der Konnektivität der Protospinsysteme unterscheiden, gleich! Der resultierende Lösungsraum ist eine reine *hill climber* Umgebung mit nur wenigen flachen Nebenmaxima und wesentlich glatter als für die vergleichbare Umgebung mit RANDOM.

- In RANDOM wird dagegen für ein 100% korrektes Assignment nicht nur eine vollständige Verknüpfung aller benachbarten Protospinsysteme, sondern auch eine korrekte Platzierung der Peaks, eine Minimierung der Peak–Peak Abstände, eine Maximierung der Aminosäureerkennung und eine Maximierung der Anzahl der interpretierten Peaks verlangt. Außerdem verbietet RANDOM eine unabsichtliche doppelte Verwendung eines Peaks und erzeugt sich wechselweise ausschließende Protospinsysteme zwischen denen es in der Optimierung auswählen muß. Der Lösungsraum ist daher rauher, mit vielen tiefen Nebenmaxima.

- Hardwareunterschiede:

In [Leutner97] wurde eine SGI R4000 SC mit 133 MHz eingesetzt. 15000 Zyklen brauchten ungefähr 160 min (~ 93 L/min bzw. 1.5 L/sec). Dagegen liefen diese Untersuchungen auf einem Linux PC PII 400MHz. Der Geschwindigkeitsunterschied aufgrund der Frequenzen sollte daher ($400/133 = 3.0075$) betragen.

- Compiler und Implementierungs–Sprachen:

PASTA wurde in C implementiert. Der Kompiler ist der kommerzielle SGI C Compiler. RANDOM wurde in C++ implementiert und mittels GNU egcs v 2.91.60 19981201 erzeugt. Der kommerzielle Compiler sollte eine bessere Optimierung des Objektcodes erzeugen. C++ gilt als die langsamere Sprache. Allerdings kann man in C++ leichter komplexe Algorithmen nutzen als in C. Dadurch fällt es in C++ Programmen leichter, ausgefeiltere Algorithmen zu nutzen. Die Auswirkung dieser Unterschiede kann nicht vorhergesagt werden.

- Profile:

PASTA und RANDOM nutzen unterschiedliche Aktionsprofile. PASTA weist zu Anfang alle Protospinsysteme je einer Aminosäure zu und vertauscht danach nur noch diese Protospinsysteme. Einen Pool mit ungenutzten Aminosäuren kennt PASTA nicht. RANDOM startet mit einem leeren Assignment und wählt dann sowohl die Protospinsysteme als auch die Positionen aus.

Daher sind die Aktionsprofile unterschiedlich zusammengesetzt. PASTA braucht keine Aktionen, die Protospinsysteme zwischen Zuweisung und Pool austauschen. Diese Aktionen gibt es nur bei RANDOM.

Außerdem unterscheidet sich die *Implementierung* der vergleichbaren Aktionen, da PASTA nie auf Ressourcenkonflikte stoßen kann.

4.1.1 Vergleich des Laufzeitverhaltens von PASTA mit RANDOM

Ein direkter Vergleich der Algorithmen ist nicht möglich, da die Implementierungen für unterschiedliche Probleme optimiert sind und vergleichbare Konfigurationen nur mit Einschränkungen erstellt werden können. Außer den Algorithmen unterscheiden sich die Compiler, die Hardware und die Definition des Endpunktes.

Die Anzahl der Zyklen liegt für die Konfigurationen mit theoretischen, perfekten Protospinsystemen bei beide Algorithmen in der gleiche Größenordnung. Der RANDOM Algorithmus ist im günstigsten Fall, mit AS-Typenerkennung und gefiltertem Protospinsystem-Cache, 24 mal schneller als PASTA. Dabei sind die unterschiedlichen CPU Frequenzen schon berücksichtigt. Ohne Typenerkennung ist der RANDOM Algorithmus langsamer. Ob dies an den Algorithmen oder an der Implementierung liegt, kann nicht entschieden werden. Der RANDOM Algorithmus kann allerdings Probleme lösen, die PASTA nicht erreichen kann.

| | PASTA | PASTA | PASTA | PASTA | RANDOM | RANDOM |
|---------------|-------------|--------------------------|--------|------------------------|---------------------|-----------------|
| Konfiguration | | | | schnellste | oPa | oP = schnellste |
| | Anz. Zyklen | Zeit [min] | Zyklen | Zeit [min] | Zeit [sec] | Zeit [sec] |
| AS Typen | mit | mit | ohne | ohne | ohne | mit |
| Proteinlänge | | | | | | |
| 150 | 1600 | ~ 24 korrigiert 8 | 960 | 14,4 korrigiert 4,8 | | |
| 125 | 1300 | ~ 19,5 korrigiert 6,4 | 733 | 11 korrigiert 3,66 | 17 min f = 0,64 | 8 sec f = 27 |
| 50 | 533 | ~ 5 korrigiert 1,66 | 240 | 3,6 korrigiert 1,2 | 3,8 min f = 0,94 | 4 sec f = 18 |

Tabelle 4-1 Vergleich der Laufzeiten für PASTA und RANDOM mit CheY. Die korrigierten Zeiten berücksichtigen die verschiedenen CPU Geschwindigkeiten. Die Zeiten wurden aus der Abbildung in [Leutner et al. , S.34] rekonstruiert.

Kapitel 5 Automatische Zuweisung des Proteinflragments

Trigger M

5.1 Trigger Faktor

Das Protein Trigger gehört zu einer Gruppe von Katalysatoren, die die Faltung neu erzeugter Proteine an den Ribosomen steuern. Es wurde zuerst im Cytosol von *e. coli* Bakterien entdeckt [Crooke87] und konnte seitdem auch aus anderen Organismen wie *bacillus subtilis* und *mycoplasma genitalium* [Scholz98, Göthel97] gewonnen werden. Es hat ein Gewicht von 58 kDa und besteht aus 432 Aminosäuren [Hestekamp96], die in drei strukturell verschiedene Regionen N, M und C aufgeteilt sind [Zarut97].

Der N-terminale Bereich N, mit den Aminosäuren 1 bis 145, hat vorwiegend α -helix Struktur und bindet das Protein an die Ribosomen. Bereich M, von 145 bis 251, enthält das katalytisch wirksame Zentrum. Der Bereich hat vorwiegend β -faltblatt Struktur. Die Funktion des Bereichs C, von 251 bis 432, ist noch nicht geklärt [Zarut97]. Es wird aber vermutet, daß C für die Bindung der noch ungefalteten Proteine an den Katalysator zuständig ist. Dadurch würde Trigger dann auch zur Gruppe der Chaperone gehören [Scholz98, Deuerling99].

Nach der Modellvorstellung von Zarut *et al.* [Zarut97] bindet sich Trigger mit dem N-Terminus an die Ribosomen und verbindet sich danach mit dem neugebildeten, noch ungefalteten Protein.

Aus Experimenten ist bekannt, daß Trigger sich nicht an schon teilweise gefaltete Proteine, sondern nur an ungefaltete binden kann. Dadurch wird die Ablösung des Katalyseproduktes vom Katalysator erzwungen. Andernfalls

würde Trigger durch das Überangebot der im Cytosol vorhandenen gefalteten Proteine inhibiert [Scholz98].

Das aktive Zentrum wird im Abschnitt M vermutet. Es katalysiert die Isomerisierung der Aminosäurebindung vor den Prolinen. Die *prolyl*-Bindung tritt in aktiven Proteinen häufig in *cis*-Form auf, obwohl diese Bindung im Ribosom zuerst in *trans*-Form erzeugt wird und bei anderen Aminosäurepaaren normalerweise

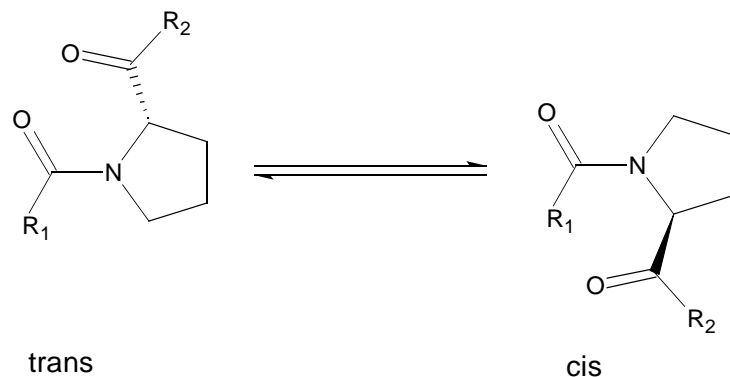


Abbildung 5-1 *cis/trans* – Isomerisierung der *prolyl*-Bindung durch Trigger

die *trans*-Konformation in den aktiven Proteinen bevorzugt wird. In der Faltung der neugebildeten Proteine ist die Isomerisierung der prolyl-Bindung der ratenbestimmende Schritt [Reimer98]. Trigger kommt daher eine entscheidende Rolle in der Ausbildung der Funktion eines Proteins zu.

| Aminosäurebereich | Sequenz in 1 Buchstabennotation | | | | | | | |
|-------------------|---|--|--|--|--|--|--|--|
| 1 – 51 | MRGSH HHHHH G SEKL AKTKS TMVDV SDKKL ANGDI AIIDF TGIVD NKKLA | | | | | | | |
| 51 – 101 | SASAQ NYELT IGSNS FIKGF ETGLI AMKVN QKCTL ALTFP SDYHV KELQS | | | | | | | |
| 101 – 113 | KPVTF EVVLK | | | | | | | |

*Tabelle 5-1 Aminosäuresequenz des vermessenen Proteinfragments mit HIS-Tag. Aminosäure 12 entspricht der Aminosäure 151, Aminosäure 113 der Aminosäure 252 in der Sequenz des nativen Proteins. Der HIS-Tag ist **fett** gesetzt.*

5.1.1 Die Proteinprobe

Die Proteinprobe wurde von Dr. Andreas Pahl an der Universität Erlangen in *e.coli* Kultur präpariert. Die Sequenz der Probe (siehe Tab. 5-1) entspricht dem mittleren Abschnitt M des Trigger Proteins von Aminosäure 151 bis 252. Am N-terminalen Ende der Sequenz wurde ein sogenannter His-Tag und eine Linkequenz angesetzt, um die Proteinsequenz am Harz zu verankern. Dieser Abschnitt verlängert das Protein um 11 auf 113 Aminosäuren. Für die NMR-Experimente wurde der His-Tag nicht abgetrennt. Allerdings wird das Protein langsam vom N-Terminus durch Hydrolyse abgebaut, so daß die effektiv vermessene Sequenz in den verschiedenen Experimenten unterschiedlich lang ist.

Der Abbau bleibt aber innerhalb des HIS-Tags und erreicht die eigentliche Sequenz nicht. Da die zu erwartenden Frequenzen der Aminosäuren des intakten His-Tags sich nur wenig von einander unterscheiden und daher stark überlagern und die unterschiedlich abgebauten His-Tags zu unvollständigen Spinsystemen führen, ist ein Nachweis dieses Abschnitts sehr unwahrscheinlich. Auf eine Zuweisung des Bereichs Aminosäure 1 bis 10 wurde daher verzichtet.

| AS | H | N | CA | CB | CO |
|-----|---|---|-----------------------|-------|----|
| HIS | | | 52- 54 -60 ppm | 27-37 | |

Tabelle 5-2 Erwartete Frequenzen des His-Tags

Die Datenstruktur des Protein wurde für die Optimierung zwar mit einer Länge von 113 Aminosäuren angelegt, doch die Zuweisung zu den ersten 10 Aminosäurepositionen wird mit einem Qualitätsfaktor (asQFactor) von 0,1 bis 0,8 bestraft. Dadurch ist eine Zuweisung zwar möglich, erfolgt aber erst, wenn überschüssige Spinsysteme existieren, die an anderer Stelle entweder gar nicht oder nur sehr schlecht verwendet werden können.

5.2 Experimenteller Teil

Die Messungen wurden in einer 50 mmol Phosphatpufferlösung bei pH 6,5 durchgeführt.

Für die automatische Zuweisung werden ein 3D–HNCO [Maurer2000, Kay90, Grzesiek92b], ein 3D–HNCA [Maurer2000, Archer91], ein 3D–HN(CO)CACB [Maurer2000, Grzesiek92a] und ein 3D–HNCACB [Maurer2000, Grzesiek92a] benötigt. Die Spektren wurden von Tanja Parac und Markus Maurer auf einem Bruker 800 MHz bei T= 298 K aufgenommen. Die HN(CO)CACB– und HNCACB–Spektren unterscheiden sich von den CBCANH und CBCA(CO)NH durch die umgekehrte Aufnahmereihenfolge (*out-and-back*) [Maurer2000, Muhandiram94, Wittekind93] und das verbesserte Signal / Rausch –Verhältnis.

Diese Experimente werden in den folgenden Kapiteln als CBCANH und CBCA(CO)NH bezeichnet, um die Einheitlichkeit der Benennung mit den vorhergehenden Kapiteln beizubehalten.

Die prozessierten Spektren wurden manuell in Felix gepickt und die resultierenden Peaklisten exportiert. Für HNCA und CBCANH wurden, außer den Koordinaten, das Volumen oder die Höhe der Peaks exportiert, da sie für die Bewertung und die Erzeugung der Spinsysteme notwendig sind.

| | HNCO | HNCA | CBCA(CO)NH | CBCANH |
|-------------------------|------|------|------------|--------|
| Koordinaten | x | x | x | x |
| Volumen mit Vorzeichen. | – | x | – | x |

Tabelle 5–3 Exportierte Eigenschaften der Peaks.

5.2.1 Präparation der Daten

Die Peaks wurden entlang der ^1HN und ^{15}N Achse mit einer neuen Referenzierung auf die Peaks des HNCOs zentriert. Dazu werden, anhand einer H/N–Projektion aller Peaks des HNCOs mit den Peaks des zweiten auszurichtenden Spektrums, Gruppen aus je einem HNCO Peak und den dazugehörigen Peaks im zweiten Spektrum gebildet. Die Peaks der Peakgruppen wurden nur in isolierten Spinsystemen ausgewählt, bei denen die Zuordnung zum HNCO eindeutig ist. Die Abstände in der H/N–Ebene werden dann mit dem *least square* Verfahren bewertet. Dazu wird, für das zweite Spektrum, mittels *random walk* eine neue Referenzierung erzeugt, bis der gemittelte quadratische Abstand mit der neuen Referenzierung minimal ist.

$$f(\text{Peakpaare}, w) = \frac{\sum_{p=1 \dots a_p} \sqrt{\frac{1}{i_{max}} \sum_{i=1 \dots i_{max}} \frac{\Delta x_{i,p}^2}{w_i}}}{a_p} \quad (5-1)$$

mit a_p Anzahl der Peakpaare

w Gewichtung je Achse

i_{max} Anzahl der verglichenen Dimensionen

Auf diese Weise wurden die Experimentpaare HNCO + HNCA, HNCO + CBCANH und HNCO + CBCA(CO)NH neu ausgerichtet.

| Experimente | Peakpaare | VORHER | NACHHER |
|------------------|-----------|--------|---------|
| HNCO – HNCA | 23 | 1,090 | 0,250 |
| HNCO – CBCA_CONH | 40 | 0,502 | 0,209 |
| HNCO – CBCANH | 58 | 1,218 | 0,438 |

Tabelle 5–4 Gemittelte Abstände (Gl. 5–1 vor und nach der Referenzierung. (Normierungsfaktoren: $^1H = 0,03 \text{ ppm}$, $^{15}N = 0,5 \text{ ppm}$)

Im nächsten Schritt wurden die Peaklisten und Experimente in den Datenpool importiert und in das Format des Assign-Projektes konvertiert. Dabei wurden alle Peaks auf 4 Dimensionen erweitert und die Achsen in die Reihenfolge [H, N, CO, CA/CB] gebracht. Gleichzeitig erhielten die Peaks neue Identifikationsnummern.

| | HNCO | HNCA | CBCA(CO)NH | CBCANH |
|-------------------|-------------------------------|-----------|------------|-----------|
| ID Bereich | 1–999, virtuelle Peaks ab 200 | 1001–1999 | 2001–2999 | 3001–3999 |

Tabelle 5–5 Wertebereiche der neuen Identifikationsnummern

5.2.2 Mustersuche

Für die Mustersuche wurden die Peaks in einem PeakNet entlang der H/N Ebene mit den HNCO Peaks verknüpft. Der Abstand zwischen den verknüpften Peaks wird dazu mittels Gl. (B–1) für beide Dimensionen bewertet. Ein Peakpaar wird dann entlang beider Dimensionen verknüpft, wenn die Qualität beider Distanzen größer 0.5 ist.

| | HN | N |
|----------------------|------|----------|
| Abstand [ppm] | 0.05 | 1 oder 2 |

Tabelle 5–6 Parameter für die Nachbarschaftsfunktion (Gl. B–1) in der 2D $^{15}N / ^1HN$ Ebene

Zur Qualitätssicherung wurde die Umgebung der isolierten Basispeaks und einzelner zufällig ausgewählter Spinsysteme manuell kontrolliert. Dabei wurden die Parameter der Nachbarschaftsfunktion darauf getestet, ob sie alle Mitglieder eines Spinsystems erfasst und hinreichend von den Nachbarspinsystemen trennt. Für die Experimente des Trigger Proteins waren die Standardwerte ausreichend.

5.2.3 Leere Basispeaks

Die Basispeaks [1, 8, 44, 66, 75, 85, 89, 90, 94] haben keine nahen Nachbarn in den anderen Experimenten und wurden daher nicht in das PeakNet aufgenommen und auch später nicht zugeordnet. BP44 wurde als virtueller Basispeak für ein Spinsystem ohne Basispeak in einer Distanz von (H –0,057 ppm ; N 7,2 ppm) verwendet.

5.2.4 Konkurrenzgruppen

Im PeakNet sind 5 Konkurrenzgruppen enthalten. Diese Gruppen wurden manuell kontrolliert. Die Gruppen 1 bis 4 bestehen aus je einem Basispeakpaar, bei dem der Nachbarschaftsradius nur minimal überlappt. Die Spinsysteme sind nur über wenige (1 bis 2) nicht-Basispeaks gekoppelt und können in tri- vialer Weise getrennt werden.

Die Gruppe 0 enthält 9 Basispeaks, die in 2 eng gekoppelte Untergruppen und 3 trivial abtrennbare Basispeaks zerfällt. Sie besteht aus den Spinsystemen der Basispeaks [24, 31, 36, 37, 41, 49, 51, 53, 103]. Die Basispeaks 24, 31 und 103 sind trivial abtrennbar, da sie nur über wenige Peaks (1 bis 2) an die Gruppe gekoppelt sind und über in sich geschlossene Spinsysteme verfügen.

Die erste Untergruppe besteht aus den Basispeaks 36 und 37. Davon hat nur der Basispeak 37 ein geschlossenes Spinsystem aus 7 nicht-Basispeaks, Für Basispeak 36 bleiben dann nur 3 Peaks übrig, die ein Spinsystem mit sehr niedriger Qualität bilden. Außerdem stammen alle Peaks aus dem gleichen Experiment (CBCANH).

Die zweite Untergruppe aus den Basispeaks [41,49,53,51] füllt einen annähernd rechteckigen Bereich in der 2D HN/N-Ebene. Die Spinsysteme BP 41 und BP 49 können von der Gruppe abgetrennt werden, indem die nicht-Basispeaks dem nächstgelegenen Basispeak zugeschlagen werden, sie bilden geschlossene Spinsysteme von hoher Qualität.

Die Basispeaks 53 und 51 stehen sehr eng zusammen und können nicht getrennt werden. Die Anzahl der nicht-Basispeaks reicht nicht für zwei gute Spinsysteme. Die Verteilung der Frequenzen deutet aber auf ein gutes und ein sehr schlechtes Spinsystem hin. Das gute Spinsystem wurde willkürlich dem Basispeak 53 zugeordnet, da er dem gemittelten NH,N-Zentrum des Spinsystems näher liegt als BP 51.

5.2.5 Spinsysteme ohne Basispeaks

Während der manuellen Kontrolle wurden zwei Spinsysteme gefunden, die keinem Basispeak zugewiesen waren und auch nicht in der Nähe eines Basispeaks liegen.

| Basispeaks | enthalten in den Optimierungsstufen | HN [ppm] | N [ppm] |
|------------|-------------------------------------|----------|---------|
| 44 | 1, 2, 3 | 7,59 | 122,2 |
| 200 | 1, 2, 3 | 8,31 | 115,0 |
| 201 | 2, 3 | 7,804 | 125,159 |
| 203 | 2, 3 | 6,92 | 113,75 |

Tabelle 5–7 Spinsysteme ohne benachbarte Basispeaks.

Das erste Spinsystem bei (HN 7,59 ppm; N 122,2 ppm) wurde dem leeren BP 44 zugewiesen, der bei (HN 7,647 ppm; N 115,0 ppm) liegt. Für das zweite Spinsystem wurde ein virtueller Basispeak BP200 bei (HN 8,31 ppm; N 115,0 ppm) erzeugt. Bei der Analyse der nicht zugewiesenen Peaks in den Optimierungsstufen 1 und 2 wurden zwei weitere Spinsysteme gefunden (BP201 und BP203).

5.2.6 Glycin Peaks

| Aminosäurepaar | Anzahl | zugewiesene Basispeaks der möglichen Glycinpeaks |
|-----------------------------|--------|--|
| GX | | |
| (hnca,cbcanh,cbca_conh) | 9 | 21, 24, 48, 64, 97, 104, 110, 119, 121, |
| (cbcanh,cbca_conh) | 1 | 125 |
| (cbca_conh) | 5 | 23, 34, 59, 86, 132 |
| XG | | |
| (hnca, cbcanh) | 8 | 2, 7, 68, 83, 88, 93, 105, 106 |
| XG oder GX | | |
| (hnca) | 3 | 30, 43, 133 |
| Defekt (hnca * 2) | 1 | 74 |
| theoretische Anzahl | 14 | |
| zugewiesen in cont01 | 11 | 21,24,64,68,83,88,93,105,106,121,200 |

Tabelle 5–8 Vermutete Glycin–Spinsysteme

"Trigger mit HIS Tag" enthält 7 Glycine an den Aminosäurepositionen [3, 11, 33, 42, 62, 69, 72]. Position 3 liegt am Anfang des His–Tags und ist aufgrund des Abbaus wahrscheinlich nicht nachweisbar.

Mögliche Glycin Peaks wurden mit Hilfe der Glycin–Suchmuster identifiziert. Die Suchmuster finden nicht nur die Glycin–Spinsysteme, sondern auch Spinsysteme, in denen Teilspinsysteme wie ein Glycin aussehen, die aber zusammen mit den restlichen Peaks keine Glycin–Spinsystem ergeben. Ursache für die Fehlerkennung sind CB Peaks im Bereich 45 ppm von Leu und und falsche Peaks.

5.2.7 Peak Netze

Das PeakNet wurde in 3 verschiedenen Topologiestufen angelegt. Die Topologien bauen hierarchisch auf der vorhergehenden Stufe auf und erweitern diese. Als Nachbarschaftsfunktion dient zunächst (Gl. B–2). Der Nachbarschaftswert kann aber manuell beliebig gesetzt werden. Die Verknüpfungen werden mit den Programmen 'buildC21WNet', 'buildInnerLink' und 'buildOuterLink' angelegt.

Basispeak–Verknüpfung

Verknüpft werden die Basispeaks mit den, in der HN/N–Ebene, benachbarten nicht–Basispeaks.

Innere Verknüpfung

Alle nicht–Basispeaks, die zum gleichen Basispeak gehören, werden in der CA/CB–Dimension verknüpft, wenn sie die gleiche ^{13}C Frequenz besitzen.

Äußere Verknüpfung

Alle nicht–Basispeaks, auch wenn sie nicht zum gleichen Basispeak gehören, werden in der CA/CB–Dimension verknüpft, wenn sie der gleichen ^{13}C Frequenz benachbart sind.

Die Parameter für die einzelnen Verknüpfungen werden in den einzelnen Unterkapiteln beschrieben.

Tabelle 5–9 faßt die Standardwerte für die Achsen zusammen.

| Achse | H | N | CO | CA/CB |
|----------------|-----|-----|----|----------------------|
| σ [ppm] | 0.1 | 1.2 | – | 2.0 inter, 1.0 intra |

Tabelle 5–9 Standardwerte des Abstandsparameters σ in [ppm] in Gleichung (Gl.B–2)

5.2.8 Suche nach Protospinsystemen

Für jeden Basispeak wurden die Protospinsysteme mit dem Programm 'genContextList_merged' gesucht. Dabei wurden die Standardparameter aus Tabelle 5–10 verwendet.

| Parameter | Wert | Parameter | Wert |
|------------------------------------|------|--------------------------|------------------------|
| maximale Peakanzahl pro BP | 9 | aktive Substrukturfilter | ja |
| mindestens erforderliche Peaks (%) | 95% | Muster | completeAS.noSub.small |
| CB Fuzzyfunktion | eng | | |

Tabelle 5–10 Standardparameter für die Protospinsystemsuche.

Für einen Teil der Basispeaks wurden mit den Standardparametern keine Spinsysteme gefunden. Für diese Basispeaks wurde mit einem angepaßten Parametersatz erneut gesucht.

| Basispeak | CB Fuzzyfunktion | mindestens erforderliche Peaks (%) | aktive Filter | sonstiges. |
|-----------|------------------|------------------------------------|----------------|-------------------|
| 34 | wideCB | %40 | | link 1108 -> 2089 |
| 41 | | %85 | | |
| 53 | | %40 | keine Filter ! | |
| 86 | wideCB | | | |
| 106 | wideCB | %65 | | |
| 17 | wideCB | | | |
| 12 | wideCB | | | |
| 97 | wideCB | | | |

Tabelle 5–11 Angepaßte Parameter für einzelne Basispeaks. Für die leeren Felder wurden die Standardwerte aus Tabelle 5–10 eingesetzt.

Mit den automatisch generierten Nebenbedingungen konnte die Anzahl der Protospinsysteme je Basispeak von 3568 (Mittelwert=34.64 je Peak) auf 158 bis 163 (Mittelwert=1.5 je Peak) reduziert werden. Dabei haben 89% der Basispeaks 2 oder weniger Protospinsysteme.

Die AS–Protospinsysteme der Basispeaks wurden mit 'genCx2ASMapping' mit Hilfe der Aminosäuretypen auf die möglichen Aminosäurepositionen verteilt. Für jede Optimierungsstufe wurde eine Konfiguration mit und eine ohne Aminosäuretypenerkennung erzeugt. Die Anzahl der Protospinsysteme je Aminosäure ist in Tabelle 5–12 aufgeführt.

| Stufe | Anzahl der Protospinsysteme je Basispeak | Anzahl je AS mit AS-Typenerkennung | Anzahl je AS ohne AS-Typenerkennung |
|-------|--|------------------------------------|-------------------------------------|
| 1 | 1,5 | 14,3 | 158 |
| 2 | 1,62 | 14,4 | 162 |
| 3 | 1,6 | 14,5 | 162 |

Tabelle 5-12 Mittlere Anzahl der AS-Protospinsysteme je Aminosäure und Basispeak in den verschiedenen Optimierungsstufen.

5.2.9 Positionsqualitätsfaktoren

| Name \ AS # | 1 | 2 | 3 | 4 | 5 | 6 | 7 | 8 | 9 | 10 | 11 | 12 | 13 | 14 | 15 | 16 | 17 | 18 | 19 | 20 |
|------------------------------|---|-----|-----|-----|-----|-----|-----|-----|-----|-----|-----|-----|-----|-----|-----|-----|-----|-----|-----|-----|
| ohne His-Tag | 0 | 0,1 | 0,1 | 0,1 | 0,2 | 0,3 | 0,3 | 0,3 | 0,5 | 0,8 | 1,0 | 1,0 | 1,0 | 1,0 | 1,0 | 1,0 | 1,0 | 1,0 | 1,0 | 1,0 |
| ohne His-Tag, 11-20 schlecht | 0 | 0,1 | 0,1 | 0,1 | 0,2 | 0,3 | 0,3 | 0,3 | 0,5 | 0,8 | 0,8 | 0,8 | 0,8 | 0,8 | 0,9 | 0,9 | 0,9 | 0,9 | 1,0 | 1,0 |

Tabelle 5-13 Positionsqualitätsfaktoren für die ersten 20 Aminosäuren. Der Faktor für die restlichen Aminosäuren ist 1,0.

Die Wahrscheinlichkeit der Zuweisung eines Spinsystems zu einer AS-Position im Protein wurde mit Positionsqualitätsfaktoren gewichtet.

"ohne His-Tag" berücksichtigt, daß der Bereich des His-Tags nicht nachgewiesen werden kann. "ohne His-Tag, 11-20 schlecht" nimmt zusätzlich an, daß auch die Aminosäuren 11 – 20 schlechter als alle nachfolgenden Aminosäuren zuzuweisen sind.

5.3 Optimierung des Assignments

Für die Optimierung wurde der genetische Algorithmus verwendet, da er das stabilste Konvergenzverhalten zeigt. Die Parameter des Algorithmus wurden so ausgewählt, daß sie die Konvergenzwahrscheinlichkeit für einen einzelnen Durchlauf noch weiter erhöhen und ein Optimierungszyklus über Nacht beendet werden konnte.

5.3.1 Parameter der Optimierung

Die Optimierung wurde in mehreren Stufen durchgeführt. Die einzelnen Stufen unterscheiden sich im wesentlichen in der Anzahl der Basispeaks und der Konfiguration der Spinsysteme. Zwischen den Optimierungen wurde jeweils eine Analyse der letzten Optimierungsstufe durchgeführt und die Konfiguration für die nachfolgende Stufe angepaßt.

Jede Stufe startet mit einer leeren Zuweisung und verwendet nicht das Ergebnis der vorhergehenden Optimierung als Anfangswert. Die Konfiguration des Optimierers ist im wesentlichen für alle Optimierungsstufen gleich [Tabelle 5-15 bis 5-21]. Nur die Eingabedaten wurden von Stufe zu Stufe verändert.

Innerhalb jeder Stufe wurde erst eine Optimierung mit der Positionsvorauswahl durch die AS-Typeninformation durchgeführt, die dann in einem Optimierungslauf ohne AS-Typeninformation verfeinert wurde. In

der ersten Stufe wurde außerdem die Wirkung unterschiedlicher Nachbarschaftsdistanzen in der CA/CB-Dimension getestet. Die dritte Stufe verändert zusätzlich die Positionsbeschränkungen durch die Positionsqualitätsfaktoren, indem sie die ersten 10 Aminosäuren des Proteins nach dem HIS-Tag mit einer Positionsstrafe belegt.

| Stufe | Name | Veränderung der Konfiguration |
|---------|--------|---|
| Stufe 1 | | kein His-Tag |
| | fast01 | $\Delta CA/CB=2.0$, mit AS-Typen |
| | cont01 | $\Delta CA/CB=1.0$, ohne AS-Typen |
| | cont02 | $\Delta CA/CB=2.0$, ohne AS-Typen |
| Stufe 2 | | neue BP, kein His-Tag |
| | fast02 | $\Delta CA/CB=2.0$, mit AS-Typen |
| | cont03 | ohne AS-Typen |
| Stufe 3 | | neue BP, "kein His-Tag, 11-20 schlecht" |
| | fast03 | $\Delta CA/CB=2.0$, mit AS-Typen |
| | cont04 | ohne AS-Typen |

Tabelle 5-14 Übersicht über die zeitliche Abfolge der einzelnen Optimierungen und ihre Verteilung auf die Stufen.

5.3.1.1 Optimierungsstufe 1

Für die erste Stufe wurde der in den vorhergehenden Kapiteln präparierte AS-Cache verwendet. Der AS-Cache enthält schon die virtuellen Spinsysteme BP44 und BP200. Die Positionen der Spinsysteme im Protein wurde mit den Positionsqualitätsfaktoren "ohne His-Tag" gewichtet.

Die erste Optimierung "**fast01**" startet mit einer leeren Arena und erzeugt die erste Zuweisung. "**cont01**" verfeinert das "**fast01**" Ergebnis in einem PeakNet mit niedrigerer Nachbarschaftsdistanz ohne Positionsbeschränkungen der Aminosäuren. "**cont02**" optimiert das Ergebnis von "**cont01**" in PeakNet mit normaler Nachbarschaftsdistanz. Die Konfiguration der Optimierer ist in den Tabellen Tabelle 5-15 bis 5-17 aufgeführt.

Die nachfolgenden Tabellen enthalten die Konfiguration für den genetischen Optimierer. Die erste Tabelle enthält die Basiskonfiguration, die auch für "**fast01**" verwendet wurde. Für die restlichen Optimierungen sind nur noch die Parameter aufgeführt, die relativ zu "**fast01**" verändert wurden. Diese Felder sind in allen Tabellen grau oder grün unterlegt.

| Parameter | Wert | Parameter | Wert |
|-------------------------------|--------------------|---------------------------------|--------------|
| Aufgabe: | "Trigger, fast 01" | | |
| Protein: | Trigger | Startzustand: | (leer) |
| Cache: | default | AS-Positionsstrafen: | ohne His-Tag |
| Net: | inner.outer | Positionsvorwahl durch AS-Typen | JA |
| Distanz zum Nachbar (CA) | 2.0 | | |
| | | | |
| Genetischer Optimierer | (GENETIC) | | |
| Crossover Operator | Gs2p2 | crossOverPct (Anteil) | 0.15 |
| Arena (A, E, Ü) | 32 A, 16 E, 8 Ü | genqTolerance, decay (wer) | 0.999, 0.05 |
| genCrossoverThreshold | 0.9 | | |
| maxLoops: | 1 000 000 | maxTime [min] | 3600 |
| maxIdleLoops | 15 | maxEqualLoops | 5 |
| | | | |
| SubOptimierer | (RANDOM) | | |
| Profil: | mix1v2 | qTolerance, decay | 0.9 0.005 |
| maxLoops: | 4000 | TTL (min,max) | 2, 5 |
| maxIdleLoops: | 10 000 | maxTime [min] | 10 |
| | | | |
| Finaler Optimierer | (RANDOM) | | |
| Profil: | mix1v2 | qTolerance, decay | 0.9 0.005 |
| maxLoops | 200 000 | TTL (min,max) | 2, 5 |
| maxIdleLoops | 5000 | maxTime [min] | 20 |

Tabelle 5-15 Konfiguration für fast01

| Parameter | Wert | Parameter | Wert |
|-------------------------------|-----------------------|---------------------------------|--------------|
| Aufgabe: | "Trigger, cont 01" | | |
| Distanz zum Nachbar (CA) | 1.0 | Positionsvorwahl durch AS-Typen | NEIN |
| Startzustand: | Endzustand von fast01 | AS-Positionsstrafen: | ohne His-Tag |
| Genetischer Optimierer | (GENETIC) | | |
| crossOverPct (Anteil) | 0.5 | | |
| SubOptimierer | (RANDOM) | | |
| maxLoops: | 32 000 | | |
| Finaler Optimierer | (RANDOM) | unverändert. | |

Tabelle 5-16 Konfiguration für cont01

| Parameter | Wert | Parameter | Wert |
|-------------------------------|-----------------------|---------------------------------|--------------|
| Aufgabe: | "Trigger, cont 02" | | |
| Distanz zum Nachbar (CA) | 2.0 | Positionsvorwahl durch AS-Typen | NEIN |
| Startzustand: | Endzustand von cont01 | AS-Positionsstrafen: | ohne His-Tag |
| Genetischer Optimierer | (GENETIC) | | |
| crossOverPct (Anteil) | 0.5 | | |
| SubOptimierer | (RANDOM) | | |
| maxLoops: | 32 000 | | |
| Finaler Optimierer | (RANDOM) | unverändert. | |

Tabelle 5-17 Konfiguration für cont02

5.3.1.2 Optimierungsstufe 2

Die zweite Optimierungsstufe enthält 2 neue Basispeaks (siehe Tabelle 5–7). "fast02" startet mit einer leeren Konfiguration. Seine Lösung wird von "cont02" optimiert.

| Parameter | Wert | Parameter | Wert |
|-------------------------------|-----------------------|---------------------------------|--------------|
| Aufgabe: | "Trigger, fast 02" | | |
| Distanz zum Nachbar (CA) | 2.0 | Positionsvorwahl durch AS-Typen | JA |
| Startzustand: | Endzustand von cont02 | AS-Positionsstrafen: | ohne His-Tag |
| Genetischer Optimierer | (GENETIC) | | |
| crossOverPct (Anteil) | 0.5 | | |
| SubOptimierer | (RANDOM) | | |
| maxLoops: | 32 000 | | |
| Finaler Optimierer | (RANDOM) | unverändert. | |

Tabelle 5–18 Konfiguration für fast02

| Parameter | Wert | Parameter | Wert |
|-------------------------------|-----------------------|---------------------------------|--------------|
| Aufgabe: | "Trigger, cont 03" | | |
| Distanz zum Nachbar (CA) | 2.0 | Positionsvorwahl durch AS-Typen | NEIN |
| Startzustand: | Endzustand von fast02 | AS-Positionsstrafen: | ohne His-Tag |
| Genetischer Optimierer | (GENETIC) | | |
| crossOverPct (Anteil) | 0.5 | | |
| SubOptimierer | (RANDOM) | | |
| maxLoops: | 32 000 | | |
| Finaler Optimierer | (RANDOM) | unverändert. | |

Tabelle 5–19 Konfiguration für cont03

5.3.1.3 Optimierungsstufe 3

Stufe 3 verwendet die Positionsgewichtung "kein HIS-Tag, 11–20 schlecht". Die erste Lösung ist "fast03". "cont04" verwendet den Endzustand von "fast03" als Startwert und optimiert ihn.

| Parameter | Wert | Parameter | Wert |
|-------------------------------|-----------------------|---------------------------------|----------------------------------|
| Aufgabe: | "Trigger, fast 03" | | |
| Distanz zum Nachbar (CA) | 2.0 | Positionsvorwahl durch AS-Typen | JA |
| Startzustand: | Endzustand von cont03 | AS-Positionsstrafen: | ohne His-Tag, 11 bis 20 schlecht |
| Genetischer Optimierer | (GENETIC) | | |
| crossOverPct (Anteil) | 0.5 | maxTime [min]: | 240 |
| SubOptimierer | (RANDOM) | | |
| maxLoops: | 32 000 | | |
| Finaler Optimierer | (RANDOM) | unverändert. | |

Tabelle 5–20 Konfiguration für fast04

| Parameter | Wert | Parameter | Wert |
|-------------------------------|---------------------------|---------------------------------|----------------------------------|
| Aufgabe: | "Trigger, cont 04" | | |
| Distanz zum Nachbar (CA) | 2.0 | Positionsvorwahl durch AS-Typen | NEIN |
| Startzustand: | Endzustand von fast03 | AS-Positionsstrafen: | ohne His-Tag, 11 bis 20 schlecht |
| Genetischer Optimierer | (GENETIC) | | |
| crossOverPct (Anteil) | 0.5 | maxTime [min]: | 3600 |
| SubOptimierer | (RANDOM) | | |
| maxLoops: | 32 000 | | |
| Finaler Optimierer | (RANDOM) | unverändert. | |

Tabelle 5–21 Konfiguration für cont04

Folgende Seiten:

Tabellen 5–22 bis 5–25: Vergleich des manuellen Assignments für Trigger »Nachher« mit dem automatischen Assignment "cont02". Die erste und zweite Tabelle zeigen »Nachher«, die dritte und vierte »Cont02«. Felder mit unterschiedlichem Inhalt sind farbig unterlegt. Die Frequenzen werden mit einer Toleranz von $\Delta=0.05$ ppm verglichen, die Qualitäten mit einer Toleranz von $\Delta=0.05$ Einheiten. Die Identifikationsnummern der Peaks müssen exakt übereinstimmen.

Farbkodierung:

Weiß = gleicher Inhalt in beiden Tabellen.

Blau = fehlt in dieser Tabelle, zugewiesen in der anderen.

Grün = hier zugewiesen, fehlt in der anderen Tabelle

Gelb = unterschiedliche Zuweisung in den Tabellen, beide zugewiesen.

| | AS3Char | AS ID | CA-1 | CB-1 | CA | CB | LINK_Q | Q | cbca(CO)nh CA-1 | cbca(CO)nh CB-1 | cbcanh CA | cbcanh CA-1 | cbcanh CB | cbcanh CB-1 | hnca CA | Vol. Verhältnis hnca CA-1 | hnca CA-1 | hnca |
|-----|---------|--------|--------|--------|--------|------|--------|------|-----------------|-----------------|-----------|-------------|-----------|-------------|---------|---------------------------|-----------|------|
| Met | 1 | | | | | | | | | | | | | | | | | |
| Arg | 2 | | | | | | | | | | | | | | | | | |
| Gly | 3 | | | | | | | | | | | | | | | | | |
| Ser | 4 | | | | | | | | | | | | | | | | | |
| His | 5 | | | | | | | | | | | | | | | | | |
| His | 6 | | | | | | | | | | | | | | | | | |
| His | 7 | | | | | | | | | | | | | | | | | |
| His | 8 | | | | | | | | | | | | | | | | | |
| His | 9 | | | | | | | | | | | | | | | | | |
| His | 10 | | | | | | | | | | | | | | | | | |
| Gly | 11 | | | | | | | | | | | | | | | | | |
| Ser | 12 | | | | | | | | | | | | | | | | | |
| Glu | 13 | 50.890 | 63.085 | 56.893 | 29.507 | | 2.06 | | 2088 | 3097 | | 3099 | 3096 | 1111 | | 1112 | 30 | |
| Lys | 14 | | | | | | | | | | | | | | | | | |
| Leu | 15 | | | | | | | | | | | | | | | | | |
| Ala | 16 | 54.602 | 41.689 | 52.166 | 19.149 | 2.47 | 2.30 | 2061 | 2060 | 3066 | 3065 | 3068 | 3067 | 1126 | | 1127 | 103 | |
| Lys | 17 | 52.080 | 19.171 | 57.398 | 33.583 | 3.49 | 1.84 | | | 3234 | 3233 | 3232 | 3231 | | | | 201 | |
| Thr | 18 | 55.870 | 32.525 | 61.587 | 69.385 | | 2.26 | 2225 | 2226 | 3218 | 3217 | 3219 | 3216 | 1021 | | 1020 | 120 | |
| Lys | 19 | 57.076 | 29.460 | 57.405 | 33.531 | | 0.93 | 2045 | 2046 | 3051 | | 3052 | 3339 | | | 1155 | 101 | |
| Ser | 20 | | | | | | | | | | | | | | | | | |
| Thr | 21 | 57.802 | 63.374 | 61.667 | 69.171 | 3.11 | 2.56 | 2205 | 2206 | 3221 | 3220 | 3223 | | 1023 | | | 77 | |
| Met | 22 | 61.317 | 69.392 | 56.053 | 32.712 | 4.19 | 2.07 | | | 3102 | 3101 | 3103 | 3100 | 1119 | | 1120 | 25 | |
| Val | 23 | 55.078 | 32.482 | 61.958 | | 2.68 | 1.35 | 2130 | 2129 | 3278 | 3277 | | 3276 | 1082 | | 1081 | 112 | |
| Asp | 24 | 61.757 | 32.496 | 53.806 | 41.055 | 4.49 | 2.02 | 2069 | 2066 | 3070 | 3069 | 3071 | | 1125 | | 1124 | 23 | |
| Val | 25 | 53.825 | 40.937 | 62.237 | 32.194 | 4.40 | 2.10 | 2146 | 2142 | 3261 | 3260 | 3169 | 3258 | 1170 | | 1169 | 51 | |
| Ser | 26 | 62.006 | 31.677 | 59.214 | 63.266 | 4.38 | 2.45 | 2170 | 2169 | 3287 | 3289 | 3290 | 3288 | 1051 | | 1052 | 127 | |
| Asp | 27 | 59.086 | 63.147 | 53.642 | 41.044 | 4.44 | 2.61 | 2113 | 2114 | 3110 | 3111 | 3109 | 3112 | 1094 | | 1095 | 41 | |
| Lys | 28 | 53.457 | 40.925 | 56.698 | 33.241 | 4.05 | 2.04 | 2109 | 2110 | 3061 | 3062 | 3064 | 3063 | 1090 | | 1089 | 44 | |
| Lys | 29 | 56.906 | 32.849 | 53.683 | 35.082 | 4.46 | 1.51 | 2092 | 2091 | 3271 | | 3270 | 3269 | 1105 | | 1106 | 37 | |
| Leu | 30 | 53.395 | 34.752 | 55.978 | 42.592 | 4.49 | 1.59 | 2076 | 2075 | 3092 | 3093 | 3094 | 3095 | 1117 | | 1118 | 27 | |
| Ala | 31 | 55.894 | 42.473 | 49.951 | 22.656 | 4.52 | 2.41 | 2004 | 2003 | 3251 | 3252 | 3249 | 3253 | 1163 | | 1164 | 2 | |
| Asn | 32 | 49.980 | 22.633 | 55.336 | 38.154 | 4.49 | 2.50 | 2198 | 2197 | 3291 | 3292 | 3293 | 3294 | 1029 | < | 1030 | 119 | |
| Gly | 33 | 55.271 | 37.889 | 44.833 | | 3.61 | 2.46 | 2215 | 2216 | 3129 | 3128 | | 3130 | 1016 | | 1017 | 83 | |
| Asp | 34 | 44.871 | | 54.564 | 42.248 | 4.54 | 2.24 | 2149 | | 3254 | 3255 | 3256 | | 1066 | | 1067 | 106 | |
| Ile | 35 | 54.507 | 42.236 | 61.186 | 37.787 | 4.43 | 1.63 | 2157 | 2156 | 3198 | 3197 | 3195 | 3196 | 1064 | | 1063 | 116 | |
| Ala | 36 | 61.136 | 37.610 | 49.661 | 22.175 | 4.46 | 2.33 | 2013 | 2014 | 3002 | 3001 | 3004 | 3003 | 1161 | | 1160 | 7 | |
| Ile | 37 | 49.674 | 21.711 | 59.769 | 36.080 | 4.39 | 2.14 | 2126 | 2125 | 3174 | 3173 | 3172 | 3171 | 1086 | | 1085 | 48 | |
| Ile | 38 | 59.470 | 35.951 | 58.875 | 42.137 | 3.74 | 1.05 | 2160 | 2161 | 3329 | 3328 | 3327 | 3326 | | | 1065 | 131 | |
| Asp | 39 | 58.556 | 42.134 | 52.336 | | 2.77 | 1.25 | 2162 | 2164 | 3200 | 3199 | | 3201 | 1061 | | 1062 | 117 | |
| Phe | 40 | 52.318 | 42.402 | 55.527 | | 2.77 | 1.61 | 2218 | 2217 | 3325 | 3324 | | 3323 | 1019 | | 1018 | 84 | |
| Thr | 41 | 55.505 | 42.694 | 61.014 | 71.243 | 4.46 | 2.19 | 2174 | 2173 | 3189 | 3188 | 3190 | 3187 | 1054 | | 1053 | 63 | |
| Gly | 42 | 60.928 | 71.004 | 45.335 | | 4.01 | 2.85 | 2193 | 2194 | 3204 | 3203 | | 3202 | 1034 | | 1035 | 68 | |
| Ile | 43 | 45.202 | | 60.037 | 39.202 | 4.37 | 2.11 | 2058 | | 3048 | 3049 | 3050 | | 1130 | < | 1131 | 21 | |
| Val | 44 | 60.151 | 39.113 | 63.428 | 34.745 | | 1.37 | 2030 | 2029 | | 3033 | 3035 | 3034 | 1150 | < | 1149 | 98 | |
| Asp | 45 | 60.350 | 34.506 | 55.676 | 38.929 | 2.80 | 1.74 | 2019 | 2020 | 3010 | 3009 | 3011 | 3012 | 1157 | | 1158 | 96 | |
| Asn | 46 | 55.668 | 38.441 | 54.882 | | 1.62 | 0.47 | 2257 | 2256 | | | | | 1001 | | | 109 | |
| Lys | 47 | 54.486 | 37.651 | | 34.904 | 2.32 | 1.37 | 2148 | 2147 | | 3115 | 3116 | 3117 | | | 1069 | 57 | |
| Lys | 48 | 54.516 | 34.817 | 56.632 | 32.126 | 4.44 | 1.61 | 2085 | 2086 | 3265 | 3264 | 3262 | 3263 | 1115 | | 1116 | 28 | |
| Leu | 49 | 56.575 | 31.817 | 52.914 | 42.996 | | 1.58 | 2035 | 2036 | 3037 | 3036 | 3038 | 3039 | 1147 | | 1148 | 12 | |
| Ala | 50 | | | | | | | | | | | | | | | | | |
| Ser | 51 | | | | | | | | | | | | | | | | | |
| Ala | 52 | 58.850 | 61.855 | 50.188 | | 1.65 | 1.98 | 2062 | 2063 | | | | | 1129 | | 1128 | 133 | |
| Ser | 53 | 50.081 | 19.588 | 57.447 | 66.217 | 4.43 | 2.98 | 2248 | 2247 | 3139 | 3140 | 3138 | 3141 | 1006 | | 1007 | 110 | |
| Ala | 54 | 57.208 | 66.183 | 52.133 | 23.164 | | 2.97 | 2108 | 2107 | 3273 | 3274 | 3272 | 3275 | 1096 | | 1097 | 124 | |
| Gln | 55 | | | | | | | | | | | | | | | | | |
| Asn | 56 | 53.625 | 31.848 | 50.753 | 36.887 | | 1.48 | 2111 | 2112 | | 3079 | 3080 | 3081 | 1092 | < | 1091 | 43 | |
| Tyr | 57 | 54.284 | 36.669 | 58.110 | 40.289 | 3.83 | 1.64 | 2096 | 2095 | 3085 | 3086 | 3087 | 3088 | 1099 | | 1100 | 39 | |

Tabelle 5-22 Manuelle Lösung, Teil 1

| | AS3Char | AS ID | CA-1 | CB-1 | CA | CB | LINK_Q | Q | cbca(CO)jh CA-1 | cbca(CO)jh CB-1 | obcanh CA | obcanh CA-1 | obcanh CB | obcanh CB-1 | hnc CA | Vol. Verhältnis hnc CA-1 | hnc |
|------|---------|--------|--------|--------|--------|------|--------|------|--------------------|--------------------|-----------|-------------|-----------|-------------|--------|-----------------------------|-----|
| Glu | 58 | 58.036 | 40.137 | 54.884 | 29.892 | 3.41 | 1.07 | 2032 | 2031 | 3058 | 3057 | 3060 | 3059 | | | | 102 |
| Leu | 59 | 53.595 | 29.812 | 55.104 | | 1.63 | 0.82 | 2024 | 2023 | 3008 | 3007 | | 3005 | | | 1159 | 9 |
| Thr | 60 | 55.481 | 42.181 | | 30.593 | | 0.90 | 2097 | 2098 | | 3089 | 3091 | 3090 | | | | 33 |
| Ile | 61 | 61.121 | 67.723 | 62.815 | 33.583 | | 1.74 | 2005 | 2006 | 3244 | 3248 | 3243 | 3247 | 1166 | < | 1165 | 3 |
| Gly | 62 | 60.561 | 33.571 | 45.170 | | 3.85 | 1.67 | 2260 | 2259 | 3083 | 3082 | | 3084 | 1075 | < | 1074 | 105 |
| Ser | 63 | 44.882 | | 59.232 | 64.328 | 3.73 | 2.97 | 2203 | | 3225 | 3224 | 3226 | | 1025 | | 1024 | 121 |
| Asn | 64 | 59.006 | 64.400 | 53.853 | 36.548 | 4.33 | 2.00 | 2073 | 2074 | 3299 | 3301 | 3300 | 3302 | 1121 | | | 128 |
| Ser | 65 | 54.307 | 36.519 | 59.105 | 64.153 | 2.71 | 2.31 | 2228 | 2227 | 3132 | 3133 | 3131 | 3134 | 1010 | | 1011 | 87 |
| Phe | 66 | 58.141 | 63.971 | 55.419 | 40.664 | 2.81 | 1.68 | 2079 | 2080 | 3107 | | 3108 | | 1171 | | | 31 |
| Ile | 67 | 55.128 | 40.384 | | | | 0.38 | 2212 | 2211 | | | | | | | | 130 |
| Lys | 68 | 61.384 | 39.262 | 58.678 | 32.013 | 4.44 | 1.61 | 2041 | 2042 | 3041 | 3040 | 3043 | | 1138 | | 1139 | 99 |
| Gly | 69 | 58.673 | 31.910 | 44.869 | | 3.92 | 2.22 | 2230 | 2229 | 3126 | 3125 | | 3127 | 1012 | | 1013 | 88 |
| Phe | 70 | 44.645 | | 60.615 | 40.033 | 4.35 | 2.23 | 2072 | | 3104 | 3105 | 3106 | | 1113 | | 1114 | 24 |
| Glu | 71 | 60.086 | 39.865 | | 29.908 | 2.32 | 1.11 | 2209 | 2210 | | 3122 | 3124 | 3123 | | | 1027 | 108 |
| Thr | 72 | 59.890 | 29.799 | 64.614 | 67.831 | 4.41 | 2.35 | 2255 | 2254 | 3297 | 3296 | 3298 | 3295 | 1002 | | 1003 | 92 |
| Gly | 73 | 64.233 | 67.862 | 45.713 | | 4.12 | 2.86 | 2251 | 2258 | 3135 | 3136 | | 3137 | 1004 | | 1005 | 93 |
| Leu | 74 | 45.582 | | 54.288 | 41.088 | 4.44 | 2.21 | 2179 | | 3146 | 3147 | 3148 | | 1047 | | 1048 | 64 |
| Ile | 75 | 54.310 | 41.014 | 63.708 | 36.518 | 4.44 | 2.00 | 2182 | 2183 | 3142 | 3143 | 3144 | 3145 | 1042 | | 1041 | 72 |
| Ala | 76 | 63.456 | 36.453 | 54.175 | 16.770 | 4.50 | 2.72 | 2093 | 2094 | 3310 | 3311 | 3308 | 3309 | 1109 | | 1110 | 32 |
| Met | 77 | 54.198 | 16.687 | 57.479 | 35.345 | 4.41 | 2.14 | 2167 | 2168 | 3156 | 3157 | 3158 | 3159 | 1058 | | 1057 | 61 |
| Lys | 78 | 57.407 | 35.121 | 53.619 | | 2.75 | 1.12 | 2187 | 2186 | 3154 | 3153 | | 3155 | 1039 | | 1040 | 67 |
| Val | 79 | 53.510 | 35.108 | 65.686 | 30.886 | 4.46 | 1.59 | 2152 | 2153 | 3186 | 3185 | 3183 | 3184 | 1071 | | 1070 | 114 |
| Asn | 80 | 65.516 | 30.864 | 55.641 | 36.660 | 3.43 | 1.92 | 2177 | 2178 | 3119 | 3118 | 3120 | 3121 | 1049 | < | 1050 | 107 |
| Gln | 81 | 55.842 | 36.578 | 56.234 | | 1.66 | 1.02 | 2143 | 2141 | | | | 3257 | 1078 | | | 49 |
| Lys | 82 | 56.104 | 29.654 | 53.580 | 35.064 | 4.41 | 1.41 | 2137 | 2138 | 3165 | 3164 | 3166 | 3167 | 1084 | | 1172 | 113 |
| Lys | 83 | 53.710 | 34.973 | 55.567 | 37.620 | 4.44 | 1.28 | 2054 | 2055 | 3075 | 3076 | 3077 | 3078 | 1134 | | 1135 | 18 |
| Thr | 84 | 55.461 | 37.512 | 60.955 | 69.340 | 4.47 | 2.10 | 2151 | 2150 | 3181 | 3180 | 3182 | 3179 | 1073 | | 1072 | 56 |
| Leu | 85 | 60.798 | 69.296 | 53.167 | 44.883 | 4.47 | 2.66 | 2039 | 2040 | 3019 | 3018 | 3020 | 3017 | 1142 | | 1143 | 17 |
| Ala | 86 | 53.221 | 44.712 | 51.275 | 18.606 | 4.42 | 2.66 | 2028 | 2027 | 3030 | 3029 | 3032 | 3031 | 1151 | | 1152 | 97 |
| Leu | 87 | 50.834 | 18.430 | 52.621 | 45.697 | 4.45 | 2.65 | 2065 | 2064 | 3306 | 3305 | 3304 | 3303 | 1122 | | 1123 | 104 |
| Thr | 88 | 52.782 | 45.480 | 61.092 | 71.276 | 4.49 | 2.66 | 2220 | 2219 | 3229 | 3228 | 3230 | 3227 | 1015 | | 1014 | 86 |
| Phe | 89 | 61.078 | 71.012 | 58.313 | 38.438 | | 2.36 | 2047 | 2048 | 3046 | 3045 | 3047 | 3044 | 1136 | | 1137 | 100 |
| Pro | 90 | | | | | | | | | | | | | | | | |
| Ser | 91 | 61.971 | 32.688 | 60.248 | 62.945 | 3.76 | 2.41 | 2175 | 2176 | 3192 | 3193 | 3194 | 3191 | 1055 | | 1056 | 115 |
| Asp | 92 | 60.246 | 62.511 | 51.322 | 39.280 | 3.09 | 1.86 | 2190 | | | 3210 | 3212 | 3209 | 1032 | | 1033 | 74 |
| Tyr | 93 | 51.331 | 39.337 | 59.351 | 38.027 | 3.29 | 1.12 | 2154 | 2155 | 3331 | 3330 | 3332 | 3333 | 1068 | | | 132 |
| His | 94 | 59.215 | 38.611 | 58.710 | 28.959 | 3.84 | 0.92 | 2134 | 2133 | 3340 | | 3342 | 3341 | | | | 134 |
| Val | 95 | 58.400 | 28.803 | 61.323 | 30.644 | 4.35 | 1.43 | 2159 | 2158 | 3337 | 3336 | 3335 | 3334 | 1077 | | 1076 | 55 |
| Lys | 96 | 60.989 | 30.608 | 59.397 | 32.300 | | 1.42 | 2009 | 2010 | 3026 | 3025 | 3027 | 3028 | | | 1162 | 5 |
| Glu | 97 | | | | | | | | | | | | | | | | |
| Leu | 98 | 58.450 | 28.230 | 53.432 | 42.159 | 4.45 | 1.56 | 2181 | 2180 | 3150 | 3149 | 3151 | 3152 | 1037 | | 1038 | 70 |
| Gln | 99 | 53.180 | 42.062 | 57.968 | 27.418 | 4.41 | 1.94 | 2184 | 2185 | 3286 | 3285 | 3283 | 3284 | 1045 | | 1046 | 126 |
| Ser | 100 | 57.717 | 27.071 | 60.197 | 60.937 | 2.19 | 2.51 | 2241 | 2242 | 3320 | 3317 | 3319 | 3316 | 1009 | < | 1008 | 129 |
| Lys | 101 | 60.711 | | 53.394 | 31.377 | | 0.81 | 2127 | | 3113 | | 3114 | | 1079 | | 1080 | 47 |
| Pro | 102 | | | | | | | | | | | | | | | | |
| Val | 103 | 62.361 | 31.566 | 58.180 | 33.724 | 1.35 | 1.56 | 2123 | 2124 | 3177 | 3178 | 3176 | 3175 | 1087 | | 1088 | 46 |
| Thr | 104 | 58.322 | | 60.155 | 70.172 | 3.76 | 1.30 | | | 3267 | 3268 | 3266 | | | | | 36 |
| Phe | 105 | 60.237 | 69.927 | 56.017 | 42.423 | | 2.20 | 2077 | 2078 | 3313 | 3314 | 3312 | 3315 | 1103 | | 1104 | 35 |
| Glu | 106 | | | | | | | | | | | | | | | | |
| Val | 107 | 55.334 | 30.414 | 60.664 | 34.488 | 4.40 | 1.75 | 2034 | 2033 | 3021 | 3022 | 3023 | 3024 | 1141 | | 1140 | 15 |
| Val | 108 | 60.392 | 34.359 | 63.443 | | 1.37 | | 2056 | 2057 | | 3073 | | 3074 | 1133 | < | 1132 | 20 |
| Leu | 109 | 60.100 | 35.162 | 54.239 | 41.303 | 4.08 | 1.76 | 2038 | 2037 | 3054 | 3053 | 3055 | 3056 | 1145 | | 1146 | 16 |
| Lys | 110 | 54.016 | 41.234 | 55.686 | 31.229 | 3.80 | 1.18 | 2026 | 2025 | 3013 | | 3016 | 3015 | 1154 | | 1153 | 135 |
| Ala | 111 | 55.667 | 31.020 | 51.890 | 21.382 | 3.77 | 1.66 | 2189 | 2188 | 3215 | 3213 | 3214 | | | | 1043 | 65 |
| Ile | 112 | 51.830 | 21.405 | 60.941 | 40.440 | 4.47 | 2.49 | 2165 | 2166 | 3160 | 3161 | 3162 | 3163 | 1060 | | 1059 | 59 |
| Lys | 113 | 60.811 | 40.275 | 57.786 | 33.747 | | 1.90 | 2002 | 2001 | 3241 | 3242 | 3239 | 3240 | 1167 | | 1168 | 122 |
| stat | --- | 91 | 84 | 87 | 76 | 75 | | 87 | 81 | 80 | 80 | 76 | 76 | 78 | 78 | 79 | 91 |

Tabelle 5-23 Manuelle Lösung, Teil 2

| AS3Char | AS ID | CA-1 | CB-1 | CA | CB | LINK Q | Q | cbca(CO)Inh CA-1 | cbca(CO)Inh CB-1 | cbcanh CA | cbcanh CA-1 | cbcanh CB | cbcanh CB-1 | hnca CA | hnca CA-1 | hnco |
|---------|-------|-------|-------|-------|-------|--------|------|------------------|------------------|-----------|-------------|-----------|-------------|---------|-----------|------|
| Met | 1 | | | | | | | | | | | | | | | |
| Arg | 2 | | | | | | | | | | | | | | | |
| Gly | 3 | | | | | | | | | | | | | | | |
| Ser | 4 | | | | | | | | | | | | | | | |
| His | 5 | | | | | | | | | | | | | | | |
| His | 6 | | | | | | | | | | | | | | | |
| His | 7 | | | | | | | | | | | | | | | |
| His | 8 | | | | | | | | | | | | | | | |
| His | 9 | | | | | | | | | | | | | | | |
| His | 10 | | | | | | | | | | | | | | | |
| Gly | 11 | | | | | | | | | | | | | | | |
| Ser | 12 | 44.64 | | 58.34 | | 1.7 | 1.63 | 2204 | | 3236 | 3235 | | | 1026 | | 200 |
| Glu | 13 | 58.14 | 63.97 | 55.42 | 40.66 | 2.81 | 1.47 | 2079 | 2080 | 3107 | | 3108 | | 1171 | | 31 |
| Lys | 14 | 55.13 | 40.38 | | | | 0.21 | 2212 | 2211 | | | | | | | 130 |
| Leu | 15 | | | | | | | | | | | | | | | |
| Ala | 16 | 52.87 | 45.26 | 62.74 | | 1.64 | 1.28 | 2089 | 2090 | | | | | 1107 | 1108 | 34 |
| Lys | 17 | 62.36 | 31.57 | 58.18 | 33.72 | 1.35 | 1.39 | 2123 | 2124 | 3177 | 3178 | 3176 | 3175 | 1087 | 1088 | 46 |
| Thr | 18 | 58.32 | | 60.16 | 70.17 | 2.66 | 1.36 | | | 3267 | 3268 | 3266 | | | | 36 |
| Lys | 19 | 61.13 | 68.68 | 55.37 | | 1.67 | 1.69 | 2099 | 2100 | | | | | 1102 | 1101 | 125 |
| Ser | 20 | 55.35 | 32.46 | | | | 0.5 | 2101 | 2102 | | | | | | 1098 | 123 |
| Thr | 21 | 57.80 | 63.37 | 61.67 | 69.17 | 3.11 | 2.56 | 2205 | 2206 | 3221 | 3220 | 3223 | | 1023 | | 77 |
| Met | 22 | 61.32 | 69.39 | 56.05 | 32.71 | 4.19 | 2.07 | | | 3102 | 3101 | 3103 | 3100 | 1119 | 1120 | 25 |
| Val | 23 | 55.08 | 32.48 | 61.96 | | 2.68 | 1.35 | 2130 | 2129 | 3278 | 3277 | | 3276 | 1082 | 1081 | 112 |
| Asp | 24 | 61.76 | 32.50 | 53.81 | 41.06 | 4.49 | 2.02 | 2069 | 2066 | 3070 | 3069 | 3071 | | 1125 | 1124 | 23 |
| Val | 25 | 53.83 | 40.94 | 62.24 | 32.19 | 4.40 | 2.10 | 2146 | 2142 | 3261 | 3260 | 3169 | 3258 | 1170 | 1169 | 51 |
| Ser | 26 | 62.01 | 31.68 | 59.21 | 63.27 | 3.74 | 2.45 | 2170 | 2169 | 3287 | 3289 | 3290 | 3288 | 1051 | 1052 | 127 |
| Asp | 27 | 59.44 | 63.15 | 53.64 | 41.04 | 4.44 | 2.49 | | 2114 | 3110 | 3111 | 3109 | 3112 | 1094 | 1095 | 41 |
| Lys | 28 | 53.46 | 40.93 | 56.70 | 33.24 | 4.05 | 2.04 | 2109 | 2110 | 3061 | 3062 | 3064 | 3063 | 1090 | 1089 | 44 |
| Lys | 29 | 56.91 | 32.85 | 53.68 | 35.08 | 4.46 | 1.51 | 2092 | 2091 | 3271 | | 3270 | 3269 | 1105 | 1106 | 37 |
| Leu | 30 | 53.40 | 34.75 | 55.98 | 42.59 | 4.49 | 1.59 | 2076 | 2075 | 3092 | 3093 | 3094 | 3095 | 1117 | 1118 | 27 |
| Ala | 31 | 55.89 | 42.47 | 49.95 | 22.66 | 4.52 | 2.41 | 2004 | 2003 | 3251 | 3252 | 3249 | 3253 | 1163 | 1164 | 2 |
| Asn | 32 | 49.98 | 22.63 | 55.34 | 38.15 | 4.49 | 2.50 | 2198 | 2197 | 3291 | 3292 | 3293 | 3294 | 1029 | 1030 | 119 |
| Gly | 33 | 55.27 | 37.89 | 44.83 | | 2.67 | 2.46 | 2215 | 2216 | 3129 | 3128 | | 3130 | 1016 | 1017 | 83 |
| Asp | 34 | 45.23 | | 54.56 | 42.25 | 4.54 | 2.11 | | | 3254 | 3255 | 3256 | | 1066 | 1067 | 106 |
| Ile | 35 | 54.51 | 42.24 | 61.19 | 37.79 | 4.43 | 1.63 | 2157 | 2156 | 3198 | 3197 | 3195 | 3196 | 1064 | 1063 | 116 |
| Ala | 36 | 61.14 | 37.61 | 49.66 | 22.18 | 4.46 | 2.33 | 2013 | 2014 | 3002 | 3001 | 3004 | 3003 | 1161 | 1160 | 7 |
| Ile | 37 | 49.67 | 21.71 | 59.77 | 36.08 | 4.39 | 2.14 | 2126 | 2125 | 3174 | 3173 | 3172 | 3171 | 1086 | 1085 | 48 |
| Ile | 38 | 59.47 | 35.95 | 58.88 | 42.14 | 3.74 | 1.05 | 2160 | 2161 | 3329 | 3328 | 3327 | 3326 | | 1065 | 131 |
| Asp | 39 | 58.56 | 42.13 | 52.34 | | 2.77 | 1.25 | 2162 | 2164 | 3200 | 3199 | | 3201 | 1061 | 1062 | 117 |
| Phe | 40 | 52.32 | 42.40 | 55.53 | | 2.77 | 1.61 | 2218 | 2217 | 3325 | 3324 | | 3323 | 1019 | 1018 | 84 |
| Thr | 41 | 55.51 | 42.69 | 61.01 | 71.24 | 4.46 | 2.19 | 2174 | 2173 | 3189 | 3188 | 3190 | 3187 | 1054 | 1053 | 63 |
| Gly | 42 | 60.93 | 71.00 | 45.34 | | 4.01 | 2.85 | 2193 | 2194 | 3204 | 3203 | | 3202 | 1034 | 1035 | 68 |
| Ile | 43 | 45.20 | | 60.04 | 39.20 | 4.37 | 2.11 | 2058 | | 3048 | 3049 | 3050 | | 1130 | 1131 | 21 |
| Val | 44 | 60.15 | 39.11 | 63.43 | 34.75 | | 1.37 | 2030 | 2029 | | 3033 | 3035 | 3034 | 1150 | 1149 | 98 |
| Asp | 45 | 60.35 | 34.51 | 55.68 | 38.93 | 2.80 | 1.74 | 2019 | 2020 | 3010 | 3009 | 3011 | 3012 | 1157 | 1158 | 96 |
| Asn | 46 | 55.67 | 38.44 | 54.88 | | 1.62 | 0.47 | 2257 | 2256 | | | | | 1001 | | 109 |
| Lys | 47 | 54.49 | 37.65 | | 34.90 | 2.32 | 1.37 | 2148 | 2147 | | 3115 | 3116 | 3117 | | 1069 | 57 |
| Lys | 48 | 54.52 | 34.82 | 56.63 | 32.13 | 4.44 | 1.61 | 2085 | 2086 | 3265 | 3264 | 3262 | 3263 | 1115 | 1116 | 28 |
| Leu | 49 | 56.58 | 31.82 | 52.91 | 43.00 | 4.24 | 1.58 | 2035 | 2036 | 3037 | 3036 | 3038 | 3039 | 1147 | 1148 | 12 |
| Ala | 50 | 53.18 | 42.06 | 57.97 | 27.42 | 4.41 | 1.22 | 2184 | 2185 | 3286 | 3285 | 3283 | 3284 | 1045 | 1046 | 126 |
| Ser | 51 | 57.72 | 27.07 | 60.2 | 60.94 | 3.23 | 1.77 | 2241 | 2242 | 3320 | 3317 | 3319 | 3316 | 1009 | 1008 | 129 |
| Ala | 52 | 58.85 | 61.86 | 50.19 | | 1.65 | 1.98 | 2062 | 2063 | | | | | 1129 | 1128 | 133 |
| Ser | 53 | 50.08 | 19.59 | 57.45 | 66.22 | 4.43 | 2.98 | 2248 | 2247 | 3139 | 3140 | 3138 | 3141 | 1006 | 1007 | 110 |
| Ala | 54 | 57.21 | 66.18 | 52.13 | 23.16 | 3.79 | 2.97 | 2108 | 2107 | 3273 | 3274 | 3272 | 3275 | 1096 | 1097 | 124 |
| Gln | 55 | 52.26 | 22.91 | 53.6 | 32.07 | 4.46 | 1.83 | 2195 | 2196 | 3205 | 3206 | 3207 | 3208 | 1031 | | 118 |
| Asn | 56 | 53.63 | 31.85 | 50.75 | 36.89 | | 1.48 | 2111 | 2112 | | 3079 | 3080 | 3081 | 1092 | 1091 | 43 |
| Tyr | 57 | 54.28 | 36.67 | 58.11 | 40.29 | 3.83 | 1.64 | 2096 | 2095 | 3085 | 3086 | 3087 | 3088 | 1099 | 1100 | 39 |

Tabelle 5-24 Automatisches Assignment "cont02", Teil 1

| AS3Char | AS ID | CA-1 | CB-1 | CA | CB | LINK-Q | Q | cbca(CO)inh CA-1 | cbca(CO)inh CB-1 | cbcanh CA | cbcanh CA-1 | cbcanh CB | cbcanh CB-1 | hnca CA | hnca CA-1 | hnso | |
|---------|-------|-------|-------|-------|-------|--------|-------|------------------|------------------|-----------|-------------|-----------|-------------|---------|-----------|------|-----|
| Glu | 58 | 58.04 | 40.14 | 54.88 | 29.89 | 3.47 | 1.070 | 2032 | 2031 | 3058 | 3057 | 3060 | 3059 | | | 102 | |
| Leu | 59 | 54.83 | 29.81 | 53.11 | | | 0.9 | 2024 | 2023 | 3007 | 3008 | | 3005 | 1159 | | 9 | |
| Thr | 60 | 50.89 | 63.09 | 56.89 | 29.51 | 3.68 | 0.76 | | 2088 | 3097 | | 3099 | 3096 | 1111 | 1112 | 30 | |
| Ile | 61 | 56.84 | 29.46 | 60.71 | 33.53 | 3.42 | 0.48 | 2045 | 2046 | | 3051 | 3052 | 3339 | 1156 | | 101 | |
| Gly | 62 | 60.56 | 33.57 | 45.17 | | 3.850 | 1.670 | 2260 | 2259 | 3083 | 3082 | | 3084 | 1075 | < | 1074 | 105 |
| Ser | 63 | 44.88 | | 59.23 | 64.33 | 3.730 | 2.970 | 2203 | | 3225 | 3224 | 3226 | | 1025 | | 1024 | 121 |
| Asn | 64 | 59.01 | 64.40 | 53.85 | 36.55 | 4.330 | 2.000 | 2073 | 2074 | 3299 | 3301 | 3300 | 3302 | 1121 | | | 128 |
| Ser | 65 | 54.31 | 36.52 | 59.11 | 64.15 | 2.12 | 2.310 | 2228 | 2227 | 3132 | 3133 | 3131 | 3134 | 1010 | | 1011 | 87 |
| Phe | 66 | 60.71 | | 53.39 | 31.38 | 2.55 | 0.77 | 2127 | | 3113 | | 3114 | | 1079 | | 1080 | 47 |
| Ile | 67 | 55.23 | 31.94 | 61.84 | | 1.64 | 0.43 | 2117 | 2118 | | | | | 1083 | | | 111 |
| Lys | 68 | 61.38 | 39.26 | 58.68 | 32.01 | 4.440 | 1.610 | 2041 | 2042 | 3041 | 3040 | 3043 | | 1138 | | 1139 | 99 |
| Gly | 69 | 58.67 | 31.91 | 44.87 | | 3.920 | 2.220 | 2230 | 2229 | 3126 | 3125 | | 3127 | 1012 | | 1013 | 88 |
| Phe | 70 | 44.65 | | 60.62 | 40.03 | 4.350 | 2.230 | 2072 | | 3104 | 3105 | 3106 | | 1113 | | 1114 | 24 |
| Glu | 71 | 60.09 | 39.87 | | 29.91 | 2.320 | 1.110 | 2209 | 2210 | | 3122 | 3124 | 3123 | | | 1027 | 108 |
| Thr | 72 | 59.89 | 29.80 | 64.61 | 67.83 | 4.410 | 2.350 | 2255 | 2254 | 3297 | 3296 | 3298 | 3295 | 1002 | | 1003 | 92 |
| Gly | 73 | 64.23 | 67.86 | 45.71 | | 4.120 | 2.860 | 2251 | 2258 | 3135 | 3136 | | 3137 | 1004 | | 1005 | 93 |
| Leu | 74 | 45.58 | | 54.29 | 41.09 | 4.440 | 2.210 | 2179 | | 3146 | 3147 | 3148 | | 1047 | | 1048 | 64 |
| Ile | 75 | 54.31 | 41.01 | 63.71 | 36.52 | 3.77 | 2.000 | 2182 | 2183 | 3142 | 3143 | 3144 | 3145 | 1042 | | 1041 | 72 |
| Ala | 76 | 63.69 | 36.45 | 54.18 | 16.77 | 4.500 | 2.66 | | 2094 | 3310 | 3311 | 3308 | 3309 | 1109 | | 1110 | 32 |
| Met | 77 | 54.20 | 16.69 | 57.48 | 35.35 | 4.410 | 2.140 | 2167 | 2168 | 3156 | 3157 | 3158 | 3159 | 1058 | | 1057 | 61 |
| Lys | 78 | 57.41 | 35.12 | 53.62 | | 2.750 | 1.120 | 2187 | 2186 | 3154 | 3153 | | 3155 | 1039 | | 1040 | 67 |
| Val | 79 | 53.51 | 35.11 | 65.69 | 30.89 | 4.460 | 1.590 | 2152 | 2153 | 3186 | 3185 | 3183 | 3184 | 1071 | | 1070 | 114 |
| Asn | 80 | 65.52 | 30.86 | 55.64 | 36.66 | 3.430 | 1.920 | 2177 | 2178 | 3119 | 3118 | 3120 | 3121 | 1049 | < | 1050 | 107 |
| Gln | 81 | 55.84 | 36.58 | 56.23 | | 1.660 | 1.020 | 2143 | 2141 | | | | 3257 | 1078 | | | 49 |
| Lys | 82 | 56.10 | 29.65 | 53.58 | 35.06 | 4.410 | 1.410 | 2137 | 2138 | 3165 | 3164 | 3166 | 3167 | 1084 | | 1172 | 113 |
| Lys | 83 | 53.71 | 34.97 | 55.57 | 37.62 | 4.440 | 1.280 | 2054 | 2055 | 3075 | 3076 | 3077 | 3078 | 1134 | | 1135 | 18 |
| Thr | 84 | 55.46 | 37.51 | 60.96 | 69.34 | 4.470 | 2.100 | 2151 | 2150 | 3181 | 3180 | 3182 | 3179 | 1073 | | 1072 | 56 |
| Leu | 85 | 60.80 | 69.30 | 53.17 | 44.88 | 4.470 | 2.660 | 2039 | 2040 | 3019 | 3018 | 3020 | 3017 | 1142 | | 1143 | 17 |
| Ala | 86 | 53.22 | 44.71 | 51.28 | 18.61 | 3.71 | 2.660 | 2028 | 2027 | 3030 | 3029 | 3032 | 3031 | 1151 | | 1152 | 97 |
| Leu | 87 | 50.6 | 18.43 | 52.62 | | 2.69 | 1.89 | | 2064 | 3306 | 3305 | | 3303 | 1122 | | 1123 | 104 |
| Thr | 88 | 52.78 | 45.48 | 61.09 | 71.28 | 4.490 | 2.660 | 2220 | 2219 | 3229 | 3228 | 3230 | 3227 | 1015 | | 1014 | 86 |
| Phe | 89 | 61.08 | 71.01 | 58.31 | 38.44 | | 2.360 | 2047 | 2048 | 3046 | 3045 | 3047 | 3044 | 1136 | | 1137 | 100 |
| Pro | 90 | | | | | | | | | | | | | | | | |
| Ser | 91 | 61.97 | 32.69 | 60.25 | 62.95 | 3.760 | 2.410 | 2175 | 2176 | 3192 | 3193 | 3194 | 3191 | 1055 | | 1056 | 115 |
| Asp | 92 | 60.25 | 62.51 | 51.32 | 39.28 | 3.090 | 1.860 | 2190 | | | 3210 | 3212 | 3209 | 1032 | | 1033 | 74 |
| Tyr | 93 | 51.33 | 39.34 | 59.35 | 38.03 | 2.7 | 1.120 | 2154 | 2155 | 3331 | 3330 | 3332 | 3333 | 1068 | | | 132 |
| His | 94 | 59.22 | 38.49 | | | | 0.58 | 2134 | 2133 | | | | | | | | 134 |
| Val | 95 | 58.40 | 28.80 | 61.32 | 30.64 | 4.350 | 1.430 | 2159 | 2158 | 3337 | 3336 | 3335 | 3334 | 1077 | | 1076 | 55 |
| Lys | 96 | 60.99 | 30.61 | 59.40 | 32.30 | 3.28 | 1.420 | 2009 | 2010 | 3026 | 3025 | 3027 | 3028 | | | 1162 | 5 |
| Glu | 97 | 59.82 | 31.67 | 58.6 | 28.1 | 4.44 | 1.4 | 2208 | 2207 | 3281 | 3282 | 3279 | 3280 | 1022 | | | 60 |
| Leu | 98 | 58.45 | 28.23 | 53.43 | 42.16 | 3.61 | 1.560 | 2181 | 2180 | 3150 | 3149 | 3151 | 3152 | 1037 | | 1038 | 70 |
| Gln | 99 | 54.42 | 41.69 | 52.17 | 19.15 | | 0.98 | 2061 | 2060 | 3066 | 3065 | 3068 | 3067 | 1126 | | | 103 |
| Ser | 100 | 55.35 | 18.03 | | | | 0.21 | 2252 | 2253 | | | | | | | | 91 |
| Lys | 101 | | | | | | | | | | | | | | | | |
| Pro | 102 | | | | | | | | | | | | | | | | |
| Val | 103 | 60.66 | 67.72 | 62.82 | 33.58 | | 1.12 | | 2006 | 3244 | 3248 | 3243 | 3247 | 1166 | < | 1165 | 3 |
| Thr | 104 | 55.87 | 32.53 | 61.59 | 69.39 | 4.09 | 1.98 | 2225 | 2226 | 3218 | 3217 | 3219 | 3216 | 1021 | | 1020 | 120 |
| Phe | 105 | 60.24 | 69.93 | 56.02 | 42.42 | 3.37 | 2.200 | 2077 | 2078 | 3313 | 3314 | 3312 | 3315 | 1103 | | 1104 | 35 |
| Glu | 106 | 55.33 | 42.18 | 55.63 | 30.59 | 3.81 | 0.9 | 2097 | 2098 | 3089 | | 3091 | 3090 | | | | 33 |
| Val | 107 | 55.33 | 30.41 | 60.66 | 34.49 | 4.400 | 1.750 | 2034 | 2033 | 3021 | 3022 | 3023 | 3024 | 1141 | | 1140 | 15 |
| Val | 108 | 60.39 | 34.36 | 63.44 | | | 1.370 | 2056 | 2057 | | 3073 | | 3074 | 1133 | < | 1132 | 20 |
| Leu | 109 | 60.10 | 35.16 | 54.24 | 41.30 | 4.080 | 1.760 | 2038 | 2037 | 3054 | 3053 | 3055 | 3056 | 1145 | | 1146 | 16 |
| Lys | 110 | 54.02 | 41.23 | 55.69 | 31.23 | 3.800 | 1.180 | 2026 | 2025 | 3013 | | 3016 | 3015 | 1154 | | 1153 | 135 |
| Ala | 111 | 55.67 | 31.02 | 51.89 | 21.38 | 3.770 | 1.660 | 2189 | 2188 | 3215 | 3213 | 3214 | | | | 1043 | 65 |
| Ile | 112 | 51.83 | 21.41 | 60.94 | 40.44 | 4.470 | 2.490 | 2165 | 2166 | 3160 | 3161 | 3162 | 3163 | 1060 | | 1059 | 59 |
| Lys | 113 | 60.81 | 40.28 | 57.79 | 33.75 | | 1.900 | 2002 | 2001 | 3241 | 3242 | 3239 | 3240 | 1167 | | 1168 | 122 |
| stat | --- | 98 | 90 | 92 | 75 | 86 | | 90 | 88 | 81 | 82 | 75 | 76 | 86 | 86 | 79 | 98 |

Tabelle 5-25 Automatisches Assignment "cont02", Teil 2

| ID | AS | Konkurrierende Spisensysteme | Stufe1 Fast | Zugewiesene HNCO ID | | | | | Stufe3 Fast3 | Manuell Vor | Nach |
|----|-----|------------------------------|-------------|---------------------|-------|--------------|-------|-------|--------------|-------------|------|
| | | | | Cont1 | Cont2 | Stufe2 Fast2 | Cont3 | Cont4 | | | |
| 1 | Met | | | | | | | | | | |
| 2 | Arg | | | | | | | | | | |
| 3 | Gly | | | | | | | | | | |
| 4 | Ser | | | | | | | | | | |
| 5 | His | | | | | | | | | | |
| 6 | His | | | | | | | | | | |
| 7 | His | | | | | | | | | | |
| 8 | His | 47 | | | | | 47 | | | | |
| 9 | His | 47 | | | | | | | | | |
| 10 | His | 200, 111 | | | | 200 | | | | | |
| 11 | Gly | 134, 200 | | | | 134 | | | | | |
| 12 | Ser | 30, 31 | | | | 30 | | | | | |
| 13 | Glu | | | | | 30 | | | | 30 | |
| 14 | Lys | 55, 101, 101a, 130 | | | | 55 | | | | 101 a | |
| 15 | Leu | 12, 16, 23, 123 | | | | 23 | | | | | |
| 16 | Ala | 34, 103 | | | | 34 | | | | 103 | |
| 17 | Lys | 46, 201 | | | | 46 | | | | 201 | |
| 18 | Thr | 36, 120 | | | | 201 | | | | 120 | |
| 19 | Lys | 3, 25, 101 b, 125 | | | | 25 | | | | 101 b | |
| 20 | Ser | 111, 123, 200 | | | | 111 | | | | 200 | |
| 21 | Thr | | | | | 77 | | | | 77 | |
| 22 | Met | 25, 125 | | | | 25 | | | | 25 | |
| 23 | Val | 15, 55, 112 | | | | 15 | | | | 112 | |
| 24 | Asp | 16, 23 | | | | 23 | | | | 23 | |
| 25 | Val | 49, 51 | | | | 51 | | | | 51 | |
| 26 | Ser | | | | | 127 | | | | 127 | |
| 27 | Asp | | | | | 41 | | | | 41 | |
| 28 | Lys | | | | | 44 | | | | 44 | |
| 29 | Lys | | | | | 37 | | | | 37 | |
| 30 | Leu | | | | | 27 | | | | 27 | |
| 31 | Ala | | | | | 2 | | | | 2 | |
| 32 | Asn | | | | | 119 | | | | 119 | |
| 33 | Gly | | | | | 83 | | | | 83 | |
| 34 | Asp | | | | | 106 | | | | 106 | |
| 35 | lle | | | | | 116 | | | | 116 | |
| 36 | Ala | | | | | 7 | | | | 7 | |
| 37 | lle | | | | | 48 | | | | 48 | |
| 38 | lle | | | | | 131 | | | | 131 | |
| 39 | Asp | | | | | 117 | | | | 117 | |
| 40 | Phe | | | | | 84 | | | | 84 | |
| 41 | Thr | | | | | 63 | | | | 63 | |
| 42 | Gly | | | | | 68 | | | | 68 | |
| 43 | lle | | | | | 21 | | | | 21 | |
| 44 | Val | | | | | 98 | | | | 98 | |
| 45 | Asp | | | | | 96 | | | | 96 | |
| 46 | Asn | | | | | 109 | | | | 109 | |
| 47 | Lys | | | | | 57 | | | | 57 | |
| 48 | Lys | | | | | 28 | | | | 28 | |
| 49 | Leu | 12, 123 | | | | 12 | | | | 12 | |
| 50 | Ala | 103, 109, 126 | | | | 103 | | | | 109 | |
| 51 | Ser | 91, 129 | | | | 91 | | | | 129 | |
| 52 | Ala | | | | | 133 | | | | 133 | |
| 53 | Ser | | | | | 110 | | | | 110 | |
| 54 | Ala | | | | | 124 | | | | 124 | |
| 55 | Gln | | | | | 118 | | | | 118 | |
| 56 | Asn | | | | | 43 | | | | 43 | |
| 57 | Tyr | | | | | 39 | | | | 39 | |
| 58 | Glu | | | | | 102 | | | | 102 | |
| 59 | Leu | | | | | 9 | | | | 9 | |

| ID | AS | Stufe1 Fast | Zugewiesene HNCO ID | | | | | Stufe3 Fast3 | Manuell Vor | Nach |
|-----|-----|-------------|---------------------|-------|--------------|-------|-------|--------------|-------------|------|
| | | | Cont1 | Cont2 | Stufe2 Fast2 | Cont3 | Cont4 | | | |
| 60 | Thr | 34 | | | | | | | | |
| 61 | lle | 3 | | | | | | | | 3 |
| 62 | Gly | 105 | | | | | | | | 105 |
| 63 | Ser | 121 | | | | | | | | 121 |
| 64 | Asn | 128 | | | | | | | | 128 |
| 65 | Ser | 87 | | | | | | | | 87 |
| 66 | Phe | 31 | | | | | | | | 31 |
| 67 | lle | 111 | | | | | | | | 130 |
| 68 | Lys | 99 | | | | | | | | 99 |
| 69 | Gly | 88 | | | | | | | | 88 |
| 70 | Phe | 24 | | | | | | | | 24 |
| 71 | Glu | 108 | | | | | | | | 108 |
| 72 | Thr | 92 | | | | | | | | 92 |
| 73 | Gly | 93 | | | | | | | | 93 |
| 74 | Leu | 64 | | | | | | | | 64 |
| 75 | lle | 72 | | | | | | | | 72 |
| 76 | Ala | 32 | | | | | | | | 32 |
| 77 | Met | 61 | | | | | | | | 61 |
| 78 | Lys | 67 | | | | | | | | 67 |
| 79 | Val | 114 | | | | | | | | 114 |
| 80 | Asn | 107 | | | | | | | | 107 |
| 81 | Gln | 49 | | | | | | | | 49 |
| 82 | Lys | 113 | | | | | | | | 113 |
| 83 | Lys | 18 | | | | | | | | 18 |
| 84 | Thr | 56 | | | | | | | | 56 |
| 85 | Leu | 17 | | | | | | | | 17 |
| 86 | Ala | 97 | | | | | | | | 97 |
| 87 | Leu | 104 | | | | | | | | 104 |
| 88 | Thr | 86 | | | | | | | | 86 |
| 89 | Phe | 100 | | | | | | | | 100 |
| 90 | Pro | 115 | | | | | | | | -P- |
| 91 | Ser | 74 | | | | | | | | 115 |
| 92 | Asp | 132 | | | | | | | | 74 |
| 93 | Tyr | 47 | | | | | | | | 132 |
| 94 | His | 55 | | | | | | | | 134 |
| 95 | Val | 112 | | | | | | | | 112 |
| 96 | Lys | 5 | | | | | | | | 5 |
| 97 | Glu | 60 | | | | | | | | 60 |
| 98 | Leu | 70 | | | | | | | | 70 |
| 99 | Gln | 126 | | | | | | | | 126 |
| 100 | Ser | 129 | | | | | | | | 129 |
| 101 | Lys | 133 | | | | | | | | 133 |
| 102 | Pro | 46 | | | | | | | | -P- |
| 103 | Val | 3 | | | | | | | | 46 |
| 104 | Thr | 36 | | | | | | | | 36 |
| 105 | Phe | 35 | | | | | | | | 35 |
| 106 | Glu | 33 | | | | | | | | 33 |
| 107 | Val | 15 | | | | | | | | 15 |
| 108 | Val | 20 | | | | | | | | 20 |
| 109 | Leu | 16 | | | | | | | | 16 |
| 110 | Lys | 135 | | | | | | | | 135 |
| 111 | Ala | 65 | | | | | | | | 65 |
| 112 | lle | 59 | | | | | | | | 59 |
| 113 | Lys | 122 | | | | | | | | 122 |

Tabelle 5-26 Übersicht der Endzustände. Grüne Felder im automatischen Assignment markieren Unterschiede zur manuellen Zuweisung. Hellblaue Felder in der manuellen Zuweisung markieren Verbesserungen, die während des Vergleichs mit den automatischen Zuweisungen gefunden wurden.

5.3.3 Vergleich der Endzustände

Die berechneten Lösungen weisen alle mehr Aminosäurepositionen zu als im manuellen Assignment benutzt werden. Außerdem nutzen sie mehr Spinsysteme und Peaks.

| | Manuell | | Stufe 1 | | | Stufe 2 | | Stufe 3 | |
|---|---------|---------|---------|--------|--------|---------|--------|---------|--------|
| | Vorher | Nachher | fast01 | cont01 | cont02 | fast02 | cont03 | fast03 | cont04 |
| Q | 430,436 | 467,243 | 473,32 | 465,99 | 481,27 | 482,56 | 489,56 | 482,23 | 491,86 |
| zugewiesene AS | 89 | 93 | 95 | 98 | 98 | 96 | 99 | 97 | 99 |
| entstehende Links | 70 | 79 | 81 | 80 | 86 | 84 | 87 | 84 | 89 |
| erklärte Peaks | 585 | 602 | 612 | 615 | 615 | 616 | 621 | 617 | 625 |
| ungenutzte Spinsysteme | 14 | 9 | 6 | 3 | 3 | 5 | 2 | 4 | 2 |
| Anz. erfüllte Regeln | 475 | 502 | 510 | 524 | 529 | 524 | 517 | 517 | 527 |
| gleiches Spinsystem mit "Nachher" ? | 107 | (alle) | 99 | 100 | 94 | 95 | 91 | 103 | 98 |
| Laufzeit | | | | | | | | | |
| parallele Zeit [min] | | | 17 | 22 | 13 | 19 | 10 | na | 25 |
| lineare Zeit [min] | | | 572 | 713 | 409 | 619 | 321 | na | 803 |
| genetische Zyklen | | | 36 | 34 | 21 | 39 | 15 | na | 35 |
| minimum Loops | | | 85592 | 102662 | 52076 | 112196 | 54476 | na | 125558 |
| maximum Loops | | | 89453 | 114059 | 63095 | 123668 | 63858 | na | 135108 |
| Cache | | | | | | | | | |
| Cachegröße | | | 20449 | 24964 | 24964 | 21609 | 26244 | na | 26244 |
| ungültige Kombinationen (LINKS) | | | 5530 | 20355 | 18161 | 5855 | 18015 | na | 20642 |
| gültige + gesehene Kombinationen (LINKS) | | | 1598 | 918 | 2235 | 1654 | 2182 | na | 2636 |

Tabelle 5-27 Statistische Daten aller Optimierungsstufen. Für "fast03" sind nur noch die Daten der Zuweisung vorhanden. Für die manuellen Zuweisungen können die statistischen Parameter des genetischen Algorithmus nicht ermittelt werden. "Loops" ist die Zyklenzahl in RANDOM.

5.3.3.1 Konstante Bereiche

Alle Zuweisungen stimmen in vier konstanten Bereichen überein. Der längste Bereich erstreckt sich vom Ende des unsicheren Anfangsbereich AS 25 bis zu den manuell nicht zugewiesenen AS 50 und 51. Dahinter folgt ein kleiner Bereich von AS 53 bis 59. Der dritte Bereich erstreckt sich von AS 68 bis AS 87. Der Unterschied an Position 87 beruht auf einer zusätzlich eingefügten Peakgruppe (CB bei 45 ppm). Wenn man diesen Unterschied vernachlässigt, reicht der übereinstimmende Bereich sogar bis Tyr 93, d.h. über

das Prolin 90 hinaus. Danach folgt ein Bereich von 13 Aminosäuren in dem 11 Aminosäuren unterschiedlich zugewiesen wurden.

Der C-Terminus wird ab Val 107 wieder gleich zugewiesen und ist in allen Zuweisungen konstant.

5.3.3.2 Unterschiede

Die Endzustände fast01 bis cont04 unterscheiden sich auffälligerweise in denselben Bereichen. Der His-Tag AS 1–11 bleibt in allen, bis auf die Zustände der dritten Stufe, frei. Selbst in der dritten Stufe werden nur je eine der AS 9 bis 10 belegt.

Der anschließende Bereich bis einschließlich AS24 variiert stark. Von Stufe 1 zu Stufe 3 enthält dieser Bereich zunehmend fest zugewiesene Spinsysteme, die mit dem manuellen Assignment übereinstimmen.

Der zweite Bereich mit Veränderungen betrifft die Umgebung des Prolins 102 (AS 94 bis 103).

Dazwischen liegen drei kleine Stellen aus einzelnen Zuweisungen, die sich von der manuellen Zuweisung unterscheiden. Der Bereich Ala 50 + Ser 51 ist manuell nicht zugewiesen. Da alle automatischen Zuweisungen, bis auf fast01, diesen Bereich belegen und mit den benachbarten AS verknüpft sind, verschiebt das alle anderen Zuweisungen.

In Stufe 2 wurden die Spinsysteme des BP 201 in den AS-Cache eingeführt. Diese Verbesserung führt zu einer Kaskade von Veränderungen, die 12 weitere Spinsysteme verschiebt. Diese Veränderungen von Stufe 1 zu Stufe 2 sind in Tabelle 5–28 dokumentiert.

Die manuell zugewiesenen Spinsysteme waren in vier Fällen nicht in einer der automatischen Lösungen vertreten. Glu 106 wird konstant mit BP33 erklärt und ist gut mit den Nachbarn verknüpft. Thr 60 hat im manuellen Assignment den Basispeak von Glu 106. Da dieser konstant Glu 106 zugewiesen wird, kann Thr 60 nicht zugewiesen werden. Lys 19 und Ser 20 liegen im unsicheren Anfangsbereich. Ser 20 ist manuell nicht zugewiesen. Lys 19 ist manuell mit dem gespaltenen Spinsystem 101B belegt. Diese Aufspaltung wurde im automatischen Assignment nicht nachgebildet.

| AS | AS Nr. | BP neu in Stufe 2 | BP ehem. in Stufe 1 | verschoben zum AS Nr. |
|-----|--------|-------------------|---------------------|-----------------------|
| Lys | 17 | 201 | 46 | 103 |
| Val | 103 | 46 | 3 | 61 |
| Ile | 61 | 3 | 101 | 107 |
| Val | 107 | 101 | 15 | 23 |
| Val | 23 | 15 | 112 | 95 |
| Val | 95 | 112 | 55 | 14 |
| Lys | 14 | 55 | 130 | 67 |
| Ile | 67 | 130 | 111 | 20 |
| Ser | 20 | 111 | 123 | 49 |
| Leu | 49 | 123 | 12 | 109 |
| Leu | 109 | 12 | 16 | 24 |
| Asp | 24 | 16 | 23 | 15 |
| Leu | 15 | 23 | - | - |

Tabelle 5-28 Veränderung des Endzustandes durch das neue Spinsystem BP201 in der Stufe 2 **cont03**.

| AS | i | Link zu i+1? | hinc CO-1 CONT02 | Link zu i+1? | hinc CO-1 Manuell | Cont02 BP in manuellem Assignment | Manueller BP in ont02 | Kommentar |
|-----|-----|--------------|---------------------|--------------|----------------------|---|--------------------------|--|
| Ser | 12 | Y | 200 | | | --U-- | -- | |
| Glu | 13 | Y | 31 | | 30 | Phe 66 | ---U-- | |
| Lys | 14 | | 130 | | | Ile 67 | -- | |
| Leu | 15 | | | | | | | |
| Ala | 16 | Y | 34 | Y | 103 | | Glu 99 | |
| Lys | 17 | Y | 46 | Y | 201 | Val 103 | ---U-- | aber p201 in Stufe 2 ff. |
| Thr | 18 | Y | 36 | - | 120 | Thr 104 | Thr 104 | -- Paar |
| Lys | 19 | Y | 125 | | 101 | | Ile 61 | |
| Ser | 20 | - | 123 | | | | ---U-- | |
| | | | | | | | | |
| Ala | 50 | Y | 126 | | | Glu 99 | -- | |
| Ser | 51 | Y | 129 | | | Ser 100 | -- | |
| | | | | | | | | |
| Leu | 59 | - | 9 | Y | 9 | Leu 59 | Leu 59 | verändertes Spinsystem, da Peaks getauscht + anders gelinkt. |
| Thr | 60 | Y | 30 | - | 33 | Glu 13 | Glu 106 | |
| Ile | 61 | Y | 101 | - | 3 | Lys 19 | Val 103 | |
| | | | | | | | | |
| Phe | 66 | Y | 47 | Y | 31 | Lys 101 | Glu 13 | |
| Ile | 67 | Y | 111 | - | 130 | | Lys 14 | |
| | | | | | | | | |
| Gln | 99 | - | 103 | Y | 126 | Ala 16 | Ala 50 | |
| Ser | 100 | - | 91 | Y | 129 | | Ser 51 | |
| Lys | 101 | | | - | 47 | | Phe 66 | |
| Pro | 102 | | | | | | | |
| Val | 103 | - | 3 | Y | 46 | Ile 61 | Lys 17 | |
| Thr | 104 | Y | 120 | Y | 36 | Thr 18 | Thr 18 | -- Paar |
| Phe | 105 | Y | 35 | | 35 | ---I-- | ---I-- | ---- identisch |

Tabelle 5-29 Bereiche mit unterschiedlicher Zuweisung im korrigierten manuellen und dem **cont02** Endzustand.

Abbildung 5–2 (auf den drei folgenden Seiten)

Gegenüberstellung der HN / N–Projektionen mit allen Peaks und nur mit den nicht genutzten Peaks in Trigger für cont01. Links sind die Peaks aus allen Experimenten in der HN/N. Rechts sind nur die Peaks dargestellt, die nicht im Assignment verwendet wurden.

Die Herkunft der Peaks aus den Peaklisten ist in der Peakform kodiert.

| | |
|-----------|-------------|
| Ovale | HNCO, |
| Dreiecke | HNCA, |
| Rechtecke | CBCANH, |
| Rhomben | CBCA(CO)NH. |

Die HNCO Peak Identifikationsnummern sind blau.

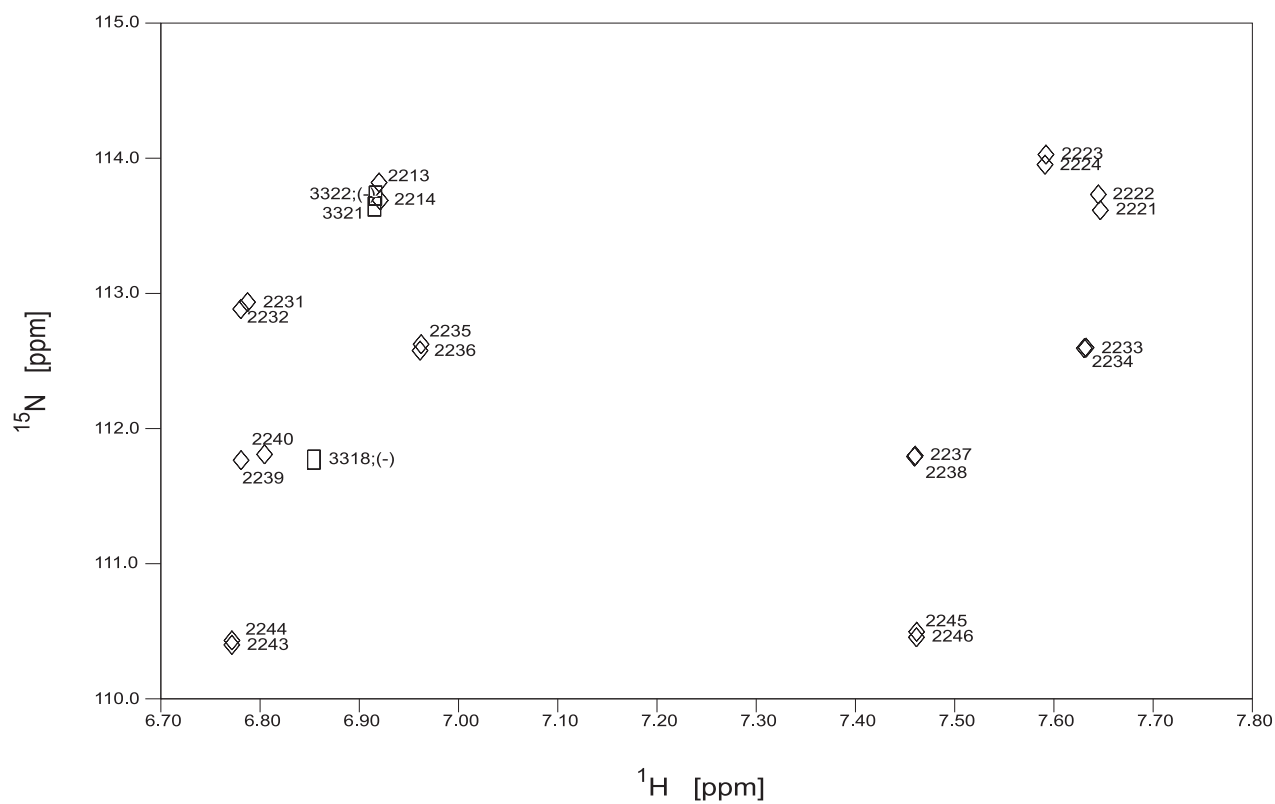
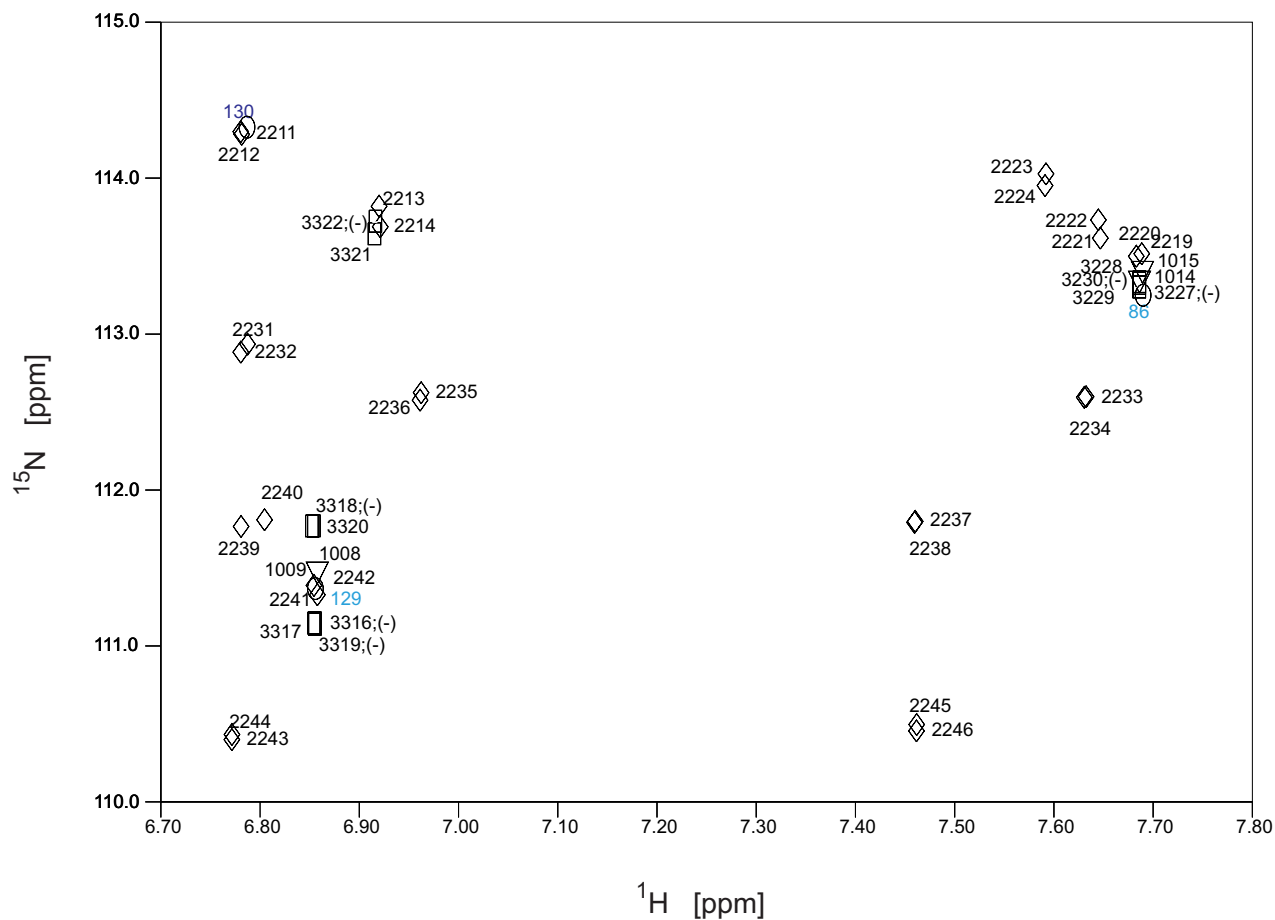


Abbildung 5-2 a) Der Bereich von ¹⁵N [110.0 ppm – 115.0 ppm] und NH [6.7 ppm – 7.8 ppm].

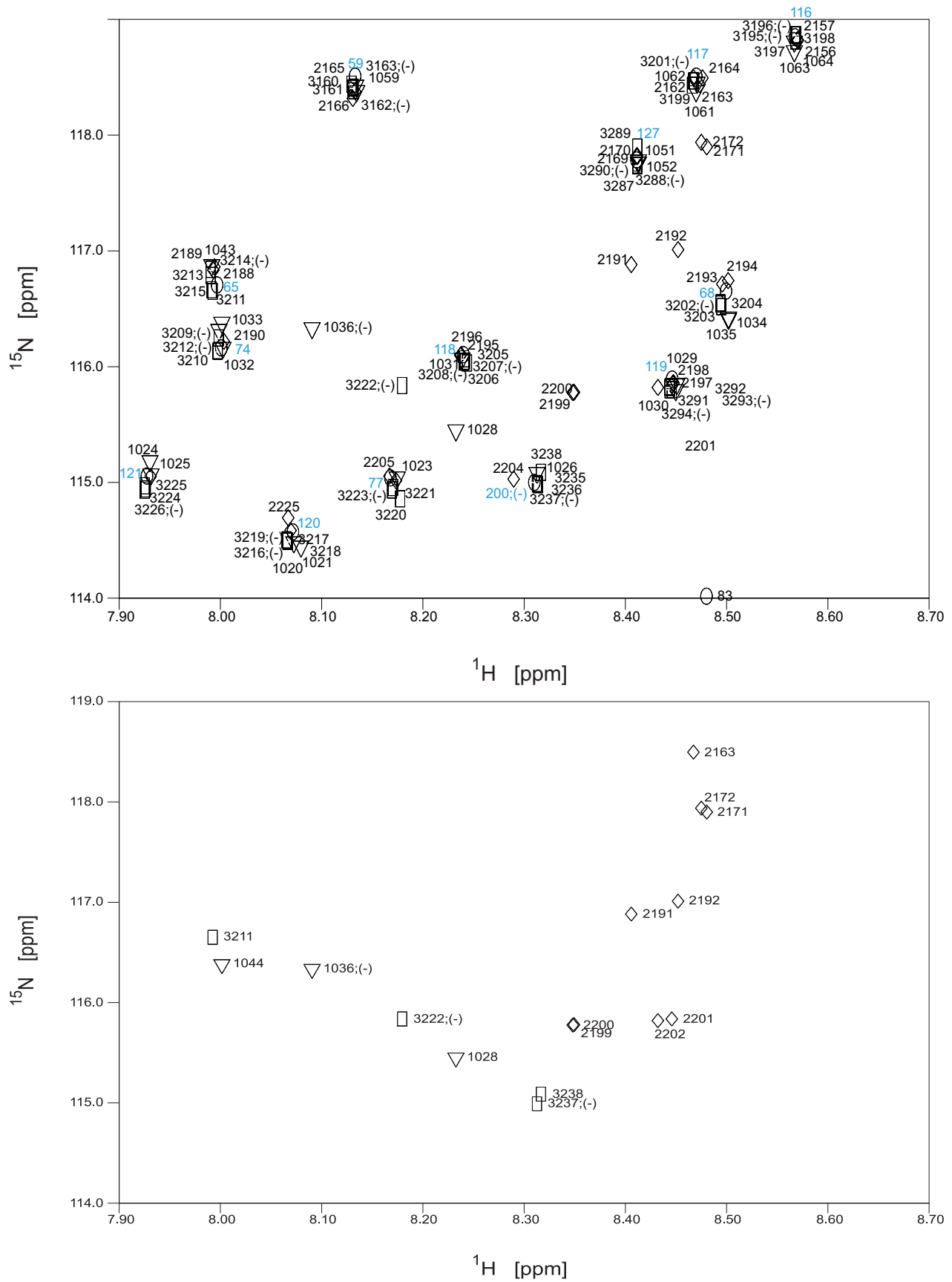


Abbildung 5–2 b) Der Bereich von ^{15}N [114.0 ppm – 119.0 ppm] und NH [7.9 ppm – 8.7 ppm].

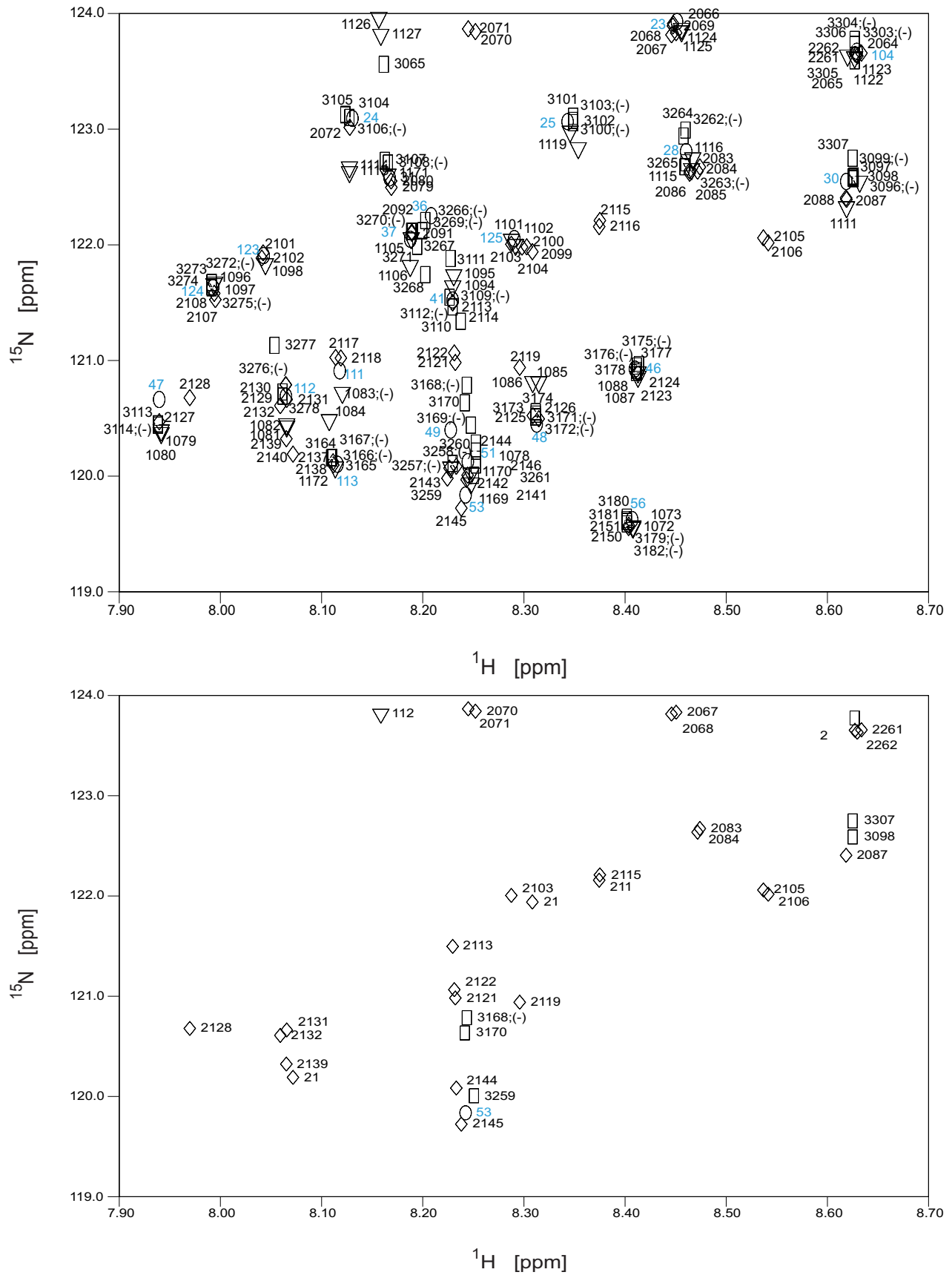


Abbildung 5–2 c) Der Bereich von ^{15}N [119.0 ppm – 124.0 ppm] und NH [7.9 ppm – 8.7 ppm].

5.3.3.3 Ungenutzte Peaks

Alle Zuweisungen nutzen nur einen Teil der gepickten Peaks. Die ungenutzten Peaks wurden für **cont02** in der H/N Ebene dargestellt und die Plots auf ungenutzte Spinsysteme untersucht. Für das manuelle Assignment können diese Plots prinzipbedingt nicht erstellt werden. Um dennoch Vergleiche zwischen manuellem und automatischem Assignment ziehen zu können, wurde eine spezielle Konfiguration des AS-Caches erstellt, mit der man das manuelle Assignment nachvollziehen kann.

Dazu wurden jeder Aminosäure alle Protospinsysteme des Basispeaks zugewiesen, der im manuellen Assignment zugewiesen war. Wenn für einen Basispeak mehrere Protospinsysteme möglich sind, wurden alle zugewiesen. Diese Konfiguration wurde dann von RANDOM mit dem Profil "exchangeOnly" optimiert. Dabei werden die Protospinsysteme auf ihre Nachbarn abgestimmt und die optimale Nachbarschaftskombination ausgewählt. Die entstehende Lösung sollte dem manuellen Assignmentsergebnis sehr nahe kommen. Möglicherweise unterscheiden sie sich in einigen n-BP Peaks. Da während des manuellen Assignments keine Dokumentation für die Verwendung der einzelnen Peaks erzeugt wird, kann der eventuell vorhandene Unterschied nicht festgestellt werden.

| Konfiguration | Summe | BP | n-BP | n-BP ohne BP | HNCA | CBCANH | CBCA(CO)NH |
|---------------------|-------|----|------|--------------|------|--------|------------|
| Manuell Vor | 169 | 14 | 165 | 78 | 17 | 39 | 97 |
| Manuell Nach | 146 | 10 | 136 | 74 | 14 | 30 | 91 |
| fast01 | 123 | 6 | 122 | 70 | 6 | 28 | 87 |
| cont01 | 119 | 3 | 116 | 67 | 6 | 28 | 81 |
| cont02 | 119 | 3 | 116 | 67 | 6 | 28 | 81 |
| fast02 | 128 | 5 | 118 | 69 | 6 | 24 | 87 |
| cont03 | 114 | 2 | 112 | 66 | 6 | 24 | 81 |
| fast03 | 118 | 4 | 114 | 68 | 7 | 21 | 85 |
| cont04 | 111 | 2 | 109 | 66 | 5 | 21 | 81 |

Tabelle 5-31 Anzahl der Peaks, die in den Lösungen nicht benutzt wurden. BP = Basispeak. n-BP = nicht-Basispeak, "ohne BP" = n-BPs die nicht in der Nähe eines Basispeaks sind.

Bei der Analyse der Spinsysteme ohne Basispeak wurden 4 Spinsysteme gefunden und mit virtuellen Basispeaks verbunden. Bei der nachträglichen Untersuchung der ungenutzten Peaks wurden keine zusätzlichen Spinsysteme gefunden. Die verbleibenden Peakgruppen passen weder zu einem bestehenden Spinsystem, noch kann man aus ihnen ein akzeptables neues Spinsystem bilden. Auffällig ist die große Anzahl ungenutzter CBCA(CO)NH Peakpaare, die aber der höheren Empfindlichkeit des Spektrums entspricht. Tabelle 5-31 schlüsselt die ungenutzten Peaks nach Experiment und Basispeaks auf. Die "cont xx" Rechnungen benutzen erkennbar mehr Peaks als die "fast xx" Rechnungen, da sie durch die fehlende AS-Typeninformation, die Protospinsysteme freier verteilen können.

Abbildung 5-2 a)– c) stellen die Verteilung der gepickten Peaks und der ungenutzten Peaks in ausgewählten Ausschnitten des Spektrums für "**cont01**" dar. Oben ist die Projektion aller Peaks auf die HN/N Ebene dargestellt, darunter der selbe Ausschnitt mit den ungenutzten Peaks. In Abbildung 5-2 c) ist das ungenutzte Protospinsystem BP53 zu erkennen.

5.3.4 Fazit

Das automatische Assignment erreicht die Qualität des manuellen Assignments. Ein nicht zu unterschätzender Vorteil des automatischen Assignments ist die automatisch entstehende Dokumentation über die Verwendung der Peaks.

Die Differenzen zwischen automatischem und manuellem Assignment spiegeln die Unsicherheiten im Datenmaterial wieder. Bereiche, bei denen das automatische Assignment mehrere Lösungen findet, sind auch im manuellen Assignment unsichere Bereiche.

Kapitel 6 Zusammenfassung und Ausblick

In der vorliegenden Arbeit wurde ein neuer Algorithmus für die automatische Optimierung einer NMR-Zuweisung des *back bones* in gelabelten Proteinen und seine Implementierung vorgestellt.

Der Algorithmus ermöglicht eine Zuweisungsstrategie, die sich näher an der manuellen Vorgehensweise orientiert als vergleichbare Implementierungen von Lukin (LUK¹¹) [Lukin97] oder Leutner (PASTA) [Leutner98], da er die Entscheidung über konkurrierende Protospinsysteminterpretationen in die globale Optimierung der Zuweisung verlegt und die Benutzer nicht zwingt, sich vorzeitig auf eine Interpretation pro Aminosäure und Peak zu beschränken. Der Algorithmus löst daher nicht nur das Reihenfolgenproblem für einen schon vorgegebenen Satz von Protospinsystemen, sondern auch das Auswahlproblem zwischen verschiedenen, sich widersprechenden, Interpretationen der gleichen Peakgruppe.

Durch das zusätzliche Auswahlproblem erhöht sich die Komplexität der Optimierungsaufgabe, der Lösungsraum wächst daher um mehrere Größenordnungen. Dies verlängert die Laufzeit für den einfachen RANDOM Algorithmus gegenüber einem vergleichbaren Reihenfolgeproblem. Es wurden daher verschiedene Methoden untersucht, um die Laufzeit wieder zu reduzieren. Die erzielten Verbesserungen führen nicht nur zu einer besseren Konvergenz, sondern ermöglichen auch erstmals eine echte parallele Implementierung des Algorithmus.

Die algorithmischen Verbesserungen sind die Reduktion des Protospinsystemcaches und der GENETISCHe Algorithmus. Zusätzlich wurde eine verbesserte Konfiguration zur Kontrolle der Suboptimierer gefunden.

Die Implementierung der zugrundeliegenden Datenstrukturen ermöglicht die Umsetzung zusätzlicher Nebenbedingungen für die Positionen der Protospinsysteme innerhalb der Zuweisung. Ein Beispiel für die Nebenbedingungen sind die knotenlokalen Filter und die Strukturfilter aus Kapitel 2. Ihre Effizienz wird am besten durch die Aminosäuretypenerkennung demonstriert, die die Größe des Lösungsraumes um 168 Größenordnungen für Trigger reduziert. Dadurch verringert sich die Laufzeit des RANDOM Algorithmus bis zu einem Faktor von 132. Für PASTA wurde in [Leutner98] statt dessen der umgekehrte Effekt auf die Laufzeit festgestellt. In ihrer Implementierung verlängert sich die Laufzeit auf das Doppelte. Der Unterschied kann nur durch eine unterschiedliche Nutzung der Aminosäuretypenerkennung im Protospinsystempool erklärt werden. PASTA nutzt diese Information anscheinend nicht, um den Pool und damit den Lösungsraum zu reduzieren, sondern nur bei der Bewertung der Zuweisung. Diese Konfiguration kann in RANDOM näherungsweise nachvollzogen werden, wenn man im AS-Cache jeder Aminosäure jedes Protospinsystem

11 Lukin et al. geben ihrem Programm selbst keinen Namen. Die Bezeichnung LUK ist daher rein willkürlich gewählt.

zuweist. Die Bewertung der Aminosäuretypen und den Austausch zwischen Pool und Individuum kann man aber nicht abschalten.

Ein möglicher Nachteil der Reduktion des AS-Caches mittels der Aminosäuretypenerkennung ist die Möglichkeit, daß Aminosäuren mit untypischen Frequenzen der falschen Aminosäure zugewiesen werden oder nicht in den Cache für die theoretische Aminosäure aufgenommen werden. Um eine falsche Zuweisung durch die Reduktion auszuschließen oder zu überprüfen, kann man zuerst mit einem AS-Cache mit Typenerkennung optimieren und das Ergebnis in einer zweiten Optimierung mit einem AS-Cache ohne Typenerkennung nachoptimieren. Diese Möglichkeit wurde bei der Zuweisung von Trigger demonstriert.

Für Trigger konnte durch den Wechsel des Caches gezeigt werden, daß auch mit dem reduzierten Cache eine stabile Zuweisung gefunden wird, die der Zuweisung ohne Aminosäuretypenerkennung weitgehend entspricht. Die Zuweisungen unterscheiden sich in Aminosäuren mit unsicherer Typenzuweisung. In Trigger wird nur ein Protospinsystem (Phe66,Ile67) aufgrund der Typeninformation von der Position im AS-Cache ausgeschlossen, der es in der manuellen und der Zuweisung ohne Reduktion zugewiesen wurde. In anderen Fällen führt erst die Typeninformation zur richtigen Zuweisung (zB. Thr60,Ile61), während die Zuweisung ohne Typenerkennung eine Fehlzuweisung erzeugt. Man sollte daher immer beide Versionen berechnen und dann vergleichen, da eine manuelle Zuweisung beide Defekte aufweisen kann, weil sie die Zuweisungsregeln nicht so strikt optimiert, wie es ein automatischer Algorithmus kann.

Für beide Algorithmen wurde der Parameterraum untersucht und eine sowohl optimale als auch robuste Konfiguration gesucht. Dabei wurde der Einfluß jedes Parameters des Algorithmus auf die Laufzeit bis zur Konvergenz zum globalen theoretischen Maximum bestimmt.

Bei RANDOM waren hauptsächlich die Zusammensetzung des Aktionsprofils und die minimale und maximale Lebenszeit der veränderten Zustände, minTTL und maxTTL, für die Laufzeit entscheidend. Alle drei kontrollieren, welche Pfade durch den Lösungsraum ab einem Zustand erlaubt sind.

Die gleiche Untersuchung wurde auch für die Parameter der zu berechnenden Probleme (Proteine) durchgeführt. Für den Datensatz wurde sowohl der Einfluß der Proteingröße, des maximalen CA Abstandes zwischen den Peaks der benachbarten Aminosäuren und der Aufbereitung des Protospinsystemcaches auf die Laufzeit, als auch der Einfluß eines unvollständigen Datensatzes auf die Konvergenz untersucht. Der Algorithmus zeigte sich dabei sehr robust gegen fehlende Peaks, da bis zu 45% der theoretischen Peaks fehlen können, ohne daß die Konvergenz zum theoretischen Optimum verloren geht. Unterhalb von 55% hängt die Übereinstimmung der gefundenen Lösung mit der theoretischen Lösung von der Zusammensetzung der gebildeten Protospinsystemfragmente ab. Proteingröße und maximaler CA Abstand haben dagegen großen Einfluß auf die Laufzeit.

Während die Parametrisierung des RANDOM Algorithmus sich auf die Untersuchung des Wertebereichs der Kontrollparameter beschränken kann, muß die Parametrisierung des GENETISCHen Algorithmus auch die verschiedenen Crossover Operatoren und die Kontrolle der Suboptimierer umfassen.

In Kapitel 3 wurden die verschiedene Crossover Algorithmen und unterschiedliche Konfigurationsvarianten für den Suboptimierer im GENETISCHen Algorithmus untersucht. Die aus der Literatur bekannten Crossover Operatoren waren dabei den spezialisierten G Operatoren unterlegen. Auch die Varianten *elitär*

und *statistisch*, die keinen genetischen Austausch zwischen verschiedenen Individuen zulassen, waren den speziellen Operatoren immer unterlegen. Selbst kleine Anteile eines Genaustausches bewirkten eine Verbesserung der Laufzeit und die Qualität der Lösung. Dabei verbesserte sich besonders die Konvergenz durch den genetischen Austausch.

Die speziellen G Operatoren übertragen nur die Differenz der Eltern statt, wie im klassischen Crossover, blind irgendeinen zusammenhängenden Bereich zu kopieren. Dadurch vermeiden sie es, hauptsächlich identische Bereiche zu kopieren, sondern übertragen nur Protospinsysteme, die sich in den Eltern unterscheiden.

Außerdem wurde die Effizienz der speziellen Operatoren noch weiter gesteigert, indem die übertragenen Informationen mit Hilfe von Filtern gezielt ausgewählt wurden. Die übertragene Differenz wird dazu aufgrund ihrer Nachbarn und der Verknüpfung mit den Nachbarn ausgewählt. Mit unterschiedlichen Filtern wurden so Bereiche mit einem unterschiedlich hohen lokalen Optimierungsgrad für die Übertragung ausgesucht.

Die Laufzeituntersuchungen in Kapitel 3 zeigen, daß es eine Grenze für die Effizienzsteigerung durch die Übertragung lokal voroptimierter Bereiche gibt. Während es beim Wechsel von unkoordinierten, punktförmigen Übertragungen (s_1) zur Übertragung von kurzen Strecken aus benachbarten Protospinsystemen, mit oder ohne Verknüpfung (s_2), noch zu einer geringen Verbesserung der Laufzeit und der Konvergenz kommt, führt die zusätzliche Koordinierung der übertragenen Nachbarn durch die Nebenbedingung der Verknüpfung in den s_3 Algorithmen sogar zu einer geringen Verschlechterung der Laufzeit. Die Gründe für die Verschlechterung konnten nicht eindeutig nachgewiesen werden.

Möglicherweise verringert sich die Anzahl der kopierbaren Bereiche durch die zusätzlichen Nebenbedingungen so sehr, daß nicht genügend unterschiedliche Differenzen für die Übertragung in die neuen Individuen gebildet werden. Die neuen Individuen erhalten dann hauptsächlich die gleichen neuen Gene. Dadurch kann es zu einer Verarmung des genetischen Pools, d.h. zum Verlust der genetischen Diversität in der Population kommen. Die neuen Individuen suchen dann identische Bereiche im Lösungsraum ab und nehmen dadurch die lokale Optimierung doppelt vor. Dadurch verschwendet diese Konfiguration CPU Zeit auf schon untersuchte Bereiche.

Neben der direkten Übertragung zusammenhängender Bereiche gibt es noch einen weiteren Faktor der die spezialisierten Operatoren, gegenüber dem klassischen Crossover, verbessert. Die Differenzbildung im Crossover nimmt auf die Konkurrenz um die Peaks zwischen den Protospinsystemen keine Rücksicht. Dadurch befinden sich die neuen Individuen zuerst meist im illegalen Teil des Zustandsraumes S^n . Nach dem Crossover wird daher ein Teil der ursprünglichen Protospinsysteme des neuen Individuums durch den Reparaturmechanismus gelöscht und dadurch schon optimierte Bereiche zerstört. Daher kommt dem Reparaturmechanismus für illegale Zustände die entscheidende Rolle zu, denn er erzwingt die Neuberechnung der Positionen, die vor dem Crossover durch einen Konkurrenten eines übertragenen Protospinsystems belegt waren. Die ehemaligen Zuweisungen in den zerstörten Bereichen sind dabei nur über die Ressourcenkonkurrenz mit den im Crossover neu injizierten korreliert. Das Crossover mit Zerstörungen erweitert dadurch den erreichbaren Lösungsraum, statt ihn, wie beim klassischen Crossover, auf den Raum zwischen den Eltern einzuschränken! Die Zerstörungen sind für die Optimierung daher von Vorteil.

Außerdem zeigte sich in Kapitel 3, daß für die speziellen Operatoren eine besondere Konfiguration des Suboptimierers besonders effizient ist, die den einzelnen Individuen nur die CPU-Zeit zuteilt, die sie, effizienter als ihre Konkurrenten, zu einer Verbesserung nutzen können. Diese Verteilung der Rechenzeit wird durch die sogenannte Ratenbegrenzung erreicht. Die veränderlichsten Individuen erhalten dabei die meiste Rechenzeit. Dies sind normalerweise die Individuen, die in einem der letzten genetischen Zyklen neu erzeugt wurden. Sobald ein Individuum in ein tiefes lokales Optimum, d.h. eine Sackgasse, geraten ist, erhält es weniger Rechenzeit, da seine Verbesserungsrate unter den Schwellwert sinkt. Dadurch darf man den einzelnen Individuen eine höhere maximale Laufzeit zuteilen, da sie sie nur nutzen können, wenn sie sich währenddessen verbessern.

Die Kombination "ratenbegrenzt" mit Operator Gs2p2A verbraucht trotz des komplexeren Algorithmus weniger CPU-Zeit bei gesteigerter Konvergenzwahrscheinlichkeit und geringerer paralleler Laufzeit als jede andere Konfiguration. Sie ist damit die beste bekannte Konfiguration für GENETISCH.

Im Praxistest in Kapitel 5 mit dem Proteinabschnitt Trigger M bestanden zwischen den automatischen Zuordnungen und der manuellen Zuweisung nur geringe Unterschiede. Die Unterschiede zwischen den Optimierungen mit unterschiedlichen Caches entstehen hauptsächlich in den Bereichen, die an einem Ende keinen verknüpften Nachbarn haben oder bei denen die manuelle Zuweisung unsicher ist, wie im Bereich 10 – 20. Durch die automatische Zuweisung konnte die manuelle Zuweisung sogar an einigen Stellen vervollständig werden. Sie ist daher einer manuellen Zuweisung gleichwertig. Darüber hinaus entsteht bei der automatischen Zuweisung immer eine Dokumentation über die Verwendung der Peaks, so daß man ungenutzte Spinsysteme leichter finden kann.

Der genetische Algorithmus kann optimal auf einem Netzwerkcluster implementiert werden, daher bietet sich eine echte parallele Implementierung an. GENETISCH braucht dabei keine besondere Hardware, wie Vektorrechner, *shared memory* oder besonders schnelle Netzwerkverbindungen, sondern kann auf einer Gruppe von normalen Rechnern mit einer üblichen Ethernet100 Netzwerkverbindung implementiert werden, da nur zum Austausch der Individuen, bzw. ihrer Differenz, eine Kommunikation zwischen den Rechnern notwendig ist. Dadurch kann die Kommunikation auf wenige KB alle paar Sekunden beschränkt bleiben. GENETISCH sollte außerdem leicht zu skalieren sein, da man die Anzahl der Individuen leicht an größere Probleme anpassen kann. Eine echte parallele Implementierung erlaubt daher sowohl die Rechenzeit für komplexere Probleme auf wenige Minuten zu reduzieren als auch größere und mehrdeutigere Spektren zuzuweisen.

Außerdem kann man die Wahl der Prozessparameter selbst auch dem selben Optimierungsprozeß unterwerfen, der bisher für die Optimierung der Zuweisung verwendet wurde. Dadurch sollte es möglich sein, die Optimierungsparameter, analog dem Profil der Abkühlung im *simulated annealing*, dynamisch an die Phase der Optimierung anzupassen und den Individuen immer die optimalsten Optimierungsparameter zu bieten, ohne diese vorher von Hand suchen zu müssen. Diese Veränderung erfordert aber eine große Anzahl an Individuen und damit die echte parallele Implementierung.

Anhang A Pseudozufallszahlengenerator

Der Pseudozufallszahlengenerator wurde der GNU LibG++ 2.8x entnommen und entspricht dem Additiven Zahlengenerator wie er von Knuth im Volume II von "The Art of Computer Programming" beschrieben wurde. Dieser Generator ist dem Standard UNIX Generator (`random()` und `rand()`) in der Qualität (Zufälligkeit) der generierten Zahlen überlegen. Der folgende Kommentar stammt vom Autor der Implementierung:

```
written by Dirk Grunwald (grunwald@cs.uiuc.edu)
This is an extension of the older implementation of Algorithm M which I previously supplied. The
main difference between this version and the old code are:
```

```
+ Andres searched high & low for good constants for the LCG.
+ there is more bit chopping going on.
```

The following contains his comments.

```
agn@UNH.CS.CMU.EDU sez..
```

The generator below is based on 2 well known methods: Linear Congruential (LCGs) and Additive Congruential generators (ACGs).

The LCG produces the longest possible sequence of 32 bit random numbers, each being unique in that sequence (it has only 32 bits of state). It suffers from 2 problems:

- a) Independence isn't great, that is the (n+1)th number is somewhat related to the preceding one, unlike flipping a coin where knowing the past outcomes dont help to predict the next result.
 - b) Taking parts of a LCG generated number can be quite non-random: for example, looking at only the least significant byte gives a permuted 8-bit counter (that has a period length of only 256). The advantage of an LCA is that it is perfectly uniform when run for the entire period length (and very uniform for smaller sequences too, if the parameters are chosen carefully).
- ACGs have extremely long period lengths and provide good independence. Unfortunately, uniformity isnt not too great. Furthermore, I didn't find any theoretically analysis of ACGs that addresses uniformity.

The RNG given below will return numbers generated by an LCA that are permuted under control of a ACG. 2 permutations take place: the 4 bytes of one LCG generated number are subjected to one of 16 permutations selected by 4 bits of the ACG. The permutation a such that byte of the result may come from each byte of the LCG number. This effectively destroys the structure within a word. Finally, the sequence of such numbers is permuted within a range of 256 numbers. This greatly improves independence.

Algorithm M as described in Knuths "Art of Computer Programming", Vol 2. 1969 chapter 3.2.2 p.32 is used with a linear congruential generator (to get a good uniform distribution) that is permuted with a Fibonacci additive congruential generator to get good independence.

```
Bit, byte, and word distributions were extensively tested and pass Chi-squared test near
perfect scores (>7E8 numbers tested, Uniformity assumption holds with probability > 0.999)
```

```
Run-up tests for on 7E8 numbers confirm independence with probability > 0.97.
```

```
Plotting random points in 2d reveals no apparent structure.
```

```
Autocorrelation on sequences of 5E5 numbers (A(i) = SUM X(n)*X(n-i), i=1..512) results in no
obvious structure (A(i) ~ const).
```

Except for speed and memory requirements, this generator outperforms `random()` for all tests. (`random()` scored rather low on uniformity tests, while independence test differences were less dramatic).

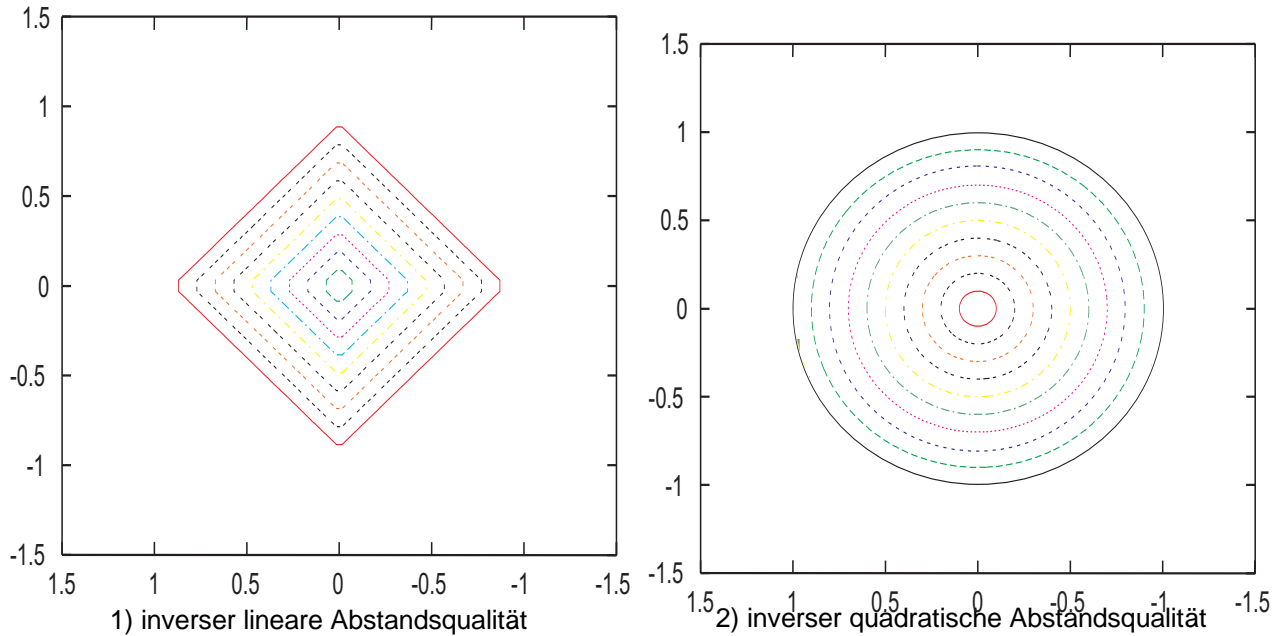
AGN would like to..

```
thanks to M.Mauldin, H.Walker, J.Saxe and M.Molloy for inspiration & help.
```

And I would (DGC) would like to thank Donald Kunth for AGN for letting me use his extensions in this implementation.

Die Implementierung wurde auf die Gleichmäßigkeit der Zahlenverteilung getestet und zeigt keine Auffälligkeiten in der Verteilung der Zufallszahlen.

Anhang B Abstandsfunktionen



Die Abstandsfunktionen müssen Qualitätswerte im Bereich der Fuzzy Logik Wahrheitswerte zurückgeben. Außerdem muß das Maximum der Qualitätsfunktion bei minimalem Abstand liegen.

Daher werden die Distanzfunktionen $f()$ invertiert und auf 1 normiert.

1. inverser lineare Abstandsqualität

$$\begin{aligned}
 f(x_1, x_2, x_{maxDist}) &= \frac{x_{maxDist} - |x_1 - x_2|}{x_{maxDist}} \\
 FI(x_1, y_1, x_2, y_2) &= \max(f(x_1, y_1, x_2, y_2), 0.0) \\
 F(x_1, x_2, y_1, y_2) &= \min(FI(x_1, x_2, x_{maxDist}), FI(y_1, y_2, y_{maxDist}))
 \end{aligned} \tag{B-1}$$

2. inverser quadratische Abstandsqualität

$$\begin{aligned}
 f(x_1, y_1, x_2, y_2) &= \sqrt{\frac{1}{2} \left(\frac{(x_1 - x_2)^2}{x_{maxDist}^2} + \frac{(y_1 - y_2)^2}{y_{maxDist}^2} \right)} \\
 FI(x_1, y_1, x_2, y_2) &= \frac{1 - f(x_1, y_1, x_2, y_2)}{sqrtMax} \\
 F(x_1, y_1, x_2, y_2) &= \max(FI(x_1, y_1, x_2, y_2), 0.0)
 \end{aligned} \tag{B-2}$$

$x_{MaxDist}$: maximaler Abstand für die erste Dimension
 $y_{MaxDist}$: maximaler Abstand für die zweite Dimension
 $maxDist$: das Maximum der $f()$ Funktion

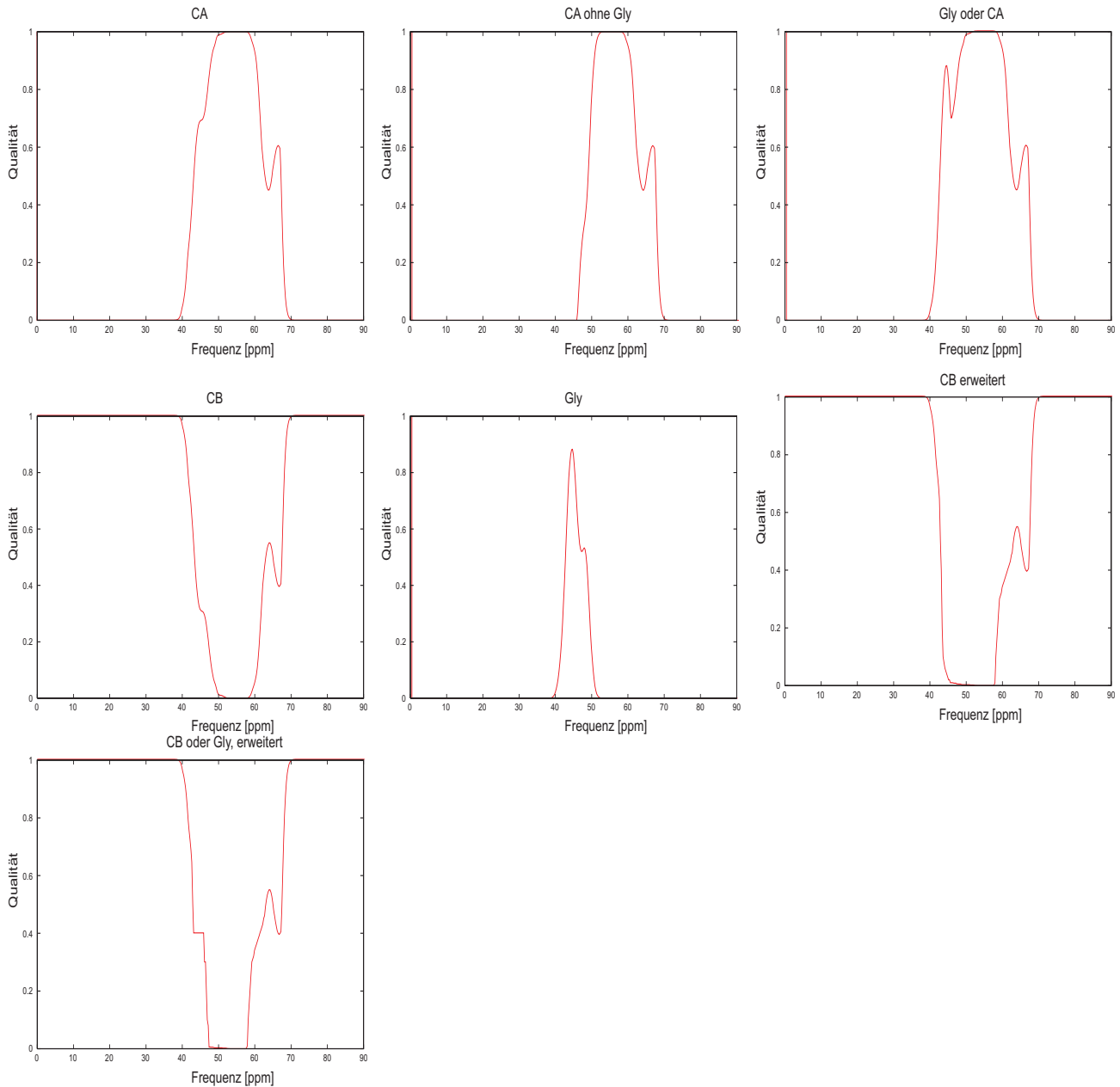
mit

$$\max(x_1, x_2) = \begin{cases} x_1 & x_1 > x_2 \\ x_2 & x_1 \leq x_2 \end{cases} \quad \text{und} \quad \min(x_1, x_2) = \begin{cases} x_1 & x_1 < x_2 \\ x_2 & x_1 \geq x_2 \end{cases} \tag{B-3}$$

Anhang C Aminosäuretypenerkennung

C.1 1D Funktionen für CA und CB

Die Aminosäuretypenerkennung benutzt die Funktionen aus [Grzesiek93] zur Erkennung der CA/CB-Paare. Die 1D Funktionen wurden aus der Grzesiek-Funktion gewonnen, in dem die Wahrscheinlichkeit des CA oder CB Wertes mit einem CB oder CA Wert von 0 ppm berechnet wurde. Danach wurden die Funktionen mit den Frequenzangaben aus [Groß88] und [Wishart91] überprüft und in den Bereichen 59 – 61 ppm und 40 – 45 ppm für CB angehoben. Die Funktionen berechnen die Wahrscheinlichkeit, daß eine Frequenz in diesem Bereich eine CA- oder CB-Frequenz ist.



C.2 2D Funktionen für CA/CB Frequenzpaare

Die 2D Funktionen wurden unverändert aus [Grzeiek93] übernommen. Die folgenden Abbildungen zeigt den Überblick über die gesamte Entscheidungsfunktion unter verschiedenen Vorbedingungen. Konturlevel jeweils bei [0.9,0.7,0.6,0.5,0.1,0.05,0.005,0.001, 0.0005, 0.0001, 0.00001], wenn nicht anders angegeben. Danach folgen die Wahrscheinlichkeitsfunktionen der einzelnen Aminosäuren.

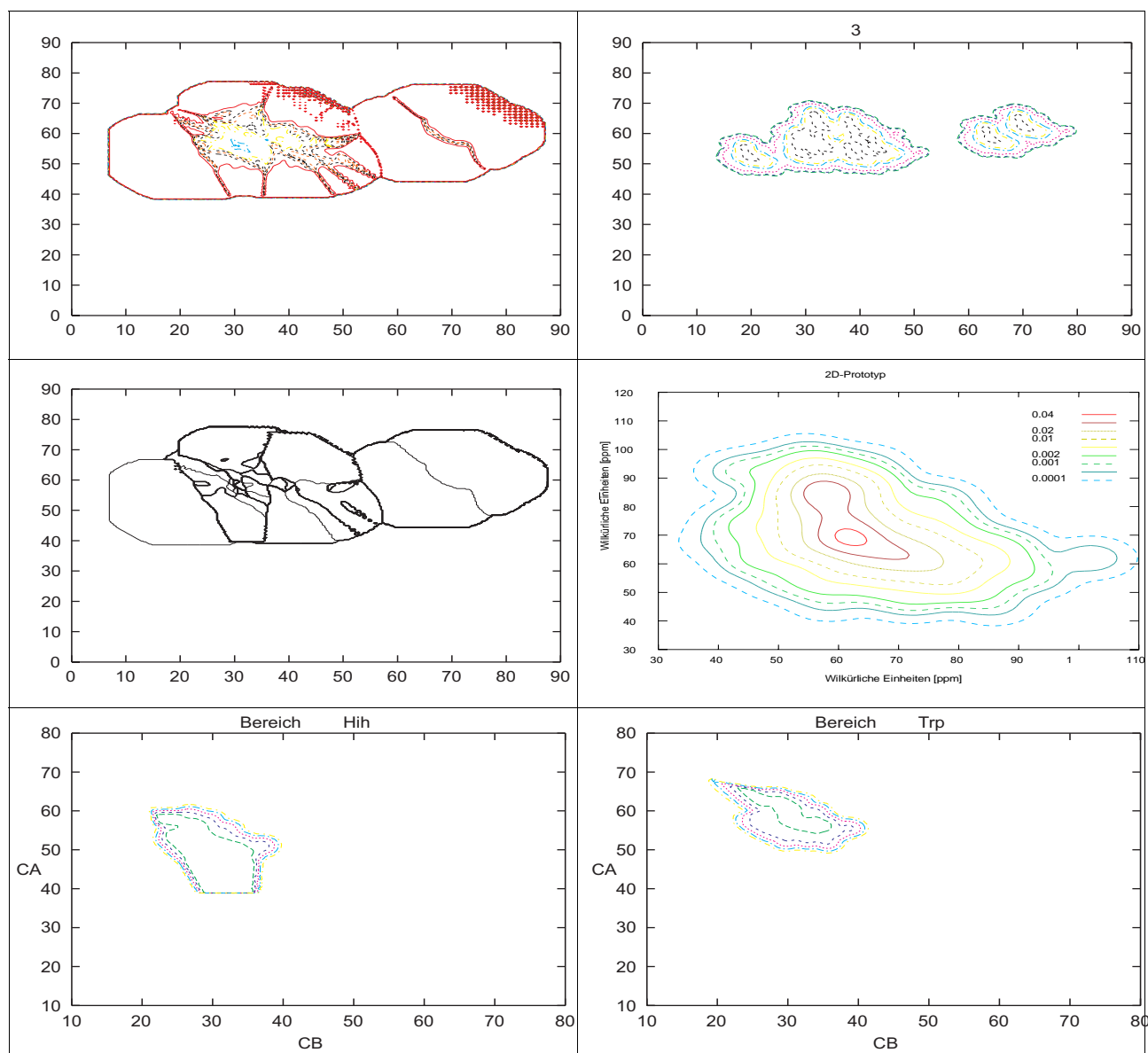
Oben links: Maximale global normierte Wahrscheinlichkeit über alle Aminosäuretypen.

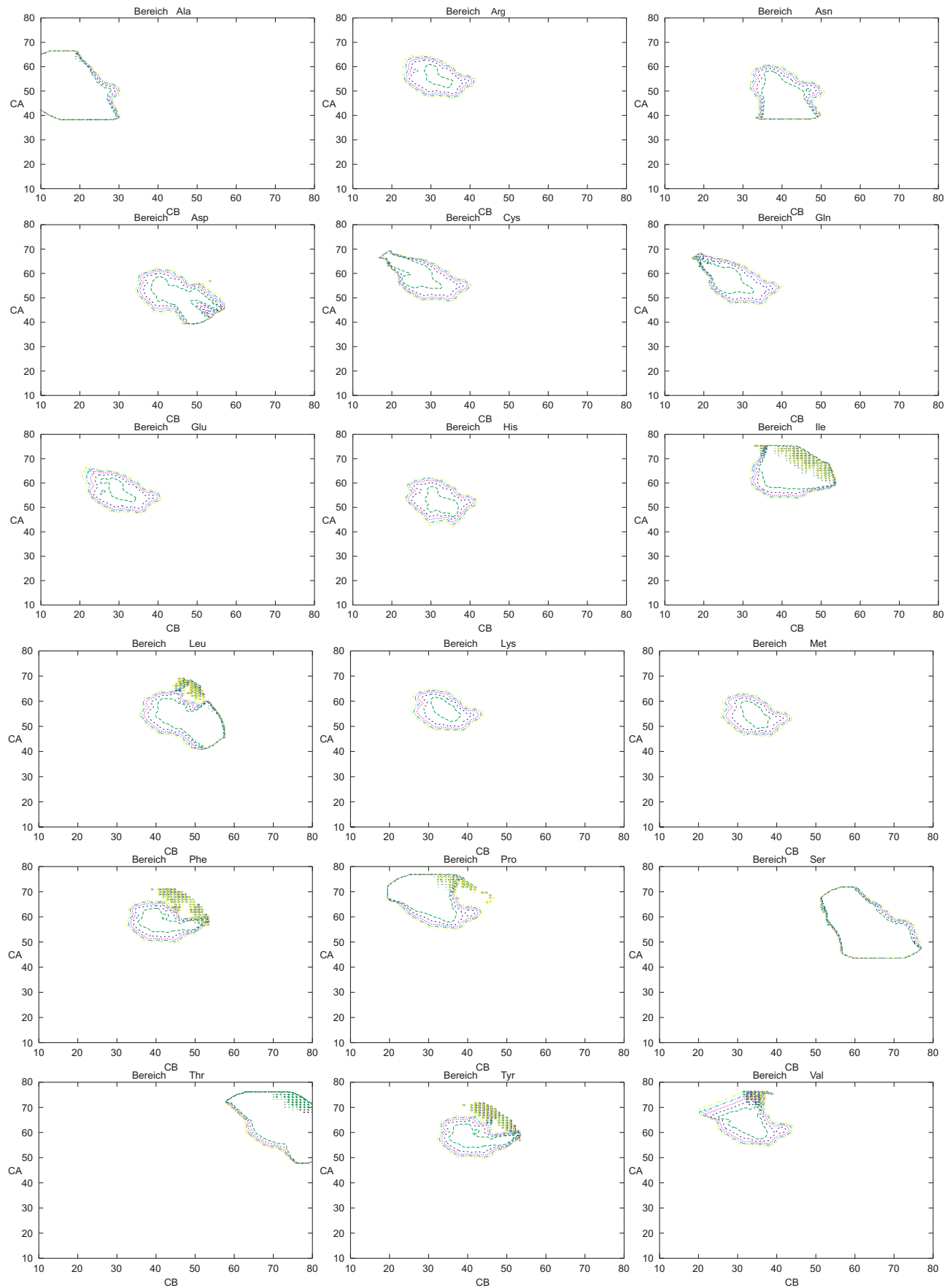
Oben rechts: Die Wahrscheinlichkeit ohne Normierung auf den globalen Maximalwert.

Mitte links: Die Entscheidungsfunktion, die aus der global normierten Wahrscheinlichkeit resultiert.

Mitte rechts: Der 2D-Prototyp für die AS Wahrscheinlichkeitsfunktionen aus [Grzeiek93].

Unten links und rechts und folgende Seite: Die Wahrscheinlichkeiten für die einzelne AS. Hih ist His prototypiert (His+) .





Anhang D Protospinsystemmuster

D.1 Suchmuster für AS-Protospinsysteme

Protospinsystemmuster "completeAS.noSub.wideCB" für die Aminosäureerkennung von XX Nachbarpaaren.

```

// *- c++ *-
// CA intra Verknüpfung, Volumen (HNCA), Vorzeichen CB(+1) in CBCANH
// für Gly (beidseitig), mit Weitem CB
//
// MAKEPATTERN MIN: $condCount - 10
#include "ASContexte.macros.new"

#define CA_SCHWELLE 0.05
#define CB_SCHWELLE 0.05
#define TOL_PCT 0.05

#define HNCO "hnco CO-1 #1"
#define HNCA_CA_m1 "hnca CA-1 #1"
#define HNCA_CA "hnca CA #1"

#define CBCA_CONH_CA_m1 "cbca_conh CA-1 #1"
#define CBCA_CONH_CB_m1 "cbca_conh CB-1 #1"

#define CBCANH_CA_m1 "cbcanh CA-1 #1"
#define CBCANH_CB_m1 "cbcanh CB-1 #1"
#define CBCANH_CA "cbcanh CA #1"
#define CBCANH_CB "cbcanh CB #1"
PEAKLISTMEMBER (REQUIRED, HNCO, "hnco")
LOCKPEAK (REQUIRED, HNCO)

// alle CA-1 Nodes, dann mittelwert bilden und als CA bewerten
find2PATH (OPTIONAL, HNCO, HNCA_CA_m1, "hnca", AXIS_hnco_hn, AXIS_hnca_hn, AXIS_hnco_n, AXIS_hnca_n)
find2PATH (OPTIONAL, HNCO, CBCA_CONH_CA_m1, "cbca_conh", AXIS_hnco_hn, AXIS_cbca_conh_hn, AXIS_hnco_n, AXIS_cbca_conh_n)
find2PATH (OPTIONAL, HNCO, CBCANH_CA_m1, "cbcanh", AXIS_hnco_hn, AXIS_cbcanh_hn, AXIS_hnco_n, AXIS_cbcanh_n)
IFEXISTS1 (REQUIRED, CBCANH_CA_m1, TESTVOLUME (OPTIONAL, CBCANH_CA_m1, 1))
IFEXISTS2 (REQUIRED, CBCA_CONH_CA_m1, CBCANH_CA_m1, TESTNODESARELINKED (OPTIONAL,
CBCA_CONH_CA_m1, CBCANH_CA_m1, AXIS_cbca_conh_ca, AXIS_cbcanh_ca))
IFEXISTS2 (REQUIRED, CBCA_CONH_CA_m1, HNCA_CA_m1, TESTNODESARELINKED (OPTIONAL,
CBCA_CONH_CA_m1, HNCA_CA_m1, AXIS_cbca_conh_ca, AXIS_hnca_ca))
IFEXISTS2 (REQUIRED, CBCANH_CA_m1, HNCA_CA_m1, TESTNODESARELINKED (OPTIONAL, CBCANH_CA_m1, HNCA_CA_m1, AXIS_cbcanh_ca, AXIS_hnca_ca))
AverageFreq3 (REQUIRED, "CA-1 #1", AVRES_hnca_ca_m1, AVRES_cbca_conh_ca_m1, AVRES_cbcanh_ca_m1)
IFEXISTS1 (REQUIRED, "CA-1 #1", TESTTEXTERNFUZZYMAP1D_VALUE (OPTIONAL, "CA-1 #1", CA_SCHWELLE,
"/simul/va/assign/Gr/linFunc.istEinCA.data"))

// alle CA Nodes, dann mittelwert bilden und als CA bewerten
find2PATH (OPTIONAL, HNCO, HNCA_CA, "hnca", AXIS_hnco_hn, AXIS_hnca_hn, AXIS_hnco_n, AXIS_hnca_n)
IFEXISTS2 (REQUIRED, HNCA_CA_m1, HNCA_CA, TESTCOMPVOLUME (OPTIONAL, HNCA_CA, HNCA_CA_m1, TOL_PCT, 0.5))
find2PATH (OPTIONAL, HNCO, CBCANH_CA, "cbcanh", AXIS_hnco_hn, AXIS_cbcanh_hn, AXIS_hnco_n, AXIS_cbcanh_n)
IFEXISTS1 (REQUIRED, CBCANH_CA, TESTVOLUME (OPTIONAL, CBCANH_CA, 1))
IFEXISTS2 (REQUIRED, CBCANH_CA, HNCA_CA, TESTNODESARELINKED (OPTIONAL, HNCA_CA, CBCANH_CA, AXIS_cbcanh_ca, AXIS_hnca_ca))
AverageFreq2 (REQUIRED, "CA #1", AVRES_hnca_ca_p1, AVRES_cbcanh_ca_p1)
IFEXISTS1 (REQUIRED, "CA #1", TESTTEXTERNFUZZYMAP1D_VALUE (OPTIONAL, "CA #1", CA_SCHWELLE,
"/simul/va/assign/Gr/linFunc.istEinCA.data"))

// alle CB-1, siehe CA-1
// if CA == GLY
find2PATH (OPTIONAL, HNCO, CBCA_CONH_CB_m1, "cbca_conh", AXIS_hnco_hn, AXIS_cbca_conh_hn, AXIS_hnco_n, AXIS_cbca_conh_n)
find2PATH (OPTIONAL, HNCO, CBCANH_CB_m1, "cbcanh", AXIS_hnco_hn, AXIS_cbcanh_hn, AXIS_hnco_n, AXIS_cbcanh_n)
IFEXISTS1 (REQUIRED, CBCANH_CB_m1, TESTVOLUME (OPTIONAL, CBCANH_CB_m1, -1))
IFEXISTS2 (REQUIRED, CBCA_CONH_CB_m1, CBCANH_CB_m1, TESTNODESARELINKED (OPTIONAL,
CBCA_CONH_CB_m1, CBCANH_CB_m1, AXIS_cbca_conh_ca, AXIS_cbcanh_ca))
AverageFreq2 (REQUIRED, "CB-1 #1", AVRES_cbca_conh_cb_m1, AVRES_cbcanh_cb_m1)
IFEXISTS1 (REQUIRED, "CB-1 #1", TESTTEXTERNFUZZYMAP1D_VALUE (OPTIONAL, "CB-1 #1", CB_SCHWELLE, "/simul/va/assign/Gr/linFunc.ist-
EinCBorGly.manuell.data"))

// // alle CB
// if CA-1 == GLY
find2PATH (OPTIONAL, HNCO, CBCANH_CB, "cbcanh", AXIS_hnco_hn, AXIS_cbcanh_hn, AXIS_hnco_n, AXIS_cbcanh_n)
IFEXISTS1 (REQUIRED, CBCANH_CB, TESTVOLUME (OPTIONAL, CBCANH_CB, -1))
IFEXISTS1 (REQUIRED, CBCANH_CB, AverageFreq1 (OPTIONAL, "CB #1", AVRES_cbcanh_cb_p1))
IFEXISTS1 (REQUIRED, "CB #1", TESTTEXTERNFUZZYMAP1D_VALUE (OPTIONAL, "CB #1", CB_SCHWELLE, "/simul/va/assign/Gr/linFunc.ist-
EinCBorGly.manuell.data"))

IFANY4 (REQUIRED, 2, "CA-1 #1", "CB-1 #1", "CA #1", "CB #1", CONST_TRUE (REQUIRED))
// test auf moegliche AS
IFANY2 (OPTIONAL, 1, "CA-1 #1", "CB-1 #1", AminoTest (REQUIRED, "GRIE #1", "CA-1 #1", "CB-1 #1"))
IFANY2 (OPTIONAL, 1, "CA #1", "CB #1", AminoTest (REQUIRED, "GRIE #2", "CA #1", "CB #1"))
// bestimme den Typ
IFANY2 (OPTIONAL, 1, "CA-1 #1", "CB-1 #1", GrieMap (REQUIRED, "GRIE #1", "CA-1 #1", "CB-1 #1"))
IFANY2 (OPTIONAL, 1, "CA #1", "CB #1", GrieMap (REQUIRED, "GRIE #2", "CA #1", "CB #1"))

```

Text D-1 completeAS.noSub.wideCB

```

// *- c++ *-
//
// sucht nach einem Gly-X Muster.
//
// berücksichtigt:
// CA intra Verknüpfung, Volumen (HNCA), Vorzeichen CB(++1) in CBCANH
// für Gly-X
//
// noch nicht: vorbelegen mit Ressourcen (zB aus lokalen Bedingungen) IFNOTEXISTS( ..., ...)
// noch nicht: strategie varianten je nach lokalen Bedingungen (lokalen mini Contexten)
// MAKEPATTERN MIN: $condCount - 10
//
// #34
#include "ASContexte.macros.new"

#define CA_SCHWELLE 0.05
#define GLY_SCHWELLE 0.1
#define CB_SCHWELLE 0.05

#define TOL_PCT 0.05

#define HNCO "hnco CA-1 #1"
#define HNCA_CA_m1 "hnca CA-1 #1"
#define HNCA_CA "hnca CA #1"

#define CBCA_CONH_CA_m1 "cbca_conh CA-1 #1"
// #define CBCA_CONH_CB_m1 "cbca_conh CB-1 #1"

#define CBCANH_CA_m1 "cbcanh CA-1 #1"
// #define CBCANH_CB_m1 "cbcanh CB-1 #1"
#define CBCANH_CA "cbcanh CA #1"
#define CBCANH_CB "cbcanh CB #1"

PEAKLISTMEMBER (REQUIRED, HNCO, "hnco")
LOCKPEAK (REQUIRED, HNCO)

// alle CA-1 Nodes, dann mittelwert bilden und als CA bewerten
find2PATH (OPTIONAL, HNCO, HNCA_CA_m1, "hnca", AXIS_hnco_hn, AXIS_hnca_hn, AXIS_hnco_n, AXIS_hnca_n)
find2PATH (OPTIONAL, HNCO, CBCA_CONH_CA_m1, "cbca_conh", AXIS_hnco_hn, AXIS_cbca_conh_hn, AXIS_hnco_n, AXIS_cbca_conh_n)
find2PATH (OPTIONAL, HNCO, CBCANH_CA_m1, "cbcanh", AXIS_hnco_hn, AXIS_cbcanh_hn, AXIS_hnco_n, AXIS_cbcanh_n)
IFEXISTS1 (REQUIRED, CBCANH_CA_m1, TESTVOLUME (OPTIONAL, CBCANH_CA_m1, 1))
IFEXISTS2 (REQUIRED, CBCA_CONH_CA_m1, CBCANH_CA_m1, TESTNODESARELINKED (OPTIONAL, CBCA_CONH_CA_m1, CBCANH_CA_m1,
    AXIS_cbca_conh_ca, AXIS_cbcanh_ca))
IFEXISTS2 (REQUIRED, CBCA_CONH_CA_m1, HNCA_CA_m1, TESTNODESARELINKED (OPTIONAL, CBCA_CONH_CA_m1, HNCA_CA_m1,
    AXIS_cbca_conh_ca, AXIS_hnca_ca))
IFEXISTS2 (REQUIRED, CBCANH_CA_m1, HNCA_CA_m1, TESTNODESARELINKED (OPTIONAL, CBCANH_CA_m1, HNCA_CA_m1, AXIS_cbcanh_ca, AXIS_hnca_ca))
AverageFreq3 (REQUIRED, "CA-1 #1", AVRES_hnca_ca_m1, AVRES_cbca_conh_ca_m1, AVRES_cbcanh_ca_m1)
IFEXISTS1 (REQUIRED, "CA-1 #1", TESTTEXTERNFUZZYMAPID VALUE (REQUIRED, "CA-1 #1", GLY_SCHWELLE,
    "/simul/va/assign/Gr/linFunc.istEinGly.data"))

// alle CA Nodes, dann mittelwert bilden und als CA bewerten
find2PATH (OPTIONAL, HNCO, HNCA_CA, "hnca", AXIS_hnco_hn, AXIS_hnca_hn, AXIS_hnco_n, AXIS_hnca_n)
// kein volumenvergleich HNCA CA <-> CA-1 im suchmuster!
// IFEXISTS2 (REQUIRED, HNCA_CA_m1, HNCA_CA, TESTCOMPVOLUME (OPTIONAL, HNCA_CA, HNCA_CA_m1, TOL_PCT, 0.5))
find2PATH (OPTIONAL, HNCO, CBCANH_CA, "cbcanh", AXIS_hnco_hn, AXIS_cbcanh_hn, AXIS_hnco_n, AXIS_cbcanh_n)
IFEXISTS1 (REQUIRED, CBCANH_CA, TESTVOLUME (OPTIONAL, CBCANH_CA, 1))
IFEXISTS2 (REQUIRED, CBCANH_CA, HNCA_CA, TESTNODESARELINKED (OPTIONAL, HNCA_CA, CBCANH_CA, AXIS_cbcanh_ca, AXIS_hnca_ca))
AverageFreq2 (REQUIRED, "CA #1", AVRES_hnca_ca_m1, AVRES_cbcanh_ca_m1)
IFEXISTS1 (REQUIRED, "CA #1", TESTTEXTERNFUZZYMAPID VALUE (OPTIONAL, "CA #1", CA_SCHWELLE,
    "/simul/va/assign/Gr/linFunc.istBinCA_ohneGly.data"))

// kein CB-1 (Gly-X Pattern !!)
// #ifdef FIND_CB
// // alle CB
// // if CA-1 == GLY
// find2PATH (OPTIONAL, HNCO, CBCANH_CB, "cbcanh", AXIS_hnco_hn, AXIS_cbcanh_hn, AXIS_hnco_n, AXIS_cbcanh_n)
// IFEXISTS1 (REQUIRED, CBCANH_CB, TESTVOLUME (OPTIONAL, CBCANH_CB, -1))
// IFEXISTS1 (REQUIRED, CBCANH_CB, AverageFreq1 (OPTIONAL, "CB #1", AVRES_cbcanh_cb_m1))
// IFEXISTS1 (REQUIRED, "CB #1", TESTTEXTERNFUZZYMAPID VALUE (OPTIONAL, "CB
// #1", CB_SCHWELLE, "/simul/va/assign/Gr/linFunc.istBinCB.manuell.data"))
// #endif
// IFANY4 (REQUIRED, 2, "CA-1 #1", "CB #1", "CB #1", "CA #1", CONST_TRUE (REQUIRED))
// test auf moegliche AS (CB-1 muss drin bleiben !!!)
// IFANY2 (OPTIONAL, 1, "CA-1 #1", "CB-1 #1", AminoTest (REQUIRED, "GRIE #1", "CA-1 #1", "CB-1 #1"))
// IFANY2 (OPTIONAL, 1, "CA #1", "CB #1", AminoTest (REQUIRED, "GRIE #2", "CA #1", "CB #1"))
// bestimme den Typ
// IFANY2 (OPTIONAL, 1, "CA-1 #1", "CB-1 #1", GRIEMap (REQUIRED, "GRIE #1", "CA-1 #1", "CB-1 #1"))
// IFANY2 (OPTIONAL, 1, "CA #1", "CB #1", GRIEMap (REQUIRED, "GRIE #2", "CA #1", "CB #1"))

```

Text D-2 completeGly.noSub.m1

```

// *- c++ -*-
//
// sucht nach einem Gly-X Muster.
//
// berücksichtigt:
// CA intra Verknüpfung, Volumen (HNCA), Vorzeichen CB(++1) in CBCANH
// für Gly-X
//
// noch nicht: vorbelegen mit Ressourcen (zB aus lokalen Bedingungen) IFNOTEXISTS( ..., ...)
// noch nicht: strategie varianten je nach lokalen Bedingungen (lokalen mini Contexten)
// MAKEPATTERN MIN: $condCount - 10
//
// #34
#include "ASContexte.macros.new"

#define CA_SCHWELLE 0.05
#define GLY_SCHWELLE 0.1
#define CB_SCHWELLE 0.05
#define TOL_PCT 0.05

#define HNCO "hnco CO-1 #1"
#define HNCA_CA_m1 "hnca CA-1 #1"
#define HNCA_CA "hnca CA #1"

#define CBCA_CONH_CA_m1 "cbca_conh CA-1 #1"
// #define CBCA_CONH_CB_m1 "cbca_conh CB-1 #1"

#define CBCANH_CA_m1 "cbcanh CA-1 #1"
// #define CBCANH_CB_m1 "cbcanh CB-1 #1"
#define CBCANH_CA "cbcanh CA #1"
#define CBCANH_CB "cbcanh CB #1"

PEAKLISTMEMBER (REQUIRED, HNCO, "hnco")
LOCKPEAK (REQUIRED, HNCO)

// alle CA-1 Nodes, dann mittelwert bilden und als CA bewerten
find2PATH (OPTIONAL, HNCO, HNCA_CA_m1, "hnca", AXIS_hnco_hn, AXIS_hnca_hn, AXIS_hnco_n, AXIS_hnca_n)
find2PATH (OPTIONAL, HNCO, CBCA_CONH_CA_m1, "cbca_conh", AXIS_hnco_hn, AXIS_cbca_conh_hn, AXIS_hnco_n, AXIS_cbca_conh_n)
find2PATH (OPTIONAL, HNCO, CBCANH_CA_m1, "cbcanh", AXIS_hnco_hn, AXIS_cbcanh_hn, AXIS_hnco_n, AXIS_cbcanh_n)
IFEXISTS1 (REQUIRED, CBCANH_CA_m1, TESTVOLUME (OPTIONAL, CBCANH_CA_m1, 1))
IFEXISTS2 (REQUIRED, CBCA_CONH_CA_m1, CBCANH_CA_m1, TESTNODESARELINKED (OPTIONAL, CBCA_CONH_CA_m1, CBCANH_CA_m1,
    AXIS_cbca_conh_ca, AXIS_cbcanh_ca))
IFEXISTS2 (REQUIRED, CBCA_CONH_CA_m1, HNCA_CA_m1, TESTNODESARELINKED (OPTIONAL, CBCA_CONH_CA_m1, HNCA_CA_m1,
    AXIS_cbca_conh_ca, AXIS_hnca_ca))
IFEXISTS2 (REQUIRED, CBCANH_CA_m1, HNCA_CA_m1, TESTNODESARELINKED (OPTIONAL, CBCANH_CA_m1, HNCA_CA_m1, AXIS_cbcanh_ca, AXIS_hnca_ca))
AverageFreq3 (REQUIRED, "CA-1 #1", AVRES_hnca_ca_m1, AVRES_cbca_conh_ca_m1, AVRES_cbcanh_ca_m1)
IFEXISTS1 (REQUIRED, "CA-1 #1", TESTTEXTERNFUZZYMAPID VALUE (REQUIRED, "CA-1 #1", GLY_SCHWELLE,
    "/simul/va/assign/Gr/linFunc.istEinGly.data"))

// alle CA Nodes, dann mittelwert bilden und als CA bewerten
find2PATH (OPTIONAL, HNCO, HNCA_CA, "hnca", AXIS_hnco_hn, AXIS_hnca_hn, AXIS_hnco_n, AXIS_hnca_n)
// kein volumenvergleich HNCA CA <-> CA-1 im suchmuster!
// IFEXISTS2 (REQUIRED, HNCA_CA_m1, HNCA_CA, TESTCOMPVOLUME (OPTIONAL, HNCA_CA, HNCA_CA_m1, TOL_PCT, 0.5))
find2PATH (OPTIONAL, HNCO, CBCANH_CA, "cbcanh", AXIS_hnco_hn, AXIS_cbcanh_hn, AXIS_hnco_n, AXIS_cbcanh_n)
IFEXISTS1 (REQUIRED, CBCANH_CA, TESTVOLUME (OPTIONAL, CBCANH_CA, 1))
IFEXISTS2 (REQUIRED, CBCANH_CA, HNCA_CA, TESTNODESARELINKED (OPTIONAL, HNCA_CA, CBCANH_CA, AXIS_cbcanh_ca, AXIS_hnca_ca))
AverageFreq2 (REQUIRED, "CA #1", AVRES_hnca_ca_p1, AVRES_cbcanh_ca_p1)
IFEXISTS1 (REQUIRED, "CA #1", TESTTEXTERNFUZZYMAPID VALUE (OPTIONAL, "CA #1", CA_SCHWELLE,
    "/simul/va/assign/Gr/linFunc.istEinCA_ohneGly.data"))

// kein CB-1 ( Gly-X Pattern !!)

// #ifdef FIND_CB
// // alle CB
// // if CA-1 == GLY
// find2PATH (OPTIONAL, HNCO, CBCANH_CB, "cbcanh", AXIS_hnco_hn, AXIS_cbcanh_hn, AXIS_hnco_n, AXIS_cbcanh_n)
// IFEXISTS1 (REQUIRED, CBCANH_CB, TESTVOLUME (OPTIONAL, CBCANH_CB, -1))
// IFEXISTS1 (REQUIRED, CBCANH_CB, AverageFreq1 (OPTIONAL, "CB #1", AVRES_cbcanh_cb_p1))
// IFEXISTS1 (REQUIRED, "CB #1", TESTTEXTERNFUZZYMAPID VALUE (OPTIONAL, "CB #1", CB_SCHWELLE,
//     "/simul/va/assign/Gr/linFunc.istEinCB_manuell.data"))
// #endif

IFANY4 (REQUIRED, 2, "CA-1 #1", "CB #1", "CB #1", "CA #1", CONST_TRUE (REQUIRED))
// test auf moegliche AS (CB-1 muss drin bleiben !!!)
IFANY2 (OPTIONAL, 1, "CA-1 #1", "CB-1 #1", AminoTest (REQUIRED, "GRIE #1", "CA-1 #1", "CB-1 #1"))
IFANY2 (OPTIONAL, 1, "CA #1", "CB #1", AminoTest (REQUIRED, "GRIE #2", "CA #1", "CB #1"))
// bestimme den Typ
IFANY2 (OPTIONAL, 1, "CA-1 #1", "CB-1 #1", GrieMap (REQUIRED, "GRIE #1", "CA-1 #1", "CB-1 #1"))
IFANY2 (OPTIONAL, 1, "CA #1", "CB #1", GrieMap (REQUIRED, "GRIE #2", "CA #1", "CB #1"))

```

Text D-3 completeGly.noSub.np

```

// *- c++ -*
//
// sucht nach einem Gly-Gly Muster.
//
// berücksichtigt:
// CA intra Verknüpfung, Volumen (HNCA)
//
// PATTERN MAX_USED_NODES:      6
// MAKEPATTERN MIN: $condCount - 10
// #34
#include "ASContexte.macros.new"

#define CA_SCHWELLE      0.05
#define GLY_SCHWELLE    0.1
#define CB_SCHWELLE     0.05
#define TOL_PCT         0.05

#define HNCO             "hnco CO-1 #1"
#define HNCA_CA_m1      "hnca CA-1 #1"
#define HNCA_CA         "hnca CA #1"

#define CBCA_CONH_CA_m1 "cbca_conh CA-1 #1"

#define CBCANH_CA_m1    "cbcanh CA-1 #1"
#define CBCANH_CA      "cbcanh CA #1"

PEAKLISTMEMBER (REQUIRED, HNCO, "hnco")
LOCKPEAK (REQUIRED, HNCO)

// alle CA-1 Nodes, dann mittelwert bilden und als CA bewerten
find2PATH (OPTIONAL, HNCO, HNCA_CA_m1, "hnca", AXIS_hnco_hn, AXIS_hnca_hn, AXIS_hnco_n, AXIS_hnca_n)
find2PATH (OPTIONAL, HNCO, CBCA_CONH_CA_m1, "cbca_conh", AXIS_hnco_hn, AXIS_cbca_conh_hn, AXIS_hnco_n, AXIS_cbca_conh_n)
find2PATH (OPTIONAL, HNCO, CBCANH_CA_m1, "cbcanh", AXIS_hnco_hn, AXIS_cbcanh_hn, AXIS_hnco_n, AXIS_cbcanh_n)
IFEXISTS1 (REQUIRED, CBCANH_CA_m1, TESTVOLUME (OPTIONAL, CBCANH_CA_m1, 1))
IFEXISTS2 (REQUIRED, CBCA_CONH_CA_m1, CBCANH_CA_m1, TESTNODESARELINKED (OPTIONAL, CBCA_CONH_CA_m1, CBCANH_CA_m1,
    AXIS_cbca_conh_ca, AXIS_cbcanh_ca))
IFEXISTS2 (REQUIRED, CBCA_CONH_CA_m1, HNCA_CA_m1, TESTNODESARELINKED (OPTIONAL, CBCA_CONH_CA_m1, HNCA_CA_m1,
    AXIS_cbca_conh_ca, AXIS_hnca_ca))
IFEXISTS2 (REQUIRED, CBCANH_CA_m1, HNCA_CA_m1, TESTNODESARELINKED (OPTIONAL, CBCANH_CA_m1, HNCA_CA_m1, AXIS_cbcanh_ca, AXIS_hnca_ca))
AverageFreq3 (REQUIRED, "CA-1 #1", AVRES_hnca_ca_m1, AVRES_cbca_conh_ca_m1, AVRES_cbcanh_ca_m1)
IFEXISTS1 (REQUIRED, "CA-1 #1", TESTTEXTERNFUZZYMAPID_VALUE (REQUIRED, "CA-1 #1", GLY_SCHWELLE,
    "/simul/va/assign/Gr/linFunc.istEinGly.data"))

// alle CA Nodes, dann mittelwert bilden und als CA bewerten
find2PATH (OPTIONAL, HNCO, HNCA_CA, "hnca", AXIS_hnco_hn, AXIS_hnca_hn, AXIS_hnco_n, AXIS_hnca_n)
// kein volumenvergleich HNCA CA <-> CA-1 im suchmuster!
// IFEXISTS2 (REQUIRED, HNCA_CA_m1, HNCA_CA, TESTCOMPVOLUME (OPTIONAL, HNCA_CA, HNCA_CA_m1, TOL_PCT, 0.5))
find2PATH (OPTIONAL, HNCO, CBCANH_CA, "cbcanh", AXIS_hnco_hn, AXIS_cbcanh_hn, AXIS_hnco_n, AXIS_cbcanh_n)
IFEXISTS1 (REQUIRED, CBCANH_CA, TESTVOLUME (OPTIONAL, CBCANH_CA, 1))
IFEXISTS2 (REQUIRED, CBCANH_CA, HNCA_CA, TESTNODESARELINKED (OPTIONAL, HNCA_CA, CBCANH_CA, AXIS_cbcanh_ca, AXIS_hnca_ca))
AverageFreq2 (REQUIRED, "CA #1", AVRES_hnca_ca_p1, AVRES_cbcanh_ca_p1)
IFEXISTS1 (REQUIRED, "CA #1", TESTTEXTERNFUZZYMAPID_VALUE (OPTIONAL, "CA
    #1", CA_SCHWELLE, "/simul/va/assign/Gr/linFunc.istEinGly.data"))

// kein CB-1 ( Gly-Gly Pattern !!)
// kein CB ( Gly-Gly Pattern !!)

// IFANY4 (REQUIRED, 2, "CA-1 #1", "CB #1", "CB #1", "CA #1", CONST_TRUE (REQUIRED))
// test auf mögliche AS (CB-1 und CB muss drin bleiben !!)
IFANY2 (OPTIONAL, 1, "CA-1 #1", "CB-1 #1", AminoTest (REQUIRED, "GRIE #1", "CA-1 #1", "CB-1 #1"))
IFANY2 (OPTIONAL, 1, "CA #1", "CB #1", AminoTest (REQUIRED, "GRIE #2", "CA #1", "CB #1"))
// bestimme den Typ
IFANY2 (OPTIONAL, 1, "CA-1 #1", "CB-1 #1", GRIEMap (REQUIRED, "GRIE #1", "CA-1 #1", "CB-1 #1"))
IFANY2 (OPTIONAL, 1, "CA #1", "CB #1", GRIEMap (REQUIRED, "GRIE #2", "CA #1", "CB #1"))

```

Text D-4 completeGly.noSub.both

D.2 Automatische knotenlokale Bedingungen

```
// *- c++ *-
// finde die HNCA Peaks zu einem HNCO
//
// #7
#include "ASContexte.macros"
#define HNCO_CO "hnco CO-1 #1"
#define HNCA_CA "hnca CA #1"
#define HNCA_CA_m1 "hnca CA-1 #1"
PEAKLISTMEMBER(HNCO_CO,"hnco")
LOCKPEAK(HNCO_CO)
find2PATH(REQUIRED,HNCO_CO,HNCA_CA,"hnca",AXIS_hnco_hn,AXIS_hnca_hn,AXIS_hnco_n,AXIS_hnca_n)
find2PATH(REQUIRED,HNCO_CO,HNCA_CA_m1,"hnca",AXIS_hnco_hn,AXIS_hnca_hn,
AXIS_hnco_n,AXIS_hnca_n)
AverageFreq1("CA-1",AVRES_hnca_ca_m1)
AverageFreq1("CA",AVRES_hnca_ca_p1)
```

Muster D-5 listHNCA.complete

```
// *- c++ *-
// finde eine zweier Gruppe moeglicher CA Peaks zu einem HNCO
// sucht in hnca, cbcanh
//
// #8
#include "ASContexte.macros"
#define HNCO_CO "hnco CO-1 #1"
#define CBCANH_CA_p1 "cbcanh CA #1"
#define HNCA_CA_p1 "hnca CA #1"
PEAKLISTMEMBER(HNCO_CO,"hnco")
LOCKPEAK(HNCO_CO)
find2PATH(REQUIRED,HNCO_CO,HNCA_CA_p1,"hnca",AXIS_hnco_hn,AXIS_hnca_hn,
AXIS_hnco_n,AXIS_hnca_n)
find2PATH(REQUIRED,HNCO_CO,CBCANH_CA_p1,"cbcanh",AXIS_hnco_hn,AXIS_cbcanh_hn,AXIS_hnco_n,
AXIS_cbcanh_n)
TESTNODESARELINKED(HNCA_CA_p1,CBCANH_CA_p1,AXIS_cbcanh_ca,AXIS_hnca_ca)
AverageFreq2("CA",AVRES_hnca_ca_p1,AVRES_cbcanh_ca_p1)
TESTVOLUME(CBCANH_CA_p1,1)
TESTEXTERNFUZZYMAP1D_VALUE("CA",0.4,"/simul/va/assign/Gr/linFunc.istEinCA.data")
```

Text D-6 listCA.complete

```
// *- c++ *-
// finde die CBCA(CO)NH Peaks zu einem HNCO
//
// #8
#include "ASContexte.macros"
#define HNCO_CO "hnco CO-1 #1"
#define CBCA_CONH_CB_m1 "cbca_conh CB-1 #1"
#define CBCA_CONH_CA_m1 "cbca_conh CA-1 #1"
PEAKLISTMEMBER(HNCO_CO,"hnco")
LOCKPEAK(HNCO_CO)
find2PATH(REQUIRED,HNCO_CO,CBCA_CONH_CB_m1,"cbca_conh",AXIS_hnco_hn,AXIS_cbca_conh_hn,
AXIS_hnco_n,AXIS_cbca_conh_n)
find2PATH(REQUIRED,HNCO_CO,CBCA_CONH_CA_m1,"cbca_conh",AXIS_hnco_hn,AXIS_cbca_conh_hn,
AXIS_hnco_n,AXIS_cbca_conh_n)
AverageFreq1("CA-1",AVRES_cbca_conh_ca_m1)
AverageFreq1("CB-1",AVRES_cbca_conh_cb_m1)
TESTEXTERNFUZZYMAP1D_VALUE("CA-1",0.4,"/simul/va/assign/Gr/linFunc.istEinCA.data")
TESTEXTERNFUZZYMAP1D_VALUE("CB-1",0.4,"/simul/va/assign/Gr/linFunc.istEinCB.data")
```

Muster D-7 listCBCA_CONH.complete

```

// -*- C++ -*-
// finde die CBCANH Peaks zu einem HNCO
//
// # 18
#include "ASContexte.macros"
#define HNCO_CO "hnco CO-1 #1"
#define CBCANH_CB_m1 "cbcanh CB-1 #1"
#define CBCANH_CA_m1 "cbcanh CA-1 #1"
#define CBCANH_CB_p1 "cbcanh CB #1"
#define CBCANH_CA_p1 "cbcanh CA #1"
PEAKLISTMEMBER(HNCO_CO,"hnco")
LOCKPEAK(HNCO_CO)
find2PATH(REQUIRED,HNCO_CO,CBCANH_CB_m1,"cbcanh",AXIS_hnco_hn,AXIS_cbcanh_hn,
          AXIS_hnco_n,AXIS_cbcanh_n)
find2PATH(REQUIRED,HNCO_CO,CBCANH_CA_m1,"cbcanh",AXIS_hnco_hn,AXIS_cbcanh_hn,
          AXIS_hnco_n,AXIS_cbcanh_n)
find2PATH(REQUIRED,HNCO_CO,CBCANH_CB_p1,"cbcanh",AXIS_hnco_hn,AXIS_cbcanh_hn,
          AXIS_hnco_n,AXIS_cbcanh_n)
find2PATH(REQUIRED,HNCO_CO,CBCANH_CA_p1,"cbcanh",AXIS_hnco_hn,AXIS_cbcanh_hn,
          AXIS_hnco_n,AXIS_cbcanh_n)
TESTVOLUME(CBCANH_CB_m1,-1)
TESTVOLUME(CBCANH_CB_p1,-1)
TESTVOLUME(CBCANH_CA_m1,1)
TESTVOLUME(CBCANH_CA_p1,1)
AverageFreq1("CA-1",AVRES_cbcanh_ca_m1)
AverageFreq1("CB-1",AVRES_cbcanh_cb_m1)
AverageFreq1("CA",AVRES_cbcanh_ca_p1)
AverageFreq1("CB",AVRES_cbcanh_cb_p1)
TESTEXTERNFUZZYMAP1D_VALUE("CA-1",0.4,"/simul/va/assign/Gr/linFunc.istEinCA.data")
TESTEXTERNFUZZYMAP1D_VALUE("CB-1",0.4,"/simul/va/assign/Gr/linFunc.istEinCB.data")
TESTEXTERNFUZZYMAP1D_VALUE("CA",0.4,"/simul/va/assign/Gr/linFunc.istEinCA.data")
TESTEXTERNFUZZYMAP1D_VALUE("CB",0.4,"/simul/va/assign/Gr/linFunc.istEinCB.data")

```

Muster D-8 listCBCANH.complete

```

// -*- C++ -*-
// finde eine dreier Gruppe moeglicher CA-1 Peaks zu einem HNCO
// sucht in hnca, cbcanh, cbca_conh
//
// #10
#include "ASContexte.macros"
#define HNCO_CO "hnco CO-1 #1"
#define CBCA_CONH_CB_m1 "cbca_conh CB-1 #1"
#define CBCA_CONH_CA_m1 "cbca_conh CA-1 #1"
#define CBCANH_CA_m1 "cbcanh CA-1 #1"
#define HNCA_CA "hnca CA #1"
#define HNCA_CA_m1 "hnca CA-1 #1"
PEAKLISTMEMBER(HNCO_CO,"hnco")
LOCKPEAK(HNCO_CO)
find2PATH(REQUIRED,HNCO_CO,HNCA_CA_m1,"hnca",AXIS_hnco_hn,AXIS_hnca_hn,
          AXIS_hnco_n,AXIS_hnca_n)
find2PATH(REQUIRED,HNCO_CO,CBCA_CONH_CA_m1,"cbca_conh",AXIS_hnco_hn,AXIS_cbca_conh_hn,
          AXIS_hnco_n,AXIS_cbca_conh_n)
TESTNODESARELINKED(HNCA_CA_m1,CBCA_CONH_CA_m1,AXIS_cbca_conh_ca,AXIS_hnca_ca)
find2PATH(REQUIRED,HNCO_CO,CBCANH_CA_m1,"cbcanh",AXIS_hnco_hn,AXIS_cbcanh_hn,
          AXIS_hnco_n,AXIS_cbcanh_n)
TESTNODESARELINKED(CBCANH_CA_m1,CBCA_CONH_CA_m1,AXIS_cbca_conh_ca,AXIS_cbcanh_ca)
TESTVOLUME(CBCANH_CA_m1,1)
AverageFreq3("CA-1",AVRES_hnca_ca_m1,AVRES_cbca_conh_ca_m1,AVRES_cbcanh_ca_m1)
TESTEXTERNFUZZYMAP1D_VALUE("CA-1",0.4,"/simul/va/assign/Gr/linFunc.istEinCA.data")

```

Muster D-9 listCA_m1.complete

```
// *- c++ *-
// finde eine zweier Gruppe moeglicher CB-1 Peaks zu einem HNCO
// sucht in cbcanh, cbca_conh
//
// #8
#include "ASContexte.macros"
#define HNCO_CO "hnco CO-1 #1"
#define CBCA_CONH_CB_m1 "cbca_conh CB-1 #1"
#define CBCANH_CB_m1 "cbcanh CB-1 #1"
PEAKLISTMEMBER(HNCO_CO,"hnco")
LOCKPEAK(HNCO_CO)
find2PATH(REQUIRED,HNCO_CO,CBCA_CONH_CB_m1,"cbca_conh",AXIS_hnco_hn,AXIS_cbca_conh_hn,
  AXIS_hnco_n,AXIS_cbca_conh_n)
find2PATH(REQUIRED,HNCO_CO,CBCANH_CB_m1,"cbcanh",AXIS_hnco_hn,AXIS_cbcanh_hn,
  AXIS_hnco_n,AXIS_cbcanh_n)
TESTNODESARELINKED(CBCANH_CB_m1,CBCA_CONH_CB_m1,AXIS_cbca_conh_ca,AXIS_cbcanh_ca)
TESTVOLUME(CBCANH_CB_m1,-1)
AverageFreq2("CB-1",AVRES_cbca_conh_cb_m1,AVRES_cbcanh_cb_m1)
TESTEXTERNFUZZYMAP1D_VALUE("CB-1",0.4,"/simul/va/assign/Gr/linFunc.istEinCB.data")
```

Muster D-10 listCB_m1.complete

D.3 Linkprotospinsystemmuster

```
// *- c++ *-
// teste die CA, und CB Bruecken
// sucht in hnca, cbcanh, cbca_conh
// MAKEPATTERN TITLE: "teste alle Links von i nach i+1"
// #10
#include "../ASContexte.macros.new"
#define HNCO_CO "hnco CO-1 #1"
// #define CBCA_CONH_CB_m1 "cbca_conh CB-1 #1"
// #define CBCA_CONH_CA_m1 "cbca_conh CA-1 #1"
// #define CBCANH_CA_m1 "cbcanh CA-1 #1"
// #define CBCANH_CB_m1 "cbcanh CB-1 #1"
#define CBCANH_CA "cbcanh CA #1"
#define CBCANH_CB "cbcanh CB #1"
#define HNCA_CA "hnca CA #1"
#define HNCA_CA_m1 "hnca CA-1 #1"

#define xHNCO_CO "hnco CO-1 #2"
#define xCBCA_CONH_CB_m1 "cbca_conh CB-1 #2"
#define xCBCA_CONH_CA_m1 "cbca_conh CA-1 #2"
#define xCBCANH_CA_m1 "cbcanh CA-1 #2"
#define xCBCANH_CB_m1 "cbcanh CB-1 #2"
// #define xCBCANH_CA "cbcanh CA #2"
// #define xCBCANH_CB "cbcanh CB #2"
// #define xHNCA_CA "hnca CA #2"
#define xHNCA_CA_m1 "hnca CA-1 #2"
PEAKLISTMEMBER(REQUIRED,HNCO_CO,"hnco")
LOCKPEAK(REQUIRED,HNCO_CO)

PEAKLISTMEMBER(REQUIRED,xHNCO_CO,"hnco")
LOCKPEAK(REQUIRED,xHNCO_CO)
// teste CA Bruecken von HNCA CA
IFEXISTS2(REQUIRED,HNCA_CA,xHNCA_CA_m1,
  TESTNODESARELINKED(OPTIONAL,HNCA_CA,xHNCA_CA_m1,AXIS_hnca_ca,AXIS_hnca_ca))
IFEXISTS2(REQUIRED,HNCA_CA,xCBCANH_CA_m1,
  TESTNODESARELINKED(OPTIONAL,HNCA_CA,xCBCANH_CA_m1,AXIS_cbcanh_ca,AXIS_hnca_ca))
IFEXISTS2(REQUIRED,HNCA_CA,xCBCA_CONH_CA_m1,
  TESTNODESARELINKED(OPTIONAL,HNCA_CA,xCBCA_CONH_CA_m1,AXIS_cbca_conh_ca,AXIS_hnca_ca))

// teste CA Bruecken von CBCANH CA
IFEXISTS2(REQUIRED,CBCANH_CA,xHNCA_CA_m1,
  TESTNODESARELINKED(OPTIONAL,CBCANH_CA,xHNCA_CA_m1,AXIS_hnca_ca,AXIS_cbcanh_ca))
IFEXISTS2(REQUIRED,CBCANH_CA,xCBCANH_CA_m1,
  TESTNODESARELINKED(OPTIONAL,CBCANH_CA,xCBCANH_CA_m1,AXIS_cbcanh_ca,AXIS_cbcanh_ca))
IFEXISTS2(REQUIRED,CBCANH_CA,xCBCA_CONH_CA_m1,
  TESTNODESARELINKED(OPTIONAL,CBCANH_CA,xCBCA_CONH_CA_m1,AXIS_cbca_conh_ca,AXIS_cbcanh_ca))

// teste CB Bruecken von CBCANH CB
IFEXISTS2(REQUIRED,CBCANH_CB,xCBCANH_CB_m1,
  TESTNODESARELINKED(OPTIONAL,CBCANH_CB,xCBCANH_CB_m1,AXIS_cbcanh_ca,AXIS_cbcanh_ca))
IFEXISTS2(REQUIRED,CBCANH_CB,xCBCA_CONH_CB_m1,
  TESTNODESARELINKED(OPTIONAL,CBCANH_CB,xCBCA_CONH_CB_m1,AXIS_cbca_conh_ca,AXIS_cbcanh_ca))
```

Muster D-11 testBridge

Anhang E Peaklisten des Trigger Proteins

Die folgenden Listen enthalten alle Peaks der Trigger Spektren. Die virtuellen HNCO Peaks sind in den Listen enthalten und haben Identifikationsnummern ab 200.

E.1 HNCO

| ID | HN | N | CO | Volumen | | | | | |
|----|-------|---------|---------|---------------|-----|--------|---------|---------|---------------|
| 1 | 9.399 | 132.981 | 172.502 | 100000000.000 | 83 | 8.480 | 114.017 | 173.375 | 100000000.000 |
| 2 | 9.699 | 131.930 | 173.235 | 100000000.000 | 84 | 8.937 | 113.749 | 172.932 | 100000000.000 |
| 3 | 9.400 | 131.701 | 172.282 | 100000000.000 | 85 | 8.237 | 113.741 | 171.848 | 100000000.000 |
| 5 | 8.520 | 129.220 | 173.038 | 100000000.000 | 86 | 7.690 | 113.249 | 172.700 | 100000000.000 |
| 7 | 8.993 | 128.945 | 171.198 | 100000000.000 | 87 | 8.473 | 112.885 | 172.600 | 100000000.000 |
| 8 | 8.903 | 128.750 | 171.302 | 100000000.000 | 88 | 8.715 | 112.396 | 173.527 | 100000000.000 |
| 9 | 9.213 | 127.872 | 170.874 | 100000000.000 | 89 | 8.950 | 112.142 | 172.930 | 100000000.000 |
| 12 | 8.667 | 126.540 | 173.462 | 100000000.000 | 90 | 8.633 | 110.245 | 173.353 | 100000000.000 |
| 15 | 9.304 | 126.350 | 173.360 | 100000000.000 | 91 | 8.146 | 108.389 | 176.593 | 100000000.000 |
| 16 | 7.779 | 126.337 | 172.386 | 100000000.000 | 92 | 7.745 | 107.311 | 175.666 | 100000000.000 |
| 17 | 9.381 | 126.061 | 171.020 | 100000000.000 | 93 | 7.293 | 108.429 | 174.113 | 100000000.000 |
| 18 | 9.140 | 124.968 | 173.146 | 100000000.000 | 94 | 10.282 | 105.949 | 169.149 | 100000000.000 |
| 20 | 9.076 | 124.727 | 171.102 | 100000000.000 | 96 | 9.607 | 128.185 | 173.048 | 100000000.000 |
| 21 | 8.832 | 124.447 | 168.498 | 100000000.000 | 97 | 8.510 | 127.354 | 171.182 | 100000000.000 |
| 23 | 8.451 | 123.930 | 172.318 | 100000000.000 | 98 | 8.604 | 127.113 | 172.724 | 100000000.000 |
| 24 | 8.130 | 123.093 | 172.127 | 100000000.000 | 99 | 8.825 | 126.145 | 173.081 | 100000000.000 |
| 25 | 8.343 | 123.065 | 171.363 | 100000000.000 | 100 | 8.694 | 125.522 | 170.968 | 100000000.000 |
| 27 | 8.764 | 122.847 | 173.352 | 100000000.000 | 101 | 7.921 | 127.453 | 170.504 | 100000000.000 |
| 28 | 8.460 | 122.807 | 171.529 | 100000000.000 | 102 | 7.709 | 126.815 | 171.316 | 100000000.000 |
| 30 | 8.619 | 122.548 | 171.851 | 100000000.000 | 103 | 8.159 | 124.005 | 173.979 | 100000000.000 |
| 31 | 8.167 | 122.579 | 171.423 | 100000000.000 | 104 | 8.629 | 123.674 | 172.920 | 100000000.000 |
| 32 | 9.118 | 122.317 | 173.948 | 100000000.000 | 105 | 9.715 | 119.920 | 173.991 | 100000000.000 |
| 33 | 8.980 | 122.279 | 172.484 | 100000000.000 | 106 | 7.752 | 119.348 | 170.825 | 100000000.000 |
| 34 | 8.916 | 122.335 | 171.201 | 100000000.000 | 107 | 9.355 | 117.439 | 174.028 | 100000000.000 |
| 35 | 9.415 | 122.276 | 170.689 | 100000000.000 | 108 | 8.964 | 114.807 | 172.791 | 100000000.000 |
| 36 | 8.208 | 122.252 | 169.475 | 100000000.000 | 109 | 8.601 | 106.467 | 172.120 | 100000000.000 |
| 37 | 8.188 | 122.048 | 171.743 | 100000000.000 | 110 | 7.086 | 109.243 | 170.351 | 100000000.000 |
| 39 | 9.298 | 122.057 | 170.349 | 100000000.000 | 111 | 8.118 | 120.910 | 172.768 | 100000000.000 |
| 41 | 8.230 | 121.523 | 171.423 | 100000000.000 | 112 | 8.065 | 120.690 | 172.779 | 100000000.000 |
| 43 | 9.748 | 121.196 | 172.181 | 100000000.000 | 113 | 8.116 | 120.103 | 169.920 | 100000000.000 |
| 44 | 7.647 | 121.192 | 172.177 | 100000000.000 | 114 | 8.847 | 119.632 | 173.532 | 100000000.000 |
| 46 | 8.410 | 120.926 | 172.071 | 100000000.000 | 115 | 9.139 | 117.722 | 175.561 | 100000000.000 |
| 47 | 7.939 | 120.663 | 170.396 | 100000000.000 | 116 | 8.568 | 118.850 | 171.388 | 100000000.000 |
| 48 | 8.313 | 120.450 | 172.391 | 100000000.000 | 117 | 8.470 | 118.510 | 171.329 | 100000000.000 |
| 49 | 8.228 | 120.399 | 171.707 | 100000000.000 | 118 | 8.240 | 116.104 | 172.159 | 100000000.000 |
| 51 | 8.245 | 120.125 | 173.575 | 100000000.000 | 119 | 8.446 | 115.893 | 172.815 | 100000000.000 |
| 53 | 8.242 | 119.837 | 174.654 | 100000000.000 | 120 | 8.072 | 114.573 | 173.775 | 100000000.000 |
| 55 | 5.408 | 119.645 | 171.949 | 100000000.000 | 121 | 7.927 | 115.056 | 171.225 | 100000000.000 |
| 56 | 8.407 | 119.625 | 170.892 | 100000000.000 | 122 | 9.146 | 133.229 | 172.484 | 100000000.000 |
| 57 | 7.787 | 119.590 | 170.740 | 100000000.000 | 123 | 8.043 | 121.907 | 173.491 | 100000000.000 |
| 59 | 8.133 | 118.510 | 170.774 | 100000000.000 | 124 | 7.993 | 121.630 | 168.735 | 100000000.000 |
| 60 | 9.267 | 114.775 | 175.972 | 100000000.000 | 125 | 8.290 | 122.054 | 171.337 | 100000000.000 |
| 61 | 7.870 | 118.043 | 173.147 | 100000000.000 | 126 | 7.100 | 116.847 | 172.729 | 100000000.000 |
| 63 | 8.839 | 117.789 | 171.096 | 100000000.000 | 127 | 8.411 | 117.786 | 173.606 | 100000000.000 |
| 64 | 7.203 | 116.970 | 170.132 | 100000000.000 | 128 | 10.849 | 123.240 | 172.572 | 100000000.000 |
| 65 | 7.997 | 116.706 | 174.037 | 100000000.000 | 129 | 6.856 | 111.368 | 174.119 | 100000000.000 |
| 66 | 9.151 | 116.706 | 172.083 | 100000000.000 | 130 | 6.787 | 114.327 | 172.333 | 100000000.000 |
| 67 | 7.752 | 116.641 | 171.311 | 100000000.000 | 131 | 9.379 | 119.116 | 173.353 | 100000000.000 |
| 68 | 8.499 | 116.653 | 170.021 | 100000000.000 | 132 | 7.312 | 119.306 | 173.439 | 100000000.000 |
| 70 | 7.324 | 116.447 | 173.451 | 100000000.000 | 133 | 7.394 | 124.190 | 171.345 | 100000000.000 |
| 72 | 6.704 | 116.451 | 173.352 | 100000000.000 | 134 | 7.117 | 119.884 | 172.575 | 100000000.000 |
| 74 | 8.001 | 116.162 | 170.441 | 100000000.000 | 135 | 9.378 | 127.446 | 171.915 | 100000000.000 |
| 75 | 7.681 | 115.882 | 172.716 | 100000000.000 | 200 | 8.310 | 115.000 | 168.441 | 100000000.000 |
| 77 | 8.168 | 115.039 | 171.635 | 100000000.000 | 201 | 7.804 | 125.159 | 168.441 | 100000000.000 |
| | | | | | 203 | 6.920 | 113.750 | 168.441 | 100000000.000 |

| ID | HN | N | CO | CA | Volumen | | | | | | |
|------|-------|---------|---------------|--------|----------------|------|--------|---------|---------------|--------|----------------|
| 3214 | 7.990 | 116.841 | 100000000.000 | 21.382 | -60690000.000 | 3283 | 7.099 | 116.812 | 100000000.000 | 27.418 | -58330000.000 |
| 3215 | 7.991 | 116.664 | 100000000.000 | 51.890 | 108700000.000 | 3284 | 7.100 | 116.763 | 100000000.000 | 42.190 | -11970000.000 |
| 3216 | 8.066 | 114.491 | 100000000.000 | 32.526 | -45380000.000 | 3285 | 7.099 | 116.784 | 100000000.000 | 53.442 | 18960000.000 |
| 3217 | 8.066 | 114.496 | 100000000.000 | 56.102 | 70750000.000 | 3286 | 7.098 | 116.805 | 100000000.000 | 57.783 | 96770000.000 |
| 3218 | 8.065 | 114.504 | 100000000.000 | 61.530 | 172200000.000 | 3287 | 8.412 | 117.760 | 100000000.000 | 59.140 | 156700000.000 |
| 3219 | 8.066 | 114.493 | 100000000.000 | 69.385 | -100000000.000 | 3288 | 8.412 | 117.736 | 100000000.000 | 31.951 | -41670000.000 |
| 3220 | 8.177 | 114.859 | 100000000.000 | 57.951 | 27200000.000 | 3289 | 8.412 | 117.897 | 100000000.000 | 61.907 | 34310000.000 |
| 3221 | 8.170 | 114.956 | 100000000.000 | 61.540 | 87950000.000 | 3290 | 8.412 | 117.742 | 100000000.000 | 63.266 | -100000000.000 |
| 3222 | 8.179 | 115.837 | 100000000.000 | 63.363 | -3881000.000 | 3291 | 8.444 | 115.820 | 100000000.000 | 55.269 | 77970000.000 |
| 3223 | 8.169 | 114.935 | 100000000.000 | 69.171 | -100000000.000 | 3292 | 8.446 | 115.802 | 100000000.000 | 50.086 | 59710000.000 |
| 3224 | 7.925 | 114.933 | 100000000.000 | 45.049 | 25790000.000 | 3293 | 8.444 | 115.827 | 100000000.000 | 38.154 | -84880000.000 |
| 3225 | 7.925 | 114.971 | 100000000.000 | 59.137 | 58770000.000 | 3294 | 8.444 | 115.799 | 100000000.000 | 22.619 | -45160000.000 |
| 3226 | 7.926 | 114.945 | 100000000.000 | 64.328 | -75490000.000 | 3295 | 7.739 | 106.971 | 100000000.000 | 29.888 | -13360000.000 |
| 3227 | 7.686 | 113.304 | 100000000.000 | 45.698 | -17250000.000 | 3296 | 7.739 | 106.955 | 100000000.000 | 60.048 | 22240000.000 |
| 3228 | 7.686 | 113.302 | 100000000.000 | 52.835 | 23660000.000 | 3297 | 7.738 | 107.070 | 100000000.000 | 64.660 | 32570000.000 |
| 3229 | 7.686 | 113.326 | 100000000.000 | 61.099 | 63220000.000 | 3298 | 7.739 | 106.966 | 100000000.000 | 67.831 | -52400000.000 |
| 3230 | 7.686 | 113.337 | 100000000.000 | 71.276 | -59640000.000 | 3299 | 10.854 | 123.213 | 100000000.000 | 54.087 | 9531000.000 |
| 3231 | 7.801 | 125.237 | 100000000.000 | 19.171 | -43560000.000 | 3300 | 10.854 | 123.270 | 100000000.000 | 36.548 | -17220000.000 |
| 3232 | 7.804 | 125.212 | 100000000.000 | 33.583 | -10300000.000 | 3301 | 10.846 | 122.861 | 100000000.000 | 59.309 | 23920000.000 |
| 3233 | 7.804 | 125.159 | 100000000.000 | 52.080 | 6283000.000 | 3302 | 10.854 | 123.182 | 100000000.000 | 64.672 | -23230000.000 |
| 3234 | 7.803 | 125.186 | 100000000.000 | 57.398 | 15490000.000 | 3303 | 8.627 | 123.732 | 100000000.000 | 18.625 | -19930000.000 |
| 3235 | 8.314 | 114.981 | 100000000.000 | 45.085 | 63270000.000 | 3304 | 8.627 | 123.776 | 100000000.000 | 45.697 | -55160000.000 |
| 3236 | 8.313 | 114.988 | 100000000.000 | 58.372 | 55420000.000 | 3305 | 8.627 | 123.591 | 100000000.000 | 51.251 | 25220000.000 |
| 3237 | 8.313 | 114.991 | 100000000.000 | 63.345 | -76500000.000 | 3306 | 8.627 | 123.729 | 100000000.000 | 52.752 | 74600000.000 |
| 3238 | 8.317 | 115.087 | 100000000.000 | 70.465 | 6083000.000 | 3307 | 8.625 | 122.749 | 100000000.000 | 56.796 | 181500000.000 |
| 3239 | 9.139 | 132.659 | 100000000.000 | 33.747 | -18830000.000 | 3308 | 9.120 | 122.283 | 100000000.000 | 16.770 | -13890000.000 |
| 3240 | 9.139 | 132.681 | 100000000.000 | 40.412 | -51190000.000 | 3309 | 9.120 | 122.314 | 100000000.000 | 36.513 | -95560000.000 |
| 3241 | 9.140 | 133.095 | 100000000.000 | 57.647 | 50160000.000 | 3310 | 9.122 | 122.266 | 100000000.000 | 54.190 | 12780000.000 |
| 3242 | 9.141 | 132.658 | 100000000.000 | 60.866 | 7842000.000 | 3311 | 9.122 | 122.266 | 100000000.000 | 63.440 | 13540000.000 |
| 3243 | 9.400 | 131.964 | 100000000.000 | 33.583 | -19430000.000 | 3312 | 9.413 | 122.510 | 100000000.000 | 42.423 | -35830000.000 |
| 3244 | 9.397 | 132.011 | 100000000.000 | 62.577 | 2480000.000 | 3313 | 9.413 | 122.500 | 100000000.000 | 56.110 | 68540000.000 |
| 3247 | 9.400 | 132.112 | 100000000.000 | 67.661 | -15530000.000 | 3314 | 9.413 | 122.474 | 100000000.000 | 60.204 | 17580000.000 |
| 3248 | 9.402 | 131.799 | 100000000.000 | 60.523 | 27730000.000 | 3315 | 9.413 | 122.475 | 100000000.000 | 70.201 | -21030000.000 |
| 3249 | 9.691 | 132.125 | 100000000.000 | 22.656 | -38430000.000 | 3316 | 6.855 | 111.148 | 100000000.000 | 27.424 | -23410000.000 |
| 3251 | 9.691 | 132.125 | 100000000.000 | 50.021 | 60940000.000 | 3317 | 6.855 | 111.139 | 100000000.000 | 57.863 | 38530000.000 |
| 3252 | 9.694 | 131.942 | 100000000.000 | 56.222 | 11790000.000 | 3318 | 6.854 | 111.770 | 100000000.000 | 58.780 | -37580000.000 |
| 3253 | 9.692 | 131.687 | 100000000.000 | 42.616 | -73090000.000 | 3319 | 6.854 | 111.147 | 100000000.000 | 60.937 | -22760000.000 |
| 3254 | 7.760 | 119.437 | 100000000.000 | 54.649 | 64410000.000 | 3320 | 6.852 | 111.770 | 100000000.000 | 60.155 | 34790000.000 |
| 3255 | 7.748 | 119.279 | 100000000.000 | 45.765 | 9746000.000 | 3321 | 6.915 | 113.643 | 100000000.000 | 36.848 | 61460000.000 |
| 3256 | 7.749 | 119.313 | 100000000.000 | 42.248 | -79860000.000 | 3322 | 6.916 | 113.724 | 100000000.000 | 53.903 | -92380000.000 |
| 3257 | 8.230 | 120.110 | 100000000.000 | 36.801 | -14350000.000 | 3323 | 8.935 | 113.697 | 100000000.000 | 42.763 | -62020000.000 |
| 3258 | 8.253 | 120.216 | 100000000.000 | 41.046 | -100000000.000 | 3324 | 8.935 | 113.700 | 100000000.000 | 52.254 | 16560000.000 |
| 3259 | 8.251 | 120.007 | 100000000.000 | 51.840 | 42140000.000 | 3325 | 8.935 | 113.710 | 100000000.000 | 55.562 | 91950000.000 |
| 3260 | 8.253 | 120.286 | 100000000.000 | 54.198 | 34580000.000 | 3326 | 9.375 | 118.811 | 100000000.000 | 36.255 | -11770000.000 |
| 3261 | 8.253 | 120.097 | 100000000.000 | 62.184 | 281400000.000 | 3327 | 9.378 | 119.118 | 100000000.000 | 42.137 | -137200000.000 |
| 3262 | 8.458 | 122.941 | 100000000.000 | 32.126 | -65150000.000 | 3328 | 9.380 | 119.129 | 100000000.000 | 59.762 | 14650000.000 |
| 3263 | 8.459 | 122.675 | 100000000.000 | 34.927 | -49530000.000 | 3329 | 9.378 | 119.129 | 100000000.000 | 58.875 | 50390000.000 |
| 3264 | 8.460 | 122.992 | 100000000.000 | 54.656 | 51820000.000 | 3330 | 7.313 | 119.284 | 100000000.000 | 51.355 | 8776000.000 |
| 3265 | 8.460 | 122.709 | 100000000.000 | 56.489 | 120800000.000 | 3331 | 7.314 | 119.313 | 100000000.000 | 59.218 | 107400000.000 |
| 3266 | 8.203 | 122.210 | 100000000.000 | 70.172 | -43620000.000 | 3332 | 7.316 | 119.319 | 100000000.000 | 38.027 | -29850000.000 |
| 3267 | 8.200 | 122.122 | 100000000.000 | 60.155 | 30030000.000 | 3333 | 7.317 | 119.320 | 100000000.000 | 39.599 | -16300000.000 |
| 3268 | 8.203 | 121.742 | 100000000.000 | 58.322 | 23370000.000 | 3334 | 5.415 | 119.622 | 100000000.000 | 28.928 | -12870000.000 |
| 3269 | 8.189 | 122.117 | 100000000.000 | 33.183 | -35030000.000 | 3335 | 5.413 | 119.611 | 100000000.000 | 30.644 | -65330000.000 |
| 3270 | 8.188 | 122.118 | 100000000.000 | 35.082 | -61790000.000 | 3336 | 5.412 | 119.631 | 100000000.000 | 58.484 | 21500000.000 |
| 3271 | 8.195 | 121.987 | 100000000.000 | 53.636 | 65000000.000 | 3337 | 5.414 | 119.634 | 100000000.000 | 61.250 | 53900000.000 |
| 3272 | 7.991 | 121.676 | 100000000.000 | 23.164 | -73570000.000 | 3338 | 9.378 | 127.445 | 100000000.000 | 31.088 | -21940000.000 |
| 3273 | 7.991 | 121.674 | 100000000.000 | 52.120 | 135100000.000 | 3339 | 7.896 | 126.005 | 100000000.000 | 29.755 | -7322000.000 |
| 3274 | 7.991 | 121.639 | 100000000.000 | 57.601 | 20380000.000 | 3340 | 7.155 | 119.777 | 100000000.000 | 58.710 | 15340000.000 |
| 3275 | 7.991 | 121.629 | 100000000.000 | 66.259 | -15750000.000 | 3341 | 7.158 | 119.659 | 100000000.000 | 38.732 | -43750000.000 |
| 3276 | 8.061 | 120.728 | 100000000.000 | 32.547 | -100000000.000 | 3342 | 7.156 | 119.750 | 100000000.000 | 28.959 | -86140000.000 |
| 3277 | 8.053 | 121.131 | 100000000.000 | 55.011 | 136400000.000 | 3343 | 11.797 | 101.896 | 100000000.000 | 65.513 | -19730000.000 |
| 3278 | 8.061 | 120.692 | 100000000.000 | 61.864 | 274000000.000 | 3344 | 11.797 | 101.916 | 100000000.000 | 52.301 | 20110000.000 |
| 3279 | 9.273 | 114.671 | 100000000.000 | 28.100 | -70050000.000 | 3345 | 11.797 | 101.829 | 100000000.000 | 48.416 | -55930000.000 |
| 3280 | 9.273 | 114.660 | 100000000.000 | 31.959 | -25470000.000 | 3346 | 11.797 | 101.916 | 100000000.000 | 51.380 | 48130000.000 |
| 3281 | 9.273 | 114.679 | 100000000.000 | 58.494 | 103900000.000 | | | | | | |
| 3282 | 9.276 | 114.736 | 100000000.000 | 59.958 | 45060000.000 | | | | | | |

| ID | HN | N | CO | CA | Volumen |
|------|-------|---------|---------------|--------|---------|
| 2208 | 9.267 | 114.867 | 100000000.000 | 59.676 | 1.000 |
| 2209 | 8.968 | 114.920 | 100000000.000 | 59.836 | 1.000 |
| 2210 | 8.969 | 114.842 | 100000000.000 | 39.857 | 1.000 |
| 2211 | 6.781 | 114.281 | 100000000.000 | 40.384 | 1.000 |
| 2212 | 6.780 | 114.298 | 100000000.000 | 55.128 | 1.000 |
| 2213 | 6.920 | 113.820 | 100000000.000 | 36.501 | 1.000 |
| 2214 | 6.921 | 113.688 | 100000000.000 | 53.718 | 1.000 |
| 2215 | 8.482 | 113.609 | 100000000.000 | 55.311 | 1.000 |
| 2216 | 8.481 | 113.629 | 100000000.000 | 37.640 | 1.000 |
| 2217 | 8.940 | 113.740 | 100000000.000 | 42.040 | 1.000 |
| 2218 | 8.938 | 113.738 | 100000000.000 | 52.400 | 1.000 |
| 2219 | 7.689 | 113.515 | 100000000.000 | 45.263 | 1.000 |
| 2220 | 7.683 | 113.499 | 100000000.000 | 52.460 | 1.000 |
| 2221 | 7.647 | 113.615 | 100000000.000 | 53.450 | 1.000 |
| 2222 | 7.645 | 113.732 | 100000000.000 | 36.453 | 1.000 |
| 2223 | 7.592 | 114.027 | 100000000.000 | 53.632 | 1.000 |
| 2224 | 7.591 | 113.952 | 100000000.000 | 36.780 | 1.000 |
| 2225 | 8.067 | 114.694 | 100000000.000 | 55.701 | 1.000 |
| 2226 | 8.069 | 114.585 | 100000000.000 | 32.525 | 1.000 |
| 2227 | 8.478 | 112.699 | 100000000.000 | 36.540 | 1.000 |
| 2228 | 8.475 | 112.656 | 100000000.000 | 54.367 | 1.000 |
| 2229 | 8.716 | 112.617 | 100000000.000 | 31.820 | 1.000 |
| 2230 | 8.717 | 112.613 | 100000000.000 | 58.315 | 1.000 |
| 2231 | 6.787 | 112.935 | 100000000.000 | 40.823 | 1.000 |
| 2232 | 6.781 | 112.884 | 100000000.000 | 55.028 | 1.000 |
| 2233 | 7.632 | 112.598 | 100000000.000 | 36.479 | 1.000 |
| 2234 | 7.631 | 112.594 | 100000000.000 | 55.539 | 1.000 |
| 2235 | 6.962 | 112.624 | 100000000.000 | 55.316 | 1.000 |
| 2236 | 6.961 | 112.576 | 100000000.000 | 36.472 | 1.000 |
| 2237 | 7.460 | 111.799 | 100000000.000 | 37.983 | 1.000 |
| 2238 | 7.460 | 111.792 | 100000000.000 | 54.091 | 1.000 |
| 2239 | 6.781 | 111.766 | 100000000.000 | 38.192 | 1.000 |
| 2240 | 6.805 | 111.809 | 100000000.000 | 54.184 | 1.000 |
| 2241 | 6.858 | 111.328 | 100000000.000 | 57.575 | 1.000 |
| 2242 | 6.854 | 111.388 | 100000000.000 | 26.719 | 1.000 |
| 2243 | 6.772 | 110.399 | 100000000.000 | 38.066 | 1.000 |
| 2244 | 6.772 | 110.432 | 100000000.000 | 55.194 | 1.000 |
| 2245 | 7.462 | 110.496 | 100000000.000 | 54.714 | 1.000 |
| 2246 | 7.461 | 110.455 | 100000000.000 | 38.052 | 1.000 |
| 2247 | 7.083 | 109.144 | 100000000.000 | 19.485 | 1.000 |
| 2248 | 7.083 | 109.198 | 100000000.000 | 49.855 | 1.000 |
| 2250 | 7.296 | 108.406 | 100000000.000 | 55.373 | 1.000 |
| 2251 | 7.295 | 108.402 | 100000000.000 | 63.572 | 1.000 |
| 2252 | 8.130 | 108.319 | 100000000.000 | 55.350 | 1.000 |
| 2253 | 8.138 | 108.313 | 100000000.000 | 18.032 | 1.000 |
| 2254 | 7.742 | 107.265 | 100000000.000 | 29.709 | 1.000 |
| 2255 | 7.739 | 107.254 | 100000000.000 | 59.989 | 1.000 |
| 2256 | 8.600 | 106.470 | 100000000.000 | 38.441 | 1.000 |
| 2257 | 8.600 | 106.460 | 100000000.000 | 55.668 | 1.000 |
| 2258 | 7.295 | 108.398 | 100000000.000 | 67.889 | 1.000 |
| 2259 | 9.712 | 119.860 | 100000000.000 | 33.485 | 1.000 |
| 2260 | 9.714 | 119.876 | 100000000.000 | 60.301 | 1.000 |
| 2261 | 8.634 | 123.657 | 100000000.000 | 21.181 | 0.000 |
| 2262 | 8.627 | 123.653 | 100000000.000 | 49.004 | 0.000 |

Anhang F Parameter der Optimierungsprogramme

F.1 Netzbildung

| | | |
|-----------|-----------------|-----------------------|
| distanzen | [positive Zahl] | [abhängig vom Isotop] |
| CA/CB/CO | 0.5 – 1.0 ppm | |
| H | 0.02–0.05 ppm | |
| NH | 0.5 – 1.0 ppm | |

F.2 Problemstellung

| | | |
|---|-------------------|---------------------------------|
| protein | [dateiname] | "Protein" |
| enthält die Proteindeinition (Länge, Sequenz, ...) | | |
| pool | [dateiname] | "Poolfile" |
| Liste der Peaklisten und NMR-Experiment-Definitionen. | | |
| netfile | [dateiname] | "netfile.2_0" |
| Name der Peaknet Datei, bestimmt die Nachbarschaftsbeziehung zwischen den Peaks. | | |
| cache | [verzeichnisname] | "cache" |
| Das Verzeichnis, in dem die Context Listen für peaks und Aminosäuren abgelegt werden. | | |
| indepFile | [dateiname] | "OptimizerInfo.<<extension>>" |
| Die Definition des Cache-Ausschnittes der geladen wird. | | |
| optiFileName | [dateiname] | "RandomDump.#<arenasize>.empty" |
| Der Anfangszustand des Optimierers. | | |
| dumpFile | [dateiname] | "RandomDump.<<extension>>" |
| Der Endzustand des Optimierers. Das Ergebnis! Kann als Anfangszustand verwendet werden. | | |

F.3 Parameter des RANDOM Algorithmus

Abbruchbedingung:

| | | |
|--|--------|--|
| maxLoops | [loop] | |
| Die Anzahl der Zyklen, die RANDOM maximal durchlaufen darf. Teil der Abbruchbedingung. | | |
| maxTime | [min] | |
| Reale Zeit, die RANDOM maximal durchlaufen darf. Teil der Abbruchbedingung. | | |
| maxIdleLoops | [loop] | |
| Maximale Anzahl der Zyklen, in denen keine Verbesserung erreicht wird, bevor RANDOM abbricht. Teil der Abbruchbedingung. | | |

Konfiguration:

| | | |
|-----------------------------------|-------------|----------|
| qThreshold | [0.0 – 1.0] | [0.9] |
| Faktor für die Qualitätsschwelle. | | |
| qThresholdDecayRate | [0.0 – 1.0] | [0.0005] |
| Zerfallsrate für qThreshold. | | |

| | | | |
|---------------|------------------|-----------------|--|
| minTTL | [loops] | [2] | minimale TTL (Time to Live). Zustände mit einer Qualität unterhalb der Qualitätsschwelle werden nicht ersetzt, wenn sie \leq minTTL Zykeln alt sind. |
| maxTTL | [loops] | [3] | maximale TTL (Time to Live). Zustände mit einer TTL \geq maxTTL Zykeln werden ersetzt, auch wenn sie eine Qualität oberhalb der Qualitätsschwelle haben. |
| randArenaSize | [anzahl] | [4] | Anzahl der gleichzeitig gerechneten Zustände S im RANDOM-Algorithmus. |
| profile | [dateiname] | "profil.mix1_2" | Wahrscheinlichkeitstabelle für die einzelnen Aktionen. |
| random | [zahl "time"] | "time" | Startwert für den Pseudorandomzahlengenerator. Mit "time" wird die Systemzeit in Sekunden als Startwert verwendet. |

Geschwindigkeit / Speicher:

| | | | |
|---------|--------------|-----------|---|
| calc | [bezeichner] | "as_link" | Wählt den Berechnungsalgorithmus aus. Bestimmt wieviel Speicher der Algorithmus verbraucht. |
| none | | | kein Berechnungscache. |
| as | | | Berechnungscache für AS-Berechnung. |
| as_link | | | Berechnungscache für AS- und Link-Berechnung. |

F.4 Genetischer Optimierer

Konfiguration:

| | | | |
|------------------------|-------------------|---------|---|
| optiOp | [bezeichner] | [Gs2p2] | Der Name des Crossover Operators. |
| crossOverPct | [0.0-1.0] | [0.15] | Parameter des Crossover Operators. Anteil der Zustandsdifferenz, der in den neuen Zustand übertragen wird. |
| genArenaSize | [anzahl] | [8] | Anzahl der parallel berechneten Individuen. |
| seedPoolSize | [anzahl] | [4] | Anzahl der Eltern. |
| survivingSeeds | [anzahl] | [4] | Anzahl der garantiert überlebenden Individuen. |
| genQThreshold | [0.0-1.0] | [0.9] | Mindestqualitätsfaktor, relativ zum aktuell besten Individuen. |
| genQThresholdDecayRate | [0.0-1.0] | [0.05] | Analog zu qThresholdDecayRate. |
| genCrossoverThreshold | [0.0- $+\infty$] | [0.5] | Mindestrate die die gleitende Crossover-Rate überschreiten muß. Wird die Schwelle unterschritten, wird genQThreshold mittels genQThresholdDecayRate angehoben. (Formel: 2-15) |
| genMaxEqualLoops | [loops] | [5] | Maximale Zyklenanzahl, wenn alle Individuen die gleiche Qualität haben. |

genMaxIdleLoops [loops] [15]

Analog zu maxIdleLoops.

Suboptimierer (RANDOM als Mutationsalgorithmus):

subMaxTime [min] [1]

subMaxLoops [loops] [4000]

subMaxIdleLoops [loops] [4001]

Analog zu den gleichnamigen Parametern ohne sub-Präfix. Diese Parameter überschreiben die Voreinstellungen für RANDOM.

Nachgeschalteter Optimierer (RANDOM):

finalRunTime [min] [-]

finalMaxLoops [loops] [20000]

finalMaxIdle [loops] [5000]

Analog zu den gleichnamigen Parametern ohne sub-Präfix. Diese Parameter überschreiben die Voreinstellungen für RANDOM.

Anhang G Verwendete Symbole und Abkürzungen

G.1 Abkürzungen

| | |
|------------|---|
| NMR | <u>N</u> uclear <u>M</u> agnetic <u>R</u> esonance. |
| HNCO | NMR Experimente |
| HNCA | |
| CBCANH | |
| CBCA(CO)NH | |
| ACX | AS–Context, AS–Protospinsystem. |
| LCX | Link–Context, Link–Protospinsystem. |
| CX | Context. |
| Context | Context, Repräsentation eines Protospinsystems im Programm. |

G.2 Symbole

| | |
|---------------------|--|
| N | Node, Knoten im PeakNet, repräsentiert einen Peak. |
| E $K e_i$ | Edge, ungerichtete Kante zwischen zwei Knoten im PeakNet mit Qualität. |
| E | Element im Zustand. |
| a_p | Anzahl der belegbaren Positionen im Zustand. |
| a_k | Anzahl der verteilbaren Elemente. |
| P | die Menge aller Peaks. |
| S_i | Zustand, eine Lösung im Lösungsraum |
| S_b | die Menge aller Zustände, die genau b Elemente enthalten. |
| S_p | der Lösungsraum mit Zuständen mit p Positionen. |
| S | State, der Zustand im Lösungsraum, das Individuum im Optimierer. |
| $S_{x,p}$ | State mit x Elementen und p Positionen. |
| S_{NULL} | der leere Zustand. Einziges Element in S_0 . |
| S_{NULL}^{NULL} | der leere Zustand. Einziges Element in M_0 . |
| S_b^c | Menge aller $S_{b,p}$ mit b belegten Positionen, die die gleichen Elemente enthalten. |
| $S_{b,norm}^c$ | Das erste Element der Menge S_b^c , jedes Element der Menge kann durch Normierung in $S_{b,norm}^c$ überführt werden. |
| N | Nachbarschaft |
| M_b | Menge aller $S_{b,p}$ mit b belegen Positionen ohne Wiederholung eines Elements. |
| T_{S_1, S_2}^{op} | Operation, die S_1 in S_2 umwandelt. $S_1 \in M_i \wedge S_2 \in M_j$ |
| $T_{S1, S2}^{op}$ | Transition, die Operation op , die Zustand $S1$ in $S2$ umwandelt. |
| T^+ | Transition, die Operation op , die Zustand $S1$, durch hinzufügen eines Elements, in $S2$ umwandelt. Die inverse Operation zu T^- . |
| T^- | Transition, die Operation op die Zustand $S1$, durch Entfernen eines Elements, in $S2$ umwandelt. Die inverse Operation zu T^+ . |
| T^{NULL} | Null–Transition, die Operation die Zustand $S1$ unverändert läßt. |
| a_{amino} | Anzahl der Aminosäuren im Protein. |
| a_{AS} | Anzahl der AS–Protospinsysteme |
| a_{Link} | Anzahl der Link–Protospinsysteme |
| $a_{ca,xx}$ | Anzahl der Kanten mit CA Frequenz im der aktuellen Knoten |
| $a_{cb,xx}$ | Anzahl der Kanten mit CB Frequenz im der aktuellen Knoten |
| a_{Pro} | Anzahl der Proline im Protein. (analog für alle anderen Aminosäuren) |
| $a_{Pro,innen}$ | Anzahl der Proline die nicht am Rand des Proteins liegen. |

| | |
|-------------------|---|
| $a_{AS,max}$ | theror. Anzahl der AS–Protospinsysteme. |
| $a_{Pro,innen}$ | Anzahl der Proline die nicht am Rand des Proteins liegen. |
| Q_{AS} | Qualität eines ACX ohne Bewertung der Aminosäureposition. (analog für LCX) |
| Q_{AS+Typ} | Qualität eines ACX mit Bewertung der Aminosäureposition. |
| $O()$ | Komplexitätsfunktion |
| $P_{i,j}(T^{op})$ | Wahrscheinlichkeit der Akzeptanz der Aktion T^{op} im kombinatorischen Optimierer |
| $POP(t)$ | Population der Individuen im genetischen Optimierer |
| V_1, V_2 | Volumen des ersten Peaks, .. |

Anhang H Kombinatorik

H.1 Permutationen und Variation

Verteile p unterschiedliche Elemente aus einer n -elementigen Menge auf i Positionen

| | ohne Wiederholung | mit Wiederholung |
|--|---|-------------------------------|
| Permutation $i = p = n$ | $A_i = i!$ | $A_i = \frac{i!}{\prod g_k!}$ |
| Variation $i = p \quad n \neq p$ | $V_{n,i} = \frac{n!}{(n-i)!} = n * (n-1) * (n-2) * \dots * (n-i+1)$ | $\bar{V}_{n,i} = n^i$ |

g_k ist die Anzahl der Elemente in der k te Gruppe von Elementen, die man nicht von einander unterscheiden kann.

H.2 Kombinationen

Wieviel unterschiedliche Kombinationen (ohne Beachtung der Reihenfolge) von i aus n unterschiedlichen Elementen gibt es?

| ohne Wiederholung. | wie vorher, aber mit Wiederholung. |
|--|------------------------------------|
| $C_{n,i} = \frac{n!}{i!(n-i)!} = \binom{n}{i}$ | $\bar{C}_{n,i} = \binom{n+i-1}{i}$ |

| $n =$ Anzahl der Elemente $i =$ Positionen | Permutationen Reihenfolge wesentlich! | Kombinationen Reihenfolge unwesentlich. |
|---|--|--|
| ohne Wiederholung | $V_{n,i} = \frac{n!}{(n-i)!}$ | $C_{n,i} = \frac{n!}{i!(n-i)!} = \binom{n}{i}$ |
| mit Wiederholung (doppelte Elemente) | $\bar{V}_{n,i} = n^i$ | $\bar{C}_{n,i} = \binom{n+i-1}{i}$ |

Auf wieviel verschiedene Arten kann man i von k verschiedenen Elementen auf p Positionen verteilen?

Nebenbedingungen: $p \geq i$ und die Reihenfolge wird beachtet.

$$a(M_i) = \frac{k!}{(k-i)!} * \frac{p!}{i!(p-i)!}$$

p ist die Anzahl der *möglichen* Positionen.

i ist die Anzahl der *belegten* Positionen und damit gleich Anzahl der ausgewählten Elemente.

n ist die Anzahl der Elemente

Quelle: [Zachmann84, S.27++]

Anhang I Definitionen der Graphen Theorie

Aus [Reinelt94, S.4+, Bronstein91, S.157++]

Definitionen: Ein *ungerichteter Graph* $G = (V, E)$ besteht aus einem finiten Set *Knoten* V und einem finiten Set *Kanten* E . Jede *Kante* e hat zwei Endknoten u, v aus V und wird als $e = \{u, v\}$ notiert. Ist der Graph ungerichtet, kann man $e = \{u, v\}$ nicht von $e = \{v, u\}$ unterscheiden, andernfalls ist der Graph *gerichtet*. Ein gerichteter Graph D ist *vollständig*, wenn es für jede Kante $e = \{u, v\}$ eine Kante $e = \{v, u\}$ gibt.

Zwei Knoten sind *benachbart*, wenn es mindestens eine Kante gibt, die sie verknüpft. Wenn für eine Folge benachbarter Knoten e_1, e_2, \dots, e_k gilt $\{e_i, e_{i+1}\} \in E$ mit $i = 1, \dots, k-1$, dann ist die zugehörige Kantenfolge ein *Weg*. Die Kantenzahl $k-1$ ist seine *Weglänge*, e_1 der *Anfangs-* und e_k der *Endknoten*. Ein geschlossener Weg, bei dem der Anfangsknoten gleich dem Endknoten ist, ist ein *Rundweg (Zyklus)*. Der *Grad* eines Knotens ist die Anzahl der Kanten die an diesem Knoten ankommen und von diesem ausgehen.

Ein Graph ist *zusammenhängend*, wenn jedes Eckenpaar aus V über einen Weg in E verbunden ist. In einem azyklischen Graph gibt es keine Zyklen, ein solcher Graph ist ein *Baum*.

Ein *gewichteter Graph* G besteht aus einem Knotenset V und einem Kantenset E , indem jeder Kante ein Gewicht w zugeordnet ist. Das Gewicht eines Weges ist die Summe der Gewichte entlang des Weges. Diese Summe wird auch die *Länge des Weges* genannt. Zusätzlich können auch den Knoten Gewichte zugeordnet sein. Das Gewicht des Weges enthält dann auch die Knotengewichte. Der Weg mit der niedrigsten Summe ist der *kürzeste Weg*.

Anhang J Notwendige Computerressourcen

J.1 Programmierumgebung

Das Programm wurde in einer UNIX Umgebung auf Linux (Kernel 2.2.14, SuSE 5.2 – 6.4) entwickelt. Die Rechnungen der Parametrisierung wurden auf einem Intel PII 400 mit 256 MB Speicher durchgeführt.

Voraussetzung für die Erzeugung der Programme ist eine vollständige GNU Programmierumgebung aus GCC C++ (größer v 2.8), GDB, libg++, Perl 5.005 mit TK Perl v8.0, CVS, flex, bison, GNU make, nm, ar und den üblichen UNIX Werkzeugen. Für die Shellscrip te im Projekt werden außerdem tar, bzip2 und sed benötigt.

Das Verzeichnis mit den *shared libraries* des ASSIGN Quellbaumes (`${ROOTDIR}/lib`) muß in den Pfad für die *shared libraries* des Betriebssystems aufgenommen werden!

Anhang K Verzeichnisstrukturen

K.1 Verzeichnisse und Dateien eines Zuweisungsprojektes

| Verzeichnis / Datei | Erklärung |
|---|--|
| ../Trigger | das Hauptverzeichnis des Projekts "Trigger" |
| ../Trigger/ bin | Link zu den Programmen -> \$ASS/bin |
| ../Trigger/cache /.GlyInfo | ein Cache Basisverzeichnis die gesammelte Glycin Information |
| /.globalPage /.maxNames /.selectedEntries | Dateien für viewCache.pl |
| ../Trigger/cache /p0001 /p0002 /... /p0203 | Peak Cache je ein Verzeichnis pro Basispeak (d.h. Peak im HNCO) |
| ../Trigger/cache/p0023/conditions /listCA.complete /.filtered.19991119-01 | die lokalen Bedingungen für BP-23 eine Protospinsystemliste für die lokalen Bedingungen eine gefilterte Protospinsystemliste |
| /as001 /as002 /... /as113 | Aminosäure Cache. je ein Verzeichnis pro Aminosäure im Protein. |
| ../Trigger/ pattern | die Protospinsystemmuster \$ASS/pattern |
| ../Trigger/orginale | enthält die Peaklisten |
| /orginale/ Poolfile.pool | faßt die Peaklisten zusammen. |
| /orginale/ hnco.plf | die Definition einer Peakliste mit den Teilen .xpk, .vol, .ppm, .list100, .axis |
| ../Trigger/sequences | die Optimierungsergebnisse |
| ../Trigger/sequences/ macros | die Konfigurationsmakros \$ASS/Assign/Optim- izerScripts |
| ../Trigger/sequences/<<optimierungsstufe>> /best | die Optimierungsergebnisse einer Stufe Verzeichnis für die Referenzzuweisung bei bekannter theoretischer Zuweisung |
| ../Trigger/ profile | die Aktionsprofile \$ASS/profile |
| / .profile.local / setEnv | setzt die Umgebungsvariablen für das Projekt in die- sem Verzeichnis, sollte von der Shell <i>gesourced</i> wer- den |
| / Protein | die Proteindefinition |
| /netfile.xxxx | ein Netzfile (PeakNet) |
| / NetLog | das Logfile für dumpNode |
| / RandomDump.32.empty | eine leere Zuweisung mit 32 Individuen |
| / asQFactor.noHisTag | die Gewichtung der Aminosäurepositionen |
| /NetDB.<<ext>> | eine Perl Datenbank |

Tabelle K-1 Dateisystemstruktur eines Projektes anhand von "Trigger". **Fett** gesetzte Dateien müssen von Hand erzeugt werden. **Blau** markiert Verzeichnisse, die mit dem \$ASS Projekt geteilt werden.

K.2 Der Quellcode

Die Programme des ASSIGN Projekts befinden sich in einem gemeinsamen Verzeichnisbaum (`../assign`). Der Pfad zu diesem Verzeichnis muß in der Umgebungsvariablen `$ASS` gespeichert sein. Der Quellcode ist in verschiedene Bibliotheken in einzelnen Unterverzeichnissen aufgeteilt. Jedes Bibliotheksverzeichnis enthält den Quellcode für eine Bibliothek und für Programme, die die Bibliothek nutzen. Die Bibliotheksverzeichnisse haben eine einheitliche Struktur und verwenden gemeinsame Makefiles aus dem zentralen Quellverzeichnis. Die Objektdateien jeder Bibliothek werden in einem einzelnen Verzeichnis des Build-Verzeichnisses gesammelt, während die der lokalen Programme im Quellverzeichnis erzeugt werden.

| Verzeichnis / Datei | Erklärung |
|--|---|
| <code>../assign</code> | das Hauptverzeichnis des Quellcodes enthält die zentralen Makefiles und alle Bibliotheksverzeichnisse. <code>#{ROOTDIR}</code> und <code>\$ASS</code> . |
| <code>#{ROOTDIR}/bin</code> | <code>collectBin.pl</code> erzeugt hier einen Symlink für jedes ausführbare Programm. |
| <code>#{ROOTDIR}/lib</code> | enthält alle Bibliotheken. Die <code>lib</code> Verzeichnisse in den Bibliotheksverzeichnissen zeigen hierher. |
| <code>#{ROOTDIR}/pattern</code> | die Protospinssystemmuster. |
| <code>#{ROOTDIR}/profile</code> | die Aktionsprofile. |
| <code>#{ROOTDIR}/Tools</code> | Werkzeuge für die Programmerzeugung. |
| <code>#{ROOTDIR}/<<bibliothek>></code> | ein Bibliotheksverzeichnis. Enthält auch die zugehörigen Programme. |
| <code>#{ROOTDIR}/AssignNet/OptimizerScripts</code> | die Makros für die Optimiererstartscripte. (<code>../macros</code>) |
| <code>#{ROOTDIR}/Viewer/*</code> | die Perl-Werkzeuge und -Programme, auch Bibliotheksverzeichnis für die Perl-Programme. |

Tabelle K-2 Struktur der Verzeichnisse des Quellbaumes. [Blau](#) markiert Verzeichnisse, die mit den Projekten geteilt werden. `#{ROOTDIR}/lib` muß in den Pfad für die shared libs des Betriebssystems aufgenommen werden!

| Verzeichnis / Bibliothek | Erklärung |
|------------------------------------|--|
| <code>#{ROOTDIR}/Base</code> | Basisklassen, zum Teil aus libg++, Array, Map, ... |
| <code>#{ROOTDIR}/Basic</code> | Basisklassen, die auf Base aufbauen. Peak, Axis, Accounting, ... |
| <code>#{ROOTDIR}/Lex</code> | der Lexer (kaum benutzt, nur für Protein) |
| <code>#{ROOTDIR}/Fuzzy</code> | die Fuzzy – Zahlen Klasse (nur Fuzzy.h benutzt) |
| <code>#{ROOTDIR}/LongOpt</code> | der Kommandozeilenparameterparser |
| <code>#{ROOTDIR}/Obj</code> | Debugging und Allocator–Klassen |
| <code>#{ROOTDIR}/Peak</code> | Klassen Peak, Peakliste, Peakpool |
| <code>#{ROOTDIR}/PeakNet</code> | Klassen PeakNet, Condition.., LinFunc, |
| <code>#{ROOTDIR}/BBNet</code> | Programme |
| <code>#{ROOTDIR}/Gr</code> | Modul rund um die Grzesiek–Aminosäurebewertungsfunktionen. |
| <code>#{ROOTDIR}/Matrix</code> | Routinen um Felix .mat Dateien zu lesen. |
| <code>#{ROOTDIR}/Expression</code> | die Bewertung der Protospinsysteme. Klassen Expression ... |
| <code>#{ROOTDIR}/AssignNet</code> | alles für den Optimierer |

Tabelle K–3 Die Bibliotheksverzeichnisse in ansteigender Komplexität der Bibliotheken.

| Verzeichnis / Datei | Erklärung |
|---|--|
| <code>#{ROOTDIR}/AssignNet</code> | das Quellverzeichnis für die Bibliothek AssignNet innerhalb des lokalen Makefiles gleich <code>#{SRCDIR}</code> |
| <code>#{SRCDIR}/lib</code> | Symlink zu <code>#{ROOTDIR}/lib</code> |
| <code>#{SRCDIR}/obj</code> | ein Symlink zu dem aktuellen Build Verzeichnis Ist innerhalb des lokalen Makefiles gleich <code>#{OBJDIR}</code> |
| <code>#{SRCDIR}/.depend/*.d</code> | die Abhängigkeiten der Quellen, eine Datei je .cc oder .c |
| <code>#{SRCDIR}/.depend/makefile.dependencies.0</code> | alle temporäre Datei für die Abhängigkeiten |
| <code>#{SRCDIR}/makefile.dependencies</code> | Include–Datei für makefile |
| <code>#{SRCDIR}/makefile</code> | das Makefile für diese Bibliothek und alle seine Programme |
| <code>#{SRCDIR}/.cc_exe</code> | Liste der Programme, die aus c++ Quellen in diesem Verzeichnis erzeugt werden. |
| <code>#{SRCDIR}/.cvsignore</code> <code>#{SRCDIR}/CVS</code> | Teil der CVS Versionsverwaltung |

Tabelle K–4 Struktur eines einzelnen Bibliotheksverzeichnisses.

K.2.1 Die Make Dateien

Die Make–Dateien des Projektes bilden eine Hierarchie. Jedes Verzeichnis enthält eine Datei namens *makefile* die alle weiteren Makefiles einbindet.

| Datei | Erklärung |
|---|--|
| <code>\${ROOTDIR}/makefile</code> | das zentrale Makefile, startet globale Aktionen bindet <code>\${ROOTDIR}/makefile.tools</code> und <code>makefile.root</code> ein. |
| <code>\${ROOTDIR}/makefile.root</code> | zentrale Definition des aktuellen Orts im Dateisystem. definiert die Wurzel des Quell- und des Buildbaumes. |
| <code>\${ROOTDIR}/makefile.common</code> | zentrale Definition wichtiger Regeln, wird nur von den Makefiles der Bibliotheken eingebunden. bindet <code>makefile.root</code> , <code>makefile.tools</code> , <code>makefile.build</code> und <code>makefile.os</code> ein. |
| <code>\${ROOTDIR}/makefile.tools</code> | zentrale Definition wichtiger Werkzeuge. |
| <code>\${ROOTDIR}/makefile.os</code> | zentrale Anpassung der Makefiles an das Betriebssystem definiert auch den verwendeten Compiler. |
| <code>\${SRCDIR}/<<bibliothek>>/makefile</code> | das Makefile für eine Bibliothek. bindet <code>\${ROOTDIR}/makefile.common</code> ein. |
| <code>\${OBJBASE}/<<build>>/makefile.build</code> | definiert den Namen des aktiven Builds als Makevariable |

Tabelle K-5 Hierarchie der Makefiles

| Verzeichnis / Datei | Erklärung |
|---|--|
| <code>../assign.build/</code> | die Build Hierarchie <code>\${OBJBASE}</code> , enthält die parallelen Buildverzeichnisse |
| <code>../assign.build/makefile</code> | das zentrale Makefile der Build Hierarchie, startet globale Aktionen innerhalb der Build Hierarchie <code>\${OBJBASE}</code> |
| <code>../assign.obj/</code> | ein symbolischer Link zum aktiven Buildverzeichnis. -> <code>\${OBJBASE}/<<build>>/</code> |
| <code>\${OBJBASE}/makefile.build_root</code> | zentrale Definition des aktuellen Orts im Dateisystem. |
| <code>\${OBJBASE}/makefile</code> | definiert die Aktionen zum Verändern des aktiven Builds. |
| <code>\${OBJBASE}/makefile.common</code> | gemeinsame Definitionen innerhalb der Build Hierarchie. |
| <code>\${OBJBASE}/<<build>>/</code> | die Wurzel für einen Build. (Ziel für einen Symlink) enthält je ein Verzeichnis je Bibliothek. |
| <code>\${OBJBASE}/<<build>>/makefile</code> | für die Build-Hierarchie. |
| <code>\${OBJBASE}/<<build>>/makefile.build</code> | wird von <code>\${ROOTDIR}/makefile.common</code> eingebunden. definiert <code>BUILD_FLAG == Name des aktiven Builds</code> |
| <code>\${OBJBASE}/<<build>>/lib</code> | zentrales Bibliotheksverzeichnis (Ziel für einen Symlink) |
| <code>\${OBJBASE}/<<build>>/<<bibliothek>></code> | obj -Verzeichnis einer Bibliothek (Ziel für einen Symlink) |

Tabelle K-6 Struktur des Build-Verzeichnisbaumes

Die Struktur der Makefiles erlaubt es Bibliotheken und Programme mit verschiedenen Optimierungen und Debuggingoptionen zu erzeugen. Dazu muß man den jeweiligen Build `<<build>>` in `assign.obj` aktivieren.

```
make <<build>>
```

Dabei ändert sich der Link für `assign.obj`. Danach müssen zuerst die Bibliotheken und dann die Programme neu erzeugt werden.

Anhang L Datenformate der Eingabedateien

L.1 Peakpool

Die Peaks eines Datensatzes / Experimentsets werden in einem Peakpool zusammengefaßt. Die `.pool` Datei benennt die `.plf` Dateien, die für einen Pool eingelesen werden sollen.

```
BEGIN POOLFILE
  Length 4
  PeakList "/simul/va/Trigger/orginale/hnco_reorder_19991005.plf"
  PeakList "/simul/va/Trigger/orginale/hnca_test.plf"
  PeakList "/simul/va/Trigger/orginale/cbcanh_test.plf"
  PeakList "/simul/va/Trigger/orginale/cbca_conh_test.plf"
END POOLFILE
```

L.2 Die .plf Datei

Die `.plf` Datei verbindet die einzelnen Dateien eines Experiments zu einer Peakliste. Sie kann unterschiedlich viele Teile (`PARTS`) zusammenfassen und sich Dateien mit anderen `.plf` Dateien teilen (zB. die Referenzierung in der `.axis` Datei). Die Teile werden in der in `PARTS` angegebenen Reihenfolge geladen und können sich daher überlagern! Das gilt insbesondere für die `.xpk` und `.list1xx` Dateien!

```
BEGIN PEAKLISTFILE
  SymbName "hnca"
  Parts "axis,xpk,vol"
  XPK "/data/simul/va/Trigger/orginale/hnca_reorder_19991005.xpk"
  Axis "/data/simul/va/Trigger/orginale/hnca_test.axis"
  Vol "/data/simul/va/Trigger/orginale/hnca_reorder_19991005.vol"
END PEAKLISTFILE
```

L.3 Die .axis Datei

Die `.axis` Dateien enthalten die Referenzierung und Benennung der Achsen. `.axis` Dateien können mit `dumpAxis` aus den Felix `.mat` Dateien extrahiert werden. Dabei müssen die ersten 16 KByte der `.mat` Datei erhalten sein. Der Rest kann mit Nullen auf die volle Größe aufgefüllt werden. Andernfalls muß man sie aus dem Referenzierungsdialog in FELIX übernehmen. Allerdings stellt FELIX die Zahlenwerte gerundet dar.

```
BEGIN AXISVEC
  VERSION 1
  NAME "hnca"
  HASDIM "110100000"
  STARTID 1001
  LASTID 1500
  LENGTH 4
  BEGIN AXIS
    AxisName "HN"
    FelixTitle "HN"
    Sf 800.234
    Sw 5686.124
    PointsInDim 1024
    RefPoint 926.850
    RefFreq 4339.153
    Isotop H1
    Unit Points
  END AXIS
  BEGIN AXIS
    AxisName "N"
    FelixTitle "N"
    Sf 81.096
    Sw 2778.930
    PointsInDim 128
    RefPoint 61.205
    RefFreq 9693.935
  END AXIS
  Isotop N15
  Unit Points
  BEGIN AXIS
    AxisName ""
    FelixTitle ""
    Sf 1.000
    Sw 1.000
    PointsInDim 1
    RefPoint 1.000
    RefFreq 1.000
    Isotop H1
    Unit Notref
  END AXIS
  BEGIN AXIS
    AxisName "CA"
    FelixTitle "CA"
    Sf 201.229
    Sw 5882.350
    PointsInDim 128
    RefPoint 45.977
    RefFreq 11899.677
    Isotop C13
    Unit Points
  END AXIS
END AXISVEC
```

L.4 Die .xpk Datei

Die `.xpk` Dateien werden von FELIX exportiert. Sie enthalten die Position der Peaks in `points` und die Benennung der Frequenzen, falls sie schon vorhanden ist. Außerdem kann sie das Vorzeichen und die Höhe des Peaks enthalten.

Da FELIX sie mit FORTRAN Routinen schreibt und liest, muß man bei einer manuellen Nachbearbeitung peinlich auf die Formatierung (Leerzeichen vs. Tabulator u.ä.) der Datei achten, wenn man sie in FELIX reimportieren will.

```
c**/home/tnp/felix97/text/hncapoints.txt
xpk
  3
1001 468.742 1.812 0 null 74.412 3.828 0 null 110.005 2.019 0 null 1.00
1002 592.039 1.688 0 null 32.000 3.346 0 null 107.773 1.991 0 null 1.00
1003 592.406 2.934 0 null 53.609 3.088 0 null 107.061 1.799 0 null 1.00
1004 657.097 1.831 0 null 115.561 3.895 0 null 102.401 1.976 0 null 1.00
... und so weiter.
```

L.5 Die .list100 Datei

Die .list100 Dateien werden auch von FELIX exportiert. Man kann sie zur Definition des Volumens der Peaks verwenden.

```
c**
list100
  4
  1 1001 8.594 106.994 100000000.000 52.641 131787496.00
  2 1002 7.739 107.592 100000000.000 62.327 68824496.00
  3 1003 7.737 107.782 100000000.000 57.392 13178810.00
  4 1004 7.288 109.029 100000000.000 43.244 62676944.00
... usw.
```

L.6 Die .vol1 Datei

Die .vol1 Dateien werden auch von FELIX exportiert. Man kann sie zur Definition des Volumens der Peaks verwenden. Die Leerzeilen zwischen den Zeilen mit Daten gehören zum Datenformat !

```
c**volumelist written: Sun 10-10-1999 18:46:57
vol1
  1
1001 1.318e+08
1002 6.882e+07
1003 1.318e+07
1004 6.268e+07
... usw.
```

L.7 Protospinsystemlisten

Protospinsysteme werden in der Implementierung als Contexte bezeichnet. Protospinsystemlisten sind daher Contextlisten.

```
BEGIN ContextList
LENGTH 2
BEGIN CONTEXT
DOUBLE "CA #1" 59.3971
DOUBLE "CA-1 #1" 60.9885
DOUBLE "CB #1" 32.3001
DOUBLE "CB-1 #1" 30.6076
DOUBLE "ExternFuzzyMap CA #1" 0.961458
DOUBLE "ExternFuzzyMap CA-1 #1" 0.816397
DOUBLE "ExternFuzzyMap CB #1" 1
DOUBLE "ExternFuzzyMap CB-1 #1" 1
DOUBLE "GRIE #1 Arg" 0.175695
DOUBLE "GRIE #1 Gln" 0.00905253
DOUBLE "GRIE #1 Glu" 0.146354
DOUBLE "GRIE #1 His" 0.00472225
DOUBLE "GRIE #1 Lys" 0.16855
DOUBLE "GRIE #1 Met" 0.0369936
DOUBLE "GRIE #1 Pro" 0.188264
DOUBLE "GRIE #1 Val" 0.270369
NODE "cbca_conh CA-1 #1" 2009
NODE "cbca_conh CB-1 #1" 2010
NODE "cbcanh CA #1" 3026
NODE "cbcanh CA-1 #1" 3025
NODE "cbcanh CB #1" 3027
NODE "cbcanh CB-1 #1" 3028
NODE "hnca CA-1 #1" 1162
NODE "hnco CO-1 #1" 5
END CONTEXT
BEGIN CONTEXT
... usw
END CONTEXT
END ContextList
```

L.8 AS_QFACTOR

In der AS_QFACTOR Datei wird das Gewicht einer Aminosäureposition in der Optimierung definiert.

```

BEGIN AS_QFACTOR
VERSION "1"
LENGTH 113
1, 0.0
2, 0.1
3, 0.1
4, 0.1
5, 0.2
6, 0.3
7, 0.3
8, 0.3
9, 0.5
10, 0.8
11, 1
12, 1
... usw
112, 1
113, 1
END AS_QFACTOR

```

L.9 OptimizerInfo

OptimizerInfo Dateien definieren die Wahl der Protospinsystemliste für die einzelne Aminosäure in der Optimierung. Außerdem bestimmen sie die Bewertungsfunktion für die Protospinsysteme, die einer Aminosäure zugewiesen werden, und das Muster, dem die Nachbarschaftsverknüpfungen (Brücken) zwischen den Protospinsystemen der Aminosäuren genügen müssen.

```

BEGIN RandomSequenceOptimizerInfo
VERSION "3"
PROTEIN "/simul/va/Trigger/Protein"
CACHEDIR "/simul/va/Trigger/cache.neu"
USE ALLCX LIST 0
ALLCX_LIST "/simul/va/Trigger/cache.neu/.filtered.27101999-02.reeval.allPeakCX"
AS_QFACTOR_LIST "/simul/va/Trigger/asQFactor.noHisTag"
BEGIN ASINFO
LENGTH 113
1, "leer", "leer"
2, "all.19991011-1900", "c21w.hf:AS:XX"
3, "all.19991011-1900", "c21w.hf:AS:YGly"
4, "all.19991011-1900", "c21w.hf:AS:GlyX"
5, "all.19991011-1900", "c21w.hf:AS:XX"
6, "all.19991011-1900", "c21w.hf:AS:XX"
7, "all.19991011-1900", "c21w.hf:AS:XX"
.... usw.
10, "all.19991011-1900", "c21w.hf:AS:XX"
11, "all.19991011-1900", "c21w.hf:AS:YGly"
12, "all.19991011-1900", "c21w.hf:AS:GlyX"
13, "all.19991011-1900", "c21w.hf:AS:XX"
14, "all.19991011-1900", "c21w.hf:AS:XX"
.... usw.
31, "all.19991011-1900", "c21w.hf:AS:XX"
32, "all.19991011-1900", "c21w.hf:AS:XX"
33, "all.19991011-1900", "c21w.hf:AS:YGly"
34, "all.19991011-1900", "c21w.hf:AS:GlyX"
35, "all.19991011-1900", "c21w.hf:AS:XX"
36, "all.19991011-1900", "c21w.hf:AS:XX"
.... usw.
41, "all.19991011-1900", "c21w.hf:AS:XX"
42, "all.19991011-1900", "c21w.hf:AS:YGly"
43, "all.19991011-1900", "c21w.hf:AS:GlyX"
44, "all.19991011-1900", "c21w.hf:AS:XX"
45, "all.19991011-1900", "c21w.hf:AS:XX"
46, "all.19991011-1900", "c21w.hf:AS:XX"
.... usw.
60, "all.19991011-1900", "c21w.hf:AS:XX"
61, "all.19991011-1900", "c21w.hf:AS:XX"
62, "all.19991011-1900", "c21w.hf:AS:YGly"
63, "all.19991011-1900", "c21w.hf:AS:GlyX"
64, "all.19991011-1900", "c21w.hf:AS:XX"
65, "all.19991011-1900", "c21w.hf:AS:XX"
66, "all.19991011-1900", "c21w.hf:AS:XX"
67, "all.19991011-1900", "c21w.hf:AS:XX"
68, "all.19991011-1900", "c21w.hf:AS:XX"
69, "all.19991011-1900", "c21w.hf:AS:YGly"
70, "all.19991011-1900", "c21w.hf:AS:GlyX"
71, "all.19991011-1900", "c21w.hf:AS:XX"
72, "all.19991011-1900", "c21w.hf:AS:XX"
73, "all.19991011-1900", "c21w.hf:AS:YGly"
74, "all.19991011-1900", "c21w.hf:AS:GlyX"
75, "all.19991011-1900", "c21w.hf:AS:XX"
76, "all.19991011-1900", "c21w.hf:AS:XX"
.... usw.
88, "all.19991011-1900", "c21w.hf:AS:XX"
89, "all.19991011-1900", "c21w.hf:AS:XX"
90, "leer", "leer"
91, "all.19991011-1900", "c21w.hf:AS:XX"
92, "all.19991011-1900", "c21w.hf:AS:XX"
93, "all.19991011-1900", "c21w.hf:AS:XX"
.... usw.
100, "all.19991011-1900", "c21w.hf:AS:XX"
101, "all.19991011-1900", "c21w.hf:AS:XX"
102, "leer", "leer"
103, "all.19991011-1900", "c21w.hf:AS:XX"
104, "all.19991011-1900", "c21w.hf:AS:XX"
.... usw.
112, "all.19991011-1900", "c21w.hf:AS:XX"
113, "all.19991011-1900", "c21w.hf:AS:XX"
END ASINFO
BEGIN LINKINFO
LENGTH 112
1, "c21w.hf:LINK:AS", "pattern/link/testBridge.pat"
2, "c21w.hf:LINK:AS", "pattern/link/testBridge.pat"
3, "c21w.hf:LINK:GLY", "pattern/link/testBridge.pat"
4, "c21w.hf:LINK:AS", "pattern/link/testBridge.pat"
5, "c21w.hf:LINK:AS", "pattern/link/testBridge.pat"
6, "c21w.hf:LINK:AS", "pattern/link/testBridge.pat"
7, "c21w.hf:LINK:AS", "pattern/link/testBridge.pat"
.... usw.
10, "c21w.hf:LINK:AS", "pattern/link/testBridge.pat"
11, "c21w.hf:LINK:GLY", "pattern/link/testBridge.pat"
12, "c21w.hf:LINK:AS", "pattern/link/testBridge.pat"
13, "c21w.hf:LINK:AS", "pattern/link/testBridge.pat"
14, "c21w.hf:LINK:AS", "pattern/link/testBridge.pat"
.... usw.
31, "c21w.hf:LINK:AS", "pattern/link/testBridge.pat"
32, "c21w.hf:LINK:AS", "pattern/link/testBridge.pat"
33, "c21w.hf:LINK:GLY", "pattern/link/testBridge.pat"
34, "c21w.hf:LINK:AS", "pattern/link/testBridge.pat"
35, "c21w.hf:LINK:AS", "pattern/link/testBridge.pat"
36, "c21w.hf:LINK:AS", "pattern/link/testBridge.pat"
.... usw.
41, "c21w.hf:LINK:AS", "pattern/link/testBridge.pat"
42, "c21w.hf:LINK:GLY", "pattern/link/testBridge.pat"
43, "c21w.hf:LINK:AS", "pattern/link/testBridge.pat"
44, "c21w.hf:LINK:AS", "pattern/link/testBridge.pat"
45, "c21w.hf:LINK:AS", "pattern/link/testBridge.pat"
46, "c21w.hf:LINK:AS", "pattern/link/testBridge.pat"
.... usw.
60, "c21w.hf:LINK:AS", "pattern/link/testBridge.pat"
61, "c21w.hf:LINK:AS", "pattern/link/testBridge.pat"
62, "c21w.hf:LINK:GLY", "pattern/link/testBridge.pat"
63, "c21w.hf:LINK:AS", "pattern/link/testBridge.pat"
64, "c21w.hf:LINK:AS", "pattern/link/testBridge.pat"
65, "c21w.hf:LINK:AS", "pattern/link/testBridge.pat"
66, "c21w.hf:LINK:AS", "pattern/link/testBridge.pat"
67, "c21w.hf:LINK:AS", "pattern/link/testBridge.pat"
68, "c21w.hf:LINK:AS", "pattern/link/testBridge.pat"
69, "c21w.hf:LINK:GLY", "pattern/link/testBridge.pat"
70, "c21w.hf:LINK:AS", "pattern/link/testBridge.pat"
71, "c21w.hf:LINK:AS", "pattern/link/testBridge.pat"
72, "c21w.hf:LINK:AS", "pattern/link/testBridge.pat"
73, "c21w.hf:LINK:GLY", "pattern/link/testBridge.pat"
74, "c21w.hf:LINK:AS", "pattern/link/testBridge.pat"
75, "c21w.hf:LINK:AS", "pattern/link/testBridge.pat"
76, "c21w.hf:LINK:AS", "pattern/link/testBridge.pat"
.... usw.
88, "c21w.hf:LINK:AS", "pattern/link/testBridge.pat"
89, "c21w.hf:LINK:AS", "pattern/link/testBridge.pat"
90, "c21w.hf:LINK:AS", "pattern/link/testBridge.pat"
91, "c21w.hf:LINK:AS", "pattern/link/testBridge.pat"
92, "c21w.hf:LINK:AS", "pattern/link/testBridge.pat"
93, "c21w.hf:LINK:AS", "pattern/link/testBridge.pat"
.... usw.
100, "c21w.hf:LINK:AS", "pattern/link/testBridge.pat"
101, "c21w.hf:LINK:AS", "pattern/link/testBridge.pat"
102, "c21w.hf:LINK:AS", "pattern/link/testBridge.pat"
103, "c21w.hf:LINK:AS", "pattern/link/testBridge.pat"
104, "c21w.hf:LINK:AS", "pattern/link/testBridge.pat"
.... usw.
111, "c21w.hf:LINK:AS", "pattern/link/testBridge.pat"
112, "c21w.hf:LINK:AS", "pattern/link/testBridge.pat"
END LINKINFO
END RandomSequenceOptimizerInfo

```

L.10 RandomDump

```

BEGIN RandomSequenceOptimizerARENA
  VERSION "1.03"
  DUMPTIME "Mon 15-3-1999 12:25:18"
  DUMPREASON "empty"
  BEGIN CONFIG
    DumpTimeInterval 900
    LoopCount 0
    MaxLoopCount 10000
    LastQ 0
    LastQChanged 0
    QTolerance 0.8
    toleranceDecayRate 0.0005
    maxUnchangedLoops 2000
  END CONFIG
  BEGIN ACTIONCONFIG
    BEGIN PROFILES
      VERSION "1.01"
      LENGTH 4
      NAMES upperLimit swapItems singleExchange crossOver randomGenerate mergeFromBest doNothing moveLinkedRange
      removeRange
      PROFILE 0.6 5 92.5 0.5 0 0 0 2 0.01
      PROFILE 0.8 70 26.5 0.5 0 0 0 3 0.01
      PROFILE 0.95 86 8.5 0.5 0 0 0 5 0.01
      PROFILE 1.0001 86 4.5 0.5 0 0 0 9 0.01
    END PROFILES
  END ACTIONCONFIG
  BEGIN BEST
    BEGIN RandomSequenceOptimizerState
      VERSION "1.01"
      PROTEINNAME "Trigger"
      QUALITY 0
      USED_AS 0
      USED_LINKS 0
      BEGIN AS
        LENGTH 113
        1, [E], 0,
        2, [E], 0,
        ... usw.
        112, [E], 0,
        113, [E], 0,
      END AS
      BEGIN LINK
        LENGTH 112
        1, [E], 0,
        2, [E], 0,
        ... usw.
        111, [E], 0,
        112, [E], 0,
      END LINK
    END RandomSequenceOptimizerState
  END BEST
  BEGIN ARENA
    LENGTH 8
    STATE 1
      BEGIN RandomSequenceOptimizerState
        ... usw. siehe oben
      END RandomSequenceOptimizerState
    STATE 2
      ... usw. siehe oben
  END ARENA
END RandomSequenceOptimizerARENA

```

RandomDump Dateien enthalten die Zustandsdefinition des Optimierers. Als Eingabedatei definiert sie die Arena und das Aktionsprofil der Optimierung. Die einzelnen `RandomSequenceOptimizerState` Objekte definieren die Startzustände der Individuen S_i . Das `BEST` Objekt dient nur zur Dokumentation und wird nach dem Programmstart neu berechnet.

Als Ausgabedatei dokumentieren sie das aktuelle Ergebnis der Optimierung. Für jede leere Aminosäureposition gibt es eine "`<as-nr>, [E], 0,`" Zeile. Wenn sie zugewiesen ist, enthält sie dann das zugewiesene Protopspinsystem.

L.11 Aktionsprofil

Die Profildateien definieren den Anteil jeder definierten Aktion an den Veränderungen, die ein Zustand S_i in `randomOptimize` erfahren kann. (Kap. 2.8.1)

L.12 PeakNet

Die PeakNet Dateien (`netfile`) beschreiben die Verknüpfung zwischen Peaks und die Stärke der Verknüpfung.

```
Begin PeakNet
  additionalDim = 0
  NrOfNodes = 794
  nrOfEdges = 1414
Begin NodeList
Begin Node 0
2 4
0 8 2, 3, 0, 1, 4, 5, 6, 7
1 8 10, 11, 8, 9, 12, 13, 14, 15
2 0
3 0
End Node 0
Begin Node 1
2003 4
0 1 0
1 1 8
2 0
3 0
End Node 1
Begin EdgeList
Edge 0 0 0 1 0 0.001
Edge 1 0 0 2 0 0.001
Edge 2 0 0 3 0 0.001
... usw.
Edge 1412 785 1 793 1 0.001
Edge 1413 274 1 279 1 0.001
End EdgeList
END PeakNet
```


Anhang M Scripte

Die folgenden Abschnitte und Absätze sind Auszüge aus der Mitschrift während der Zuweisung des Proteins Trigger M (Kap. 5). Eingerückte Zeilen im Fettdruck sind die Fortsetzung der vorhergehenden Zeile. Die `bash` Kommandos wurden in Abschnitte aufgeteilt, die jeweils einer Teilaufgabe während der Zuweisung entsprechen. Sie sollen als Beispiele für die Benutzung der Hilfsprogramme dienen, die die Datenumgebung für die Optimierer erzeugen. Im Anschluß an die Mitschrift zur Zuweisung sind einige Hilfsscripte aufgeführt, die im Hauptteil angesprochen wurden.

M.1 Ein minimales Projekt

Bereite das Projektverzeichnis vor

```
## Wahl eines Projektnamens, der auch als Verzeichnisname in UNIX und als Variablenname in bash
mkdir CheY25
cd CheY25
## Editor: setze die Environmentvariablen in .profile.local und setEnv
## binde das Projekt an das Programmverzeichnis an.
## erzeuge die rechtlichen Verzeichnisse und links.
## erzeuge CheY25 Protein Datei aus 1 Char oder 3 Char Sequenz.
## Editor: schreibe Text erzeugen.
## alle Buchstaben Codes in einer Zeile
## füge die Sequenz 1char in das Modul lib/Protein.pl ein, dann:
prepareProjekt.sh
## .profile.local
```

Import der Daten aus FELIX

```
cd CheY25; . .profile.local
## Es werden die Peaks der Experimente HNCO, HNCA, CBCA (CO)NH und CBCANH
## benötigt.
## export der .xpk, .vol Dateien aus FELIX.
## extrahieren der .axis Datei aus dem FELIX .mat File
dumpAxis pfad/hnco.mat > originale/hnco.axis
## ... usw für alle .mat
## Editor: Anlegen einer .plf Datei je Experiment in originale/
## Reihenfolge der Achsen, Nummerierung der Peaks usw, anpassen.
reorderAchsen.sh
## Editor: Poolfile definieren. -> originale/Poolfile.pool
## lege den Cache für die Protospinssystemlisten an.
genCache -baseplf originale/hnco -ignore -proteinfile Protein
```

Anhang M Scripte

Verknüpfen der Netze

```
cd CheY25; . .profile.local
## Verknüpfung zum Basisnoten, erzeugt netfile
buildC2IMNet Program/basis/poolfile -n netfile_accept
## innere Verknüpfung erzeugen, erzeugt netfile.inner
buildArensLink n netfile
## äußere Verknüpfung anlegen, erzeugt netfile.inner.outer
buildInnerLink -n netfile.inner
```

Suche der Protospinssysteme

```
cd CheY25; . .profile.local
## legt die Protospinssystemlisten je Basispeak im zugehörigen Verzeichnis im Cache an.
export CX_EXT_OUT=19990101-01
export NETFILE=netfile.inner.outer
export FILTER=" -allowDefects 0 -doFilterCriteria 1 -minPeaksPct 0.85"
export PEAKS_FOR_NODE=9
genContextList merged -verbose 1 $(DEBUG) ${FILTER} -nodesForPattern SPEAKS_FOR_NODE -assContext
completeAS.$CX_EXT_OUT -baseExp hnco pattern/completeAS.noSub.small.pat
```

Verteilen der Protospinssysteme auf die Aminosäuren

```
cd CheY25; . .profile.local
## genCX2ASMapping trägt die CX in den CXListen der Aminosäuren ein,
## die aufgrund der Frequenzen für sie in Frage kommen.
export CX_EXT_IN=19990101-01
export CX_EXT_OUT=19990102-01
export MAX_LIST_LEN=400
export MAX_AS_PRO CX=60
export MIN_STRONG_Q=0.05
export MIN_WEAK_Q=0.002
export MIN_Q=0.0001
genCX2ASMapping -joker 0 -ignoreAS 1 -maxASPosProCXCount $MAX_AS_PRO CX -maxASListLen $MAX_LIST_LEN
-assignContext completeAS.$CX_EXT_IN -outName all.$CX_EXT_OUT -minQ $MIN_Q -minWeakQ $MIN_WEAK_Q
-minStrongQ $MIN_STRONG_Q
## Verteilung der Protospinssysteme auf die Aminosäuren untersuchen.
## welche Aminosäuren wurden die CX des BP #n zugewiesen? (Tabelle: BP->AS)
## welche BPs wurden der Aminosäure zugewiesen? (Tabelle: AS->BP)
## die Ausgabedatei enthält beide Tabellen
findBasePeakInASCache.pl -asin completeAS.$CX_EXT_OUT > base2as.map.$CX_EXT_OUT
## erzeuge die allCX Liste für den Optimierer
makeAllCXList -iMode peaks -list completeAS.$CX_EXT_IN -assContext
cache/all.$CX_EXT_OUT}.allPeakCX
```

Optimieren

```
cd CheY25; . .profile.local
## Editor:
## anlegen der OptimizerInfo Datei.
## anlegen der Gewichtungsfaktoren für die Aminosäuren.
## Anlegen der Optimierungsmakros in sequences/macros für dieses Projekt.
## Kopieren der Dateien mit einem Projektnamen als Erweiterung (zB .Trigger)
## in Dateien mit dem eigenen Projektnamen (d.hi. CheY25).
## und anpassen an das Projekt, dabei sollten die default Werte des Projekts
## definiert werden.
## Lege das Script für diese spezielle Optimierung an. (Kap.M.4)
## editiere run_optimize.gen
## Darin kann man die default Werte wieder überschreiben
## und das Archivverzeichnis definieren.
## Aufrufen des Scripts für den Optimiererstart.
```

```

batch < run_optimize_gen
## Dabei entsteht ein .tar.bz2 file das alle Teile des Projektes und die Ausgabe
## der Optimierung enthält.
bunzip2 < tar.extension.tar.bz2 | tar tvf -
-rwx-r-- va/users 1067 1999-11-07 02:11 callscript
-rw-r--r-- va/users 25 1999-11-07 02:11 copyScript.26140
-rw-r--r-- va/users 8449 1999-11-07 15:39 log.extension
-r----- va/users 4065 1999-11-07 15:39 proc_envirom
-rw-r--r-- va/users 11148455 1999-11-07 15:39 RandomDump.extension
-rw-r--r-- va/users 10376 1999-11-07 15:39 RandomDump.best.byAS
-rw-r--r-- va/users 556 1999-11-07 15:39 RandomDump.extension.best.byAS.stat
-rw-r--r-- va/users 10570 1999-11-07 15:39 RandomDump.extension.best.byPeak
-rwx----- va/users 8186 1999-11-07 02:11 run_script
-rw-r--r-- va/users 864427 1999-11-07 15:39 trace.CheY25.extension

```

• Auswertung

```

## Die Dateien im .tar.bz2 sind Rohdaten. Sie können mit den
## Tools in $SASS/Viewer/graph_tools aufbereitet werden.
cd CheY25; . ./profile.local
cd sequences/gen/<sw_auch_immer>
## auspacken des .tar.bz2 im lokalen Verzeichnis
bunzip2 < tar.extension.tar.bz2 | tar xvf -
## in eine präsentable Form zu bringen, kann man die folgenden Skripte und Makfiles
## verwenden.
## kopieren von makfile.conf (siehe Kap. M.7)
cp ../makfile.orig makfile.conf
ln -s ../makfile makfile
## Editor:
## Anpassen makfile.conf an die benutzte Konfiguration der Optimiererdaten
## und das Protein.
## Erzeugt die graphische Aufbereitung des Optimiererlogs.
## (siehe Kap. M.6)
make
## es entstehen eine Reihe von .ps Dateien, die :
## und einen Graph des zeitlichen Verlaufs der Optimierung,
## eine Auswertung der Statistik über die Arena
## darstellen.
## (siehe Kap. 3)
## Die Zuweisung kann in StarOffice importiert werden, und dann mit der Vorlage "DiffDerZuweisungen"
## als Tabelle aufbereitet. (siehe Tab(5-22 .. 5-25) in Kap 5 Trigger M)

```

M.2 Zuweisung von Trigger

• Bereite das Projektverzeichnis vor

```

# siehe auch prepareProjekt.sh
mkdir Trigger
cd Trigger
ln -s $ASS/bin
ln -s $ASS/profile
ln -s $ASS/pattern
touch OOREADME
#####
#editiere ./profile.local
#editiere setEnv.new
#####
mkdir originale
touch NetLog
#####
### create Trigger Protein from 1 Char or 3 Char Sequence.
#edit asIChar.txt
#fuege asIChar in lib/Protein.pl ein, dann
genProteinFromChar.pl Trigger > .././../Trigger/Protein

```

• Berechne die theoretische Qualität einer Trigger Zuweisung

```

# AS = 113 Proline = 2 Anfang= 1 =>
# zuweisbare AS = Protein Laenge - Pro - Anfang = 100 ohne his tag
# LINKS = AS - (1 Anfang) - (1 ende) - (pro * 2)
# = 107 mit his tag = 97 ohne
# (siehe Tab. 2-13)

```

• Analyse: Anzahl der einzelnen Aminosäuren im Protein

```

#####
# Anzahl 113 Vorspamm 13
# AS Anzahl Im Vorspamm(13) ohne Vorspamm (Vorspamm bis incl. 10)
# Ala 9 0
# Arg 1 0
# Asn 5 0
# Asp 6 0
# Cys - fehlt
# Gln 3 0
# Glu 5 1
# Gly 7 2 ?
# His 7 6
# Ile 8 0
# Leu 9 0
# Lys 15 0
# Met 3 1
# Phe 5 0
# Pro 2 0
# Ser 10 2 ?
# Thr 8 0
# Tyr 2 0
# Val 8 0
# 0 0
# SUMME113 13
# 11 Gly *
# 12 Ser
# 13 Glu
# 14 Lys

```

• Importiere die FELIX Tabellen

```

#####
## .axis files extrahieren mit dumpAxis
## hncco aus tgfhnco.mat
## hncea aus tgfhnca.mat
## cbca_conh in ref als CBCANH benannt aus cbcaconh.mat
## cbcanh in ref als HNCACB benannt aus hncacb.mat
#####
## erzeuge den RAW Pool der Peaks aus den Felix .xpk + .vol Dateien
## Daten vom 19991005
## typ .xpk file
## hncco hncopoints HN CO N 106 1-135 Peaks IDs
## hncea hncapoints NH CA N 171 1-172
## cbcanh hncbcapoints HN C N 338 1-342
## cbca_conh hncbcampoints HN C N 259 1-262
#####
##.axis files editiert
## .axis file erzeugt
#####
## hncca bleibt
## hncea
## cbca_conh
## cbcaconh
#####

```

```

##Peaks neu nummeriert und die Achsen vertauscht.
##neue Achsenreihenfolge:
##HN N CO
##CA, CAB
##vorher HN CO N ==> nachher HN N CO
##hncoc HN CO N ==> HN N CO
##hncac HN CA N ==> HN N -- CA
##cbcanh HN CAB N ==> HN N -- CAB
##cbca_conh HN CAB N ==> HN N -- CAB
# form:
# reoderXPK -plf <plf-old> -vec <new-pos> -form xpk -o <new-xpk>
# siehe reoderAchsen.sh
reoderAchsen.sh
#####
# list100 files für hncocb == cbcanh und hncac
# hncocb.list100
# einige Peaks enthalten ***** statt eines Volumens.
# die meisten Peaks sind CB, d.h. das Vorzeichen ist eindeutig
# sindichere Kandidaten sind 219 (66.7), 223 (66.5), 290 (60.6)
# sind diese CA oder CB ?
# alle **** wurden durch -9999999.99 ersetzt !! hncoc ids
# << snip --- liste der Peaks mit -99999999.99 >>
#####
# erzeuge originale/Poolfile.pool
# reoderAchsen.sh
#####
# baseplf originale/hncoc_reorder_19991005 -ignore -proteinfile Protein
#####

```

• **HNCA, HN und N an HNCO anpassen (neu ausrichten)**

optimizeMatch kann die Peaks eines Experiments mittels linearer Projektion so verschieben, daß sie mit den Peaks eines Basisexperiments besser übereinstimmen! Das Experiment kann dadurch gestreckt verschoben und gestreckt werden. Dazu werden vorher in einer Projektion der Peaks in die [HN/N]-Ebene Paarkopie aus beiden Listen gesucht, die eindeutig zusammen gehören, (d.h. irgendwo in den Randbereichen des Spektrums) und eine Liste, # mit den Peakidentifikationsnummern paarweise jeweils auf einer Zeile angelegt. # (Kap. 5.2)

```

# Paar files für HNCO + (HNCA,CBCANH,CBCA_CONH)
# hncoc.hnca hn_n_pair.txt
# hncoc.cbcanh hn_n_pair.txt
# hncoc.cbca_conh hn_n_pair.txt
# Fehlerquelle: die .list100 Files überschreiben die xpk Werte !
# Fix : statt .list100 Files werden .vol Files verwendet.
optimizeMatch -o originale/hnca_test.axis -maxDistance 0.03,0.5 originale/hnco_reorder_19991005
originale/hnca_reorder_19991005 hnca hn_n_pair.txt 0,1,2,3 0,1
optimizeMatch -o originale/cbcanh_test.axis -maxDistance 0.03,0.5 originale/hnco_reorder_19991005
originale/cbcanh_reorder_19991005 hncoc cbcanh hn_n_pair.txt 0,1,2,3 0,1
optimizeMatch -o originale/cbca_conh_test.axis -maxDistance 0.03,0.5 originale/hnco_reorder_19991005
originale/cbca_conh_reorder_19991005 hncoc cbca_conh hn_n_pair.txt 0,1,2,3 0,1
###
# Jeweils mehrfach optimiert und den besten Lauf genommen.
# gnuplot originale/ppm_/multi_... reoder/test zum Ansehen
# siehe Gl. 5-1 in Kap. 5.2.1
# SUMME:
# HNCO - HNCA 1.0904 0.25014
# HNCO - CBCA CONH 0.502393 0.209824
# HNCO - CBCANH 1.21803 0.438924
# PEAKPAARE
# YORHER NACHHER
# HNCO - HNCA 1.0904 0.25014
# HNCO - CBCA CONH 0.502393 0.209824
# HNCO - CBCANH 1.21803 0.438924

```

• **Ein PeakNet anlegen. (n-BP mit dem Basispeak verknüpfen.)**

```

#####
# Peak Netz anlegen, Ausgabe ist: netfile test
buildC2INet -p originale/Poolfile_test -n netfile_test -accept -b /data/simul/va/Trigger
# Gewicht in Gl. 5.1
# H 0.05
# N 1.2
# CA 2.0
Anhang M Scripte

```

```

# CA 1.0 innerhalb des HNCA
## << snip --- BP analyse >>

```

• **Suche die Konkurrenzgruppen**

```

# mergeASXC -poolfile originale/Poolfile_test -netfile netfile_test -pattern
# pattern/completeAS.noSub.pat -glyPattern pattern/listGly.pat
# Konkurrenzgruppen:
# Anzahl der Gruppen = 5
# Gruppe[0] = {24, 31, 36, 37, 41, 49, 51, 53, 103}
# 103 eindeutig abtrennbar
# 24 eindeutig abtrennbar
# 31 eindeutig abtrennbar
# 36 + 37 extra Gruppe (extral), nur 37 hat genug Peaks
# 41 + 49 + 51 + 53 extra Gruppe (extraz2),
# sub gruppen:
# 49+41 zwei gute Spinsysteme, schwach mit (51,53) gekoppelt
# 53+51 nur ein gutes Spinsystem (->51),
# Gruppe[1] = {57, 106} eindeutig trennbar
# Gruppe[2] = {65, 74} eindeutig trennbar
# Gruppe[3] = {83, 87} eindeutig trennbar
# Gruppe[4] = {111, 113} eindeutig trennbar

```

• **Peaklisten in Perl Peak-DB importieren.**

```

# erzeuge NetDB File (perl datenbankfiles)
# make NetDB
# add die HNCO_N, CA, CBCANH, CBCA_CONH
# Achser H, CO, N, CA
# vorher die Header für die Experimente erzeugen
cp NetDB.empty NetDB.test
addPWTODB.pl -db NetDB.test -exp hncoc -vor 0,1,2,3 -nach 0,2,1,1,3 <
originale/hnca_reorder_19991005.ppm
addPWTODB.pl -db NetDB.test -exp cbca_conh -vor 0,1,2,3 -nach 0,2,1,1,3 < originale/cbcanh_test.ppm
addPWTODB.pl -db NetDB.test -exp cbca_conh -vor 0,1,2,3 -nach 0,2,1,1,3 < originale/cbcanh_test.ppm
addPWTODB.pl -db NetDB.test -exp hnca -vor 0,1,2,3 -nach 0,2,1,1,3 < originale/hnca_test.ppm

```

• **Erzeuge eine druckbare graphische Darstellung der Peaknoten (.ps Dateien)**

```

# erzeuge eine .ps Datei je BP mit einem NodeView Ausdruck (siehe viewCache.pl) .
# Die Dateien entstehen im Verzeichnis -dir ...
# die Dateien kann man mit lpr -Postscript dateiauswahl ausdrucken. (Kap. 2.3.7 Abb. 2-3)
printAllNodeGraphs.pl -db NetDB_reorder_dumped.save2 -dir nodesGraphs/NetDB_reorder_dumped.save2

```

• **Betrachten der Protopinsysteme der BP**

```

# die BP-Spinsysteme in der Perl-DB können mit main.pl betrachtet werden.
# In main.pl können auch die Verknüpfungen zwischen BP und n-BP und die Konkurrenz zwischen den BP
# analysiert und verändert werden. Wenn man die Verknüpfung verändert, muß man die Veränderungen
# entweder in den PeakNet Datenbanken mit dumpNode nachtragen oder die Perl-DB in die PeakNet-DB
# exportieren.
main.pl

```

• **Re-export der Peaks in eine PeakNet-DB, Neuberechnung der Kanten**

```

perlNet2PeakNet -poolfile originale/Poolfile_test \
-netDBfile NetDB.test dumped.save2 \
-out netfile_test dumped.save2.p2p \
-filter -drop 0,0,1,1
# output: netfile_test_dumped.save2.p2p.new

```

```

# entferne alle CA Kanten
dropEdges -n netfile_test_dumped.save2.p2p.new -batch 1 < dropEdges.txt
# output netfile_test_dumped.save2.p2p.new.new
#####
recalcPNeqQuality -poolfile originale/poolfile.test \
-netfile netfile_test_dumped.save2.p2p.new -cleanup 0 \
-out netfile_test_dumped.save2.p2p.recalc
# H 0.2
# N 1.2
# CA 0
# CA 0
# wenn mit CA/CE Edges, dann
# CA 1 innerhalb des HNCA
# CA 1 innerhalb des HNCA
# hncb 170 329 208
# hncb,N 170 329 208
# hncb,CA 3514 4333 5233 2084
# mit dumpNode "filter net 0.01" alle CA Knoten gelöscht
# out: netfile_test_dumped.save2.p2p.recalc

```

- **Anlegen der restlichen PeakNet Konfigurationen.**

```

buildInnerLink -n netfile_test_dumped.save2.p2p.recalc
# alle CA 1.7
# nr of connects: { 628 320 646}
# ohne cleanup, entfernt alle von 101 -> (2045, 2046,3051,3052,3339)
# out: netfile_test_dumped.save2.p2p.recalc.inner

```

- **Mit dumpNode kann man die PeakNet-DB direkt editieren.**

```

# mit dumpNode neue Verknüpfung für pi01 angelegt.0 immer 0.6
dumpNode < relink.p101.txt

```

- **Analyse der Aminosäure erzeuge die .GlyInfo files**

```

export NETFILE=netfile_test_dumped.save2.p2p.recalc.inner
makeGlyInfo
#
# 7 Gly im Protein -> 14 HNCO Peaks / Protospinsysteme
# gefunden:
# 30 mögliche Gly Basis Peaks (hnco)
# 58 mögliche nicht-HNCO Peaks
#
# 9 komplette G_X (hnca,cbcanh,cbca_conh)
# 21, 24, 48, 64, 97, 104, 110, 119, 121,
#
# 1 teil G_X cbcanh,cbca_conh 125
# 5 teil G_X cbca_conh 23, 34, 59, 86, 132
#
# 8 mögliche X_G (hnca, cbcanh) 2, 7, 68, 83, 88, 93, 105, 106(hat cbca_conh in der Nähe)
#
# 2 mögliche G_X oder X_G (hnca) 30, 43, 133
#
# 1 ?? defekt?? (zwei hnca) 74
#
# Manueller Test an den Ausdrucken: #####
#
# FALSCH: 2, 7, 23(?), 30, 43, 48, 59, 86, (?97), 110, 119, 7125 (dreck?),
# G_X: 8: 21, 24, 64, (?97 CB-), 121, 34, 132, 106(?)
# X_G: 8: 68, 74(?), 83, 88, 93, 105, 106(?), 133
#
# unlink 48,2119, ? 125,2104
#
# aus con1: zugewiesene Gly BPs (11):
# Gly BP: 21,24,64,68,83,88,93,105,106,121,200

```

- **Testweise die Protospinsystemlisten für die Basispeaks (Peak-Cache) erzeugen.**

```

export NETFILE=netfile_test_dumped.save2.p2p.recalc.inner
export FILTER=" -allowDefects 0 -doFilterGroupName 1 -minPeaksPct 0.85"
export PEAKS_FOR_NODE=9
genContextList_merged -verbose 1 ${DEBUG} ${FILTER} -nodesForPattern $PEAKS_FOR_NODE -assContext
completeAS.19991012-1945 -baseExp hnco pattern/completeAS.noSub.small.pat

```

- **Neubewerten der existierenden Protospinsysteme im Peak-Cache.**

```

# eine Neuberechnung ist dann notwendig, wenn ein Werkzeug nachträglich die Protospinsysteme in
# einer Weise verändert hat, die die Qualitätsberechnung ungültig macht.
reevalContextList -doFilterGroupName 0 -inContext completeAS.noSub.small -outContext
completeAS.noSub.small.out pattern/reevalASType.pat 2
#
# export MAX LIST_LEN=400
# export MAX AS_PRO_CX=60
# export MIN_STRONG_Q=0.05
# export MIN WEAK_Q=0.002
# export MIN Q=0.0001
# genContextMapping -joker 0 -ignoreDAS 1 -maxASPosProXCCount $MAX_AS_PRO_CX -maxAsListLen $MAX_LIST_LEN
# -assContext completeAS.noSub.small.out -outName all.19991011-1900 -minQ $MIN_Q -minWeakQ
# $MIN_WEAK_Q -minStrongQ $MIN_STRONG_Q

```

- **Erzeuge die lokalen Perlbedingungen für die manuelle Kontrolle der Protospinsysteme im Peak-Cache.**

```

# Nachdem die Protospinsysteme im Peak-Cache erzeugt wurden, können sie manuell mit viewCache.pl
# überprüft werden und die Auswahlbedingungen für jeden BP eingestellt werden. Damit man die
# offensichtlichsten lokalen Bedingungen nicht alle von Protospinsystemlisten von Hand eingeben muss
# kann man eine Vorauswahl automatisch erzeugen lassen. Die alten Bedingungen werden dabei zertört!
makeAllLocals.pl
#
# die Auswahl der Protospinsysteme je BP kann dann mittels viewCache.pl
# manuell kontrolliert werden.
viewCache.pl -proj ~/Projectfile

```

- **Re-export der Peaks in eine PeakNet-DB, Neuberechnung der Kanten.**

```

perlNet2PeakNet -poolfile originale/poolfile.test \
-netBPsfile NetDB_test_dumped.save2 \
-out netfile_test_dumped.save2.p2p \
-filter -drop 0,0,1,1
# out: netfile_test_dumped.save2.p2p.noCACO
#
# recalcPNeqQuality -poolfile originale/poolfile.test \
-netfile netfile_test_dumped.save2.p2p.noCACO -cleanup 0 \
-out netfile_test_dumped.save2.p2p.noCACO.recalc
#
# H 0.3
# N 1.5 trotzdem (101->p3339,p3052,p3051, 2045,2046) low 0.03 + 2* 0.23
# CA 0 die CA werden in buildInnerLink und buildOuterLink angelegt.
# CA 0 innerhalb des HNCA
#####
# existierende Netfiles:
# netfile_test_dumped.save2.p2p.noCACO.recalc
# version mit den beiden virtuellen Peaks 44' und 200
# recalc + ohne CA Edges
#####

```

- **Anlegen der PeakNet-DB Dateien (inner und outer)**

```
buildInnerLink -n netfile_test_dumped.save2.p2p.nocACO.recalc
# alle CA mit 2
# Kanten nicht gelöscht
# nr of connects: { 632 320 652 }
# out: netfile_test_dumped.save2.p2p.nocACO.recalc.inner
#####
# buildOuterLink -n netfile_test_dumped.save2.p2p.nocACO.recalc.inner
# nr of connects: { 3880 4333 3514 5233 6318 0 }
# bad links nicht entfernt!
# out: netfile_test_dumped.save2.p2p.nocACO.recalc.inner.outer.2_0
```

- **Erzeuge die Protopinsysteme für XX Spinsysteme**

```
#####
export NETFILE=netfile test_dumped.save2.p2p.nocACO.recalc.inner.outer.2_0
export FILTER=" -allowDefects 0 -doFilterGriName 1 -minPeaksPct 0.85"
export PEAKS_FOR_NODE=9
genContextList merged -verbose 1 ${DEBUG} ${FILTER} -nodesForPattern $PEAKS_FOR_NODE -assContext
completeAS.19991021-1916 -baseExp hnco pattern/completeAS.noSub.small.pat
# 34 und 36 sind extrem schlechte Spinsysteme, daher mit anderen Parametern neu berechnen.
#
export FILTER=" -allowDefects 0 -doFilterGriName 1 -minPeaksPct 0.55"
genContextList merged -startID 34 36 -verbose 1 ${DEBUG} ${FILTER} -nodesForPattern $PEAKS_FOR_NODE
-ssContext completeAS.19991021-1916 -baseExp hnco pattern/completeAS.noSub.small.pat
#####
```

- **Erzeuge lokale Regeln, die die Verknüpfung zwischen den Peaks eines HNCA Paares berücksichtigt.**

```
genPeakPairs.pl -cxfile listCA_ml.complete -name "hnca CA-1 #1" -name "cbcanh CA-1 #1" -pairFile
pair_ca_1
genPeakPairs.pl -cxfile listCA_ml.complete -name "hnca CA-1 #1" -name "cbca_conh CA-1 #1" -pairFile
pair_ca_1
#####
##### Externe information von Tanja:
# CA Freq im CBCANH sind 2.3 ppm höher als im HNCA.
# originale/cbcanh_plus_2ppm.axis aus originale/cbcanh_test.axis erzeugt
# daher Protopinsysteme neu berechnen.
```

- **Die Protopinsysteme werden mit höherer Toleranz Neuberechnet.**

```
export POOLFILE=originale/poolfile.plus.2ppm
export NETFILE=netfile test_dumped.save2.p2p.nocACO.recalc.inner.outer.2_0
export FILTER=" -allowDefects 0 -doFilterGriName 1 -minPeaksPct 0.85"
export PEAKS_FOR_NODE=9
genContextList merged -verbose 1 ${DEBUG} ${FILTER} -nodesForPattern $PEAKS_FOR_NODE -assContext
completeAS.plus2ppm.19991023-1334 -baseExp hnco pattern/completeAS.noSub.small.pat
#
```

- **Die lokalen Bedingungen werden mit viewCache.pl auf die Protopinsysteme angewandt.**

```
# innerhalb der graphischen Oberfläche können die lokalen Nebenbedingungen kontrolliert und
# eingestellt werden.
viewCache.pl -proj .ProjectFile.Trigger.19991027
# exportiert alle ProjectFile.Trigger.19991027 (mit p0200)
# nach filtered.27101999-02
export NETFILE=netfile test_dumped.save2.p2p.nocACO.recalc.inner.outer.2_0
revalContextList -doFilterGriName 0 -inContext filtered.27101999-02 -outContext
filtered.27101999-02.reeval pattern/revalASType.pat
```

- **Verteile die Protopinsysteme auf die Aminosäuren.**

```
#
export MAX LIST LEN=400
export MAX AS PRO CX=60
export MIN STRONG_Q=0.05
export MIN WEAK_Q=0.002
export MIN_Q=0.0001
genCX2ASMapping -joker 0 -ignoreDAS 1 -maxASPosProCXCount $MAX AS PRO CX -maxASListLen $MAX LIST LEN
-ssContext filtered.27101999-02.reeval -outName filtered.27101999-02.reeval -minQ $MIN_Q
-minWeakQ $MIN_WEAK_Q -minStrongQ $MIN_STRONG_Q
cp OptimizerInfo.all19991011-1900.noHistag OptimizerInfo.filtered.27101999-02.reeval
##
## alle listen auf filtered.27101999-02.reeval umgestellt.
##
```

- **Erzeuge eine Protopinsystemliste, die alle Protopinsysteme umfaßt.**

```
# legt eine Protopinsystemliste an, die die Protopinsysteme von allen zu einem
# AS-Protopinsystemcache gehörenden Listen enthält. Dies ist die so genannte AllCX Liste.
makeAllCXList -iMode peaks -list filtered.27101999-02.reeval -assContext
cache.neu/.filtered.27101999-02.reeval
##
## enthält 174 Protopinsysteme
##
cp OptimizerInfo.all19991011-1900.noHistag OptimizerInfo.filtered.27101999-02.reeval.allCX
## alle listen auf "all" umgestellt.
## allCX Liste ist cache.neu/.filtered.27101999-02.reeval
#####
##### exportierte alle ProjectFile.Trigger.19991027_plus2ppm (mit p0200)
##### umgestellt auf completeAS.plus2ppm.19991023-1334
##### exportiert nach filtered.27101999-03
```

- **Für besonders schlechte Spinsysteme werden die Protopinsysteme mit angepaßten Parametern erneut berechnet.**

```
# schlechte spinsystems (d.h. für die die Protopinsystemsuche mit normalen Parametern nur eine
# bestliste ergibt. Dies sind gleichzeitig die Protopinsysteme, die auch manuell Probleme
# b34 (Fuzzy Map CB bei 45 !), pct=40 _wideCB, link 1108->2089
# p41 neu, pct=85
# p53 neu, wenige peaks pct=40, no filters.
# p86 cb im gly bereich, _wideCB pattern
# p106 cb im gly bereich, _wideCB pattern, 65% (gly)
# p17 _wideCB
# p97 _wideCB
export POOLFILE=originale/poolfile.plus.2ppm
export NETFILE=netfile test_dumped.save2.p2p.nocACO.recalc.inner.outer.2_0
export PEAKS_FOR_NODE=9
export FILTER=" -allowDefects 0 -doFilterGriName 1 -minPeaksPct 0.40"
genContextList merged -startID 34 -verbose 1 ${DEBUG} ${FILTER} -nodesForPattern $PEAKS_FOR_NODE
-ssContext completeAS.plus2ppm.pct40.19991023-1334 -baseExp hnco
```

```

pattern/completeAS.noSub.wideCB.small.pat
export FILTER=# allowDefects 0 -doFilterGriName 1 -minPeaksPct 0.85"
genContextList merged -startID 41 -verbose 1 ${DEBUG} ${FILTER} -nodesForPattern $PEAKS_FOR_NODE
--assContext completeAS.plus2ppm.pct40.19991023-1334 -baseExp hnc0
pattern/completeAS.noSub.small.pat
export FILTER=# allowDefects 0 -doFilterGriName 1 -minPeaksPct 0.30"
export PEAKS_FOR_NODE=9
genContextList merged -useFilter 0 -startID 53 -verbose 1 ${DEBUG} ${FILTER} -nodesForPattern
$PEAKS_FOR_NODE --assContext completeAS.plus2ppm.pct40.19991023-1334 -baseExp hnc0
pattern/completeAS.noSub.small.pat
export FILTER=# allowDefects 0 -doFilterGriName 1 -minPeaksPct 0.85"
export PEAKS_FOR_NODE=9
genContextList merged -startID 86 -verbose 1 ${DEBUG} ${FILTER} -nodesForPattern $PEAKS_FOR_NODE
--assContext completeAS.plus2ppm.pct40.19991023-1334 -baseExp hnc0
pattern/completeAS.noSub.wideCB.pat
export FILTER=# allowDefects 0 -doFilterGriName 1 -minPeaksPct 0.85"
export PEAKS_FOR_NODE=9
genContextList merged -startID 106 -verbose 1 ${DEBUG} ${FILTER} -nodesForPattern $PEAKS_FOR_NODE
--assContext completeAS.plus2ppm.pct85.19991023-1334 -baseExp hnc0
pattern/completeAS.noSub.small.wideCB.pat
export FILTER=# allowDefects 0 -doFilterGriName 1 -minPeaksPct 0.85"
export PEAKS_FOR_NODE=9
genContextList merged -startID "17,12,97" -verbose 1 ${DEBUG} ${FILTER} -nodesForPattern
$PEAKS_FOR_NODE --assContext completeAS.plus2ppm.pct40.19991023-1334 -baseExp hnc0
pattern/completeAS.noSub.small.wideCB.pat

```

- Danach müssen die Protopinsysteme neu verteilt und die ALLCX Liste Neuberechnet werden.

```

# in viewCache.pl die CX erneut mit den lokalen Bedingungen filtern.
# dann ...
export MAX LIST LEN=400
export MAX AS PRO CX=60
export MIN STRONG Q=0.05
export MIN WEAK Q=0.002
export MIN Q=0.0001
genCx2AsMapping -joker 0 -ignoredAS 1 -maxASPosProCXCount $MAX AS PRO CX -maxAsListLen $MAX LIST_LEN
--assContext .filtered.27101999-02.plus2ppm.reveal -outName .filtered.27101999-02.plus2ppm.reveal
--minQ $MIN Q --minWeakQ $MIN WEAK Q --minStrongQ $MIN STRONG Q
##
cp OptimizerInfo.all19991011-1900.noHistag OptimizeInfo.filtered.27101999-02.reveal
##
## alle listen auf .filtered.27101999-02.reveal umgestellt.
makeAllCXlist -iMode peaks -list .filtered.27101999-02.plus2ppm.reveal -assContext
cache.new/.filtered.27101999-02.Plus2ppm.reveal
#####
# für die Optimierung der Zuweisung wird bei einigen Peaks die Entartung hoch gesetzt
# peaks 119 , 117, und 112 auf Entartung 2 gesetzt.
export POOLFILE=originale/Poolfile_plus_2ppm_mult
#####
# Neubewertung der exportierten spinsysteme.
# (mit 2ppm, mit mult)
export NETFILE=netfile.test.dumped.save2.p2p.noCACO.recalc.inner.outter.2_0
export POOLFILE=originale/Poolfile_plus_2ppm_mult
revealContextList -doFilterGriName 0 -inContext .filtered.27101999-03 -outContext
.filtered.27101999-03.reveal pattern/revealASTYPE.pat
##
##
export MAX LIST LEN=400
export MAX AS PRO CX=60
export MIN STRONG Q=0.05
export MIN WEAK Q=0.002
export MIN Q=0.0001
genCx2AsMapping -joker 0 -ignoredAS 1 -maxASPosProCXCount $MAX AS PRO CX -maxAsListLen $MAX LIST_LEN
--assContext .filtered.27101999-03.reveal -outName .filtered.27101999-03.reveal -minQ $MIN Q
--minWeakQ $MIN WEAK_Q --minStrongQ $MIN STRONG_Q
##
##
makeAllCXList -iMode peaks -list .filtered.27101999-03.reveal -assContext
cache.new/.filtered.27101999-03.reveal
##

```

```

#####
buildOuterLink -n netfile.test.dumped.save2.p2p.noCACO.recalc.inner.outter.2_0
# nr of connects: { 7168 8119 6518 9925 12368 0}
# bad links nicht entfernt!
# out: netfile.test.dumped.save2.p2p.noCACO.recalc.inner.outter.4_0

```

- **Bilde eine Tabelle der möglichen Positionen für jeden BP im Protein**

```

# mapping as -> peak und inverse
findBasePeakInASCache.pl -asIn .filtered.27101999-03.reveal >base2as.map.filtered.27101999-03.reveal

```

- **Optimiere die Zuweisung**

```

# Starte eine Optimierung mit GENETIC oder RANDOM
# dazu wird ein Optimierscript konfiguriert und an die Aufgabe angepasst.
# (siehe Script für cont 1 weiter hinten)
# das Script nutzt die macros in sequences/macros um die Defaultwerte für die
# Parameter zu definieren.
cd sequences/gen
at now + 1 optimizer.script
# nach Ende der Optimierung erhält man ein tar.gz Archiv, das alle erzeugten Dateien
# und alle OptScripts sowie eine Kopie des effektiven Scripts (mit den expandierten
# Variablen) enthält
# die Zuweisung wird in StarOffice importiert, und dann mit der Vorlage "DiffDerZuweisungen"
# als .sdc File graphisch aufbereitet. (siehe Tabelle bei Trigger)

```

- **Welcher BP kann welchen AS zugeordnet werden ?**

```

#####
## test mapping
export NETFILE=netfile.test.dumped.save2.p2p.noCACO.recalc.inner.outter.2_0
export POOLFILE=originale/Poolfile_plus_2ppm_mult
export MAX LIST LEN=400
export MAX AS PRO CX=60
export MIN STRONG Q=0.05
export MIN WEAK Q=0.002
export MIN Q=0.0001
export IN LIST=.filtered.27101999-03.reveal
export OUT LIST=.filtered.27101999-03.reveal.test
# mit joker
genCx2AsMapping -joker 1 -ignoredAS 1 -maxASPosProCXCount $MAX AS PRO CX -maxAsListLen $MAX LIST_LEN
--assContext $IN LIST -outName $OUT LIST -minQ $MIN Q --minWeakQ $MIN WEAK_Q --minStrongQ
$MIN STRONG_Q
# suche die möglichen Zuordnungen
findBasePeakInASCache.pl -asIn .filtered.27101999-03.reveal.test > base2as.map.filtered.27101999-
03.reveal.test
##
## als .sdc File darstellen.

```

- **Suche Nachbarn für die manuelle Qualitätskontrolle, aufgrund der PPM Frequenzen.**

```

# build PPM Lists for unused Peaks
#
printSelectedPeaks.pl -db NetDB.test.dumped.save2 -list unused.plus2ppm.n4_cont1 -ignore 75 >
unused.plus2ppm.n4_cont1.ppm
printSelectedPeaks.pl -db NetDB.test.dumped.save2 -list unused.plus2ppm.n4_cont2 -ignore 75 >
unused.plus2ppm.n4_cont2.ppm
printSelectedPeaks.pl -db NetDB.test.dumped.save2 -list unused.plus2ppm.n4_fast -ignore 75 >
unused.plus2ppm.n4_fast.ppm
#
# vergleiche TNP assignment und VA hnc0
findBestNeighbourPeak.pl -sparse -order "ppm,ppm" -maxWanted 4 originale/hnc0_reorder_19991005.ppm
data/ftp/tgftab_hn_sorted.ppm > va_TO_tnp.txt
findBestNeighbourPeak.pl -sparse -reverse -order "ppm,ppm" -maxWanted 4
originale/hnc0_reorder_19991005.ppm data/ftp/tgftab_hn_sorted.ppm > tnp_TO_va.txt

```

• Das neu gefundene Protopinsystem BP201 hinzufügen

```
# HNCQ Peak 201 hinzueffigt. in NetDB test dumped.save3
# bei ppm(7.804 125.159 175.5) ==> points(583.35252 40.29852 127.60132)
# in hncq_reorder.19991005.xpk
# und in den netfiles + cache dir !
# Eintrage in_globalPage.19991027_plus2ppm
# hncq_reorder.19991005.ppm erneuert.
# hncQ ...ppm !! erste Zeile manuell korrigieren (space)!
Xpk2PPM originale/hncq_reorder.19991005 > originale/hncq_reorder.19991005.ppm
# export NETFILE=netfile test dumped.save2.p2p.nocaco.recalc.inner.outter.2_0
# export POOLFILE=originale/poolfile_plus_2ppm_mult
#
# dumpNode
# in dumpNode
# make node 201
# link 0 3231 0 1
# link 0 3232 0 1
# link 0 3233 0 1
# link 0 3234 0 1
# link 1 3231 1 1
# link 1 3232 1 1
# link 1 3233 1 1
# link 1 3234 1 1
#
# Der neue BP muß auch in alle anderen Netze eingefügt werden.
# Die Protopinsystemlisten für BP-201 muß angelegt werden.
# export POOLFILE=originale/poolfile_plus_2ppm_mult
# export NETFILE=netfile test dumped.save2.p2p.nocaco.recalc.inner.outter.4_0
# export PEAKS_FOR_NODE=9
# export FILTER=" -allowDefects 0 -doFilterGriName 1 -minPeaksPct 0.95"
##### neuer Peak 201
genContextList merged -startID "201" -verbose 1 ${DEBUG} ${FILTER} -nodesForPattern $PEAKS_FOR_NODE
-assignContext completeAS_plus2ppm.19991105-2316 -baseExp hncq pattern/completeAS.noSub.pat
-assignContext completeAS_plus2ppm.19991105-2316 -baseExp hncq pattern/completeAS.noSub.pat
```

• Erster Vergleich der Zuweisungen: auto (cont) <-> manuell

```
# auto Anzahl Kommentare
# missing: (1) ; 66, manchmal mit P47 (cont2) oder P31(fast)
# (wie tnp) zugewiesen.
#
# manuell
# missing: 6 ; 12, 20, 50, 51(auto=sehr schwach), 82, 106,
#
# verschieden:
# 10 ; 13, 14, 16, 17, 19, 22, 25, 27, 60, 61, 67, (92), 103
# (92 mit vertauschtem HNCQ Peak, siehe as111)
#####
# viewCache.pl p0202 konfiguriert. (Liste angewählt, keine Filter)
#
# .filtered.05111999-01 ausgecheckt.
#####
# export CX_EXPORT=.filtered.05111999-01
#####
#
# reevalContextList -doFilterGriName 0 -inContext ${CX_EXPORT} -outContext ${CX_EXPORT}.reeval
# pattern/reevalAsType.pat
#
# export MAX LIST LEN=400
# export MAX AS PRO CX=60
# export MIN STRONG Q=0.05
# export MIN WEAK Q=0.002
# export MIN Q=0.0001
# genCx2AsMapping -joker 1 -ignoredAs 1 -maxAsPosProxCCount $MAX AS PRO CX -maxAsListLen
# $MAX LIST LEN -assignContext ${CX_EXPORT}.reeval -outName ${CX_EXPORT}.reeval -minQ $MIN_Q
# -minWeakQ $MIN_WEAK_Q -minStrongQ $MIN_STRONG_Q
#
# findBasePeakinASCache.pl -asIn ${CX_EXPORT}.reeval > base2as.map${CX_EXPORT}.reeval
#
#
# Anhang M Scripte
```

```
makeallCxiList -iMode peaks -list ${CX_EXPORT}.reeval -assignContext cache.neu/${CX_EXPORT}.reeval
#####
#
# CP OptimizeInfo.filtered.27101999-02.reeval OptimizeInfo${CX_EXPORT}.reeval.temp
# sed -e "\.filtered\,27101999-02/s/\.filtered\,27101999-02/${CX_EXPORT}/"
# OptimizeInfo${CX_EXPORT}.reeval.temp > OptimizeInfo${CX_EXPORT}.reeval
#
# xm OptimizeInfo${CX_EXPORT}.reeval.temp
#
# CP OptimizeInfo.filtered.27101999-02.reeval.allCX OptimizeInfo${CX_EXPORT}.reeval.allCX.temp
# sed -e "\.filtered\,27101999-02/s/\.filtered\,27101999-02/${CX_EXPORT}/"
# OptimizeInfo${CX_EXPORT}.reeval.allCX.temp > OptimizeInfo${CX_EXPORT}.reeval.allCX
#
# xm OptimizeInfo${CX_EXPORT}.reeval.allCX.temp
#
# ##### g_plus2ppm
#
# # 05111999-01 mit subLoop 32000 : Kein fast-Lauf! (trotz Extension)
# fast == nur kurze SubLoops
#
```

• Bilde aus den Peaks, die nicht in der Zuweisung verwendet wurden, eine Perl-DB.

```
# mit collectUnusedPeaks eine DB mit den unbenutzten Peaks erstellt.
#
# collectUnusedPeaks.pl -db NetDB_test_dumped.save3 -byAS
# sequences/gen/RandomDump_plus2ppm_n4_cont.27101999-03.allCX.05.best.byAS -action
# "reduceDB=NetDB.red_cont1"
#
# out: NetDB.red_cont1
#
# # Inspektion der ungenutzten Peaks in NetDB.red_cont1
#
# ein neuer virtueller Basispeak (203) in NetDB.red_cont1 und NedB...saved3
# xpk: 710.84358 82.93285 127.60132
# 134 + 3340, 3341, 33432 Basispeak in
#
# NODE:203;v1;hncq;6.92,175.0,113.75,0;2213|2214|3322|3322,2213|2214|3321|3322,
# mit main.pl ansehen, als Postscript ausdrucken oder im Editor kontrollieren.
```

• Baue die neu gefundenen Spinsysteme in die Peaknetze ein.

```
# Vorgehen wie vorher bei BP-201
# in dumpNode
# make node 203
# link 0 2213 0 1
# link 1 2213 1 1
# link 0 2214 0 1
# link 1 2214 1 1
# link 0 3321 0 1
# link 1 3321 1 1
# link 0 3322 0 1
# link 1 3322 1 1
#
# 134
# link 0 3340 0 1
# link 0 3341 0 1
# link 0 3342 0 1
# link 1 3340 1 1
# link 1 3341 1 1
# link 1 3342 1 1
#
# und in ein neues PeakNet ausgeben.
# out: netfile_test_dumped.save2.p2p.nocaco.recalc.inner.outter.4_0
#
```

• Danach müssen die Protopinsysteme usw. neu berechnet werden.

```
#####
```

```

export POOLFILE=originale/poolfile_plus_2ppm_mult
export NETFILE=netfile_test_dumped.saved.p2p.nocACO.recalc.inner.outer.4_0
export FILTER=" -allowDefects 0 -doFilterGriName 1 -minPeaksPct 0.95"
##### neuer Peak 203
genContextList merged -startID "203" -verbose 1 ${DEBUG} ${FILTER} -nodesForPattern $PEAKS_FOR_NODE
-assignContext completeAS.plus2ppm.19991106-2318 -baseExp hnc0 pattern/completeAS.nosub.pat
## ergebnis: 0 cx, da spInsystem sehr schlecht (neg. CA und pos. CB Peaks in cbcamb)
##
export FILTER=" -allowDefects 0 -doFilterGriName 1 -minPeaksPct 1.0"
genContextList merged -startID "134" -verbose 1 ${DEBUG} ${FILTER} -nodesForPattern $PEAKS_FOR_NODE
-assignContext completeAS.plus2ppm.19991106-2318 -baseExp hnc0 pattern/completeAS.nosub.pat
## ergebnis: 1 cx
##
## viewCache.pl p0202 konfiguriert. (liste angewählt, keine Filter)
##
## filtered.06111999-01 ausgecheckt.
#####
export CX_EXPORT=filtered.06111999-01
##
##
revalContextList -doFilterGriName 0 -inContext ${CX_EXPORT} -outContext ${CX_EXPORT}.reval
pattern/revalAsType.pat
##
##
export MAX_LIST_LEN=400
export MAX_AS_PRO CX=60
export MIN_STRONG CX=0.05
export MIN_WEAK CX=0.002
export MIN_O=0.001
genCX2asMapUsing -joker 0 -ignoresAs 1 -maxAsPosProCXCount $MAX_AS_PRO CX -maxAsListLen
$MAX_LIST_LEN -assignContext ${CX_EXPORT}.reval -outName ${CX_EXPORT}.reval -minQ $MIN_Q
-minWeakQ $MIN_WEAK_Q -minStrongQ $MIN_STRONG_Q
##
findBasePeakinASCache.pl -asIn ${CX_EXPORT}.reval > base2as.map${CX_EXPORT}.reval
##
##
makeallCXList -iMode peaks -list ${CX_EXPORT}.reval -assignContext cache.new.${CX_EXPORT}.reval
##
##
cx OptimizeInfo.filtered.27101999-02.reval OptimizeInfo${CX_EXPORT}.reval.temp
sed -e "\.filtered.27101999-02/s/\./filtered.27101999-02/${CX_EXPORT}/"
OptimizeInfo${CX_EXPORT}.reval.temp > OptimizeInfo${CX_EXPORT}.reval
rm OptimizeInfo${CX_EXPORT}.reval.temp
##
cx OptimizeInfo.filtered.27101999-02.reval.allCX OptimizeInfo${CX_EXPORT}.reval.allCX.temp
sed -e "\.filtered.27101999-02/s/\./filtered.27101999-02/${CX_EXPORT}/"
OptimizeInfo${CX_EXPORT}.reval.allCX.temp > OptimizeInfo${CX_EXPORT}.reval.allCX
rm OptimizeInfo${CX_EXPORT}.reval.allCX.temp
##
#####
##
g_plus2ppm_4h_06111999-01
##
## mit bad1-20 & 4 h
##
### Optimieren .....
#####
##### 1999-11-19
##
## test, wie sehen die CX Listen aus, wenn PCT=100% ist und CB == wide
##
export POOLFILE=originale/poolfile_plus_2ppm_mult
export NETFILE=netfile_test_dumped.saved.p2p.nocACO.recalc.inner.outer.4_0
export FILTER=" -allowDefects 0 -doFilterGriName 1 -minPeaksPct 1.0"
genContextList merged -verbose 1 ${DEBUG} ${FILTER} -nodesForPattern $PEAKS_FOR_NODE
completeAS.plus2ppm.19991119-1144 -baseExp hnc0 pattern/completeAS.nosub.pat
## Zähle die CX in den Listen.
##
grep LEN cache.new/p/*/completeAS.plus2ppm.19991119-1144 >cache.new/LEN.completeAS.plus2ppm.19991119-
1144
##
## Basispeaks mit length = 0 (ohne wideCB), d.h. ohne Protopinsysteme
##
## BP: 9,17,20,21,23,24,30,34,43,47,49,65,74,86,91,93,97,98,

```

```

101,104,105,112,117,125,129,130,135,200,203
##
## ! gleiche CX liste !
genContextList merged -verbose 1 ${DEBUG} ${FILTER} -nodesForPattern $PEAKS_FOR_NODE -assignContext
completeAS.plus2ppm.19991119-1144 -baseExp hnc0 pattern/completeAS.nosub.wideCB.pat
grep LEN cache.new/p/*/completeAS.plus2ppm.19991119-1144 >cache.new/LEN.completeAS.plus2ppm.19991119-
1144.wideCB
##
## Basispeaks mit length = 0 (mit wideCB)
##
## BP: 20,23,24,30,43,49,65,74,91,93,98,101,105,112,117,125,129,130,135,200,203
##
## DIFF: 9,17,21,34,47,86,97,104
##
export EXT=19991119-1559
genContextList merged -allowDefects 0 -doFilterGriName 1 -minPeaksPct 1.0"
genContextList merged -verbose 1 ${DEBUG} ${FILTER} -nodesForPattern $PEAKS_FOR_NODE -assignContext
completeAS.plus2ppm.${EXT} -baseExp hnc0 pattern/completeAS.nosub.wideCB.small.pat
## Zähle die CX in den Listen.
##
grep LEN cache.new/p/*/completeAS.plus2ppm.${EXT} >cache.new/LEN.completeAS.plus2ppm.${EXT}
##
## Basispeaks mit length = 0 (ohne wideCB)
##
## BP: 9,17,20,21,23,24,30,34,43,47,49,65,74,86,91,93,97,98,101,104,105,112,117,125,129,130,135,200,203
##
##
export FILTER=" -allowDefects 0 -doFilterGriName 1 -minPeaksPct 0.95"
genContextList merged -startID
"9,17,20,21,23,24,30,34,43,47,49,65,74,86,91,93,97,98,101,104,105,112,117,125,129,130,135,200,203
-verbose 1 ${DEBUG} ${FILTER} -nodesForPattern $PEAKS_FOR_NODE -assignContext
completeAS.plus2ppm.19991119-1214 -baseExp hnc0 pattern/completeAS.nosub.wideCB.pat
grep LEN cache.new/p/*/completeAS.plus2ppm.19991119-1214 >cache.new/LEN.completeAS.plus2ppm.19991119-
1214.wideCB
##
## mit length = 0, ohne wide CB
##
## BP: 34,86,91,97,125,130,203
##
## mit length = 0, mit wide CB
##
## BP: 91,125,130,203
##### alle mit Gly Mustern
##
export EXT=19991119-1559
export FILTER=" -allowDefects 0 -doFilterGriName 1 -minPeaksPct 0.85"
genContextList merged -startID "21" -verbose 1 ${DEBUG} ${FILTER} -nodesForPattern $PEAKS_FOR_NODE
-assignContext completeAS.plus2ppm.${EXT} -baseExp hnc0 pattern/completeAS.nosub.wideCB.small.pat
grep LEN cache.new/p/*/completeAS.plus2ppm.${EXT} >cache.new/LEN.completeAS.plus2ppm.${EXT}.wideCB
##

```

• Erzeuge einen AS-Cache, der einer AS nur die BP zuweist, die in der manuellen Zuweisung gefunden wurden.

```

## Erzeuge die automatische Zuweisung die maximal der manuellen gleicht.
## Um die Zuweisungen zu vergleichen, braucht man eine Zuordnung der Peaks zu den Positionen im
## Protein. Diese entsteht nicht bei der manuellen Zuweisung und muß daher künstlich erzeugt werden.
##
export endgueltige TNP Zuweisung in /simul/va/DOC/Doktorarbeit/Trigger/tnpZuweisung.txt
##
## alle temporären löschen mit
## find cache.new/ -name tnp_only.20000116 -exec rm {} \;
##
## erzeuge den "HP-ONLY" Cache (TNP-ONLY)
genHPPeakOnlyASCache.pl -noOverwrite -hfcXFormat simple -symlink -as2peak
/simul/va/DOC/Doktorarbeit/Trigger/tnpZuweisung.txt -out tnp_only.20000116 -in
.filtered.19991119-01.reval -hfcXOrder "as,peak" > script_TNP_Only.20000118.sh
sh script_TNP_Only.20000118.sh
##
## p0101 doppelt zugewiesen fehlt daher in as14
##
cp OptimizeInfo.filtered.19991119-01.reval OptimizeInfo.filtered.TNP_ONLY.20000116-01
##
## damit kann dann eine pseudo Optimierung ablaufen, die dem Optimierer nur die Wahl des

```



```

REORDERED= reorder_19991005
BASE=hcno
VEC=0,2,-1,-1
SRC_PLF=$DIR/$BASE$RAW
DEST_PLF=$DIR/$BASE$REORDERED
sed -e /$RAW/$/s//$REORDERED/ $SRC_PLF.plf > $DEST_PLF.plf
reorderXPK -o $DIR/$BASE$REORDERED.axis $SRC_PLF $VEC axis
reorderXPK -o $DIR/$BASE$REORDERED.xpk $SRC_PLF $VEC xpk
test -e $DIR/$BASE$RAW.list100 && reorderXPK -o $DIR/$BASE$REORDERED.list100 $SRC_PLF $VEC list100
Xpk2PPM $DEST_PLF > $DEST_PLF.ppm

BASE=cbca_conh
VEC=0,2,-1,-1
IDSHIFT=2000
SRC_PLF=$DIR/$BASE$RAW
DEST_PLF=$DIR/$BASE$REORDERED
sed -e /$RAW/$/s//$REORDERED/ $SRC_PLF.plf > $DEST_PLF.plf
reorderXPK -i $IDSHIFT -o $DIR/$BASE$REORDERED.axis $SRC_PLF $VEC axis
reorderXPK -i $IDSHIFT -o $DIR/$BASE$REORDERED.xpk $SRC_PLF $VEC xpk
test -e $DIR/$BASE$RAW.list100 && reorderXPK -i $IDSHIFT -o $DIR/$BASE$REORDERED.list100 $SRC_PLF $VEC
vol
test -e $DIR/$BASE$RAW.list100 && reorderXPK -i $IDSHIFT -o $DIR/$BASE$REORDERED.list100 $SRC_PLF $VEC
$VEC list100
Xpk2PPM $DEST_PLF > $DEST_PLF.ppm

BASE=cbcanh
VEC=0,2,-1,-1
IDSHIFT=3000
SRC_PLF=$DIR/$BASE$RAW
DEST_PLF=$DIR/$BASE$REORDERED
sed -e /$RAW/$/s//$REORDERED/ $SRC_PLF.plf > $DEST_PLF.plf
reorderXPK -i $IDSHIFT -o $DIR/$BASE$REORDERED.axis $SRC_PLF $VEC axis
reorderXPK -i $IDSHIFT -o $DIR/$BASE$REORDERED.xpk $SRC_PLF $VEC xpk
test -e $DIR/$BASE$RAW.list100 && reorderXPK -i $IDSHIFT -o $DIR/$BASE$REORDERED.list100 $SRC_PLF $VEC
vol
test -e $DIR/$BASE$RAW.list100 && reorderXPK -i $IDSHIFT -o $DIR/$BASE$REORDERED.list100 $SRC_PLF $VEC
$VEC list100
Xpk2PPM $DEST_PLF > $DEST_PLF.ppm

BASE=hcna
VEC=0,2,-1,-1
IDSHIFT=1000
SRC_PLF=$DIR/$BASE$RAW
DEST_PLF=$DIR/$BASE$REORDERED
sed -e /$RAW/$/s//$REORDERED/ $SRC_PLF.plf > $DEST_PLF.plf
reorderXPK -i $IDSHIFT -o $DIR/$BASE$REORDERED.axis $SRC_PLF $VEC axis
reorderXPK -i $IDSHIFT -o $DIR/$BASE$REORDERED.xpk $SRC_PLF $VEC xpk
test -e $DIR/$BASE$RAW.list100 && reorderXPK -i $IDSHIFT -o $DIR/$BASE$REORDERED.list100 $SRC_PLF $VEC
vol
test -e $DIR/$BASE$RAW.list100 && reorderXPK -i $IDSHIFT -o $DIR/$BASE$REORDERED.list100 $SRC_PLF $VEC
$VEC list100
Xpk2PPM $DEST_PLF > $DEST_PLF.ppm

#!/bin/sh
# STUFE 1 Cont 01
# setzt die Optimierung von g_plus2ppm fast fort
# startet mit Randomdump.plus2ppm_H4_Fast.2710199-03.10
#
. ~/profile
cd /simul/va/Trigger
. .profile.local

export VER_EXT=default
#export RAND=randl
export RAND=genl
#export WITH_STAT=YES

```

M.4 Optimierer Start Script für cont01

```

# Proteinsystems, aber nicht die Wahl der Basispeaks offen läßt.
# Optimierung tnp_nach
#####
# export tnp Zuweisung vorher > /simul/va/DOC/Doktorarbeit/Trigger/tnpZuweisung_prev.txt
# alle löschen mit
# find cache.neu -name tnp_only.20000116 -exec rm {} \;
# erzeuge den "HF-ONLY" Cache (TNP-ONLY)
# nutzt tnp_only.20000116 + as081 -> p0049 als tnp_only_pre.20000116 gelinkt
cp OptimizeInfo.filtered.TNP_ONLY_PRE.20000116-01 OptimizeInfo.filtered.TNP_ONLY.20000116-01
#####
#### Optimierungen tnp und tnp_pre
# tnp optimierung in seq/gen/tnp
# tnp optimierung in seq/gen/tnp_pre

• Bilde eine PerIDB aus den ungenutzten Peaks der Zuweisung
# Ungenutzte Peaks können graphisch dargestellt werden, wenn sie in einer PerIDB vorliegen.
# dazu werden die Peaks aus dem PeakPool ausgewählt, die in einer Zuweisung nicht auftauchen.
collectUnusedPeaks.pl -db NetDB_test_dumped.save3 -byAS
sequences/gen/tnp_pre/RandomDump.plus2ppm_n4.tnp_pre > unused.plus2ppm_n4.tnp_pre
# ungenutzte 14 Basispeaks mit N-BP, insgesamt 169 Peaks = 155 n-BP
# 34,49,53,60,91,111,113,118,123,125,130,200,201,203 (Basispeaks mit N-BP)
# davon 21 mit >= 2 peaks
# davon 14 mit >= 3 peaks
# davon 10 mit >= 4 peaks
collectUnusedPeaks.pl -db NetDB_test_dumped.save3 -byAS
sequences/gen/tnp_pre/RandomDump.plus2ppm_n4.tnp_pre > unused.plus2ppm_n4.tnp_pre
# ungenutzte 10 Basispeaks mit N-BP, insgesamt 146 Peaks = 136 n-BP
# 34,53,60,91,111,118,123,125,200,203 (Basispeaks mit N-BP)
# davon 17 mit >= 2 peaks
# davon 11 mit >= 3 peaks
# davon 6 mit >= 4 peaks

M.3 reorderAchsen.sh
#!/bin/sh
# ordnet die Achsen der rohen Spektren neu an.
# neue Achsenreihenfolge:
# HN N CO CA,CAB
# vorher HN CO nachher HN N CO
# hcno NH CA N ==> HN N -- CA
# cbcanh HN CAB N ==> HN N -- CAB
# cbca_conh HN CAB N ==> HN N -- CAB
# form:
# reorderXPK -plf <plf-oid> -vec <new-pos> -form xpk -o <new-xpk>
# VEC = index der spalte aus der spalte 0 stammt,...
# eg:
# hcno NH vorher in col=0 nachher in col=0 ==> 0
# hcno N vorher in col=2 nachher in col=1 ==> 2
# hcno CO vorher in col=1 nachher in col=2 ==> 1
# hcno CA vorher (nicht vorhanden) nachher in col=3 ==> -1
# VEC=0,2,1,-1
# leere spalten == -1
DIR=$BASEPATH/originale
## INPUT Extension
RAW=raw_19991005
## OUTPUT Extension
Anhang M Scripte

```

```

export WITH_STAT=NO
#export USE_PERSISTENT=YES
export USE_PERSISTENT=NO

export ARCH_DIR=${BASEPATH}/sequences/gen/
. ${RUN_MACROS}/quality
. ${RUN_MACROS}/files
. ${RUN_MACROS}/parameter

## SUPERSEED PARAMETER
export POOLFILE=originale/poolfile_plus_2ppm_mult
#export NETFILE=$NETFILE_2
export NETFILE=netfile_test_dumped.save2.p2p.noCACO.recalc.inner.outer.2_0
#export NETFILE=$NETFILE_4
#export MAX_O=${MAX_ON}
#_ON2
#export CONFIG_NAME=OptimizerInfo.nur_hfPeaks.merged.19990314-02
#_OM83
#export CONFIG_NAME=OptimizerInfo.merged.19990314-03.no83-85
#export CONFIG_NAME=OptimizerInfo.filtered.14071999-01
export CONFIG_NAME=OptimizerInfo.filtered.27101999-03.reeval.allCX
#_om5
#export CONFIG_NAME=OptimizerInfo.merged.19990314-03
#export PROFILE_NAME=profile/profile.mlx1_2
#export MAX_TIME=3600
#export STAT_TIME=480

export GEN_NROSEQUENCES=32
#export IN_NAME=Randomump. ${GEN_NROSEQUENCES}.empty
# setzt die Optimierung von 9.Plus2ppm_Fast fort.
# wat: Q=473.317 AS=95 Links=61
export IN_NAME=${ARCH_DIR}/Randomump.plus2ppm_n4_fast.27101999-03.01

export SEEDPOOLSIZE=16
export SURVIVINGSEEDS=8

export GEN_CROSSOVER_Gs2p2=0
export CROSSOVER_PCT=0.5

export SUB_MAX_LOOPS=32000
export SUB_MAX_IDLE_LOOPS=700
export SUB_MAX_TIME=10
export GEN_G_TOL=0.999
export GEN_O_THRESHOLD_DECAY_RATE=0.05
export GEN_CROSSOVER_RATES=0.5

export O_TOL=0.9
export THRESHOLD_DECAY_RATE=0.005
export MIN_TTL=2
export MAX_TTL=5
export MAX_IDLE=10000

export TRACE_INTERVAL=100
#export MULTIRUN=10

export LINK_CACHE_SIZE=400000

###
${RUN_MACROS}/max_quality
. ${RUN_MACROS}/extension
#_EXTENSION
export VER_EXT=plus2ppm_n4 cont.27101999-03.allCX.05
#export VER_EXT=${VER_EXT}_qt09_nurhf

echo "#### NACH EXTENSION"
. ${RUN_MACROS}/output_files
#_SUPERSEED FILES
#export PCT=85
#export REF_STATE=${BASEPATH}/sequences/best/R1_n_0_drop${PCT}-01
#_ ${ARCH_DIR}/drop_q

##
echo "#### VOR TRACE LOGFILE"
echo > ${TRACE_NAME}

```

```

traceLogFile ${TRACE_NAME}
#####
echo "#### VOR TEMP DIR"
export TEMP_DIR=/tmp/run.$$
mkdir ${TEMP_DIR}
trap "rm -rf ${TEMP_DIR} 2>/dev/null" EXIT
. ${RUN_MACROS}/copyScript

export TEMP_SCRIPT=${TEMP_DIR}/callscript
echo "#### VOR BUILD CALL"
. ${RUN_MACROS}/buildCall
#####
echo -n "# "
date
echo "#!/bin/sh"
echo "#SCRIPT is $0"
echo "#ARG1 is $1"
echo "#ARG2 is $2"
echo "#optimizer call was:"
echo
cat ${TEMP_SCRIPT}
echo
chmod u+x ${TEMP_SCRIPT}
echo "#### VOR call TEMP SCRIPT"

```

```

(
time ${TEMP_SCRIPT} 2>&1
)>> ${LOG_NAME} 2>&1
#####
. ${RUN_MACROS}/buildtar

```

M.5 Die resultierende Kommandozeile für cont01

```

# Das oben angeführte Script für cont01 erzeugt diese Kommandozeile.
# (alles in einer Zeile, Umbruch fand nur an Space statt! Die ersten 2 Zeilen mit # fallen weg.)
/simul/va/assign/bin/geneticOptimize_net
netfile test_dumped.save2.p2p.noCACO.recalc.inner.outer.2_0 -indepfFile
OptimizeInfo.filtered.27101999-03.reeval.allCX -optFileName
/simul/va/trigger/sequences/gen/Randomump.plus2ppm_n4_fast.27101999-03.allCX.05
-dumpFileName/simul/va/trigger/sequences/gen/Randomump.plus2ppm_n4 cont.27101999-03.allCX.05
-maxTime 3600 -randomTime -maxLoops 100000 -thresholdDecayRate 0.005 -maxIdleLoops 10000
-minTTL 2 -maxTTL 5 -qThreshold 0.9 -profile profile.mlx1_2 -traceInterval 100 -traceFile
/simul/va/trigger/sequences/gen/trace.Trigger.plus2ppm_n4 cont.27101999-03.allCX.05 -debug
traceEachO.TRACEDUMPS.TracePopulation -calc as link -endQ 808.1685 -crossOverPct 0.5
-genArnaSize 32 -seedPoolSize 16 -survivingSeeds 8 -genThreshold 0.999 -subMaxTime 10
-subMaxLoops 32000 -subTraceInterval 1000 -subMaxIdleLoops 700 -finalMaxLoops 20000 -finalRuntime
20 -finalMaxIdle 2000 -optIop Gs2p2 -genQThresholdDecayRate 0.05 -genMaxEqualLoops 15
-genMaxIdleLoops 15 -genCrossOverThreshold 0.9

```

M.6 makefile für die graphische Aufbereitung der

Ergebnisse eines Optimiererauflaufes

```

# Gemeinsames Makefile fuer alle Unterverzeichnisse
# Interpretiert die statistischen Daten (log) der Optimierung und
# erzeugt alle Graphen.
# diese Datei wird in jedem Unterverzeichnisse angepasst.
include ./makefile.conf
#####
### prep createGpl eps
prep: .is_stripped subLoopSumme extractData
.is_stripped: trace

```

```

make stripTrace
touch .is_stripped

stripTrace:
stripTOGEN.pl trace

${DIR}.globalMeanSubLoopStat:
calcLoopSum.pl -in trace -def global -def groupMean -outBase ${DIR}
${DIR}.Stat: stat
perl -n -e 'if (/^\s*\d+\s*\d+\/){ print ; }' < stat > ${DIR}.Stat

subLoopSumme: .is_stripped ${DIR}.globalMeanSubLoopStat ${DIR}.Stat

extractData: is_stripped
extractData.pl -in trace -outBase ${DIR} -arenaSize ${ARENA_SIZE} -survivingSeeds
${SURVIVING_SEEDS}

# erzeugt die Graphen, die den Zeitlichen Verlauf der Optimierung darstellen.
createGPl: is_stripped
filterTraceEvol.pl -in trace -outBase ${DIR} -form all -plot gal2_all -arenaSize ${ARENA_SIZE}
-survivingSeeds ${SURVIVING_SEEDS} -def fixY=300:700"
filterTraceEvol.pl -in trace -outBase ${DIR} -form all -plot qWolke -arenaSize ${ARENA_SIZE}
-survivingSeeds ${SURVIVING_SEEDS} -def fixY=300:700"
filterTraceEvol.pl -in trace -outBase ${DIR} -form qWolkeMulti -plot qWolkeMulti -arenaSize
${ARENA_SIZE} -survivingSeeds ${SURVIVING_SEEDS} -def noTitle -def noShow -def noKeys -def
fixY=300:700"

eps:
find . -maxdepth 1 -name "${DIR}*.gpl" -exec gnuplot {} \;

#####
groups:
groupStat.pl -set evol_q -in ${DIR}.g3.evol -in ${DIR}.g2.evol -in ${DIR}.g1.evol -out
test.group.evol
meanStat.pl -set evol_q -in ${DIR}.g3.evol -in ${DIR}.g2.evol -in ${DIR}.g1.evol -out
test.grouping.evol -groups "all"

groups arena: groups
meanStat.pl -set evol_q -in ${DIR}.g3.evol -in ${DIR}.g2.evol -in ${DIR}.g1.evol -out
test.grouping16.evol -groups "arena-${ARENA_SIZE} ${ETERN} ${SURVIVING_SEEDS}"
matUnion.pl -in test.grouping16.evol -in ${DIR}.groupMeanSubLoopStat -out
test.groupingUnion.evol

#####
clean.gpl:
xm -f ${DIR}*.gpl

clean:
xm -f *.eps *.gpl
xm -f ${DIR}.*"

```

```

# vorher:
# aslchar.txt erzeugen.
# lib/protein.pl mit dem Protein und der Sequenz ergänzen.
# erzeuge ein profile.local (kopieren & Pfade anpassen)
# erzeuge ein setEnv.neu (kopieren & Pfade anpassen)
# ASS zeigt zum Basisverzeichnis des Assign Projekts
# export PROJ_BASE_DIR=/simul/va
export PROJNAME=Trigger
export PROJDIR=${PROJ_BASE_DIR}/${PROJNAME}
cd ${PROJ_BASE_DIR}

#
# if [ ! -d ${PROJDIR} ] ; then
# pre-A) anlegen der Verzeichnisse und Datenstrukturen für Trigger
#
# mkdir ${PROJNAME}
# cd ${PROJDIR}
# mkdir originale
# ln -s $ASS/profile
# ln -s $ASS/pattern
# touch OOREADME
# touch NetLog

if [ ! -e ${PROJDIR}/Protein ] ; then
# vorher:
# aslchar.txt erzeugen
# lib/Protein.pl mit dem Protein und der Sequenz ergänzen
# Protein Datei anlegen
# genProteinFromChar.pl Trigger > ${PROJDIR}/Protein
fi

#
# test -d cache || mkdir cache
# test -d sequences || mkdir sequences
cd sequence
# ln -s $ASS/OptimizerScripts macros
# gen und rand nehmen die Optimierungsergebnisse auf.
# mkdir gen
# mkdir rand
## end if dir PROJNAME not found
fi

```

M.7 makefile.conf

```

#ein Beispiel für die Konfiguration des vorigen Makefiles
DIR-R-15
ARENA_SIZE=64
ETERN=L6
SURVIVING_SEEDS=16

```

M.8 prepareProject.sh

```

#!/bin/sh
# Vorbereitung eines Projekts.
Anhang M Scripts

```


Anhang N Quelltexte

Die folgenden Seiten enthalten einen kleinen Ausschnitt der C++ Quellen, die zum ASSIGN Projekt gehören. Es wurden nur die Quellen ausgewählt, die direkt zum RANDOM und GENETISCHEN-Optimierer beitragen. Basisklassen wie PeakNet, Context, Resource, Peak usw. wurden nicht aufgenommen. Außerdem mußten alle Teile des Mustersuchalgorithmus, der knotenlokalen Bedingungen, die graphischen Oberflächen für die Konfiguration der knotenlokalen Bedingungen und die Hilfsprogramme aus Platzgründen weggelassen werden.

N.1 Quelltext: randomOptimize.cc

```

//
// $Id: randomOptimize.cc,v 1.11.2.1 2000/06/22 12:25:42 va Exp $
//
#define DONT_TRACE 1
#include "statArray.h"
#include "Array.h"
#include "Macros.h"
#include "Debug.h"
#include "time.h"
#include "Math.h"
#include "limits.h"
#include "values.h"
#include "ErrorMessage.h"
#include "iomanip.h"
#include "iostream.h"
#include "fstream.h"
#include "cmaline.h"
#include "cmdargs.h"
#include "GetOptions.h"
#include "StreamRedirect.h"
#include "gr_prob.h"
#include "MYACG.h"
#include "Split.h"
#include "MyApplication.h"
#include "MySmplHist.h"
#include "Cache.h"
#include "Protein.h"
#include "PeakPool.h"
#include "ParsePoolFile.h"
#include "PeakNet.h"
#include "ParsePeakNet.h"
#include "Context.h"
#include "ContextList.h"
#include "ContextLock.h"
#include "ContextOp.h"
#include "AsciiContextReader.h"
#include "Expression.h"
#include "Condition.h"
#include "AllConditions.h"
#include "ExpressionBuilder.h"
#include "MyManip.h"
#include "ParseBlock.h"
#include "ParseContextList.h"
#include "ParseCondition.h"
#include "LinkBuilder.h"
#include "RandomOpti_StateIndependent.h"
#include "RandomOpti_State.h"
#include "RandomOpti_Calc.h"
#include "ContextRegister.h"
#include "StateMetrics.h"
#include "stdexcept"

////////////////////////////////////
template <class TVec >
void showStat(ostream& os, const char* name, const TVec& x, int top)
{
    ASSERT (top <= x.count ());

    SampleStatistic statistic;
    if ( top > 0 ) {
        for(int i = 0; i < top;i++){
            statistic += ( (double)x[i] );
        }
        os << indent << setw(16)<< name
            << "\t" << statistic.mean ()
            << " " << statistic.stdDev ()
            << endl;
    }
}

} else {
    statistic += (double)0;
    os << indent << setw(16)<< name
        << "\t" << 0
        << " " << 0
        << endl;
}

}

////////////////////////////////////
CmdArgUsage arg_usage("?", "help", "print usage and exit");

static CmdArgStr arg_debug("d","debug","debug", "list of enabled debugging options",
    CmdArg::ISOPTVALREQ);
static CmdArgStr arg_action("r","action","initstate|optimize", "what should it do?",
    CmdArg::ISOPTVALREQ);
static CmdArgStr arg_poolfile("p","poolfile","poolfile", "pool file name", CmdArg::ISOPTVALREQ);
static CmdArgStr arg_netfile("n","netfile","netfile", "net file name", CmdArg::ISOPTVALREQ);
static CmdArgStr arg_optifilename("n","optifilename","filename", "input opti state file name",
    CmdArg::ISOPTVALREQ);
static CmdArgStr arg_tracefilename("r","tracefile","filename", "file for trace messages",
    CmdArg::ISOPTVALREQ);
static CmdArgStr arg_statefilename("n","indepfile","filename", "state independent file name",
    CmdArg::ISOPTVALREQ);
static CmdArgStr arg_referenzstate("r","referenzstate","filename", "file of reference state",
    CmdArg::ISOPTVALREQ);
static CmdArgInt arg_multiRun("m","multiRun","count", "run optimize multiple times (requires
    randomtime)", CmdArg::ISOPTVALREQ);
static CmdArgFloat arg_statTime("m","statTime","min", "time for all stat loops",
    CmdArg::ISOPTVALREQ);
static CmdArgInt arg_statMin("m","statMin","loop", "lower border for statistic (min loop count)",
    CmdArg::ISOPTVALREQ);
static CmdArgInt arg_statMax("m","statMax","loop", "upper border for statistic (max loop count)",
    CmdArg::ISOPTVALREQ);
static CmdArgStr arg_statOutFile("r","statOutFile","filename", "output file for statistics",
    CmdArg::ISOPTVALREQ);

static CmdArgStr arg_calculator("r","calc","name", "name of calculator", CmdArg::ISOPTVALREQ);

int main(int argc, char ** argv) {
    MyApplication app;

    int ret = -1;
    try {
        ret = app.main(argc,argv);
    }
    catch (std::exception& e) {
        ErrorMessage err;
        err << error
            << "an exception escaped from the main program\n"
            << e.what()
            << eom;
    }
    catch (...) {
        ErrorMessage err;
        err << error
            << "an unknown exception type escaped from the main program."
            << eom;
    }
    return ret;
};

int MyApplication::main(int argc, char** argv) {
    debug_set(10);
    force_all_Conditions ();
    disableAllAS ();

    Cmdline cmd(*argv, &arg_usage,
        // PARAMETER
        // OPTIONS
        // main options
        &arg_debug,&arg_action,
        &arg_statTime,
        &arg_multiRun,&arg_statMin,&arg_statMax,&arg_statOutFile,

```



```

cout << "building Optis " << endl;
RandomOptimizer* optiP = new RandomOptimizer;
RandomOptimizerBASE::Handle opti(optiP, IINIT);

// setze net und pool
opti->peakNet(net).peakPool(pool);

fstream traceFile;
if(traceFileName!=""){
    traceFile.open(traceFileName,ios::out|ios::app);
    if(!traceFile){
        ErrorMessage err;
        err << error << "could not open trace file \"
            << traceFileName <<\" \" << eom;
        return -1;
    }
    traceFile << "START TRACE;" << now << endl;
} else {
    opti->debugStream(traceFile);
}
opti->debugStream(cerr);
optiP->debugStream(cerr);
opti->useIndependent(independent);

// statistic arrays
int statTop = 0;
int fail_statTop=0;
longVec loops(nrofRuns);
doubleVec singleTime(nrofRuns);
longVec diffActions(nrofRuns); diffActions.fill(0);

longVec fail_loops(nrofRuns);
doubleVec fail_singleTime(nrofRuns);
longVec fail_diffActions(nrofRuns); fail_diffActions.fill(0);
longVec fail_asCount(nrofRuns);
longVec fail_linkCount(nrofRuns);
doubleVec fail_quality(nrofRuns);

time_t restZeit = statTime;
time_t usedTime = -1; // zeit fuer den vorhergehenden Durchgang
while(nrofRuns>0 && ((statTime-0 && restZeit>0) || statTime <0)){
    opti->initState();
    // und lade sie neu.
    if(optiFileName != ""){
        cout << "reading opti from "<<optiFileName<<endl;
        if( opti->loadState(optiFileName, pool, net)
            return -1;
        }
    if (!optiP->configure(argv_iter))
        exit(-1);

    // lösche die state Objecte
    if (statisticRuns){
        opti->dumpFileName(tempFileName);
        opti->runTime(restZeit);
        opti->maxLoop(10000000); // sehr gross, nie erreicht
    } // starte den Optimizer neu.
    opti->restartRun();

    if (action == initState){
        cout << "init..." << endl;
        opti->initState();
    } else {
        cout << "optimize..." << endl;
        time_t start = time(NULL);
        opti->optimize();
        time_t endr = time(NULL);
        usedTime = endr - start;
    } //
    nrofRuns --;
    restZeit -= usedTime;
    if(restZeit < 10) restZeit = 0;
    // ignoriere den letzten Durchlauf, wenn er

```

```

// durch TIMEOUT beendet wurde.
// Der letzte Lauf verfälscht sonst die Statistik.
// Ausnahme: Der erste Lauf hat die gesamte Zeit verbraucht!
// Dann ist dies das Ergebnis und darf nicht ignoriert werden.
// pseudo code:
// wenn (statistik UND entweder (
//     erster Lauf
//     ODER
//     nicht durch TIMEOUT beendet ))
// (statisticRuns
// &&
//     // der erste Durchlauf
//     (( fail_statTop + statTop == 0 ) ||
//     // NICHT durch TIMEOUT beendet.
//     (opti->exitReason() != "max time reached" && restZeit > 0)
// )
// )
{
    const double epsilon = 1e-4;
    bool failed = false;
    int actions = 0;
    if ( referenceStates.count() > 0 ){
        failed = (referenceStates[0]->quality()
                 - opti->stateat(-1)->quality()) > epsilon);
        actions = MAXINT;
        for(int i=0;i<referenceStates.count(); ++i)
        {
            StateDiff diff( opti->stateat( -1 ), referenceStates[i]);
            //diff.tracesSwaps();
            diff.finalized();
            actions = min(diff.atomDistance(),actions);
        }
    } else {
        failed = ((opti->endOf()
                  - opti->stateat(-1)->quality()) > epsilon);
    }
    if (!failed){
        loops[statTop] = opti->loopCount();
        singleTime[statTop] = usedTime;
        diffActions[statTop] = actions;
    }
    statTop ++;
} else {
    fail_loops[fail_statTop] = opti->lastOchanged();
    fail_quality[fail_statTop] = opti->stateat(-1)->quality();
    fail_asCount[fail_statTop] = opti->stateat(-1)->usedCount();
    fail_linkCount[fail_statTop] = opti->stateat(-1)->usedLinks();
    fail_singleTime[fail_statTop] = usedTime;
    fail_diffActions[fail_statTop] = actions;
}
fail_statTop ++;
} else {
    opti->dumpState();
}
}
}
if (statisticRuns){
    WriteBlock Block(out, "STATISTIC_DATA");
    for(int i = 0; i < statTop; i++){
        cout << "i: " << i << " S"
            << " " << loops[i]
            << " " << singleTime[i]
            << " " << diffActions[i]
            << endl;
    }
    for(int i = 0; i < fail_statTop; i++){
        cout << "statTop:i+1"
            << " " << fail_loops[i]
            << " " << fail_singleTime[i]
            << " " << fail_quality[i]
            << " " << fail_asCount[i]
            << " " << fail_linkCount[i]
            << " " << fail_diffActions[i]
            << endl;
    }
}

```



```

MyApplication app;
int ret = -1;
try {
    ret = app.main(argc,argv);
}
catch (std::exception e){
    ErrorMessage err;
    err << error
    << "an exception escaped from the main program\n";
    << "exception type is "<<e.what()
    << eom;
    ret = -1;
}
catch (...){
    ErrorMessage err;
    err << error
    << "an unknown exception type escaped from the main program."
    << eom;
    ret = -1;
}
return ret;
};
int MyApplication::main(int argc, char** argv){
    debug_set(10);
    force_all_Conditions();
    disableALLAS();
    CmdLine cmd(*argv, &arg_usage,
                // PARAMETER
                // OPTIONS
                // main options
                &arg_debug,&arg_action,
                &arg_statTime,
                &arg_multiRun,&arg_statMin,&arg_statMax,&arg_statOutFile,
                // files
                &arg_optiFileName,&arg_referenzState,
                &arg_poolFile,&arg_netFile,&arg_stateFileName,
                &arg_traceFileName,
                // finalizer
                &arg_finalMaxIdleLoops,
                &arg_finalMaxLoops,&arg_finalRunTime,
                &arg_calculator,&arg_optiOpName,
                // files
                NULL);
    cmd.clear();
    cmd.set(CmdLine::KWDS_ONLY | CmdLine::OPTS_FIRST |
            CmdLine::NO_GUESSING );
    // fuer jeden verwendeten Optimizer MUESSEN die Optionen
    // registriert werden.
    RandomOptimizerASE::registerOptions(cmd);
    SubRandomOptimizer::registerOptions(cmd);
    GeneticOptimizer::registerOptions(cmd);
    CmdArgvIter argv_iter(argc-1, argv+1);
    if (cmd.parse(argv_iter) {
        cerr << "ERROR: need args: " << endl;
        cmd.error() << "parsing errors occurred!" << endl;
    }
    return (-1);
}

MyString sep = "/"; // dir separator
double d; // temp var
long int statTime // [min]
long int nrOfRuns = 1; // nr of runs for statistics
long int statMin = 10;
long int statMax = 50;

MyString optiFileName;
MyString stateFileName;
MyString tempFileName; // set to a temp-file if nrOfRuns > 0
MyString traceFileName;
MyString statOutFileName;
MyString poolName;
MyString netName;
MyString debugOptions;
enum action_e { optimize, initState };
action_e action = optimize;
MyString actionOption;
evalOption(debugOptions,"OFF","VA_DEBUG",arg_debug);
debugOptions = upcase(debugOptions);
evalOption(optiFileName,"","","arg_optiFileName);
evalOption(stateFileName,"","","arg_stateFileName); // independent data
evalOption(traceFileName,"","","arg_traceFileName);
evalOption(d,-1.0,"",arg_statTime);
statTime = long(d * 60); // min -> sec
evalOption(nrOfRuns,1,"",arg_multiRun);
evalOption(statMin,10,"",arg_statMin);
evalOption(statMax,50,"",arg_statMax);
MyString optiOpName;
evalOption(optiOpName,"default","","arg_optiOpName);
// name of the calculator&cache
MyString calcName = "none";
evalOption(calcName,"none","","arg_calculator);
bool statisticRuns = givenOption(arg_multiRun);
evalOption(actionOption,"OPTIMIZE","","arg_action);
actionOption = upcase(actionOption);
if( actionOption == "OPTIMIZE"){
    action = optimize;
} else if( actionOption == "INITSTATE"){
    action = initState;
} else {
    ErrorMessage err;
    err << error
    << "unknown action:"<< actionOption << endl
    << "allowed are: optimize OR initState"<< eom;
    return -1;
}
if(statisticRuns){
    const char* name = tempnam ("/temp",NULL);
    tempFileName = name;
    free((void*)name); // allocated in C library with malloc
}
OutputRedirect oRedir(arg_statOutFile);
ostream sout = oRedir.stream();
evalOption(netName, "./netfile","NETFILE",arg_netFile);
evalOption(poolName, "./Poolfile","POOLFILE",arg_poolFile);
Context::Handle globalCx = Context::globalHandle();
////////////////////////////////////
// get the PeakPool
cout << "reading pool " << poolName << endl;
PeakPool::Handle pool = PeakPool::make();
if(!loadPeakPool(pool, poolName,*globalCx){
    return -1;
}
////////////////////////////////////
// read the Net
cout << "reading net "<< netName << endl;
PeakNet::Handle net;
if(!loadPeakNet(net, netName, pool)){
    return -1;
}
////////////////////////////////////
// load Opti independent data "<< stateFileName << endl;
StateIndependent::Handle independent = StateIndependent::loadState(
    stateFileName, pool, net, globalCx);
if(!isNull(independent)){
    return -1;
}
}

```

```

independent->calculatorName(calcName);
Arx::Stats::Handle referencStates;
if (staticRun & referencStates) {
    cout << "setze jv von option (arg_referenzState){"
    Context::Registering CX" << flush;
    ContextList::Handle list = independent->allCXList();
    reg::register::CXInit( list );
    cout << "done" << endl;
    wxString name;
    w::Option( name, "", "", arg_referenzState );
    wxString names;
    w::Regexp r(Semikolon(","));
    wxString split(toString( names );
    referencStates.resize( names.count() );
    for( int i=0; i<names.count(); ++i)
    {
        cout << "reading reference state from "<< names[i] << flush;
        RandomOptimizer::BASE::Handle optii(new RandomOptimizer::BASE, INITIT);
        optii->peakNet( net ).peakPool( pool ).useIndependent( independent );
        if( optii->loadState( names[i], pool, net ) ){
            return -1;
        };
        optii->rebuildQnt(-1);
        referencStates[i] = optii->stateAt(-1);
        cout << " Q-=" << referencStates[i] -> quality();
    }
    cout << " .. done" << endl;
}

// configure optimization data
cout << "building Optis " << endl;
SubRandomOptimizer *randomOpti1 = NULL;
SubRandomOptimizer *randomOpti2 = NULL;
GeneticOptimizer *geneticOpti = NULL;
randomOpti1 = new SubRandomOptimizer; // typespecific
randomOpti2 = new SubRandomOptimizer; // typespecific
geneticOpti = GeneticOptimizerFactory::make( optiOpName );

RandomOptimizer::BASE::Handle subOpti( randomOpti1, INITIT );
RandomOptimizer::BASE::Handle subOpti2( randomOpti2, INITIT );
RandomOptimizer::BASE::Handle finalOpti( randomOpti2, INITIT );
GeneticOpti->subRO( subOpti ); // typespecific
GeneticOpti->finalRO( finalOpti ); // typespecific

//////////
long finalMaxIdleLoops = 1000;
long finalMaxLoops = 20000;
long finalRunTime = 10; // [min]
evalOption( finalMaxIdleLoops, 1000, " arg_finalMaxIdleLoops );
evalOption( finalMaxLoops, 20000, " arg_finalMaxLoops );
evalOption( finalRunTime, 10, " arg_finalRunTime );

finalRunTime *= 60; // [min] -> [sec]

// setze net und pool
opti->peakNet( net ). peakPool( pool );
subOpti->peakNet( net ). peakPool( pool );
finalOpti->peakNet( net ). peakPool( pool );

fstream traceFile;
if( traceFileName != "" ){
    traceFile.open( traceFileName, ios::out | ios::app );
    if( !traceFile ){
        ErrorMessage err;
        err << error << "could not open trace file \"
        return -1;
    }
}
traceFile << "START TRACE:" << now << endl;
traceFile << "CROSSOVER OPERATOR:" << geneticOpti-> crossoverOpName() << endl;
opti->debugStream( traceFile );
subOpti->debugStream( traceFile );
finalOpti->debugStream( traceFile );
} else {
    opti->debugStream( cerr );
    subOpti->debugStream( cerr );
}

independent->debugStream( cerr );
opti->debug( debugOptions ). useIndependent( independent );
subOpti->debug( debugOptions ). useIndependent( independent );
finalOpti->debug( debugOptions ). useIndependent( independent );

// statistic arrays
int statTop=0;
int fail_statTop=0;
longVec loops( nrOfRuns );
longVec seedLoops( nrOfRuns );
longVec longestLoops( nrOfRuns );
doubleVec singleLetims( nrOfRuns );
doubleVec diffactions( nrOfRuns ); diffActions.fill( 0 );
longVec fail_loops( nrOfRuns );
doubleVec fail_singleLetims( nrOfRuns );
longVec fail_diffactions( nrOfRuns ); fail_diffActions.fill( 0 );
longVec fail_asCount( nrOfRuns );
longVec fail_linkCount( nrOfRuns );
doubleVec fail_quality( nrOfRuns );
longVec fail_seedLoops( nrOfRuns );
longVec fail_longestLoops( nrOfRuns );

time t restZeit = statTime;
time t useqTime = -1; //zeit fuer den vorhergehenden Durchgang
while( nrOfRuns>0 && ((statTime>0 && restZeit>0) || statTime <0) ){
    // configure optimization behaviour
    if( optiFileName != "" ){
        if( opti->loadState( optiFileName, pool, net )
            return -1;
        }
    if( opti->configure( argv_iter ) )
        exit(-1);
    if( subOpti->configure( argv_iter ) )
        exit(-1);
    if( finalOpti->configure( argv_iter ) )
        exit(-1);
    // schoene typen unabhaeingigkeit.
    randomOpti2->maxIdleLoops( finalMaxIdleLoops );
    randomOpti2->maxLoop( finalMaxLoops );
    randomOpti2->runTime( finalRunTime );
}

if( statisticRuns ){
    opti->dumpFileName( tempFileName );
    opti->runTime( restZeit ); // sehr gross, nie erreicht
} // starte den Optimizer neu.
opti->restartRun();
if( action == initState ){
    cout << "init..." << endl;
    opti->initState();
} else {
    cout << "optimize..." << endl;
    time t start = time( NULL );
    opti->optimize();
    time t endt = time( NULL );
    usedTime = endt - start;
}
}
nrOfRuns --;
restZeit -= usedTime;
if( restZeit < 10 ) restZeit = 0;
// ignoriere den letzten Durchlauf, wenn er
// durch TIMEOUT beendet wurde.
// Ausnahme: Der erste Lauf hat die gesamte Zeit verbraucht!
// Dann ist dies das Ergebnis und darf nicht ignoriert werden.
// pseudo code:
// wenn (statistik UND entweder (
// erster Lauf
// ODER
// nicht durch TIMEOUT beendet ) )
}

}

```



```

// added entries must be acquirable!
void randomFillAt(int seqIndex);
//: exchange several CX (n = itsMaxSwapItemRounds)
void swapItemsAt(int seqIndex);
//:
void doNothingAt(int UNUSED(seqIndex));
//:
void mergeFromBestAt(int seqIndex);
//: erzeuge eine neue Sequenz mit zufallswerten.
void randomGenerateAt(int seqIndex);
//: tausche eine einzelne AS aus (eine Pos)
void singleExchangeAt(int seqIndex);
//: bewegt den CX von POS1 nach POS2 und setzt einen neuen CX auf POS1
void movePosAt(int seqIndex);
//:
void singleUpgradeAt(int seqIndex);
//: move linked ranges in sequence
void moveLinkRangeAt(int seqIndex);
//:
//: führe die eigentliche Optimierung durch.
virtual void optimize(void);
//: soll optimize beendet werden?
//: INHERIT virtual bool abbruchbedingung(void);
//: bewerte die Arena.
void evaluateArena(void);

static void registerOptions(CmdLine& cmd);
virtual bool configure(CmdLineArgiter& cmdIter);
virtual void restartRun(void);
//:
//:
inline bool RandomOptimizer& setTTLBorder(void);
inline bool RandomOptimizer& inProtectedTTLRange(int t) const;

int startTTL(void) const;
RandomOptimizer& maxTTL(int i);
int maxTTL(void) const;
RandomOptimizer& minTTL(int i);
int minTTL(void) const;
//:
bool loadProfile(const MyString& name);
bool loadProfile(IStream& is);

RandomOptimizer& vetoPeriod(long l);
long vetoPeriod(void) const;

RandomOptimizer& thresholdDecayRate(double d);
double thresholdDecayRate(void) const;

//: start value for qThreshold
RandomOptimizer& initialQThreshold(double d);
double initialQThreshold(void) const;

//: current value for qThreshold
RandomOptimizer& qThreshold(double d);
double qThreshold(void) const;
//:
//: laed den config teil des Dumps
virtual bool loadConfig(IStream& is);
virtual void dumpConfig(OStream& os);
protected:
virtual bool abbruchbedingung_qualityChange(void);

virtual RandomOptimizer& debugParams(void);
RandomOptimizer& debugReactions(void);
RandomOptimizer& debugReactionOnableChange(void);
RandomOptimizer& debugRaceq(void);
RandomOptimizer& debugRaceqchg(void);

static const int itsProfileCountDefault;
static double itsCurrProfile;
static int itsProfileIndex;

static double itsProfileChangeDefault[];
static const double itsProfProfilesDefault[];

```

Anhang N Quelltexte

```

static double itsMaxProfileDefault[];
static int itsProfileCount;
static double itsProfileChange;
static double itsProfProfiles;
static double itsMaxProfile;
//: possible actions
enum sequenceChangeActions {
    swapItems, singleExchange,
    crossOver, randomGenerate,
    mergeFromBest, doNothing,
    moveLinkRange, removeRange,
    singleUpgrade, movePos,
};
countChangeActions // counter for actions
};
//: name of actions
static const char * theActionName [];
//: performance statistics table
static long itsActionStat[];
static int theGroupCount;
enum statGroups {
    statEnter, statSuccess, statFailed, statFailed2, statImproved,
    statLast
};
sequenceChangeActions chooseAction(void);
static const char* action2Name(sequenceChangeActions a);
void nextActionProfile(void);
static void calcProfiles(void);
static void dumpStatTable(OStream& os);
static long statCounter(sequenceChangeActions a, statGroups group);
static void incStatCounter(sequenceChangeActions a, statGroups group);
//: debug helper
virtual void invariante_checkAllCacheMembers(
    int seqIndex,
    bool checkUnlockedToo = true
) const;
//: find a CX which uses the same Basepeak as the current one in position pos.
Context::Handle singleUpgradeAtPos(int seqIndex, int pos);
//:
//:
int itsCurrMaxTTL;
//: max loop time to live for a State object.
int itsCurrMinTTL;
//: min loop time to live for a State object.
//: last ttl value which protects a State object
//: objects in range [maxTTL .. border] may have any quality
//: they are not replaced!
//: border = maxTTL - minTTL + 1
int itsCurrTTLBorder; // internal data
//: threshold factor for quality
double itsQThreshold;
//: initial threshold factor for quality
double itsInitialQThreshold;
//: decay factor for itsQThreshold
double itsThresholdDecayRate;
//: INTERNAL DATA
Array< sequenceChangeActions > itsLastAction;
};
//:
//:
inline RandomOptimizer& RandomOptimizer::setTTLBorder(void)
{
    itsCurrTTLBorder = itsCurrMaxTTL - itsCurrMinTTL + 1;
    return *this;
}
inline bool RandomOptimizer::inProtectedTTLRange(int t) const

```

```

{
    return (t >= itsCurrTTlBorder);
}

///////////////////////////////////////////////////////////////////////////////////////////////////////////////////
inline RandomOptimizere RandomOptimizer::minTTL(int ttl){
    return *this;
};
inline int RandomOptimizer::minTTL(void) const{
    return itsCurrMinTTL;
};
///////////////////////////////////////////////////////////////////////////////////////////////////////////////////
inline RandomOptimizere RandomOptimizer::maxTTL(int ttl){
    return *this;
};
inline int RandomOptimizer::maxTTL(void) const{
    return itsCurrMaxTTL;
};
///////////////////////////////////////////////////////////////////////////////////////////////////////////////////
inline int RandomOptimizer::startTTL(void) const{
    return itsCurrMaxTTL;
};
///////////////////////////////////////////////////////////////////////////////////////////////////////////////////
inline RandomOptimizere RandomOptimizer::qThreshold(double d){
    itsqThreshold = d;
    return *this;
};
inline double RandomOptimizer::qThreshold(void) const{
    return itsqThreshold;
};
///////////////////////////////////////////////////////////////////////////////////////////////////////////////////
inline RandomOptimizere RandomOptimizer::initialQThreshold(double d){
    itsinitialqThreshold = d;
    return *this;
};
inline double RandomOptimizer::initialQThreshold(void) const{
    return itsinitialqThreshold;
};
///////////////////////////////////////////////////////////////////////////////////////////////////////////////////
inline double RandomOptimizer::thresholdDecayRate(void) const{
    return itsThresholdDecayRate;
};
///////////////////////////////////////////////////////////////////////////////////////////////////////////////////
inline RandomOptimizere RandomOptimizer::thresholdDecayRate(double d){
    itsThresholdDecayRate = d;
    return *this;
};
///////////////////////////////////////////////////////////////////////////////////////////////////////////////////
inline long RandomOptimizer::vetoPeriod(void) const{
    return State::vetoPeriod();
};
///////////////////////////////////////////////////////////////////////////////////////////////////////////////////
inline long RandomOptimizer::statCounter(
    RandomOptimizer::sequenceChangeActions a,
    RandomOptimizer::statGroups group)
{
    return RandomOptimizer::itsActionStat[group*countChangeActions + a];
};
inline void RandomOptimizer::incStatCounter(
    RandomOptimizer::sequenceChangeActions a,
    RandomOptimizer::statGroups group)
{
    RandomOptimizer::itsActionStat[group*countChangeActions + a]++;
};
///////////////////////////////////////////////////////////////////////////////////////////////////////////////////
// avoids warnings
}
}

inline ErrorMessage operator<<(
    ErrorMessage os, RandomOptimizer::sequenceChangeActions e)
{
    os << int( e );    return os;
}

#endif // __RandomOptimizer_H__

//
// $Id: RandomOptimizer.cc,v 1.12 2000/05/29 16:26:03 va Exp $
//
#define DONT_TRACE 1
#include "statArray.h"
#include "Array.h"
#include "macros.h"
#include "Debug.h"
#include "NoDump.h"
#include "time.h"
#include "math.h"
#include "limits.h"
#include "values.h"
#include "ErrorMessage.h"
#include "iomaniip.h"
#include "iostream.h"
#include "fstream.h"
#include "cmdline.h"
#include "cmdargs.h"
#include "GetOptions.h"

#include "Cache.h"
#include "protein.h"
#include "peakPool.h"

#include "peakNet.h"

#include "Context.h"
#include "ContextList.h"
#include "ContextLock.h"
#include "ContextOp.h"

#include "myiomaniip.h"
#include "parseBlock.h"

#include "RandomOpti_StateIndependent.h"
#include "RandomOptimizerBASE.h"
#include "RandomOptimizer.h"
///////////////////////////////////////////////////////////////////////////////////////////////////////////////////
#include "RandomOptimizer.debug.h"
///////////////////////////////////////////////////////////////////////////////////////////////////////////////////
class StateIndependent;
class LinkBuilder;
class RandomOptimizerBASE;
class RandomOptimizer;
class GeneticRandomOptimizer;
class SubRandomOptimizer;
///////////////////////////////////////////////////////////////////////////////////////////////////////////////////
void RandomOptimizer::restartRun(void)
{
    RandomOptimizerBASE::restartRun();
    qThreshold(initialQThreshold());
}
///////////////////////////////////////////////////////////////////////////////////////////////////////////////////
}
}

```

N.4 Quelltext: RandomOptimizer.cc


```

// fuer jede Sequenz.
usedPos.fill(false);
for(int seqIndex = 0; seqIndex < sequenceCount(); ++seqIndex){
    double oldQ = itsArena[seqIndex]->quality();
    // ignore already used sequence positions (from cross over),
    // don't change it again
    if(! usedPos[seqIndex]){
        // invariante checkAllCacheMembers(seqIndex);
        // waehle aktion aus
        sequenceChangeActions action = chooseAction();
        itsLastAction[ seqIndex ] = action;
        #ifdef DEBUG_TRACE_CALCULATION_Q
        rebuildQAT(seqIndex);
        if(abs(stateAt(seqIndex) ->quality() - oldQ) > 1e-3){
            (debugStream())
            << "WRONG Q: initial q wrong; "
            << " old=" << oldQ
            << " new=" << stateAt(seqIndex)->quality()
            << " (o-n)=" << (oldQ - stateAt(seqIndex) ->quality())
            << endl;
        }
        actionCount++;
        {
            const char sep = ',';
            (debugStream())
            << "NEXT ACTION"
            << sep << " " << actionCount
            << sep << actionName(itsLastAction[seqIndex])
            << sep << "index=" << seqIndex+1
            << sep << "o=" << oldQ
            << sep << "ttl=" << stateAt(seqIndex) ->getTTL()
            << sep << "nrOfUsed=" << stateAt(seqIndex) ->usedCount()
            << endl;
        }
    }
}
#endif // DEBUG_TRACE_CALCULATION_Q
switch (action){
case doNothing: { // wenn AKTION == tue Nichts
    // just in case there is some bookkeeping or debugging.
    doNothingAt(seqIndex);
    break;
}
case singleExchange: { // high probability
    singleExchangeAt(seqIndex);
    break;
}
case movePos: { // high probability
    movePosAt(seqIndex);
    break;
}
case singleUpgrade: { // high probability
    singleUpgradeAt(seqIndex);
    break;
}
case swapItems: { // highest probability
    swapItemsAt(seqIndex);
    break;
}
case crossOver: { // low probability
    // cout << "crossOver[" << seqIndex << "]" << endl;
    if((seqIndex > sequenceCount()-4) { seqIndex--; continue; }

    // suche best, second best, worst, second worst
    double bestQ[2];
    double worstQ[2];
    int bestI[2];
    int worstI[2];
    int count=0;

    bestQ[0] = itsArena[seqIndex] ->quality();
    bestQ[1] = 0.0;
    worstQ[0] = MAXDOUBLE;
    worstQ[1] = MAXDOUBLE;

    bestI[0] = seqIndex; bestI[1] = -1;
    worstI[0] = -1; worstI[1] = -1;
    intVec used(sequenceCount());
    used.fill(0);

```

```

for(int i=seqIndex; i< sequenceCount();i++){
    if(usedPos[i]){
        // first loop, count nr of unused
        if(itsArena[i]->quality() > bestQ[0]){
            // store the new one
            bestQ[0] = itsArena[i]->quality();
            bestI[0] = i;
        }
    }
    if(bestI[0] != -1) used[bestI[0]] = 1;
for(int i=seqIndex; i< sequenceCount();i++){
    if(usedPos[i]){
        if(used[i] == 0 &&
            itsArena[i]->quality() <= worstQ[0])
        {
            // and store the new one
            worstQ[0] = itsArena[i]->quality();
            worstI[0] = i;
        }
    }
    if(worstI[0] != -1) used[worstI[0]] = 1;
for(int i=seqIndex; i< sequenceCount();i++){
    if(usedPos[i]){
        if(used[i] == 0 &&
            itsArena[i]->quality() >= bestQ[1])
        {
            // and store the new one
            bestQ[1] = itsArena[i]->quality();
            bestI[1] = i;
        }
    }
}
if(bestI[1] != -1) used[bestI[1]] = 1;
for(int i=seqIndex; i< sequenceCount();i++){
    if(usedPos[i]){
        if(used[i] == 0 &&
            itsArena[i]->quality() <= worstQ[1])
        {
            // and store the new one
            worstQ[1] = itsArena[i]->quality();
            worstI[1] = i;
        }
    }
}
if(worstI[1] != -1) used[worstI[1]] = 1;
// cout << "opti::crossOverAt " << worstI[0] << " " << worstI[1] << " " << " " << endl;
// not enough idle pos
if(count < 4 ||
    worstI[0] == worstI[1] || bestI[0] == bestI[1] ||
    worstI[1] == -1
    ) break;
crossOverAt(worstI[0], worstI[1], bestI[0], bestI[1]);
// beide sperren fuer Weiterbearbeitung
usedPos[worstI[0]] = true;
usedPos[worstI[1]] = true;
itsLastAction[worstI[0]] = crossOver;
itsLastAction[worstI[1]] = crossOver;
// fix seqIndex, if seqAt(seqIndex) was not a destination
if(!usedPos[seqIndex]){
    seqIndex--;
    continue; // foreach seqIndex
}
break;
}
case mergeFromBest: { // low probability
// ersetze diese Sequenz durch eine der gespeicherten
// besten Sequenzen und fuehre mit ihr einen
// 'singleExchange' aus.
if(!isNull(itsBest)){

```

```

// fuelle die Sequenz mit erwerbbaeren CX auf
if ( RandomOptimizer::itsCanFillEmpty )
    randomFillAt(seqIndex);

}
break;
}
case randomGenerate: { // low probability
    randomGenerateAt(seqIndex);
    break;
}
case moveLinkedRange: { // low probability
    moveLinkedRangeAt(seqIndex);
    break;
}
case removeRange: { // low probability
    removeRangeAt(seqIndex);
    break;
}
case countChangeActions: { // FALLTHROUGH *
    default: {
        ERRMESSAGE (err);
        err << error << "generated illegal action value="
            << action << eom;
    }
}; // switch action
} // if not used Pos

#endif
// rebuildQAt(seqIndex);
// if (abs(itsArena[seqIndex]->quality() - newQ2) > 1E-3) {
//     const char sep = ',';
//     (debugStream()
//         << "WRONG Q2"
//         <<sep<< action2Name(itsLastAction[seqIndex])
//         <<sep<< seqIndex+1
//         <<sep<<"old"<< oldQ
//         <<sep<<"new1 (before eval)"<< newQ
//         <<sep<<"new2 (wrong)"<< newQ2
//         <<sep<<"new3 (rebuild)"<< newQ << itsArena[seqIndex]->quality()
//         <<sep<<"delta(#3-#2)"<<
//         << (itsArena[seqIndex]->quality() - newQ2)<< endl;
//     )
// }
const char sep = ',';
(debugStream()
    << "PREV ACTION2"
    <<sep<<"#"<< actionCount
    <<sep<< "index"<<seqIndex+1
    <<sep<< "oldQ"<< oldQ
    <<sep<< "ttl"<< stateAt(seqIndex)->getTTL()
    <<sep<< "nrOfUsed"<< stateAt(seqIndex)->usedCount()
    << endl;
)

#endif // DEBUG_TRACE_CALCULATION_Q
if ( oldQ<itsArena[seqIndex]->quality() ) {
    incStatCounter(itsLastAction[seqIndex],statImproved );
};
}
// auswerten.
// behalte beste (n) Sequenzen
// kopiere
debugTraceQ();
debugTraceActions();
}
debugTraceQ();
debugTraceFinalPopulationStat();
}
// decide which objects should stay
void RandomOptimizer::revaluateArena(void) {
    itsImproved = false;
    noch wissen wir nicht ob eine Verbesserung eingetreten ist.
    please remember: better quality means higher Q values!
    double amdQ = 0.0;
    double sumQ = 0.0;
    int posBest = 0, posWorst = 0;
    for (int i=0; i< sequenceCount(); i++){

```

```

    mergeFromBestAt(seqIndex);
    break;
}
case randomGenerate: { // low probability
    randomGenerateAt(seqIndex);
    break;
}
case moveLinkedRange: { // low probability
    moveLinkedRangeAt(seqIndex);
    break;
}
case removeRange: { // low probability
    removeRangeAt(seqIndex);
    break;
}
case countChangeActions: { // FALLTHROUGH *
    default: {
        ERRMESSAGE (err);
        err << error << "generated illegal action value="
            << action << eom;
    }
}; // switch action
} // if not used Pos

#endif
// rebuildQAt(seqIndex);
// if (abs(itsArena[seqIndex]->quality() - newQ2) > 1E-3) {
//     const char sep = ',';
//     (debugStream()
//         << "WRONG Q1"
//         <<sep<< action2Name(itsLastAction[seqIndex])
//         <<sep<< seqIndex+1
//         <<sep<<"old"<< oldQ
//         <<sep<<"new1 (before eval)"<< newQ_pre
//         <<sep<<"new2 (wrong)"<< newQ2_pre
//         <<sep<<"new3 (rebuild)"<< newQ << itsArena[seqIndex]->quality()
//         <<sep<<"delta(#3-#2)"<<
//         << (itsArena[seqIndex]->quality() - newQ2_pre)<< endl;
//     )
// }
const char sep = ',';
(debugStream()
    << "PREV ACTION1"
    <<sep<<"#"<< actionCount
    <<sep<< "index"<<seqIndex+1
    <<sep<< "oldQ"<< oldQ
    <<sep<< "ttl"<< stateAt(seqIndex)->getTTL()
    <<sep<< "nrOfUsed"<< stateAt(seqIndex)->usedCount()
    <<sep<< "newQ"<<itsArena[seqIndex]->quality()
    << endl;
)
}
// weife nicht erwerbbaere raus == leere die Position
if ( RandomOptimizer::itsCanRemoveNotLocked )
    removeNotLockedAt(seqIndex);
}
#endif // DEBUG_TRACE_CALCULATION_Q

```

```

itsArena[i]-->nextEpoch();
sumO = itsArena[i]-->quality();
if (itsArena[i]-quality() < itsArena[posWorst]-->quality()) {
    posWorst = i;
} else if (itsArena[i]-->quality() > itsArena[posBest]-->quality()) {
    posBest = i;
}
}

midO = sumO / (double)sequenceCount();
// skreiere alle die besten als threshold sind
// die anderen (O - threshold) werden ersetzt
if (itsLastO > itsBest -> quality()) {
    debugStream() (quality());
    << "LAST O: reset; old=" << itsLastO
    << ", bestQ=" << itsBest -> quality()
    << endl;
    itsLastO = 0;
}

// keep this in sync with debugTracesEachQ()
double Q = midO;
# elif defined(FOLLOW BEST O)
double Q = itsBest->quality();
# endif // FOLLOW XXX
// muss jedes mal neu berechnet werden damit FOLLOW_MID_Q funktioniert.
double threshold = max(itsLastO, Q) * qThreshold();
if (Q > itsLastO) { // neuer wert ist besser
    itsLastO = Q;
    itsLastQChanged = itsLoopCount;
}
# ifdef DEBUG_CALCULATION_Q
cout << "evaluateArena; lastO=" << itsLastO
<< ", curr bestQ=" << itsBest->quality()
<< ", curr worstQ=" << posWorst << " " << itsArena[posBest]-->quality()
<< ", bestQ=" << itsBest->quality()
<< ", threshold=" << threshold
<< endl;
# endif // DEBUG_CALCULATION_Q
if (itsArena[posBest]-->quality() > itsBest -> quality()) {
    double bestO = itsArena[posBest]-->quality();
    // berechne den besten wert neu
    rebuildQOAT(posBest);
    // gibt es einen fehler in den Berechnungsroutinen ?
    if (itsArena[posBest]-->quality() > itsBest -> quality()) {
        itsImproved = true;
        itsBestASCount = 0;
        itsBestLinkCount = 0;
    }
# ifdef DEBUG_CALCULATION_Q
    cout << "BACKUP NEW BEST (" << posBest << "): oldBest=" << itsBest -> quality()
    << endl;
# endif // DEBUG_CALCULATION_Q
    debugTracePopulationStat();
    itsArena[posBest]-->setTTL(startTTL());
    itsBest->copyFrom(*itsArena[posBest]);
# ifdef DEBUG_CALCULATION_Q
    cout << "newQ=" << itsBest -> quality() << endl;
# endif // DEBUG_CALCULATION_Q
    else if (abs(itsArena[posBest]-->quality() - itsBest->quality()) > 1e-4) {
        // calculation error
        ERRMESSAGE(terr);
        err << warning;
        << "loop=" << itsLoopCount
        << " action=" << action2Name(itsLastAction[posBest])
        << " wrong quality for SEQ#=" << posBest+1
        << " before=" << bestO
        << " after=" << itsArena[posBest]-->quality()
        << " (b-a)=" << (bestQ - itsArena[posBest]-->quality())
        << eom;
    }
}
itsBest->setEpoch(itsLoopCount);
if (itsBestASCount == 0)
    for (int as = 0; as < itsBest->asCount(); as++) {
        if (!isNotNull(itsBest->asAt(as))) itsBestASCount++;
    }
if (itsBestLinkCount == 0)
    for (int link = 0; link < itsBest->linkCount(); link++) {
        if (!isNotNull(itsBest->linkAt(link))) itsBestLinkCount++;
    }
}

if (!inProtectedTTLRange(itsArena[posWorst]-->getTTL())) {
# ifdef DEBUG_CALCULATION_Q
    double oldQ = itsArena[posWorst] -> quality();
# endif // DEBUG_CALCULATION_Q
    itsArena[posWorst]-->copyFrom(*itsBest);
    itsLastAction[posWorst] = mergeFromBest;
    rebuildQOAT(posWorst);
# ifdef DEBUG_CALCULATION_Q
    cout << "REPLACE (" << posWorst << ") FROM BEST; alt Q=" << oldQ
    << endl;
# endif // DEBUG_CALCULATION_Q
    for (int i=0; i < sequenceCount(); i++) {
        // ersetze alle sequenzen,
        // A) mit einer TTL unterhalb 0
        // B) die die Mindest-TTL hinter sich haben und unterhalb der
        // Schwelle liegen.
        if (itsArena[i]-->quality() < threshold
            && !inProtectedTTLRange(itsArena[i]-->getTTL()))
            (( itsArena[i]-->getTTL() <= 0 )
            {
                if (1 || odd(i)) {
# ifdef DEBUG_CALCULATION_Q
                    double oldQ = itsArena[i]--> quality();
# endif // DEBUG_CALCULATION_Q
                    itsArena[i]-->copyFrom(*itsBest);
                    //rebuildQOAT(i);
# ifdef DEBUG_CALCULATION_Q
                    cout << "REPLACE (" << i << "): FROM BEST; alt Q=" << oldQ
                    << endl;
# endif // DEBUG_CALCULATION_Q
                } else {
                    singleCrossOverAt(i, i, -1, true);
                    evaluateAt(i);
                    itsLastAction[i] = crossOver;
                    //rebuildQOAT(i);
                }
                itsArena[i]-->setTTL(startTTL());
            }
        }
    }
    if (itsLastO < itsLoopCount - itsMaxIdleLoops) {
        itsQThreshold = itsQThreshold + (itsThresholdDecayRate * (1 - itsQThreshold));
        if (itsQThreshold > itsProfileChange[itsProfileIndex]) {
            nextActionProfile();
        }
    }
};
// fill all empty positions with random entries
// added entries must be acquirable!
void RandomOptimizer::randomFillAt(int seqIndex)
{
    DEBUGTracedFrame;
    State &S = *stateAt(seqIndex);
    ActiveAccount active(S.account());
    CHECK LOCK;
    // bilde den Array der leeren Positionen, zufaellig mischen.
    // finde den Array der leeren Positionen
    // find all empty positions
    intVec posVec(S.asCount());
    intVec topPosVec = 0;
    // foreach in range [first assignable pos .. last]
    for (int pos = 1; pos < S.asCount(); ++pos) {
        if (!isNull(S.asAt(pos)) && S.canChangeAt(pos)) {
            posVec[topPosVec++] = pos;
        }
    }
    if (topPosVec == 0) return;
    Context::Handle cxNULL;
    // random merge == count*0.75 mal random swap
    random_shuffle(posVec, topPosVec);
    for (int pos = 0; pos < topPosVec; ++pos) {
}
}

```

```

int asIndex = posVec[pos];
if ( S.asListAt(asIndex)->length() > 0 ) {
ContextLock currASLock;
//suche einen erwerbaren CX aus dem Pool fuer diese Position aus (RANDOM)
const ContextList &currList = *S.asListAt(asIndex);
const ContextList &currList = *S.asListAt(asIndex);
const ContextList &currList = *S.asListAt(asIndex);
ContextList::Iterator iter = currList.last();
// die liste sollte mindestens eine Moeglichkeit enthalten.
// such einen iterator im bereich [0 .. list.length-1]
do {
currList--;
int r = longInRange0(currList.length()-1);
// jump to the r-th iterator, or wrap around
while( r-- > 0 ) --iter; if(!iter) iter = currList.last();
} while( count >= 0 &&
(iter || !currASLock.acquire(const_cast<Context::Handle&>(*iter)));
// wenn ein akzeptabler CX gefunden wurde
if(iter && currASLock.isAcquired()) {
// setze *iter an diese position
//S.asAt(asIndex) = *iter;
currASLock.release(true);
S.putASAt(asIndex,*iter);
//S.buildASTypeQat(pos);
S.pushChange(asIndex);
evaluateLocalat(segIndex,asIndex);
} else {
// ueberfluessig, ist NULL, s.o.: S.putASAt(asIndex,cxNULL);
}
}
}
//exchange two CX, n = itsMaxSwapItemRounds
void RandomOptimizer::swapItemsAt(int segIndex) {
DEBUGraceFrame;
incStatCounter(swapItems,statEnter);
State &S = *stateAt(segIndex);
ActiveAccount active(S.account());
ASSEX(itMaxSwapItemRounds<S.account());
cout << "swapItemsAt("<<segIndex-1<<"");
#idef DEBUG_CALCULATION_Q
CHECK_LOCK;
if ( S.usedCount() < 5 ) {
#idef DEBUG_CALCULATION_Q
cout << "to few cx | RETURN"<<endl;
#endif // DEBUG_CALCULATION_Q
incStatCounter(swapItems,statFailed2);return;
}
#idef DEBUG_CALCULATION_Q
cout << "select item Positions."<<endl;
#endif // DEBUG_CALCULATION_Q
for(int n=0; !done && n<itsMaxSwapItemRounds; n++) {
int triedCount = 10;
int pos1=-1, pos2=-1;
Context::Handle cx1;
// : index einer AS [0 .. as count-1]
int count = 2;
intVec otherAS;
do {
// suche zwei nicht veraenderte positionen
// die zweite darf leer sein
// bedingung: pos1 != pos2
// sets cx1 = NULL if first not found
// sets pos2 == -1 if second not found
// int pos = S.findPos(inside anywhere()); (???POS)
// suche eine position mit cx im bereich [1..len-1]
count = 10;
do {
pos1 = longInRange0(S.asCount()-2)+1;
} while( ( ! S.canChangeAt(pos1)

```

```

|| S.changedAS().get(pos1)
isNull(S.asAt(pos1)) )
&& count-- > 0 );
cx1 = S.asAt(pos1);
#idef DEBUG_CALCULATION_Q
cout << "SEQUENCE "<< segIndex+1 << " start: "<< pos1 << ", ";
cout << "CX1 is "<< ( !isNull(S.asAt(pos1))?"not null":"NULL" ) << endl;
#endif
if(count != 0 && !isNull(S.asAt(pos1))) { // gueltiges cx1 gefunden.
// findPos withCX notEqPos(cx,pos1) // (???POS)
otherAS = S.usedIndependent()->asForPeak(S.basePeakIDat(pos1)-1);
cout << "basePeak index1 at AS1("<<pos1<<"") = "<< S.basePeakIDat(pos1)-1 << endl;
cout << "#Q before="<<S.quality()<<endl;
cout << "AS("<<pos1<<"") is "<< ( !isNull(S.asAt(pos1))?"not null":" NULL " ) ;
cout << "asQ=" << S.asQat(pos1);
cout << "lock=" << S.asLockat(pos1).isAcquired();
cout << "linkQ-1=" <<((pos1-1)=0)?S.linkQat(pos1-1):-1.0;
cout << "linkQ=" <<((pos1-1)=0)?S.linkQat(pos1-1):-1.0;
cout << endl;
cout << "OTHER AS (1) " << otherAS<< endl;
random_shuffle(otherAS);
#idef DEBUG_CALCULATION_Q
cout << "OTHER AS (shuffle) " << otherAS<< endl;
#endif
int n=0;
for(n = 0; n < otherAS.count() && otherAS[n]!=pos1; n++) {
pos2 = otherAS[n];
cx2 = S.asAt(pos2);
#idef DEBUG_CALCULATION_Q
cout << "SEQUENCE "<< segIndex+1 << " end: "<< pos2 << ", ";
cout << "CX2 is "<< ( !isNull(S.asAt(pos2))?"not null":"NULL" ) << endl;
if( !isNull(S.asAt(pos2))) {
{
done = true;
break; // breaks for(n<otherAS.count()), akzeptiert.
}
}
cout << " ... cx1 not in list of pos2" << endl;
pos2 = -1;
continue; // try next pos
}
const intVec asV = S.usedIndependent()->asForPeak(
S.basePeakIDat(pos2)-1);
cout << "OTHER AS (2) := " << asV << endl;
if( -1 != binsearch(asV,pos2)
&& S.asListAt(pos2)->contains(cx1)
&& S.asListAt(pos1)->contains(cx2) )
{
done = true;
break; // breaks for (n<asCount), gefunden!
}
#idef DEBUG_CALCULATION_Q
cout << " ... cx1 not in list of pos2" << endl;
#endif
pos2 = -1; // mache pos2 ungueltig
}
// solange eine position ungueltig ist und
// die Maximalzahl der Pehlversuche nicht erreicht ist.
}while( !done && !isNull(cx1) || pos2 == -1 ) && trieCount-- > 0 );
// abbruch wenn kein swap Paar gefunden wurde.
if ( trieCount <= 0 || !isNull(cx1) ) {
incStatCounter(swapItems,statFailed);return;
}
// valid swap found.
// now perform that swap.
#idef DEBUG_CALCULATION_Q

```

```

cout << "SEQUENCE " << seqIndex+1
cout << "swapItems(" << pos1 << " " << pos2 << " ') "<< endl;
cout << "#before " << S.quality() << endl;
cout << "AS(" << pos1 << ") is "<< ( !isNull( s.asAt( pos1) ) ? " not null" : " NULL
cout << "AQ=" << S.aQat( pos1 );
cout << "lock=" << S.lockAt( pos1 );
cout << "linkQ=" << S.aLockAt( pos1 );
cout << "linkQ-1=" << ( pos1 > 0 ? S.linkQAt( pos1-1 ) : -1.0 );
cout << "linkQ=" << ( pos1 < S.linkCount() ? S.linkQAt( pos1 ) : -1.0 );
cout << endl;
cout << "AS(" << pos2 << ") is "<< ( !isNull( s.asAt( pos2) ) ? " not null" : " NULL
cout << "AQ=" << S.aQat( pos2 );
cout << "lock=" << S.aLockAt( pos2 );
cout << "linkQ-1=" << ( pos2 > 0 ? S.linkQAt( pos2-1 ) : -1.0 );
cout << "linkQ=" << ( pos2 < S.linkCount() ? S.linkQAt( pos2 ) : -1.0 );
cout << endl;

# endif

// erase the old value, make cx valid or NULL
S.putASAt( pos2, cx1 );
evaluatesLocalAt( seqIndex, pos2 );

}

// lokal LinkQ
if ( !isNull( cx2 ) ) {
# ifdef DEBUG CALCULATION_Q
cout << " " put cx2 at " << pos1 << " cx2 is "
cout << " " << ( !isNull( cx1 ) ? " NULL" : " " not null ) << endl;
S.putASAt( pos1, cx2 );
evaluatesLocalAt( seqIndex, pos1 );
}
# endif

#####
# ifdef DEBUG CALCULATION_Q
cout << "#0 after=" << S.quality() << endl;
cout << "AS(" << pos1 << ") is "<< ( !isNull( s.asAt( pos1) ) ? " not null" : " NULL
cout << "AQ=" << S.aQat( pos1 );
cout << "lock=" << S.aLockAt( pos1 );
cout << "linkQ-1=" << ( pos1 > 0 ? S.linkQAt( pos1-1 ) : -1.0 );
cout << "linkQ=" << ( pos1 < S.linkCount() ? S.linkQAt( pos1 ) : -1.0 );
cout << endl;
cout << "AS(" << pos2 << ") is "<< ( !isNull( s.asAt( pos2) ) ? " not null" : " NULL
cout << "AQ=" << S.aQat( pos2 );
cout << "lock=" << S.aLockAt( pos2 );
cout << "linkQ-1=" << ( pos2 > 0 ? S.linkQAt( pos2-1 ) : -1.0 );
cout << "linkQ=" << ( pos2 < S.linkCount() ? S.linkQAt( pos2 ) : -1.0 );
cout << endl;
# endif

}
incStatCounter( swapItems, statSuccess );
}
// (ACTION, keep this! maybe we need some debugging code later!
void RandomOptimizer::doNothingAt( int UNUSED( seqIndex ) ) {
// * EMPTY */
}
//
void RandomOptimizer::mergeFromBestAt( int UNUSED( seqIndex ) ) {
// * EMPTY */
}
//
void RandomOptimizer::randomGenerateAt( int UNUSED( seqIndex ) ) {
// * EMPTY */
}
//
void RandomOptimizer::moveLinkedListRangeAt( int seqIndex
//: move linked ranges in sequence
//: gemeinsamen andere Positionen haben. (otherPosLen >= 1)
{
    DEBUG_TRACE_FRAME;
    incStatCounter( moveLinkedListRange, statEnter );
    State s;
    statState( seqIndex );
    activateCount( seqIndex );
    # ifdef moveLinkedListRange_DEBUG_CALCULATION_Q
    double Q;
    quality();
    cout << "SEQUENCE[" << seqIndex+1 << " ] moveLinked Q=" << Q << endl;
    # endif
    CHECK_LOCK;

    const int maxLinks = 4;
    intVec baseId1( maxLinks+1 ); // id of peaks for AS
    int linkLen1;
    // TRIES
    bool done = false;
    for ( int r=0; !done && r<theMoveLinkedListRangeMaxRounds; r++ ) {
        // suche eine pos bei der ein gelinkter CX steht ( linkAt( pos ) != NULL )
        // suche eine zweite entsprechende Stelle im State, die
        // alle cx ab pos1 koennen auch ab pos2 stehen.
        int pos1=-1;
        int pos2 = inASForPeak( baseId1[ pos1 ] );
        Context: Handle cx1;
        Context: Handle cx2;
        //: index einer AS [ 0 .. as count-1 ]
        int count = -1;
        intVec otherPos;

        //
        //
        // suche eine Position mit cx im Bereich [ 1 .. linkCount() -1 ]
        // die 1 bis maxLinks nachfolgende Links hat.
        do {
            count = 10;
            // -1 for [ 1 ...
            // -1 for count -> index
            // -1 for at least one one neighbour
            //
            pos1 = longInRange0( s.asCount() -4+1;
            // s.changedAS( pos1 )
            // s.asAt( pos1 )
            // isNull( s.asAt( pos1 ) )
            // isNull( s.linkAt( pos1 ) )
            //
            // && count-- > 0 );
            cx1 = s.asAt( pos1 ); // erase the old value, make cx1 valid or NULL
        } while ( ! is.changedAS( pos1 ) );

        //
        //
        //
        # ifdef moveLinkedListRange_DEBUG_CALCULATION_Q
        cout << "SEQUENCE " << seqIndex+1 << " start: " << pos1 << endl;
        cout << "CX1 is " << ( !isNull( s.asAt( pos1 ) ) ? " not null" : " NULL" ) << endl;
        # endif
        if ( count > 0 && !isNull( s.asAt( pos1 ) ) ) { // gueltiges cx1 gefunden
            // nr of links in from start point, maximum = s.maxLinks
            linkLen1 = S.countLinkInRange( pos1, maxLinks );
            S.baseIdInRange( baseId1, pos1, linkLen1+1;
            otherPos = S.usedIndependent() -> asForPeak( baseId1[ 0 ] );

            // schraenke den Bereich der moeglichen Positionen ein.
            int otherPosLen = otherPos.count(); // nr of alternative positions
            removeElement( otherPos, otherPosLen, pos1 );
            int k = 1;
            bool f=true;
            for ( k=1;
                ( f && ( k < linkLen1+1 ) &&
                    ( f = subset( otherPos, otherPosLen, S.usedIndependent() -> asForPeak( baseId1[ k ] ),
                        -k ) );
                k++ );
            if ( ( f ) && k--; // fix k, it is off by one, if subset was not successful,
                linkLen1 = k - 1; // // asLen -> linkLen
            if ( linkLen1 == 0 || otherPosLen == 0 ) {
                // schon der erste Nachbar (in position pos1+1)
                // hat keine gemeinsame zweite position mit asAt( pos1 )
                // naechster Versuch
                incStatCounter( moveLinkedListRange, statFailed2 );
                continue; // for( t ) TRIES;
            }
            // es gibt [ 1 .. maxLinks+1 ] Nachbarn die otherPosLen
            // gemeinsame andere Positionen haben. (otherPosLen >= 1)

```

```

}
incStatCounter(singleExchange,statFailed); return;
}
Context: Handle prevCx = S.asAt(pos);
S.clearAS(pos, true); // S.pushChange(pos);
#ifdef singleExchange_DEBUG_CALCULATION_Q
cout << "SINGLE_EXCHANGE CLEAR AS("<pos<<")=" << (Q - S.quality()) << endl;
#endif // singleExchange_DEBUG_CALCULATION_Q
ContextLock curRASLock;
//suche einen **erwerbbaeren** CX aus dem Pool fuer diese Position aus (RANDOM)
const ContextIter& currList = *S.asList(pos);
//int count = min(itsMaxSeekAcquirablePos, currList.length());
//die Liste sollte mindestens eine Moeglichkeit enthalten.
// versuche N mal (=3) einen neuen erwerbbaeren CX zu finden ( cx != prevCx )
const int smallStepSize = 5;
int count = min(currList.length()-1,smallStepSize,itsMaxSeekAcquirablePos);
if (count == 0)
    count = currList.length()-1;
ContextList::Iterator iter = currList.last();
ASSERT(iter);
int r = longInRange0(currList.length()-1); // range [0 .. arg]
while((r-- > 0) { --iter; if(!iter) iter = currList.last(); }
while( --count >= 0 &&
        ! curRASLock.acquire(const_cast<Context::Handler*>(iter)) )
{
    int r = longInRange0(smallStepSize); // range [0 .. arg]
    while((r-- > 0) { --iter; if(!iter) iter = currList.last(); }
        // jump to the r-th iterator, or wrap around
    }
if (curRASLock.isAcquired()) {
    // fuege *iter an position pos ein, loesche die berechneten Daten
    curRASLock.release(true); // evaluateLocalAt will acquire it
}
S.putASAt(pos, *iter); S.pushChange(pos);
evaluateLocalAt(seqindex, pos);
#ifdef singleExchange_DEBUG_CALCULATION_Q
cout << "SINGLE_EXCHANGE PUT AT "<pos << " = " << (Q - S.quality()) << endl;
#endif // singleExchange_DEBUG_CALCULATION_Q
incStatCounter(singleExchange,statSuccess);
if (SHOW_Q_TRACE) cout << "END---" << __FUNCTION__ << endl;
#ifdef singleExchange_DEBUG_CALCULATION_Q
CHECK_QUALITY_STABLE(seqindex)
#endif // singleExchange_DEBUG_CALCULATION_Q
return; // FINISH
} else {
#ifdef SINGLE_EXCHANGE_RESTORE_OLD_IF_FAILED
// restore the old value
S.putASAt(pos, prevCx); S.pushChange(pos);
evaluateLocalAt(seqindex, pos);
#else // SINGLE_EXCHANGE_RESTORE_OLD_IF_FAILED
#ifdef singleExchange_DEBUG_CALCULATION_Q
cout << "SINGLE_EXCHANGE FAILED AT "<pos << " = " << (Q - S.quality()) << endl;
#endif // singleExchange_DEBUG_CALCULATION_Q
incStatCounter(singleExchange,statFailed2);
#endif // SINGLE_EXCHANGE_RESTORE_OLD_IF_FAILED
}
}
incStatCounter(singleExchange,statSuccess);
if (SHOW_Q_TRACE) cout << "END---" << __FUNCTION__ << endl;
}
//bewegt einen CX von POS1 nach POS2 und setzt einen neuen CX auf POS1
void RandomOptimizer::movePosAt(int seqindex)
{
    DEBUGTracedFrame;
    incStatCounter(movePos, statEnter);
    State &S = *stateAt(seqIndex);
    ActiveAccount active(S.account());
    // fuer N Zufallsereignisse {
    // entsperre den CX der an dieser Pos vorhanden ist. ==> prevCx
    // suche einen CX aus dem Pool fuer diese Position aus (RANDOM)
    // versuche N mal (=3) einen erwerbbaeren CX zu finden ( != prevCx )
    // danach akzeptiere irgendeinen.
    // setze prevCx ein wenn kein anderer moeglich ist.
    // wenn weiterrechen, suche eine neue position aus (RANDOM)
    // sperren den State fuer weitere Bearbeitung
    }
ASSERT(itsMaxSingleExchangeRandomPos<S.asCount());
#ifdef singleExchange_DEBUG_CALCULATION_Q
cout << "SEQUENCE[" << seqindex1 << "]" singleExchange" << endl;
#endif // singleExchange_DEBUG_CALCULATION_Q
CHECK_LOCK;
for (int n=0; n<itsMaxSingleExchangeRandomPos; n++) {
    // suche ein nicht eraenderte position, fuer die es CX gibt.
    int pos = chooseAS(1...as count-1);
#ifdef SINGLE_EXCHANGE_FILL_EMPTY_POS
    // if no pos found and at least one empty position.
    if (pos == -1 && S.asUsedCount() < S.asCount()-1) {
        // choose an empty as position
        int i = chooseEmptyAS(S);
        if (i != -1 && i < S.asCount() && !isNull(S.asAt(i))) pos = i;
    }
#endif // SINGLE_EXCHANGE_FILL_EMPTY_POS
    if (pos == -1) {

```

```

ASSERT( otherPosLen >= 1);
#ifdef moveLinkedRange_DEBUG_CALCULATION_Q
cout << "BasePeak index at ASI("<pos1<<")=" << baseIdsl[0] << endl;
cout << "length of link from ASI("<pos1<<")=" << linkLen1 << endl;
cout << "used length of OTHER AS" << otherPosLen << endl;
if (otherPosLen < otherPos.count()) otherPos[otherPosLen] = -1;
cout << "OTHER AS (1)" << otherPos << endl;
#endif
// gib allen positionen die gleiche Chance
random_shuffle(otherPos, otherPosLen);
#ifdef moveLinkedRange_DEBUG_CALCULATION_Q
cout << "OTHER AS (shuffle)" << otherPos << endl;
#endif
int as = findFirstMatch(seqindex, pos1, linkLen1+1, otherPos, otherPosLen);
if (as == -1) continue; // for ( t ) TRIES:
copyRange(seqindex, otherPos[as], pos1, linkLen1+1);
#ifdef moveLinkedRange_DEBUG_CALCULATION_Q
cout << "moveLinkedRange("<seqindex<<") range[" << pos1 << " .. " << pos1+linkLen1 << "]" --> [" << otherPos[as] << " .. " << otherPos[as] +linkLen1 << "]" peaks[";
for (int i=0; i<linkLen1+1; i++) {
    cout << baseIdsl[i];
    if (i+1<linkLen1+1) cout << ", ";
}
cout << " ]" << endl;
incStatCounter(moveLinkedRange,statSuccess);
return; // FINISH
}
}
incStatCounter(moveLinkedRange,statFailed);
#ifdef moveLinkedRange_DEBUG_CALCULATION_Q
cout << "SEQUENCE[" << seqindex+1 << "]" moveLinked FAILED" << endl;
#endif
};
//
void RandomOptimizer::singleExchangeAt(int seqindex)
{
    DEBUGTracedFrame;
    incStatCounter(singleExchange,statEnter);
    State &S = *stateAt(seqIndex);
    ActiveAccount active(S.account());
    // fuer N Zufallsereignisse {
    // entsperre den CX der an dieser Pos vorhanden ist. ==> prevCx
    // suche einen CX aus dem Pool fuer diese Position aus (RANDOM)
    // versuche N mal (=3) einen erwerbbaeren CX zu finden ( != prevCx )
    // danach akzeptiere irgendeinen.
    // setze prevCx ein wenn kein anderer moeglich ist.
    // wenn weiterrechen, suche eine neue position aus (RANDOM)
    // sperren den State fuer weitere Bearbeitung
    }
ASSERT(itsMaxSingleExchangeRandomPos<S.asCount());
#ifdef singleExchange_DEBUG_CALCULATION_Q
cout << "SEQUENCE[" << seqindex1 << "]" singleExchange" << endl;
#endif // singleExchange_DEBUG_CALCULATION_Q
CHECK_LOCK;
for (int n=0; n<itsMaxSingleExchangeRandomPos; n++) {
    // suche ein nicht eraenderte position, fuer die es CX gibt.
    int pos = chooseAS(1...as count-1);
#ifdef SINGLE_EXCHANGE_FILL_EMPTY_POS
    // if no pos found and at least one empty position.
    if (pos == -1 && S.asUsedCount() < S.asCount()-1) {
        // choose an empty as position
        int i = chooseEmptyAS(S);
        if (i != -1 && i < S.asCount() && !isNull(S.asAt(i))) pos = i;
    }
#endif // SINGLE_EXCHANGE_FILL_EMPTY_POS
    if (pos == -1) {

```

```

}
incStatCounter(singleExchange,statFailed); return;
}
Context: Handle prevCx = S.asAt(pos);
S.clearAS(pos, true); // S.pushChange(pos);
#ifdef singleExchange_DEBUG_CALCULATION_Q
cout << "SINGLE_EXCHANGE CLEAR AS("<pos<<")=" << (Q - S.quality()) << endl;
#endif // singleExchange_DEBUG_CALCULATION_Q
ContextLock curRASLock;
//suche einen **erwerbbaeren** CX aus dem Pool fuer diese Position aus (RANDOM)
const ContextIter& currList = *S.asList(pos);
//int count = min(itsMaxSeekAcquirablePos, currList.length());
//die Liste sollte mindestens eine Moeglichkeit enthalten.
// versuche N mal (=3) einen neuen erwerbbaeren CX zu finden ( cx != prevCx )
const int smallStepSize = 5;
int count = min(currList.length()-1,smallStepSize,itsMaxSeekAcquirablePos);
if (count == 0)
    count = currList.length()-1;
ContextList::Iterator iter = currList.last();
ASSERT(iter);
int r = longInRange0(currList.length()-1); // range [0 .. arg]
while((r-- > 0) { --iter; if(!iter) iter = currList.last(); }
while( --count >= 0 &&
        ! curRASLock.acquire(const_cast<Context::Handler*>(iter)) )
{
    int r = longInRange0(smallStepSize); // range [0 .. arg]
    while((r-- > 0) { --iter; if(!iter) iter = currList.last(); }
        // jump to the r-th iterator, or wrap around
    }
if (curRASLock.isAcquired()) {
    // fuege *iter an position pos ein, loesche die berechneten Daten
    curRASLock.release(true); // evaluateLocalAt will acquire it
}
S.putASAt(pos, *iter); S.pushChange(pos);
evaluateLocalAt(seqindex, pos);
#ifdef singleExchange_DEBUG_CALCULATION_Q
cout << "SINGLE_EXCHANGE PUT AT "<pos << " = " << (Q - S.quality()) << endl;
#endif // singleExchange_DEBUG_CALCULATION_Q
incStatCounter(singleExchange,statSuccess);
if (SHOW_Q_TRACE) cout << "END---" << __FUNCTION__ << endl;
#ifdef singleExchange_DEBUG_CALCULATION_Q
CHECK_QUALITY_STABLE(seqindex)
#endif // singleExchange_DEBUG_CALCULATION_Q
return; // FINISH
} else {
#ifdef SINGLE_EXCHANGE_RESTORE_OLD_IF_FAILED
// restore the old value
S.putASAt(pos, prevCx); S.pushChange(pos);
evaluateLocalAt(seqindex, pos);
#else // SINGLE_EXCHANGE_RESTORE_OLD_IF_FAILED
#ifdef singleExchange_DEBUG_CALCULATION_Q
cout << "SINGLE_EXCHANGE FAILED AT "<pos << " = " << (Q - S.quality()) << endl;
#endif // singleExchange_DEBUG_CALCULATION_Q
incStatCounter(singleExchange,statFailed2);
#endif // SINGLE_EXCHANGE_RESTORE_OLD_IF_FAILED
}
}
incStatCounter(singleExchange,statSuccess);
if (SHOW_Q_TRACE) cout << "END---" << __FUNCTION__ << endl;
}
//bewegt einen CX von POS1 nach POS2 und setzt einen neuen CX auf POS1
void RandomOptimizer::movePosAt(int seqindex)
{
    DEBUGTracedFrame;
    incStatCounter(movePos, statEnter);
    State &S = *stateAt(seqIndex);
    ActiveAccount active(S.account());
    ASSERT(itsMaxSwapiTemkounds<S.asCount());
#ifdef singleExchange_DEBUG_CALCULATION_Q
cout << "movePosAt("<seqindex+1<<")=" << endl;
#endif // singleExchange_DEBUG_CALCULATION_Q
CHECK_LOCK;

```

```

} while(--top > -1);
if (top == -1) {
  // diese Liste enthaelt keine moegliche alternative Position fuer cx1.
  continue; // neue startposition (pos1) suchen
}
ASSERT(s.asListAt(pos2)->contains(cx1));
s.clearAS(pos2, true);
// cx1 wird auf pos2 gesetzt
// jetzt wird nur noch ein neuer CX fuer pos1 gesucht.
ContextLock pos2ASLock;
const ContextList& currList = *s.asListAt(pos1);
const int smallStepSize = 5;
int count = min((currList.length()-1)/smallStepSize, 20);
if (count == 0)
  count = min(3, currList.length()-1);
// jump to some position in list
int r = longInRange0(currList.length()-1);
ContextList::iterator iter = currList.last();
while(r-- > 0){--iter; if(!iter) iter = currList.last(); }
// then move in smaller steps.
while(--count >= 0 &&
      (iter
        || s.asListAt(pos1)->contains(*iter)
        || ipos2ASLock.acquire(const_cast<Context::Handle&&>(*iter))))
{
  // jump to the r-th iterator, or wrap around
  r = longInRange0(smallStepSize);
  while(r-- > 0){--iter; if(!iter) iter = currList.last(); }
}
if(!iter && pos2ASLock.isAcquired()){
  // loese lock, ::evaluateLocalAt will den cx erwerben.
  pos2ASLock.release(true);
  // *iter ist ein CX der auf Position pos1 gesetzt werden kann.
  cx2 = *iter;
  // gefunden
  // in cx1 ist der CX fuer pos2
  // in cx2 ist der CX fuer pos1
  // beide koennen gleichzeitig erworben werden.
  // (cx1 ist noch erworben, cx2 ist es nicht mehr )
  cout << " ... cx2 for pos1 found" << endl;
done = true;
break; // for ( find pos2 )
} else {
  // der alte Zustand in pos2 wird nicht wieder hergestellt.
  // nach dem Verschieben befindet sich cx1 in pos2
  // und pos1 bleibt leer.
  cout << " ... cx2 for pos1 stays empty" << endl;
cx2 = Context::Handle();
done = true;
break; // for ( find pos2 )
}
#endif
// MOVE POS_FAST
}
// schleife
// solange eine position ungueltig ist und
// die maximalzahl der Fehlversuche nicht erreicht ist.
}while( !done && !isNull(cx1) || pos2 == -1 ) && triecount-- > 0 );
// abbruch wenn kein swap statgefunden wurde.
if (triecount <= 0 || !isNull(cx2) || !done) {
  incStatCounter(movePos, statFailed);
  return;
}
}
// valid move found, now perform it.
// in cx1 ist der CX fuer pos2
// in cx2 ist der CX fuer pos1
// beide koennen gleichzeitig erworben werden.
// (cx1 ist noch erworben, cx2 ist es nicht mehr )
// position pos2 wurde schon geloescht.
// erase the old positions, make cx valid or NULL
#endif
// DEBUG_CALCULATION_Q
}
// DEBUG_CALCULATION_Q
}

```

```

if( s.usedCount() < 5) {
#ifdef DEBUG_CALCULATION_Q
  cout << " to fix cx ! RETURN" << endl;
#endif
  incStatCounter(movePos, statFailed2); return;
}
#ifdef DEBUG_CALCULATION_Q
  cout << " select item positions." << endl;
#endif
// true, wenn die kandidaten fuer die Aktion gefunden wurde.
// dh, wenn pos2 die position fuer cx1 enthaelt
// und cx2 nach pos1 gesetzt wird wenn pos1 != -1 ist.
bool done = false;
for(int n=0; !done && n<=s.getMaxMoveItemBounds; n++){
  int triecount = 10;
  int pos1=-1, pos2=-1;
  Context::Handle cx1;
  Context::Handle cx2;
  // Fuer Pos1 ist ein ContextLock neberflussig, cx1 bleibt
  // im state erworben, bis der Tausch wirklich ausgeuehrt wird.
  // Dagegen braucht cx2 einen lock und muss geloescht und notfalls
  // restauriert werden.
  // : index einer AS [0 .. as count-1]
  int count = -1;
  intVec otherAS;
  do {
    // suche zwei nicht veraenderte positionen (pos1, pos2)
    // die pos2 darf leer sein (!isNull(asAt(pos1)))
    // pos2 muss den CX cx1 aufnehmen koennen.
    // bedingung: pos1 != pos2
    // sets cx1 == NULL if first not found
    // sets pos2 == -1 if second not found
    // suche eine belegte position im bereich [1..len-1]
    count = 10;
  } do {
    pos1 = longInRange0(s.asCount()-2)+1;
    while( ( !s.canChangeAt(pos1)
             || s.changedAS().get(pos1)
             || isNull(s.asAt(pos1))
             && count-- > 0 ); )
    {
      cx1 = s.asAt(pos1); // backup der alten position
      count << "SEQUENCE " << seqindex+1 << " start: " << pos1 << ", ";
      cout << "CX1 is " << ( !isNull(s.asAt(pos1)) ? "not null":"NULL" ) << endl;
    }
    if(count != 0 && !isNull(s.asAt(pos1))) {
      // Eine gueltige position mit cx wurde gefunden. (pos1 und cx1)
      // gibt es eine zweite position die cx1 aufnehmen kann?
      // suche erst den vektor der AS-POS, die den gleichen Peak
      // aufnehmen koennen.
      otherAS = s.usedIndependent()->asForPeak(s.basePeakIDat(pos1)-1);
      if(otherAS.count() < 2) {
        // diese list enthaelt keine moegliche alternative fuer cx1.
        continue; // neue startposition (pos1) suchen
      }
    }
#ifdef DEBUG_CALCULATION_Q
    cout << "basePeak index1 at AS1(" << pos1 << ") = " << s.basePeakIDat(pos1)-1 << endl;
    cout << "#Q before=" << s.quality() << endl;
    cout << "AS(" << pos1 << ") is " << ( !isNull(s.asAt(pos1)) ? "not null": " NULL " ) ;
    cout << " asQ = " << s.asQAt(pos1);
    cout << " lock = " << s.asLockAt(pos1).isAcquired();
    cout << " linkQ = " << (pos1-1 >= 0) ? s.linkQAt(pos1-1) : -1.0;
    cout << " linkQ = " << (pos1 < s.linkCount()) ? s.linkQAt(pos1) : -1.0;
    cout << endl;
    cout << "OTHER AS (1) " << otherAS << endl;
#endif
}
#ifdef MOVE_POS_FAST_ALGO
// suche eine andere position (pos2) die den Context cx1
// enthaelt. jede position die den Context nicht enthaelt
// wird auf der liste entfernt.
random_shuffle(otherAS);
int top = otherAS.count()-1;
do {
  pos2 = otherAS[top];
  if(pos2 != pos1 && s.asListAt(pos2)->contains(cx1)) break;
}
}

```

```

out << "SEQUENCE " << seqindex+1
out << "movePos (" << pos1 << " " << " " << pos2 << ') ' << endl;
out << "##Q before=" << S.quality() << endl;
out << "AS (" << pos1 << ") is " << ( !isNull( S.asAt( pos1) ) ? " not null" : " NULL " ) ;
out << "asQ=" << S.asQat( pos1) ;
out << "locks=" << S.asLockat( pos1) ;
out << "linkQ-1=" << ( (pos1-1)>=0) ? S.linkQat( pos1-1) : -1.0;
out << "linkQ=" << ( (pos1-1)>=0) ? S.linkQat( pos1) : -1.0;
out << endl;
out << "AS (" << pos2 << ") is " << ( !isNull( S.asAt( pos2) ) ? " not null" : " NULL " ) ;
out << "asQ=" << S.asQat( pos2) ;
out << "locks=" << S.asLockat( pos2) ;
out << "linkQ-1=" << ( (pos2-1)>=0) ? S.linkQat( pos2-1) : -1.0;
out << "linkQ=" << ( (pos2-1)>=0) ? S.linkQat( pos2) : -1.0;
out << endl;
}

#ifdeff
ASSERT( pos1 != pos2 );
ASSERT( pos1 != -1 );
ASSERT( pos1 < S.asCount() );
ASSERT( pos2 > -1 );
ASSERT( pos2 < S.asCount() );
ASSERT( !isNull( cx1 ) );

S.clearAS( pos1, true );
if ( !isNull( cx1 ) ) {
    cout << " .. put cx1 at " << pos2 << " cx1 is "
        << ( !isNull( cx1 ) ? " NULL" : " not null" ) << endl;
}
ASSERT( S.asListat( pos2 ) ->contains( cx1 ) );
S.putASat( pos2, cx1 );
evaluateLocalat( seqIndex, pos2 );
} else
{
    ASSERT( !isNull( S.asAt( pos2 ) ) );
    ASSERT( !isNull( cx2 ) ) {
        cout << " .. put cx2 at " << pos1 << " cx2 is "
            << ( !isNull( cx1 ) ? " NULL" : " not null" ) << endl;
    }
    ASSERT( S.asListat( pos1 ) ->contains( cx2 ) );
    S.putASat( pos1, cx2 );
    evaluateLocalat( seqIndex, pos1 );
} else
{
    // this can fail if pos1 == pos2
    ASSERT( !isNull( S.asAt( pos1 ) ) );
}
}

///////////////////////////////////////////////////////////////////
#ifdeff DEBUG CALCULATION_Q
out << "##Q after=" << S.quality() << endl;
out << "AS (" << pos1 << ") is " << ( !isNull( S.asAt( pos1) ) ? " not null" : " NULL " ) ;
out << "asQ=" << S.asQat( pos1) ;
out << "locks=" << S.asLockat( pos1) ;
out << "linkQ-1=" << ( (pos1-1)>=0) ? S.linkQat( pos1-1) : -1.0;
out << "linkQ=" << ( (pos1-1)>=0) ? S.linkQat( pos1) : -1.0;
out << endl;
out << "AS (" << pos2 << ") is " << ( !isNull( S.asAt( pos2) ) ? " not null" : " NULL " ) ;
out << "asQ=" << S.asQat( pos2) ;
out << "locks=" << S.asLockat( pos2) ;
out << "linkQ-1=" << ( (pos2-1)>=0) ? S.linkQat( pos2-1) : -1.0;
out << "linkQ=" << ( (pos2-1)>=0) ? S.linkQat( pos2) : -1.0;
out << endl;
}

#ifdeff
incStatCounter( movePos, statSuccess );
}

///////////////////////////////////////////////////////////////////
// ersetze eine belegte Position durch einen CX mit dem gleichen Basisknoten
void RandomOptimizer::singleUpgradeAt( int seqindex )
{
    DEBUGTracedFrame;
    incStatCounter( singleUpgrade, statEnter );
    State &S = *stateAt( seqindex );
}

```

```

ActiveAccount active( S.account() );
// fuer N Zufallsereignisse {
// suche eine position aus (RANDOM)
// entsperre den CX der an dieser Pos vorhandenen ist. ==> prevCX
// suche einen CX aus dem pool fuer diese Position aus (RANDOM)
// versuche N mal (=3) einen erwerbbaaren CX zu finden ( != prevCx )
// danach akzeptiere irgendeinen.
// setze prevCX ein wenn kein anderer moeglich ist.
// wenn weiterreichen, suche eine neue position aus (RANDOM)
// sperren den State fuer weitere Bearbeitung
// }
ASSERT( !isMaxSingleUpgradeRandomPos<S.asCount() );
#ifdeff singleUpgrade DEBUG_CALCULATION_Q
double Q = S.quality();
#endiff
CHECK_LOCK;

for( int n=0; n<itsMaxSingleUpgradeRandomPos; n++){
    // suche eine nicht veraenderte position, fuer die es CX gibt.
    // Index einer AS [1 .. as count-1]
    int pos = chooseAS( S );

#ifdeff SINGLE_UPGRADE_FILL_EMPTY_POS
    // if no pos found and at least one empty position exists.
    singleUpgradeAt( index );
    incStatCounter( singleUpgrade, statFailed );
    if ( SHOW_Q_TRACE ) cout << "END--" << "FUNCTION__" << endl;
    return;
}
#endiff // SINGLE_UPGRADE_FILL_EMPTY_POS
if ( pos == -1 ) {
    incStatCounter( singleUpgrade, statFailed );
    if ( SHOW_Q_TRACE ) cout << "END--" << "FUNCTION__" << endl;
    return;
}
Context::Handle newH = singleUpgradeAtPos( seqIndex, pos );
if ( !isNull( newH ) ) {
    // fuege newH an position pos ein, loesche die berechneten Daten
    S.putASat( pos, newH ); S.pushChange( pos );
    evaluateLocalat( seqIndex, pos );
#ifdeff singleUpgrade DEBUG_CALCULATION_Q
    cout << "SINGLE_UPGRADE PUT AT " << pos << " " << ( Q - S.quality() ) << endl;
    CHECK_QUALITY_STABLE( seqIndex )
#endiff

    incStatCounter( singleUpgrade, statSuccess );
    return;
} else {
    incStatCounter( singleUpgrade, statFailed2 );
}

incStatCounter( singleUpgrade, statSuccess );
if ( SHOW_Q_TRACE ) cout << "END--" << "FUNCTION__" << endl;
}
// finde einen CX, der an Stelle des Cx in AS[pos] eingesetzt werden kann
// und der den gleichen Basisknoten verwendet.
Context::Handle RandomOptimizer::singleUpgradeAtPos( int seqIndex, int pos )
{
    DEBUGTracedFrame;
    incStatCounter( singleUpgrade, statEnter );
    State &S = *stateAt( seqIndex );
    ActiveAccount active( S.account() );
    if ( pos == -1 ) {
        return Context::Handle();
    }
    Context::Handle prevCX = S.asAt( pos );
    const Resource* prevR = prevCX->Lookup( itsRootName );
    if ( prevR == NULL ) {
        ErrorMessage err;
    }
}

```



```

    }
    S_clearAS(pos, true); // S_pushchange(pos);
    #ifdef SINGLE_UPGRADE DEBUG_CALCULATION_Q
    cout << "SINGLE_UPGRADE CLEAR AS(" << pos << ")=" << (Q - S_quality()) << endl;
    #endif
    ContextLock currASLock;
    // suche einen *erwerbbar* CX aus dem Pool fuer diese Position aus (RANDOM)
    // der dem gleichen Basisnoten angehoert wie prevCX
    const ContextList& currList = *s_asistAt(pos);
    int count = min(itMaxSeekSameNode, currList.length());
    ContextList::Iterator iter = currList.last();
    ASSERT(iter);
    // die Liste sollte mindestens eine Moeglichkeit enthalten
    // versuche N mal (-10) einen neuen erwerbbar CX zu finden ( cx != prevCx )
    const Resource *res = NULL;
    do {
        ContextList::Iterator startIter = iter;
        int x = longInRange((currList.length()-1)/10)+1; // range [1 .. arg]
        // jump to the x-th iterator with same base node or wrap around
        while(x>0) {
            --iter; if(!iter) { iter = currList.last(); }
            if(startIter==iter) {
                count=0; // wrap around and nothing found.
                break; // while (x>0)
            }
            res = (*iter)->lookup(itRootName);
            if(res==NULL) {
                ErrorMessage err;
                err << fatal
                    << "context without root resource in as #" << pos << eom;
                if (prevr->compWith(*res)==0) {
                    X--;
                }
            }
            while( --count >= 0 &&
                ! (prevr->compWith(*res)==0) &&
                ! currASLock.acquire(const_cast<Context*>(*iter)) );
            if(currASLock.isAcquired()) {
                currASLock.release(true);
                return Context::Handle();
            }
            // restore the old value
            S_putASAt(pos, prevCx); S_pushchange(pos);
            evaluateLocalAt(seqIndex, pos);
        }
        return *iter;
    }
}
// RandomOptimizer::sequenceChangeActions RandomOptimizer::chooseAction(void)
{
    double r = getRandDouble()*100.0; // non const operation!!
    if (r < (itsCurrProfile)[swapItems]) return swapItems;
    if (r < (itsCurrProfile)[singleExchange]) return singleExchange;
    if (r < (itsCurrProfile)[crossOver]) return crossOver;
    if (r < (itsCurrProfile)[randomGenerate]) return randomGenerate;
    if (r < (itsCurrProfile)[mergeFromBest]) return mergeFromBest;
    if (r < (itsCurrProfile)[moveLinkRange]) return moveLinkRange;
    if (r < (itsCurrProfile)[removeRange]) return removeRange;
    if (r < (itsCurrProfile)[singleUpgrade]) return singleUpgrade;
    return doNothing;
}
const char* RandomOptimizer::action2Name(RandomOptimizer::sequenceChangeActions a)
{
    return theActionName[a];
}
//
//
static const char* eventNames[] = {

```

Anhang N Quelltexte

```

} else {
  version = "";
}
// changes of versions
// versions before v 1.01; swappedItems .. movelinkedRange ( 7 )
// versions v 1.01; added removeRange ( 8 )
// versions v 1.02; added singleUpgrade ( 9 )
// versions v 1.03; added movePos ( 10 )
// nr of actions per line in stream
if ( version >= "1.03") realProfileCount = 10;
else if ( version == "1.02") realProfileCount = 9;
else if ( version == "1.01") realProfileCount = 8;
else if ( version == "n") realProfileCount = 7;
if (parseField(is, "LENGTH", profileCount) ) ERROR_RECOVER;
if (parseField(is, "NAMES", temp) ) ERROR_RECOVER; // dummy read
if (itsProfileChange == itsProfileChangeDefault){
  itsProfileChange = new double [ profileCount * countChangeActions ];
  itsPctProfiles = new double [ profileCount * countChangeActions ];
  itsMaxProfile = new double [ profileCount * countChangeActions ];
} else {
  delete [] itsProfileChange;
  delete [] itsPctProfiles;
  delete [] itsMaxProfile;
  itsProfileChange = new double [ profileCount * countChangeActions ];
  itsPctProfiles = new double [ profileCount * countChangeActions ];
  itsMaxProfile = new double [ profileCount * countChangeActions ];
}
for (int i=0; i<profileCount; i++){
  //format: PROFILE upperThreshold profilePct ... ERROR_RECOVER;
  if (parseField(is, "PROFILE", itsProfileChange[i]; false) ) ERROR_RECOVER;
  for (int n=0; n<realProfileCount; n++){
    double a;
    if (! (is && is >> ws >> a) ){
      ErrorMessage err;
      err << warn
      err << "value=" << a << " current profile nr n=" << n
      << " current action index i=" << i
      << " countChangeActions=" << countChangeActions
      << " realProfileCount=" << realProfileCount << eom;
      ERROR_RECOVER;
    }
  }
  if (n<countChangeActions)
    const_cast<double*>(itsPctProfiles [n+ i*countChangeActions]) = a;
}
is >> skipLine;
if (realProfileCount<countChangeActions)
  itsPctProfiles[(countChangeActions-1)+ i*countChangeActions] = 0.05;
// test summe (itsProfiles[i]) == 100 ( oder normieren )
summe = 0.0;
for (int n=0;n<countChangeActions; n++){
  summe += itsPctProfiles[n + i*countChangeActions];
}
for (int n=0;n<realProfileCount; n++){
  itsPctProfiles [n + i*countChangeActions] /= summe;
  itsPctProfiles [n + i*countChangeActions] *= 100.0; // range 0 .. 100
}
if (!block1.close ()) ERROR_RECOVER;
itsProfileCount = profileCount;
itsProfileChange [profileCount-i] = 1.01; // terminate profile change
itsCurrProfile = itsMaxProfile;
itsProfileIndex = 0;
// generate threshold values
RandomOptimizer::calcProfiles ();
return ok;
error_recover:
ErrorMessage err;
err << error
err << " parsing profile failed. (code = " << errPos
}
//

// at line " << streampos2lineNr (is, is.tell ())
// " >> eom;
return fail;
}
//
void RandomOptimizer::dumpConfig (ostream os)
{
  enum { ok = 0, fail = 1 };
  if (block2){
    os << indent << "VERSION 2" << endl;
    os << indent << "DumpTimeInterval " << itsDumpTimeInterval << endl;
    os << indent << "LoopCount " << itsLoopCount << endl;
    os << indent << "MaxLoopCount " << itsMaxLoopCount << endl;
    os << indent << "LastQ " << itsLastQ << endl;
    os << indent << "LastQChanged " << endl;
    os << indent << "Tolerance " << itsTolerance << endl;
    os << indent << "QThreshold " << itsQThreshold << endl;
    os << indent << "ToleranceDecayRate " << itsToleranceDecayRate << endl;
    os << indent << "MaxIdleLoops " << itsMaxIdleLoops << endl;
  }
  if (block3) {
    if (block3) {
      if (block3) {
        os << indent << "ACTIONCONFIG";
        if (block6){
          os << indent << "VERSION " << "\1.02\" << endl;
          os << indent << "LENGTH " << itsProfileCount << endl;
          os << indent << "NAMES " << setw(10) << "upperlimit";
          for (int i = 0; i < countChangeActions; i++) {
            os << " " << action2Name (sequenceChangeActions (i));
          }
        }
        for (int i = 0; i < itsProfileCount; i++) {
          os << indent << "PROFILE " << setw(6) << itsProfileChange (i);
          // print thresholds as percents
          os << setw(10) << " << itsPctProfiles [i*countChangeActions];
          for (int n = 1; n < countChangeActions; n++)
            os << setw(10) << " << itsPctProfiles [i*countChangeActions+n];
          os << endl;
        }
      }
    }
  }
  bool RandomOptimizer::loadConfig (istream & is)
  {
    enum { ok = 0, fail = 1 };
    int errPos=0;
    AssertHook noStackDump (NULL);
    MyString s;
    MyString version = "1"; // Config Version
    ReadBlock block2 (is, "CONFIG");
    ReadBlock block3 (is, "ACTIONCONFIG");
    if (!block2.open ()) ERROR_RECOVER;
    if (!block2.skipToEnd ()) ERROR_RECOVER;
    if (!block3.open ()) ERROR_RECOVER;
    if (!block3.skipToEnd ()) ERROR_RECOVER;
    return ok;
    error_recover:
    ErrorMessage err;
    err << error
    err << " parsing optimizer seed failed. (code = " << errPos
    err << " at line " << streampos2lineNr (is, is.tell ())
    << " >> eom;
    return fail;
  }
}

```

```

} else {
  version = "";
}
// changes of versions
// versions before v 1.01; swappedItems .. movelinkedRange ( 7 )
// versions v 1.01; added removeRange ( 8 )
// versions v 1.02; added singleUpgrade ( 9 )
// versions v 1.03; added movePos ( 10 )
// nr of actions per line in stream
if ( version >= "1.03") realProfileCount = 10;
else if ( version == "1.02") realProfileCount = 9;
else if ( version == "1.01") realProfileCount = 8;
else if ( version == "n") realProfileCount = 7;
if (parseField(is, "LENGTH", profileCount) ) ERROR_RECOVER;
if (parseField(is, "NAMES", temp) ) ERROR_RECOVER; // dummy read
if (itsProfileChange == itsProfileChangeDefault){
  itsProfileChange = new double [ profileCount * countChangeActions ];
  itsPctProfiles = new double [ profileCount * countChangeActions ];
  itsMaxProfile = new double [ profileCount * countChangeActions ];
} else {
  delete [] itsProfileChange;
  delete [] itsPctProfiles;
  delete [] itsMaxProfile;
  itsProfileChange = new double [ profileCount * countChangeActions ];
  itsPctProfiles = new double [ profileCount * countChangeActions ];
  itsMaxProfile = new double [ profileCount * countChangeActions ];
}
for (int i=0; i<profileCount; i++){
  //format: PROFILE upperThreshold profilePct ... ERROR_RECOVER;
  if (parseField(is, "PROFILE", itsProfileChange[i]; false) ) ERROR_RECOVER;
  for (int n=0; n<realProfileCount; n++){
    double a;
    if (! (is && is >> ws >> a) ){
      ErrorMessage err;
      err << warn
      err << "value=" << a << " current profile nr n=" << n
      << " current action index i=" << i
      << " countChangeActions=" << countChangeActions
      << " realProfileCount=" << realProfileCount << eom;
      ERROR_RECOVER;
    }
  }
  if (n<countChangeActions)
    const_cast<double*>(itsPctProfiles [n+ i*countChangeActions]) = a;
}
is >> skipLine;
if (realProfileCount<countChangeActions)
  itsPctProfiles[(countChangeActions-1)+ i*countChangeActions] = 0.05;
// test summe (itsProfiles[i]) == 100 ( oder normieren )
summe = 0.0;
for (int n=0;n<countChangeActions; n++){
  summe += itsPctProfiles[n + i*countChangeActions];
}
for (int n=0;n<realProfileCount; n++){
  itsPctProfiles [n + i*countChangeActions] /= summe;
  itsPctProfiles [n + i*countChangeActions] *= 100.0; // range 0 .. 100
}
if (!block1.close ()) ERROR_RECOVER;
itsProfileCount = profileCount;
itsProfileChange [profileCount-i] = 1.01; // terminate profile change
itsCurrProfile = itsMaxProfile;
itsProfileIndex = 0;
// generate threshold values
RandomOptimizer::calcProfiles ();
return ok;
error_recover:
ErrorMessage err;
err << error
err << " parsing profile failed. (code = " << errPos
}
//

// at line " << streampos2lineNr (is, is.tell ())
// " >> eom;
return fail;
}
//
void RandomOptimizer::dumpConfig (ostream os)
{
  enum { ok = 0, fail = 1 };
  if (block2){
    os << indent << "VERSION 2" << endl;
    os << indent << "DumpTimeInterval " << itsDumpTimeInterval << endl;
    os << indent << "LoopCount " << itsLoopCount << endl;
    os << indent << "MaxLoopCount " << itsMaxLoopCount << endl;
    os << indent << "LastQ " << itsLastQ << endl;
    os << indent << "LastQChanged " << endl;
    os << indent << "Tolerance " << itsTolerance << endl;
    os << indent << "QThreshold " << itsQThreshold << endl;
    os << indent << "ToleranceDecayRate " << itsToleranceDecayRate << endl;
    os << indent << "MaxIdleLoops " << itsMaxIdleLoops << endl;
  }
  if (block3) {
    if (block3) {
      if (block3) {
        os << indent << "ACTIONCONFIG";
        if (block6){
          os << indent << "VERSION " << "\1.02\" << endl;
          os << indent << "LENGTH " << itsProfileCount << endl;
          os << indent << "NAMES " << setw(10) << "upperlimit";
          for (int i = 0; i < countChangeActions; i++) {
            os << " " << action2Name (sequenceChangeActions (i));
          }
        }
        for (int i = 0; i < itsProfileCount; i++) {
          os << indent << "PROFILE " << setw(6) << itsProfileChange (i);
          // print thresholds as percents
          os << setw(10) << " << itsPctProfiles [i*countChangeActions];
          for (int n = 1; n < countChangeActions; n++)
            os << setw(10) << " << itsPctProfiles [i*countChangeActions+n];
          os << endl;
        }
      }
    }
  }
  bool RandomOptimizer::loadConfig (istream & is)
  {
    enum { ok = 0, fail = 1 };
    int errPos=0;
    AssertHook noStackDump (NULL);
    MyString s;
    MyString version = "1"; // Config Version
    ReadBlock block2 (is, "CONFIG");
    ReadBlock block3 (is, "ACTIONCONFIG");
    if (!block2.open ()) ERROR_RECOVER;
    if (!block2.skipToEnd ()) ERROR_RECOVER;
    if (!block3.open ()) ERROR_RECOVER;
    if (!block3.skipToEnd ()) ERROR_RECOVER;
    return ok;
    error_recover:
    ErrorMessage err;
    err << error
    err << " parsing optimizer seed failed. (code = " << errPos
    err << " at line " << streampos2lineNr (is, is.tell ())
    << " >> eom;
    return fail;
  }
}

```

```

RandomOptimizer& RandomOptimizer::debugTraceQ(void) {
    if(!itsImproved)
        || (itsMaxTraceInterval > 0
            && itsMaxTraceInterval < (itsLoopCount - itsLastTraceCount))))
    {
        itsLastTraceCount = itsLoopCount;
        if(itsDebugFlags[traceQ]) {
            double bestQ=0, worstQ=0, arenaCount(0), i++;
            for(int i=0; i< arenaCount(0); i++) {
                double currQ=itsArena[i]->quality(0);
                if(bestQ<currQ) best = currQ;
                if(worstQ>currQ) worst = currQ;
                mid += currQ;
            }
            mid /=sequenceCount(0);
            const char sep = ',';
            (debugStream() << "TRACE Q" << sep << itsLoopCount << sep
                << itsLastQ << sep
                << qThreshold << sep
                << thresholdDecayRate << sep
                << max(itsLastQ, mid) * qThreshold << sep
                << itsBestQuality << sep
                << itsBestASCount << sep
                << itsBestLinkCount << sep;
                (debugStream() << best << sep << (mid) << sep << worst << sep;
                (debugStream() << endl;
                } else {
                    debugTraceEachQ();
                }
            }
            return *this;
        }
        ///////////////////////////////////////////////////////////////////////////////////////////////////////////////////
        RandomOptimizer& RandomOptimizer::debugTraceEachQ(void) {
            const char sep = ',';
            (debugStream() << "TRACE EACHQ" << sep << itsLoopCount << sep << itsLastQ << sep << itsArena[0]->quality(0), midQ=0.0;
            for(int i=0; i<sequenceCount(0); i++) {
                double currQ=itsArena[i]->quality(0);
                if(bestQ<currQ) bestQ = currQ;
                if(worstQ>currQ) worstQ = currQ;
                midQ += currQ;
            }
            midQ /=sequenceCount(0);
            FOLLOW_MID_Q
            double Q = midQ;
            #elif defined(FOLLOW_BEST_Q)
            double Q = itsBest->quality(0);
            #endif // FOLLOW_XXX
            double threshold = max(itsLastQ, Q) * qThreshold(0);
            (debugStream() << itsLastQ << sep
                << qThreshold << sep
                << thresholdDecayRate << sep
                << threshold << sep
                << itsBest->quality(0) << sep
                << itsBestASCount << sep
                << itsBestLinkCount << sep;
            (debugStream() << bestQ << sep
                << midQ << sep
                << worstQ << sep
                << *,*,*,*, sep;
            for(int i=0; i<sequenceCount(0); i++) {
                (debugStream() << itsArena[i]->quality(0) << sep;
            }
            (debugStream() << "\n";
            }
            return *this;
        }
        ///////////////////////////////////////////////////////////////////////////////////////////////////////////////////
        #include "Array.cc"
        template class Array<RandomOptimizer::sequenceChangeActions>;
    }
}

```

N.5 Quelltext: RandomOptimizerBASE.h

```

#include RandomOptimizerBASE_H
#define RandomOptimizerBASE_H 1
//
// $Id: RandomOptimizerBASE.h,v 1.10 2000/05/29 16:21:49 va Exp $
//
#define DONT_TRACE 1
#include "StatArray.h"
#include "Array.h"
#include "macros.h"
#include "Debug.h"
#include <time.h>
#include "Math.h"
#include <math.h>
#include <limits.h>
#include <values.h>
#include "ErrMsg.h"
#include "iomanip.h"
#include "iostream.h"
#include "fstream.h"
#include "cmlline.h"
#include "cmdargs.h"
#include "GetOptions.h"
#include "MyACG.h"

#include "Cache.h"
#include "Protein.h"
#include "PeakPool.h"
#include "PeakNet.h"
#include "Context.h"
#include "ContextList.h"
#include "ContextLock.h"
#include "ContextOp.h"

#include "MyManip.h"
#include "ParseBlock.h"
#include "ParseContextList.h"
#include "RandomOpti_StateIndependent.h"
#include "RandomOpti_Calc.h"
//
// build subset of two intVecs,
//
// return: true res and other have common members
//         false no overlapp, res and resLen are unchanged
//
bool subset(
    intVec& res, // in out: result vector
    int & resLen, // in out: count of used elements
    const intVec& other, // in: other set
    int offset=0); // in: shift for elements

//: remove the element key from res
//: move all elements behind key one position forward.
void removeElement(intVec& res, int& resLen, int key);
//
//
class StateIndependent;
class LinkBuilder;
class StateDiff;
//
class RandomOptimizerBASE;

```

```

class RandomOptimizerBASE : public RCOBJECT
{
public:
    typedef IMGObject< RandomOptimizerBASE > Handle;
    typedef RandomOptimizerBASE Self;
    virtual ~RandomOptimizerBASE(void);
    RandomOptimizerBASE(void);
    //
    //: erzeuge eine Zufallsbelegung
    void randomInit(int seqIndex);
    //: suche AS die nicht erworben sind und
    //: ersetze sie durch eine leere Stelle
    void removeNotLockedAt(int seqIndex);
    //: suche AS die nicht auf beiden Seiten verknuepft sind
    //: und ersetze sie durch eine leere Stelle
    void removeNotLinkedAt(int seqIndex);
    //: loesche den CX an position pos == index der as
    void removeRangeAt(int seqIndex);
    //: bewerte eine einzelne AS
    void evaluateLocalAt(int seqIndex, int asPos);
    //: schließe die Bewertung eines States ab.
    void evaluateAt(int seqIndex);
    //: calculate AS local Quality for range [firstPos .. len-1]
    void localValueAtRange(int seqIndex,int firstPos, int len);
    //: berechne Q vollstaendig neu.
    void rebuildQAt(int seqIndex);
    //: berechne Q vollstaendig neu.
    void rebuildBestQ(void);
    //: bewerte die Arena
    virtual void evaluateArena(void);
    //: generates two new States by merging two other States
    virtual void crossOverAt(
        int destIndex1,int destIndex2, // dest
        int srcIndex1, int srcIndex2, // src
    );
    //: generates *one* of two new States by merging two other States
    //: kopiere Stuecke aus srcS1 und srcS2 nach destS1
    //: die Stuecke sind ([8 asCount()/3] AS lang)
    virtual void singleCrossOverAt(
        int destIndex1,
        int srcIndex1, int srcIndex2,
        bool generateFirst // true generate dest1 , false generates dest2
    );
    //:
    //: virtual void optimize(void);
    //:
    virtual bool abbruchbedingung(void);
    //
    //: search for matching dest position for AS's starting at position firstPos
    int findFirstMatch(
        int seqIndex, // anfang des bereichs
        int firstPos, // laenge des bereichs (= linkLen+1)
        const intVec& destPos, // alternative positionen
        int posLen // genutzte laenge in destPos
    );
    //: copy one range of AS from one State to another.
    void crossCopyRange(
        int destIndex, // dest
        int srcIndex, // src
        int firstAS, int len
    );
    //: wendet einen Ausschnitt eines StateDiffs auf einen State an.
    //: dannach werden die neuen CX erworben und dann all alten Positionen,
    //: die im Konflikt mit den neuen stehen, verworfen.
    //: Qualität und Locks im Endergebnis sind gültig.
    //: (im Gegensatz zum applyDiff)
    void applyDiffRangeAt(

```

```

int destIndex,
const StateDiff & diff,
//stateAction im Diff,
int start = 0,
// Anzahl der Folgeaktionen. ( < 0 : len of diff )
int len = -1
// SWAP's are different from ADD and SUB operations,
// not all cx combinations are swappable.
// SO, SWAP's are not always applicable.
// iff they are applied as two sub and two add cx Operations!
// NOT as an exchange CX !
bool apply_swaps = true
);
//: Kopiere den Bereich [srcPos .. srcPos+len-1]
// nach [destPos .. destPos+len-1]
// innerhalb einer Sequenz, achtet auf ueberlappte Bereiche
void copyRange(int seqIndex, int destPos, int srcPos, int len);
//: Data Access Functions
RandomOptimizerBASE& useIndependent(StateIndependent::Handle p);
StateIndependent::Handle useIndependent(void) const;
//: get/copy State Objects
RandomOptimizerBASE& stateAt(int i, State::Handle& st);
State::Handle& stateAt(int seqIndex);
//: Ausgabe der State Objekte auf dem Dumpfile.
virtual void dumpState(void);
//: Lesen der State Objekte aus dem File "name".
virtual bool loadState(
const MyString& name, PeakPool::Handle pool, PeakNet::Handle net);
//: laed/speichert den config teil des Dumps
virtual bool loadConfig(istream& is);
virtual void dumpConfig(ostream& os);
//: loesche den Zustand aller State-Objekte.
void initState(void);
//: setze alle Optimizer spezifischen Variable (loop, time, ...)
// auf den Startzustand zurueck. Die STATE bleiben unveraendert.
virtual void restartRun(void);
//: the peak net
RandomOptimizerBASE& peakNet( const PeakNet::Handle& p);
const PeakPool::Handle& peakPool( void) const;
//: the peak pool
RandomOptimizerBASE& peakPool( const PeakPool::Handle& p);
const PeakNet::Handle& peakNet( void) const;
//: the protein
RandomOptimizerBASE& protein( Protein::Handle& p);
Protein::Handle& protein( void) const;
//: time interval from start to end
RandomOptimizerBASE& runtime( time_t p);
time_t runtime( void) const;
//: end time for optimizing in which t = starttime + runtime()
time_t endTime( void) const;
//: time interval for dumps
RandomOptimizerBASE& dumpTimeInterval( time_t p);
time_t dumpTimeInterval( void) const;
//: end of optimize in abbruch
RandomOptimizerBASE& maxLoop( long p);
long maxLoop( void) const;
//: current loop count (increasing in optimize)
RandomOptimizerBASE& loopCount( long l);
long loopCount( void) const;
//: loop count of last q change
long lastQChange( void) const;
//: resize Arena and initialize form best value

```

```

RandomOptimizerBASE& sequenceCount(int i);
int sequenceCount( void) const;
//: quality at which optimize will stop in abbruch
RandomOptimizerBASE& endQ( double d);
double endQ( void) const;
//: no of loops without an quality improvement after
// which optimize will stop in abbruch.
RandomOptimizerBASE& maxIdleLoops( long l);
long maxIdleLoops( void) const;
//: no of loops between dumps ( UNUSED ??? )
RandomOptimizerBASE& dumpLoopInterval( long l);
long dumpLoopInterval( void) const;
//: no of loops between trace messages if no quality improvement( UNUSED ??? )
RandomOptimizerBASE& maxTraceInterval( long l);
long maxTraceInterval( void) const;
//: minimum no of loops between trace messages even if quality was improved
RandomOptimizerBASE& populationTraceInterval( long l);
long populationTraceInterval( void) const;
//: amount of applied changes in guidedCrossOverAt
RandomOptimizerBASE& guidedCrossOverSelectionPct( double & d);
double guidedCrossOverSelectionPct( void) const;
//: name of root resource for patterns
RandomOptimizerBASE& resourceName( const ResourceName& name);
const ResourceName& resourceName( void) const;
//: init seed for random number source
RandomOptimizerBASE& randomSeed( const MyString& randomText);
RandomOptimizerBASE& exitReason( const MyString& r);
const MyString& exitReason( void) const;
//: void dumpFileName( const MyString& name);
const MyString& dumpFileName( void) const;
//: TRACE Functions
RandomOptimizerBASE& debug( const MyString& options);
const MyString& debug( void) const;
RandomOptimizerBASE& debugStream( ostream& os);
ostream& debugStream( void) const;
// static void registerOptions( CmdLine& cmd);
virtual bool configure( CmdLineArgIter& cmdIter);
protected:
//: anzahl der versuche einen noch nicht erworbenen CX zu finden
static const int itsMaxSeekAcquirablePos = 4;
//: anzahl der versuche einen CX mit dem gleichen Node zu finden(inner loop)
static const int itsMaxSeekSameNode = 20;
//: anzahl der runden (replace) (outer loop)
static const int itsMaxSingleUpgradeRandomPos = 3;
//: anzahl der runden (swap)
static const int itsMaxSwapItemRounds = 1;
//: anzahl der runden (movePos)
static const int itsMaxMoveItemRounds = 2;
//: anzahl der runden (replace)
static const int itsMaxSingleExchangeRandomPos = 3;
//: anzahl der runden (moveKange)
static const int itsMoveLinkedRangeMaxRounds = 4;
protected:
virtual bool abbruchbedingung_qualityChange( void);
bool itsIsDebugStreamOwner;
ostream * itsDebugStream;
MyString itsDebugOptions;
enum debugOptions_e {
traceQ, traceEachQ, traceActions, traceParams, traceActionTableChange,
traceDumps, tracePopulationStat, tracePopulationDiff,

```

```

};
    countDebugOptions
};
bool itsDebugFlags[COUNT_DEBUG_OPTIONS];
//: drop a trace of [action]
virtual RandomOptimizerBASE& debugParams(void);
virtual RandomOptimizerBASE& debugTraceEQ(void);
virtual RandomOptimizerBASE& debugTraceEachQ(void);
virtual RandomOptimizerBASE& debugTracePopulationUsedCX(void);
virtual RandomOptimizerBASE& debugTracePopulationDiff(void);
virtual RandomOptimizerBASE& debugTracePopulationStat(void);
virtual RandomOptimizerBASE& debugTraceFinalPopulationStat(void);
//: define WITH TIME STAMPS
#ifdef WITH_TIME_STAMPS
    RandomOptimizerBASE& debugTraceLoop(void);
#endif // WITH TIME STAMPS
RandomOptimizerBASE& debugTraceDumps(void);
//: helper functions
int chooseAS(const State &S, int maxTry=5);
int chooseEmptyAS(const State &S, int maxTry=5);
ContextList::Iterator chooseIterAt(const State &S, int pos, int maxTry=5);
//: returns a random float number in range 0<=x<1
double getRandomDouble(void);
//: returns a random integer number in range MIN_LONG<=x<=MAX_LONG
long getRandomLong(void);
//: returns a random integer number in range low<=x<=high
long longInRange(long low, long high);
//: returns a random integer number in range 0<=x<=high
long longInRange0(long high);
void random_shuffle(intVec &x, int len);
//:
//:
static const bool itsCanRemoveNotLocked;
static const bool itsCanRemoveNoLinked;
static const bool itsCanFillEmpty;
static const double initialMinAssignedCxCountPct;
//:
//:
virtual void invariant_checkAllCacheMembers(
    int segIndex,
    bool checkNotLockedToo = true) const;
//:
//:
//: start value for no of loops between time checks
RandomOptimizerBASE& initialITC(long l);
long initialITC(void) const;
//:
//: name of the dumpfile, defaults to "dumpfile"
MyString itsDumpFileName;
//: why was this optimizer dumped
MyString itsDumpReason;
//: Startwert des randomnumber-generators
MyACG::seed_t itsSeed;
//: the random number generator
MyACG itsGen;
//: peakpool
PeakPool::Handle itsPool;
//: peaknet
PeakNet::Handle itsNet;
//: independent data
StateIndependent::Handle itsIndependent;
//: calculation & caching
MyString itsCalculatorName;
};

RandomOpti_Calc_noCache::Handle itsCalc;
//: the working set of Assignments.
Array< State::Handle > itsArena;
//: set of best sequences (not shared with itsArena!)
State::Handle itsBest;
int itsBestASCount;
int itsBestLinkCount;
//: how long should it run [sec] (time interval)
time_t itsRunTime;
//: when should it end [sec]
time_t itsEndTime; // = time_at_start_of_optimize + itsRunTime
//: Time of last dump
time_t itsNextDumpTime;
//: maximum time interval of dump [sec]
time_t itsDumpTimeInterval;
//: interval for dumps (UNUSED !!)
long itsDumpLoopInterval;
//: start value for itsITC, default 60, 0 if one cycle is slow (geneticOpti)
//: don't make it larger than itsMaxLoopCount !
int itsInitialITC;
//: counter, check system time, whenever itsITC is counted down to 0 from 60
int itsITC;
//: current loop count
long itsLoopCount;
//: maximum loop count, stop if reached
long itsMaxLoopCount;
//: itsMaxLoopCount, ( if not improved ) ignored i == 0
long itsMaxTraceInterval;
//: account of last trace message
long itsLastTraceCount;
//: did this loop improve itsBest? (valid 'inside' ::optimize)
bool itsIsImproved;
//: current quality
double itsLastQ;
//: loop count of last quality improvement
long itsLastQChanged;
//: maximum quality, optimize stops if bestQ >= itsEndQ
//: ignored if endQ < 0
double itsEndQ;
//: amount of applied changes in guidedCrossOverAt
double itsGuidedCrossOverSelectionPct;
//: after how many loops without quality improvement
//: should we decrease the quality threshold
long itsMaxIdleLoops;
//: loop count beim letzten STAT / DIFF Dump.
long itsPopulationLoop;
long itsPopulationDumpInterval;
//: Abstand zum Besten in ADD/SUB Bewegungen.
Matrix<long> itsAtombDist;
//: Qualitätsabstand zum Besten.
Matrix<double> itsQDist;
//: anzahl der veränderungen je Aminosäureposition
longVec itsPerAS;
//: anzahl der veränderungen je Basispeak
longVec itsPerBase;
//: anzahl der veränderungen je CX
longVec itsPerCX;
//:
//:
//: der root name der suchmuster
ResourceName itsRootName;
//: default ascii context writer
IMngPointer<ContextWriter> itsDebugContextWriter;
};

```

```

inline ostream& RandomOptimizerBASE::debugStream(void) const{
return *itsDebugStream;
};
//
//
//
// returns a random float number in range 0<=x<1
inline double RandomOptimizerBASE::getRandomDouble(void){
return itsGen.asDouble();
};
//
// returns a random integer number in range MIN_LONG<=x<=MAX_LONG
inline long RandomOptimizerBASE::getRandomLong(void){
return itsGen.asLong();
};
//
//
//
inline long RandomOptimizerBASE::longInRange(long low, long high)
{
return (itsGen.asLong() % (high-low+1)) + low;
}
}
inline long RandomOptimizerBASE::longInRange0(long low, long high)
{
return (itsGen.asLong() % (high+1));
};
//
//
//
// assign an independent
inline StateIndependent:Handle RandomOptimizerBASE::usedIndependent(void) const{
return itsIndependent;
};
//
//
//
inline Protein:Handle RandomOptimizerBASE::protein(void) const{
return itsIndependent->protein();
};
//
//
//
inline long RandomOptimizerBASE::loopCount(void) const
{
return itsLoopCount;
};
//
//
//
inline RandomOptimizerBASE& RandomOptimizerBASE::loopCount(long l)
{
itsLoopCount = l; return *this;
};
//
//
//
inline long RandomOptimizerBASE::lastQChanged(void) const
{
return itsLastQChanged;
};
//
//
//
// start value for no of loops between time checks
// this is an IMPLEMENTATION method!
inline RandomOptimizerBASE& RandomOptimizerBASE::initialTC(long l){
itsInitialTC = l;
return *this;
};
//
//
//
inline long RandomOptimizerBASE::initialTC(void) const
{
return itsInitialTC;
};
//
//
//
inline RandomOptimizerBASE& RandomOptimizerBASE::exitReason(const MyString& r){
itsExitReason = r;
return *this;
};
//
//
//
inline const MyString& RandomOptimizerBASE::exitReason(void) const{
return itsExitReason;
};
//
//
//
inline RandomOptimizerBASE& RandomOptimizerBASE::endQ(double d){
return *this;
};

```

Anhang N Quelltexte

```

};
inline double RandomOptimizerBASE::endQ(void) const{
return itsEndQ;
};
//
//
//
inline long RandomOptimizerBASE::maxIdleLoops(void) const{
return itsMaxIdleLoops;
};
//
//
//
inline RandomOptimizerBASE& RandomOptimizerBASE::maxIdleLoops(long l){
itsMaxIdleLoops = l;
return *this;
};
//
//
//
inline int RandomOptimizerBASE::sequenceCount(void) const{
return itsArena.count();
};
//
//
//
inline const MyString& RandomOptimizerBASE::dumpFileName(void) const
{
return itsDumpFileName;
};
//
//
//
inline void RandomOptimizerBASE::dumpFileName(const MyString& name)
{
itsDumpFileName = name;
};
//
//
//
inline RandomOptimizerBASE& RandomOptimizerBASE::runtime(time_t p){
itsRuntime=p; return *this;
};
//
//
//
inline time_t RandomOptimizerBASE::runtime(void) const{
return itsRuntime;
};
//
//
//
inline time_t RandomOptimizerBASE::endTime(void) const{
return itsEndTime;
};
//
//
//
inline RandomOptimizerBASE& RandomOptimizerBASE::dumpTimeInterval(time_t p){
itsDumpTimeInterval=p; return *this;
};
//
//
//
inline time_t RandomOptimizerBASE::dumpTimeInterval(void) const{
return itsDumpTimeInterval;
};
//
//
//
inline RandomOptimizerBASE& RandomOptimizerBASE::dumpLoopInterval(long p){
itsDumpLoopInterval=p; return *this;
};
//
//
//
inline long RandomOptimizerBASE::dumpLoopInterval(void) const{
return itsDumpLoopInterval;
};
//
//
//
inline RandomOptimizerBASE& RandomOptimizerBASE::maxLoop(long p){
itsMaxLoopCount=p; return *this;
};
//
//
//
inline long RandomOptimizerBASE::maxLoop(void) const{
return itsMaxLoopCount;
};
//
//
//
inline RandomOptimizerBASE& RandomOptimizerBASE::maxTraceInterval(long p){
itsMaxTraceInterval=p; return *this;
};
//
//
//
inline long RandomOptimizerBASE::maxTraceInterval(void) const{
return itsMaxTraceInterval;
};
//
//
//
inline RandomOptimizerBASE& RandomOptimizerBASE::populationTraceInterval(

```

N.6 Quelltext: RandomOptimizerBASE.cc

```

    {
        long p)
    };
    inline long RandomOptimizerBASE::populationTraceInterval(void) const {
        return itsPopulationDumpInterval;
    };
    ////////////////////////////////////////////////////////////////////////////////////////////////////////////////////////////////////
    //: amount of applied changes in guidedCrossOverAt
    inline RandomOptimizerBASE& RandomOptimizerBASE::guidedCrossOverSelectionPct(
        double & d)
    {
        itsGuidedCrossOverSelectionPct = d;
        return *this;
    };
    inline double RandomOptimizerBASE::guidedCrossOverSelectionPct(void) const
    {
        return itsGuidedCrossOverSelectionPct;
    };
    ////////////////////////////////////////////////////////////////////////////////////////////////////////////////////////////////////
    inline RandomOptimizerBASE& RandomOptimizerBASE::rootName(const ResourceName& root) {
        itsRootName = root;
        return *this;
    };
    inline const ResourceName& RandomOptimizerBASE::rootName(void) const {
        return itsRootName;
    };
    ////////////////////////////////////////////////////////////////////////////////////////////////////////////////////////////////////
    inline RandomOptimizerBASE& RandomOptimizerBASE::peakPool(const PeakPool::Handle& pool) {
        itsPool = pool;
        return *this;
    };
    inline const PeakPool::Handle& RandomOptimizerBASE::peakPool(void) const {
        return itsPool;
    };
    ////////////////////////////////////////////////////////////////////////////////////////////////////////////////////////////////////
    inline RandomOptimizerBASE& RandomOptimizerBASE::peakNet(const PeakNet::Handle& net) {
        itsNet = net;
        return *this;
    };
    inline const PeakNet::Handle& RandomOptimizerBASE::peakNet(void) const {
        return itsNet;
    };
    ////////////////////////////////////////////////////////////////////////////////////////////////////////////////////////////////////
    inline State::Handle& RandomOptimizerBASE::stateAt(int seqIndex) {
        if (seqIndex == -1) {
            return itsBest;
        } else {
            return itsArens[seqIndex];
        }
    };
    inline RandomOptimizerBASE& RandomOptimizerBASE::stateAt(
        int i, State::Handle& st)
    {
        State &dests = *stateAt(i);
        ActiveAccount active(dests.account());
        dests.copyFrom(*st);
        return *this;
    };
    inline const MyString& RandomOptimizerBASE::debug(void) const {
        return itsDebugOptions;
    };

#endif // __RandomOptimizerBASE_H

```

```

// $Id: RandomOptimizerBASE.cc,v 1.20 2000/05/29 16:24:34 va Exp $
//
//define DONT_TRACE 1
#include "statArray.h"
#include "Array.h"
#include "Macros.h"
#include "Debug.h"
#include "yodump.h"
#include "time.h"
#include "math.h"
#include <limits.h>
#include <values.h>
#include "ErrMsg.h"
#include "iomanip.h"
#include "iostream.h"
#include "fstream.h"
#include "cmdargs.h"
#include "GetOptions.h"
#include "MyACG.h"
#include "Cache.h"
#include "Protein.h"
#include "PeakPool.h"
#include "PeakNet.h"
#include "Context.h"
#include "ContextList.h"
#include "ContextLock.h"
#include "ContextOp.h"
#include "AsciiContextReader.h"
#include "MyioManip.h"
#include "parseBlock.h"
#include "parseContextList.h"
#include "RandomOpti.StateIndependent.h"
#include "RandomOptimizerBASE.h"
#include "stateMetrics.h"
//////////////////////////////////////////////////////////////////////////////////////////////////////////////////////////////////
#include "RandomOptimizer.debug.h"
//////////////////////////////////////////////////////////////////////////////////////////////////////////////////////////////////
//: build subset of two intVecs,
// return: true res and have common members
// false no overlap, res and resLen are unchanged
bool subset(intVec& res, // in/out: result vector
            int &resLen, // in/out: count of used elements
            const intVec& other, // in: other set
            int offset=0); // in: shift for elements
//: remove the element key from res
// move all elements behind key one position forward.
void removeElement(intVec& res, int& resLen, int key);
//: build subset of two intVecs,
// return: true res and have common members
// false no overlap, res and resLen are unchanged
bool subset(intVec& res, // in/out: result vector
            int &resLen, // in/out: count of used elements
            const intVec& other, // in: other set

```



```

itsDumpFileName("RandomOptimizerBASEDumpFile"),
itsDumpReason("none"),
itsGen(time(0),55), itsIndependent(),
itsArena(4),
itsMaxTraceInterval(100), itsIsImproved(false),
itsEndQ(-1),
itsGuidedCrossOverSelectionPct( 0.1 ),
itsPopulationDumpInterval(1000),
itsRootName("hnc CO-1 #1"),
itsDebugContextWriter(new AsciiContextWriter(&cerr), IINIT)
{
    for(int i=0; i<sequenceCount(); i++){
        itsArena[i] = State::Handle(new State,IINIT);
    }
    itsBest = State::Handle(new State,IINIT);
    itsBestASCount = 0;
    itsBestLinkCount = 0;
    itsRunTime = 60 * 60;
    itsEndTime = time(NULL) + itsRunTime; // nach einer Stunde
    itsNextDumpTime = time(NULL); // now
    itsInitialTC = 60;
    itsTC = 0;
    itsDumpTimeInterval = 15 * 60;
    itsMaxLoopCount = LONG_MAX;
    itsLastTraceCount = 0;

    itsLastQ = 0.0; // schlechterer moeglicher Wert, besser == groesser
    itsLastQChanged = 0;
    itsEndQ = -1; // default is ignore
    itsMaxIdleLoops = 1000;
    for(int i=0; i< countDebugOptions; i++){
        itsDebugFlags[traceQ] = false;
    }
    itsPopulationLoop = 0;
};
//
//
//
RandomOptimizerBASE& RandomOptimizerBASE::randomSeed(const MyString& randomText)
{
    MyString t= randomText;
    t.upcase();
    if (t.contains("TIME")){
        itsRndSeed = time(NULL);
    } else if (t.matches(MyXRint)){
        itsRndSeed = atoi(t.chars());
    };
    itsGen = MYACG(itsRndSeed,55);
    return *this;
};
//
//
//
void RandomOptimizerBASE::random_shuffle(intVec &x) {
    if(x.count()<2) return;
    for(int i = 0; i<int(float(x.count()) * float(0.76)); i++){
        swap(x[longInRange0(x.count()-1)],x[longInRange0(x.count()-1)]);
    }
}

void RandomOptimizerBASE::random_shuffle(intVec &x, int len) {
    if(x.count()<2) return;
    for(int i = 0; i<int(float(min(x.count(),len)) * float(0.76)); i++){
        swap(x[longInRange0(min(x.count()-1,len-1)],x[longInRange0(min(x.count()-1,len-1))]);
    }
}

//
//
//
// assign an independent
RandomOptimizerBASE& RandomOptimizerBASE::useIndependent(StateIndependent::Handle p ) {
    itsIndependent = p;
    for(int i=0; i<sequenceCount(); i++){
        if(!isNull(itsArena[i]) itsArena[i]->useIndependent(itsIndependent);
    }

    itsAtomDist.resize(sequenceCount(),sequenceCount()+1);
    itsQDist.resize(sequenceCount(),sequenceCount()+1);
    itsPerAS.resize(protein()->length());
    if(!isNull(usedIndependent()->allCXList())

```

```

//: teste ob alle erworbenen AS auch Mitglieder des Cache sind
//: wenn nicht, ist eine der INVARIANTEN verletzt worden.
//:
//:
//: checkUnlockedToo : true, die Invariante soll auch fuer
//: die noch nicht erworbene AS getestet werden
//:
//:
//: virtual
//: #ifdef PRODUCTION
//: inline
//: #endif
void RandomOptimizer::invariante_checkAllCacheMembers(
    int seqIndex,
    bool checkUnlockedToo/* = true */
) const
{
    #ifdef PRODUCTION
        return;
    #endif
    DEBUGTracedFrame;
    // discards const on (*this)
    State &S = *(const cast<Self*>(this)->stateAt(seqIndex));
    ActiveAccount active(S.account());
    ASSERT(1000 > S.asCount()); // 1000 >> any reasonable protein
    int top = 0;
    for(int pos = 0; pos < S.asCount(); ++pos) {
        if(!isNull(S.asAt(pos))) {
            // wenn der CX weder erworben noch
            // (test fuer nicht erworbene erforderlich)
            // dann ignoriere diesen CX
            if(!S.asLockAt(pos).isAcquired() && !checkUnlockedToo)
                continue;
            if(!S.asListAt(pos)->contains(S.asAt(pos))) {
                stack[top++] = pos+1;
            }
        }
    }
    if( top > 0 ) {
        ErrorMessage err;
        err << "INVARIANT VIOLATION: assigned AS not in ASList!"
            << "\nASNR[";
        for(int i=0; i<top; i++) {
            err << stack[i];
            if(i+1<top) err << ", ";
        }
        err << "\n";
    }
}

//:
//: (HELPER fuer optimize)
//: : suche AS die nicht erworben sind und ersetze sie durch eine leere Stelle
//: void RandomOptimizer::removeNotLockedAt(int seqIndex)
//: {
//:     DEBUGTracedFrame;
//:     State &S = *stateAt(seqIndex);
//:     ActiveAccount active(S.account());
//:     for(int pos = 0; pos < S.asCount(); ++pos) {
//:         if( !isNull(S.asAt(pos)) && !S.asLockAt(pos).isAcquired() ) {
//:             S.clearAS(pos, true);
//:         }
//:     }
//: }
//:
//: (HELPER fuer optimize)
//: : suche AS die nicht erworben sind und ersetze sie durch eine leere Stelle
//: void RandomOptimizer::removeNotLinkedAt(int seqIndex)
//: {
//:     DEBUGTracedFrame;
//:     State &S = *stateAt(seqIndex);
//:     ActiveAccount active(S.account());
//:     if(itsCanRemoveNotLinked) {
//:         for(int pos = 0; pos < S.asCount(); ++pos) {
//:             // entferne jede AS die:
//:             // einen Nachbarn hat und nicht mit ihm verknüpft ist.
//:             // wenn zwei Nachbarn existieren müssen beide verneupft sein!

```

Anhang N Quelltexte

```
{
    int count = maxTry-1;
    int pos = longInRange0(S.asCount()-2)+1;
    for(; count > 0; count--){
        if ( S.canChangeAt(pos) &&
            !isnull(S.asAt(pos)) &&
            S.asListAt(pos)->length() != 0 // avoid empty positions
        )
        {
            break;
        }
        pos = longInRange0(S.asCount()-2)+1;
    }
    if(count <= 0) return -1;
    if(!isnull(S.asAt(pos))){
        ASSERT(S.asListAt(pos)->length() != 0);
        if (S.asListAt(pos)->length() == 0)
            ASSERT_HOOK();
        return pos;
    }
    else {
        return -1;
    }
}
// choose a new AS Assignment (iterator)
// PRECOND:
// don't test ACQUIRE
ContextList::Iterator RandomOptimizerBASE::chooseIterAt(const State &S, int pos, int maxTry)
{
    // iterator in der liste der Cx
    int iterCount;
    ContextList::Iterator cxIter;
    do {
        count--;
        iterCount = longInRange0(S.asListAt(pos)->length()-1);
        cxIter = S.asListAt(pos)->last();
        for(int i=0; cxIter & i < iterCount; i++, --cxIter);
    } while(!(!cxIter || isnull(*cxIter)) && count>0);
    return cxIter;
}
// bilde eine Zufallszuordnung, (ACTION)
// das Ergebnis muss nicht linkbar sein.
// Ausgangszustand: irgendein State
void RandomOptimizerBASE::randomizeAt(int seqIndex)
{
    DEBUGTracedFrame;
    State &S = *stateAt(seqIndex);
    ActiveAccount active(S.asCount());
    CHECK_LOCK;
    S.clearState();

    const double initialMinAssignedCxCountPct = 0.70;
    int minAssignedCxCount = int(S.asCount() * initialMinAssignedCxCountPct);
    for(int n=0; n<minAssignedCxCount; n++){
        // position im protein
        int pos = chooseEmptyAS(S);
        return;
    }
    S.clearAS(pos,true);

    // iterator in der liste der Cx
    ContextList::Iterator iter = chooseIterAt(S,pos);
    if(iter){
        return;
    }
    // weise den Cx zu
    ContextLock curASLock;
    curASLock.acquire(const_cast<Context::Handle>(*iter));
}
}
}
// setze *iter an diese Position
currASLock.release(true);
S.pushASAt(pos,*iter);
S.pushChange(pos);
evaluateLocalAt(seqIndex,pos);
}
}
// wendet einen Abschnitt eines StateDiffs auf einen State an.
// danach werden die neuen Cx erworben und dann alle alten Positionen,
// die im Konflikt mit den neuen stehen, verworfen.
// Qualität und Locks im Endergebnis sind gültig.(im Gegensatz zum applyDiff)
void RandomOptimizerBASE::applyDiffRangeAt(
    int destIndex,
    const StateDiff & diff,
    // erste Aktion im Diff
    int start,
    // Anzahl der Folgeaktionen. (-1 == alle in diff)
    int len,
    // SWAP's are different from ADD and SUB operations,
    // not all CX combinations are swappable.
    // So, SWAP's are not always applicable.
    // If they are applied as two sub and two add CX Operations!
    // NO1 as an exchange.CX!
    bool apply_swaps /* = true */
)
{
    DEBUGTracedFrame;
    State &destS1 = *stateAt(destIndex);
    State &srcS2 = *diff.end(); // state where ADD operations lead to.

    #ifdef CROSSOVERAt_DEBUG_CALCULATION_0
        cout << "applyDiffRangeAt ("
            << destIndex+1 << " range[" << start << ", " << len << "]" << endl;
        << " destS1=" << destS1 usability() << endl;
    #endif
    crossoverAt_DEBUG_CALCULATION_0
    checkLockState checkStateIs(&destS1);
    start = max(start,0);
    if( len < 0 ){
        len = diff.top()-start;
    }
    int end = min(start + len, diff.top());
    intVec isLocked(destS1.asCount()); isLocked.fill(0);
    ActiveAccount active(destS1.asCount());
    // unlock all AS
    for(int pos=0; pos<destS1.asCount(); pos++){
        if(!isnull(destS1.asAt(pos))
            && destS1.asLockAt(pos).release(false);
        )
        // first run, apply SUB and op sub part of SWAP and ADD
        for(int k = start; k<end; ++k){
            if(diff.at(k).operation() == action_rec::op_sub
                || diff.at(k).operation() == action_rec::top_add
            )
            {
                destS1.clearAS( diff.at(k).position() );
            }
            else if(apply_swaps && diff.at(k).operation() == action_rec::op_swap)
            {
                destS1.clearAS( diff.at(k).position() );
                destS1.clearAS( diff.at(k).position2() );
            }
        }
        // second run, apply all additions/swaps
        for(int k = start; k<end; ++k){
            // nur die ADD/SUB/SWAP operationen
            // tragen zu den Veränderungen bei, Links
            // entstehen implizit durch die anderen
            // Operationen.
            if(isLinkOp(diff.at(k))) continue;
        }
    }
}
```

```

if (diff.at(k).operation() == action_rec::op_add)
{
    int pos = diff.at(k).position();
    Context::Handle cx;
    if ( pos >= 1 ) {
        cx = srcS2.asAt(pos);
    }
    destS1.putASat(pos, cx);
    isLocked[pos] = 1;
    if (!isNull(cx)) {
        ASSERT(destS1.asfikt(pos) ->contains(cx));
        destS1.pushChange(pos);
        evaluateLocalat(destIndex1, pos);
        if (! (destS1.asfikt(pos).isAcquired()) ) {
            islocked[pos] = -1;
        }
    }
}
else if (apply_swaps && diff.at(k).operation() == action_rec::op_swap)
{
    int pos2 = diff.at(k).position2();
    Context::Handle cx;
    if ( pos2 >= 1 ) {
        cx = srcS2.asAt(pos2);
    }
    destS1.putASat(pos2, cx);
    isLocked[pos2] = 1;
    if (!isNull(cx)) {
        ASSERT(destS1.asfikt(pos2) ->contains(cx));
        destS1.pushChange(pos2);
        evaluateLocalat(destIndex1, pos2);
        if (! (destS1.asfikt(pos2).isAcquired()) ) {
            islocked[pos2] = -1;
        }
    }
}

int pos = diff.at(k).position();
if ( pos >= 1 ) {
    cx = srcS2.asAt(pos);
}
else {
    cx = Context::Handle();
}
destS1.putASat(pos, cx);
isLocked[pos] = 1;
if (!isNull(cx)) {
    ASSERT(destS1.asfikt(pos) ->contains(cx));
    destS1.pushChange(pos);
    evaluateLocalat(destIndex1, pos);
    if (! (destS1.asfikt(pos).isAcquired()) ) {
        islocked[pos] = -1;
    }
}

}

// remove all cx in destS, which collide (can not be simultaneously locked)
// with one of the copied cx
// re-acquire all CX outside copied range
bool repair = true;
for (int pos=0; pos<isLocked.count(); pos++){
    if (isLocked[pos])
        continue;
    if (isNull(destS1.asAt(pos)))
        continue;
    if (!destS1.asfikt(pos).acquire(const_cast<ImagePointer<Context> &&(destS1.asAt(pos)))){
        destS1.clearAS(pos);
        islocked[pos] = -2;
    }
}

if ( repair ) {
    for (int pos=0; pos<isLocked.count(); pos++){
        if (islocked[pos] != -2)
            continue;
        // wenn es nur einen CX für diese Position gibt
        // und schon einer erfolglos getestet wurde
        // kann es keinen weiteren CX geben der erworben werden kann.
        if (destS1.asfikt(pos) ->length() <= 1)

```

```

        continue;
        // versuche die Position zu reparieren.
        // 1) erst die cx der Eltern.
        // 2) die cx der anderen States im Pool (absteigend).
        // 3) zufällig ODER (impl) bleibt leer.
        ContextLock cxlock;
        bool found = false;
        // versuche 1) Elternteil 1
        Context::Handle currCX = diff.start() ->asAt(pos);
        if (cxlock.acquire(currCX))
        {
            found = true;
        }
        currCX = diff.end() ->asAt(pos);
        if (!found && cxlock.acquire(currCX))
        {
            found = true;
        }
        for (int sIndex = 0; !found && sIndex<sequenceCount(); ++sIndex) {
            currCX = stateAt(sIndex) ->asAt(pos);
            if (!found && cxlock.acquire(currCX))
            {
                found = true;
            }
            if (found) {
                cxlock.release(true);
                destS1.putASat(pos, currCX); destS1.pushChange(pos);
                evaluateLocalat(destIndex1, pos);
            }
        }
    } // end ActiveAccount

    // should we protect the new areas ?
    // foreach pos (firstPos .. firstPos+len-1)
    // dest1.loopCountAt(pos) = dest.epoch() + protect_period;
    // dest2.loopCountAt(pos) = dest.epoch() + protect_period;
    //
    #ifdef crossOverAt_DEBUG_CALCULATION_Q
        cout << "applyDiffRangeAt ("
            <<< " destIndex1+1 << ", range[" << start << ", " << len<< "] <<---- "
            <<< " Q(dest1) = " << destS1.quality()
            <<< endl;
        #endif
        crossOverAt_DEBUG_CALCULATION_Q
    };
    // generates two new States by merging two other States
    // kopiere Stuecke aus srcS1 und srcS2 nach destS1 und destS2
    // die Stuecke sind ( [ 8 .. asCount()/3 ] AS lang)
    void RandomOptimizerBASE::crossOverAt(
        int destIndex1, int destIndex2, // dest [ 0 .. sequenceCount()-1 ]
        int srcIndex1, int srcIndex2, // src [-1 .. sequenceCount()-1 ]
    ) {
        DEBUGTracedFrame;
        ASSERT( destIndex1 != srcIndex1 );
        ASSERT( destIndex1 != srcIndex2 );
        ASSERT( destIndex2 != srcIndex1 );
        ASSERT( destIndex2 != srcIndex2 );
        State &destS1 = *stateAt(destIndex1);
        State &destS2 = *stateAt(destIndex2);
        State &srcS1 = *stateAt(srcIndex1);
        State &srcS2 = *stateAt(srcIndex2);
        #ifdef crossOverAt_DEBUG_CALCULATION_Q
            cout << "SEQUENCES["
                <<< " destIndex1+1 << ", " << destIndex2+1 << ", "
                <<< " srcIndex1+1 << ", " << srcIndex2+1
                <<< " ] singleCrossOverAt
                <<< " srcS1.quality() << " " Q(src2) = " << srcS2.quality() << endl;
        #endif
        crossOverAt_DEBUG_CALCULATION_Q
        CheckLockState checkState1( &srcS1 );
        CheckLockState checkState2( &srcS2 );
        CheckLockState checkState1d( &destS1 );
        CheckLockState checkState2d( &destS2 );
    }

```

```

// waehle einen len Positionen langen Bereich aus
const int minLen = 8;
int maxlen = int(destS1.asCount()/3);
int len = longInRange0(maxLen-minLen,maxLen);
int firstPos = longInRange0(destS1.asCount()-len-1,
    // kopiere inv-range 1 von seq4 -> seq1
    // kopiere range 1 von seq3 -> seq1
    // kopiere range 1 von seq4 -> seq2
    {ActiveAccount active(destS1.asCount());
    destS1.copyFrom(srcS2);
    crossCopyRange(destIndex1, srcIndex1, firstPos, len);
    }
};

// should we protect the new areas ?
// foreach pos (firstPos .. firstPos+len-1)
// dest1.loopCountAt(pos) = dest.epoch() + protect_period;
// dest2.loopCountAt(pos) = dest.epoch() + protect_period;
//

#ifdef CROSSOVERAT_DEBUG_CALCULATION_Q
cout << "singleCrossover ("
    << destIndex1 << ", " << srcIndex2+1 << " " << " "
    << srcIndex1+1 << ", " << srcIndex2+1
    << ") range("<<firstPos+1<<" ... "<<firstPos+len
    <<") Q(dest1)!="<< destS1.quality()<<" Q(dest2)!="<< destS2.quality()
    << endl;
#endif

#ifdef CROSSOVERAT_DEBUG_CALCULATION_Q
};
// generates one of two new States by merging two other States
// kopiere Stuecke aus srcS1 und srcS2 nach destS1 und destS2
// die Stuecke sind ( [0 .. account()/3] AS lang)
//
// generateFirst:
// true generates dest1, false generates dest2
void RandomOptimizerABSE::singleCrossoverAt(
    int destIndex1,
    int srcIndex1, int srcIndex2,
    bool generateFirst // true generate dest1 , false generates dest2
)
{
    DEBUGTracedFrame;
    ASSERT( destIndex1 != srcIndex1 );
    ASSERT( destIndex1 != srcIndex2 );

    State &destS1 = *stateAt(destIndex1);
    State &destS2 = *stateAt(destIndex1);
    State &srcS1 = *stateAt(srcIndex1);
    State &srcS2 = *stateAt(srcIndex2);

    #ifdef CROSSOVERAT_DEBUG_CALCULATION_Q
    cout << "SEQUENCES["
        << destIndex1+1 <<" <<" << " "
        << srcIndex1+1 <<" <<" << srcIndex2+1
        << " ] singleCrossoverAt("<<generateFirst?"FIRST":"SECOND")<<" Q(src1)="
        << " srcS1.quality()<<" Q(src2)="<< srcS2.quality()<< endl;
    #endif
    crossOverAt_DEBUG_CALCULATION_Q
    CheckLockState checkState1( srcS1 );
    CheckLockState checkState2( srcS2 );
    CheckLockState checkState1d( destS1 );
    CheckLockState checkState2d( destS2 );
    // waehle einen len Positionen langen Bereich aus
    const int minLen = 8;
    int maxlen = int(destS1.asCount()/3);
    int len = longInRange0(maxLen-minLen,maxLen);
    int firstPos = longInRange0(destS1.asCount()-len-1,

    #if generateFirst
        // kopiere inv-range 1 von seq4 -> seq1
        // kopiere range 1 von seq3 -> seq1
        // kopiere range 1 von seq4 -> seq2
        {ActiveAccount active(destS1.asCount());
        destS1.copyFrom(srcS2);
        crossCopyRange(destIndex1, srcIndex1, firstPos, len);
        }
    #endif
    // should the new areas be protected?
    // foreach pos (firstPos .. firstPos+len-1)
    // dest1.loopCountAt(pos) = dest.epoch() + protect_period;
    // dest2.loopCountAt(pos) = dest.epoch() + protect_period;
    //

    #ifdef CROSSOVERAT_DEBUG_CALCULATION_Q
    cout << "singleCrossover("<<generateFirst?"FIRST":"SECOND")<<" ("
        << destIndex1+1 <<" <<" << " "
        << srcIndex1+1 << ", " << srcIndex2+1
        << ") range("<<firstPos+1<<" ... "<<firstPos+len<<" Q(dest1)="
        << destS1.quality()
        << endl;
    #endif
    crossOverAt_DEBUG_CALCULATION_Q
    };
//
// Kopiere den Bereich [srcPos .. srcPos+len-1] nach [destPos .. destPos+len-1]
// innerhalb einer Sequenz
// achtet auf ueberlappte Bereiche
//
// Ueberlappung:
// iter++
// ueberlappt, dest vor src
// iter++
// ueberlappt, src vor dest
// iter--
//

void RandomOptimizerABSE::copyRange(int seqIndex, int destPos, int srcPos, int len)
{
    DEBUGTracedFrame;
    if(srcPos == destPos) return ;
    State &S = *stateAt(seqIndex);
    ActiveAccount active(S.asCount());
    ASSERT( srcPos+len-1 < S.asCount() );
    ASSERT( destPos+len-1 < S.asCount() );

    Context::Handle cxl;
    int pos1;
    int pos2;
    if(destPos>srcPos && srcPos+len-1 >= destPos) {
        // src startet vor dest && ueberlappt
        for(pos1=srcPos+len-1, pos2=destPos+len-1; pos1>=srcPos; pos1--, pos2--){
            cxl = S.asAt(pos1);
            cx2 = S.asAt(pos2);
            S.clearAS(pos1, true);
            S.clearAS(pos2, true);
            if(!isNull(cxl)){
                ASSERT(S.asListAt(pos2)->contains(cxl));
                S.putASAt(pos2,cxl);
            }
            S.pushChange(pos2);
            evaluateLocalat(seqIndex, pos2);
            if(!isNull(cx2) && S.asListAt(pos1)->contains(cx2)){
                S.putASAt(pos1,cx2);
                S.pushChange(pos1);
                evaluateLocalat(seqIndex, pos1);
            }
        }
    }
    else {
        // getrennte Bereiche oder dest vor src
        for(pos1=srcPos, pos2=destPos; pos1<srcPos+len; pos1++, pos2++){
            cxl = S.asAt(pos1);
            cx2 = S.asAt(pos2);
            S.clearAS(pos1, true);
            S.clearAS(pos2, true);
            if(!isNull(cxl)){
                ASSERT(S.asListAt(pos2)->contains(cxl));
            }
        }
    }
}

```

```
        S.putASAt(pos2, cx1); S.pushChange(pos2);
        evaluateLocalAt(seqIndex, pos2);
    }
    if (!isNull(cx2) && S.asListAt(pos1)->contains(cx2)) {
        S.putASAt(pos1, cx2); S.pushChange(pos1);
        evaluateLocalAt(seqIndex, pos1);
    }
}

// copy one range of AS from one state to another.
void RandomOptimizerBASE::crossCopyRange(
    int destIndex, // dest [0 .. sequenceCount()-1]
    int srcIndex, // src [-1 .. sequenceCount()-1]
    int firstAS, int len)
{
    DEBUGTracedFrame;
    State &destS = *itsArena(destIndex);
    State &srcS = *stateAt(srcIndex);
    // clear range [firstAS .. firstAS + len - 1] in seq (seqIndex)
    // in srcS active account
    ActiveAccount active(destS.account());
    for(int pos=0; pos<len; pos++) {
        destS.clearAS(pos+firstAS);
    }
    // unlock all AS
    for(int pos=0; pos<destS.asCount(); pos++) {
        if(!isNull(destS.asAt(pos)))
            destS.asLockAt(pos).release(false); // unlock, don't drop resource
    }
    // copy all cx from srcS
    intVec ids(len);
    for(int pos=0; pos<len; pos++) {
        const Context::Handle& cx = srcS.asAt(pos+firstAS);
        destS.putASAt(pos+firstAS, cx); destS.pushChange(pos+firstAS);
        if(!isNull(cx)) {
            evaluateLocalAt(destIndex, pos+firstAS);
        }
        ids[pos] = destS.basepeakIDat(pos+firstAS);
    }
    // remove all cx in destS which collide (can not be simultaneously locked)
    // with one of the copied cx
    // re-acquire all CX outside copied range
    for(int pos=0; pos<destS.asCount(); pos++) {
        if(pos==firstAS) {
            pos = firstAS+len-1; // exclude range [firstAS .. firstAS+len-1]
            continue;
        }
        if(!destS.asLockAt(pos).acquire(const_cast<IMngPointer<Context> &>(destS.asAt(pos)))) {
            destS.clearAS(pos);
        }
    }
}

// return: index of as position or -1
int RandomOptimizerBASE::findFirstMatch(
    int seqIndex, // anfang des Bereichs (as index)
    int firstPos, // laenge des Bereichs (= linkLen+1)
    int asLen, // laenge des Bereichs (= linkLen+1)
    const intVec< destPos, // alternative positionen (other as index)
    int posLen // genutzte laenge in destPos
)
{
    DEBUGTracedFrame;
    State &S = *stateAt(seqIndex);
    ActiveAccount active(S.account());
    for(int as = 0; as < posLen; as++) {
        // suche die erste position im alternativen Bereich
        // die nicht den entsprechenden cx im src Bereich
        // aufnehmen kann.
        int p = 0;
    }
}
```

```
        if(destPos[as1+asLen] >= S.asCount()) continue;
        for((p < asLen &&
             S.asListAt(destPos[as1+p])->contains(S.asAt(firstPos+p)))) {
            ASSET!(destPos[as1+p] < S.asCount());
            if(p+1 < asLen) {
                ASSERT(!isNull(S.asAt(firstPos+p+1)));
                ASSERT(!isNull(S.asListAt(destPos[as1+p+1])));
            }
        }
        if(p==asLen) {
            // success: range [destPos[as1] .. destPos[as1+asLen-1]]
            // can take all cx from range [firstPos .. firstPos+asLen-1]
            for(int i = 0; i < asLen; i++) {
                ASSERT(!isNull(S.asAt(firstPos+i)));
                ASSERT(S.asListAt(destPos[as1+i])->length() != 0);
                ASSERT(S.asListAt(destPos[as1+i])->contains(S.asAt(firstPos+i)));
            }
            return as;
        }
        return -1;
    }
}

void RandomOptimizerBASE::localEvaluateInRange(
    int seqIndex,
    int firstPos, int len)
{
    DEBUGTracedFrame;
    State &S = *stateAt(seqIndex);
    ActiveAccount active(S.account());
    int pos1;
    for(pos1=firstPos; pos1<firstPos+len; pos1++) {
        S.pushChange(pos1);
        evaluateLocalAt(seqIndex, pos1);
    }
}

// evaluate the quality of one AS
// will not care about link quality
void RandomOptimizerBASE::evaluateLocalAt(int seqIndex, int pos)
{
    DEBUGTracedFrame;
    State &S = *stateAt(seqIndex);
    ActiveAccount active(S.account());
    if (SHOW_Q TRACE) cout << "SEQ " << seqIndex << " AS " << pos << " q:" << S.quality();
    if (SHOW_Q TRACE) cout << "ASQ" << S.asQat(pos);
    // all local Q was removed from S.quality()
    // now rebuild it
    S.validAS().set(pos, false);
    S.asQat(pos) = Fuzzy::False;
    if (!isNull(S.asAt(pos))) {
        if (S.asLockAt(pos).acquire(const_cast<IMngPointer<Context> &>(S.asAt(pos)))) {
            S.validAS().set(pos, true);
        } else {
            ERRMESSAGE(err);
            err << warning;
            // all "loops" << itsLoopCount
            // << "action" << action2Name(itsLastAction[seqIndex])
            // can not acquire CX at AS index="<pos
            // in SEQ#" <<seqIndex+1
            // << som;
            S.clearAS(pos);
            return;
        }
        usedIndependent()->calculator()->calculateASQat(S, pos);
        if (SHOW_Q TRACE) cout << " expQ=" << S.asQat(pos);
        S.quality() += S.asQat(pos);
        if (SHOW_Q TRACE) cout << " addExpQ ";
    }
}
```

```

}
    if (SHOW_Q_TRACE) cout << " Q:=" << S.quality() << endl;
}
//: evaluateAt:
// re-evaluates a partially evaluated Sequence.
// recalculates all CX with changedAS set.
// recalculation initiates calculation of neighbour links.
// Q := sum (AS quality) + sum (link quality) + sum (AS is acquired & locked)
// Thus, unacquirable CX receive a additional malus.
void RandomOptimizerBASE::evaluateAt(int seqIndex)
{
    DEBUGTracedFrame;
    State &S = *stateAt(seqIndex);
    ActiveAccount active(S.account());
    // nothing to do for AS
    #ifdef DEBUG_CALCULATION_Q
    cout << "evaluateAt(" << seqIndex << ") START: " << endl;
    cout << "evaluateAt(" << seqIndex << ") vorher Q:=" << S.quality() << endl;
    cout << "evaluateAt(" << seqIndex << ") changedAS=[";
    for (int i = 0; i < S.changeCount(); ++i) {
        int asIndex = S.changeAt(i);
        cout << asIndex << ", ";
    }
    cout << "]" << endl;
    #endif
    // collect all links that have to be recalculated.
    // scores all changed links on stack.
    intVec linkStack(S.changeCount()*2); linkStack.fill(-1);
    for (int i = 0; i < S.changeCount(); ++i) {
        int asIndex = S.changeAt(i);
        // links werden und rechten Link
        #ifdef DEBUG_CALCULATION_Q
        cout << "evaluateAt(" << seqIndex << ") For AS index=" << asIndex
        cout << " AS [" << asIndex << "]&Amp;at(asIndex)? assigned: " << endl;
        if (!isNull(S.asAt(asIndex))) {
            cout << ", (" << (!isNull(S.asAt(asIndex))) ? "" : "NONE") << " locked";
            cout << endl;
        }
        #endif
        int linkIndex=asIndex-1;
        if (asIndex==0) linkIndex++; // AS nr 0 has no left side link
        for (linkIndex=asIndex; linkIndex<S.linkCount(); ++linkIndex) {
            if (linkIndex==S.linkCount()) continue; // last link has i-1 link only
            if (SHOW_Q_TRACE) cout << "SEQ " << seqIndex << " linkNr=" << linkIndex;
            if (SHOW_Q_TRACE) cout << " seqQ=" << S.quality();
            if (SHOW_Q_TRACE) cout << " asQ=" << S.linkQAt(linkIndex) << endl;
            if (S.changedAS().get(linkIndex) || S.changedAS().get(linkIndex-1)) {
                // sum valid AS getting link
                if (S.validAS().get(linkIndex)
                    || linkIndex-1 < S.asCount() && S.validAS().get(linkIndex-1)) {
                    #ifdef DEBUG_CALCULATION_Q
                    cout << "evaluateAt(" << seqIndex << ") push link index " << linkIndex << endl;
                    #endif
                    // push on stack if not already in stack
                    int n;
                    for (n=0; n<linkStackTop && linkStack[n] != linkIndex; n++);
                    if (n==linkStackTop) linkStack[linkStackTop++] = linkIndex;
                }
            }
        }
        // recalculate and build all Links on the linkStack
    #ifdef DEBUG_CALCULATION_Q
    cout << "evaluateAt(" << seqIndex << ") vor link Q:=" << S.quality() << endl;
    #endif
    for (int n=0; n<linkStackTop; n++) {
        int linkIndex = linkStack[n];
    #ifdef DEBUG_CALCULATION_Q
    cout << "evaluateAt(" << seqIndex << ") calculate link at index "
    cout << linkIndex << endl;
    #endif
        usedIndependent() -> calculator() -> calculateLinkQAt ( S, linkIndex );
    }
    #ifdef DEBUG_CALCULATION_Q
    cout << "evaluateAt(" << seqIndex << ") nachher Q:=" << S.quality() << endl;
    cout << "evaluateAt(" << seqIndex << ") FINISH: " << endl;
    #endif
    if (SHOW_Q_TRACE) cout << " Q:=" << S.quality();
    if (SHOW_Q_TRACE) cout << endl;
    while ( S.changeCount() ) {
        S.declareUnchanged(S.popChange());
    }
    if (SHOW_Q_TRACE) cout << " Q:=" << S.quality() << endl;
}
// berechne itsBestQ ... neu
void RandomOptimizerBASE::rebuildBestQ(void) {
    rebuildQAt(-1); // -1 == maps to itsBest
    if (itsLastQ > itsBest->quality()) {
        itsLastQ = 0; // ::evaluateArena will recalculate it
    }
}
//: berechne die Qualitaet voellig neu.
// verlaesst sich nur auf itsAS
void RandomOptimizerBASE::rebuildQAt(int seqIndex)
{
    DEBUGTracedFrame;
    State &S = *stateAt(seqIndex);
    ActiveAccount active(S.account());
    // setze alles ausser itsAS auf 0
    if (SHOW_Q_TRACE) cout << "rebuildQ (" << seqIndex << ") " << endl;
    Context: iHandle cXNULL;
    S.usedCount() = 0; // requires explicit handling of usedCount !
    for (int pos = 0; pos < S.asCount(); ++pos) {
        Context: Handle cx = S.asAt(pos); // backup data
        S.clearAS(pos, true); // cleanup
        S.putASAt(pos, cx); // put it back
        if (!isNull(cx)) S.usedCount()++; // putASAt(...) does not cover this case. s.o.
    }
    S.quality() = 0.0;
    S.clearChanges();
    for (int pos = 0; pos < S.asCount(); ++pos) {
        S.pushChange(pos);
        evaluateLocalAt(seqIndex, pos);
    }
    evaluateAt(seqIndex);
}
//: decide which objects should stay
void RandomOptimizerBASE::evaluateArena(void) {
    // noch wissen wir nicht ob eine Verbesserung eingetreten ist.
    itsImproved = false;
}
//: pool RandomOptimizerBASE::abbruchbedingung (void)
{
    itsLoopCount++;
    #ifdef WITH_TIME_STAMPS
    debugTraceLoop();
    #endif // WITH_TIME_STAMPS
    if ( itsTC -<= 0 ) {
        // if some time (loops) has elapsed,
        // check system time,
        itsTC = itsTimeC();
        itsTime = time(NULL);
        if ( itsTime - itsCurTime ) {
            exitReason("max time reached");
            return true;
        }
    }
    if ( curTime - itsDumpTimeInterval >= itsNextDumpTime ) {
        exitReason("dump interval reached");
        dumpState();
        if ( itsNextDumpTime < itsDumpTimeInterval ) {
        } else {
            itsNextDumpTime = curTime;
            while ( curTime - itsDumpTimeInterval >= itsNextDumpTime )
                itsNextDumpTime += itsDumpTimeInterval;
        }
    }
}

```



```

        }
        mid /=sequenceCount();
        const char sep = ',';
        (debugStream() << "TRACE Q"<<sep<< itsLoopCount << sep
        << itsLastQ << sep
        << itsLastQ << sep
        << itsLastQ << sep
        << itsBest->quality() << sep
        << itsBestASCount << sep
        << itsBestLinkCount << sep;
        (debugStream() << best << sep << (mid) << sep << worst << sep;
        (debugStream() << endl;
        } else {
            debugTraceEachQ();
        }
        return *this;
    };
};
////////////////////////////////////////////////////////////////////////////////////////////////////////////////////////////////////
RandomOptimizerBASE& RandomOptimizerBASE::debugTraceEachQ(void){
    const char sep = ',';
    (debugStream() << "TRACE EACHQ"<<sep<< itsLoopCount << sep;
    double bestQ=0.0, worstQ=itsArena[0]->quality(), midQ=0.0;
    for(int i=0; i<sequenceCount(); i++){
        double currQ =itsArena[i]->quality();
        if(bestQ<currQ) bestQ = currQ;
        if(worstQ>currQ)worstQ = currQ;
        midQ += currQ;
    }
    midQ /=sequenceCount();
    (debugStream() << itsLastQ << sep
    << itsBest->quality() << sep
    << itsBestASCount << sep
    << itsBestLinkCount << sep;
    (debugStream() << bestQ << sep
    << midQ << sep
    << worstQ << sep
    << *,* << sep;
    for(int i=0; i<sequenceCount(); i++){
        (debugStream() << itsArena[i]->quality() << sep;
    }
    (debugStream() << "\n";
    }
    return *this;
};
////////////////////////////////////////////////////////////////////////////////////////////////////////////////////////////////////
// gib alle Statistikwerte vor Beendigung des Optis aus
RandomOptimizerBASE& RandomOptimizerBASE::debugTraceFinalPopulationStat(void)
{
    // ensure that debugTracePopulationStat() will dump if it is enabled.
    itsPopulationLoop = 0;
    debugTracePopulationStat();
    return *this;
};
////////////////////////////////////////////////////////////////////////////////////////////////////////////////////////////////////
// Statistik der benutzten CX in der Population
RandomOptimizerBASE& RandomOptimizerBASE::debugTracePopulationUsedCX(void)
{
    // UNUSED FUNCTION !!! ( dead code )
    const int len = sequenceCount();
    itsAtomDist.fill(0);
    itsQDist.fill(0);
    for(int i=0; i< len; ++i){
        for(int n = -1; n< len; ++n){
            if( n < i ) {

```



```

# else // WITH VETOPERIOD
  << " (undef)"
# endif // WITH VETOPERIOD
<< " removeNotLocked-<<(itsCanRemoveNotLocked?"true": "false")
<< " removeNotLinked-<<(itsCanRemoveNotLinked?"true": "false")
<< " canFillEmpty?"<<(itsCanFillEmpty?"true": "false")
<< " initialMinAssignedCxCountPct="<<initialMinAssignedCxCountPct
<< endl;
}
return *this;
}
// ~~~~~
RandomOptimizerBASE& RandomOptimizerBASE::debugTraceDumps (void)
{
  const char sep = ',';
  if (itsDebugFlags[traceDumps]){
    debugStream()
    << "TRACE_DUMPS:"
    << now
    << sep << itsLoopCount
    << endl;
  }
  return *this;
}
// ~~~~~ WITH TIME STAMPS
// Produziert eine Zeitmarke alle 1000 Loops
// Die Zeitmessung ist relativ zur Startzeit in Sekunden
RandomOptimizerBASE& RandomOptimizerBASE::debugTraceLoop (void)
{
  const char sep = ',';
  static long lastCount = 0L;
  static time_t timeStart = 0;
  // setze die startzeit neu wenn der loop zähler zurückgesetzt wurde.
  if (loopCount() < lastCount) lastCount = 0;
  if (lastCount == 0 || lastCount+10<loopCount()){
    static time_t lastTime = 0;
    time_t curTime = time(NULL);
    if (lastTime == curTime)
      return *this;
    if (lastCount == 0) timeStart=curTime;
    lastTime=time(NULL);
    debugStream()
    << "TRACE_TIME"
    << sep << itsLoopCount
    << sep << (curTime-timeStart)
    << endl;
    lastCount = loopCount();
  }
  return *this;
}
# endif // WITH TIME STAMPS
# include "Array.cc"
template class Array<ImgObject<State> >;

```

N.7 Quelltext: RandomOpti_Calc.h

```

# ifndef _RANDOM_OPTI_CALC_H
# define _RANDOM_OPTI_CALC_H 1
//
// $Id: RandomOpti_Calc.h,v 1.7 2000/05/29 16:23:56 va Exp $
# include "macros.h"
# include "Matrix.h"
# include "long.Vec.h"
# include "Context.h"

```

```

class StateIndependent;
class State;
# include "LinkBuilder.h"
// : internal data structures of caching variants.
struct LinkCacheRec;
struct CollisionCacheRec;
class RandomOpti_Calc_noCache;
class RandomOpti_Calc_withCache;
class RandomOpti_Calc_withCache_AS;
# include "AVLMap.h"
// ~~~~~
struct LinkCacheRec
{
public:
  long linkeCXID;
  long rechteCXID;
  Context::Handle linkH;
  double q;
private:
  friend class RandomOpti_Calc_noCache;
  friend class RandomOpti_Calc_withCache;
  friend class RandomOpti_Calc_withCache_AS;
// ~~~~~ INTERNAL DATA !
  LinkCacheRec * toEnd;
  LinkCacheRec * toFront;
public:
  friend inline bool operator==(const LinkCacheRec& , const LinkCacheRec&);
  friend inline bool operator!=(const LinkCacheRec& , const LinkCacheRec&);
  class CompareIndex; friend class CompareIndex ;
  class CompareIndex: public CompOp< LinkCacheRec* >
  {
  public:
    typedef LinkCacheRec* key_t;
    virtual int operator() (const key_t& x, const key_t& y) const
    {
      if ( x->linkeCXID!=y->linkeCXID )
        return x->linkeCXID - y->linkeCXID;
      if ( x->rechteCXID!=y->rechteCXID )
        return x->rechteCXID - y->rechteCXID;
      return ( 0 );
    }
  };
  class EqualIndex; friend class EqualIndex ;
  class EqualIndex: public CompOp< LinkCacheRec* >
  {
  public:
    typedef LinkCacheRec* key_t;
    virtual int operator() (const key_t& x, const key_t& y) const
    {
      return (x->linkeCXID==y->linkeCXID && x->rechteCXID==y->rechteCXID);
    }
  };
  inline bool operator==(const LinkCacheRec& A , const LinkCacheRec& B)
  {
  // die Indices reichen aus um einen record zu identifizieren.
  return ( A.linkeCXID == B.linkeCXID &&
    A.rechteCXID == B.rechteCXID );
  }
  inline bool operator!=(const LinkCacheRec&A , const LinkCacheRec&B)
  {
  return !(A==B);
  }
  struct CollisionCacheRec
  {
  long linkeCXID;
  long rechteCXID;
  bool val;
  };

```

```

// timing info
long lastUsed;
};

////////////////////////////////////
class RandomOpti_Calc_noCache : public RCOBJECT
{
public:
    typedef RandomOpti_Calc_noCache Self;
    typedef ImgObject<Self> Handle;

    static Handle make(const MyString& className);
    //////////////////////////////////
    virtual ~RandomOpti_Calc_noCache(void);
    //////////////////////////////////
    RandomOpti_Calc_noCache(void);
    //////////////////////////////////
    //: resize and removes all previously cached information
    virtual void clearCache(void);
    //: call this once before you use the cache.
    virtual void setupCache(StateIndependent *indep);
    virtual void calculateASQat(State& s, int pos);
    virtual void calculateLinkQat(State& s, int pos);
    //: successfull/missed lookups in link cache
    inline double linkCacheHitRatio(void) const;

protected:
    Self& linkBuilder(const MyString& name);
    const MyString& linkBuilder(void) const;

    //: calculate link q factor, part of setupCache
    void setupLinkQ(void);
    inline double linkQFactorAt(int lPos) const;

    inline long& cacheASUsage(int cx);
    inline long& cacheASBadUse(int cx);
    inline long& cacheASGoodUse(int cx);

    Context::Handle buildLink(State &s, int leftAS );

    //: handle the AS Collision Cache
    virtual int lookupCollision(CollisionCacheRec& rec);
    virtual void storeCollision( CollisionCacheRec& rec);
    //: handle the link CX Cache
    int lookupLink(LinkCacheRec& rec);
    void storeLink( LinkCacheRec& rec );

    //////////////////////////////////
    //: independent data
    StateIndependent *itsIndependent;

    //: defines how to build a link
    MyString itsLinkBuilderName;
    LinkBuilder::Handle itsLinkBuilder;

    //: default ascii context writer
    ImgPointer<ContextWriter> itsDebugContextWriter;

    //: quality factor for link calculation
    // len = linkCount
    doubleVec itsLinkQFactor;

    //////////////////////////////////
    //: maintain statistics for link cache lookups ?
    static const bool profileCacheHits = true;
    //: count of link cache lookups
    long itsLinkCacheHits;
    //: count of successful cache hits
    long itsLinkCacheHitSuccess;
    //: count of failed lookups
    long itsLinkCacheHitFail;
};

//: count of recycled records
long itsLinkCacheHitDrop;
//: count of dropped && recalculated records
long itsLinkCacheHitRecalc;
};

////////////////////////////////////
class RandomOpti_Calc_withCache : public RandomOpti_Calc_noCache
{
public:
    virtual ~RandomOpti_Calc_withCache(void);
    RandomOpti_Calc_withCache(void);
    //: resize and removes all previously cached information
    virtual void clearCache(void);
    //: call this once before you use the cache.
    virtual void setupCache(StateIndependent *indep);

    //: as q cache
    virtual void calculateASQat(State& s, int pos);
    virtual void calculateLinkQat(State& s, int pos);

protected:
    inline long& cacheASUsage(int cx);
    inline long& cacheASBadUse(int cx);
    inline long& cacheASGoodUse(int cx);

    //: caches the as type independent quality information
    // c21w.hf will use ~ 3.5 MB.
    // (6400 x 148 x (sizeof(float)==4)/1024/1024)
    inline float& cacheASQ(int cx, int pos);
    //: call this once before you use the cache.
    virtual void setupASQCache(void);
    //: sets up the as Q Cache
    virtual void setupLinkQCache(void);

    //: is the link Q cache usable ?
    // c21w.hf will use ~ 151 MB if you set this true.
    // (6400 x 6400 x (sizeof(float)==4)/1024/1024)
    // compile time flag
    static const bool useLinkCache = true;
    //: lookup link quality,
    // returns -1 if not yet calculated & linkable
    // 0 if calculated and not linkable
    // > 0 if calculated and a valid link
    inline float& cacheLinkQ(int cx_left, int cx_right);
    //: handle the link CX cache
    int lookupLink(LinkCacheRec& rec);
    void storeLink(LinkCacheRec& rec);
    //: how many additional link records should stay in link cache?
    // additional records are all link records that do not refer
    float o an current link cache overhead;
    //: max number of items in link cache.
    // uses env var LINK_CACHE_SIZE if set.
    int itsLinkCacheMaxCount;

    // internal data of link cache
    // preconditions:
    // *1) link cache much larger than ( count of states * protein )
    // *2) active entries are regularly updated before they reach the end.
    // (done in rebuildQ and every other time they are looked up)
    //: start of double linked list,
    // entries with higher lastUsed are inserted at Front
    // removable items are at itsEnd, ( or NULL if empty )
    LinkCacheRec * itsFront; // to youngest
    LinkCacheRec * itsEnd; // to oldest (recycled in next insert)
    //: number of used items in itsLinkCache
    int itsLinkCacheCurrCount;

    //
    // Array<LinkCacheRec> itsLinkCache;
    // AVLMap<LinkCacheRec*, LinkCacheRec*> itsLinksByIndex;
    //: is the collision cache usable ?
    // c21w.hf will use ~ 37 MB if you set this true.
    // (6400 x 6400 x (sizeof(float)==1)/1024/1024)
    // only 18.8 MB with an upper triangular matrix!
    // (which is NOT the current implementation ! )
};

```



```

void RandomOpti_Calc_withCache::setupLinkQCache(void)
{
    //:größe des link caches
    //:nebenbedingungen
    // Die Anzahl der Records im Cache ist größer als die Anzahl
    // der gleichzeitig berechneten Links!
    // d.h. minimum = states * (as count + 1)
    //////////////////////////////////////
    // c21w merged == 6500 as cx
    // --> 6500 * 6500 == 42.250.000 links possible
    // 20 (states) * 150 (protein) == 3000
    //////////////////////////////////////
    // CHY (merged.allPeaks, net2)
    // mögliche links 31.292.863 100.0%
    // berechnete 476.859 1.5%
    // nicht null 103.246 0.3%
    // Abschätzung c21w.hf 0.3% == 195.000
    //////////////////////////////////////
    const int setupCache = 20;
    itsLinkCacheMaxCount = int(
        * itsIndependent->protein()->length()
        * setupCache * (1.0+itsLinkCacheOverhead))+1;

    itsLinkCacheMaxCount = max(
        itsLinkCacheMaxCount,
        itsIndependent->allCXList()->length());
    itsLinkCacheMaxCount = itsLinkCacheMaxCount;

    // LINK_CACHE_SIZE
    const char* p = getenv("LINK_CACHE_SIZE");
    int sz = int(itsLinkCacheMaxCount * 0.003);
    if ( p != NULL ) {
        int t = atoi(p);
        if ( t > sz ) {
            sz=t;
        }
    }
    itsLinkCacheMaxCount = sz;

    itsLinkCacheCurrCount = 0;

    itsLinkCache.resize( itsLinkCacheMaxCount );
}

void RandomOpti_Calc_withCache_AS::setupLinkQCache(void)
{
    /* EMPTY */
}

void RandomOpti_Calc_withCache::setupASQCache(void)
{
    const ResourceName rightTypePrefix
    = itsIndependent->getRightTypePrefix();
    const ResourceName leftTypePrefix
    = itsIndependent->getLeftTypePrefix();

    ResourceNameVec leftResName( max_aminol );
    ResourceNameVec rightResName( max_aminol );
    for( int i=0; i< max_aminol; i++) {
        stringstream namestream1;
        namestream1 << leftTypePrefix << name3char(i) <<ends;
        leftResName[i] =ResourceName(namestream1.str());
        stringstream namestream2;
        namestream2 << rightTypePrefix << name3char(i) <<ends;
        rightResName[i] =ResourceName(namestream2.str());
    }

    const ContextList &allCXList = *itsIndependent->allCXList();
    Protein6 protein = *itsIndependent->protein();
    const doubleVec &asQFactor = itsIndependent->asQFactor();
    doubleVec ltype( max_aminol );

```

```

doubleVec rtype( max_aminol );
const Resource *r;
for(ContextList::Iterator iter=allCXList.first(); iter; ++iter) {
    Context& cx = **iter;
    ltype.fill(0);
    rtype.fill(0);
    for(int i=0; i< max_aminol; i++) {
        r = cx.LookUp(leftResName[i]);
        if(r==NULL || r->isType(ltype[i])) {
            if(r != NULL) {
                ERMESSAGE(err);
                err << error << "wrong type of resource in context\n"
                << "name=\\" <<stream << leftResName[i]<<"\n";
                err << eom;
            }
            ltype[i] = Fuzzy::False;
        }
        r = cx.LookUp(rightResName[i]);
        if(r==NULL || r->isType(rtype[i])) {
            if(r != NULL) {
                ERMESSAGE(err);
                err << error << "wrong type of resource in context\n"
                << "name=\\" <<stream << rightResName[i] <<"\n";
                err << eom;
            }
            rtype[i] = Fuzzy::False;
        }
    }
    double prevStructQ = 0.0;
    for(int pos = 0; pos<protein.length(); pos++){
        double currQ = 0.0;
        if( pos == 0 ||
            itsIndependent->asExpressionAt(pos-1)!=itsIndependent->asExpressionAt(pos) )
        {
            prevStructQ =
            convert_cast<Fuzzy::zahl_t>(itsIndependent->asExpressionAt(pos)->eval(cx));
            currQ += prevStructQ;
            if(pos>0)
                currQ += rtype[protein[pos-1].aa()];
            currQ += rtype[protein[pos].aa()];
            cacheASQ(cx.id(),pos) = currQ * asQFactor[pos];
        }
    }
}

////////////////////////////////////
void RandomOpti_Calc_withCache::calculateASQAt(State& S, int pos)
{
    S.asQAt(pos) = cacheASQ( S.asAt(pos)->id(), pos );
}

void RandomOpti_Calc_noCache::calculateASQAt(State& S, int pos)
{
    S.buildASQAt(pos); // changeASAT invalidated it
    S.asQAt(pos) = itsIndependent->asQFactorAt(pos) * (
        convert_cast<Fuzzy::zahl_t>(S.asExpressionAt(pos)->eval(*S.asAt(pos)))
        + convert_cast<Fuzzy::zahl_t>(S.asTypeQAt(pos)));
}

////////////////////////////////////
Context::Handle RandomOpti_Calc_noCache::buildLink(State &S, int leftAS
{
    // State &S = *stateAt(seqindex);
    Context::Handle linkH;
    ASSERT( leftAS >= 0 && leftAS < S.asCount()-1 );
    { ActiveAccount active(S.asCount());
        S.clearLink(leftAS,true);
        if( isNull(S.asAt(leftAS)) || isNull(S.asAt(leftAS+1)) )
            return linkH;
        linkH = Context::Handle( new Context(itsIndependent->globalCx(),
            Context::Containing, IINIT);
            linkH = itsLinkBuilder->buildLink(S.asAt(leftAS), S.asAt(leftAS+1),
                itsIndependent->globalCx());
    }
}

```



```

}
} *linkH = firstResult; // restore old value
}
HLS = ConditionState::Handle(); // destroy State, releases all resources
}
if (patternNeedsUnlockedAS) {
// resignirAS
if (leftLocked) S.asLockAt(leftAS).acquire();
if (rightLocked) S.asLockAt(leftAS+1).acquire();
}
} // active Account
}
linkH = S.linkAt(leftAS);
return linkH;
};
// is this collision in cache?
// return:
// 0 no,
// 1 yes
int RandomOpti_Calc_noCache::lookupLink(LinkCacheRec& UNUSED(rec))
{
return 0; // not found ( no cache ! )
}
void RandomOpti_Calc_noCache::storeLink( LinkCacheRec& UNUSED(rec) )
{
/* EMPTY */
};
// is this Link in cache?
// return:
// 0 no, build link and calculate quality.
// 1 yes, partially, copy quality from record, build link if q > 0
// 2 yes, complete, copy quality and link from record
int RandomOpti_Calc_withCache::lookupLink(LinkCacheRec& rec)
{
if ( !useLinkCache )
return 0;
if ( profileCacheHits ) {
itsLinkCacheHits++;
const long f = MAXINT/100;
itsLinkCacheHits /= f;
itsLinkCacheHitSuccess /= f;
itsLinkCacheHitFail /= f;
itsLinkCacheHitDrop /= f;
itsLinkCacheHitRecalc /= f;
};
} // try to find the quality for this record.
rec.q = itsLinkCache[rec.linkeCXID][rec.rechteCXID];
if (rec.q==0) {
// this combination was already calculated
// and will not give a valid link cx! (and is therefore not cached)
// simulate a full record.
rec.linkH = Context::Handle(); // assign NULL
return 2; // simulate a full record.
} else if ( rec.q > 0.0 ) {
if ( ! itslinksByIndex.contains(rec) ) {
if ( profileCacheHits ) itsLinkCacheHitRecalc++;
if ( profileCacheHits ) itsLinkCacheHitFail++;
return 1; // link was calculated, but is no longer in cache
}
if ( profileCacheHits ) itsLinkCacheHitSuccess ++;
rec.linkH = itsLinksByIndex[&rec]->linkH;
return 2; // q found in cache, and link cx is available.
}
if ( profileCacheHits ) itsLinkCacheHitFail++;
return 0; // nothing is known about this index combination.
}
void RandomOpti_Calc_withCache::storeLink( LinkCacheRec& rec )
{
if ( !useLinkCache )

```

```

if ( linkH->length(Context::local) == 0 )
return Context::Handle();
#ifdef BUILD_LINK_SHOW_LINES
itDebugContext::fInfo>setStream(&cerr);
cerr << "role LINK fro>AS index "<< leftAS << " to AS index "<< leftAS+1 << "\n";
cerr << "#####Context for AS("<< leftAS << " is:\n";
itDebugContext::write(*S.asAt(leftAS));
cerr << "#####Context for AS("< leftAS << " is:\n";
itDebugContext::write(*S.asAt(leftAS+1));
cerr << "#####Context for AS("< leftAS+1 << " is:\n";
itDebugContext::write(*S.asAt(leftAS+1));
itDebugContext::write(*linkH);
#endif // BUILD_LINK_SHOW_LINES
// muss das Master die Peaks erwerben koennen?
testPattern JA erwirbt HNC0 Beider Seiten. verhindert link zu sich selbst
const bool patternNeedsUnlockedAS = true;
bool leftLocked = false;
bool rightLocked = false;
if (patternNeedsUnlockedAS) {
leftLocked = S.asLockAt(leftAS).isAcquired();
rightLocked = S.asLockAt(leftAS+1).isAcquired();
// temporary unlock left and right AS, pattern wants to lock them
if (leftLocked) S.asLockAt(leftAS).release(false);
if (rightLocked) S.asLockAt(leftAS+1).release(false);
}
// test this Context
ASSERT(!isNull(S.linkPatternAt(leftAS)));
ConditionState::Handle HLS = S.linkPatternAt(leftAS)->createState();
ASSERT(!isNull(HLS));
// resources sind schon gebunden.
S.linkPatternAt(leftAS)->BindResources(*linkH,*HLS,Condition::findNext);
if (HLS->isExhausted()) {
//linkH
S.linkAt(leftAS) = Context::Handle();
} else {
S.linkAt(leftAS) = linkH;
}
}
}
#ifdef BUILD_LINK_SHOW_LINES
cerr << "link is "<< ( S.linkAt(leftAS) != NULL ? "NULL" : "not null", "NULL" ) << endl;
cerr << ( S.linkAt(leftAS) != NULL ? "AKZEPTIERT" : "nicht AKZEPTIERT" ) << endl;
#endif // BUILD_LINK_SHOW_LINES
// teste ob das Muster nur einen Zustand zurueckgibt.
// testCount: restrict the number of tests
// -1 == test forever
static int testCount = 0;
if ( testCount > 0 || testCount == -1 ) && !HLS->isExhausted() {
testCount --;
Context firstResult(*linkH); // makes a backup
while(HLS->isExhausted()) {
S.linkPatternAt(leftAS)->BindResources(*linkH,*HLS,Condition::findNext);
// pattern can return more then one state
// ok as long as all state are the same
if ( stableComp(firstResult,*linkH) != 0 ) {
// pattern is wrong.
// it returns (calculates) more then one state,
// therefore we need a different algorithm. bad.
// document it and die.
ErrorMessage err;
err << fatal << "While building a unique Link from AS("<< leftAS+1
<< " to AS("<< leftAS+2 << " the link pattern returns "
(calculates) more then one state. This is illegal.\n";
itDebugContext::Writer->setStream(&err.stream());
err << "#####Context for AS("<< leftAS << " is:\n";
itDebugContext::Writer->write(*S.asAt(leftAS));
err << "#####Context for AS("<< leftAS+1 << " is:\n";
itDebugContext::Writer->write(*S.asAt(leftAS+1));
err << "#####Context link is:\n";
itDebugContext::Writer->write(firstResult);
err << "#####Second Context link is:\n";
itDebugContext::Writer->write(*linkH);
err << "#####Link Pattern is:\n";
S.linkPatternAt(leftAS)->print(err.stream());
}
}
Anhang N Quelltexte

```



```

AVLMAP_INSTANCE( LinkCacheRec*, LinkCacheRec* );
AVLMAP_COMPOP_INSTANCES(LinkCacheRec* );
#include "Array.cc"
template class Array<LinkCacheRec>;

N.9 Quelltext: RandomOpti_StateIndependent.h

#ifndef RANDOM_OPTI_STATE_INDEPENDENT_H
#define RANDOM_OPTI_STATE_INDEPENDENT_H 1
// $Id: RandomOpti_StateIndependent.h,v 1.15 2000/06/12 12:08:51 va Exp $
//
//
// #define DONT_TRACE 1
#include "traceObj.h"
#include "StatArray.h"
#include "Array.h"
#include "macros.h"
#include "Debug.h"
#include <time.h>
#include <math.h>
#include "ErrMsg.h"
#include "iomanip.h"
#include "iostream.h"
#include "fstream.h"
#include "Cache.h"
#include "cmdargs.h"
#include "getOptions.h"
#include "protein.h"
#include "peakPool.h"
#include "peaKnet.h"
#include "Context.h"
#include "ContextList.h"
#include "ContextLock.h"
#include "ContextOp.h"
#include "Expression.h"
#include "myManip.h"
#include "parseBlock.h"
#include "parseContextList.h"
#include "parseCondition.h"
#include "RandomOpti_Calc.h"
#define WITH_VETOPERIOD 1
#undef WITH_VETOPERIOD
// suche in Bereich [0.. x.count()] nach dem Element == key
//
// return:
// gefunden: index des Elements
// nicht gefunden:
// int binsearch(const intVec &, int key);
//
// suche in Bereich [0..len] nach dem Element == key
//
// return:
// gefunden: index des Elements
// nicht gefunden: -1
int binsearchInRange(const intVec &, int key, int len);
//
//
// class StateIndependent;
class State;
class RandomOptimizer;
class RandomOpti_Calc noCache;
//
// class StateIndependent : public RCOBJECT
{
#endif
<< linkIndex << " += " << S.linkQAt(linkIndex) << endl;
S.validLink().set(linkIndex, true);
// update Q
S.quality() += S.linkQAt(linkIndex);
if (SHOW_Q_TRACE) cout << " add Q ";
}
}
//
//
//
void RandomOpti_Calc_withCache::calculateLinkQAt(State& S, int linkIndex)
{
// epsilon: quality threshold below which a link is considered to be invalid
// even if it builds as a non-empty cx
const float epsilon = 1e-4;
LinkCacheRec rec;
rec.linkCXID = S.asAt(linkIndex)->id();
rec.rectCXID = S.asAt(linkIndex+1)->id();
// ist der Link schon im cache?
int found = lookupLink(rec);
if (found == 2) {
// rec.q == 0 is handled here !
ASSERT( (rec.q != 0.0 && !isnull(rec.linkH)) || (rec.q == 0.0 && isnull(rec.linkH)) );
// nothing to do
} else {
// found == 1, (found == 0)
ASSERT( found == 0 || (found == 1 && rec.q != 0.0) );
rec.linkH = buildLink(S, linkIndex);
// S.linkAt(linkIndex) = rec.linkH; // already done in buildLink!
// case found == 1:
// q > 0 ==> a valid cx must exist!
// { valid == not NULL with at least one item
if (found == 0) {
// calculate a link for the first time
if (isnull(rec.linkH) || rec.linkH->length(Context::local)==0) {
// empty CX or NULL, ==> q = 0
rec.q = 0.0;
} else {
rec.q =
rec.q =
convert_cast<Fuzzy::zahl_t>(S.linkExpressionAt(linkIndex)->eval(*S.linkAt(linkIndex)));
if (SHOW_Q_TRACE) cout << " expQ=" << rec.q;
if (rec.q > epsilon)
rec.q = 4.0 * rec.q + Fuzzy::True;
else // q very small,
rec.q = 0.0;
}
}
if ( rec.q == 0.0 ) {
rec.linkH = Context::Handle(); // assign NULL
}
storeLink( rec );
}
S.linkQAt(linkIndex) = rec.q * linkQfactorAt(linkIndex);
S.linkAt(linkIndex) = rec.linkH;
if ( rec.q > 0 ) {
// DEBUG CALCULATION_Q
cout << "calculateLinkQ("<<seqIndex<<") add link "
<< linkIndex << " += " << S.linkQAt(linkIndex) << endl;
}
}
//
// S.validLink().set(linkIndex, true);
// update Q
S.quality() += S.linkQAt(linkIndex);
if (SHOW_Q_TRACE) cout << " add Q ";
}
}
//
//
//
void RandomOpti_Calc_withCache::calculateLinkQAt( State& S, int linkIndex)
{
//
//
//
// RandomOpti_Calc_noCache::calculateLinkQAt( S, linkIndex );
//
//
//
// #include "CompOp.cc"
// #include "Map.cc"
// #include "AVLMap.cc"
Anhang N Quelltexte
}

```

```

public:
typedef IMngObject< StateIndependent > Handle;
-StateIndependent(void);
StateIndependent(void);

StateIndependent& globalCx(Context::Handle & g);
StateIndependent& protein(Protein::Handle & p);
StateIndependent& asListAt(int seqIndex, ContextList::Handle& p);
StateIndependent& asExpressionAt(int seqIndex, Expression<Fuzzy>::Handle& p);
StateIndependent& linkExpressionAt(int seqIndex, Expression<Fuzzy>::Handle& p);
StateIndependent& linkPatternAt(int seqIndex, Condition::Handle& p);
StateIndependent& endTime(time_t p);
StateIndependent& dumpTimeInterval(time_t p);
StateIndependent& maxLoop(long p);

StateIndependent& allCkListName(const MyString & name);
const MyString& allCkListName(void) const;
ContextList::Handle allCkList(void) const;

Context::Handle globalCx(void) const;
Protein::Handle protein(void) const;
ContextList::Handle asListAt(int seqIndex) const;
Expression<Fuzzy>::Handle asExpressionAt(int seqIndex) const;
Expression<Fuzzy>::Handle linkExpressionAt(int seqIndex) const;
Condition::Handle linkPatternAt(int seqIndex) const;
const ResourceName& basePeakResName(void) const;
const ResourceName& getLeftResName(int seqIndex) const;
const ResourceName& getRightResName(int seqIndex) const;
const DList-Peak::Handle& baseList(void) const;
int extractBaseID(const Context::Handle & cx) const;
const intVec& asForPeak(int id);
const intVec& peakAtAS(int id);

inline double asAQFactorAt(int lPos);
inline double asQFactorAt(int lPos) const;
inline const doubleVec& asQFactor(void) const;

RandomOpti_Calc_noCache::Handle calculator(void);

StateIndependent& calculatorName(const MyString& name);
const MyString& calculatorName(void) const;

StateIndependent& getLeftTypeNamePrefix(const MyString& prefix);
const MyString& getLeftTypeNamePrefix(void) const;
StateIndependent& setRightTypeNamePrefix(const MyString& prefix);
const MyString& getRightTypeNamePrefix(void) const;

static StateIndependent::Handle loadState(
const MyString& name,
PeakPool::Handle poolH,
PeakNet::Handle net,
Context::Handle globalContext);

protected:
void resize(int l);

StateIndependent& buildResName(void);

virtual void setupAS2PeakMapping(void);
virtual void setupCXIDs(void);
virtual void setupCache(void);

int loadAllCkList(
PeakPool::Handle poolH,
PeakNet::Handle PN);

//: das Protein zu dem die Sequenzen gehoeren (used in dump)
MyString itsProteinName;

//: das Protein zu dem die Sequenzen gehoeren
Protein::Handle itsProtein;

//: the "all" List if it is defined
ContextList::Handle itsAllCkList;
MyString itsAllCkListName;

//: Liste der moeglichen AS Contexte je AS
// length== protein.length()
Array< ContextList::Handle > itsASList;

//: Expressions for evaluation of AS Contexts
// length== protein.length()
Array< Expression<Fuzzy>::Handle > itsASExpr;

//: Expressions for evaluation of Link Contexts
// length== protein.length()-1
Array< Expression<Fuzzy>::Handle > itsLinkExpr;

//: ConditionList for Creation of Link Contexts
// length == protein.length()-1
Array< Condition::Handle > itsLinkCond;

//: AminoAcid dependend resource name
// of the acid type eg: "GRIE #1 Ala"
Array< ResourceName > itsLeftResName;
Array< ResourceName > itsRightResName;

//: as q factor
doubleVec itsAQFactor;

//: Name des Basispeaks
//: Name der Basisliste
//: die Basisliste
DList-Peak::Handle itsBaseList;

//: ID's der Basispeaks je Aminosaeure
// possible Peaks for AS(index+1) = itsPeaksForAS[index]
// index == asID -1
// contents == peakIndex
Array< intVec > itsPeaksForAS;

//: Nummer der Aminosaeure je Basispeak
// possible AS for Peak(index+1) = itsASForPeak(index)
// index == peakID-1
// contents == asIndex
Array< intVec > itsASForPeak;

//: flag, setting of cx ids, initially false.
bool itsCXIDsAreSetup;

//: prefix for AS type names "GRIE #1" | "GRIE #2"
// left == i-1, right == i
MyString itsLeftTypeNamePrefix;
MyString itsRightTypeNamePrefix;
Context::Handle itsGlobalCx;

//: calculation & caching
MyString itsCalculatorName;
RandomOpti_Calc_noCache::Handle itsCalc;

};

//: calculation & caching
MyString itsCalculatorName;
RandomOpti_Calc_noCache::Handle itsCalc;

//: das Protein zu dem die Sequenzen gehoeren (used in dump)
MyString itsProteinName;

//: das Protein zu dem die Sequenzen gehoeren
Protein::Handle itsProtein;

//: the "all" List if it is defined
ContextList::Handle itsAllCkList;
MyString itsAllCkListName;

void clearLink(int linkIndex, bool bookKeeping = true);
void clearAS(int asIndex, bool bookKeeping = true);
void clearLink(int linkIndex, bool bookKeeping = true);

```

```

inline Protein::Handle protein(void) const;
inline ContextList::Handle asListAt(int seqIndex) const;
inline Expression::Handle asExpressionAt(int seqIndex) const;
inline Expression::Handle linkExpressionAt(int seqIndex) const;
inline Condition::Handle linkPatternAt(int seqIndex) const;

State& useIndependent(StateIndependent::Handle p);
inline StateIndependent::Handle useIndependent(void) const;

//: get the Account Object.
inline Account& account(void);
//: overall quality.
inline double quality(void);
inline double quality(void) const;
//: count of assigned AS
inline int& usedCount(void);
inline int usedCount(void) const;
//: nr of Links
inline int usedLinks(void) const;

inline const Context::Handle& asAt(int i) const;
inline void putASAt(int i, const Context::Handle& cx);
inline double asOAT(int i);
inline double asOAT(int i) const;
inline double asTypeOAT(int i);
inline double asTypeOAT(int i) const;

void buildASTypeOAT(int i);
double extractASTypeOAT(int i, const ResourceName& name);

inline ContextLock& asLockAt(int i);
inline StatArray<bool>& validAS(void);
inline StatArray<bool>& changedAS(void);
inline MyString asFlagsAt(int i) const;
inline int basePeakIDAt(int i) const;

inline Context::Handle& linkAt(int i);
inline double linkOAT(int i);
inline StatArray<bool>& validLink(void);
inline MyString linkFlagsAt(int i) const;

inline long loopCountAt(int i) const;
inline long& loopCountAt(int i);
inline bool canChangeAt(int i) const;

inline State& nextEpoch(void);
inline int getTTL(void) const;
inline State& setEpoch(long e);

//: insert another Change
inline State& pushChange(int pos);
//: remove top level change ( does not reset itsChangedAS )
inline int popChange(void);
//: how many changes are there?
inline int changeCount(void) const;
//: show position of the N th change
inline int changeAt(int i) const;
//: position of the top level change
inline int topChange(void) const;
//: drop changes at POS (include itsChangedAS)
inline State& declareUnchanged(int pos);
//: drop all changes (include itsChangedAS)
inline State& clearChanges(void);

void baseIDInRange(intVec& baseID, int firstPos, int len);
int countLinksInRange(int firstPos, int len);

bool createState (istream& is, StateIndependent::Handle& ind,
const PeakPool& Pool, const PeakNet& Net
);
void dumpState (ostream& os);

bool OK(void) const; // state invariant
};

//: how many loops should an already altered AS stay unchanged
static long vetoPeriod(void);
static void vetoPeriod(long v);
private:
//: die unveraenderlichen Variablen
StateIndependent::Handle itsIndependent;
//: Account -- die Account gruppe.
Account Account;
//: time to live [ 0 ... ( min start = 5 ... 50 ) ]
int itsTTL;
//: overall quality
double itsQ;
//: stack of changed AS positions (len == protein.count())
intVec itsChangedASStack;
//: count of used elements in itsChangedASStack
int itsChangedASCount;
//: nr of assigned positions
int itsAssignedCount;
//: zugewiesener AS Context je AS, oder NULL
//: length== protein.length()
Array< Context::Handle > itsAS;
//: lock object for the assigned AS
Array< ContextLock > itsASLock;
//: Quality of AS Contexts
doubleAVEC itsASQ;
//: Quality of type match
doubleAVEC itsTypeQ;
//: AS wurde veraendert und noch nicht neu bewertet.
//: gesetzt wenn AS(pos) neu zugewiesen.
StatArray<bool> itsChangedAS; // (itsProtein.count());
//: gueltige AS, (pos ist belegt, erwerbbar, bewertbar Q>0)
StatArray<bool> itsValidAS; // (itsProtein.count());

//: zugewiesener Link Context je AS, oder NULL
//: length= protein.length()-1
//: der Cx fuer AS(i)->AS(i+1) ist in itsLink[i]
Array< Context::Handle > itsLink;
//: Quality of link Contexts
//: length= protein.length()-1
doubleAVEC itsLinkQ;
//: gueltiger Link, (pos ist belegt (AS[pos] und AS[pos+1] sind gueltig (s.o.)),
//: bewertbar Q>0)
StatArray<bool> itsValidLink; // (itsProtein.count()-1);

//: loop count, independent from opti loop count
//: this is internal data !! do not publish!!
long itsCount;

//: loop count of the last successful change.
//: internal data, synchronous with itsCount!
longVec itsLoopCount;
//: how long is a subsequent change of an already changed AS forbidden.
static long theVetoPeriod;

bool asOK(void) const;
bool linkOK(void) const;
};

inline StateIndependent& stateIndependent::protein(

```

```

    Protein::Handle& p)
{
    itsProtein = p;
    resize(p->length());
    buildResName();
    return *this;
};
inline StateIndependent& StateIndependent::allCXLListName(
    const MyString& name)
{
    itsAllCXLListName = name;
    return *this;
};
inline StateIndependent& StateIndependent::asListAt(
    int seqIndex, ContextList::Handle& p)
{
    itsASList[seqIndex] = p;
    return *this;
};
inline StateIndependent& StateIndependent::asExpressionAt(
    int seqIndex, Expression<Fuzzy>::Handle& p)
{
    itsASExpr[seqIndex] = p;
    return *this;
};
inline StateIndependent& StateIndependent::linkExpressionAt(
    int seqIndex, Expression<Fuzzy>::Handle& p)
{
    return *this;
};
inline StateIndependent& StateIndependent::linkPatternAt(
    int seqIndex, Condition::Handle& p)
{
    return *this;
};
inline StateIndependent& StateIndependent::globalCx(
    Context::Handle& g)
{
    itsGlobalCx = g; return *this;
};

inline Protein::Handle StateIndependent::protein(void) const {
    return itsProtein;
};
inline const MyString& StateIndependent::allCXLListName(void) const {
    return itsAllCXLListName;
};
inline ContextList::Handle StateIndependent::allCXLList(void) const {
    return itsAllCXLList;
};
inline ContextList::Handle StateIndependent::asListAt(int seqIndex) const {
    return itsASList[seqIndex];
};
inline Expression<Fuzzy>::Handle StateIndependent::asExpressionAt(int seqIndex) const {
    return itsASExpr[seqIndex];
};
inline Expression<Fuzzy>::Handle StateIndependent::linkExpressionAt(int seqIndex) const {
    return itsLinkExpr[seqIndex];
};
inline Condition::Handle StateIndependent::linkPatternAt(int seqIndex) const {
    return itsLinkCond[seqIndex];
};
inline Context::Handle StateIndependent::globalCx(void) const {
    return itsGlobalCx;
};
inline const DLList<Peak::Handle>& StateIndependent::baseList(void) const
{
    return itsBaseList;
};
inline const ResourceName& StateIndependent::basePeakResName(void) const {
    return itsBasePeakResName;
};
inline const ResourceName& StateIndependent::getLeftResName(int seqIndex) const {
    return itsLeftResName[seqIndex];
};
inline const ResourceName& StateIndependent::getRightResName(int seqIndex) const {
    return itsRightResName[seqIndex];
};
inline StateIndependent& StateIndependent::getLeftTypePrefix(
    const MyString& prefix)
{
    itsLeftTypePrefix = prefix;
    return *this;
};
inline const MyString& StateIndependent::getLeftTypePrefix(void) const
{
    return itsLeftTypePrefix;
};
inline StateIndependent& StateIndependent::setRightTypePrefix(
    const MyString& prefix)
{
    itsRightTypePrefix = prefix;
    return *this;
};
inline const MyString& StateIndependent::getRightTypePrefix(void) const
{
    return itsRightTypePrefix;
};
inline const intVec& StateIndependent::asForPeak(int id) {
    return itsASForPeak[id];
};
inline const intVec& StateIndependent::peakAtAS(int id) {
    return itsPeaksForAS[id];
};
///////////////////////////////////////////////////////////////////
inline double& StateIndependent::setASQFactorAt(int pos) {
    return itsASQFactor[pos];
};
inline double& StateIndependent::asQFactorAt(int pos) const {
    return itsASQFactor[pos];
};
inline const doubleVec& StateIndependent::asQFactor(void) const {
    return itsASQFactor;
};
///////////////////////////////////////////////////////////////////
inline const MyString& StateIndependent::calculatorName(void) const {
    return itsCalculatorName;
};
///////////////////////////////////////////////////////////////////
inline RandomOpti_Calc_noCache::Handle StateIndependent::calculator(void) {
    return itsCalc;
};
///////////////////////////////////////////////////////////////////
// STATE
// STATE
// STATE
inline long State::vetoPeriod(void) {
    return theVetoPeriod;
};
// STATE
inline void State::vetoPeriod(long i) {
    theVetoPeriod = i;
};
// STATE
inline State::State(void) {
    activateCount = 1; // used in lock dtor!
    for (int i = 0; i < itsASLock.count(); i++) {
        itsASLock[i].release(true);
    }
};
inline StateIndependent::Handle State::usedIndependent(void) const {
    return itsIndependent;
};
inline int State::getITTL(void) const {
    return itsITTL;
};

```

```

};
inline State& setTTL(int ttl){
    itsTTL = ttl;
    return *this;
};
inline State& setEpoch(Long e){
    if (itsCount-e) itsCount = e; return *this;
};
inline Account& State::account(void){
    return itsAccount;
};
inline int State::asCount(void) const
{
    return itsAS.count();
}
inline int State::linkCount(void) const
{
    return itsLink.count();
}
inline long State::loopCountAt(int i) const{
    return itsLoopCount[i];
};
inline long& State::loopCountAt(int i){
    return itsLoopCount[i];
};
inline State& State::pushChange( int pos ){
    if (itsChangedAS.set(pos)){
        itsChangedAS.set(itsChangedASCount++ = pos;
        itsChangedAS.set(p,true);
        loopCountAt(pos) = itsCount;
    }
    return *this;
}
inline int State::popChange( void ){
    return itsChangedASStack[--itsChangedASCount];
}
int State::changeCount(void) const {
    return itsChangedASCount ;
}
inline int State::changeAt(int i) const{
    return itsChangedASStack[i];
}
inline int State::topChange(void) const{
    return itsChangedASStack[itsChangedASCount -1];
}
inline State& State::declareChanged(int pos){
    itsChangedAS.set(pos,false); return *this;
};
inline State& State::clearChanges(void){
    itsChangedAS.fill(false);
    itsChangedASCount = 0;
    return *this;
}
inline int State::usedCount(void) const{
    return itsAssignedCount;
}
inline int& State::usedCount(void){
    return itsAssignedCount;
}
inline int State::usedLinks(void) const{
    return itsValidLink.countValid();
};
#ifdef WITH_VETOPERIOD
inline bool State::canChangeAt(int i) const{
    return (loopCountAt(i)+State::vetoperiod() <= itsCount);
}
#else
inline bool State::canChangeAt(int UNUSED(i)) const{
    return true;
}
#endif // WITH_VETOPERIOD
inline State& State::nextEpoch(void){

```

Anhang N Quelltexte

```

    itsCount++; itsTTL--; return *this;
}
inline const Context::Handle& State::asAt(int i) const{
    return itsAS[i];
}
inline void State::putASAt(int i, const Context::Handle& cx){
    if (!isNull(itsAS[i])) usedCount()--;
    itsAS[i].const_cas<ImagePointer<Context>> &>(cx);
    if (!isNull(cx)) usedCount()++;
}
inline double& State::asQAT(int i){
    return itsASQ[i];
}
inline double State::asQAT(int i) const{
    return itsASQ[i];
}
inline double& State::asTypeQAT(int i){
    return itsTypeQ[i];
}
inline double State::asTypeQAT(int i) const{
    return itsTypeQ[i];
}
inline int State::basePeakIDAt(int i) const
{
    return usedIndependent()-extractBaseID(asAt(i));
}
inline Context::Handle& State::linkAt(int i){
    return itsLink[i];
}
inline double& State::linkQAT(int i){
    return itsLinkQ[i];
}
inline ContextLock& State::asLockAt(int i){
    return itsASLock[i];
}
inline StateArray<bool>& State::validAS(void){
    return itsValidAS;
}
inline StateArray<bool>& State::validLink(void){
    return itsValidLink;
}
inline StateArray<bool>& State::changedAS(void){
    return itsChangedAS;
}
inline double& State::quality(void)
{
    return itsQ;
}
inline double State::quality(void) const
{
    return itsQ;
}
inline Protein::Handle State::protein( void) const{
    return itsIndependent->protein();
}
inline ContextList::Handle State::asListAt(int asIndex) const{
    return itsIndependent->asListAt(asIndex);
}
inline Expression<Fuzzy>::Handle State::asExpressionAt(int asIndex) const{
    return itsIndependent->asExpressionAt(asIndex);
}
inline Expression<Fuzzy>::Handle State::linkExpressionAt(int asIndex) const{
    return itsIndependent->linkExpressionAt(asIndex);
}
inline Condition::Handle State::linkPatternAt(int asIndex) const{
    return itsIndependent->linkPatternAt(asIndex);
}
#endif // __RANDOM_OPTI_STATE_INDEPENDENT_H__

```

N.10 Quelltext: RandomOpti_StateIndependent.cc

```

//
// $Id: RandomOpti_StateIndependent.cc,v 1.21 2000/06/12 12:08:51 va Exp $

```

```

int l = 0; int r = len-1; int k=0;
if(x.count(<l) return -1;
if(key<x[0]) return -1;
if( notFoundReturnsNeg ) {
    if(key>x[len-1]) return -1;
} else {
    if(key>x[len-1]) return len;
}
while(r>=l){
    k = (l+r)/2;
if(key<x[k]) r = k-1; else l = k+1;
if(key==x[k]) return (k);
};

if( notFoundReturnsNeg ) {
    if(x[k]!=key) return -1;
} else {
    if(x[k]>key) return k-1;
    if(x[k]<key) return k;
}
return 0;
};
//suche in Bereich [0..len] nach dem Element == key
//
//return: gefunden: index des Elements
// nicht gefunden: -1
int binsearchrange(const intVec &x, int key, int len) {
    const bool notFoundReturnsNeg = true;
    int l = 0; int r = len-1; int k=0;
if(x.count(<l) return -1;
if(key<x[0]) return -1;
if( notFoundReturnsNeg ) {
    if(key>x[len-1]) return -1;
} else {
    if(key>x[len-1]) return len;
}
while(r>=l){
    k = (l+r)/2;
if(key<x[k]) r = k-1; else l = k+1;
if(key==x[k]) return (k);
};

if( notFoundReturnsNeg ) {
    if(x[k]!=key) return -1;
} else {
    if(x[k]>key) return k-1;
    if(x[k]<key) return k;
}
return 0;
};
//enable all print statements for calculation tracing
// #define DEBUG_CALCULATION_Q 1
// enable the detection of wrong calculations
// #define DEBUG_TRACE_CALCULATION_Q 1
// #define DEBUG_MOVELINKRANGE_DEBUG_CALCULATION_Q
// #define CROSSOVERAL_DEBUG_CALCULATION_Q 1
// #define SHOW_Q_TRACE false
// #define DEBUG_CALCULATION_Q
// #define MOVELINKRANGE_DEBUG_CALCULATION_Q 1
// #define CROSSOVERAL_DEBUG_CALCULATION_Q 1
// #endif // DEBUG_CALCULATION_Q

// #define DONT_IGNORE_MISSING_AS_TYPE
// #define DONT_IGNORE_MISSING_AS_TYPE
// #define FOLLOW_BEST_Q 1
// #define FOLLOW_MID_Q 1

// #define EVALUATE_ARENA_REPLACE_ALL_BELOW_THRESHOLD
// #define EVALUATE_ARENA_REPLACE_ALL_BELOW_THRESHOLD

int binsearch(const intVec &x, int key){
    const bool notFoundReturnsNeg = true;
    int len = x.count();

```



```

}
if (!block4.close()) ERROR_RECOVER;
}
////////// POST READ initialization
{
// start -- post read block covers variables,
// makes goto in ERROR_RECOVER easier
// (less ctor-dtor handling for compiler)
S.resize(S.protein()-length());
S.buildResName();

const char dirSep = '/';
ContextList::Handle allH(new ContextList, IINIT);
if (hasAllCx){
S.allCxListName(allCxListName);
if (S.loadAllCxList( poolH, FN )){
return StateIndependent::Handle();
};
allH = S.allCxList();
}
ContextList& allCx = *allH;
S.itsAllCxList

for(int i=0; i<asLen; i++){
// handle special names like {empty, leer, all}
if( asListName[i] == "leer" || asListName[i] == "empty" ){
ContextList::Handle list2(new ContextList, IINIT);
S.asListAt(i, list2);
cerr << "context list for AS#<< i+1 << " is empty"<<endl;
continue;
} else if( asListName[i] == "all" ){
// Oops, how will we get a "merged-all" list, if all AS use "all"?
// A) one list names a merged-all version of all others, the rest uses "all"
S.asListAt(i, allH);
cerr << "context list for AS#<< i+1 << " is \"merge-all\" list"<<endl;
continue;
}
} // load cx list from file
stringstream nameStream;
nameStream << cachedir << dirSep << dirForASnr( i+1 )
MyString fileName = nameStream.str(); nameStream.freeze(0);
ContextList::Handle list(new ContextList, IINIT);
if (!loadContextList(*list, fileName, *poolH, *FN)){
ErrorMessage err;
err << error
err << " while creating as context list for as # "
<< i+1 << " from file "<< fileName
<< eom;
return StateIndependent::Handle();
}
ContextList::Handle list2(new ContextList, IINIT);
for(ContextList::Iterator iter=list->first(); iter; ++iter){
Context::Handle temp = *iter;
temp->rw().setContainedContext(S.globalCx());
if (allCx.contains(temp)){
temp = *allCx.find(temp);
} else {
allCx.add(*iter);
temp = *allCx.find(*iter);
}
list2->add(temp);
}
S.asListAt(i, list2);
}
StatArray<bool> flag(asLen);
ExpressionDebugWrapper* builder=NULL;
flag.fill(false);
for(int i=0; i<asLen; i++){
if(!flag.get(i)){
if(builder = ExpressionDebugWrapper::make(asExprName[i]))
{
ErrorMessage err;
err << error << "while creating as expression for as # "
<< i+1 << " from file "
<< asExprName[i] << eom;
}
}
}
}

return StateIndependent::Handle();
builder -> build();
Expression::Fuzzy::Handle expressionH
= Expression::Fuzzy::Handle(builder, IINIT);

for(int n=i; n<asLen; n++){
if(!flag.get(n) && asExprName[i] == asExprName[n]){
flag.set(n, true);
S.asExpressionAt(n, expressionH);
}
}

flag.fill(false);
for(int i=0; i<linkLen; i++){
if(!flag.get(i)){
if(!builder = ExpressionDebugWrapper::make(linkExprName[i]))
{
ErrorMessage err;
err << error << " while creating link expression for link # "
<< i+1 << " from "
<< linkExprName[i] << eom;
return StateIndependent::Handle();
}
builder -> build();
Expression::Fuzzy::Handle expressionH
= Expression::Fuzzy::Handle(builder, IINIT);

for(int n=i; n<linkLen; n++){
if(!flag.get(n) && linkExprName[i] == linkExprName[n]){
flag.set(n, true);
S.linkExpressionAt(n, expressionH);
}
}
}

flag.fill(false);
for(int i=0; i<linkLen; i++){
if(!flag.get(i)){
Context::Fuzzy::Handle currPatternH;
if(!loadPattern(currPatternH, linkPatternName[i], FN)){
ErrorMessage err;
err << error << " while creating link pattern for link # "
<< i+1 << " from file "
<< linkPatternName[i] << eom;
return StateIndependent::Handle();
}
currPatternH->attachToPeakNet(FN);
for(int n=i; n<linkLen; n++){
if(!flag.get(n) && linkPatternName[i] == linkPatternName[n])
{
temp = *allCx.find(temp);
}
}
flag.set(n, true);
S.linkPatternAt(n, currPatternH);
}
}

}
S.itsBaseList = poolH->getList(S.itsBaseListName);
if(S.baseList().length() == 0){
ErrorMessage err;
err << error << "base peak list \" "
<< stream<<S.itsBaseListName<<" is empty ";
ERROR_RECOVER;
}
}
S.setupAS2PeakMapping();
S.setupCXIDs();
S.setupCache();
} // end -- post read block
return sH;
error_recover;

```

```

    ErrorMessage err;
    err << " parsing OptimizerInfo \"" << name << "\" failed. (code = " << errPos
    << " at line " << streampos2lineNr(is, is.tellg())
    << ") " << som;
    return StateIndependent::Handle();
};

////////////////////////////////////
// static
long State::theVetoPeriod = 5;
////////////////////////////////////
////////////////////////////////////
State::State(void)
: itsIndependent(0), itsRTL(10), itsQ(0.0),
itsChangedASStack(0), itsChangedASCount(0), itsAssignedCount(0),
itsAS(0), itsASLock(0), itsASQ(0), itsTypeQ(0), itsChangedAS(0), itsValidAS(0),
itsLink(0), itsLinkQ(0), itsValidLink(0), itsCount(0), itsLoopCount(0)
{
    /* EMPTY */
};
////////////////////////////////////
double State::extractASTypeQAT(int i, const ResourceName &name){
    ASSERT(!isNull(asAt(i)));
    double q = 0.0;
    const Resource *r = asAt(i)->lookup(name);
    if(r != NULL){
        if(r != NULL){
            ERRMESSAGE(err);
            err << "error << "wrong type of resource in context of as#" << i+1 << "\n"
            err << "name=\"" << stream << name << "\"";
            err << som;
        } else {
            #ifdef DONT_IGNORE_MISSING_AS_TYPE
                ERRMESSAGE(err);
                err << "error << "no such resource in context of as#" << i+1 << "\n"
                err << "name=\"" << stream << name << "\"";
                err << som;
            #endif // DONT_IGNORE_MISSING_AS_TYPE
            return Fuzzy::False;
        }
    }
    return q;
}
void State::buildASTypeQAT(int i){
    itsTypeQ[i] = 0.0;
    if(!isNull(asAt(i))){
        itsTypeQ[i] += extractASTypeQAT(i, usedIndependent()->getLeftResName(i));
        itsTypeQ[i] += extractASTypeQAT(i, usedIndependent()->getRightResName(i));
    }
}

State& State::copyFrom(const State& src){
    if(&src != this){
        itsIndependent = src.itsIndependent; // shared
        itsAccount.copyFrom(src.itsAccount);
        itsQ = src.itsQ;
        itsChangedASStack = src.itsChangedASStack;
        itsChangedASCount = src.itsChangedASCount;
        itsAssignedCount = src.itsAssignedCount;
        itsAS = src.itsAS;
        ActiveAccount active(itsAccount);
        for(int i=0; i<asCount(); i++){
            itsASHook[i].dupFrom(src.itsASHook[i]);
        }
        // end of ActiveAccount
        itsASQ = src.itsASQ;
        itsTypeQ = src.itsTypeQ;
        itsChangedAS = src.itsChangedAS;
        itsValidAS = src.itsValidAS;
        itsLink = src.itsLink;
        itsLinkQ = src.itsLinkQ;
        itsValidLink = src.itsValidLink;
        itsCount = src.itsCount;
        itsLoopCount = src.itsLoopCount;
        itsRTL = src.itsRTL;
    }
}

}
return *this;
};

// clears all search state variables
State& State::clearState(void){
    itsQ = Fuzzy::False;
    ActiveAccount ac(itsAccount); // called in dtor!

    Context::Handle cxNULL;
    itsAS.fill(cxNULL);
    itsAssignedCount = 0;
    itsASQ.fill(Fuzzy::False);
    itsTypeQ.fill(Fuzzy::False);
    itsValidAS.fill(false);
    itsChangedAS.fill(false);
    for(int i=0; i<itsASLock.count(); i++){
        itsASLock[i].release(true);
    }
    itsLink.fill(cxNULL);
    itsLinkQ.fill(Fuzzy::False);
    itsValidLink.fill(false);
    itsCount = 0;
    itsLoopCount.fill(0);
    itsRTL = 10;
    return *this;
}

// clear AS at asIndex, clears links at asIndex and asIndex-1
// maintains itsAssignedCount and if requested Q
void State::clearAS(int asIndex, bool bookKeeping = true)
{
    if (SHOW_Q_TRACE) cout << "CLEARAS " << asIndex ;
    if (SHOW_Q_TRACE) cout << " qS=" << itsQ << " ";
    if (SHOW_Q_TRACE) cout << " isNull=" << (isNull(asAt(asIndex))) << " ";
    if (SHOW_Q_TRACE) cout << " qA=" << (asQAT(asIndex));
    if (SHOW_Q_TRACE) cout << " lock=" << (itsASLock[asIndex].isAcquired());
    if (!isNull(asAt(asIndex))){
        if (bookKeeping){
            quality() -= asQAT(asIndex);
            if (SHOW_Q_TRACE) cout << " dropASQ " ;
        }
        if (asIndex->1) clearLink(asIndex-1, bookKeeping);
        if (asIndex<-linkCount()) clearLink(asIndex, bookKeeping);
        itsValidAS.set(asIndex, false);
        putASAT(asIndex, Context::Handle());
        asLockAT(asIndex).release(true);
        pushChange(asIndex);
    }
    asQAT(asIndex) = Fuzzy::False;
    asTypeQAT(asIndex) = Fuzzy::False;
    if (abs(itsQ) < 1E-3) itsQ = 0.0;
    if (SHOW_Q_TRACE) cout << " qS=" << itsQ << endl;
}

void State::clearLink(int linkIndex, bool bookKeeping = true)
{
    if (SHOW_Q_TRACE) cout << " clear link index=" << linkIndex;
    if (SHOW_Q_TRACE) cout << " qL=" << linkQAT(linkIndex);
    if (bookKeeping && !isNull(linkAT(linkIndex))){
        quality() -= linkQAT(linkIndex);
        if (SHOW_Q_TRACE) cout << " dropLinkQ " ;
    }
    itsLink[linkIndex] = Context::Handle();
    itsValidLink.set(linkIndex, false);
    itsLinkQ[linkIndex] = Fuzzy::False;
}

// State::baseIDInRange(intVec& baseID, int firstASPos, int len)
void State::baseIDInRange(intVec& baseID, int firstASPos, int len)
{
    ASSERT(len<=baseID.count());
    for(int i=0; i<min(len, asCount()-firstASPos); i++){
        if(!isNull(asAt(i+firstASPos))){

```

```

// itsAS != NULL, itsASLock.hasContext() && itsASLock.isAcquired(), itsASQ == 0,
// itsValidAS == false
// Zeitpunkt [nach dem Berechnen == alle AS+Link leer oder belegt und gueltig]
// itsAS == NULL, itsASLock.hasContext(), itsASQ == 0,
// itsValidAS == false, itsChangedAS == false
int failed = false;
int lineNr = -1;
int asIndex = -1;
#define CHECK_FAILED { failed = false; lineNr = __LINE__; asIndex = as; }
if(failed){
    ErrorMessage err;
    err << warning << "invariant failure!! failed test at line "
        err << lineNr << " for AS # " << asIndex +1 << eom;
}
#undef CHECK_FAILED
return false;
};
bool State::linkOK(void) const{
// moegliche Zustaende der Link Variablen
// Variablen sind itsLink, itsLinkQ, itsValidLink
// Zeitpunkt [leer == nach dem initialisieren]
// Zeitpunkt [nach einer Veraenderung, vor dem Berechnen ]
// Zeitpunkt [nach dem Berechnen == alle AS+Link leer oder belegt und gueltig]
//
return true;
};
////////////////////////////////////
Statek State::useIndependent(Stateindependent::Handle p ){
itsIndependent = p;
itsChangedASStack.resize(protein()->length());
itsAS.resize(protein()->length());
itsASLock.resize(protein()->length());
itsASQ.resize(protein()->length());
itsTypeQ.resize(protein()->length());
itsChangedAS.resize(protein()->length());
itsValidAS.resize(protein()->length());
itsLoopCount.resize(protein()->length());
itsLink.resize(protein()->length()-1);
itsLinkQ.resize(protein()->length()-1);
itsValidLink.resize(protein()->length()-1);
return *this;
}
MyString State::asFlagsAt(int i) const{
MyString flags;
char * p = f; *p++ = '[';
char * p = f; *p++ = '[';
*p++ = (isNotNull(const_cast<State*>(this)->asAt(i)))? 'E':'-'; // empty
*p++ = (isNotNull(const_cast<State*>(this)->validAS(i)))? 'V':'-';
*p++ = '\0'; *p++ = '\0';
return MyString(f);
};
MyString State::linkFlagsAt(int i) const{
MyString flags;
char * p = f; *p++ = '[';
char * p = f; *p++ = '[';
*p++ = (isNotNull(const_cast<State*>(this)->linkAt(i)))? 'E':'-'; // empty
*p++ = (isNotNull(const_cast<State*>(this)->validLink(i)))? 'V':'-';
*p++ = '\0'; *p++ = '\0';
return MyString(f);
};
////////////////////////////////////
bool State::createState(
    istream is, StateIndependent::Handle& ind,
    const PeakPool& Pool, const PeakNet& Net
){
    AsciiContextReader Reader (&is,Net.Pool);
    enum {ok = 0, fail = 1};
    int errPos = 0;
    MyString s,s1;

```

```

baseID[i] = int(basePeakIDat(i+firstASPos)-1);
} else {
    baseID[i] = -1;
}
}
}
int State::countLinkInRange(
    int firstPos, int len
){
    int count = 0;
    for(int pos=firstPos; pos<min(firstPos+len,linkCount()); pos++){
        if(!isNull(linkAt(pos))){
            ASSEFT(isNull(asAt(pos)));
            count++;
        } else {
            return count;
        }
    }
    return count;
}
}
}
bool State::OK(void) const{
int failed = false;
int lineNr = -1;
int asIndex = -1;
int as = -1;
#define CHECK_FAILED { failed = false; lineNr = __LINE__; asIndex = as; }
if(!isNull(itsIndependent)){
    if(failed && (itsAS count() != itsIndependent->protein()->length()-1)) CHECK_FAILED;
    if(failed && (linkCount()+1 != asCount())) CHECK_FAILED;
}
if(failed && (const_cast<State*>(this)->usedCount()<0 || const_cast<State*>(this)->usedCount()
> asCount())) CHECK_FAILED;
if(failed && (const_cast<State*>(this)->changeCount()<0 ||
const_cast<State*>(this)->changeCount() > asCount())) CHECK_FAILED;
int i=0;
for(i= 0; i<asCount(); i++){
    if(const_cast<State*>(this)->changedAS().get(i)) change++;
    if(!failed && (const_cast<State*>(this)->changeCount() != change)) CHECK_FAILED;
    int use=0;
    for(i= 0; i<asCount(); i++){
        if(!isNull(const_cast<State*>(this)->asAt(i))) use++;
        if(!failed && (const_cast<State*>(this)->usedCount() != use)) CHECK_FAILED;
        if(failed && (change>use)) CHECK_FAILED;
        if(failed && (! asOK())) CHECK_FAILED;
        if(change == 0){
            // unveraendert == korrekte Q
        }
    }
}
if(failed){
    ERRMESSAGE(err);
    err << warning << "invariant failure for sequence!! failed test at line "
        err << lineNr;
    if (i!=asCount()){
        err << " in iteration i="<i;
    }
    err << eom;
    return false;
}
return true;
};
bool State::asOK(void) const{
// moegliche Zustaende der AS Variablen
// Variablen sind itsAS, itsASLock, itsASQ, itsValidAS, itsChangedAS
// Zeitpunkt [leer == nach dem initialisieren]
// itsAS == NULL, itsASLock.hasContext(), itsASQ == 0,
// itsValidAS == false, itsChangedAS == false
// Zeitpunkt [nach einer Veraenderung, vor dem Berechnen ]
// entweder leer UND itsChangedAS == false oder :
// wenn itsChangedAS == true

```

```

#undef ERROR_RECOVER
#define ERROR_RECOVER { errPos = __LINE__; goto create_error_recover; }

ActiveAccount ac(itsAccount);

useIndependent(Ind);
clearState();

is >> noskipws;
MyString version;
MyString protName;

ReadBlock block(is,"AS");
ReadBlock block2(is,"LINK");
ReadBlock block3(is,"LINK");
MyRegex rxASFlags("[Ee_]");
MyRegex rxLinkFlags("[Ee_]");
MyString flags;
int nrOfContexts;
int nrOfLinks;
const char sep = ',';
bool failed = false;
Context::Handle cxNULL;
ContextLock currASLock;
AsciiContextWriter Writer(scerr);
SelectiveFrequencyContextEqual funcEq(1.0);
// HACK: frequency names should come from a (global) config object.
// HACK: frequency distances should come from a (global) config object.
// (???)
funcEq.add("CA #1",0.55);
funcEq.add("CA-1 #1",0.55);
funcEq.add("CB #1",0.55);
funcEq.add("CB-1 #1",0.55);
SelectiveFrequencyContextDistance distanceOp(1.0);
distanceOp.add("CA #1",0.55);
distanceOp.add("CA-1 #1",0.55);
distanceOp.add("CB #1",0.55);
distanceOp.add("CB-1 #1",0.55);

if(!block.open()) ERROR_RECOVER;
if(parsedField(is,"VERSION",version)) ERROR_RECOVER;
if(parsedField(is,"PROTEINNAME",protName)) ERROR_RECOVER;
if(parsedField(is,"QUALITY",quality())) ERROR_RECOVER;
if(version > "1") {
    int i;
    if(parsedField(is,"USED_AS",i)) ERROR_RECOVER; // seit version 1.01
    if(parsedField(is,"LENGTH",nrOfContexts)) ERROR_RECOVER;
}

if(!block2.open()) ERROR_RECOVER;
usedCount() = 0;

for(int i=0; i<nrOfContexts; i++){
    int pos=-1; char c; double Q;
    if(!is || (is >>ws>> pos) || pos-1 == i) ERROR_RECOVER;
    if(!is || (is >>ws>> c) || sep != c) ERROR_RECOVER;
    if(!is || parseBrace(is,flags,'{','}',false)) ERROR_RECOVER;
    if(!is || (is >>ws>> c) || sep != c) ERROR_RECOVER;
    if(!is || (is >>ws>> Q) || sep != c) ERROR_RECOVER;
    if(!is || (is >>ws>> c) || sep != c) ERROR_RECOVER;

    flags.upcase();
    asQAt(i)=Q;
    putASAt(i,cxNULL);
    asLockAt(i).release();
    if(!flags.matches(rxASFlags)) ERROR_RECOVER;

    if(!flags.contains("E") || !asQAt(i) == Fuzzy::False) {
        Context *tempC = new Context(Ind->globalCx(),Context::Containing);
        Reader.read(*tempC);
        Context::Handle currAS(tempC,IINIT);
    }
}

// suche cx in ind->asListAt(i)
// fehler wenn nicht vorhanden.
// sonst setze cx aus ind->asListAt(i)
bool found=false;
for(ContextList::Iterator iter=asListAt(i)->first();iter;++iter){
    if(stableComp(*iter,*currAS)==0){
        currAS = *iter;
        found = true;
        break; // foreach cx in asListAt(i)
    }
}
if(!found){
    ErrorMessage err;
    AsciiContextWriter Writer(serr.stream());
    err << error << "context list for AS# "<i+1
    << " contains no such context\n";
    Writer.write(*currAS);
    // err << eom;

    Context::Handle orgAS ( new Context(*tempC), IINIT);
    // suche nach einem aehnlichen CX
    // funktionaler Sub oder EQ CX
    err << " ..looking for structural equivalent CX ";
    for(ContextList::Iterator iter=asListAt(i)->first();iter;++iter) {
        if(!isStructuralEqual(*iter,orgAS)) {
            currAS = *iter;
            found = true;
            break; // foreach cx in asListAt(i)
        }
    }
    err << (found ? " FOUND": "NOT FOUND")<<"\n";
    if(!found) {
        err << " ..looking for functional equal CX ";
        // dist : die niedrigste Distanz, init als maximaler Abstand.
        double dist = MAXDOUBLE;
        for(ContextList::Iterator iter=asListAt(i)->first();iter;++iter) {
            if(funcEq(*iter,orgAS)) {
                double currDist = distanceOp(*iter,orgAS);
                if(!found || currDist<dist){
                    currAS = *iter;
                    dist = currDist;
                }
                found = true;
            }
        }
        err << (found ? " FOUND": "NOT FOUND")<<"\n";
        if(!found) {
            failed = true;
            // alternative: fuege currAS in die aktuelle Liste ein und
            // akzeptiere ihn.
            if(found){
                err << " ...accepted CX: "<<"\n";
                Writer.write(*currAS);
            }
            else {
                // loesche diese Position
                asQAt(i)= Fuzzy::False;
                err << " ... did not accept a CX!"<<"\n";
                continue; // next entry, for(i<nrOfContexts)
            }
        }
    }
    asLockAt(i).acquire(currAS);
    if(!asLockAt(i).isAcquired()){
        ErrorMessage err;
        AsciiContextWriter Writer(serr.stream());
        err << warning
        << "can't acquire Context of AS#"<i+1<<", dropped.\n";
        Writer.write(*currAS);
        err << eom;
        clearAS(i);
        asQAt(i)= Fuzzy::False;
    }
    else {
        putASAt(i,currAS);
    }
}

```

```

    } else {
        pushChange(i);
    } else {
        cx == NULL und o == Fuzzy::False
        // asAt(i) bleibt leer
        asoAt(i) = Fuzzy::False;
    } // for i-nrofContexts
    if (!block2_close()) ERROR_RECOVER;
    if (failed) {
        bool b = true;
        SetInput(b, "Cache and State are incompatible, ignore error == continue loading?", b);
        if (!b) ERROR_RECOVER;
    }
    if (!block3_open()) ERROR_RECOVER;
    if (parsefield(is, "LENGTH", nrofLinks)) ERROR_RECOVER;
    for (int i=0; i<nrofLinks; i++) {
        int pos; double o; char c;
        if (!is || !is >> pos >> ws >> c) || sep != c) ERROR_RECOVER;
        if (ipos-1 == i) ERROR_RECOVER;
        if (!is ParseBrace(is, flags, '[', ']', false)) ERROR_RECOVER;
        if (!is || !is >> ws >> c) || sep != c) ERROR_RECOVER;
        if (!is || !is >> ws >> c) || sep != c) ERROR_RECOVER;
        flags.upcase();
    }
    linkOAt(i)=0;
    linkAt(i) = cxNULL;
    if (!flags.matches(rxLinkFlags)) ERROR_RECOVER;
    // lies den link CX, egal ob er Nachbarn hat oder nicht.
    if (!flags.contains("E")) {
        Context *tempC = new Context (ind->globalCx(), Context::Containing);
        Reader::read(*tempC);
        Context::Handle curLink(tempC, IINIT);
        // wenn flags und linker(i) und rechter(i+1) Nachbar
        // einen cx enthalten
        // if (i+1-asCount() && !isNull(asAt(i)) && !isNull(asAt(i+1))) {
        //     bilde den link Context und vergleiche ihn mit dem
        //     gelesenen.
        //     linkAt(i) = curLink;
        // } else {
        //     linkOAt(i) = Fuzzy::False;
        // }
        // cx == NULL und o == Fuzzy::False
        // linkAt(i) bleibt leer
        linkOAt(i) = Fuzzy::False;
    }
    if (!block3_close()) ERROR_RECOVER;
    if (!block.close()) ERROR_RECOVER;
    for (int i=0; i<nrofContexts; i++) {
        asLockAt(i).release(false); // nur entsperren, nicht loslassen
    }
    return ok;
create error recover;
ErrorMessage err;
err << error
    << " parsing seed failed. (code = " << errPos
    << " at line " << streampos2lineNr(is, is.tellg())
    << ")" << endl;
return fail;
};

void State::dumpState(ostream& os) {
    const char *sep = "\n";
    AsciiContextWriter Writer(os);
    WriteBlock_block(os, "RandomSequenceOptimizerState");
    if (block) {
        IndentLevel ilevel(os);
        os << indent << "VERSION" << "1.01" << endl;
        os << indent << "PROTEINNAME" << " " << protein()->name() << "\n" << endl;
    }
}
};

void State::dumpState(ostream& os) {
    const char *sep = "\n";
    AsciiContextWriter Writer(os);
    WriteBlock_block(os, "RandomSequenceOptimizerState");
    if (block) {
        IndentLevel ilevel(os);
        os << indent << "VERSION" << "1.01" << endl;
        os << indent << "PROTEINNAME" << " " << protein()->name() << "\n" << endl;
    }
}
};

```

```

os << indent << "QUALITY" << quality() << endl;
int a=0, l=0;
for (int i=0; i < asCount(); i++) {
    if (!isNull(asAt(a))) a++;
}
for (int link=0; link < linkCount(); link++) {
    if (!isNull(linkAt(link))) l++;
}
os << indent << "USED_AS" << a << endl;
os << indent << "USED_LINKS" << l << endl;
}
WriteBlock_block2(os, "AS");
if (block2) {
    os << indent << "LENGTH" << asCount() << endl;
    for (int i=0; i < asCount(); i++) {
        os << indent << as1 << sep
        << as2 << sep
        << as3 << sep
        << as4 << sep
        << as5 << sep;
        if (!isNull(asAt(i))) {
            else os << endl;
            Writer.write("asAt(a)");
        }
    }
}
WriteBlock_block2(os, "LINK");
if (block2) {
    os << indent << "LENGTH" << linkCount() << endl;
    for (int link=0; link < linkCount(); link++) {
        os << indent << sep
        << linkFlagsAt(link) << sep
        << linkOAt(link) << sep;
        if (!isNull(linkAt(link))) {
            Writer.write("linkAt(link)");
            else os << endl;
        }
    }
}
};

#include "Array.cc"
template class Array<Context::Handle>;
template class Array<ContextList::Handle >;
template class Array<int> <SharedString>;
template class Array<SharedString>;
template class Array<Explosion<Fuzzy>; Handle>;
template class Array<bool>;
template class Array<Condition::Handle>;

#include "Matrix.cc"
template class Matrix<bool>;

```

N.11 Quelltext: LinkBuilder.h

```

#ifndef LinkBuilder_H
#define LinkBuilder_H_1

#include "RCObject.h"
#include "IpTr.h"
#include "Context.h"
#include "ResourceName.h"
#include "AVLMap.h"
#include "CompOp.h"

class LinkBuilder : virtual public RCObject
{
public:
    typedef ImgObject<LinkBuilder> Handle;
};

//: creates link builders based on their name
static LinkBuilder::Handle make(const MyString& name);

```

```

// LinkBuilder(const LinkBuilder& b);
// LinkBuilder operator=(const LinkBuilder& b);
//: makes this class abstract
virtual ~LinkBuilder(void)=0;

//: generates links
virtual Context::Handle buildLink(
    const Context::Handle &leftCx,
    const Context::Handle &rightCx,
    const Context::Handle &globalCx)const=0;

protected:
    virtual void init(void)=0;
    LinkBuilder(void);
private:
};

#ifdef __LinkBuilder_H__

N.12 Quelltext: LinkBuilder.cc

#include "LinkBuilder.h"
#include "macros.h"
#include "Debug.h"
#include "ErrorMessage.h"
////////////////////////////////////////////////////////////////////////////////////////////////////////////////////////////////
class TranslatingLinkBuilder : virtual public LinkBuilder
{
public:
    friend class LinkBuilder; // for :make(name)
    typedef IMagObject<LinkBuilder> Handle;
    virtual ~TranslatingLinkBuilder(void)=0;

    virtual Context::Handle buildLink(
        const Context::Handle &leftCx,
        const Context::Handle &rightCx,
        const Context::Handle &globalCx)const;

protected:
    TranslatingLinkBuilder(void);
    virtual void initNameMaps(const char* left[], const char *right[]);
private:
    //////////////////////////////////////////////////////////////////////////////////////////////////////////////////////////////////
    //:
    //:
    //:
    const CompOp<SharedString> resCompOp;
    const Equal<SharedString> resEqual;
    AVLMap< ResourceName, ResourceName > itsLeftNameMap;
    AVLMap< ResourceName, ResourceName > itsRightNameMap;
};
////////////////////////////////////////////////////////////////////////////////////////////////////////////////////////////////
class linkBuilder_c21w_hf : virtual public TranslatingLinkBuilder
{
public:
    friend class LinkBuilder; // for :make(name)
    typedef IMagObject<LinkBuilder> Handle;
    virtual ~LinkBuilder_c21w_hf(void);

protected:
    virtual void init(void);
    LinkBuilder_c21w_hf(void);
};
////////////////////////////////////////////////////////////////////////////////////////////////////////////////////////////////
//: creates the appropriate link builder based on name
//:
//:
//: MAINTAINANCE: add further link builders here

```

```

// static
LinkBuilder::Handle LinkBuilder::make(const MyString& name) {
    if (name == "c21w_hf") {
        return LinkBuilder::Handle(new LinkBuilder_c21w_hf,IINIT);
    }
    ErrorMessage err;
    err << error << "unknown link builder \"<name><<\" == << endl;
    return LinkBuilder::Handle();
};
////////////////////////////////////////////////////////////////////////////////////////////////////////////////////////////////
LinkBuilder::~LinkBuilder(void)
{
    /* EMPTY */
};
LinkBuilder::LinkBuilder(void)
{
    /* EMPTY */
};
////////////////////////////////////////////////////////////////////////////////////////////////////////////////////////////////
//pure virtual
TranslatingLinkBuilder::~TranslatingLinkBuilder(void)
{
    /* EMPTY */
};
TranslatingLinkBuilder::TranslatingLinkBuilder()
: itsLeftNameMap(SharedString::null(), &resCompOp, &resEqual),
  itsRightNameMap(SharedString::null(), &resCompOp, &resEqual)
{
    /* EMPTY */ // can't call (virtual) init (of Derived) !! CTOR !!
};

void TranslatingLinkBuilder::initNameMaps(const char* left[], const char* right[])
{
    int from, to;
    from = 0, to =1;
    while ( left[from] !=NULL && left[to] !=NULL) {
        itsLeftNameMap[SharedString(left[from])] = SharedString(left[to]);
        from+=2; to+=2;
    }
    from = 0, to =1;
    while ( right[from] !=NULL && right[to] !=NULL) {
        itsRightNameMap[SharedString(right[from])] = SharedString(right[to]);
        from+=2; to+=2;
    }
}
// virtual
Context::Handle TranslatingLinkBuilder::buildLink(
    const Context::Handle &leftCx,
    const Context::Handle &rightCx,
    const Context::Handle &globalCx) const
{
    Context::Handle linkH;
    if (!isNull(leftCx) && !isNull(rightCx))
        return linkH;

    linkH = Context::Handle(new Context(globalCx,
    Context::Containing,IINIT);
    Context::RW rw(*linkH);
    // iterate over map keys and copy if exists
    // store under translated name (key,res) -> (value,res)
    for (Px px = itsLeftNameMap.first(); !isNull(leftCx) && px ; itsLeftNameMap.next(px)) {
        const Resource * res = leftCx->lookup(itsLeftNameMap.key(px));
        if (res != NULL)
            rw.Assign(itsLeftNameMap.contents(px), *res);
    }
    for (Px px = itsRightNameMap.first(); !isNull(rightCx) && px ; itsRightNameMap.next(px)) {
        const Resource * res = rightCx->lookup(itsRightNameMap.key(px));
        if (res != NULL)
            rw.Assign(itsRightNameMap.contents(px), *res);
    }
    return linkH;
}

```



```

};
///////////////////////////////////////////////////////////////////////////////////////////////////////////////////
//virtual
LinkBuilder_c2lw_hf::LinkBuilder_c2lw_hf(void)
{
    /* EMPTY */
};
LinkBuilder_c2lw_hf::LinkBuilder_c2lw_hf(void)
: TranslatingLinkBuilder()
{
    init(); // ! *always* calls LinkBuilder_c2lw_hf::init ! (never derived::init)
}; // virtual
void LinkBuilder_c2lw_hf::init(void)
{
    const char* left[] = {
        // from -----> to
        // "(any experiment) CA-1 #1", NULL, NULL, dropped
        // "(any experiment) CB-1 #1", NULL, NULL, dropped
        "hncA CA #1", "hncA CA #1",
        "cbcanh CA #1", "cbcanh CA #1",
        "cbcanh CB #1", "cbcanh CB #1",
        "hncO CO-1 #1", "hncO CO-1 #1",
        NULL, NULL // terminate Array
    };
    const char* right[] = {
        // from -----> to
        "hncA CA-1 #1", "hncA CA-1 #2",
        "cbcanh CA-1 #1", "cbcanh CA-1 #2",
        "cbcanh CB-1 #1", "cbcanh CB-1 #2",
        "cbca conh CA-1 #1", "cbca conh CA-1 #2",
        "cbca conh CB-1 #1", "cbca conh CB-1 #2",
        "hncO CO-1 #1", "hncO CO-1 #2",
        "GRIE #2 Gly", "GRIE #2 Gly",
        NULL, NULL // terminate Array
    };
    initNameMaps(left, right);
};

#include "Map.cc"
#include "AVLMap.cc"
template class AVLMap<ResourceName, ResourceName>;

N.13 Quelltext: StateMetrics.h

#ifdef __StateMetrics_H__
#define __StateMetrics_H__ 1
#include "Array.h"
#include "Context.h"
#include "RandomOpti_StateIndependent.h"

class action_rec;
class StateDiff;
/////////////////////////////////////////////////////////////////////////////////////////////////////////////////
class action_rec
{
public:
    typedef action_rec Self;

    enum operations_e {
        op_noop=0,
        link_op_min=1, // the first link operation
        opl_sub-link_op_min, opl_add-link_op_min+1, // operations on links
        opl_sum-link_op_min+2,
        link_op_max-link_op_min+2, // the last link operation
        as_op_min =link_op_max+1, // first as operation
        op_sub-as_op_min, op_add-as_op_min+1, // operations on
        op_swap-as_op_min+2,
    };
};
/////////////////////////////////////////////////////////////////////////////////////////////////////////////////
///////////////////////////////////////////////////////////////////////////////////////////////////////////////////
as_op_max-as_op_min+2, // last as operation
op_count-as_op_max+1 // count of operations
};
inline action_rec(void);
inline action_rec(
    operations_e
    pos1,
    cxID1,
    pos2 = -1,
    cxID2 = -1,
    long
);

inline operations_e operation(void) const;
inline operations_e inv_operation(void) const;
inline Self& operation(operations_e op);
//:
inline bool isLinkOp(void) const;
inline bool isASOp(void) const;
inline long cxID(void) const;
inline long cxID(long cxID);
inline Self& cxID(long cxID);
inline int position(void) const;
inline Self& position(int pos);
inline long cxID2(void) const;
inline Self& cxID2(long cxID);
inline int position2(void) const;
inline Self& position2(int pos);
inline double quality(void) const;
inline Self& quality(double q);

static const char* asString(operations_e e);

private:
    operations_e itsOp;
    int itsPos;
    long itsCXID;
    double itsQ;
    int itsPos2;
    long itsCXID2;

    static const char * itsOpNames[op_count];
    static const operations_e itsInverse[op_count];
    friend inline bool operator==(const action_rec& A, const action_rec& B);
    friend inline bool operator!=(const action_rec& A, const action_rec& B);
};
ostream& operator<<(ostream& os, const action_rec& a);
/////////////////////////////////////////////////////////////////////////////////////////////////////////////////
class StateDiff : public RCOBJECT
{
public:
    typedef StateDiff Self;

    StateDiff(void);

    StateDiff(
        State:Handle fromH,
        State:Handle toH);

    const action_rec & at(int) const;
    action_rec & at(int);

    //: position of next unused position and count of used positions
    int top(void) const;
    action_rec & pop(void);
    void swap(const action_rec & a);
};

```

```

double quality(void)const;
//: Die Anzahl der atomaren Aktionen, die in diesem Diff
// enthalten sind.
int atomDistance(void)const;
//: Die Anzahl der CX, die von diesem Diff betroffen sind.
int cxDistance(void)const;

const State::Handle & start(void)const;
const State::Handle & end(void)const;
Self& start(const State::Handle &s);
Self& end(const State::Handle &s);

//: bilde den inversen Pfad
void invert(void);

// bilde den pfad der operationen, die
// dem state from in den den state to verwandeln.
void pathTo(
    State::Handle fromH, State::Handle toH
);

// remove all noop link pairs
Self& finalizePath(void);

// try to replace some (---) groups with swap operations
Self& reduceSwaps(void);

// extract base peak ids in path, returns the top index
int baseIds(
    longVec& vec,
    const ResourceName& root,
    const bool containFrom = true,
    const bool containTo = true,
    const bool ignoreNullCX = true
);

// extract all peak ids in path, returns the top index
int peakIds(
    longVec& vec,
    const ResourceName& root,
    const bool containFrom = true,
    const bool containTo = true,
    const bool ignoreNullCX = true
);

friend inline void swap( StateDiff& d1, StateDiff& d2 );
protected:
void convert(
    longVec& vec,
    int& top,
    State::Handle stateH,
    const bool ignoreNullCX = true
);

int itsTop;
Array<action_rec> itsActionPath;
State::Handle itsStart;
State::Handle itsEnd;

inline void swap( StateDiff& d1, StateDiff& d2 )
{
    swap(d1.itsTop, d2.itsTop);
    swap(d1.itsActionPath, d2.itsActionPath);
    swap(d1.itsStart, d2.itsStart);
    swap(d1.itsEnd, d2.itsEnd);
}

//: apply
//: apply a diff object to an state
//: State can be any State Object which uses the same Independent!
//: It is not required to be one of the original State pair
//: which formed the Diff Object!

```

```

// Although it sets the contexts to those of the Diff, the resulting State
// is incomplete because the routine can't call opti->evaluateAt()
// without a random opti object. So, state->quality() is in transition.
// and you have to call opti->rebuildQat() afterwards!

// The second type of defect after this routine is the lack
// of ->acquire() ->release() correctness, but opti->rebuildQat()
// fixes that, too! ( by possibly removing some cx's from the State )

// *Parameter apply_swaps
// SWAP is different from ADD an SUB operations
// Not all cx combinations that result from one State
// are swappable in another State. So, swaps are not always
// applicable.

// If apply_swaps is true, any SWAP in the Diff Object
// is treated as two sequential SUB and ADD operations!
// SWAP is *not* applied as an pair wise exchange operation
// of the cx's in the State, *instead* it replaces the cx's in the State
// with the cx's which were swapped in the original State pair!

void apply(
    State::Handle& s,
    StateDiff& diff,
    bool apply_swaps = true);
// addiere die Veränderungen je Operation zu den Vektoren

void countChanges(
    StateDiff & diff,
    longVec& perAS, longVec& perCX, longVec& perPeak,
    const ResourceName& root,
    // Sollen nur die hinzugekommenen CX
    // gezählt werden oder auch die gelöschten?
    const bool countDropped = false
);

// extractPeakID(
// const Context::Handle &HC,
// bool resourceName& root,
// bool acceptMissingResource = true);

// inline bool isLinkOp( const action_rec::operations_e& e )
// {
//     return ( action_rec::link_op_min <= e &&
//             e <= action_rec::link_op_max );
// }
// inline bool isLinkOp( const action_rec& A )
// {
//     return isLinkOp(A.operation());
// }

// inline const char* action_rec::asString(operations_e e){
//     return action_rec::itsOPNames[lint(e)];
// };
// inline action_rec::action_rec(void)
// :itsOp(action_rec::op_noop),itsPos(-1),itsCxID(-1),
// {itsPos(-1),itsCxID(-1)}
// { /* EMPTY */
// };
// inline action_rec::action_rec(
//     action_rec::operations_e,
//     int pos,
//     long cxID,
//     double q,
//     int pos2,
//     long cxID2
// )
// :itsOp(e),itsPos(pos),itsCxID(cxID), itsQ(q),

```

```

    itsPos2(pos2), itsCxD2(cxD2)
  {
    /* EMPTY */
  };
  ////////////////////////////////////////////////////
  inline action_rec::operations_e action_rec::operation(void) const
  {
    return itsOp;
  };
  inline action_rec::operations_e action_rec::inv_operation(void) const
  {
    return action_rec::itsInverse[itsOp];
  };
  inline action_rec& action_rec::operation(operations_e op)
  {
    itsOp=op; return *this;
  };
  inline bool action_rec::isInkOp(void) const
  {
    return (link_op_min <= operation() && operation() <= link_op_max );
  };
  inline bool action_rec::isASOp(void) const
  {
    return (as_op_min <= operation() && operation() <= as_op_max );
  };
  inline long action_rec::cxD(void) const
  {
    return itsCxD;
  };
  inline action_rec& action_rec::cxD(long cxD)
  {
    itsCxD = cxD; return *this;
  };
  inline long action_rec::cxD2(void) const
  {
    return itsCxD2;
  };
  inline action_rec& action_rec::cxD2(long cxD)
  {
    itsCxD2 = cxD; return *this;
  };
  inline int action_rec::position(void) const
  {
    return itsPos;
  };
  inline action_rec& action_rec::position(int pos)
  {
    itsPos=pos; return *this;
  };
  inline int action_rec::position2(void) const
  {
    return itsPos2;
  };
  inline action_rec& action_rec::position2(int pos)
  {
    itsPos2=pos; return *this;
  };
  inline double action_rec::quality(void) const
  {
    return itsQ;
  };
  inline action_rec& action_rec::quality(double q)
  {
    itsQ=q; return *this;
  };
  ////////////////////////////////////////////////////
  inline bool operator==(const action_rec& A, const action_rec& B)
  {
    return (A.itsOp == B.itsOp
            && A.itsPos == B.itsPos
            && A.itsCxD == B.itsCxD
            && A.itsPos2 == B.itsPos2
            && A.itsCxD2 == B.itsCxD2
            && A.itsQ == B.itsQ);
  };
  inline bool operator!=(const action_rec& A, const action_rec& B)
  {
    return !( A == B );
  };
}
////////////////////////////////////////////////////
#include "StateMetrics.h"
////////////////////////////////////////////////////
}
////////////////////////////////////////////////////
inline StateDiff::StateDiff(void)
: itsTop(0)
{
  /* EMPTY */
};
inline const State::Handle & StateDiff::start(void) const
{
  return itsStart;
};
inline const State::Handle & StateDiff::end(void) const
{
  return itsEnd;
};
inline StateDiff& StateDiff::start(const State::Handle &s)
{
  itsStart = s; return *this;
};
inline StateDiff& StateDiff::end(const State::Handle &s)
{
  itsEnd = s; return *this;
};
inline const action_rec & StateDiff::at(int i) const
{
  return itsActionPath[i];
};
inline action_rec & StateDiff::at(int i)
{
  return itsActionPath[i];
};
inline action_rec & StateDiff::pop(void)
{
  return itsActionPath[itsTop--];
};
inline void StateDiff::push(const action_rec & a)
{
  if (itsActionPath.count() < top()+1)
    itsActionPath.resize(top()+1.5+1);
  itsActionPath[itsTop++] = a;
};
inline double StateDiff::quality(void) const
{
  double q=0.0;
  for(int i=0; i<top(); i++){
    q += at(i).quality();
  }
  return q;
};
inline int StateDiff::atombDistance(void) const
{
  int count = 0;
  for(int k=0; k<top(); ++k) {
    if( !isInkOp(at(k)))
      count++;
  }
  return count;
};
inline int StateDiff::top(void) const
{
  return itsTop;
};
}
#endif // __StateMetrics_H__ 1

```

N.14 Quelltext: StateMetrics.cc

```

// static
const char * action_rec::itsOpNames[action_rec::op_count] = {
    "noop", "addLink", "subLink", "sumLinkQ", "add", "sub", "swap"
};
const action_rec::operations_e
action_rec::itsInverse[action_rec::op_count] = {
    action_rec::op_noop,
    action_rec::opl_sub,
    action_rec::opl_add,
    action_rec::opl_sum,
    action_rec::op_sub,
    action_rec::op_add,
    action_rec::op_swap
};
//////////////////////////////////////////////////////////////////////////////////////////////////////////////////////////////////
void convert(longVec& vec, State::Handle stateH)
{
    vec.resize(stateH->asCount());
    for (int i = 0; i < vec.count(); i++) {
        if (!isNull(stateH->asAt(i))) {
            vec[i] = stateH->asAt(i)->id();
        } else {
            vec[i] = -1;
        }
    }
}
//////////////////////////////////////////////////////////////////////////////////////////////////////////////////////////////////
/* aus Kernighan/Ritchie "Programieren in C" P.106 (Kap. 5.6)*/
void sortByPosition(Array<action_rec>& a, int left, int right)
{
    int last;
    if (left >= right)
        return;
    swap(a[left], a[(left+right)/2]);
    last = left;
    for (int i=left+1; i<= right; i++)
        if ( a[i].position() < a[left].position() ) {
            swap(a[++last], a[i]);
        }
    swap(a[left], a[last]);
    sortByPosition(a, left, last-1);
    sortByPosition(a, last+1, right);
}
//////////////////////////////////////////////////////////////////////////////////////////////////////////////////////////////////
inline bool lessCX_Pos_OP ( const action_rec& A, const action_rec& B )
{
    if ( A.cxDID() != B.cxDID() )
        return ( A.cxDID() < B.cxDID() );
    else if ( A.position() != B.position() )
        return ( A.position() < B.position() );
    else if ( int(A.operation()) < int(B.operation()) )
        return true;
    return false;
}
/* aus Kernighan/Ritchie "Programieren in C" P.106 (Kap. 5.6)*/
void sortByCXAndPositionAndOperation(Array<action_rec>& a, int left, int right)
{
    int last;
    if (left >= right)
        return;
    swap(a[left], a[(left+right)/2]);
    last = left;
    for (int i=left+1; i<= right; i++)
        if ( lessCX_Pos_OP(a[i], a[left]) ) {
            swap(a[++last], a[i]);
        }
}
//////////////////////////////////////////////////////////////////////////////////////////////////////////////////////////////////
swap(a[left], a[last]);
sortByCXAndPositionAndOperation(a, left, last-1);
sortByCXAndPositionAndOperation(a, last+1, right);
}
//////////////////////////////////////////////////////////////////////////////////////////////////////////////////////////////////
inline bool lessPos_OP_Q ( const action_rec& A, const action_rec& B )
{
    if ( A.position() != B.position() ) {
        return ( A.position() < B.position() );
    } else if ( A.operation() != B.operation() ) {
        return ( int(A.operation()) < int(B.operation()) );
    } else if ( A.quality() < B.quality() ) {
        return true;
    }
    return false;
}
/* aus Kernighan/Ritchie "Programieren in C" P.106 (Kap. 5.6)*/
void sortByPosOperationQ(Array<action_rec>& a, int left, int right)
{
    int last;
    if (left >= right)
        return;
    swap(a[left], a[(left+right)/2]);
    last = left;
    for (int i=left+1; i<= right; i++)
        if ( lessPos_OP_Q(a[i], a[left]) ) {
            swap(a[++last], a[i]);
        }
    swap(a[left], a[last]);
    sortByPosOperationQ(a, left, last-1);
    sortByPosOperationQ(a, last+1, right);
}
//////////////////////////////////////////////////////////////////////////////////////////////////////////////////////////////////
ostream& operator<<(ostream& os, const action_rec& a)
{
    os << action_rec::asString(a.operation())
    << " ";
    if (a.operation() == action_rec::opl_add
        || a.operation() == action_rec::opl_sub )
    {
        os << " [" << a.position()+1 << ", " << a.cxDID() << "]";
    } else if (a.operation() == action_rec::op_swap)
    {
        os << " items [" << a.cxDID() << ", " << a.cxDID2()
        << "] at [" << a.position()+1 << ", " << a.position2()+1
        << "]";
    } else {
        os << " item " << a.cxDID()
        << " at " << a.position()+1;
    }
    os << " with " << a.quality();
    return os;
}
bool isInverseLinkOppair( const action_rec& A, const action_rec& B )
{
    if ( !isLinkOp(A) || !isLinkOp(B) )
        return false;
    const double epsilon = 1e-6;
    if ( A.position() == B.position() &&
        // a.q == -b.q within epsilon
        abs(B.quality()+A.quality()) < epsilon &&
        A.operation() == B.inv_operation() )
        return true;
    return false;
}
bool isInverseLinkOppair_wrongQ(const action_rec& A, const action_rec& B)
{
    if ( !isLinkOp(A) || !isLinkOp(B) )
        return false;
    const double epsilon = 1e-3;
    if ( A.position() == B.position() &&

```

```

// a,q == -b,q within epsilon
(abs(B.quality()-abs(A.quality())) < epsilon &&
 A.operation() == B.inv_operation())
return true;
}
return false;
}
////////////////////////////////////
////////////////////////////////////
////////////////////////////////////
StatesDiff::StatesDiff(
    State::Handle fromH,
    State::Handle toH)
: itsTop(0), itsActionPath(0),
  itsStart(fromH), itsEnd(toH)
{
    pathTo(itsStart, itsEnd);
};
////////////////////////////////////
////////////////////////////////////
// bilde den pfad der operationen die aus
// dem state from den state to machen.
void StatesDiff::pathTo(
    State::Handle fromH, State::Handle toH
)
{
    ASSERT( fromH->asCount() == toH->asCount() );

    action_rec noop_action;
    int lTop = 0;
    Array<action_rec> L(fromH->asCount()*4);
    L.fill(noop_action);
    itsTop = 0;

    itsActionPath.resize(fromH->asCount()*6); // AS(sub+add)+link(add+sub)*2
    itsActionPath.fill(noop_action);
    for(int i=0; i<fromH->asCount(); i++){
        long from = -1;
        long to = -1;

        if(!isNull(fromH->asAt(i))){
            from = fromH->asAt(i)->id();
        };
        if(!isNull(toH->asAt(i))){
            to = toH->asAt(i)->id();
        };
        if(from == to){
            // noop
        } else if( from != -1 && to != -1){
            push(action_rec ( action_rec::op_sub, i, from,
                -fromH->asQat(i) ));
            push(action_rec ( action_rec::op_add, i, to,
                toH->asQat(i) ));
        }
        //////////////////////////////////// LINKS
        if( i>0 && !isNull(fromH->linkAt(i-1)) ){
            L[lTop++] =action_rec ( action_rec ( action_rec::op_sub, i-1, i,
                -fromH->linkQat(i-1) );
        }
        if( i<fromH->linkCount() && !isNull(fromH->linkAt(i)) ){
            L[lTop++] =action_rec ( action_rec::op_sub, i, i+1,
                -fromH->linkQat(i) );
        }
        if( i>0 && !isNull(toH->linkAt(i-1)) ){
            L[lTop++] =action_rec ( action_rec::op_add, i-1, i,
                toH->linkQat(i-1) );
        }
        if( i<toH->linkCount() && !isNull(toH->linkAt(i)) ){
            L[lTop++] =action_rec ( action_rec::op_add, i, i+1,
                toH->linkQat(i) );
        }
    }
    else if( from != -1){
        push(action_rec ( action_rec::op_add, i, from,
            fromH->asQat(i) ));
        if( i>0 && !isNull(fromH->linkAt(i-1)) ){
            L[lTop++] =action_rec ( action_rec ( action_rec::op_add, i-1, i,
                fromH->linkQat(i) ));
        }
    }
}
fromH->linkQat(i-1) );
if( i<fromH->linkCount() && !isNull(fromH->linkAt(i)) ){
    L[lTop++] =action_rec ( action_rec::op_add, i, i+1,
        fromH->linkQat(i) );
}
}
else if( to != -1){
    push(action_rec ( action_rec::op_sub, i, to,
        -toH->asQat(i) ));
    if( i>0 && !isNull(toH->linkAt(i-1)) ){
        L[lTop++] =action_rec ( action_rec ( action_rec::op_sub, i-1, i,
            -toH->linkQat(i-1) ));
    }
    if( i<toH->linkCount() && !isNull(toH->linkAt(i)) ){
        L[lTop++] =action_rec ( action_rec::op_sub, i, i+1,
            -toH->linkQat(i) );
    }
}
}
// sortiere die Link Aktionen nach den positionen
// und eliminiere doppelte.
if( lTop> 0){
    sortByPosOperationQ(L,0,lTop-1);
    push( L[0] );
    for(int i=1; i<lTop; i++){
        if( L[i] != L[i-1] && L[i].quality() != 0.0 )
            push( L[i] );
    }
    sortByPosOperationQ(itsActionPath,0,top()-1);
}
};

StatesDiff& StatesDiff::finalizePath(void)
{
    int orgTop = top();
    itsTop = 0;
    Array<action_rec> A(itsActionPath);
    // collect all link quality
    double q = 0;
    for(int i=0; i<orgTop; i++){
        if( !isLinkOp(A[i]) ){
            q += A[i].quality();
        } else if(A[i].operation() == action_rec::op_noop) {
            i++; // skip it
        } else {
            push( A[i] );
        }
    }
    push( action_rec(action_rec::op_sum,0,0,q) );
    sortByPosOperationQ(itsActionPath,0,top()-1);
    return *this;
}

StatesDiff& StatesDiff::reducesWaps(void)
{
    // action_rec noop_action;
    int orgTop = top();
    itsTop = 0;
    Array<action_rec> A(itsActionPath);
    sortByCXAndPositionAndOperation(A,0,orgTop-1);
    // now all [sub pos] operations
    // stand in front of the [add pos] operations
    // (in position i-1 relative to the add op)
    // that will simplify the search operations below.
    for(int i=0; i<orgTop-1; i++){
        if( A[i].operation() == action_rec::op_sub &&
            A[i+1].operation() == action_rec::op_add &&
            A[i].position() == A[i+1].position() )
        {
            // possibly one part of a swap pair
            // find the other pair (with the same cx's)
            int n = i+2;
            for(;n<orgTop-1;n++)

```

```

{
    if ( A[n].operation() == action_rec::op_sub &&
        A[n+1].operation() == action_rec::op_add &&
        // pair of cx at n is equal to pair at i
        A[n].cxID() == A[i+1].cxID() &&
        A[n+1].cxID() == A[i].cxID() )
    {
        // zwei aufeinander folgende nicht-link operationen
        // alle mit dem gleichen CX
        // wenn es ein zweites Paar von operationen
        // mit den gleichen Positionen gibt, kann man sie
        // durch eine swap operation ersetzen.
        // operation pair at i
        // sub pos1 cx1
        // add pos1 cx2
        // ...and somewhere later at n
        // operation pair at n
        // sub pos2 cx1
        // add pos2 cx2
        // gives
        // swap pos1 pos2 cx1 cx2
        //
        double qDiff = A[n].quality()
            + A[i+1].quality()
            + A[n+1].quality()
            + A[i].quality();
        action_rec sw( action_rec::op_swap,
            i, A[i].cxID(), qDiff, n, A[i+1].cxID());
        push(sw);

        A[i].operation(action_rec::op_noop);
        A[i+1].operation(action_rec::op_noop);
        A[n].operation(action_rec::op_noop);
        A[n+1].operation(action_rec::op_noop);
        i++;
        break; // for ( n .. )
    }
    push( A[i] );
} else { A[i] );
}
}

sortByPosOperationQ(itsActionPath, 0, top() - 1);
return *this;
}

// * aus Kernighan/Ritchie "Programmieren in C" p.106 (Kap. 5.6)*/
void qsort(longVec& a, int left, int right)
{
    int last;
    if (left >= right)
        return;

    swap(a[left], a[(left+right)/2]);
    last = left;
    for (int i=left+1; i<= right; i++)
        if ( a[i] < a[left] ) {
            swap(a[++last], a[i]);
        }
    swap(a[left], a[last]);
    qsort(a, left, last-1);
    qsort(a, last+1, right);
}

// Die Anzahl der CX, die von diesem Diff betroffen sind.
int StatesDiff::cxDistance(void) const
{
    longVec vec(top()*2); // SWAP actions need 2 CX ids per action!
    int used = 0;

    for (int i = 0; i<top(); i++)
        if ( !isLinkop( at(i) ) )
            if (at(i).operation() == action_rec::op_add

```

```

{
    if ( at(i).cxID() != 0 )
        vec[used++] = at(i).cxID();
    } else if ( at(i).operation() == action_rec::op_sub )
    {
        if ( at(i).cxID() != 0 )
            vec[used++] = at(i).cxID();
        } else if ( at(i).operation() == action_rec::op_swap )
    {
        if ( at(i).cxID() != 0 )
            vec[used++] = at(i).cxID();
        if ( at(i).cxID2() != 0 )
            vec[used++] = at(i).cxID2();
        }
    }
}

// erzeuge einen Vector der jede ID nur einmal enthält.
qsort(vec, 0, used-1);
int to = 0;
for (int i = 1; i<used; i++){
    if (vec[to] == vec[i]){
        i++;
    } else {
        vec[to++] = vec[i];
    }
}
return to;
}

// long extractPeakID(
// const Context::Handle &HC,
// const ResourceName& root,
// bool acceptMissingResource /* = true */) {
//
// const Resource *r = NULL;
// long ret = -1;
// PeakNet::NodeIterator node;
// if ((r = HC->Lookup(root)) != NULL) {
//     if (!r->isType(node)) {
//         ErrorMessage err;
//         err << fatal
//             << "wrong type of resource for \""
//             << stream << root
//             << "\" expected NodeIterator, found "<<r->getClassName()
//             << eom;
//     } else {
//         ret = node -> getPeak()->getID();
//     }
// } else if (!acceptMissingResource) {
//     ErrorMessage err;
//     err << fatal
//         << "no resource for \""
//         << stream << root
//         << "\" found."
//         << eom;
// }
// return ret;
// }
// void extractResource(
// // return value
// PeakNet::NodeIterator& node,
// const Context::Handle &HC,
// const ResourceName& root,
// bool acceptMissingResource /* = true */) {
//
// const Resource *r = NULL;
// node = PeakNet::NodeIterator();
// if ((r = HC->Lookup(root)) != NULL) {
//     if (!r->isType(node)) {
//         ErrorMessage err;
//         err << fatal
//             << "wrong type of resource for \""
//             << stream << root

```



```

        long baseID1 = extractPeakID(
            diff.start()->asAt(diff.at(k).position())
            ,root, false
        );
        perCX [diff.at(k).cxID() ]++;
        if(baseID1>-1)perPeak[baseID1]++;
    }
    if( diff.at(k).cxID2() > 0 ){
        long baseID2 = extractPeakID(
            diff.end()->asAt(diff.at(k).position2())
            ,root, false
        );
        perCX [diff.at(k).cxID2() ]++;
        if(baseID2>-1)perPeak[baseID2]++;
    }
}
////////////////////////////////////////////////////////////////////////////////////////////////////////////////////////////////
void apply(
    State::Handle& S,
    StateDiff& diff,
    // SWAP's are different from ADD and SUB operations
    // not all cx combinations are swappable.
    // So, SWAP's are not always applicable.
    bool apply_swaps /* = true */
)
{
    // first run, apply op_sub and op_sub part of swaps
    for(int k = 0; k<diff.top(); ++k){
        if(diff.at(k).operation() == action_rec::op_sub){
            S->clearAS( diff.at(k).position() );
        }
        else if(apply_swaps && diff.at(k).operation() == action_rec::op_swap){
            S->clearAS( diff.at(k).position() );
            S->clearAS( diff.at(k).position2() );
        }
    }
    // second run, apply all additions/swaps
    for(int k = 0; k<diff.top(); ++k){
        // nur die add/sub/swap operationen
        // tragen zu den Veränderungen bei, Links
        // entstehen implizit durch die anderen
        // operationen.
        if(!isLinkOp( diff.at(k) )) continue;
        if(diff.at(k).operation() == action_rec::op_add)
        {
            Context::Handle cx;
            if( diff.at(k).position() > -1 ) {
                cx=diff.end()->asAt(diff.at(k).position());
                S->putASat(diff.at(k).position(),cx);
                /** cant call evaluateLocal() without a random opti object ***/
            }
            else if(apply_swaps && diff.at(k).operation() == action_rec::op_swap)
            {
                Context::Handle cx;
                if( diff.at(k).position2() > -1 ) {
                    cx=diff.end()->asAt(diff.at(k).position2());
                }
                S->putASat(diff.at(k).position2(), cx);
            }
            if( diff.at(k).position() > -1 ) {
                cx=diff.end()->asAt(diff.at(k).position());
            }
            else
                cx = Context::Handle();
            S->putASat(diff.at(k).position(),cx);
        }
        /*** cant call evaluateAt() without a random opti object ***/
        // > quality() is wrong / incomplete
        // you have to call ->rebuildQAT()
    }
}
////////////////////////////////////////////////////////////////////////////////////////////////////////////////////////////////

```

```

#include "Array.cc"
template class Array<action_rec>;

```

N.15 Quelltext: GeneticRandomOptimizer.h

```

#ifdef __GeneticRandomOptimizer_H
#define __GeneticRandomOptimizer_H__ 1
//
// $Id: GeneticRandomOptimizer.h,v 1.11 2000/05/29 16:23:25 va Exp $
//
#define DONT_TRACE 1

#include "StatArray.h"
#include "Array.h"
#include "macros.h"
#include "Debug.h"
#include "time.h"
#include "Math.h"
#include "limits.h"
#include "values.h"
#include "ErrorMessage.h"
#include "iomanip.h"
#include "fstream.h"
#include "istream.h"
#include "protein.h"
#include "peepool.h"
#include "peakNet.h"
#include "LinkBuilder.h"
#include "RandomOpti_StateIndependent.h"
#include "RandomOptimizerBASE.h"
#include "RandomOptimizer.h"

////////////////////////////////////////////////////////////////////////////////////////////////////////////////////////////////
class StateIndependent;
class State;
class LinkBuilder;
class RandomOptimizerBASE;
class RandomOptimizer;
class CmdLine;
class CmdLineArgIter;

////////////////////////////////////////////////////////////////////////////////////////////////////////////////////////////////
// a wrapper around RandomOptimizer
// disables dumpState
class SubRandomOptimizer : public RandomOptimizer
{
public:
    typedef SubRandomOptimizer Self;
    typedef IMGObject< RandomOptimizerBASE > Handle;
    virtual ~SubRandomOptimizer(void);
    SubRandomOptimizer(void);
    virtual void restartRun(void);
    virtual void dumpState(void);
    //: die Konfigurationsmethoden.
    static void registerOptions(CmdLine& cmd);
    virtual bool configure(CmdLineArgIter& cmdIter);

protected:
    virtual Self& debugParams(void);
private:
};
////////////////////////////////////////////////////////////////////////////////////////////////////////////////////////////////
class GeneticOptimizer;
class GeneticOptimizer : public RandomOptimizerBASE

```



```

    {
public:
    typedef GeneticOptimizer      Self;
    typedef IImgObject RandomOptimizerBASE > Handle;
    typedef SubRandomOptimizer SUBOptimizer;

    virtual ~GeneticOptimizer(void);
    GeneticOptimizer(void);

    void restartRun(void);

    ///: Ausgabe der State Objekte auf dem Dumpfile.
    ///: INHERIT virtual void dumpState(void);
    ///: Lesen der State Objekte aus dem File "name".
    ///: INHERIT virtual bool loadState(
    ///: const MyString& name,
    ///: PeakPool::Handle pool, PeakNet::Handle net);
    virtual bool loadConfig(Istream & is);
    virtual void dumpConfig(Ostream & os);

    ///: Lesen der State Objekte aus den RO-Files in name.
    virtual bool collectStates(
    const MyStringVec& names);

    ///: die Konfigurationsmethoden.
    static void registerOptions(CmdLine& cmd);
    virtual bool configure(CmdLineArgIter& cmdIter);

    ///: führe die eigentliche Optimierung durch.
    virtual void optimize(void);
    ///: soll Optimize beendet werden?
    virtual bool abbruchbedingung(void);
    ///: bewerte die Arena und verwaltet den besten State.
    virtual void evaluateArena(void);

    ////////////////////////////////// Data Access Funtions
    inline Self& survivingBestSeedCount(int d);
    inline int survivingBestSeedCount(void) const;

    inline Self& lengthOfSeedPool(int d);
    inline int lengthOfSeedPool(void) const;

    inline Self& subRO(RandomOptimizerBASE::Handle H);
    inline RandomOptimizerBASE::Handle subRO(void) const;

    inline Self& finalRO(RandomOptimizerBASE::Handle H);
    inline RandomOptimizerBASE::Handle finalRO(void) const;

    inline Self& subMaxTime(long subMaxTime);
    inline long subMaxTime(void) const;

    inline Self& subMaxLoops(long subMaxLoops);
    inline long subMaxLoops(void) const;

    inline Self& genMaxLoopsWithEquivalentQ(long subMaxLoops);
    inline long genMaxLoopsWithEquivalentQ(void) const;

    inline Self& isNotSorted(void);
    inline bool isSortedByQ(void) const;
    inline Self& isSortedByQ(bool b);

    inline long longestCountThread(void) const;
    inline long seedLoopThread(void) const;

    ///: Zerfallrate für qThreshold
    GeneticOptimizer& thresholdDecayRate(double d);
    double thresholdDecayRate(void) const;

    ///: start value for qThreshold
    GeneticOptimizer& initialQThreshold(double d);
    double initialQThreshold(void) const;

    ///: current value for qThreshold
    inline Self& genQThreshold(double d);
    inline double genQThreshold(void) const;

    ///: schwelle des sliding-faktor für Crossover-Operationen
    GeneticOptimizer& crossoverThreshold(double d);

Anhang N Quelltexte

```

```

double crossoverThreshold(void) const;
virtual const char* crossoverOpName(void) const;

protected:
    ///: verbessere einen State mit dem subRO
    virtual void singleOptimizeAt(int seqIndex);
    ///: ruft singleOptimizer fuer alle States auf
    void singleOptimizeAll(void);

    ///: schliesst die Optimierung ab, indem sie den besten Zustand
    ///: einer Einzeloptimierung mit eingeschränkten Parametern
    ///: unterwirft. Der State wird quasi in das nächste
    ///: lokale Minimum gedrückt.
    void finalOptimizeBest(void);

    ///: Rebuild the arena from (bestSeedCount) seed states
    void crossoverAll(void);

    ///:
    void sortArenaByQ(void);
    void qsortByQ(int left, int right);

    ///:
    bool updateBest(void);

    //////////////////////////////////
    Self& debugTraceEvolution(void);
    Self& debugTraceSingle(int seqIndex);
    Self& debugTraceCrossover(const intVec &N, const intVec &I);
    Self& debugTracePopulationDiff(void);

    Self& debugFinal(void);

    //////////////////////////////////
    int itsSurvivingBestSeedCount;
    int itsLengthOfSeedPool;

    RandomOptimizerBASE::Handle itsSubRO;
    RandomOptimizerBASE::Handle itsFinalRO;

    long long itsSubMaxTime;
    long long itsSubMaxLoops;

    ///: no of loop with all qualities == bestQ
    int itsMaxLoopsWithEquivalentQ;
    ///: initial threshold factor for quality
    double itsInitialQThreshold;
    ///: decay factor for itsQThreshold
    double itsThresholdDecayRate;
    ///:
    double itsCrossoverThreshold;
    ////////////////////////////////// IMPLEMENTATION
    int itsLoopsWithEquivalentQ;
    bool itsIsSortedByQ;
    long itsSeedLoopThread;
    long itsLongestCountThread;
    double itsQThreshold; //: schwelle, ab der einzelne States mittels crossover ersetzt werden
    ///:
    double itsSlidingCross;
    double itsCrossSumme;

    //////////////////////////////////
    inline long GeneticOptimizer::longestCountThread(void) const
    {
        return itsLongestCountThread;
    };
    inline long GeneticOptimizer::seedLoopThread(void) const
    {
        return itsSeedLoopThread;
    };
    inline GeneticOptimizer& GeneticOptimizer::survivingBestSeedCount(
        int d)
    {
        return itsSurvivingBestSeedCount = d;
    }
    return *this;
}

```

```

};
inline int GeneticOptimizer::survivingBestSeedCount(void) const
{
    return itsSurvivingBestSeedCount;
};
inline GeneticOptimizer& GeneticOptimizer::lengthOfSeedPool(
    int d)
{
    itsLengthOfSeedPool = d;
    return *this;
};
inline int GeneticOptimizer::lengthOfSeedPool(void) const
{
    return itsLengthOfSeedPool;
};
inline GeneticOptimizer& GeneticOptimizer::subRO(
    RandomOptimizerBASE::Handle H)
{
    itsSubRO = H;
    return *this;
};
inline RandomOptimizerBASE::Handle GeneticOptimizer::subRO(void) const
{
    return itsSubRO;
};
inline GeneticOptimizer& GeneticOptimizer::finalRO(
    RandomOptimizerBASE::Handle H)
{
    itsFinalRO = H;
    return *this;
};
inline RandomOptimizerBASE::Handle GeneticOptimizer::finalRO(void) const
{
    return itsFinalRO;
};
inline GeneticOptimizer& GeneticOptimizer::subMaxTime(long subMaxTime)
{
    itsSubMaxTime = subMaxTime;
    return *this;
};
inline long GeneticOptimizer::subMaxTime(void) const
{
    return itsSubMaxTime;
};
inline GeneticOptimizer& GeneticOptimizer::subMaxLoops(long subMaxLoops)
{
    itsSubMaxLoops = subMaxLoops;
    return *this;
};
inline long GeneticOptimizer::subMaxLoops(void) const
{
    return itsSubMaxLoops;
};
inline GeneticOptimizer& GeneticOptimizer::genMaxLoopsWithEquivalentQ(
    long subMaxLoops)
{
    itsMaxLoopsWithEquivalentQ = subMaxLoops;
    return *this;
};
inline long GeneticOptimizer::genMaxLoopsWithEquivalentQ(void) const
{
    return itsMaxLoopsWithEquivalentQ;
};
inline GeneticOptimizer& GeneticOptimizer::isNotSorted(void)
{
    itsIsSortedByQ = false;
    return *this;
};
inline bool GeneticOptimizer::isSortedByQ(void) const
{
    return itsIsSortedByQ;
};
};
inline GeneticOptimizer& GeneticOptimizer::isSortedByQ(bool b)
{
    itsIsSortedByQ = b;
    return *this;
};
inline GeneticOptimizer& GeneticOptimizer::genQThreshold(
    double d)
{
    itsQThreshold = d;
    return *this;
};
inline double GeneticOptimizer::genQThreshold(void) const
{
    return itsQThreshold;
};
inline GeneticOptimizer& GeneticOptimizer::initialQThreshold(double d)
{
    itsInitialQThreshold = d;
    return *this;
};
inline double GeneticOptimizer::initialQThreshold(void) const
{
    return itsInitialQThreshold;
};
inline double GeneticOptimizer::thresholdDecayRate(void) const
{
    return itsThresholdDecayRate;
};
inline GeneticOptimizer& GeneticOptimizer::thresholdDecayRate(double d)
{
    itsThresholdDecayRate = d;
    return *this;
};
inline double GeneticOptimizer::crossoverThreshold(void) const
{
    return itsCrossoverThreshold;
};
inline GeneticOptimizer& GeneticOptimizer::crossoverThreshold(double d)
{
    itsCrossoverThreshold = d;
    return *this;
};
#endif // __GeneticRandomOptimizer_H__

// $Id: GeneticRandomOptimizer.cc,v 1.15 2000/04/20 11:44:21 va Exp $
#define DONT_TRACE 1

#include "Array.h"
#include "macros.h"
#include "Debug.h"
#include "NODump.h"
#include <time.h>
#include "Math.h"
#include "limits.h"
#include <values.h>
#include "ErrorMessage.h"
#include "iomanip.h"
#include "iostream.h"
#include "fstream.h"
#include "cmdargs.h"
#include "GetOptions.h"
#include "Cache.h"
#include "Protein.h"

```

N.16 Quelltext: GeneticRandomOptimizer.cc


```

    }
    if(givenOption(arg_seedFiles)){
        MyStringVec vec;
        for (int i = 0; i < arg_seedFiles.count(); i++) {
            vec[i] = arg_seedFiles[i];
        }
        if (collectStates( vec ))
            return false;
    }
    if(givenOption(arg_subMaxTime)){
        evalOption(d,5,"",arg_subMaxTime);
        d *= 60; // convert min -> sec
        subMaxTime( d );
    }
    if(givenOption(arg_subMaxLoops)){
        evalOption(count,1000,"",arg_subMaxLoops);
        subMaxLoops( count );
    }
    if(givenOption(arg_genMaxEqualLoops)){
        evalOption(count,5,"",arg_genMaxEqualLoops);
        genMaxLoopsWithEquivalentQ( count );
    }
    if(givenOption(arg_genQThreshold)){
        evalOption(d,0.96,"",arg_genQThreshold);
        initialQThreshold( d );
        genQThreshold( d );
    }
    if(givenOption(arg_genQThresholdDecayRate)){
        evalOption(d,0.005,"",arg_genQThresholdDecayRate);
        thresholdDecayRate( d );
    }
    if(givenOption(arg_genCrossOverThreshold)){
        d = 1.0/12.0;
        evalOption(d,d,"",arg_genCrossOverThreshold);
        crossoverThreshold( d );
    }
    if(givenOption(arg_genMaxIdleLoops)){
        evalOption(count,5,"",arg_genMaxIdleLoops);
        maxIdleLoops( count );
    }
}

#ifdef HAS_STATE_TRACE_DUMP
if(givenOption(arg_traceStates)){
    MyString t = arg_traceStates;
    t.toUpperCase();
    if(t.contains("ALL")){
        stateTraceInterval(0);
    } else if(t.contains("NONE")){
        stateTraceInterval(-1);
    } else if(t.matches("MyRxint")){
        stateTraceInterval(atoi(t.chars()));
    } else {
        ErrorMessage err;
        err << "error";
        err << "parameter for option -traceStates is wrong";
        err << som;
        return false;
    }
};
}

#endif // HAS_STATE_TRACE_DUMP
return true;
}
void GeneticOptimizer::restartRun(void)
{
    RandomOptimizerBASE::restartRun();
    itsLoopsWithEquivalentQ = 0;
    itsLongestCountThread = 0;
    itsSeedLoopThread = 0;
    itsSlidingCross = 0.0;
    itsCrossSumme = 0;

    genQThreshold(initialQThreshold());
    isNotSorted();
}

const char* GeneticOptimizer::crossoverOpName(void) const{

```

```

};
}
void GeneticOptimizer::sortArenasByQ(void)
{
    DEBUGTracedFrame;
    qsortByQ( 0, itsArena.count()-1);
    isSortedByQ(true);
}
/* aus Kernighan/Ritchie "Programmieren in C" P.106 (Kap. 5.6)*/
void GeneticOptimizer::qsortByQ(int left, int right)
{
    int last;
    if(left >= right)
        return;
    swap(itsArena[left],itsArena[(left+right)/2]);
    last = left;
    for(int i=left+1; i<= right; i++)
        if(itsArena[i]->quality() > itsArena[left]-> quality()){
            swap(itsArena[i],itsArena[left]);
        }
    swap(itsArena[left],itsArena[last]);
    qsortByQ( left, last-1);
    qsortByQ( last+1, right);
}

void GeneticOptimizer::crossOverAll(void)
{
    DEBUGTracedFrame;
    // Rebuild the arena from # (bestSeedCount) seed states,
    // The best # (survivingBestSeedCount) seed states remain
    // unchanged after this operation.
    // The rest is a crossover-product of each of the (bestSeedCount)
    // seed states. The number of seed states may be larger
    // than the number of remaining seeds! (replacing some low q seeds)
    // requires: arena is sorted (decreasing)
    // bestSeedCount (-4) << itsArena.count() (-10)
    // survivingBestSeedCount (-2) <= bestSeedCount
    // eg: crossover(x1,x2,1,n) => 1:n; 1:1;
    // (relative position of n:1 and i:n not guaranteed!)
    // before [ 1; 2; 3; 4; 5; 6; 7; 8; 9; 10]
    // after [ 1; 2; 1.2; 2.1; 1.3; 3.1; 1.4; 4.1; 2.3; 3.2]
}

sortArenasByQ();
debugTraceEvolution();

double bestQ=itsArena[0]->quality();

//: src indices for position x (xsurvivingBestSeedCount)
intVec N(itsArena.count()); N.fill(-1);
intVec I(itsArena.count()); I.fill(-1);
int crossCount = 0; // Anzahl der tatsächlich erfolgten Crossovers
int wantedCross = 0; // erwünschte Anzahl der Crossovers

// the threshold is already set if we retry an crossover.
double threshold = bestQ * genQThreshold();

//: index of first target State (no of crossovers)
int y;
for(y = itsArena.count();
    y-1 >= survivingBestSeedCount() && stateAt(y-1)->quality() < threshold;
    y--);
ASSERT( y >= survivingBestSeedCount());
ASSERT( y <= itsArena.count());

// cases:
// y > count: keine zu ersetzen
// y < count && y >= survivingBestSeedCount()
// ersetze [ y .. count-1 ]

```

```

wantedCross = itsArena.count() - y;
ASSERT( y >= survivingBestSeedCount() );
ASSERT( y == itsArena.count() || stateAt(y) == stateAt(y->quality() < threshold) );
ASSERT( y >= survivingBestSeedCount() );

if( itsSlidingCross < crossoverThreshold() ){
#define FORCE_CROSSOVER 1
#ifdef FORCE_CROSSOVER
    wantedCross = max(1,wantedCross);
#endif
    genGThreshold(genGThreshold()
        *(1-thresholdDecayRate()*(1-genGThreshold())));
    const double maxGenGThreshold = 0.999;
    if( genGThreshold() > maxGenGThreshold )
        genGThreshold(maxGenGThreshold);
} // no assert: stateAt(wantedCross)->quality()
if(wantedCross==0){
    debugTraceCrossover(I,N);
} else {
    // replace at least one state
    // recalc y: is changed iff forced crossover !
    y = sequenceCount() - wantedCross;
    ASSERT( y >= survivingBestSeedCount() );
    ASSERT( y < sequenceCount() );
    // gilt nicht mehr, da ein erzwungenes Crossover vorliegen kann!
    // ASSERT(stateAt(y) ->quality() < threshold);
    // generate crossover partner schedule table.
    // put pair with higher indexes at the end to prevent
    // them from being overwritten before they were used.
    // crossover target positions can be source positions
    // in the same schedule!
    int x = y;
    for( int i=0; i<lengthOfSeedPool(); i++){
        for( int ni=i+1; x<itsArena.count() && n<lengthOfSeedPool(); n++){
            int x1 = x++;
            int x2 = n++; // q[x2] schlechter als q[x1] !
            // gilt nicht mehr, da ein erzwungenes Crossover vorliegen kann!
            // ASSERT(stateAt( x2 )->quality() < threshold);
            if( x2<itsArena.count() )
                I[x2] = n; N[x2] = i;
        }
        // gilt nicht mehr, da ein erzwungenes Crossover vorliegen kann!
        // ASSERT(stateAt( x1 )->quality() < threshold);
        if( x1<itsArena.count() )
            I[x1] = i; N[x1] = n;
    }
}

debugTraceCrossover(I,N);
// perform the planned crossovers.
// start with the target positions at count-1 to prevent overwriting
// the sources!
isNotSorted();
for( int x=itsArena.count()-1; x>=y; x-- ){
    int x1 = x;
    int x2 = --x; // q[x2] besser als q[x1] !
    // ASSERT(stateAt( x2 )->quality() > stateAt( x1 )->quality() );
    // wenn q[x1] besser ist als der threshold,
    // dann gibt es keine weiteren ersetzbaren Zustände,
    // da die Arena sortiert ist!
    // ueberfluebrig: if( stateAt( x1 )->quality() > threshold ) break;
    if( x2<= x1; I[x1]==N[x1] || I[x2]==N[x2] ) {
        int i = x1;
        if( I[x1] == -1 && N[x1] == -1 ) {
            z = x2;
        }
        if( I[x2] != -1 && N[x2] != -1 ) {
            singleCrossoverAt(
                z, I[z], N[z],
                // generate [ I[z], N[z] ]
                true
            );
            evaluateAt( x1 );
            crossCount ++;
        } else {
            if( I[x1] != -1 && N[x1] != -1 &&
                I[x2] != -1 && N[x2] != -1 )
                crossOverAt( x1, x2, I[x1], N[x1] );
            evaluateAt( x1 );
            evaluateAt( x2 );
            crossCount ++;
        }
    }
} // if ( at least one state is below threshold )

#define SLIDING_CROSS_RATE_1
#ifdef SLIDING_CROSS_RATE_1
    const double aufbauRate = 0.3;
    const double zerfallRate = 0.27;
    itsSlidingCross += crossCount * aufbauRate - itsSlidingCross * zerfallRate;
#endif

#ifdef SLIDING_CROSS_RATE_2
    // calculate sliding crossover rate
    itsSlidingCross = slidingCrossoverRate
        * double(itsCrossSumme)/double(loopCount()) + crossCount;
    itsSlidingCross /= double(loopCount());
#endif
    itsCrossSumme += crossCount;
    updateBest();
    debugTraceEvolution();
    debugTracePopulationDiff();
}

void GeneticOptimizer::singleOptimize( int seqIndex )
{
    DEBUTracedFrame;
    State::Handle sH = stateAt(seqIndex);
    State &S = *stateAt(seqIndex);
    activateAccount active(S.account());

    if( !isNull( subRO() ) ) {
        ErrorMessage err;
        err << "error";
        err << "sub optimizer of GeneticOptimizer not set (is NULL) ! ";
        err << eom;
        return ;
    }

    ///////////////////////////////////////////////////////////////////
    // kopiere den State in alle Positionen in subRO
    // 1- setze alle Zustandsvariablen auf den Anfang zurueck
    subRO()->restartRun(); // initState ???
    // setze den best State
    subRO()->stateAt(-1, sH);
    // .. und alle anderen States
    for( int i=0; i<subRO()->sequenceCount(); i++){
        subRO()->stateAt(i, sH);
    }
    ///////////////////////////////////////////////////////////////////
    // setze alle Parameter in subRO() auf start
    subRO()->runtime(subMaxTime()); // ~ 5 min
    subRO()->maxLoop(subMaxLoops());
    // effectively disables dumpTimeInterval of subRO()
    subRO()->dumpTimeInterval(subRO()->runtime()+1);
    // effectively disables dumpLoopInterval of subRO()
    subRO()->dumpLoopInterval(subRO()->maxLoop()+1);
    ///////////////////////////////////////////////////////////////////
}

```

```

// optimiere
subRO()->Optimize();
isNotSorted();

stateAt(seqIndex, subRO()->stateAt(-1));
debugTraceSingle(seqIndex);
}
void GeneticOptimizer::finalOptimizeBest(void)
{
    DEBUGTracedFrame;
    const int seqIndex = -1;
    State::Handle sH = stateAt(seqIndex);
    State &S = *stateAt(seqIndex);
    ActiveAccount active(s.account());

    if( !isNull( finalRO() ) ){
        ErrorMessage err;
        err << "error";
        err << "optimizer for finalization of GeneticOptimizer not set (is NULL) ! "
            << "can not optimize !";
        err << eom;
        return ;
    }
    ////////////////////////////////////
    // kopiere den State in alle Positionen in finalRO
    // 1- setze alle Zustandsvariablen auf den Anfang zurueck
    finalRO()->restartRun(); // initState ???
    // setze den best State
    finalRO()->stateAt(-1, sH);
    // .. und alle anderen States
    for(int i=0; i<finalRO()->sequenceCount(); i++){
        finalRO()->stateAt(i, sH);
    }

    // effectively disables dumpTimeInterval of finalRO()
    finalRO()->dumpTimeInterval( finalRO()->runtime() );
    // effectively disables dumpLoopInterval of finalRO()
    finalRO()->dumpLoopInterval( finalRO()->smaxLoop() );
    ////////////////////////////////////
    // optimiere
    finalRO()->optimize();

    stateAt(seqIndex, finalRO()->stateAt(-1));
}
void GeneticOptimizer::singleOptimizeAll(void)
{
    DEBUGTracedFrame;
    longestLoopCount = 0;
    long spec seedLoopCount(lengthOfSeedPool()); seedLoopCount.fill(0);
    double seedQ(lengthOfSeedPool());
    int top = 0;
    // optimiere jeden Einzelzustand.
    // suche den laengsten Pfad = summe der counts der laengsten SubRO )
    for( int i=0; i<stateCount(); i++){
        singleOptimizeAt(i);
        longestLoopCount = max(longestLoopCount, subRO()->loopCount());
        if( (top=lengthOfSeedPool()) && seedQ[top-1] < stateAt(i)->quality() ){
            seedQ[top] = stateAt(i)->quality();
            seedLoopCount[top++] = subRO()->loopCount();
        } else {
            seedLoopCount[top-1] = stateAt(i)->quality();
            seedLoopCount[top-1] = subRO()->loopCount();
        }
        int x = top-1;
        while( x>0 && seedQ[x-1] < seedQ[x] ){
            swap( seedQ[x-1], seedQ[x] );
            swap( seedLoopCount[x-1], seedLoopCount[x] );
        }
    }
    itIsLongestCountThread += longestLoopCount;
    long count = 0;
}
for( int i=0; i<lengthOfSeedPool(); i++){
    count = max(count, seedLoopCount[i]);
}
// der laengste count eines Seeds
itIsSeedLoopThread += count;
// werte info aus
debugTraceEvolution();
debugTracePopulationDiff();
}
bool GeneticOptimizer::updateBest(void)
{
    DEBUGTracedFrame;
    const double epsilon = 1E-8;
    int currBest=0;
    if( !isSortedByQ() ){
        for( int i=0; i<sequenceCount(); i++){
            if( stateAt(i)->quality() > stateAt(currBest)->quality() && epsilon >
                {
                    currBest = i;
                }
            }
        }
        itsIsImproved = false;
        double delta = stateAt( currBest )->quality() - stateAt( -1 )->quality();
        if( delta >= 0.0 )
        {
            if( delta > epsilon ) {
                // der neue Beste in der Arena ist besser als der global Beste.
                debugTracePopulationStat();
                stateAt(-1, stateAt(currBest));
                itsLastQ = stateAt(currBest)->quality();
                itsIsImproved = true;
                itsLastQChanged = loopCount();
            }
            return true;
        }
        return false;
    }
    void GeneticOptimizer::evaluateArena(void)
    {
        DEBUGTracedFrame;
        sortArenaByQ();
        RandomOptimizerBASE::evaluateArena();
        // find and record best. (first pos, is sorted!)
        if( !updateBest() && !itsIsImproved ) {
            // der neue Beste ist schlechter als der alte Beste.
            // (Wie kann sowas passieren? Alle SubOptis sollten
            // doch mindestens den Besten der letzten Runde beibehalten?!)
            // Geschicht wenn ein alter Zustand geladen wurde und die
            // Subzustände leer sind!
            // mache den algo robust, fixe den Fehler.
            // verschiebe state[0...survivingBestSeedCount-1] um eins
            // Rechts, dann kopiere den Besten in die Arena auf
            // Position 0.
            for( int x=lengthOfSeedPool()-2; x>=0; x-- ){
                swap(itArena[x], itArena[x+1]);
            }
            // zwischenzustand:
            // [ 1, 0, 2, 3, 4.. ] survivingBestSeedCount=2
            // [ 3, 0, 1, 2, 4.. ] survivingBestSeedCount=4
            stateAt(0, stateAt(-1));
            // [ -1, 0, 2, 3, 4.. ]
            // die arena bleibt nach Q sortiert!
        }
        if( !lastQChanged < loopCount() - maxIdleLoops() ){
            genQThreshold( genQThreshold(
                + (thresholdDecayRate() * (1.0 - genQThresholdQ())) );
        }
}
//////////////////////////////////////

```

```

bool GeneticOptimizer::abbruchbedingung(void)
{
    DEBUGTracedFrame;
    const double epsilon = 1E-8;
    // zeit, loops, q besser als maxQ if maxQ > 0
    if (RandomOptimizer::BASE::abbruchbedingung())
        return true;
    // beende das Programm nach X aufeinander folgenden Loops in denen
    // die Qualitaet "aller" States immer gleich dem besten State ist.
    if ( abs(itsArena[0]->quality() - itsBest->quality()) < epsilon ){
        int countEqualQ = 0;
        double firstQ = itsArena[0]->quality();
        for(int i=0; i<sequenceCount(); i++){
            double currQ = itsArena[i]->quality();
            if (abs(currQ-firstQ)<epsilon){
                countEqualQ ++;
            }
        }
        if (countEqualQ == sequenceCount() ){
            itsLoopsWithEquivalentQ ++;
        } else {
            itsLoopsWithEquivalentQ = 0;
        }
        if (itsLoopsWithEquivalentQ>itsMaxLoopsWithEquivalentQ){
            return true;
        }
        return false;
    }
    void GeneticOptimizer::optimize(void)
    {
        DEBUGTracedFrame;
        itsEndTime = time(NULL) + runtime();
        while(true){
            singleOptimizeAll();
            evaluateArena();
            if (abbruchbedingung()) break;
            crossOverAll();
        }
        debugTraceEvolution();
        debugTraceFinalPopulationStat();
        finalOptimizeBest();
        debugTraceEvolution();
        debugFinal();
    }
    // TRACING
    // vor dem sortieren
    // EVOLUTION 8 [ (323.5:A140:L120), (323.5:A140:L120) ] bestSeed( 2, 5, 6, 7)
    // DEVELOP 8 [ (323.5:A140:L120) -> 37.5:A140:L121 ], .....
    GeneticOptimizer& GeneticOptimizer::debugTraceSingle(int seqIndex)
    {
        DEBUGTracedFrame;
        const char sep = ',';
        (debugStream() << "TRACE_GEN_SINGLE"<<sep<< (seqIndex+1) << sep;
        (debugStream() << ',('
        <<stateAt(seqIndex)->quality()<<',';
        <<stateAt(seqIndex)->usedCount()<<',';
        <<stateAt(seqIndex)->usedLinks()<<',';
        (debugStream()
        << " loops=" << subRO()->loopCount();
        (debugStream() << endl;
        return *this;
    }
    // aus Kernighan/Ritchie "Programmieren in C" P.106 (Kap. 5.6)*
    void sortIndexed(intVec& spos ,Array<State*>::Handle& s, int left, int right)
    {
        ASSERT(left>=0);
        // ASSERT(left<=right); wrong, teil des algo !
        ASSERT(right<=spos.count());
    }
}
bool GeneticOptimizer::abbruchbedingung(void);
int last;
if (left >= right)
    return;
swap(pos[left],pos[(left+right)/2]);
last=left;
for (int i=left+1; i<=right; i++){
    if (s[pos[i]]->quality() > s[pos[left]]->quality() ){
        swap(pos[left],pos[i]);
    }
}
sortIndexed(pos,s, left, last-1, right);
sortIndexed(pos,s, last+1, right);
}
GeneticOptimizer& GeneticOptimizer::debugTraceEvolution(void)
{
    DEBUGTracedFrame;
    double best=0.0, worst=itsArena[0]->quality(), mid=0.0;
    // finde die vier besten, best first
    for (int i=0; i<sequenceCount(); i++){
        bestVec[i] = i;
    }
    sortIndexed( bestVec.itsArena, 0, bestVec.count()-1 );
    for (int i=0; i<sequenceCount(); i++){
        mid += stateAt(i)->quality();
    }
    best = stateAt( bestVec[0] )->quality();
    worst = stateAt( bestVec[sequenceCount()-1] )->quality();
    mid /=sequenceCount();
    {
        itsLastTraceCount = itsLoopCount;
        const char sep = ',';
        (debugStream() << "TRACE_GEN_EVOL"<<sep<< itsLoopCount << sep;
        (debugStream() << ',('
        for (int i=0; i<sequenceCount(); i++){
            if (i>0) (debugStream() << ',';
            (debugStream() << ',('
            <<stateAt(i)->quality()<<',';
            <<stateAt(i)->usedCount()<<',';
            <<stateAt(i)->usedLinks()<<',';
        }
        (debugStream() << endl;
        for (int n = 0; n<lengthOfSeedPool(); n++){
            if (n>0) (debugStream() << ',';
            (debugStream() << bestVec[n]+1;
        }
        (debugStream() << ',('
        (debugStream() << sep;
        (debugStream() << ',('
        (debugStream() << best->quality() << sep;
        (debugStream() << best << sep << mid) << sep << worst << sep;
        (debugStream() << endl;
    }
    return *this;
};
// =====
GeneticOptimizer& GeneticOptimizer::debugTraceCrossOver(
    const intVec &N,const intVec &I)
{
    DEBUGTracedFrame;
    const char sep = ',';
    (debugStream() << "TRACE_GEN_CROSSOVER"<<sep<< itsLoopCount << sep;
    (debugStream() << ',('
    for (int i=0; i<sequenceCount(); i++){
        if (i>0) (debugStream() << ',';
        if (I[i]==-1 && N[i] == -1)
            (debugStream() << ',(' << (i+1) << ',(' << (i+1) << ", " ";
        else
            (debugStream() << ',(' << (I[i]+1) << ',(' << (N[i]+1) << ", " ";
    }
    (debugStream() << ',(' << endl;
    (debugStream() << endl;
}

```

```
};  
stateAt(i, lOpti.stateAt(-1));  
// wenn mehr Files angegeben wurden, als Plaetze vorhanden sind  
// verfallen die restlichen Namen.  
return ok;  
};  
bool GeneticOptimizer::loadConfig(istream & is)  
{  
    DEBUGTracedFrame;  
    enum{ ok = 0, fail = 1 };  
    int errPos=0;  
    AssertHook noStackDump(NULL);  
    ReadBlock block2(is, "CONFIG");  
    ReadBlock block3(is, "ACTIONCONFIG");  
    if(!block2.open()   ) ERROR_RECOVER;  
    if(!block2.skipToEnd() ERROR_RECOVER;  
    if(!block3.skipBlock() ERROR_RECOVER;  
    return ok;  
    error_recover:  
    ErrorMessage err;  
    err << error  
    << " parsing optimizer seed failed. (code = " << errPos  
    << " at line " << streampos2lineNr(is, is.tellg())  
    << ")" << eom;  
    return fail;  
}  
void GeneticOptimizer::dumpConfig(ostream & os)  
{  
    DEBUGTracedFrame;  
    enum{ ok = 0, fail = 1 };  
    {WriteBlock block2(os, "CONFIG");  
    if(block2){  
        os << indent << "VERSION          2" << endl;  
        os << indent << "DUMPTIMEINTERVAL " << itsDumpTimeInterval << endl;  
        os << indent << "LOOPCOUNT      " << itsLoopCount << endl;  
        os << indent << "MAXLOOPCOUNT   " << itsMaxLoopCount << endl;  
        os << indent << "LASTQ            " << itsLastQ << endl;  
        os << indent << "LASTQCHANGED    " << itsLastQChanged << endl;  
    }  
    {WriteBlock block3(os, "ACTIONCONFIG");  
    if(block3){  
    }  
}  
}  
SubRandomOptimizer::SubRandomOptimizer(void)  
{  
    /* EMPTY */  
};  
SubRandomOptimizer::SubRandomOptimizer(void)  
{  
    /* EMPTY */  
};  
void SubRandomOptimizer::dumpState(void)  
{  
    // Suboptimizers don't dump!  
};  
static CmdArgInt  arg_subtraceinterval('s', "subtraceinterval", "loops", "number loops in  
subprocess", CmdArg::isOPTVALREQ);  
static CmdArgInt  arg_subMaxIdleLoops('s', "subMaxIdleLoops", "min", "time in subprocess",  
CmdArg::isOPTVALREQ);  
//  
void SubRandomOptimizer::registerOptions(CmdLine& cmd){  
    DEBUGTracedFrame;  
    static bool done = false;  
    RandomOptimizerBASE::registerOptions(cmd);  
}
```



```

#include "GeneticRandomOptimizer_Gs1p1.h"
#include "GeneticRandomOptimizer_Gs1p2.h"
#include "GeneticRandomOptimizer_Gs1p3.h"

#include "GeneticRandomOptimizer_Gs2p1.h"
#include "GeneticRandomOptimizer_Gs2p2.h"
#include "GeneticRandomOptimizer_Gs2p3.h"

#include "GeneticRandomOptimizer_Gs3p1.h"
#include "GeneticRandomOptimizer_Gs3p2.h"
#include "GeneticRandomOptimizer_Gs3p3.h"

#include "GeneticRandomOptimizer_elitaer.h"

GeneticOptimizer* GeneticOptimizerFactory::make(const MyString& name)
{
    GeneticOptimizer* opt=NULL;
    if( name==" " || name=="default" ){
        opt = new GeneticOptimizer();
    } else if( name=="C" ){
        opt = new GeneticOptimizer_C();
    } else if( name=="Gs1p1" ){
        opt = new GeneticOptimizer_Gs1p1();
    } else if( name=="Gs1p2" ){
        opt = new GeneticOptimizer_Gs1p2();
    } else if( name=="Gs1p3" ){
        opt = new GeneticOptimizer_Gs1p3();
    } else if( name=="Gs2p1" ){
        opt = new GeneticOptimizer_Gs2p1();
    } else if( name=="Gs2p2" ){
        opt = new GeneticOptimizer_Gs2p2();
    } else if( name=="Gs2p3" ){
        opt = new GeneticOptimizer_Gs2p3();
    } else if( name=="Gs3p1" ){
        opt = new GeneticOptimizer_Gs3p1();
    } else if( name=="Gs3p2" ){
        opt = new GeneticOptimizer_Gs3p2();
    } else if( name=="Gs3p3" ){
        opt = new GeneticOptimizer_Gs3p3();
    } else if( name=="elitaer" ){
        opt = new GeneticOptimizer_elitaer();
    } else {
        opt = new GeneticOptimizer();
    }
    return opt;
};

```

N.19 Quelltext: GeneticRandomOptimizer_C.h

```

#ifndef __GeneticRandomOptimizer_C_H__
#define __GeneticRandomOptimizer_C_H__ 1
//
// $Id: GeneticRandomOptimizer_C.h,v 1.3 2000/05/29 16:23:04 va Exp $
//
#define DONT_TRACE 1
#include "statArray.h"
#include "Array.h"
#include "Macros.h"
#include "Debug.h"
#include <time.h>
#include "Math.h"
#include <limits.h>
#include <values.h>
#include "ErrorMessage.h"

```

```

if (!done) {
    done = true;
    cmd << arg_subTraceInterval;
    cmd << arg_subMaxIdleLoops;
}
//
//
//
void SubRandomOptimizer::restartRun (void)
{
    RandomOptimizer::restartRun();
    // disable population traces
    itsPopulationDumpInterval = -1;
};
//
//
//
bool SubRandomOptimizer::configure (CmdLineArgIter& cmdIter){
    DEBUGtracedFrame;
    long count;
    if (!RandomOptimizer::configure (cmdIter))
        return false;
    if (givenOption (arg_subTraceInterval)) {
        evalOption (count, 100, "", arg_subTraceInterval);
        maxTraceInterval (count);
    }
    if (givenOption (arg_subMaxIdleLoops)) {
        evalOption (count, 1000, "", arg_subMaxIdleLoops);
        maxIdleLoops (count);
    }
    return true;
}
SubRandomOptimizer & SubRandomOptimizer::debugParams (void)
{
    // do nothing, inhibits OPTI_PARAM und OPTI_DEFINE dumps;
    return *this;
}

```

N.17 Quelltext: GeneticOptimizerFactory.h

```

#ifndef __GENETIC_OPTIMIZER_FACTORY_H__
#define __GENETIC_OPTIMIZER_FACTORY_H__

class MyString;
class GeneticOptimizer;

class GeneticOptimizerFactory {
public:
    inline ~GeneticOptimizerFactory(){};
    inline GeneticOptimizerFactory(){};
    inline GeneticOptimizerFactory(const GeneticOptimizerFactory &){};
    inline GeneticOptimizerFactory& operator=(const GeneticOptimizerFactory&){ return *this;};

    static GeneticOptimizer* make (const MyString& name);
private:
};
#endif // __GENETIC_OPTIMIZER_FACTORY_H__

```

N.18 Quelltext: GeneticOptimizerFactory.cc

```

#include "MyString.h"
#include "GeneticOptimizerFactory.h"
#include "GeneticRandomOptimizer.h"
#include "GeneticRandomOptimizer_C.h"

Anhang N Quelltexte

```

```

#include "iomanip.h"
#include "iostream.h"
#include "fstream.h"
#include "cmdline.h"
#include "cmdargs.h"
#include "GetOptions.h"
#include "Cache.h"
#include "Protein.h"
#include "PeakPool.h"
#include "PeakNet.h"
#include "Context.h"
#include "ContextList.h"
#include "ContextLock.h"
#include "ContextOp.h"
#include "MyIoManip.h"
#include "ParseBlock.h"
#include "ParseContextList.h"
#include "RandomOpti_StateIndependent.h"
#include "RandomOptimizerBASE.h"
#include "RandomOptimizer.h"
#include "GeneticRandomOptimizer.h"
//
class StateIndependent;
class State;
class LinkBuilder;
class RandomOptimizerBASE;
class RandomOptimizer;
//
class GeneticOptimizer;
class GeneticOptimizer_C;
class GeneticOptimizer_C : public GeneticOptimizer
{
public:
    typedef GeneticOptimizer_C Self;
    typedef IMGObject RandomOptimizerBASE > Handle;
    typedef SubRandomOptimizer SUBOptimizer;
    virtual ~GeneticOptimizer_C(void);
    GeneticOptimizer_C(void);
//: generates two new States by merging two other States
    void crossOverAt(
        int destIndex1,int destIndex2, // dest
        int srcIndex1 ,int srcIndex2 // src
    );
//: generates *one* of two new States by merging two other States
//: kopiere Stuecke aus srcS1 und srcS2 nach destS1
//: die Stuecke sind ( [8 .. asCount()/3] AS lang)
    void singleCrossOverAt(
        int destIndex1, int srcIndex2,
        int srcIndex1 ,int srcIndex2,
        bool generateFirst // true generate dest1 , false generates dest2
    );
    const char* crossOverOpName(void)const;
protected:
};
//endif // __GeneticRandomOptimizer_C_H__

```

N.20 Quelltext: GeneticRandomOptimizer_C.cc

```

#include "GeneticRandomOptimizer_C.h"
#include "StateMetrics.h"
#include "RandomOptimizer.debug.h"
//
GeneticOptimizer_C::~GeneticOptimizer_C(void)

```

```

{
    DEBUGTracedFrame;
    /* EMPTY */
}
GeneticOptimizer_C::GeneticOptimizer_C(void)
: GeneticOptimizer()
{
    DEBUGTracedFrame;
//
const char* GeneticOptimizer_C::crossOverOpName(void)const{
    return "C";
//
//: generates two new States by merging two other States
//: kopiere Stuecke aus srcS1 und srcS2 nach destS1 und destS2
//: die Stuecke sind ( [8 .. asCount()/3] AS lang)
void GeneticOptimizer_C::crossOverAt(
    int destIndex1,int destIndex2, // dest [ 0 .. sequenceCount()-1]
    int srcIndex1 ,int srcIndex2 // src [-1 .. sequenceCount()-1]
)
{
    DEBUGTracedFrame;
    RandomOptimizerBASE::crossOverAt( destIndex1, destIndex2, srcIndex1, srcIndex2);
//
//: generates one of two new States by merging two other States
//: kopiere Stuecke aus srcS1 und srcS2 nach destS1 und destS2
//: die Stuecke sind ( [8 .. asCount()/3] AS lang)
//: generateFirst:
//: true generates dest1 , false generates dest2
void GeneticOptimizer_C::singleCrossOverAt(
    int destIndex1, int srcIndex2,
    int srcIndex1 ,int srcIndex2,
    bool generateFirst // true generate dest1 , false generates dest2
)
{
    DEBUGTracedFrame;
    RandomOptimizerBASE::singleCrossOverAt(
        destIndex1, srcIndex2,
        srcIndex1, srcIndex2,
        generateFirst
    );
}
//
// OPTIMIZER is one of GeneticOptimizer_Gs2p2 .... _C
#define OPTIMIZER
#warn OPTIMIZER not defined !
#endif
//: generates two new States by merging two other States
//: wendet Teile der Differenz von (schlecht->gut) auf die
//: Zielzustände an.
void OPTIMIZER::crossOverAt(
    int destIndex1,int destIndex2, // dest [ 0 .. sequenceCount()-1]
    int srcIndex1 ,int srcIndex2 // src [-1 .. sequenceCount()-1]
)

```

N.21 Quelltext: GeneticRandomOptimizer_OPE-RATOR.cc

```

    } else if(diff2.at(t).operation() == action_rec::op_add){
        res2.push(diff2.at(t));
    } else if(diff2.at(t).operation() == action_rec::op_sub ){
        if(t<diff2.top() && diff2.top().operation() == action_rec::op_add
        && diff2.at(t+1).operation() == diff2.at(t).cxID())
            {
                res2.push(diff2.at(t+1));
                t++;
            }
        else {
            res2.push(diff2.at(t));
        }
    }
}
swap(diff2.res2);
}
}
# elif defined(GUIDED_CROSSOVER_SELECTION_VARIANTE_2)
// algo:
// - kopiert mindestens eine Aktion.
// - kopiert maximal itsGuidedCrossoverSelectionPct% Aktionen.
// - kopiert jeweils #itsGuidedCrossoverChunkSize zusammenhängende
// Aktionen. (so soll die Nachbarschaftsbeziehung erhalten bleiben.)
const int itsGuidedCrossoverChunkSize = 4;
intVec used;
int tCount;
if (diff1.top()>0){
    StateDiff res1; res1.start(diff1.start()).end(diff1.end());
    used.resize(diff1.top()); used.fill(0);
    tCount = int(diff1.top() * itsGuidedCrossoverSelectionPct);
    int eBreak = max(1,tCount);
    while (tCount>0 && eBreak > 0){
        eBreak --;
        int t = longInRange0(diff1.top()-1);
        int sz = itsGuidedCrossoverChunkSize-1;
        while (t<diff1.top() && tCount > 0 && used[t] != 1 && sz>0){
            // suche die erste unverbrauchte Aktion
            while (t-diff1.top() &&
            diff1.at(t).isAsOp() && used[t] != 1){
                // ignoriere Links und bearbeite die nächsten Aktion
                // wenn sie noch nicht benutzt wurde
                used[t++] = 1;
            }
            if (t == diff1.top() || used[t] == 1) continue;
            if (diff1.at(t).operation() == action_rec::op_sub ){
                // wenn dies eine einzelne SUB Aktion ist, verwende diese.
                // wenn es der erste Teil eines SUB,ADD Paares ist,
                // gehe zum ADD Teil.
                if (diff1.at(t+1).operation() == action_rec::op_add
                && diff1.at(t+1).cxID() == diff1.at(t).cxID())
                    {
                        // teil eines Paares, markieren und zum ADD Teil
                        // weiter gehen.
                        used[t++] = 1;
                    }
                else {
                    // eine einzelne SUB Operation.
                    // wird unten in if() kopiert.
                }
            }
        }
        //
        if (diff1.at(t).operation() == action_rec::op_sub ||
        diff1.at(t).operation() == action_rec::op_add){
            res1.push(diff1.at(t));
            used[t] = 1;
            tCount--; sz--;
        }
    }
    swap(diff1.res1);
    swap(diff1.res1);
}
if (diff2.top()>0){

```



```

if (t == diff2.top() || used[t] == 1) continue;
// neuen Start wählen wenn
// cx an pos (at(t).position()) mit dem Nachfolger
// verbunden ist (t1->s2) auf
// oder kein Nachfolger vorhanden sein kann.
if (diff2.at(t).position() < diffStart2.linkCount()
    && !isNull(diffStart2.linkAt(diff2.at(t).position())))
{
    // erzeugt ein künstliches abbruchkriterium, das in der
    // While() schleife sowieso getestet werden muss.
    t = diff2.top();
    continue;
}

if (diff2.at(t).operation() == action_rec::op_sub) {
    // wenn dies eine einzelne SUB Aktion ist, verwende diese.
    // wenn es der erste Teil eines SUB_ADD Paares ist,
    // gehe zum ADD Teil.
    if (diff2.at(t+1).operation() == action_rec::op_add
        && diff2.at(t+1).cxID() == diff2.at(t).cxID())
    {
        // teil eines Paares, markieren und zum ADD Teil
        // weiter gehen.
        used[t+1] = 1;
    }
    else {
        // eine einzelne SUB Operation.
        // wird unten in if() kopiert.
    }
}

if (diff2.at(t).operation() == action_rec::op_sub ||
    diff2.at(t).operation() == action_rec::op_add) {
    res2.push(diff2.at(t));
    used[t] = 1;
    tCount--; sz--;
}
}
}
}
swap(diff2, res2);

}
}

#endif // SELECTION

# if defined(GUIDED_CROSSOVER_PRODUCTION_VARIANTE_1)
int max1 = diff1.top();
int max2 = diff2.top();
int half1 = max(0, max1/2-1);
int half2 = max(0, max2/2-1);
#endif

# if defined(GUIDED_CROSSOVER_PRODUCTION_VARIANTE_1)
// diff1 == (d1->s1)
// diff2 == (d2->s2)
// wende die untere Hälfte von diff1 auf dest1 an
// wende die obere Hälfte von diff2 auf dest1 an
{ActiveAccount active(destS1.account());
  applyDiffRangeAt(destIndex1, diff1, 0, max(0, half1-1));
  applyDiffRangeAt(destIndex1, diff2, half2,
    diff2.top()-half2);
}
// wende die untere Hälfte von diff2 auf dest2 an
// wende die obere Hälfte von diff1 auf dest2 an
{ActiveAccount active(destS2.account());
  applyDiffRangeAt(destIndex2, diff2, 0, max(0, half2-1));
  applyDiffRangeAt(destIndex2, diff1, half1,
    diff1.top()-half1);
}

# elif defined(GUIDED_CROSSOVER_PRODUCTION_VARIANTE_1a)
// wende diff1 (d1->s1) auf dest1 an
{ActiveAccount active(destS1.account());
  applyDiffRangeAt(destIndex1, diff1);
}
// wende diff2 (d2->s2) auf dest2 an
{ActiveAccount active(destS2.account());

```

Anhang N Quelltexte

```

State& diffStart2 = srcS2;
#endif
#endif

// wähle eine Teilmenge der States aus.
#ifdef GUIDED_CROSSOVER_SELECTION_VARIANTE_1
// algo: wählt itsGuidedCrossoverSelectionPct% Aktionen zufällig aus.
// - kopiert maximal itsGuidedCrossoverSelectionPct% Aktionen.
// - die Aktionen hängen nicht zusammen.
{StateDiff res1; res1.start(diff1.start()).end(diff1.end());
for(int t = 0; t<diff1.top(); ++t){
if (itsGuidedCrossoverSelectionPct >= getRandDouble() ){
if (diff1.at(t).isLinkOp()){
// skip links
} else if (diff1.at(t).operation() == action_rec::op_add){
res1.push(diff1.at(t));
} else if (diff1.at(t).operation() == action_rec::op_sub ){
if (t<diff1.top()
&& diff1.at(t+1).cxid() == diff1.at(t).cxid()){
{
res1.push(diff1.at(t+1));
t++;
} else {
res1.push(diff1.at(t));
}
}
}
}
}
}

swap(diff1, res1);
StateDiff res2; res2.start(diff2.start()).end(diff2.end());
for(int t = 0; t<diff2.top(); ++t){
if (itsGuidedCrossoverSelectionPct >= getRandDouble() ){
if (diff2.at(t).isLinkOp()){
// skip links
} else if (diff2.at(t).operation() == action_rec::op_add){
res2.push(diff2.at(t));
} else if (diff2.at(t).operation() == action_rec::op_sub ){
if (t<diff2.top()
&& diff2.at(t+1).operation() == action_rec::op_add
&& diff2.at(t+1).cxid() == diff2.at(t).cxid()){
{
res2.push(diff2.at(t+1));
t++;
} else {
res2.push(diff2.at(t));
}
}
}
}
}
}

#elif defined(GUIDED_CROSSOVER_SELECTION_VARIANTE_2)
// algo:
// - kopiert mindestens eine Aktion.
// - kopiert maximal itsGuidedCrossoverSelectionPct% Aktionen.
// - kopiert jeweils #itsGuidedCrossoverChunkSize zusammenhängende
// - Aktionen (so soll die Nachbarschaftsbeziehung erhalten bleiben.)
// - Annahme: diff ist nach AS-Positionen sortiert.
const int itsGuidedCrossoverChunkSize = 4;
intVec used;
int tcount;
{
if (diff1.top()>0){
StateDiff res1; res1.start(diff1.start()).end(diff1.end());
used.resize(diff1.top()); used.fill(0);
tcount = int(diff1.top() * itsGuidedCrossoverSelectionPct);
int eBreak = max(1,tcount);
while(tcount>0 && eBreak > 0){
eBreak--;
int t = longInRange0(diff1.top()-1);
int sz = itsGuidedCrossoverChunkSize-1;
while (t<diff2.top() && tcount > 0 && used[t] != 1 && sz-->0){
while (t<diff2.top() && szOp() && used[t] != 1){
// diff2.at(t).isASOp() und bearbeite die nächsten Aktion
// ignoriere links und bearbeite die nächsten Aktion
// wenn sie noch nicht benutzt wurde
used[t++] = 1;
}
}
if (t == diff2.top() || used[t] == 1) continue;
if (diff2.at(t).operation() == action_rec::op_sub ){
// wenn dies eine einzelne SUB Aktion ist, verwende diese.
// wenn es der erste Teil eines SUB,ADD Paares ist,
// gehe zum ADD Teil.
if (diff2.at(t+1).operation() == action_rec::op_add
&& diff2.at(t+1).cxid() == diff2.at(t).cxid()){
{
// teil eines Paares, markieren und zum ADD Teil
// weiter gehen.
used[t++] = 1;
} else {
// eine einzelne SUB Operation.
// wird unten in if() kopiert.
}
}
}
//
//
if (diff1.at(t).operation() == action_rec::op_sub ||
diff1.at(t).operation() == action_rec::op_add){
res1.push(diff1.at(t));
used[t] = 1;
tcount--; sz--;
}
}
}
swap(diff1, res1);
}
if (diff2.top()>0){
StateDiff res2; res2.start(diff2.start()).end(diff2.end());
used.resize(diff2.top()); used.fill(0);
tcount = int(diff2.top() * itsGuidedCrossoverSelectionPct);
tcount = max(1,tcount);
int eBreak = used.count() * 2;
while(tcount>0 && eBreak > 0){
eBreak--;
int t = longInRange0(diff2.top()-1);
int sz = itsGuidedCrossoverChunkSize-1;
while (t<diff2.top() && tcount > 0 && used[t] != 1 && sz-->0){
while (t<diff2.top() && szOp() && used[t] != 1){
// diff2.at(t).isASOp() && used[t] != 1){
// ignoriere links und bearbeite die nächsten Aktion
// wenn sie noch nicht benutzt wurde
used[t++] = 1;
}
}
if (t == diff2.top() || used[t] == 1) continue;
if (diff2.at(t).operation() == action_rec::op_sub ){
// wenn dies eine einzelne SUB Aktion ist, verwende diese.
// wenn es der erste Teil eines SUB,ADD Paares ist,
// gehe zum ADD Teil.
if (diff2.at(t+1).operation() == action_rec::op_add
&& diff2.at(t+1).cxid() == diff2.at(t).cxid()){
{
// teil eines Paares, markieren und zum ADD Teil
// weiter gehen.
used[t++] = 1;
} else {
// eine einzelne SUB Operation.
// wird unten in if() kopiert.
}
}
}
}
//
//
if (diff1.at(t).operation() == action_rec::op_sub ||
diff2.at(t).operation() == action_rec::op_add){
res2.push(diff2.at(t));
}
}
}
}

```



```

swap(diff2,res2);
}
}
#endif // SELECTION

#if defined(GUIDED_CROSSOVER_PRODUCTION_VARIANTE_1)
int max1 = diff1.top();
int max2 = diff2.top();
int half1 = max(0,max1/2-1);
int half2 = max(0,max2/2-1);
#endif

#if defined(GUIDED_CROSSOVER_PRODUCTION_VARIANTE_1)
// diff1 == (d1->s1)
// diff2 == (d2->s2)
// wende die obere Hälfte von diff1 auf dest1 an
// wende die obere Hälfte von diff2 auf dest1 an
if(GenerateFirst)
{ActiveAccount active(destS1.account());
applyIFFRANGEat( destIndex1, diff1, 0 , max(0, half1-1));
applyIFFRANGEat( destIndex1, diff2, half2, half2,
diff2.top()-half2);
}
// wende die untere Hälfte von diff2 auf dest2 an
// wende die obere Hälfte von diff1 auf dest2 an
if(GenerateFirst)
{ActiveAccount active(destS1.account());
applyIFFRANGEat( destIndex1, diff2, 0 , max(0, half2-1));
applyIFFRANGEat( destIndex1, diff1, half1, half1,
diff1.top()-half1);
}
}

#elif defined(GUIDED_CROSSOVER_PRODUCTION_VARIANTE_1a)
// wende diff1 (d1->s1) auf dest1 an
if(GenerateFirst)
{ActiveAccount active(destS1.account());
applyIFFRANGEat( destIndex1, diff1);
}
// wende diff2 (d2->s2) auf dest2 an
if(GenerateFirst)
{ActiveAccount active(destS1.account());
applyIFFRANGEat( destIndex1, diff2);
}
}

#elif defined(GUIDED_CROSSOVER_PRODUCTION_VARIANTE_2)
// kopiere src1 nach dest1
// wende diff1 (s1->s2) auf dest1 an
if(GenerateFirst)
{ActiveAccount active(destS1.account());
destS1.copyFrom(srcS1);
applyIFFRANGEat( destIndex1, diff1 );
}
// kopiere src2 nach dest2
// wende diff2 (s2->s1) auf dest2 an
if(GenerateFirst)
{ActiveAccount active(destS1.account());
destS1.copyFrom(srcS2);
applyIFFRANGEat( destIndex1, diff2);
}
}

#endif // GUIDED_CROSSOVER_PRODUCTION_VARIANTE_x

#ifdef CROSSOVERat_DEBUG_CALCULATION_Q
cout << "eingeladeneCrossover ("
<< destIndex1 << " "
<< srcIndex1 << " "
<< " " << firstPosLen
<< " " << dest1 << " " << destS1.quality() << " " << destS2.quality()
<< endl;
}

#ifdef CROSSOVERat_DEBUG_CALCULATION_Q
}
}

}

public:
    typedef GeneticOptimizer_Gs2p2 Self;
    typedef ImgObject< RandomOptimizerBASE > Handle;
    typedef SubRandomOptimizer SUBOptimizer;
    virtual ~GeneticOptimizer_Gs2p2(void);
    GeneticOptimizer_Gs2p2(void);
};

//: generates two new States by merging two other States
void CrossOverAt(

```

N.22 Quelltext: GeneticRandomOptimizer_Gs2p2.h

```

#ifndef __GeneticRandomOptimizer_Gs2p2_H_
#define __GeneticRandomOptimizer_Gs2p2_H_ 1

```


N.24 Quelltext: GeneticRandomOptimizer_elitaer.h

```
#ifndef __GeneticRandomOptimizer_elitaer_H_
#define __GeneticRandomOptimizer_elitaer_H_ 1
//
// $Id: GeneticRandomOptimizer_elitaer.h,v 1.3 2000/05/29 16:23:04 va Exp $
//
#define DONT_TRACE 1
#include "statArray.h"
#include "Array.h"
#include "macros.h"
#include "Debug.h"
#include <time.h>
#include "math.h"
#include <math.h>
#include <limits.h>
#include <values.h>
#include "errMessage.h"
#include "iomanip.h"
#include "iostream.h"
#include "fstream.h"
#include "cmdline.h"
#include "cmdargs.h"
#include "getOptions.h"
#include "streamRedirect.h"
#include "gr_prob.h"
#include "M2CG.h"
#include "Cache.h"
#include "protein.h"
#include "peepool.h"
#include "peepoolFile.h"
#include "peepNet.h"
#include "parsepepNet.h"
#include "Context.h"
#include "ContextList.h"
#include "ContextLock.h"
#include "ContextOP.h"
#include "AsciiContextReader.h"
#include "Expression.h"
#include "Condition.h"
#include "AllConditions.h"
#include "ExpressionBuilder.h"
#include "ymManip.h"
#include "parseBlock.h"
#include "parseContextList.h"
#include "LinkBuilder.h"
#include "randomOpti_StateIndependent.h"
#include "randomOptimizerBASE.h"
#include "randomOptimizer.h"
#include "GeneticRandomOptimizer.h"
////////////////////////////////////////////////////////////////////////////////////////////////////////////////////////////////
class StateIndependent;
class LinkBuilder;
class RandomOptimizerBASE;
class RandomOptimizer;
////////////////////////////////////////////////////////////////////////////////////////////////////////////////////////////////
class GeneticOptimizer;
class GeneticOptimizer_elitaer : public GeneticOptimizer
{
public:
    Typedef GeneticOptimizer_elitaer Self;
    Typedef IMsgObject< RandomOptimizerBASE > Handle;
    Typedef SubRandomOptimizer SUBOptimizer;
    virtual ~GeneticOptimizer_elitaer(void);
};
////////////////////////////////////////////////////////////////////////////////////////////////////////////////////////////////
```

```
int destIndex1, int destIndex2, // dest
int srcIndex1, int srcIndex2, // src
)
//: generates *one* of two new States by merging two other States
//: Kopiere Stücke aus srcS1 und srcS2 nach destS1
// die Stücke sind ( [8 .. asCount()/3] AS lang)
void singleCrossoverAt (
    int destIndex1,
    int destIndex2,
    int srcIndex1, // true generate dest1, false generates dest2
    bool generateFirst // true generate dest1, false generates dest2
);
const char* crossoverOpName(void) const;
protected:
};
#endif // __GeneticRandomOptimizer_Gs2p2_H_
```

N.23 Quelltext: GeneticRandomOptimizer_Gs2p2.cc

```
#include "GeneticRandomOptimizer_Gs2p2.h"
#include "StateMetrics.h"
////////////////////////////////////////////////////////////////////////////////////////////////////////////////////////////////
#include "RandomOptimizer.debug.h"
////////////////////////////////////////////////////////////////////////////////////////////////////////////////////////////////
GeneticOptimizer_Gs2p2::~GeneticOptimizer_Gs2p2(void)
{
    /* EMPTY */
}
GeneticOptimizer_Gs2p2::GeneticOptimizer_Gs2p2(void)
: GeneticOptimizer()
{
    DEBUGTracedFrame;
// SELECT DIFF PARTS:
// variante1: select random diff pieces!
// variante2: while reducing diff, keep longer continuous pieces!
// variante3: while reducing diff, keep longer continuous pieces!
// stop collecting if no link for as[i] to as[i+1] exists.
//
//#define GUIDED_CROSSOVER_SELECTION_VARIANTE_1
//#define GUIDED_CROSSOVER_SELECTION_VARIANTE_2
//#define GUIDED_CROSSOVER_SELECTION_VARIANTE_3
//
// PRODUCTION VARIANTE:
// variante 1: keep old + part diff(old->src1) + part diff(old->src2) -> neu
// variante 1a: keep old + all of diff(old->src) -> neu
// variante 2: copy src1 + part diff(src1->src2) -> neu
// variante 1a ist die Nr.3 in der externen Benennung!
//
//#define GUIDED_CROSSOVER_PRODUCTION_VARIANTE_1
//#define GUIDED_CROSSOVER_PRODUCTION_VARIANTE_2
//#define GUIDED_CROSSOVER_PRODUCTION_VARIANTE_1a
////////////////////////////////////////////////////////////////////////////////////////////////////////////////////////////////
const char* GeneticOptimizer_Gs2p2::crossoverOpName(void) const {
    return "Gs2p2";
};
//#define OPTIMIZER_GeneticOptimizer_Gs2p2
#include "GeneticRandomOptimizer_OPERATOR.cc"
```

```

GeneticOptimizer_elitaer(void);
//: generates two new States by merging two other States
void crossOverAt(
    int destIndex1, int destIndex2, // dest
    int srcIndex1, int srcIndex2 // src
);
//: generates *one* of two new States by merging two other States
//: kopiere Stuecke aus srcS1 und srcS2 nach destS1
//: die Stuecke sind ( [8 .. asCount()/3] AS lang)
void singleCrossOverAt(
    int destIndex1,
    int srcIndex1, int srcIndex2,
    bool generateFirst // true generate dest1 , false generates dest2
);
const char* crossoverOpName(void) const;
protected:
};
#endef // __GeneticRandomOptimizer_elitaer_H__

```

N.25 Quelltext:

GeneticRandomOptimizer_elitaer.cc

```

#include "GeneticRandomOptimizer_elitaer.h"
#include "StateMetrics.h"
#include "RandomOptimizer_debug.h"
//:
//:
GeneticOptimizer_elitaer::GeneticOptimizer_elitaer(void)
{
    /* EMPTY */
}
GeneticOptimizer_elitaer::GeneticOptimizer_elitaer(void)
: GeneticOptimizer()
{
    DEBUGTracedFrame;
// SELECT DIFF PARTS:
// variante1: select random diff pieces !
// variante2: while reducing diff, keep longer continuous pieces!
// variante3: while reducing diff, keep longer continuous pieces!
// stop collecting if no link for as[i] to as[i+1] exists.
#define GUIDED_CROSSOVER_SELECTION_VARIANTE_1
#define GUIDED_CROSSOVER_SELECTION_VARIANTE_2
#define GUIDED_CROSSOVER_SELECTION_VARIANTE_3
// PRODUCTION VARIANTE:
// variante 1: keep old + part diff(oid->src1) + part diff(oid->src2) -> neu
// variante 1a: keep old + all of diff(oid->src) -> neu
// variante 2: copy src1 + part diff(src1->src2) -> neu
// variante 1a ist die Nr.3 in der externen Benennung!
#define GUIDED_CROSSOVER_PRODUCTION_VARIANTE_1
#define GUIDED_CROSSOVER_PRODUCTION_VARIANTE_2
#define GUIDED_CROSSOVER_PRODUCTION_VARIANTE_1a
//:
const char* GeneticOptimizer_elitaer::crossoverOpName(void) const{
    return "elitaer";
}

```

```

#define OPTIMIZER_GeneticOptimizer_elitaer
//:
//:
//: generates two new States by merging two other States
//: wendet Teile der Differenz von (schlecht->gut) auf die
//: Zielzustände an.
//:
//:
void OPTIMIZER::crossOverAt(
    // dest [ 0 .. sequenceCount()-1]
    int destIndex1, int destIndex2,
    // src [-1 .. sequenceCount()-1]
    int PRODUCTION_UNUSED(srcIndex1), int PRODUCTION_UNUSED(srcIndex2)
)
{
    DEBUGTracedFrame;
    ASSERT( destIndex1 != srcIndex1 );
    ASSERT( destIndex1 != srcIndex2 );
    ASSERT( destIndex2 != srcIndex1 );
    ASSERT( destIndex2 != srcIndex2 );
    State &destS1 = *stateAt(destIndex1);
    State &destS2 = *stateAt(destIndex2);
// elitaer means: always copy state #1, no matter what configuration.
    State &srcS1 = *stateAt(0);
    //State &srcS2 = *stateAt(1);
    {ActiveAccount active(destS1.account());
    destS1.copyFrom(srcS1);
}
    {ActiveAccount active(destS1.account());
    destS2.copyFrom(srcS1);
}
}
//:
//: generates one of two new States by merging two other States
//: Kopiere Stuecke aus srcS1 und srcS2 nach destS1 und destS2
//: die Stuecke sind ( [8 .. asCount()/3] AS lang)
//:
//: generateFirst:
//: true generates dest1 , false generates dest2
void OPTIMIZER::singleCrossOverAt(
    int destIndex1,
    int PRODUCTION_UNUSED(srcIndex1), int PRODUCTION_UNUSED(srcIndex2),
    bool UNUSED(generateFirst) // true generate dest1 , false generates dest2
)
{
    DEBUGTracedFrame;
    ASSERT( destIndex1 != srcIndex1 );
    ASSERT( destIndex1 != srcIndex2 );
    State &destS1 = *stateAt(destIndex1);
    State &srcS1 = *stateAt(0);
    {ActiveAccount active(destS1.account());
    destS1.copyFrom(srcS1);
}
}

```

Literaturstellen

[Kessler95] Kessler, (1995), *Angew. Chem.*, **100**, 300–320.

Aminosäureerkennung

[Grzesiek93] Stephan Grzesiek and Ad Bax, (1993), "Amino acid type determination in the sequential assignment procedure of uniformly $^{13}\text{C}/^{15}\text{N}$ -enriched proteins", *J. Biomol. NMR*, **3**, 185–204

[Groß88] Karl-Heinz Groß, Hans Robert Kalbitzer, (1988), "Distribution of Chemical Shifts in ^1H Nuclear Magnetic Resonance Spectra of Proteins", *J. Magn. Res.*, **76**, 87–99

[Wütherich86] K. Wütherich, (1986), "NMR of proteins and nucleic acids", Wiley & Sons, Inc., S. 14 ff.

[Olejniczak92] Edward T. Olejniczak, Robert X. Xu, Stephen W. Fesik, (1992), "A 4D HCCH-TOCSY experiment for assigning the side chain ^1H and ^{13}C resonance of proteins", *J. Biomol. NMR*, **2**, 655–659

[Wishart91] D. J. Wishart, B. D. Sykes, and F. M. Richards, (1991), "Relationship between Nuclear Magnetic Resonance Chemical Shift and Protein Structure", *J. Mol. Biol.*, **222**, 311–333

Kombinatorische Optimierung

[Lawler85] E. L. Lawler et. al. (Hrsg.) "The traveling salesman problem. A guided tour of combinatorial optimization.", Wiley, Chichester. 1985.

[Reinelt94] G.Reinelt, (1994), "Contributions To Practical Traveling Salesman Problem Solving", Lecture Notes Comp. Science 840, Spinger Berlin.

[Michalewicz92] Zbigniew Michalewicz, (1996, 1999), "Genetic Algorithms + Data Structures = Evolution Programs", **3rd ed.**, P. 100.

[Althöfer89] J.Althöfer, K.–U. Koschnick, (1989), "On the Convergence of Threshold Accepting", Research Report, Universität Bochum

[Dueck90] G.Dueck, T. Scheuer, (1990), "Threshold Accepting: A general Purpose Optimization Algorithm Superior to Simulated Annealing", *Journal of Computational Physics* **90**, 161–175

[Hajek85] B.Hajek, (1985), "A Tutorial Survey of Theory and Applications of Simulated Annealing" Proc. 24th. IEEE Conf. on Decision and Control, 755–760.

[Kirkpatrick83] S.Kirkpatrick, C.D.Gelatt Jr., M.P. Vecchi (1983), "Optimization by Simulated Annealing", *Science* **222**, 671–680

[Lin73] S.Lin, B.W. Kernighan, (1973), "An effective Heuristic Algorithm for the Traveling Salesman Problem" *Operations Research* **21**, 498–516

[Laarhoven88] P.J.M. Laarhoven (1988), "Theoretical and Computational Aspects of Simulated Annealing", Doctoral Thesis, Erasmus Universiteit Rotterdam.

[Goldberg89] D.E. Goldberg (1989), "Genetic Algorithms in Search, Optimization and Machine Learning", Addison-Wesley

Protein CheY

- [Franklin94] F.J.Moy, D.F.Lowry, P.Matsumura, F.W. Dahlquist, J.E. Krywko, P.J.Domaille, (1994), "Assignments, Secondary Structure, Global Fold, and Dynamics of Chemotaxis Y Protein Using Three- and Four-Dimensional Heteronuclear (^{13}C , ^{15}N) NMR Spectroscopy", *Biochemistry* **33**, 10731–10742.
- [Volz93] K. Volz, (1993), *Biochemistry* **32**, 11741–11753.
- [Stock93] A. M. Stock, E. Martinez–Hackert, B.F. Rasmussen, A.H. West, J. B. Stock, D. Ringe, G. A. Petsko, (1993), *Biochemistry* **32**, 13375–13380.

Protein Trigger

- [Crooke87] Eliot Crooke, William Wickner, (1987), "Trigger factor: A soluble protein that folds pro-OmpA into a membrane-assembly-competent form", *Proc. Natl. Acad. Sci. USA*, **84**, 5216–5220.
- [Hesterkamp96] Thomas Hesterkamp, Stefanie HAuser, Heinrich Lütcke, Bernd Bukau, (1996), "Escherichia coli trigger factor is a prolyl isomerase that associates with nascent polypeptide chains", *Proc. Natl. Acad. Sci USA* **93**. 4437–4441.
- [Göthel97] S. F. Göthel, R. Schmidt, A. Wipat, N. M. Carter, P. T. Emmerson, C. R. Harwood, M. A. Marahiel, (1997), "An internal FK506-binding domain is the catalytic core of the prolyl isomerase activity associated with the Bacillus subtilis trigger factor", *Eur. J. Biochem.* **244**, 59–65.
- [Zarut97] Toralf Zarut, Thomas Tradler, Gerlind Stoller, Christian Scholz, Franz X. Schmid, Gunter Fischer, "Modular Structure of the Trigger Factor Required for High Activity in Protein Folding", *J. Mol. Biol.* **271**, 827–837.
- [Reimer98] Ulf Reimer, Gerd Scherer, Mario Drewello, Susanne Kruber, Mike Schrutkowski, Gunter Fischer, (1998), "Side-chain Effects on Peptidyl-prolyl cis/trans Isomerisation", *J. Mol. Biol.* **279**, 449–460.
- [Scholz98] Christian Scholz, Matthias Mücke, Michael Rape, Anja Pecht, Andreas Pahl, Holger Bang, Franz X. Schmid, (1998), "Recognition of Protein Substrates by the Prolyl Isomerase Trigger Factor is Independent of Proline Residues", *J. Mol. Biol.* **277**, 723–732.
- [Deuerling99] Elke Deuerling, Agnes Schulz–Specking, Toshifumi Tomoyasu, Axel Mogk, Bernd Bukau, (1999), "Trigger factor and DnaK cooperate in folding of newly synthesized protein", *Nature*, Vol. **400**, 693–698.
- [Göthel99] S.F.Göthel, M. A. Marahiel, (1999), "Peptidyl-prolyl cis-trans isomerases, a superfamily of ubiquitous folding catalysts", *Cell. Mol. Life Sci.* **55**, 432–436.

Assignment Programme

- [Fesik94] Robert P. Meadows, Edward T. Olejniczak, Stephen W. Fesik, (1994) , "A Computer-Based Protocol for Semi-Automated Assignments and 3D Structure Determination of Proteins", *J. Biomol. NMR* **4**, 79–96.
- [Markley94] J.B.Olson Jr., J.L. Markley, (1994), "Evaluation of an algorithm for the automated sequential assignment of protein backbone resonances: A demonstration of the connectivity tracing assignment tools (CONTRAST) software package", *J. Biomol. NMR* **4**, 385–410.
- [Leutner98] Michael Leutner, Ruth M. Gschwind, Jens Liermann, Christian Schwarz, Gerd Gemmecker, Horst Kessler, (1998), "Automated backbone assignment of labeled proteins using the threshold accepting algorithm", *J. Biomol. NMR* **11**, 31–43.
- [Ikura90a] Mitsuhiro Ikura, Lewis E. Kay, Ad Bax, (1990), "A Novel Approach for Sequential Assignment of ^1H , ^{13}C and ^{15}N Spectra of Larger Proteins: Heteronuclear Tiple-Resonance Three-Dimensional NMR Spectroscopy. Application to Calmodulin", *Biochemistry* **29**, 4659–4667

- [Lukin97] Jonathn A. Lukin, Andrew P. Grove, Sarosh N. Talukdar, Chien Ho (1997), "*Automated probabilistic method for assigning backbone resonances of (¹³C, ¹⁵N)-labeled proteins*", J. Biomol NMR **9**, 151–166.
- [Zimmerman95] D. Zimmerman, G.T.Montelione (1995), Curr. Opin. Struct. Biol. **5**, 664–673.
- [Neidig95] P. Neidig, M. Geyer, A. Görler, C. Antz, R. Saffrich, W. Beneicke, H.R. Kalbitzer (1995), "", J. Biomol. NMR, **6**, 255–270

NMR-Experimente

- [Maurer2000] Markus Maurer, (2000), "*Untersuchungen von Proteinen zur Bestimmung von Struktur und Wechselwirkung mit biologisch aktiven Molekülen mittels multidimensionaler NMR-Spektroskopie*", Dissertation, Johann Wolfgang Goethe Universität, Frankfurt am Main.
- [Wittekind93] Michael Wittekind, Luciano Mueller, (1993), "*HNCACB, a High-Sensitivity 3DNMR Experiment to Correlate Amide-Proton and Nitrogen Resonances with the Alpha- and Beta-Carbon Resonances in Proteins*", J. Magn. Res. Serie **B 101**, 201–205.
- [Ikura90] M. Ikura, D.Marion, L.E.Kay, (1990), J. Magn. Res. **86**, 204–209.
- [Marion89] D. Marion, M. Ikura, A. Bax, (1989), J. Magn. Res. **85**, 393–399.
- [Archer91] J.S. Archer, M. Ikura, D.A. Torchia, A. Bax, (1991), J. Magn. Reson. **95**, 636.
- [Grzesiek92a] S. Grzesiek, A. Bax, (1992), J. Magn. Reson., **96**, 432.
- [Grzesiek92b] S. Grzesiek, A. Bax, (1992), J. Magn. Reson., **99**, 201.
- [Kay90] L. E. Kay, G. M. Clore, A. Bax, A. M. Gronenborn (1990), Science **249**, 411.
- [Kay91a] L. E. Kay, M. Ikura, A. Bax, (1991a), J. Magn. Reson. **91**, 84.
- [Kay91b] L. E. Kay, M. Ikura, A. Bax, (1991b), J. Magn. Reson. **91**, 422.
- [Muhandiram94] D. R. Muhandiram, L. E. Kay (1994) J.Magn. Reson. **B 103**, 203.
- [Croasmun94] William Croasmun, Robert M. K. Carlson, (1994), "*Two-dimensional NMR Spektroskopie: Application for Chemists and Biochemists*", 2.te Ausgabe, VCH, New York, Weinheim, Cambridge.

Algorithmen, Informatik und Mathematik

- [Aho74] A.V. Aho, J.E. Hopcroft, J.D. Ullman, (1974), *The Design and Analysis of Computer Algorithms*, Addison-Wessley, Reading, MA.
- [Bronstein91] I. N. Bronstein, K. A. Semendjajew. (1991), "*Taschenbuch der Mathematik, Ergänzende Kapitel*", Thun, Frankfurt/Main, 6. Aufl.
- [Hopcroft79] J.E.Hopcroft, J.D. Ullman, (1979), "*Einführung in die Automatentheorie, Formale Sprachen und Komplexitätstheorie*", Oldenbourg ,München, Wien, 4.Aufl. 2000.
- [Knuth97] Donald Ervin Knuth, (1997), "*The Art of Computer Programming, Seminumerical Algorithms, Volume 2*", 3rd Edition, 1997, Addison-Wesley Longman
- [Zachmann84] Hans G. Zachman, (1984), "*Mathematik für Chemiker*", 1.ter Nachdruck 4.te Auflage, Verlag Chemie, Weinheim

Lebenslauf

von

Volker Hans Philip Apelt

| | |
|--------------------------------------|--|
| 27 August 1965 | Geboren in Bad Homburg v. d. H. |
| August 1971 – Juni 1975 | Grundschule in Bad Homburg v. d. H. |
| August 1975 – Juni 1985 | Kaiserin Friedrich Gymnasium in Bad Homburg v. d. H. |
| 13 Juni 1985 | Abitur (Note 2,5) |
| 1 Oktober 1985 – 31 Dezember 1986 | Bundeswehr |
| November 1986 – Juli 1992 | Studium der Chemie an der Johann Wolfgang Goethe Universität, Frankfurt am Main |
| 11 Mai 1989 | Vordiplom (Note "sehr gut") Diplomarbeit bei Prof. Dr. Kohlmaier mit dem Thema "Physikalisch–Chemisches Modell zur trockenen Deposition von umweltre– levanten Spurengasen in Böden am Beispiel von SO ₂ " |
| 13 Juli 1992 | Diplom (Note "gut") |
| Januar 1993 – 2001 | Anfertigung der Dissertation im Arbeitskreis von Prof. Dr. C. Griesinger; Assistentenstelle am Institut für Organische Chemie der Johann Wolfgang Goethe Universität, Frankfurt am Main. Thema: "Kombinatorische Optimierungsverfahren zum backbone Assignment von NMR Daten an Proteinen" |